

Қ. С. АБДУРАШИДОВ,  
Б. А. ҲОБИЛОВ,  
Н. Ж. ТҮЙЧИЕВ,  
А. Ф. РАҲИМБОЕВ

# ҚУРИЛИШ МЕХАНИҚАСИ

*Ўзбекистон Республикаси Олий  
ва ўрта маҳсус таълим вазирлиги  
олий ўқув юртлари учун дарслик  
сифатида тавсия этган*

ТОШКЕНТ  
«ЎЗБЕКИСТОН»

*Б. А. ҲОБИЛОВНИНГ умумий таҳрири остида  
Тақризчи — физика-математика фанлари доктори,  
академик В. К. ҚОБУЛОВ  
Мухаррир — А. Ҳакимжонова*

**Қурилиш механикаси:** Олий ўқув юрт. учун дарслик/К. С. Абдурашидов, Б. А. Ҳобилов, Н. Ж. Тўйчиев  
А. И. Раҳимбоев; / Б. А. Ҳобиловнинг умумий таҳрири остида /.—Т.: Ўзбекистон, 1999.—384 б.

І. К. С. Абдурашидов ва бошқ.

Қурилиш механикаси фани иншоотларнинг мустахкамлиги, устуворлиги ва бинирлиги масалалари билан шуғулланади. Мазкур дарсликда қурилиш механикасининг асосий муаммолари тўлалигича ўз аксини топган.

Дарслик қурилиш ихтисоси бўйича ўқийдиган талабаларга мўлжалланган.

**ББҚ 38.112я73**

**ISBN 5-640-02-194-2**

**P 33080000000-159 — 99      © «ЎЗБЕКИСТОН» нашриёти, 1999 i  
M351(04)96**

## **КИРИШ**

Умуммуҳандислик фанлари орасида назарий механика, материаллар қаршилиги ва курилиш механикаси сингари фанлар салмоқли ўрин тутади. Курилиш мухандислари-нинг савиясини белгилашда бу фанларнинг аҳамияти бениҳоя каттадир. Ҳар қандай фанни талаба ўз она тилида осон ўзлаштира олишини яхши тушунган аллома олим академик М. Т. Ўрозбоев 1954 йилда назарий механика, 1960 йилда материаллар қаршилиги фанларидан биринчи бўлиб ўзбек тилида дарслик яратди. Орадан чорак аср ўтгач, З. А. Одилхўжаев, Т. Г. Гуломов ва Т. К. Абдукари-мовлар устоз М. Т. Ўрозбоев бошлаб берган хайрли ишни давом эттириб, ўзбек тилида илк бор курилиш механикаси фанидан дарслик яратиб, талабаларга тортиқ этдилар.

Курилиш механикаси фанидан ўзбек тилида дарслик чоп этилганига 10 йилдан ошди. Бу орада илм-фан тараккиёти ва ижтимоий ҳаётда жиддий ўзгаришлар рўй берди: республикамиз истиклолга эришди, ўзбек тилига давлат тили мақоми берилди. Эндиликда ўқув-услубиёт соҳасида катта тажрибага эга бўлган моҳир устозлар ўзбек тилида дарсликлар ёзиш имкониятига эга бўлдилар. Кўлингиздаги китоб ҳам ана шундай имкониятларнинг маҳсулидир.

Мазкур дарслик юкорида қайд қилинган китобга кирмаган (иншоотлар устуворлиги ва динамикаси, чекли элементлар усули сингари) айрим мавзуу ва боблар билан бойитилди. Бироқ шунга қарамай, курилиш механикасига оид барча мавзулар тўлалигича камраб олинди, деган фикрдан йирокмиз.

Дарсликнинг 3-, 4- ва 5- боблари К. С. Абдурашидов, 11- ва 12- боблари Н. Ж. Тўйчиев, 2-, 8- ва 9- боблари А. Ф. Раҳимбоевлар қаламига мансуб, колган бобларни Б. А. Ҳобилов ёзган. Ишоотлар динамикасига доир баъзи мисоллар Н. И. Безухов, К. С. Завриев, А. П. Филин сингари олимларнинг асарларидан олинди. Қўчишларни аниклаш, куч усули ва устуворликка доир мисоллар У. К. Абдураҳмонов томонидан тайёрланган.

Муаллифлар дарслик қўлёзмасини кўриб чиқиб, фойдали маслаҳатлар берганликлари учун Ўзбекистон Республикаси Фанлар академиясининг ҳақиқий аъзоси, техника фанлари доктори, профессор В. Қ. Қобуловга, техника фанлари доктори, профессор М. М. Мирсандовга, қўлёзманни тайёрлашда кўрсатган катта ёрдами учун Захро Умаровага ўзларининг самимий миннатдорчиликларини билдирадилар.

## 1- боб

### УМУМИЙ МАЪЛУМОТЛАР

#### 1.1. ҚУРИЛИШ МЕХАНИКАСИ ФАНИ ВА УНИНГ ВАЗИФАЛАРИ

Қурилиш механикаси иншоотларнинг мустаҳкамлиги, устуворлиги ва бикирлиги ҳакидаги фандир.

Иншоотларнинг **мустаҳкамлиги** деганда уларнинг юк кўтариш қобилияти тушунилади, чунки мустаҳкам иншоот ўзига қўйилган юкларни бемалол кўтариб турла олиши лозим, акс ҳолда, унинг мустаҳкамлиги етарли даражада бўлтмайди. Курсимиз давомида иншоотларнинг мустаҳкамлиги етарли даражада бўлиши учун нималар қилиш кераклиги ҳакида батафсил тўхталиб ўтамиз.

Иншоотларнинг **устуворлиги** (устойчивость) деганда юклар таъсирида иншоот ўзининг дастлабки мувозанат ҳолатини сақлаб турла олиш-олмаслиги тушунилади.

Эксплуатация жараёнида иншоотда меъеридан ортиқча кўчиш, солқилик ва оғишлар рўй бермаслиги учун уларнинг **бикирлиги** хисоблаш йўли билан текширилади.

Маълумки, мустаҳкамлик, устуворлик ва бикирлик масалалари билан материаллар каршилиги фани ҳам шуғулланади. Қурилиш механикаси билан материаллар каҳшилиги фани иншоотни ташкил этувчи алоҳида элементлар (балка, стержень ва х. к.) нинг мустаҳкамлиги, устуворлиги ва бикирлигини ўрганади. Қурилиш механикасида эса алоҳида элементлар мажмуасидан ташкил топган бутун иншоотнинг мустаҳкамлиги, устуворлиги ва бикирлиги кўриб ўтилади. Аникроқ қилиб айтганда, яхлит иншоотлар мустаҳкамлигини, устуворлигини ва бикирлигини таъминлайдиган конун-кондалар ва усуллар билан танишиб ўтилади. Кўриниб турибдикни, қурилиш механикаси фани материаллар каршилиги фани билан

узвий боғланган фандир. Бундан ташқари, қурилиш механикаси фани назарий механика, физика ва математика фанлағыра хам боғлиқдир. Бу ҳисобий фанлар занжирининг бир томони; занжирнинг иккинчи томонида ҳисобни якунига етказувчи фанлар — қурилиш конструкциялари фанлари (темирбетон ва ғишт-тош конструкциялари, металл, ёғоч ва пластмасса конструкциялари) туради. Ўз олдига қурилиш конструкциялари ҳисобини пухта ўзлаштиришни мақсад килиб қўйган толиб, ана шу ҳисобий фанлар занжирини узвий равишда, бир-бирига боғлик ҳолда чукур ўзлаштириши лозим.

Эластиклик назарияси, пластиклик назарияси ва тоб ташлаш назариялари юкорида қўриб ўтилган масалаларни кучли математик аппарат ёрдамида янада жиҳдийрорк ва янада аникрок ҳал этиш усуллари билан шуғулланади. Қурилиш механикаси ва материаллар каршилиги фанларида қўлланилган айрим чекла нишлар ва фаразлар бу фанлarda қўлланилмайди.. Шунинг учун хам ҳисоб натижалари хақиқатга анча яқин туради. Бирок ҳисоблаш жараёнининг ўта мураккаблиги туфайли лойиха амалиётларида улардан фойдаланиш доираси анча тор.

Хозирги замон бинолари ҳамда иншоотлари олдиндан тайёрланган лойиҳалар асосида бунёд этилиши ҳеч кимга сир эмас. Лойиҳада бино ва иншоотларнинг умумий ўлчамлари билан бир каторда ҳар бир алоҳида элементнинг ўлчамлари ҳам тўлик қўрсатилади.

Конструкция элементларининг узунликлари ҳамда кўндаланг кесим ўлчамлари элементларга таъсири этувчи кучлар ва элементнинг материалига боғлик ҳолда ҳисоблаш йўли билан аникланади. Ҳисоблаш усуллари эса қурилиш механикаси ва материаллар қаршилиги фанларида баён этилади.

Қурилиш механикаси фанининг асосий вазифаларидан бири ташки кучлар (юклар) таъсирида конструкция элементларида ҳосил бўладиган ички кучларни (зўрикишларни) аниклашдан иборатдир. Зўрикиш ним алигини тўлиқрок тасаввур этиш учун оддий бир мисол келтирамиз. Икки қўлингизда сув тўлдирилган икки чеълакни кўтариб турибсиз, дейлик. Даастлабки дақиқаларда қўлингиз толикиш ёки оғрикни ҳис этмайди. Бирок вакт ўтган сайнин қўлингизда оғрикка ўхшаш енгил толикиш пайдо бўлади ва у борган сари кучайиб боради. Ана шу оғрикка ўхшаш толикиш механика тилида зўрикиш ёки ички куч деб аталади. Конструкция элементларига қўйилган ташки

кучларнинг (масалан, челяндаги сув) микдори маълум бўлса, элементларда ҳосил бўладиган зўриқишиларни аниклаш қийин эмас. Конструкция элементларининг кўндаланг кесим ўлчамлари аникланган зўриқишиларнинг микдорига қараб белгиланади.

Ташқи кучлар таъсирида иншоот ва унинг элементларида ҳосил бўладиган солқилик, кўчиш ва тебраниш амплитудаларини аниклаш каби масалалар ҳам қурилиш механикаси фани доирасидаги масалалардан хисобланади.

Дарсликда зилзилалар содир бўлиб турадиган ҳудудлар учун муҳим аҳамиятга эга бўлган иншоотлар динамикаси масалаларига ҳам кенг ўрин ажратилган.

Назарий жиҳатдан баён этилган усулларнинг амалий тадбики мисол ва масалаларда ўз аксини топган.

Курилиш механикасида яратилган ҳар қандай назарий усуллар тажрибада синаб кўрилади ва ўз навбатида, мавжуд конструкциялар устида олиб борилган тадқиқий тажрибалар асосида янги ҳисоблаш усуллари яратилади. Шунга кўра Курилиш механикаси фани тажрибаний назарий фан саналади.

Хозирги кунда Курилиш механикаси фани бинокорлик ва муҳандислик амалиётида ҳар тарафлама синовдан ўтган кўплаб ҳисоблаш усулларига эга. Бу усуллар сода ва мукаммал бўлиб, шу билан бирга ишончлидир. Бирок бундан Курилиш механикаси ўз вазифаларини тўлиқ бажариб бўлди, деган маъно чиқмайди, албатта. Курилиш механикаси ҳам бошқа фанлар сингари ўсиб бораётган Курилиш саноатининг талабларига мос равишда муттасил ривожланиб, такомиллашиб бормокда.

## 1.2. КУРИЛИШ МЕХАНИКАСИНИНГ РИВОЖЛANIШИГА ОИД МАЪЛУМОТЛАР

Курилиш механикаси ривожланиш жараёнининг дастлабки босқичларида мустақил фан бўлмай, умумий механиканинг таркибий қисмларидан бири бўлган. Бинобарин умумий механиканинг ибтидоий даврлардан бошлаб хозирги давргача бўлган тарихи Курилиш механикасига ҳам бевосита алоқадордир.

10—12 минг йил давом этган неолит (янги тош асри) даврининг охирига келиб Нил, Тигр ва Ефрат дарёлари соҳилларида дастлабки шаҳарлар пайдо бўла бошлайди. Эрамиздан аввалги V — III асрларда дастлабки машина-

сув тегирмони ихтиро килинади. Эрадан аввалги VI аср бошларига келиб, қадимги аждодларимиз ҳозирги замон атамаси билан айтганда гидравлика, курилиш механикаси, статика, динамика ва коинот механикасига оид бошланғич элементар билимлардан хабардор бўлганлар. Масалан, канналлар ўтказиш, экинларни суфориш, сувни тепаликларга олиб чиқиш каби ишларни бажарганлар. Ҳозирги Покистон ҳудудига жойлашган Моҳинжа-Доро шаҳрида эрадан аввалги III асрда сув қувурлари (водопровод) ва ёмғир сувларини четга чиқарадиган канализация тармоғи бўлган. Водопровод тармоғи бундан 2500 йил муқаддам республикамиз ҳудудида жойлашган Афросиёб (қадимги Самарқанд) аҳлини зилол сув билан таъминлаб турган. Қадимда Ўрта Осиёда сув кўтариш учун шодуф-чиғирдан (кудукдан сув чиқарадиган курилма) фойдаланилган. Уша вактларда қальялар, масжид ва мақбаралар, туар жой биноларининг бунёд этилиши қурилиш механикасига оид билимларни чукур билишни, қўлланилаётган конструкция ва материалга танқидий муносабат билдириш, улар ичидан энг мақбулларини танлай билишни такозо этарди. Кўп асрлик тажриба асосида тош, хом ғишт ва пишиқ ғишт мустаҳкамликлари орасидаги тафовут тўла ўрганилди. Баланд биноларнинг мақбул шакллари то-пилди.

Механиканинг назарий асослари дастлаб қадимги Юнонистон ва Мисрда пайдо бўлган. Механикага доир илк ёзма асар Юнонистоннинг машҳур файласуфи, эрамиздан 384—322 йиллар муқаддам яшаб ижод этган буюк олим Аристотель (Арасту)нинг қаламига мансуб. «Механика» сўзини илмий атама сифатида фанга биринчи бор олиб кирган олим ҳам ана шу буюк инсондир. Механиканинг хилма-хил масала ва муаммоларини ҳал этишда қадимги замон олимлари Архимед, Герон, Платон, Аполлоний, Гиппарх, Птолемей, Никомед, Архит ва бошқаларнинг хизматлари бениҳоя каттадир.

Шарқ мамлакатларида механика фани IX — XII асрларда тараккӣ эта бошлади. Бу даврга келиб шарқнинг машҳур олимлари ака-ука Бану Мусолар, Собит ибн Курра, Абу Райдон Беруний, Абу Абдулло ал-Хоразмий, Абу Али ибн Сино, Умар Ҳайём, ал-Ҳазиний, ал-Форобий сингари улкан сиймолар табиий фанлар, хусусан, механика соҳасида баракали ижод этдилар. Дастлабки кезларда улар имл-фан, давр ва ижтимоий ҳаёт тақозоси билан Аристотель, Герон, Архимед, Филопон ва бошқаларнинг

асарларини таржима қилиш ва уларни шарҳлаш билан шуғулланганлар. Шарҳлар кўпинча мустакил асарлар даражасига кўтарилиган. Ватандошимиз Абу Али ибн Сино антик олим Филопоннинг механика соҳасидаги ғояларини давом эттириб, харакатдаги жисмга таъсир эттирилган куч йўқолмайди; агарда жисм харакати қаршиликка учрамаса, у абадий давом этади, деган гояни илгари сурди. Ибн Сино ўзининг «Донишнома» асарида юкларни кўтарадиган ва қўзғатадиган ускуналар ҳакида фикр юритади. Ал-Хоразмий «Фанлар калити» номли китобида механика билимларига алоҳида боб ажратди.

VII — VIII асрлардан бошлаб ислом дини кенг ёйилган мамлакатларда масжид, мадраса, мақбара сингари маҳобатли бинолар курилиши авж олади. Шарқ мамлакатлари, жумладан, Ўрта Осиёда бунёд этилган қадими меъморчилик ёдгорликларида гумбаз, минора, айланма зина, пешток, равок, мукарнас каби мураккаб курилмалар кўлланилган. Табиийки, бундай биноларни куриш учун муҳандис, меъмор ва усталардан катта билим ва маҳорат талаб этилган. Қадими биноларнинг шакл ва ўлчамлари асрлар мобайнинда такомиллашиб борди. Бухорода Минораи Қалон номи билан аталувчи дунёга донғи кетган улкан минора бор. Минора асосининг диаметри 9 м, баландлиги 50 м, курсиси (цоколи) киррадор бўлиб, миноранинг диаметри юкорига караб ингичкалашиб боради. Минора 1127 йилда муҳандис ва меъмор Бако томонидан бунёд этилган. Минора шаклининг қурилиш механикаси нуктаниназаридан мақбул томони шундан иборатки, унинг ҳам вертикал, ҳам горизонтал кучлар (зилзила ва шамол) таъсирига бардошлиги юкори даражададир. Бундан ташқари унинг шакли сикилишга тенг қаршилик кўрсатувчи жисм шаклига яқин келади. Хулоса қилиб айтганда, қадими меъморчилик обидаларини асрлар оша бизнинг давримизгача етиб келиши бобокалон меъморлар ва уста бинокорларнинг амалий қурилиш механикасидан чукур хабардор эканликларидан далолат беради.

Шарқ олимларининг дунё фани олдидағи буюк хизматлари яна шундан иборатки, улар қадимги юонон олимларининг илмий меросини саклаш ва уни ижодий ўрганиш билан бир қаторда уни ўз асарлари билан янада бойитганлар. Ана шу бой мерос кейинчалик турли йўллар билан Фарбий Европага кириб борди.

Механиканинг эндиғи ривожи Ўйғониш даврида Европага кўчди. Бу давр механикаси буюк олимлар Леонардо

да Винчи, Стевин, Коперник, Кеплер, Галилей ва Ньютонларнинг оламшумул асарлари ва ихтиrolари билан бойиди, материаллар қаршилиги ва қурилиш механикасига доир биринчи китоб ўша даврда яратилди. Китобнинг номи «Икки янги фан ҳакида сұхбатлар ва математик исботлар» деб аталиб, муаллифи флеренциялик олим Галилео Галилей эди (1564—1642). 1678 йилда йирик инглиз олими Роберт Гук (1635—1703) ўзининг машхур конунини кашф этди, яъни чўзилиш қанака бўлса, куч ҳам шунака бўлади, деб таърифлайди муаллиф. Ҳозирги иборалар билан айтганда, деформация кучга тўғри пропорционалдир. Ҳозирги замон қурилиш механикасининг деярли барча назария ва усуслари ана шу оддий конунга асосланади.

XVIII асрда саноатнинг кенг ривожланиши илм-фан олдига янги-янги вазифалар кўйди. XIX асрда темир йўлларнинг пайдо бўлиши, кўпприклар ва йирик саноат биноларининг қад кўтариши қурилиш механикасини янада ривожланишига туртки бўлди. Бу ва бундан кейинги даврларда қурилиш механикасининг ривожланишига чет эллик олимлардан Даламбер, Лагранж, Кулон, Ламс, Сен-Венан, Эйлер, Максвелл, Мор, Мюллер-Бреслау ва бошқалар, рус ва совет олимларидан Д. И. Журавский, Ф. С. Ясинский, Н. А. Белелюбский, В. Г. Шухов, В. Л. Кирпичев, Л. Р. Проскуряков, А. Н. Крилов, И. Г. Бубнов, Б. Г. Галёркин, кейинчалик И. М. Рабинович, В. З. Власов, К. С. Завриев, А. Ф. Смирнов, Н. И. Безухов, В. В. Болотин, А. В. Дарков ва бошқалар катта ҳисса кўшдилар. Қурилиш механикасининг оғир юкини кўтаришда ўзбек олимлари ҳам четда турмадилар: улар дунё олимлари билан ёнма-ён туриб фаннинг оғир машаккатларини енгишда ҳамдард бўлдилар.

Назарий механика ва материаллар қаршилиги курсларидан ўзбек тилида биринчи дарслик яратган олим академик М. Т. Ўрозбоев ўзбек механикларининг отаси хисобланади. Устознинг сафдоши академик Х. А. Раҳматуллин умрининг охиригача Москва Давлат Университетида талабаларга сабоқ берди. Ўзбекистонда кибернетиканинг тараққиёти академик В. К. Қобуловнинг номи билан чамбарчас боғлиқдир. Зилзилалар тез-тез содир бўлиб турадиган бизнинг республикамиизда зилзилабардош конструкциялар устида олиб борилётган ишларнинг аҳамияти нақадар катта эканлиги сир эмас. Бу соҳанинг ўткир билимдони академик Т. Р. Рашидовнинг ер ости иншоотла-

ри сейсмик мустаҳкамлиги назариясига кўшган ҳиссаси беҳаддир. Ўзбекистон Фанлар академиясининг академиги Т. Ш. Ширинкуловнинг замин ва пойдеворлар соҳасида олиб борган илмий тадқиқотлари собиқ иттифоқ миқёсида тан олинган ва уларга юксак баҳо берилган эди.

Юқорида номлари зикр этилган устозлар яратган мактаб республикализнинг турли билимгоҳларида ҳар томонлама тарақкий этиб, такомиллашиб бормоқда. Жумладан, Ўзбекистон Фанлар академиясининг Ўрозбоев номли механика ва иншоотлар зилзилабардошлиги институти, Тошкент зонал илмий-тадқиқот ва тажрибавий лойиҳалаш институти (ТашЗНИИЭП), Тошкент темир йўл транспорти институти, Тошкент ва Самарканд меъморчилик-курилиш институтлари олимлари курилиш механикасининг турли соҳаларида баракали ижод қилмоқдалар.

Хозирги даврда йирик ўлчамларга эга бўлган мураккаб курилиш конструкцияларининг янги-янги турлари кўпайиб бормоқда. Булар орасида ёнгил вазни фазовий конструкциялар салмоқли ўрин тутади. Мураккаб конструкцияларнинг хисоби ҳам мураккаб бўлади.

Оддий конструкциялар хисобини кўлда бажариш мумкин бўлса, мураккаб конструкцияларнинг хисобини электрон хисоблаш машиналарисиз (ЭҲМ) тасаввур этиб бўлмайди. Шу боисдан эндиликда қурилиш механикасида компьтерлардан фойдаланиш имконини берадиган аналитик усуllibарнинг роли ортиб бормоқда.

Хисоблаш техникасидан кенг фойдаланиш имконини берадиган усуllibардан бири матрица усулидир. Матрица хисобининг тили сонли хисоблаш машиналарига жуда қўл келади. Матрица усулининг афзалликларидан бири шундан иборатки, бунда бир хил матрица амалидан фойдаланиб, турли хил тизимларни хисобласа бўлади.

Истиқболли усуllibардан яна бири чекли элементлар усулидир. (ЧЭУ). Бу усулага кўра яхлит жисм алоҳида чекли элементларга бўлиб чиқилади; бу элементларнинг ўзаро боғланиши алоҳида нукталардаги зўриқишларнинг ўзаро таъсири орқали бурчакларга, фазовий масалаларда эса — параллелепипед ёки тетраэдрларга тақсимлаб чиқилади.

Мазкур дарсликнинг 11 ва 12- бобларида матрицалар назарияси ҳамда чекли элементлар усулига батафсил тўхтаб ўтамиз.

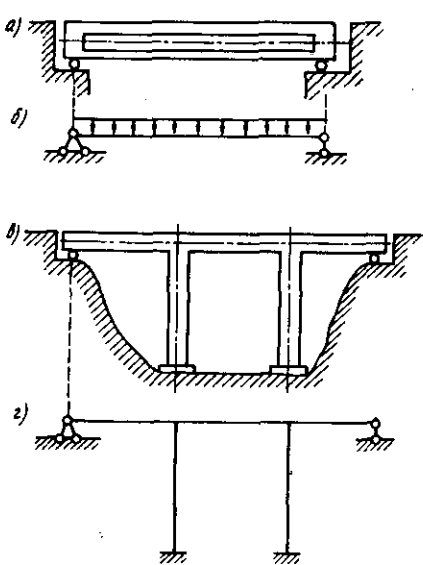
### 1.3. ИНШООТЛАР ВА УЛАРНИНГ ХИСОБЛАШ ТАРХЛАРИ

Муҳандислик иншоотлари одатда стержень, балка, пластина, кобик ва ҳажмий жисмлар сингари турли конструктив элементларни тегишили равишда ўзаро биритириш йўли билан ҳосил қилинади. Демак, яхлит иншоот алоҳида элементлардан ташкил топган мураккаб система ҳисобланади.

Иншоотларни ҳисоблаганда, айрим элементларнинг ўлчам ва шаклларини, улар орасидаги боғланишни аник хисобга олиш назарий жиҳатдан ё имкони йўқ, ё ўта мураккаб ишдир. Шунинг учун қурилиш механикасида бошқа фанлардаги сингари илмий абстракция усулидан фойдаланиб, мавжуд иншоот ҳисоблаш тарҳи билан алмаштирилади.

Ҳисоблаш тарҳи — иншоотнинг соддалаштирилган тасвири бўлиб, унда юк таъсиридаги иншоотнинг асосий кўрсаткичлари мужассамлашган бўлади. Ҳисоблаш тархларида стерженлар — ўклар билан, пластиналар — ўрта сиртлар билан, кўндаланг кесимлар — юза ва инерция моментларининг сон кийматлари билан, реал

таянчлар идеал таянчлар билан алмаштирилади; юклар ўқларга қўйилган деб фараз этилади ва ҳ.к. Иншоотлар хисоби ана шундай ҳисоблаш тархлари орқали амалга оширилади.



1.1-расм

1.1-расмда бир ораликли кўприк (а) ҳамда балка деб аталувчи унинг ҳисоблаш тархи (б) тасвирланган. 1.1-расм, в-да уч ораликли кўприк ҳамда рама деб аталувчи унинг ҳисоблаш тархи (г) берилган. Йўл копламасининг вазни ҳамда кўприкнинг

хусусий оғирлиги балкага текис ёйик куч сифатида таъсири этади. Балкада ташки кучлар ва харорат таъсирида бўйлама кучлар хосил бўлмаслиги учун унинг таянчларидан бири қўзғалувчан, иккинчиси қўзғалмас қилиб ишл анади.

Иншоотнинг ҳисоблаш тарҳини танлаш мураккаб, айни пайтда, муҳим масалалардан биридир. Ҳисобнинг сифати, яъни унинг аниқлиги кўп жиҳатдан, ҳисоблаш тарҳининг қандай танланishiга боғлиқ.

Агар ҳисоб нотўғри танланган ҳисоблаш тарҳи бўйича бажарилган бўлса, у ўта аник усууллар билан ҳисобланган тақдирда ҳам тўғри натижа бермайди.

Маълумки, стержень ва пластиналар иншоотнинг асосий элементлари ҳисобланади. Кўндаланг кесим ўлчамлари узунликка нисбатан анча кичик бўлган элемент сурʼе нотоғри деб аталади. Бир ўлчами (қалинлиги) колган икки ўлчами (узунлиги ва эни)га нисбатан анча кичик бўлса, пластина деб аталади. Эгри ўқли пластина қобик (оболочка) деб аталади. Булардан ташқари ҳисоблаш тарҳлари ичидан ҳам жисмлар деб аталувчи элементлар ҳам учрайди. Бундай элементларнинг уч ўлчами бир-бирига яқин бўлади. Бунга пойdevор блоклари, тиргак деворлар мисол бўла олади.

Алоҳида элементларнинг жойлашув тартибига қараб иншоотлар ясси ва фазовий системаларга бўлинади. Барча стерженларнинг ўзлари бир текисликда жойлашган бўлса, бундай иншоот ясси система деб аталади. Акс ҳолда система фазовий бўлади. Ясси иншоотлар мустақил кўринишда камдан-кам учрайди. Кўпинча улар ҳисобни соддалаштириш максадида фазовий системалардан ажратиб олиниди. Ясси системани фазовий системадан ажратиб олиниши ҳисоб аниқлигини пасайтиради. Бироқ муҳандислик амалиётида баъзан шундай қилишга тўғри келади.

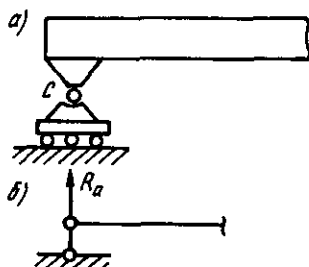
#### 1.4. ТЯЯНЧЛАР ВА ЮКЛАР

Иншоотнинг пойdevор ёки замин билан биринккан қисми таянч деб аталади. Таянчлар уч хил бўлади: шарнирли қўзғалувчи таянч, шарнирли қўзғалмас таянч, шарнирсиз қўзғалмас таянч.

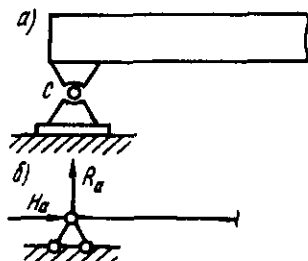
1.2-расмда шарнирли қўзғалувчи таянчнинг конструкцияси (а) ва унинг содда тасвири (б) берилган;

бунда стержень шарнир (с) атрофида айланы олади, горизонтал йўналишда қўзғала олади; биргина вертикал реакция вужудга келади.

1.3-расмда шарнирли қўзғалмас таянчнинг конструкцияси (а) ва тасвири (б) берилган; бу ерда стержень шарнир (с) атрофида айланы олади, бироқ горизонтал йўналишда қўзғалмасдир. Бундай таянчда ҳам горизонтал, ҳам вертикал реакциялар вужудга келади.



1.2- расм



1.3- расм

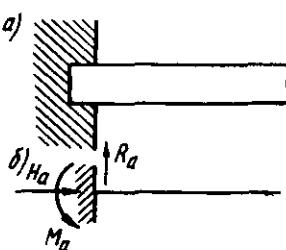
1.4-расмда шарнирсиз қўзғалмас таянчнинг конструкцияси (а) ва содда тасвири (б) берилган бўлиб, бунда стержень учи таянчга мустаҳкам биринтирилган; стержень горизонтал йўналишда қўзғолиш ёки таянч кесими атрофида айланиш имконига эга эмас. Бундай таянчда учта реакция ( $R_a$ ,  $H_a$ ,  $M_a$ ) вужудга келади.

Иншоотга таъсир этадиган ташки кучлар юклар деб аталади. Юклар таъсир этиш муддати, таъсир этиш усули, вазифаси ва бошка белгиларга қараб бир неча турга бўлинади.

Юклар иншоотга қўйилиш вақти (муддатига) қараб статик ва динамик юкларга бўлинади. Статик юклар

иншоотга зарбсиз аста-секин қўйилади; юкнинг қиймати нолдан бошлаб охирги қийматига қадар бир текисда ортиб боради. Динамик юклар иншоотга бирданига қўйилади ёки вақт ўтиши билан қиймат ва йўналишини ўзгартириб туради.

Қўйилиш усулига қўра ёйик ва ийғик (тўпланган) юклар бўлади.



1.4- расм

Ейик юк иншоот сирти ёки узунлиги бўйлаб ёйилган бўлади. Узунлик бўйлаб ёйилган юк интенсивлик билан ўлчанади. Интенсивлик деганда узунлик бирлигига тўғри келадиган юк мидори тушунилади ва у  $\text{kN}/\text{m}$  билан ўлчанади. Агар юк сирт бўйлаб ёйилган бўлса,  $\text{kN}/\text{m}^2$  билан ўлчанади.

Ингик юк деганда бир нуктага тўпланган куч тушунилади. Аслида бундай юклар реал ҳолда камдан-кам учрайди. Ҳисоб ишларини соддалаштириш учун кўпинча ёйик юклар ингик куч ҳолига келтириб олинади, яъни маълум бир нуктага тўпланади. Ҳозирда амалда бўлган ҳалқаро ўлчам бирликлари тизими (СИ) бўйича кучнинг ўлчам бирлиги ньютон ( $\text{Н}$ ) дир. Эслатиб ўтамиш:  $1 \text{ кгк} \approx 9,81 \text{ Н}$ .

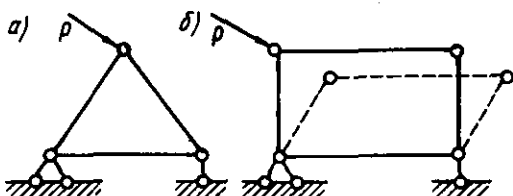
Вазифасига кўра юклар доимий, мувакқат ва қўзғалувчан бўлади. Иншоотга доим таъсир этиб турувчи юк (масалан, хусусий оғирлик) доимий юк ҳисобланади. Мувакқат юк иншоотга маълум даврларда таъсир этади (масалан, шамол ва кор таъсири, турли ускуна ва жиҳозлар ва х. к.). Қўзғалувчан юкларга транспорт воситалари мисол бўла олади.

## 1.5. СТЕРЖЕНЛИ СИСТЕМАЛарНИНГ ГЕОМЕТРИК ЎЗГАРМАСЛИК ШАРТЛАРИ

Курилиш конструкцияларининг аксарияти ҳисоблаш чизмаларида стерженлардан ташкил топади (балка, ферма, рама ва х. к.). Алоҳида стерженларнинг тугунларда ўзаро биректириш йўли билан ҳосил қилинган курилмалар стерженили системалар деб аталади.

Ҳар қандай иншоот, яъни стерженили система геометрик ўзгармас бўлиши лозим. Бунинг маъноси шуки, ҳар қандай бино ва иншоот бунёд этилгандан кейин ўзининг дастлабки геометрик шаклини ҳеч оғишмай саклаб туриши керак. Бинокорликда геометрик ўзгарувчан системалар қўлланмайди, чунки бундай системалар деформацияланмаган ҳолда ўз шаклини кескин ўзгартиради. Геометрик ўзгармас системалар эса ўз шаклини стерженларнинг деформацияланиши эвазига ўзгартиради.

1.5-расмда учбурчакли (а) ва тўртбурчакли (б) иккита стерженили система тасвирланган бўлиб улардан бири геометрик ўзгармас, иккинчиси ўзгарувчандир.



1.5- расм

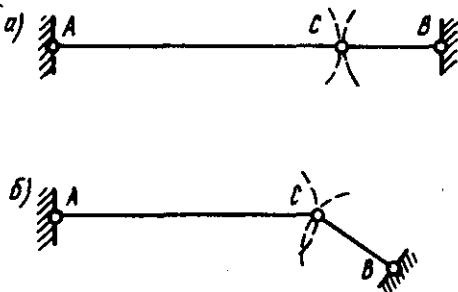
Учбуручакли системанинг шакли стерженлар деформация бергандагина ўзгаради, акс ҳолда ўзгаришсиз тураверади. Шунинг учун у геометрик ўзгармас система саналади. Тўртбуручакли система эса ўз шаклини осонгина ўзгартиради, бунда стерженлар дастлабки узунлигини саклаб колади, яъни деформацияланмайди. Демак, бу геометрик ўзгарувчан система дир.

Хулоса килиб айтганда, ўзининг геометрик шаклини алоҳида стерженларнинг деформацияланиши ҳисобига ўзгартирадиган системалар геометрик ўзгармас системалар деб аталади.

Учбуручак система энг оддий геометрик ўзгармас система ҳисобланади. Хўш, мураккаб шаклга эга бўлган геометрик ўзгармас системалар қандай хосил килинади? деган савол туғилади. Бу саволга жавоб беришга уриниб кўрамиз.

Бунинг учун аввал оний ўзгарувчан система билан танишиб чиқамиз.

Бир ўқ устида ётувчи икки стержень ва уч шарнирдан ташкил топган система билан танишиб чиқайлик (1.6- расм, а).



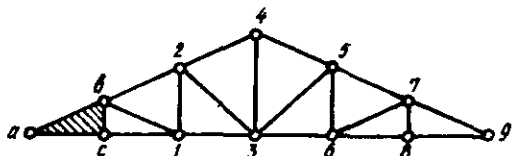
1.6- расм

Агар икки стерженни бир-бирига уловчи шарнир С ни йўқ деб фараз қилсак, АС ва ВС стерженлари шаклда кўрсатилган ёйлар бўйича қўзғалиши мумкин. Бунда ҳар иккала ёй С нуктасида умумий уринмага эга бўлади. Бинобарин, стерженлардан бирига тегишли бўлган С нуктаси АВ чизигига тик йўналишда жуда қисқа масофага кўчса, иккинчи стержень бунга қаршилик кўрсата олмайди. Демак, бу система геометрик ўзгарувчан экан, чунки системанинг шакл ўзгариши стерженларнинг деформациясиз амалга ошайпти. Бироқ бу системанинг геометрик ўзгарувчанлиги бир онликдир, чунки С нуктаси жуда қисқа масофага кўча олади. С нуктасининг кўчишини катталаштириш учун, яъни икки стерженли системанинг шакл ўзгартиришини янада давом эттириш учун стерженларни деформацияланишга мажбур этиш лозим бўлади. Ўз шаклини бу йўсинда ўзгартирадиган система геометрик ўзгармас бўлади. Шунинг учун ҳам бир ўқ устида ётувчи икки стержень ва уч шарнирдан ташкил топган системалар они й ўзгарувчан системалар деб аталади.

Агар икки стержень ва уч шарнир бир ўқ устида ётмаса, у ҳолда ёйлар умумий уринмага эга бўлмайди (1.6-расм, б). С нуктаси бу системада кичик бир масофага кўчиши учун стерженлар деформацияланishi лозим бўлади. Бундай системанинг геометрик ўзгармас бўлишини юкорида кўриб ўтдик.

Демак, геометрик ўзгармас система ҳосил қилиш учун янги қўшиладиган тугун ва уни дастлабки система билан боғловчи икки стержень бир ўқ устида ётмаслиги лозим экан. Геометрик ўзгармас система ҳосил қилишнинг асосий коидаси ана шундан иборат.

Шу коида асосида геометрик ўзгармас стерженли система ферма ҳосил қилиш тартибини кўриб чиқайлик (1.7-расм).



1.7-расм

Дастлабки геометрик ўзгармас система асос сифатида энг оддий система  $abc$  учбуручагини қабул қиласиз. Бу

учбурчакка бирин-кетин икки стержень оркали янги тугунларни қўшиб борамиз. Тугунларни қўшиш тартиби чизмада ракамлар билан кўрсатилган. Эътибор беринг: ҳар бир янги тугун ва икки стержень бир ўқ устида ётмайди. Шу тартибда ҳосил килинган ферма ўзгармас бўлади.

Текшириш учун тугунларни ва уларга туташган икки стерженни тескари тартибда бирин-кетин ташлаб юборамиз. Агар ташлашлар охирида учбурчакли система қолса, у ҳолда берилган система геометрик ўзгармас бўлади. Бизнинг мисолда айнан шундай: тугунларни 9- тугундан бошлаб бирин-кетин ташлаб юборсан, охирида  $abc$  учбурчаги қолади. Демак яхлит ферма геометрик ўзгармас система экан.

Энди стерженли системаларнинг геометрик ўзгармаслик шартларини формула оркали ифода этишга уриниб кўрамиз.

Геометрик ўзгармас оддий ферма стерженлари сонини  $S$ , тугунлари сонини  $K$  деб белгиласак, стерженлар сони билан тугунлар сони орасидаги боғланишни қўйидаги тартибда ифодаласа бўлади: асосий учбурчак учта тугун ва учта стерженга эга: бунга келиб қўшилувчи ҳар бир янги тугун сон жиҳатдан ( $K - 3$ ) га teng бўлиб, ҳар бир тугунга иккитадан стержень туташган бўлади. Натижада ферма стерженларининг умумий сони қўйидагича бўлади:

$$S = 3 + 2(K - 3)$$

ёки

$$S = 3K - 3. \quad (1.1)$$

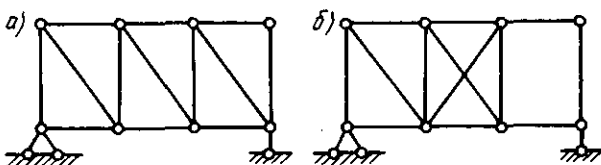
Бу ерда қўйидаги уч ҳол учраши мумкин:

1)  $S < 2K - 3$ , бунда система геометрик ўзгарувчан, статик аниқ бўлади; чунки стерженлар сони талаб этилган сондан кам;

2)  $S = 3K - 3$ , бунда система геометрик ўзгармас, статик аниқ бўлади; системадаги стерженлар сони талаб даражасида, ортиқ ҳам эмас, кам ҳам эмас;

3)  $S > 2K - 3$ , бунда система геометрик ўзгармас, статик ноаниқ бўлади; чунки стерженлар сони керагидан ортиқча.

Кўриб ўтилган уч ҳолдан биринчиси бинокорлик учун ярамайди, қолган икки ҳол қурилиш конструкцияларини қаноатлантиради. Чунки иншоотлар статик аниқ ёки



1.8- расм

ноаниклигидан қатъи назар геометрик ўзгармас бўлиши даркор.

Бироқ стерженли системанинг формулани қаноатлантириши масаланинг бир томони холос. Масаланинг иккинчи томони ҳам бор: системанинг геометрик ўзгармаслигини таъминлашда унинг тузилиши ҳам катта роль ўйнайди. Масалан, 1.8-расмда стерженлари сони формулани қаноатлантирадиган иккита ферма тасвиранган. Формулага кўра ҳар иккалови ҳам геометрик ўзгармас система бўлиши керак. Бироқ ферманинг тузилишига кўра улардан бири (а) геометрик ўзгармас, иккинчиси (б) геометрик ўзгарувчандир. Иккинчи ферманинг охирги панели геометрик ўзгарувчан тўртбурчакли системадан ташкил топғанлиги сабабли у геометрик ўзгарувчандир.

### 1.6. СТЕРЖЕНЛИ СИСТЕМАЛАРНИНГ ЭРКИНЛИК ДАРАЖАЛАРИ

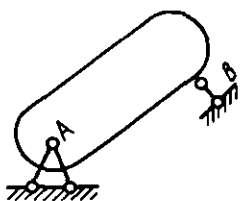
Нукта ёки системанинг ҳолатини белгиловчи геометрик параметрлар сони эркинлик даражаси деб аталади.

А нуктасининг ҳолатини  $x$  ва  $y$  параметрлари белгилайди (1.9-расм, а). Демак нуктанинг эркинлик даражаси иккига teng.

Ясси диск (масалан, фанер парчаси)нинг эркинлик даражасини қўриб чиқамиз (1.9-расм, б). Дискнинг ҳолатини белгиловчи геометрик параметрларни белгилаш учун диск сиртида АВ кесмасини ўtkазамиз. Бу кесманинг



1.9- расм



1.10-расм

холатини  $x$ ,  $y$ ,  $\phi$  параметрлари орқали билишимиз мумкин. Ҳемак, АВ кесмасининг эркинлик даражаси учга тенг. АВ кесмасининг холатини белгиловчи параметрлар ( $x$ ,  $y$ ,  $\phi$ ) дискнинг холатини ҳам белгилайди, чунки кесма диск сиртида ётибди. Бундан дискнинг эркинлик даражаси ҳам

учга тенг бўлади, деган хуоса келиб чиқади. Бунинг маъноси шуки, диск уч йўналишда эркин ҳаракат қиласи: вертикал ва горизонтал йўналишларда кўчиши ҳамда бирор нуктага, масалан, А нуктасига нисбатан айланishi мумкин.

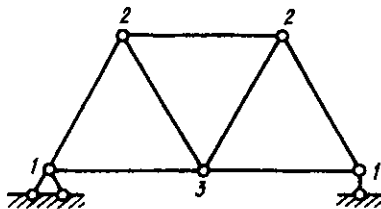
Диск ёки стерженнинг эркинлик даражасига чек қўядиган ҳар кандай курилма боғланиш деб аталади. Шарнирлар ва таянч стерженлари боғланиш ҳисобланади. Ҳар бир шарнир иккита, ҳар бир таянч стержени эса битта эркинлик даражасига чек қўяди.

Яхлит бир диск олайлик. Агар унга ҳеч қандай боғланиш қўймасак, унинг эркинлик даражаси учга тенг бўлишини юкорида кўриб ўтдик. Энди дискка А шарнирини қўямиз (1.10-расм) (стол устида ётган фанера парчасига бир дона мих қоқамиз, дегандай гап). Бу билан дискнинг иккита эркинлик даражасига чек қўйилади (фанера икки йўналишда ҳаракат қилиш имкониятидан маҳрум бўлди, дегандай гап). Бироқ диск А шарнири атрофида айлана олади. Агар дискка яна бир боғланиш — таянч стержени В ни қўйсак, диск, айланиш имкониятидан ҳам маҳрум бўлади.

Мана шу мулоҳазалар асосида стерженили система-ларнинг эркинлик даражасини аниқлашга доир формулани ёза оламиз. Агар системанинг эркинлик даражасини  $W$ , дисклар сонини  $D$ , шарнирлар сонини  $Ш$  ва таянч стерженлари сонини  $C_t$ , деб олсак, стерженили системанинг эркинлик даражасини аниқлайдиган формула қуйидагича ифодаланади:

$$W = 3D - 2Ш - C_t, \quad (1.2)$$

Бу формуланинг замирида юкоридаги мулоҳаза ётибди, яъни ҳар бир диск учта эркинлик даражасига эга, ҳар бир шарнир иккита эркинлик даражасига чек қўяди ва ҳар бир таянч стержени битта эркинлик даражасига чек қўяди.



1.11-расм

Шарнирлар сонини хисоблашда, улар иккиге — оддий ва мураккаб шарнирларга ажратилади. Икки дискни бирлаштирувчи шарнир оддий, иккидан ортиқ дискни бирлаштирувчи шарнир эса — мураккаб шарнир деб аталади. Шарнирлар сони дисклар сонидан битта кам бўлади, яъни

$$W = D - 1$$

Стерженли системаларнинг эркинлик даражаларини аниқлашда ҳам қуйидаги учта ҳолга дуч келамиз:

1)  $W = 0$ ; бунда система геометрик ўзгармас, статик аниқ бўлади.

2)  $W > 0$ ; бунда система геометрик ўзгарувчан, статик аниқ бўлади;

3)  $W < 0$ ; бунда система геометрик ўзгармас, статик ноаник, ортиқча боғланишларга эга бўлади.

**Мисол:** Яси ферманинг эркинлик даражасини аниқлаш керак (1.11-расм).

Дисклар сони  $D = 7$ ;

Шарнирлар сони  $W = 9$  (шаклда шарнирлар сони рақамлар билан кўрсатилган);

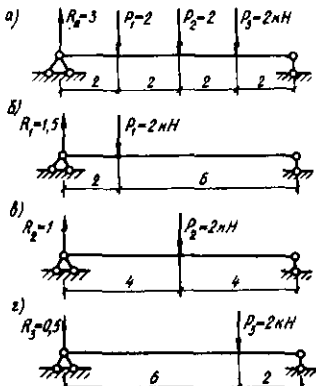
Таянч стерженлари сони  $C_t = 3$ ; эркинлик даражаси  $W = 3 \cdot 7 - 2 \cdot 9 - 3 = 0$ ;

Демак, ферма геометрик ўзгармас, статик аниқ экан.

### 1.7. КУЧЛАР ТАЪСИРИНИНГ МУСТАҚИЛЛИГИ ҚОИДАСИ ВА УМУМЛАШМА ЭПЮРАЛАР

Курилиш механикасида катта аҳамиятга эга бўлган бу қоида қуйидагича таърифланади:

Агар иншоотга бир неча кучлар қўйилган бўлса, уларнинг биргаликдаги таъсиридан ҳосил бўлган натижага ҳар бир кучнинг алоҳида таъсиридан ҳосил бўлган натижалар йиғиндисига teng бўлади.



1.12- расм

чизмаларда берилган (1.12- расм, б, в, г). Реакциянинг тўлиқ киймати алоҳида топилган реакциялар кийматларининг йигиндисига тенг бўлади:  $R_a=R_1+R_2+R_3=1,5+1+0,5=3\text{kN}$ .

Шундай қилиб, балкага кучлар бир йўла қўйилгандаги реакциянинг киймати кучлар алоҳида-алоҳида қўйилган ҳолдаги реакциялар кийматларининг йигиндисига тенг чиқди. Кучлар таъсирининг мустақиллиги коидаси деган иборанинг маъноси ана шундан иборат.

Кучлар таъсирининг мустақиллиги коидаси эластиклик чегарасида қўлланилади. Реакция ва ички кучларни аникланашда иншоот деформацияланмаган деб фараз этилади. Қўлланиладиган тенгламалар чизиксиз бўлса, мазкур усулдан фойдаланиб бўлмайди.

**Умумлашма эпюралар.** Маълумки, курилиш конструкцияларига турли хил юклар таъсир этади. Ҳар бир юкнинг ўзига яраша эпюралари бўлади. Шундай ҳоллар бўладики, маълум бир кесимда энг катта момент бир хил юкдан ҳосил бўлса, бошқа кесимда бошқа юкдан ҳосил бўлади. Мұхандисни эса максимал зўриқишиларни аниклаш максадида умумлаштирилган эпюралар курилади.

Кўпинча иншоотга доимий ва мувакқат юклар таъсир этади. Доимий юклар иншоотга муттасил равишда таъсир этиб, мувакқат юкларнинг таъсир этиш вақти, киймати ва ўрни ўзгариб туради. Бу эса ўз навбатида иншоот кесимларидаги зўриқишиларнинг ўзгаришига олиб келади. Бундай ҳолларда зўриқишиларнинг максимал ёки минимал

Бу коиданинг моҳиятини ойдинлаштириш учун оддий бир мисол келтирайлик. Балканинг чап таянч реакцияси  $R_a$  ни (1.12- расм, а) икки хил йўл билан аниқлаймиз. Биринчи усул бўйича  $R_a$  таянч реакцияси учала куч ( $P_1; P_2; P_3$ ) таъсирида бир йўла аникланади:  $R_a=3\text{kN}$  чиқади. Иккинчи усулга кўра кучлар навбатма-навбат қўйилади ва ҳар бир кучга мос равища реакциялар аникланади. Гопилган реакцияларнинг киймати

Кийматларини аниклаш учун доимий ҳамда мувакқат юкларнинг турли варианatlари учун алоҳида эпюралар Қурилади. Доимий юқдан ҳосил бўлган зўриқиш билан мувакқат юқдан ҳосил бўлган мусбат зўриқишиларнинг йиғиндиси  $S_{\max}$  ни, яъни тўлик максимал зўриқишини, манфий зўриқишилар йиғиндиси эса  $S_{\min}$  ни, яъни тўлик минимал зўриқиши беради;

$$\begin{aligned} S_{\max} &= S_{\text{доим}} + \Sigma (+S_{\text{муб}}) \\ S_{\min} &= S_{\text{доим}} + \Sigma (-S_{\text{муб}}) \end{aligned} \quad (1.3)$$

Бу ерда  $S_{\text{доим}}$  — доимий юқдан ҳосил бўлган зўриқиш;  $\Sigma (+S_{\text{муб}})$ ,  $\Sigma (-S_{\text{муб}})$  — мувакқат юклардан ҳосил бўлган мусбат ва манфий зўриқишилар.

Зўриқишиларнинг аникланган қийматларини ягона масштабда бир ўқ устига жойлаштирилади ва туташ чизик билан туташтирилади. Ҳосил бўлган график умлашма<sup>1</sup> эпюра деб аталади. Мазкур эпюрага доир мисол статик ноаник узлуксиз балкалар ҳисобида берилган.

Қурилиш конструкцияларини ҳисоблашда (масалан, арматуранинг кесимини танлашда) эпюрадан мутлак қиймати катта бўлган момент танлаб олинади; конструкциянинг мустаҳкамлиги ана шу момент бўйича текширилади.

## 2- боб

### ТАЪСИР ЧИЗИҚЛАРИ НАЗАРИЯСИ

#### 2.1. ТАЪСИР ЧИЗИҚЛАРИ ҲАҚИДА ТУШУНЧА

Замонавий иншоотларнинг қўзғалувчан юклар таъсирига бардошлилигини аниклаш катта аҳамиятга эгадир.

Маълумки, кўприк, эстакада, кран ости балкалари сингари қатор муҳандислик иншоотларини ҳисоблашда биз қўзғалувчан юкларга дуч келамиз.

Иншоотларнинг қўзғалувчан юклар таъсирига бардошлилигини аниклашда, асосан, қуйидаги икки масала ҳал этилади:

<sup>1</sup> Русчада бу атама «огибающая» ёки «объемлющая» деб юритилади. Бу сўзларнинг ўзбек тилига айнан таржимаси атама маъносига унча тўғри келмаганлиги сабабли асли маъносига яқинроқ термин кабул килдик.

1. Харакатланувчи юклар системаси таъсирида иншоот қисмларида ҳосил бўладиган зўриқишилар, иншоотнинг таянч реакциялари, эгувчи моментлари, кўндаланг ва бўйлама кучлари, ферма стерженларидаги зўриқишилар ва х. к. аниқланади.

2. Харакатланувчи юклар системаси таъсирида иншоот қисмларида ҳосил бўладиган энг катта зўриқишилар аниқланади, яъни харакатланувчи юклар системасининг иншоотда энг нобоб жойлашуви масаласи ҳал этилади.

Иншоот бўйлаб бирлик куч ( $P=1$ ) харакатланганда, иншоот қисмларидаги куч омилларининг ўзгаришини ифодаловчи график таъсир чизиклари деб аталади. Куч омиллари деганда ҳосил бўладиган ички кучлар ( $M$ ,  $Q$ ,  $N$ ) ва таянч реакциялари тушунилади.

Иншоот бўйлаб харакатланувчи бирлик кучнинг ҳолатини белгиловчи абциссани  $x$  билан, иншоотдаги зўриқиши  $S$  билан белгиласак, у ҳолда зўриқишининг таъсир чизик тенгламаси қўйидагича ифодаланади:

$$S=f(x).$$

Таъсир чизикларини чизишнинг статик ва кинематик усуллари мавжуд.

Статик усул харакатланувчи бирлик куч ( $P=1$ ) нинг ихтиёрий ҳолати учун мувозанат тенгламаларини тузиб, улардан изланаётган зўриқишининг аналитик ифодасини тузишга асосланган.

Бу аналитик ифода ёрдамида зўриқиши  $S$  нинг ўзгариш графиги чизилади.

Кинематик усул ёрдамида таъсир чизикларини қуриш мумкин бўлган кўчишлар қоидасига асосланади.

## 2.2. ОДДИЙ БАЛКАЛАРДА ЗЎРИҚИШЛАРНИНГ ТАЪСИР ЧИЗИҚЛАРИ

Агар иншоотга қўзғалувчи кучлар тизими кўйилган бўлса, уларни аввало харакатланувчи бирлик куч ( $P=1$ ) таъсирига ҳисобланади.

Оддий балкаларга куч омилининг таъсир чизигини қуриш учун бирлик кучни балканинг тегишли нукталарига жойлашириб, бизни кизиқтираётган микдорнинг ўзгариш конунини ифодаловчи тенглама тузилади ва унинг график чизилади.

## Оддий балкаларда таянч реакцияларининг таъсир чизиқлари

Бирлик куч балка бўйлаб ҳаракатланганда, таянч реакцияларининг қай тарзда ўзгаришини кўриб чиқамиз. Бирлик кучни шаклда кўрсатилганидек жойлаштирамиз (2.1- расм).

$R_a$  таянч реакциясини аниқлаш учун В таянчига нисбатан статиканинг мувозанат тенгламасини тузамиз

$$R_a \cdot l - P(l-x) = 0;$$

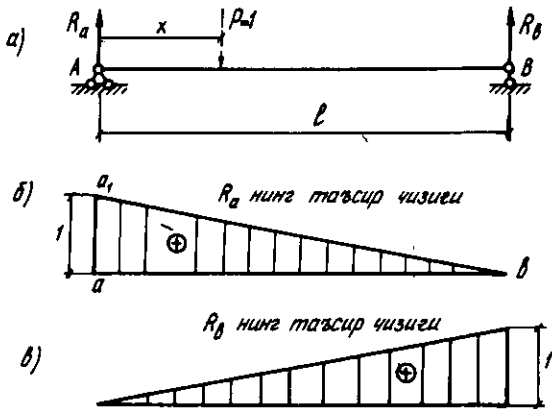
$$R_a = \frac{P(l-x)}{l} = \frac{l-x}{l}. \quad (2.1)$$

Демак, бирлик куч ( $P=1$ ) балка бўйлаб ҳаракатланса,  $R_a$  таянч реакциясининг ўзгариши тўғри чизик бўйлаб содир бўлади. Шаклга кўра  $x$  нолдан  $l$  гача ўзгаради. Тўғри чизикни ўтказиш учун  $x$  га қийматлар берамиз:

$$x=0 \text{ бўлса } R_a=1;$$

$$x=l \text{ бўлса } R_a=0 \text{ бўлади.}$$

Шу икки нукта координаталари ёрдамида  $R_a$  таянч реакциясининг таъсир чизиги курилади (2.1- расм, а).



2.1- расм

А таянчига нисбатан тузилган статиканинг мувозанат тенгламасидан  $R_b$  реакцияси топилади:

$$\Sigma M_A = 0, P \cdot x - R_b \cdot l = 0,$$

$$R_b = \frac{P \cdot x}{l} = \frac{x}{l}. \quad (2.2)$$

Бу ерда  $0 \leq x \leq l$  эканлигини ҳисобга олсак,

$$x = 0, R_b = 0;$$

$$x = l, R_b = 1$$
 бўлади.

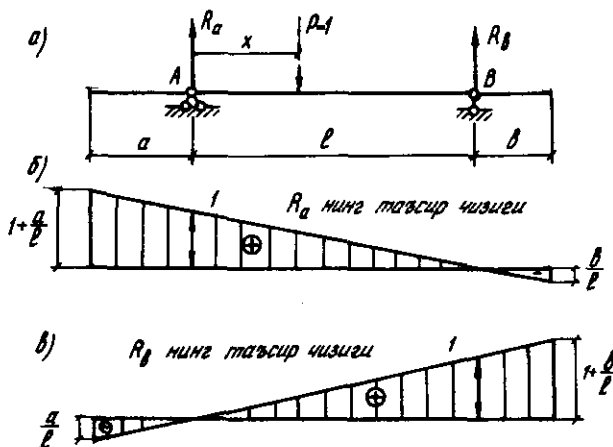
Демак  $R_b$  таянч реакциясининг таъсир чизиги ҳам тўғри чизик тенгламаси оркали қурилар экан (2.1- расм, б).

$R_a$  ва  $R_b$  таянч реакцияларининг таъсир чизиклари мусбат ишорали бўлиб, ординаталари ўлчамсиз микдордан иборатдир.

### Икки консолли балка учун таянч реакциясининг таъсир чизиклари

Икки консолли балка учун (2.2- расм) таянч реакцияларининг таъсир чизикларини қуриш оддий балка учун амалга оширилган усуслар ёрдамида бажарилади.

Масалан, балканинг чап таянч реакцияси  $R_a$  нинг таъсир чизигини қуриш учун мувозанат тенгламасидан фойдаланиб  $R_a = \frac{l-x}{l}$  ни топамиз.



2.2- расм

Бу ерда  $x$  масофа күйидаги тарзда ўзгаради:

$$-a \leq x \leq l+b$$

$x$  га кийматлар берамиз:

$$x = -a, R_a = 1 + \frac{a}{l};$$

$$x = a, R_a = 1;$$

$$x = l, R_a = 0;$$

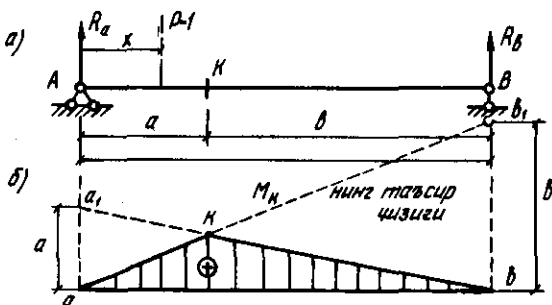
$$x = l+b, R_a = -\frac{b}{l};$$

Бу ординаталар ёрдамида қурилған  $R_a$  нинг таъсир чизиғи 2.2- расм, а, да ифодаланған.  $R_b$  таянч реакциясінің таъсир чизиғи ҳам шу тарзда чизилади (2.2, в- расм).

Демак, консолли балка таянч реакцияларининг таъсир чизиклари оддий балка таянч реакцияларининг таъсир чизиғига асосланған бўлиб, асосий тўғри чизик консол учигача давом эттирилар экан.

### Оддий ва консол балкаларда эгувчи момент ва кўндаланг кучларнинг таъсир чизиклари

Аввало эгувчи момент ва қиркүвчи кучларнинг таъсир чизиклари оддий балка учун қуриб олинади, кейин консолга давом эттирилади. Одатда,  $M$  ва  $Q$  нинг таъсир чизиғи бирор кесим учун қурилади. К кесимдаги эгувчи момент  $M_K$  нинг таъсир чизигини кўрайлик. Кесимгача бўлган масофалар, 2,3, а- расмда ифодаланган.



2.3- расм

Таъсир чизигини куришда мусбат ишорали ординаталар ўқдан юкорига, манфий ординаталар эса ўқдан пастга жойлаштирилади.

Бирлик куч К кесимидан ўнгга ҳаракатланса, у ҳолда чап қисм учун мувозанат тенгламаси қуйидаги кўринишга эга бўлади:

$$M_k = R_a \cdot a = \frac{l-x}{l} \cdot a, \quad (2.3)$$

Демак, эгувчи моментнинг таъсир чизиги  $R_a$  реакцияси га боғлиқ экан, яъни  $R_a$  нинг ординаталарини  $a$  га кўпайтирасак,  $M_k$  нинг таъсир чизиги келиб чиқар экан.

Таъсир чизигини куриш учун А таянч йўналиши бўйича абсцисса ўқига перпендикуляр ҳолатда  $a$  масофаси жойлаштирилади, топилган нўкта ўнг таянч остидаги нукта билан туташтирилади ва шу тўғри чизикка К кесим проекцияланади. Бу ерда  $kb$  масофа эгувчи момент таъсир чизигининг ўнг чизиги дейилади (2.3, в-расм).

Агар бирлик куч К кесимининг чап қисмida ҳаракатланса, у ҳолда кесимнинг ўнг қисми учун мувозанат тенгламаси қуйидагича бўлади:

$$M_k = R_b \cdot b = \frac{x}{l} \cdot b \quad (2.4)$$

Бу ерда ҳам эгувчи моментнинг таъсир чизиги таянч реакцияси  $R_b$  га боғлиkdir, яъни  $R_b$  нинг ординаталарини « $b$ » га кўпайтирасак,  $M_k$  нинг таъсир чизиги келиб чиқади.

Хосил бўлган қийматлар бўйича  $M_k$  нинг таъсир чизигини қурамиз (2.3-расм). Бунинг учун  $R_b$  таянч реакцияси йўналиши бўйича абсцисса ўқига перпендикуляр « $b$ » масофа ўлчаб кўйилади, хосил бўлган нукта  $b$  чап таянч билан туташтирилади ва шу тўғри чизикка К кесим проекцияланади. Хосил бўлган  $ak$  узунлик, эгувчи момент таъсир чизигининг чап чизиги дейилади.

Ҳар икки ўнг ва чап тўғри чизиклар К кесим остида кесишади, чунки  $x=a$  бўлганда,  $M_k^{\text{чап}}=M_k^{\text{юнг}}$  бўлади.

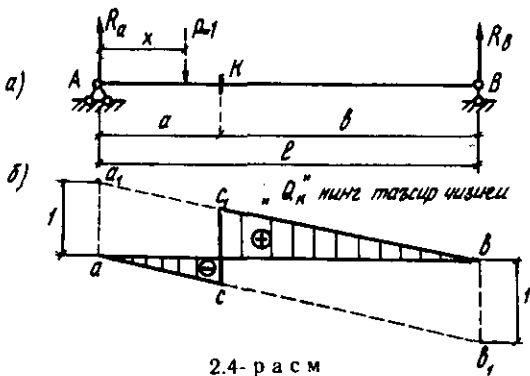
Шундай қилиб,  $akb$  синиқ чизиги К кесимидағи эгувчи моментнинг таъсир чизиги бўлади.

Эгувчи момент таъсир чизигининг ординаталари узунлик ўлчамида, яъни  $m(\text{см})$  да ўлчанади. Эгувчи момент таъсир чизигининг ташки кўриниши эгувчи момент эпюраси билан маълум ўхшашикка эга, лекин шунга қарамай булар орасида кескин фарқ бор. Эгувчи момент

Эпюрасидан фойдаланиб, ташки кучлар таъсирида истаган кесимда ҳосил бўлган эгувчи моментни топа оламиз. Эгувчи моментнинг таъсири чизиги оркали эса маълум бир кесимдаги эгувчи моментнинг қийматини топа оламиз, холос.

Энди кўндаланг кучларнинг таъсири чизигини қуришга ўтамиз.

Балканинг К кесимидағи кўндаланг куч  $Q_k$  нинг таъсири чизигини қуриш учун бирлик куч ( $P=1$ ) нинг икки ҳолатини кўриб ўтамиз (2.4. а-расм).



2.4. расм

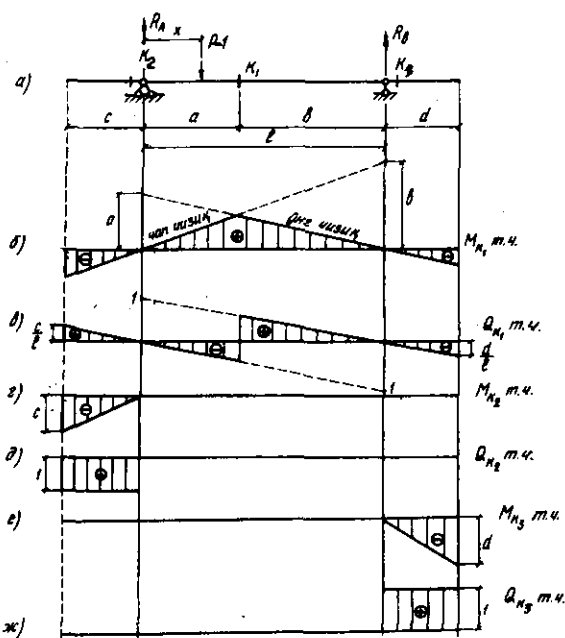
**Биринчи ҳолат.** Бирлик куч К кесимининг чап қисмida ҳаракатланади, деб фараз этайлик, у ҳолда ўнг қисм мувозанат тенгламаси қуйидаги кўринишда ёзилади:

$$\Sigma Y = 0, \quad Q_k^{\text{чап}} = -R_b = -\frac{x}{l}. \quad (2.5)$$

**Иккинчи ҳолат.** Бирлик куч К кесимининг ўнг қисмida ҳаракатланмоқда, деб қабул килинади, у ҳолда чап қисм учун тузилган мувозанат тенгламаси қуйидаги кўринишга эга бўлади:

$$Q_k^{\text{чап}} = R_a = \frac{l-x}{l}, \quad (2.6)$$

$Q_k$  нинг таъсири чизигини қуриш учун чап таянч остига бирор масштабда мусбат бирлик ординатани жойлаштириб, уни ўнг таянч остидаги ноль нуқта билан туташтирамиз, сўнгра ўнг таянч остига манфий бирлик ординатани жойлаштириб, уни чап таянч остидаги ноль нуқта билан туташтирамиз.



2.5- расм

Шу тарзда бир-биригá параллел бўлган чап ва ўнг тўғри чизикларга эга бўлдик. Чап тўғри чизик чап таянчдан К кесимгача, ўнг тўғри чизик эса К кесимидац ўнг таянчгача бўлган ораликларда  $Q_k$  нинг ўзгаришини ифодалайди (2.4- расм, б).

Штрихланган юза  $Q_k$  нинг таъсири чизиги деб аталади.

Кўндаланг кучнинг таъсир чизиклари таянч реакцияларининг таъсир чизиклари каби ўлчамсиз бўлади.

Консол балканинг К кесими учун ички кучлар ( $M_k$  ва  $Q_k$  нинг) таъсир чизиклари қурилиши талаб қилинса, у холда иш оддий балкадагига ўхшаш амалга оширилади. Бунинг учун балканинг таянчи оралигига  $M_k$  ва  $Q_k$  нинг таъсир чизиги қурилади, сўнгра чап тўғри чизик чап консол учигача, ўнг тўғри чизик эса ўнг консол учигача давом эттирилади (2.5- расм, а, б).

Агар кесим балканинг консол қисмида берилса, эгувчи момент ва кўндаланг кучларнинг таъсир чизикларини кўриб ўтамиш.

$K_2$  кесими балканинг чап консолида жойлашган бўлсин (2.5- расм, а).  $M_{k_2}$  нинг таъсир чизигини куриш учун бирлик юкнинг икки ҳолатини қараб чиқамиз.

1. Бирлик куч ( $P=1$ ) кесимнинг чап қисмида харакатланса, у ҳолда

$$M_{k_2}^{\text{чап}} = P(c - x_1) = -(c - x_1),$$

$$x_1 = 0, M_{k_2}^{\text{чап}} = -c,$$

$$x_1 = c, M_{k_2}^{\text{чап}} = 0 \text{ бўлади.}$$

Чап тўғри чизикни ўтказиш учун  $x_1 = 0$  нуктасига  $c$  ординатасини маълум масштабда жойлаширамиз, сўнгра уни  $x_1 = c$  кесимидағи ноль нуқта билан бирлаширамиз (2.5- расм, г).

Бирлик куч  $K_2$  кесимининг ўнг қисмида харакатланса,  $M_{k_2}$  ўнг  $= 0$  бўлади. Демак, ўнг тўғри чизик нолга teng бўлиб, балка ўқининг устида ётади.  $M_{k_2}$  нинг чап ва ўнг тўғри чизиклари  $K_2$  кесими остида кесишади.

$Q_{k_2}$  нинг таъсир чизигини куриш учун ҳам бирлик юкнинг икки ҳолатини текширамиз. Бирлик куч  $K_2$  кесимининг чап қисмида харакатланса, у ҳолда консол қисмнинг мувозанат тенгламаси куйидагича бўлади:

$$Q_{k_2}^{\text{чап}} = -P = -1,$$

$Q_{k_2}$  нинг чап тўғри чизиги консол учидан балканинг абсцисса ўқига параллел бўлади (2.5- расм, д).

Қўзғалувчан бирлик куч  $K_2$  кесимининг ўнг қисмида харакатланса, у ҳолда чап қисмнинг мувозанат тенгламаси  $Q_{k_2}^{\text{уи}} = 0$  бўлади.

Демак, ўнг тўғри чизик нолга teng бўлиб, балканинг ўки устида ётади (2.5- расм, д). Балканинг чап консол қисмида жойлашган  $K_3$  кесими учун  $M_{k_3}$  ва  $Q_{k_3}$  ларнинг таъсир чизиклари юкорида баён этилган тартибда амалга оширилади (2.5- расм, е).

### 2.3. ЗҮРИКИШЛАР ҚИЙМАТИНИ ТАЪСИР ЧИЗИҚЛАРИ ЁРДАМИДА АНИҚЛАШ

Шу бобнинг бошланғич кисмида таъсир чизиқларини курит тартиби билан танишиб ўтдик. Энди шу таъсир чизиқлари ёрдамида зўрикишларнинг (яъни эгувчи момент, кўндаланг куч ва таянч реакцияларининг) қийматини аниклаш масаласига тўхтalamиз.

Қўзғалмас юкларнинг иншоотга йиғик, ёйик ва жуфт куч тарикасида қўйилиши бизга маълум. Кучларнинг ҳар қайси турини алоҳида равишда кўриб чиқамиз.

#### Иншоотга йиғик кучлар тизими қўйилган ҳол

Балкага  $P_1$  кучи таъсир этади, дейлик. Бу ҳолда исталган зўрикиш  $S$  нинг қиймати мазкур куч билан шу куч йўналишида таъсир чизигидан олинган ординатанинг кўпайтмасига тенг бўлади, яъни зўрикишнинг қиймати  $P_1 \cdot y_1$  бўлади.

Агар иншоотга кучлар тизими қўйилган бўлса (2.6-расм, а) кучлар таъсирининг мустақиллиги коидасига кўра тўлиқ зўрикишнинг қиймати куйидаги формула ёрдамида аникланади:

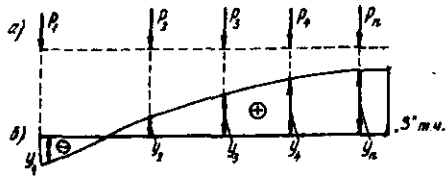
$$S = -P_1 \cdot y_1 + P_2 \cdot y_2 + P_3 \cdot y_3 + P_4 \cdot y_4 + \cdots + P_n \cdot y_n,$$

$$\text{ёки } S = \sum_{i=1}^n P_i \cdot y_i. \quad (2.7)$$

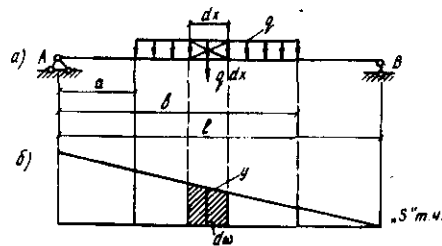
Бу ерда  $y_i$  — таъсир чизигида  $P_i$  куч йўналишидаги ордината.

#### Иншоотга ёйик юк қўйилган ҳол

Иншоотга қўйилган ёйик юдан узунлиги  $dx$  бўлган кичкина бўлакча ажратамиз ва бунга мос келган ёйик



2.6-расм



2.7-расм

юкни элементар йиғик күч  $q(x)dx$  оркали ифодалаймиз (2.7-расм). Элементар күчдан ҳосил бўлган элементар зўрикиш (2.7) формулага асосан қуйидагича аникланади:

$$dx = q \cdot dx \cdot dy. \quad (a)$$

Зўрикишнинг тўлиқ қийматини аниклаш учун (a) тенгликни интеграллаймиз

$$S = \int_a^b q \cdot dx \cdot dy = q \cdot \omega. \quad (b)$$

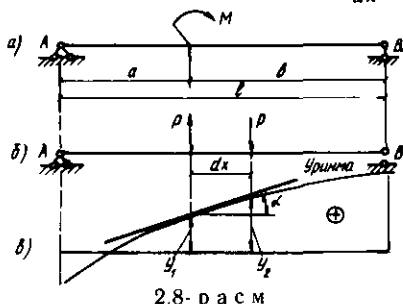
Бу ерда  $\frac{a}{\omega}$  — ёйик юк интенсивлиги;

$\omega$  — таъсир чизигида ёйик юк қўйилган ораликка мос келувчи юза

### Иншоотга жуфт кучлар қўйилган ҳол

Моментдан ҳосил бўлган зўрикиши аниклаш учун момент икки жуфт йиғик кучларга ажратилади (2.8-расм).

$$M = P \cdot dx, \text{ бундан } P = \frac{M}{dx}.$$



2.8-расм

Йиғик күчлар таъсирида вужудга келадиган зўриқишиш (2.7) формулага асосан аниқланади:

$$S = P \cdot y_2 - P \cdot y_1 = P(y_2 - y_1) = P \cdot dy,$$

$$S = \frac{dy}{dx} \cdot M = M \cdot t q \alpha,$$

$$S = M \cdot t q \alpha.$$

Бу ерда  $\alpha$  — момент кўйилган нуктада таъсир чизигига ўтказилган уринма билан абсцисса ўки орасидаги бурчак.

Агар иншоотга бир йўла йиғик куч, ёйик куч ва жуфт күчлар кўйилган бўлса, у ҳолда ҳосил бўлган зўриқишилар микдори таъсир чизиги ёрдамида умумий ҳолда қўйидаги-ча аниқланади:

$$S = \sum_{i=1}^n P_i \cdot y_i + \sum_{i=1}^n q_i \omega_i + \sum_{i=1}^n M_i \cdot t q \alpha_i, \quad (2.8)$$

Бу формуладан фойдаланишда қўйидаги ишора коидасига амал қилинади:

1. Юклар юкоридан пастга йўналган бўлса, улар мусбат деб қабул қилинади.
2. Момент соат стрелкаси бўйича йўналса, мусбат олинади.
3. Таъсир чизигидан олинган ордината  $y_i$  ва юза  $\omega_i$  ўз ишораси бўйича олинади.
4. Агар  $\alpha$  бурчак соат стрелкасига тескари йўналишда ортиб борса, мусбат бўлади.

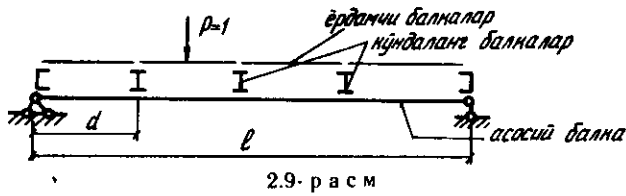
#### 2.4. ЮҚ ТУГУНЛАР ОРҚАЛИ УЗАТИЛГАНДА ТАЪСИР ЧИЗИҚЛАРИНИ ҚУРИШ

Бинокорликда шундай иншоотлар учрайдики, ташки юклар асосий балкага бевосита кўйилмай, балки бошқа ёрдамчи балкалар орқали таъсир этади (2.9- расм).

Шаклдан кўриниб турибдики, ташки юклар ёрдамчи бўйлама балкачалар бўйлаб харакатланмоқда. Бундай системаларда ташки юклар асосий балкага тугунлар орқали узатилади.

Кўндаланг балканинг асосий балкага таянган жойи тугун, икки қўшни тугун оралиғи панел узунлиги деб аталади ва  $d$  ҳарфи билан белгиланади (2.9- расм).

Энди ташки юқ ёрдамчи балка бўйлаб харакатланниб, асосий балкага тугунлар орқали таъсир этишини кўриб ўтамиз (2.10- расм).



Харакатланувчи бирлик куч 2 — ва 3 — тугунлар орасида жойлашган дейлик: агар куч 2 — таянчдан  $x$  масофада ва 3 — таянчдан  $d - x$  масофада жойлашган бўлса, у ҳолда унинг иккинчи ва учинчи тугунлардаги ташкил этувчи қийматлари куйидаги формула билан ифодаланади (2.10- расм):

$$P_2 = 1 \cdot \frac{d-x}{d} \text{ ва } P_3 = 1 \cdot \frac{x}{d}.$$

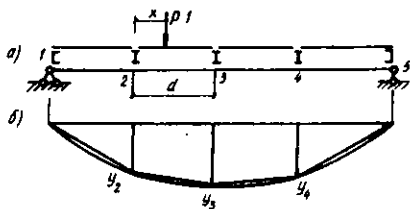
2.10- расм, б да ифодаланган эгрилик бирлик кучнинг асосий балка бўйлаб харакатланишидан ҳосил бўлган таъсир чизиги десак, у ҳолда

$$S = P_2 \cdot y_2 + P_3 \cdot y_3 = \frac{d-x}{d} \cdot y_2 + \frac{x}{d} \cdot y_3 \quad (2.9)$$

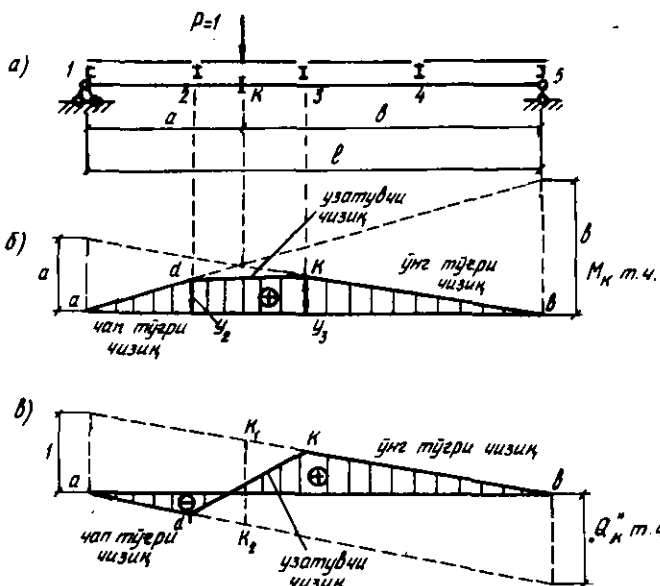
бўлади.

Зўрикиш  $S$  нинг қийматини аниқлаш учун тузилган бу тенглик тўғри чизик тенгламасини ифодалайди, шу сабабли  $y_2$  билан  $y_3$  ўзаро тўғри чизик ёрдамида туташтирилади (2.10- расм, б).

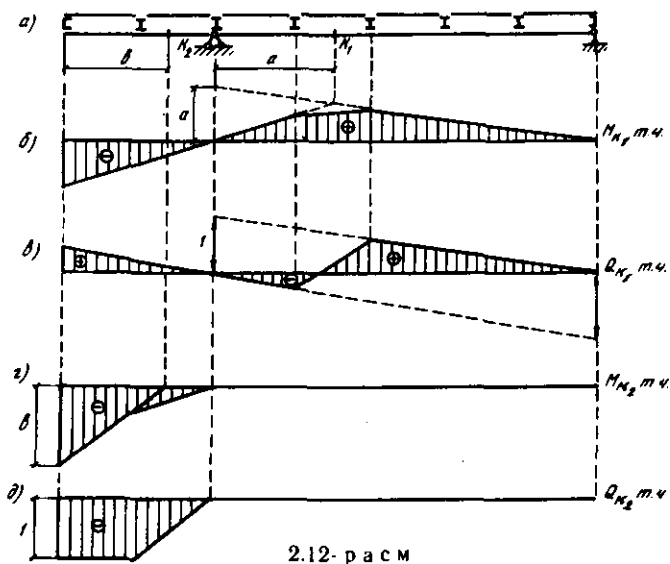
Демак, юк асосий балкага тугунлар орқали таъсир этганда, бирор кесимнинг таъсир чизигини куриш учун, аввало, ёрдамчи балкаларни эътиборга олмасдан, балки оддий балканинг шу кесими учун тегишли таъсир чизиклари курилади. Қейин чап ва ўнг тугунлар тегишли тўғри чизикларга проекцияланади. Топилган нукталар



2.10- расм



2.11-расм



2.12-расм

түгри чизик ёрдамида туташтирилади (2.11- расм, а, б, в).

Бу расмда  $akb$  асосий балканинг К кесими учун курилган эгувчи момент таъсир чизиги;  $adkb$  юк тугунлар орқали таъсир этган ҳол учун эгувчи момент таъсир чизиги (2.11- расм, б);  $ak_2k_1b$  — оддий балканинг К кесими учун курилган киркувчи кучнинг таъсир чизиги (2.11- расм, в);  $adkb$  — юк асосий балкага тугунлар орқали таъсир этганда ҳосил бўлган киркувчи кучнинг таъсир чизиги (2.11- расм, в).

2.12- расмда консолли балкага ташки юк тугунлар орқали таъсир этган ҳол учун  $M$  ва  $Q$  нинг таъсир чизиклари тасвирангган. 2.12- расм, а да берилган балка акс этган; б ва в да  $K_1$  кесим учун, г ва д да эса  $K_2$  кесим учун  $M$  ва  $Q$  нинг таъсир чизиклари чизилган.

Шундай килиб, юк асосий балкага тугунлар орқали узатилганда, зўрикишларнинг таъсир чизиклари Қайдаги тартибда курилади:

1. Зўрикишларнинг таъсир чизиги, аввало, юк тугунлар орқали узатилишини эътиборга олмаган ҳолда асосий балка учун курилади.

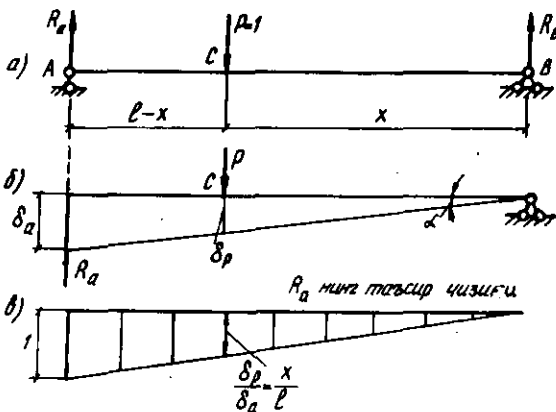
2. Кесимнинг чап ва ўнг қисмида жойлашган қўшни тугунлар тегишли чизикларга проекцияланади ва нуктадар ўзаро туташтирилади.

Ҳосил бўлган график юклар асосий балкага тугунлар орқали таъсир этган ҳол учун қурилган таъсир чизиги бўлади.

## 2.5. ТАЪСИР ЧИЗИКЛАРИ ҚУРИШНИНГ КИНЕМАТИК УСУЛИ

Таъсир чизикларини кинематик усулда қуришда кўчишлар эпюрасидан фойдаланилади. Бунинг учун асосий системада зўриқиши изланаётган боғланиш ташлаб юборилади ҳамда мумкин бўлган (жоиз) кўчишлар коидасидан фойдаланилади. Бу коидага кўра, агар система мувозанат ҳолатда бўлса, ҳар кандай кичик жоиз кўчишларнинг вужудга келишида ташки кучлар бажара-диган ишларнинг йиғиндиси нолга тенг бўлади.

Мисол тарикасида оддий балканинг  $R_a$  реакцияси учун кинематик усулда таъсир чизиги қурамиз (2.13- расм, а). А таянчини ташлаб юбориб, ўрнига  $R_a$  реакция кучини қўямиз. АВ балка чексиз кичик бурчак  $a$  га кўчди дейлик. Бурчак кичик бўлганлиги сабабли балка ўки кўчишларини вертикал деб қабул қиласа бўлади. Р кучи қўйилган



2.13- расм

нуктанинг кўчишини  $\delta_p$ ,  $R_a$  кучи кўйилган нуктанинг кўчишини  $\delta_a$  деб белгилаймиз. Жоиз кўчишлар қоидасига мувофиқ балкага таъсир этувчи кучлар бажарган иш бўлади. Куч йўналиши билан кўчиш йўналиши қарама-қарши бўлганлиги сабабли  $R_a$  кучи бажарган ишнинг ишораси манфий олинган.

$$P \cdot \delta_p - R_a \cdot \delta_a = 0.$$

$P=1$  эканлигини эътиборга олсак, (а) дан

$$R_a = 1 \cdot \frac{\delta_p}{\delta_a} \quad (б)$$

келиб чиқади. Бирлик куч кўзғалувчан бўлганлиги учун  $\delta_p$  кўчиш ҳам ўзгарувчан бўлади.  $\delta_a$  эса ўзгармас микдордир.

Бинобарин,  $R_a$  реакциясининг таъсир чизиги  $\delta_p$  кўчишнинг эпюраси тариқасида хосил қилиниши мумкин. Бунда таъсир чизигининг ординаталари кўчиш ординаталаридан  $\delta_a$  маротаба кичик бўлади (2.13- расм, в).

Кинематик усулда курилган таъсир чизигининг статик усулдаги шакли билан бир хил эканлиги куйидаги ифодадан кўриниб турибди (2.13- расм, б):

$$\delta_p = x \cdot tq\alpha; \quad \delta_a = l \cdot tq\alpha.$$

Буларни (б) га қўйсак,  $R_a = \frac{x}{l}$  келиб чиқади.

Навбатдаги мисолда (2.14- расм, а) балканинг К кесимидағы эгувчи момент таъсир чизигини кинематик усулда курамиз. Балканинг К кесимига шарнир киритамиз, натижада балканинг битта боғланиши йўқолади. Йўқолган боғланишни момент  $M_k$  билан алмаштирамиз (2.14- расм, б).

К шарнири чексиз кичик масофа  $\delta_k$  га кўчди дейлик. Бу кўчишнинг вужудга келишида  $M_k$  ва  $P$ -кучлари қўйидаги ишни бажаради:

$$P \cdot \delta_p - M_k \alpha - M_k \cdot \beta = 0. \quad (\text{в})$$

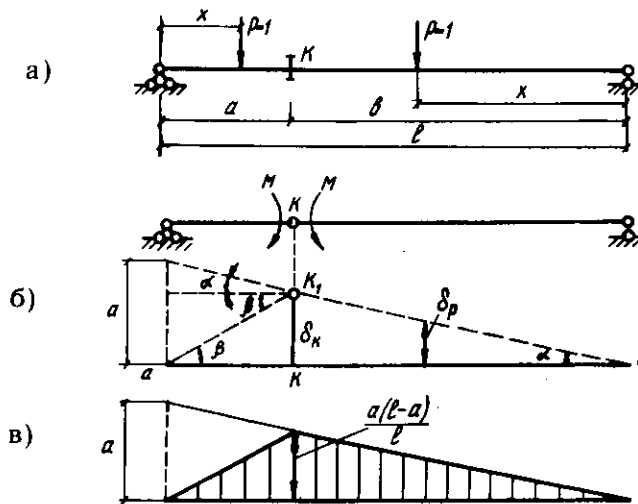
$M_k$  нинг йўналиши бурилиш бурчаклари  $\alpha$  ва  $\beta$  нинг йўналишига қарама-карши бўлганлиги сабабли ишораси манфий олинди. (в) ифодасидан

$$M_k = \frac{P \cdot \delta_p}{\alpha + \beta} = \frac{1 \cdot \delta_p}{\delta_{xx}} \quad (\text{г})$$

келиб чиқади. Бу ерда

$$\delta_p = \frac{\delta_k}{l-a} \cdot x$$

$$\delta_{xx} = \frac{\delta_k}{l-a} + \frac{\delta_k}{a} \quad (\text{д})$$



2.14- расм

(г) ифодасидан кўринадики,  $M_k$  нинг таъсир чизиги ҳам вертикал кўчишлар  $\delta_p$  эпюраси каби бўлиб, қийматига кўра ундан  $\delta_x$  маротаба кам бўлар экан (2.14- расм, в).

(д) ифодани (г) га қўйсак,

$$M_k = \frac{ax}{l}$$

келиб чиқади. Бу эса статик усуладаги ўнг тўғри чизикнинг тенгламасидир.

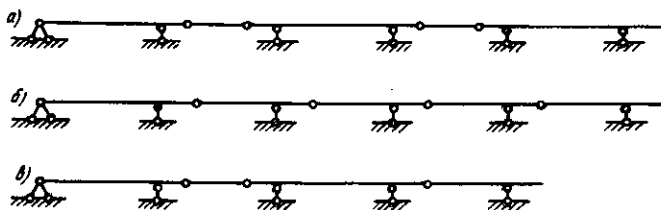
### 3- боб

## ҚЎП ОРАЛИҚЛИ СТАТИК АНИҚ БАЛҚАЛАР

### 3.1. УМУМИЙ МАЪЛУМОТЛАР

Қўп оралиқли статик аник балкалар бир оралиқли консолли балкаларни шарнирлар воситасида биринтириш йўли билан ҳосил қилинади (3.1- расм). Қўп оралиқли шарнирларни ёпишда кўлланилади. Бундай оралиқларни ёпишда кетма-кет жойлашган бир оралиқли балкалардан фойдаланса бўлмайдими, деган савол туғилиши табиий. Тўғри, назарий ва амалий жиҳатдан фойдаланса бўлади. Аммо иктисодий жиҳатдан мақсадга мувофиқ эмас. Чунки бир хил юк таъсирида бир оралиқли балкаларда қўп оралиқли балкаларга нисбатан кўпроқ зўриқиши ҳосил бўлади, демак кўпроқ материал сарф бўлади, конструкция вазминлашади. Қўп оралиқли шарнирларни ёпишда кетма-кет жойлашган балкалар статик аник бўлганликлари сабабли ҳароратнинг ўзгариши ёки таянчларнинг чўкиши натижасида қўшимча зўриқишилар пайдо бўлмайди. Бу эса унинг афзаллик томонлари ҳисобланади.

Қўп оралиқли балкаларда шарнирлар бўлмаса, система статик ноаник узлуксиз балкаларга айланиб колади. Уларни бир-биридан фарқлаб турадиган элемент шарнир-



3.1- расм

дир. Узлуксиз балкалар ҳакида дарсликнинг 8- бобида муфассал маълумотлар берганмиз. Бу бобда эса асосан кўп оралиқли шарнирли балкалар билан танишиб чиқамиз, Шарнирли балкани узлуксиз балкага қиёслаб, уни узлукли балка деб атаса ҳам бўлади. Сабаби шуки, узлуксиз балкалар бутун яхлит конструкциядан иборат, шарнирли балкалар шарнир қўйилган ерда узилади. Шарнирнинг чизма конструкяси 3.2- расмда берилган.



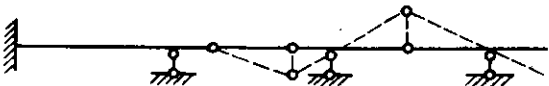
3.2- расм

Кўп оралиқли балкани статик аниқ системага айлантириб берадиган элемент ҳам шарнирдир. Демак, шарнирлар сонини шундай аниклаш керакки, ҳосил бўлган система статик аниқ, геометрик ўзгармас бўлсин. Қуйидаги формула ёрдамида аникланган шарнирлар сони юкоридағи талабларни кондириди:

$$Ш = С_Т - 3 \quad (3.1)$$

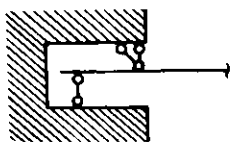
Бу ерда  $C_T$  — таянч стерженлари сони;  
3 — статика тенгламалари сони.

Шарнирлар сонини ушбу формула билан аникланиши зарурий, аммо етарли шарт эмас. Статик аниқ, геометрик ўзгармас система ҳосил қилиш учун шарнирларни балка бўйлаб тўғри жойлаштириш талаб этилади. 3.3- расмда тасвирланган система шарнирларнинг нотўғри жойлашти-



3.3- расм

рилишига мисолдир. Бу балкадаги шарнирлар сони талаб даражасидадир, яъни система геометрик ўзгармас бўлиши учун  $Ш = 6 - 3 - 3$  дона шарнир қўйилиши талаб этилади. Бирок ана шу учта шарнир балкада нотўғри жойлаштирилган. Шунинг учун у геометрик ўзгарувчан система бўлиб қолган. Агар иккинчи оралиқдаги икки шарнирдан бири биринчи оралиқка кўчирилса, система геометрик ўзгармас ҳолга келади. Шуни ҳам эслатиб ўтиш керакки, стерженлар сонини аниклашда шарнирсиз қўзғолмас



3.4- расм

таянчнинг стерженлари сони  $C_T=3$  деб қабул қилинган (3.4- расм).

Битта оралиққа учта шарнир жойлаштириш ҳам нотұғридир, чунки бунда оний ўзгарувчан система ҳосил бўлади.

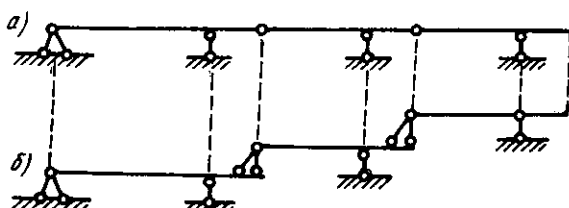
Шарнирларни түгри жойлаштиришнинг уч хил усули бор:

- шарнирларни иккинчи оралиқдан бошлаб жуфт жойлаштириш (3.1- расм, а);
- шарнирларни (иккинчи оралиқдан бошлаб) якка тартибда жойлаштириш (3.1- расм, б);
- юкоридаги икки усулга асосланган аралаш усул (3.1- расм, в), яъни шарнирларни жуфт ва якка тартибда жойлаштириш.

Жуфт шарнирлар иккинчи оралиқдан бошлаб оралиқ оша қўйилади. Якка шарнирлар бирорта оралиқдан бошка ҳар бир оралиқка биттадан қўйиб чиқилади. Жуфт шарнирнинг икки ёни шарнирсиз оралиқ бўлиши лозим, акс ҳолда система геометрик ўзгарувчан бўлиб қолади.

Кўп оралиқли балканинг геометрик ўзгармаслиги масаласини түғри ҳал этиш системанинг ишлаши түғрисида тўлароқ тасаввурга эга бўлиш мақсадида қаватлар тархи қурилади. Қаватлар тархи балканинг алоҳида элементлари орасидаги боғланишни ўзида акс эттиради.

3.5- расмда тасвирланган балканинг геометрик ўзгармаслигини унинг қаватлар тархи (3.5- расм, б) оркали таҳлил этайлик. Балкаларни туташтирувчи қаватлар тарҳида шарнирлар шарнирли қўзғолмас таянчлар билан алмаштирилади. Қаватлар тарҳидан кўп оралиқли балка учта бир оралиқли консолли балкаларнинг йиғиндинисидан ташкил топганлиги намоён бўлади. Ҳар қайси оддий



3.5- расм

балка — геометрик ўзгармасдир. Геометрик ўзгармас оддий балкалар бир-бири билан шарнирлар ёрдамида уланган, Шарнирлар балкаларнинг горизонтал йўналишда қўзғалишига йўл бермайди. Балкаларнинг вертикал йўналишдаги қўзғолмаслиги таянч стерженлари орқали таъминланади. Шуларга асосланиб, берилган кўп оралиқли балка геометрик ўзгармас система экан, деган хуносага келамиз.

Қаватлар тарҳи икки хил балкалардан ташкил топади: асосий ва иккинчи даражали балкалар.

Асосий балкалар ўзига кўйилган юклардан ташкари иккинчи даражали балкаларга кўйилган юкларни ҳам (тўлалигича ёки қисман) қабул қиласди. Асосий балкаларга таяниб турувчи балкалар иккинчи даражали (осма) балкалар дейилади. Иккинчи даражали балка синса, асосий балканинг ишига птур етмайди. Асосий балка синса, осма балка ҳам қулаб тушади.

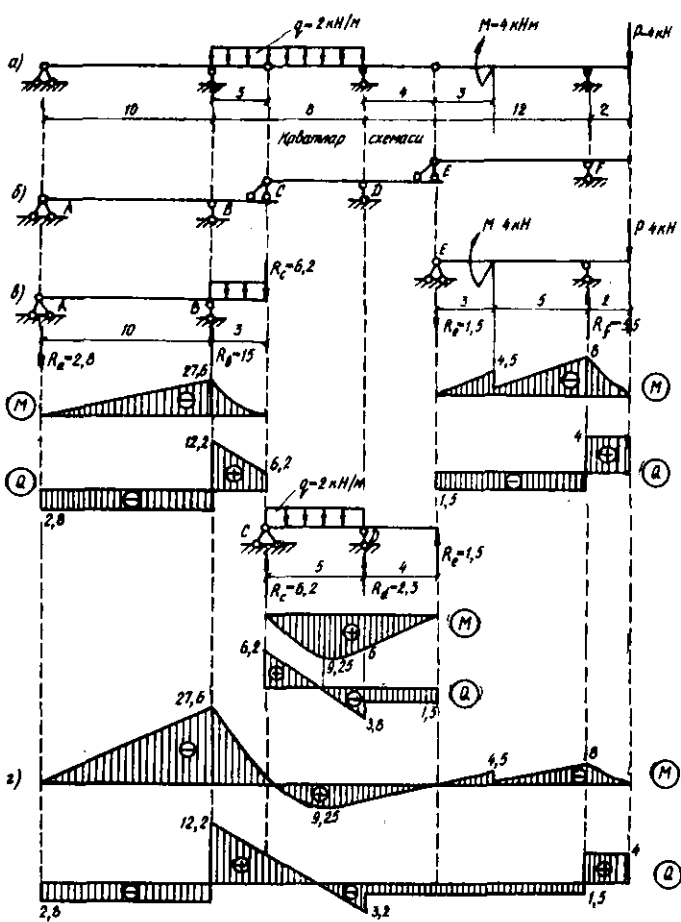
Қаватлар тарҳида асосий балка биринчи қаватда жойлашади (3.5-расм, б да чандан биринчи балка). Осма балкалар асосий балканинг устига жойлашади (3.5-расм, б да чандан иккинчи ва учинчи балкалар). Бу ерда шуни таъкидлаб ўтиш лозимки, ўртадаги балка чандаги балкага нисбатан иккинчи даражали, ўнгдаги балкага нисбатан асосий балка ҳисобланади.

### 3.2. КЎП ОРАЛИҚЛИ СТАТИК АНИҚ ШАРНИРЛИ БАЛКАЛАРНИ АНАЛИТИК УСУЛДА ҲИСОБЛАШ

Кўп ораликли шарнирли балкаларнинг ҳисоби уларнинг эгувчи моментлар ва кўндаланг кучлар эпюраларини куришдан иборатдир.

Бизга материаллар қаршилиги курсидан эпюраларни куришдан мақсад балканинг кўндаланг кесим ўлчамларини аниклашдан иборат эканлиги маълум. Эпюраларни куриш ҳам материаллар қаршилиги курсида баён этилган коидалар асосида бажарилади.

Кўп ораликли балкаларнинг ҳисоби қаватлар тархини куришдан бошланади. Мустакил равишда аввал иккинчи даражали (осма) балкалар, сўнгра асосий балка ҳисобланади. Осма балкалар бир нечта бўлса, ҳисоб энг устки қаватдаги балкадан бошланади. Бунинг сабаби шуки, устки қаватдаги юкнинг таъсири пастки қаватдаги балкаларга ҳам таъсир этади. Буни ҳисобга олиш учун устки балканинг таянч реакциясини пастки балкага



3.6-расм

тескари йўналишда қўйилади ва пастки балкани ҳисоблашда уни ташки кучлардан бири деб қаралади. Ҳисоб охирида алоҳида қурилган эпюралар бир ўқ устида жойлаштирилади.

**Мисол.** Кўп ораликли статик аниқ балканинг  $M$  ва  $Q$  эпюраси қурилсин (3.6-расм, а).

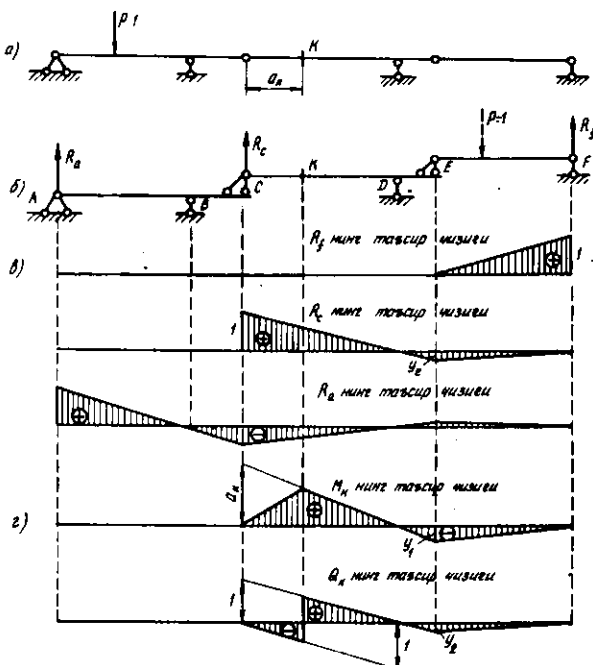
**Ечиш.** Берилган балканинг қаватлар тарҳини қурамиз (3.6-расм, б) ва ҳисоблаш тартибини белгилаймиз.

Ҳисоб ишлари EF балкасидан бошланади. Уни асосий балкадан ажратиб олиб, мустакил равишда  $M$  ва

$Q$  эпуралари курилади. Шундан сўнг СД балкаси хисобланади. EF балкасига кўйилган юкларнинг СД балкасига бўлган таъсири  $R_c$  реакцияси орқали хисобга олинади. Ўз навбатида СД ва EF балкаларига кўйилган юкларнинг АВ балкасига бўлган таъсири  $R_c$  реакцияси орқали хисобга олинади (3.6- расм, в). Иккинчи даражали балкалар хисоби тугагач, асосий балка АВ хисобланади. Хисоб охирида алоҳида хисобланган эпуралар умумий ўқ устига жойлаштирилади (3.6- расм, г).

### 3.3. КЎП ОРАЛИҚЛИ СТАТИК АНИҚ БАЛКАЛАРДА ТАЪСИР ЧИЗИҚЛАРИ

Кўп ораликли балкаларнинг таъсир чизикларини чизиш балканинг қаватлар тархини куришдан бошланади (3.7- расм, а, б). Таъсир чизикларини чизишда балкага факат харакатланувчи бирлик куч  $P=1$  таъсир этади, деб фараз этилади. Графикни чизиш жараёнида доимий юклар



3.7- расм

таъсири эътиборга олинмаслигини эслатиб ўтамиз. Таъсир чизиклари чизиб бўлингандан кейин зўриқишларнинг кийматини аниқлаш жараёнида балкага қўйилган доимий юклардан фойдаланилади.

Осма балкаларда зўриқиш уларга куч қўйилган тақдирдагина пайдо бўлади. Асосий балкаларга қўйилган куч осма балкаларда зўриқиши уйғотмайди.

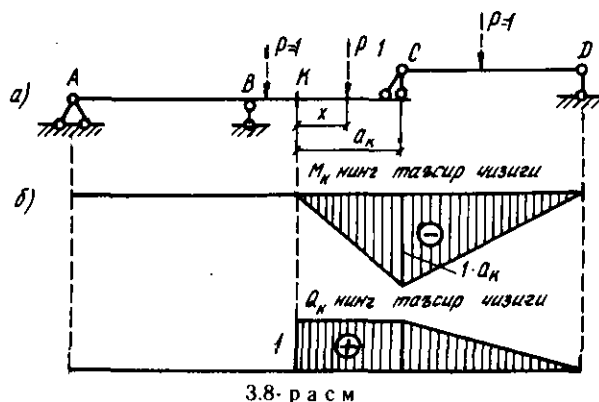
Асосий балкаларда шароит бутунлай бошқача: осма балкаларга қўйилган кучлар асосий балкада ҳам зўриқиш уйғотади. Шу қондадан келиб чиқиб, кўп ораликли балканинг таъсир чизикларини курамиз.

Осма балкага тегишли  $R_f$  таянч реакциясининг таъсир чизиги оддий балкаларнидан фарқ килмайди (3.7- расм, в).

$R_c$  реакциясининг таъсир чизигини қуришда СД консолли балкасининг ўзи берилган (унга туташган АВ ва ЕF балкалари йўқ) деб фараз қиласиз ва шу балканинг ўзи учун таъсир чизиги курамиз. Харакатланувчи бирлик куч  $P=1$  С нуктага келганда,  $R_c$  реакциясининг киймати бирга teng бўлади ( $R_c=1$ ). Куч Е нуктасига келганда,  $R_c=Y_e$  бўлади. Энди бирлик куч АВ ва ЕF балкалари бўйлаб ҳаракат қилганда,  $R_c$  реакциясининг қай тарика ўзгаришини кўриб ўтамиз. Куч АВ балкасида юрганида  $R_c$  га таъсир этмайди, яъни  $R_c=0$  бўлади. Куч ЕF балкасида юрганида,  $R_c$  га таъсир этади. Куч Е нуктасида бўлганида,  $R_c$  нинг киймати  $Y_e$  га teng эканлигини биламиз. Бирлик куч F таянчга яқинлашган сари унинг  $R_c$  га бўлган таъсири камая боради.  $P=1$  кучи F нуктасига келганда,  $R_c=0$  бўлади, чунки кучнинг таъсирини F таянчи тўлик ўзига кабул қилиб олади. Шунинг учун,  $Y_e$  ординатаси F таянчи остидаги ноль нукта билан туташтирилади (3.7- расм, в).

$R_a$  реакциясининг таъсир чизиги АВ балкасидан бошланади. Таъсир чизигининг дастлабки қисмини оддий балкага чизгандек қурамиз. Осма балкалар остидаги қисми эса юқоридаги каби мулоҳаза юритиш йўли билан курилади (3.7- расм, в).

Энди эгувчи момент ва киркувчи кучларнинг таъсир чизикларини қурамиз. Балканинг «К» кесими учун  $M_k$  ва  $Q_k$  нинг таъсир чизикларини қуриш талаб этилади, дейлик (3.7- расм, а). «К» кесими СД балкасида қарашли. СД балкаси АВ га нисбатан иккинчи даражали, ЕF га нисбатан эса асосий балка хисобланади. Бу шуни англатадики,  $P=1$  кучи АВ балкаси бўйлаб ҳара-



3.8-расм

катланганда «К» кесимида  $M$  ҳам,  $Q$  ҳам ҳосил бўлмайди. Консолли СД балкаси учун таъсир чизиклари оддий балкадаги сингари курилади. Куч EF балкасида ҳаракатланганида, СД балкасининг «К» кесимидаги ички кучларга таъсир этади. Куч Е нуктасида турганида  $Q_k = Y_2$ ,  $M_k = Y_1$  бўлади. Куч F нуктасига етганида,  $M_k = 0$ ;  $Q_k = 0$  бўлади. Шунга кўра у ҳам,  $Y_2$  ҳам ноль билан туаштирилди. Ҳосил бўлган график  $M_k$  ва  $Q_k$  нинг таъсир чизиклари деб аталади (3.7-расм, г).

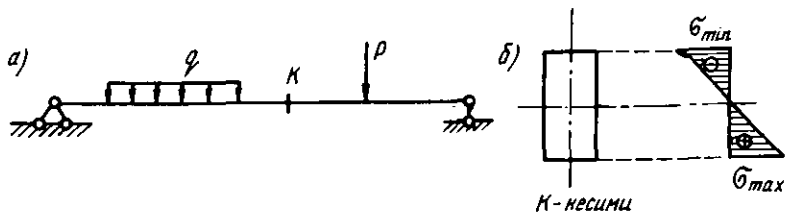
Баъзан «К» кесими балканинг консол кисмида берилиши мумкин (3.8-расм, а). У ҳолда  $M_k$  ва  $Q_k$  нинг таъсир чизиги кесимнинг консолда ётганлигини ҳисобга олган ҳолда курилади. Бирлик куч кесимдан чапда ҳаракатланса, «К» кесимида хеч кандай зўрикиш ҳосил бўлмайди. Куч КС оралиғида бўлса,  $M_k = -I \cdot X$  ва  $Q_k = 1$  бўлади. Куч СД балкаси устида ҳаракатланса,  $M_k$  ва  $Q_k$  учбурчак конуни бўйича ўзгаради (3.8-расм, б).

#### 4-боб

### СТАТИК АНИҚ ФЕРМАЛАР

#### 4.1. ФЕРМАЛАР ТЎҒРИСИДА ТУШУНЧА ВА УЛАРНИНГ ТУРЛARI

Бикир тугунларни шарнирлар билан алмаштирганда, ўзиининг геометрик ўзгармаслигини сақлаб қолувчи стерженли системалар фермалар деб аталади.



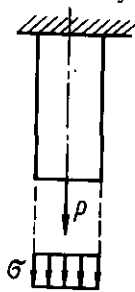
4.1-расм

Фермалар балкаларнинг такомиллашган бир кўриниши бўлиб, балкалар ўтайдиган вазифани бажаради: балкалар кичик оралиқларни ёпишда қўлланса, фермалар катта оралиқларни ёпишда қўлланилади.

Балкадан фермага ўтиш ғояси унинг ишлаш шароитини таҳлил қилиш оқибатида пайдо бўлган. Маълумки, балка эгилишга ишлайди (4.1-расм, а). Балканинг ижтиёрий кесими учун қурилган нормал кучланишлар эпюраси (4.1-расм, б) дан кўриниб турибдики, балканинг ашёсидан тўлик фойдаланилмайди. Нормал кучланиш нейтрал ўқда ноль, ўқдан узоклашган сари унинг қиймати ортиб боради. Энг кўп ишни ўқдан узокда жойлашган толалар бажаради, нейтрал катлам ва унинг атрофи деярли ишламайди. Ҳаттоқи прокат профиллар (қўштавр, швеллер ва бурчакликлар) да ҳам ашёларнинг атиги 60-70 фоизидан фойдаланилади, холос.

Агар элемент сикилиш ёки чўзилишга ишласа, у ҳолда унинг ашёсидан тўлик фойдаланилади (4.2-расм). Нормал кучланишлар эпюрасидан кўринадики, элементнинг ҳар бир нуктаси ишлайди.

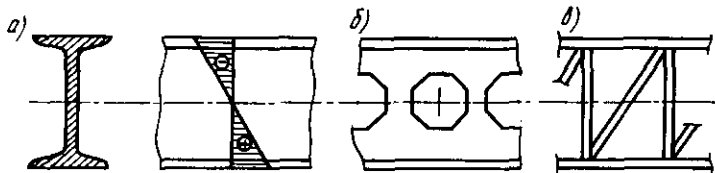
Ҳар иккала эпюрани солиштиришдан куйидаги мулоҳаза пайдо бўлади. Шундай конструкция яратиш көракки,



4.2-расм

унда қўлланилган ашёдан тўли к фойдаланилсин, агар имкон бўлса, элемент факат сикилиш ва чўзилишга ишласин.

Бу вазифа киска вакт йичида боскичма-боскич амалга оширилди. Дастреб тўғри тўртбурчакли яхлит кесим ўрнига қўштавр пайдо бўлди (4.3-расм, а), кейинчалик қўштавр деворлари ўйиклар хисобига сенгилла штирилади (4.3-расм, б) ва ниҳоят, бу изланишларнинг мантикий давоми



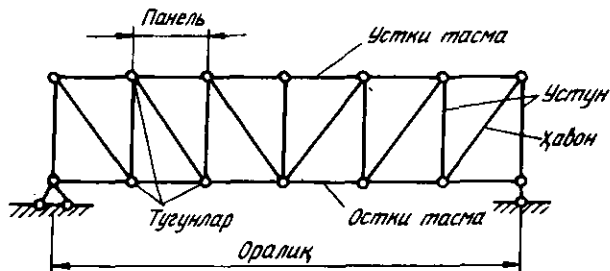
4.3- расм

сифатида ферма конструкцияси яратилди (4.3- расм, в). Оддий статик аник ферманинг хисоблаш тархи 4.4- расмда тасвириланган.

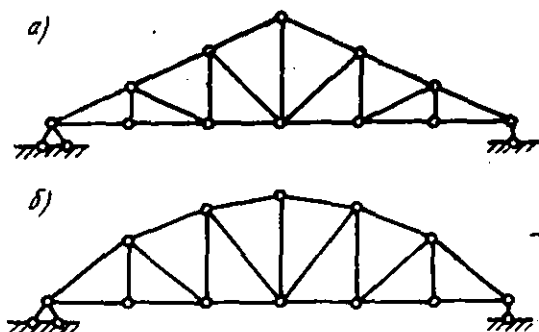
Одатда ташки күчлар ферма тугунларига күйилади. Ферма стерженлари ташки күчлар таъсирида асосан сикилиш ва чўзилишга ишлайди. Бу ҳол ферма материалидан самарали фойдаланиш имконини беради, чунки ҳар бир стержень кўндаланг кесимида ҳосил бўладиган нормал кучла нишлар эпюраси тўғри тўртбурчак шаклига эга бўлади.

Ферманинг барча стерженлари ёки уларнинг ўклари бир текисликда жойлашса, текис ёки ясси фермалар деб, бир текисликда жойлашмаса фазовий фермалар деб аталади. Фазовий фермалар кўпинча алоҳида ясси фермаларга ажратилган ҳолда хисобланади.

Икки таянч орасидаги масофа оралиқ (пролёт) деб аталади; ферманинг ташки чегарасида жойлашган стерженлар тасмалар деб аталиб, улар орасида жойлашган стерженлар ферма панжараларини ташкил этади. Панжаранинг тик элементлари устун, оғма элементлари — ҳавон деб юритилади. Ферма тугунлари орасидаги горизонтал масофа панел дейилади.



4.4- расм



4.5-расм

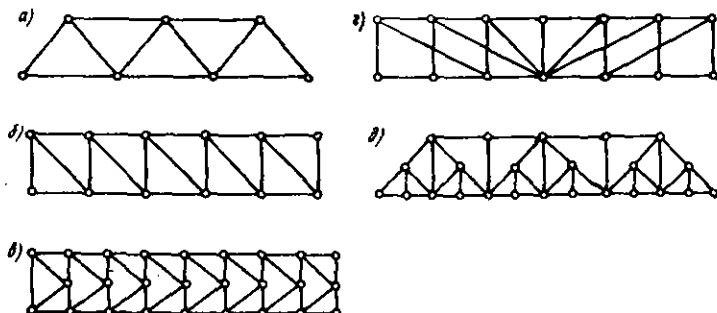
Фермалар ташқи кўриниши, панжара шакли, таянч хиллари ва ўтайдиган вазифасига қараб бир неча турга бўлинади:

а) ферма ташқи контурининг шаклига кўра параллел тасмали фермалар (4.4-расм), учбуручак шаклли фермалар (4.5-расм, а), полигонал тасмали фермалар (4.5-расм, б);

б) панжарасининг тузилишига кўра учбуручак панжарали фермалар (4.6-расм, а), ҳавон панжарали фермалар (4.6-расм, б), ярим ҳавон панжарали фермалар (4.6-расм, в), кўшҳавон панжарали фермалар (4.6-расм, г), кўш панжарали (шпренгелли) фермалар (4.6-расм, д);

в) таянч хилларига қараб балкасимон ё и консол фермалар;

г) ўтайдиган вазифасига кўра том, кўприк ва кран фермалари;



4.6-расм

д) күпприк фермаларда юкнинг ҳаракатланиш сатҳига караб юк устки ёки пастки тасмадан юрадиган фермалар бўлади.

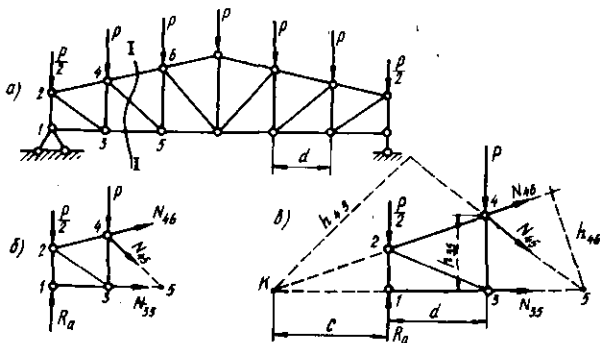
#### 4.2. ФЕРМАЛАРНИ АНАЛИТИК УСУЛДА ҲИСОБЛАШ

Статик аниқ ясси фермаларни ҳисоблаш деганда ҳар бир стержендаги зўрикишларни аниклаш тушунилади. Зўрикишларни аниклашнинг аналитик, график ва таъсир чизиқлари усули мавжуд. Мазкур параграфда аналитик усул билан танишиб чиқамиз.

Аналитик усульнинг ўзи бир-бирини тўлдирувчи учта усулга бўлинади: момент нуктаси ёки Риттер усули, проекциялаш усули ҳамда тугунларни кесиб олиш усули. Усулларнинг ичидаги энг кулайи Риттер усулидир, бирок ундан ҳамма вакт ҳам фойдалана олмаймиз. Момент нуктаси усулидан фойдаланиш имкон бўлмаган ҳолларда проекциялаш ёки тугунлардан кесиб олиш усулларидан фойдаланилади. Ҳар учала усул билан бирма-бир танишиб ўтамиз.

**Момент нуктаси усули.** Ферманинг ҳисоби таянч реакцияларини аниклашдан бошланади (бошқа усулларда ҳам худди шундай килинади). Ферма реакциялари оддий балка реакциялари сингари аникланади, яхлит ферма учун статиканинг мувозанат тенгламалари тузилади ва шу тенгламалардан таянч реакциялари аникланади ҳамда текширилади.

Стреженлардаги зўрикишларни аниклаш учун ферма хаёлан кирқилади (4.7-расм, а), ҳисоблаш учун кирқилган ферманинг бир кисми ажратиб олинади (4.7-расм, б)



4.7-расм

ва ажратылган бўлак учун мувозанат тенгламаси тузилади. Мувозанат тенгламаси таркибига ташқи кучлар ва таянч реакцияларидан ташқари номаълум зўрикишлар киради.

Момент нуктаси усулида кесим шундай ўтказиладики, бунда кесимга кирган стерженларнинг сони учтадан ортмаслиги ва учала стержень бир нуктада кесишмаслиги керак. Кесимга кирган стерженлар жуфт-жуфт бўлиб, бир нуктада кесишади (4.7- расм, б). Ҳар бир стержень ўзининг момент нуктасига эга. Кесимга кирган, зўрикиши изланмаётган икки стерженнинг кесишув нуктаси момент нуктаси деб аталади. Мувозанат тенгламалари ана шу момент нукталарига нисбатан тузилади. Бу усулнинг афзаллиги шундан иборатки, тузиладиган тенгламалар ҳар сафар бир номаълумли бўлади. Бир номаълумли оддий тенгламадан излангаётган зўрикишнинг қиймати аникланди.

Тенглама тузатганда, номаълум зўрикишларнинг ўйналишини ферманинг кесилган томонига ўналтирилади, яъни стержень чўзилувчан деб каралади. Ҳисоб натижасида зўрикиш мусбат ишорада чикса, стерженнинг чўзилишга ишлаши тасдиқланади. Манфий чикса — стержень сикилувчан бўлади.

Ферма стерженларидаги зўрикишлар аслида ички кучлар бўлганлиги сабабли уларни  $N$  ҳарфи билан белгилаймиз ва қайси тугунлар орасидаги стерженнинг зўрикиши эканини билиш мақсадида остига икки ракамдан иборат белги кўямиз. Масалан,  $N_{46}$  — тўртинчи ва олтинчи тугунлар орасидаги стерженнинг зўрикиши эканини билдиради.

Энди бевосита зўрикишларни аниглашга киришамиз.  $N_{35}$ ,  $N_{45}$  ва  $N_{46}$  зўрикишларни аниглаш талаб этилади, дейлик. Бунинг учун фермани 1—3 кесими бўйича кирккамиз (4.7- расм, а). Ферманинг бир қисмини (масалан, кучлар кўп бўлганлиги учун ўнг қисмини) ташлаб юборамиз. Ҳисоблаш учун эса чап қисмини олиб қоламиз (4.7- расм, в).

Ферманинг чап қисми ташки кучлар ( $R_a$ ; 0,5 Р; Р) хамда ички кучлар ( $N_{35}$ ,  $N_{45}$ ,  $N_{46}$ ) таъсирида мувозанат ҳолатида бўлиши лозим. Номаълум ички кучлар ферманинг ташлаб юборилган ўнг қисмининг таъсирини ўзида акс эттиради.

4- тугун 3—5 стержени учун момент нуктаси ҳисобланади. Номаълум зўрикиш  $N_{35}$  ни аниглаш учун шу нуктага

нисбатан барча кучларнинг моментлари йигиндисини ёзамиш:

$$\Sigma M_4 = R_a \cdot d - \frac{P}{2} \cdot d - N_{35} \cdot h_{35} = 0,$$

бу ердан

$$N_{35} = \frac{R_a \cdot d - 0,5P \cdot d}{h_{35}} = \frac{M_4^0}{h_{35}}.$$

Бу ерда  $d$  ва  $h$  — елкалар;  $M_4^0$  — тўртинчи тугунга нисбатан ферманинг чап бўлагида ётган кучларнинг моментлари йигиндиси.

Бу момент микдор жиҳатидан оддий балканинг, ферма момент нуктасига мос кесимидағи моментга тенг бўлади. Зўриқишининг мусбат ишораси 3—5 стерженнинг чўзилувчан эканлигини англатади.

Энди 4—6 тугунлар орасидаги стерженнинг зўриқиши  $N_{46}$  ни аниқлаймиз. Кесимга кирган икки стерженнинг кесишиб нуктаси (5)  $N_{46}$  учун момент нуктаси бўлади. Шу нуктага нисбатан моментлар йигиндисини ёзамиш:

$$\Sigma M_5 = R_a \cdot 2d - \frac{P}{2} \cdot 2d - P \cdot d + N_{46}h_{46} = 0;$$

бу ердан

$$N_{46} = -\frac{2d(P - Ra)}{h_{46}} = -\frac{M_5^0}{h_{46}}.$$

Зўриқишиш ишорасининг манфий чиқиши 4—6 стерженинг сикилувчан эканлигини билдиради. Умуман фермага кўйилган ташқи кучлар пастга йўналган бўлса, ферманинг устки тасмаси сиқилишга, остки тасмаси чўзишлишга ишлайди.

Эндиgi навбат  $N_{45}$  га. Кесимга кирган, зўриқиши изланмаётган икки стержень «К» нуктасида кесишибади. Ана шу нукта  $N_{45}$  учун момент нуктаси хисобланади. Шу нуктага нисбатан моментлар йигиндисини ёзамиш:

$$\Sigma M_k = -R_a \cdot c + \frac{P}{2} \cdot c + P(c + d) + N_{45} \cdot h_{45} = 0;$$

бу ердан

$$N_{45} = \frac{R_a \cdot c - 0,5P \cdot c - P(c + d)}{h_{45}} = \frac{M_k^0}{h_{45}}.$$

Шундай килиб, момент нүктаси усулида исталган стержендаги зўриқиш қуйидаги формула асосида топилар экан:

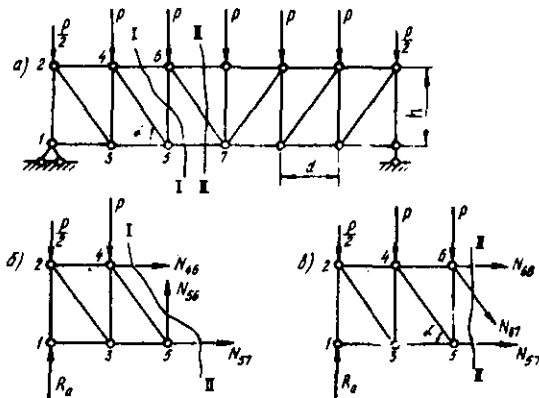
$$N = \frac{M}{h}.$$

Бу ерда  $M$  — кесилган ферманинг бир кисмида ётган кучларнинг момент нүктасига нисбатан олинган моментлари йигиндиси;

$h$  — изланадиган зўриқишнинг шу нүктага нисбатан елкаси.

**Проекциялаш усули.** Баъзан шундай фермалар учрайдики, уларда момент нүктаси усулини қўллаб бўлмайди. Бундай ҳолларда бошқа усуллардан фойдаланишга тўғри келади. Параллель тасмали ферма бунга мисол бўла олади (4.8-расм, а). Ферманинг ҳавон ва устунлари момент нүктасига эга эмас, чунки тасмалар параллел бўлганлиги сабабли ўзаро кесишмайди. Бундай ҳолларда проекциялаш усули жуда кўл келади.

5—6 тугунлар орасидаги устуннинг зўриқишини аникламокчимиз, дейлик. Бунинг учун энг аввал I—I кесим билан фермани икки кисмга ажратамиз; кучлар кўп бўлгани учун ўнг томонини ташлаб юборамиз. Кесимга кирган уч стерженнинг иккитаси ўзаро параллел, демак  $N_{56}$  нинг момент нүктаси йўқ. Шунинг учун мувозанат тенгламасини тузишда кучлар проекцияларининг йигиндисидан фойдаланамиз:



4.8-расм

$$\Sigma Y = R_a - \frac{P}{2} - P + N_{56} = 0;$$

бу ердан

$$N_{56} = -(R_a - 1,5P) = -Q.$$

Бу ерда  $N_{56}$  — оддий балкадаги күндаланг күч.

$N_{67}$  зўриқиши аниқлаш учун фермани II — II кесим бўйлаб кирқамиз ва унинг чап қисми учун қуидаги проекциялар тенгламасини ёзамиш:

$$\Sigma Y = R_a - \frac{P}{2} - P - P - N_{67} \cdot \sin\alpha = 0;$$

бу ердан

$$N_{67} = \frac{R_a - 2,5P}{\sin\alpha} = \frac{Q}{\sin\alpha}.$$

Бу ерда ҳам  $Q$  оддий балканинг киркувчи кучи.

**Тугунларни кесиб олиш усули.** Бу усулни проекциялаш усулининг хусусий ҳоли деса ҳам бўлади. Чунки бунда ҳам проекция тенгламаларидан фойдаланилади. Фарки шуки, аввалги усулда яхлит фермани киркиб, унинг бир қисми ажратиб олинган бўлса, бу сафар битта тугун кесиб олинади ва шу тугун учун мувозанат тенгламалари тузилади (4.9- расм, а, б).

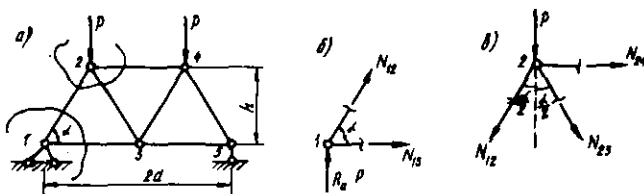
Ҳисоб ишлари икки стержени тугундан бошланади. Нега деганда тугун мувозанатини текшириш учун ихтиёри- мизда факат иккита тенглама бор.  $\Sigma x = 0$ ;  $\Sigma y = 0$ .

Шунга мувофиқ яхлит фермадан I тугунни кесиб оламиш ва ундаги  $N_{12}$  ҳамда  $N_{13}$  номаълум зўриқишларни аниқлаймиз. Кучларнинг У ўқига бўлган проекциялари йиғиндинсини ёзамиш:

$$\Sigma y = R_a + N_{12} \cdot \sin\alpha = 0;$$

бу ердан

$$N_{12} = -\frac{R_a}{\sin\alpha} = -\frac{P}{\sin\alpha};$$



4.9- расм

$N_{13}$  ни аниқлаш учун күчларни  $X$  ўқига проекциялаймиз:

$$\Sigma X = N_{13} + N_{12} \cdot \cos\alpha = 0;$$

бу ердан

$$N_{13} = -N_{12} \cdot \cos\alpha = \frac{P}{\sin\alpha} \cdot \cos\alpha = P \cdot \operatorname{ctg}\alpha.$$

Энди 2- тугунга ўтилади; бу ердаги уcta зўриқишдан биттаси маълум ( $N_{12}$ ), қолган иккитаси номаълум.  $N_{23}$  ни аниқлаш учун күчларни  $Y$  ўқига проекциялаймиз (4.9- расм, в).

$$\Sigma Y = -P - N_{12} \cos \frac{\alpha}{2} - N_{23} \cdot \cos \frac{\alpha}{2} = 0,$$

бу ердан

$$N_{23} = -P(1 - \sin\alpha) \cos \frac{\alpha}{2}.$$

$N_{24}$  ни аниқлаш учун күчларни  $x$  ўқига проекциялаймиз (4.9- расм, в)

$$\Sigma X = N_{24} - N_{12} \sin \frac{\alpha}{2} + N_{23} \sin \frac{\alpha}{2}.$$

бу ердан

$$N_{24} = P \left( 1 + \cos \frac{\alpha}{2} \right) \operatorname{tg} \frac{\alpha}{2} - P \sin \frac{\alpha}{2} / \sin\alpha.$$

Юкоридагилардан кўриниб турибдики, тугунларни кесиб олиш усулида навбатдаги стержень зўриқиши ўзидан олдинги стерженлар зўриқишиларига боғлик ҳолда топилади. Олдинги зўриқиши аниқлашда йўл қўйилган хато табинийки кейинги зўриқишиларда ҳам такрорланади. Бу мазкур усулнинг камчиликларидан ҳисобланади. Усулнинг яна бир камчилиги шундан иборатки, унинг тенгламаларида кўплаб тригонометрик функциялар учрайди, бу эса ҳисобни мураккаблаштиради.

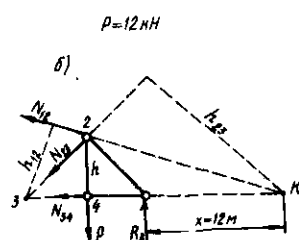
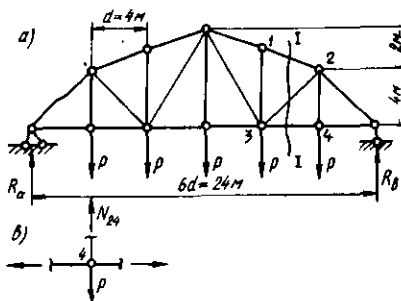
Ана шуларни ҳисобга олиб, фермаларни ҳисоблаганда кўриб ўтилган усуллардан қайси бири қўл келса, ўша усулдан фойдаланилади. Масалан, ферманинг баъзи зўриқишилари момент нуктаси усулида, баъзилари проекциялаш ёки тугунларни кесиб олиш усулида аниқланиши мумкин.

**Мисол.** 4.10- расм, а-да тасвирланган ферманинг бешинчи панелини ташкил этган стерженлардаги зўриқишилар аналитик усулда аниқлансин.

**Ечиш.** Ҳисоб таянч реакцияларини аниқлашдан бошли-

нади:

$$R_a = R_b = \frac{5P}{2} = \frac{5 \cdot 12}{2} = 30 \text{ кН.}$$



4.10- расм

Ферманинг 5- панелини 1—1 кесим билан кесиб, чап кисмини ташлаб юборамиз ва ўнг томони учун мувозанат тенгламаларини тузамиз (4.10-расм, б). Мувозанат тенгламаларини тузишда кесилган стерженлар чўзилишга ишлайди деб фараз этилади ва зўриқишилар тугундан ташки томонга йўналтирилади.

$N_{12}$  зўриқишини аниклашда 2—3 ва 3—4 стерженларнинг кесишиув нуктаси (3) момент нуктаси деб кабул килинади. Шу нуктага нисбатан моментлар тенгламаси тузилади.

$$\Sigma M_3 = -R_b \cdot 2d + P \cdot d - N_{12} \cdot h_{12} = 0.$$

Тригонометрик йўллар билан  $x = 12$  м ва  $h_{12} = 4,9$  м ни аниклаймиз. У холда  $N_{12} = -39,6$  кН бўлади.

$N_{34}$  зўриқишининг момент нуктаси 2- тугунга тўғри келади. Моментлар тенгламасини шу нуктага нисбатан тузамиз:

$$\Sigma M_2 = -R_b \cdot d + N_{34} \cdot h = 0;$$

бундан  $N_{34} = 30$  кН.

$N_{23}$  зўриқишини ҳам аввалги зўриқишилар сингари момент нуктаси усулида аниклаймиз. Бироқ бу зўриқишининг момент нуктаси, яъни 1—2 ва 3—4 стерженлардан ўтган ўқнинг кесишиув нуктаси (K) фермадан ташқарида ётади. Мувозанат тенгламаси ана шу нуктага нисбатан тузилади:

$$\Sigma M_K = R_b \cdot x - P(d + x) - N_{23} \cdot h_{23} = 0.$$

Тригонометриядан  $h_{23} = 11,9$  м. Тенгламадан  $N_{23} = 11,9$  кН.

$N_{24}$  зўриқиши тугунларни кесиб олиш усулида аниклади. Бунинг учун 4- тугунни кесиб олиб (4.10- расм, а), мувозанат тенгламаси тузилади:

$$\Sigma Y = N_{24} - P = 0; \text{ бундан } N_{24} = 12 \text{ кН.}$$

#### 4.3. ФЕРМА СТЕРЖЕНЛАРИДАГИ ЗЎРИҚИШЛАРНИНГ ТАЪСИР ЧИЗИҚЛАРИ

Баъзан фермаларга доимий юклардан ташқари қўзғалувчан юклар ҳам таъсир этади. Қўзғалувчан юклар таъсирида ферма стерженларидаги зўриқишиларнинг қиймати ўзгариб боради. Зўриқишиларнинг қандай ўзгаришини билиш учун таъсир чизиклари деб аталган график чизилади.

Таъсир чизикларининг тенгламалари аналитик усулдаги сингари момент нуқтаси, проекциялаш ва тугунларни кесиб олиш усуllibаридаги тузилади. 4.11- расм, а да тасвирланган ферма стерженларидаги айрим зўриқишиларнинг таъсир чизикларини қурамиз.

Ферманинг иккинчи панелидаги  $N_{35}$ ,  $N_{46}$ ,  $N_{45}$  зўриқишиларнинг таъсир чизиклари момент нуқтаси усулида, учинчи панелдаги  $N_{67}$  зўриқиши проекциялаш усулида ҳамда  $N_{87}$  зўриқишиларнинг таъсир чизиги тугунни кесиб олиш усулида қурилади.

Ишни  $N_{35}$  зўриқишининг таъсир чизигини қуришдан бошлаймиз. Бунинг учун фермани I—I кесим билан ҳаёлан киркмамиз. Ҳаракатланувчи бирлик куч кесимнинг ўнг томонида деб фараз этамиз ва шу томонни ташлаб юборамиз. Киркимга тушган учта стерженда зўриқишиларнинг ўналиши ташлаб юборилган томонга қаратилади.

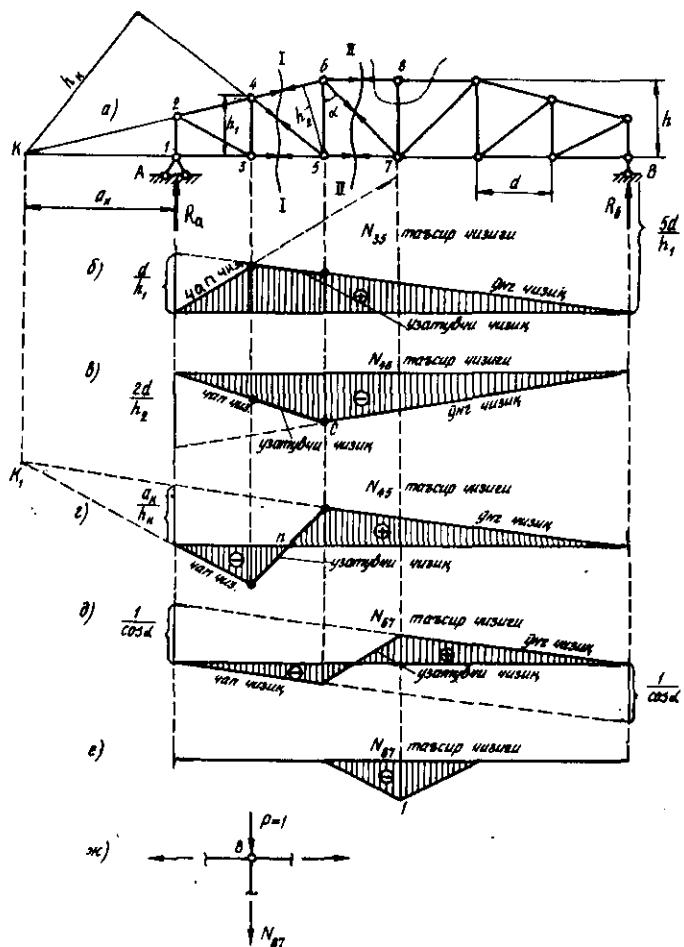
Кесимнинг чап томони учун момент нуқтаси усулини қўллаб, мувозанат тенгламасини тузамиз. 3—5 стержени учун 4 нуқта момент нуқтаси ҳисобланади. Шу нуктага нисбатан моментлар йигиндисини ёзамиш:

$$\Sigma M_4 = R_a \cdot d - N_{35} \cdot h_1 = 0,$$

бу ердан

$$N_{35} = R_a \cdot \frac{d}{h_1}.$$

Демак,  $N_{35}$  зўриқишининг таъсир чизиги бирлик куч кесимдан ўнга ҳаракатланганда,  $R_a$  таянч реакциясининг таъсир чизиги сингари бўлиб, ординаталари  $d/h_1$  микдорга фарқ қиласи. Шунга кўра A таянч остида ўқдан юкорига



4.11-расм

$d/h_1$  масофани ўлчаб қўянимиз ҳамда В таянч остидаги ноль нуқта билан туташтирамиз. Ўтказилган чизик ўнг чизик деб аталади (4.11-расм, б).

Чап чизикни ўтказиш максадида кесимнинг ўнг томони учун моментлар тенгламасини ёзамиш:

$$\Sigma M_A = N_{35} \cdot h_1 - R_b \cdot 5d = 0,$$

бу ердан

$$N_{35} = R_b \cdot \frac{5d}{h_1}.$$

Демак,  $N_{35}$  зўриқишининг таъсир чизиги бирлик куч кесимдан чапда бўлганда, тузилиши жиҳатидан ҳудди  $R_y$  реакциясининг таъсир чизигига ўхшаш бўлиб, миқдор жиҳатдан ундан  $5d/h_1$  маротаба кўн бўлади. Бунга асосан  $B$  таянч остида  $5d/h_1$  масофани ўқдан юкорига ўлчаб кўймиз ва уни А таянч остидаги ноль нукта билан туташтирамиз. Бу чизик чап чизик деб аталади. Чап ва ўнг чизиклар момент нуктаси (4) остида кесишади (4.11-расм, б). Штрихланган учбурчак  $N_{35}$  зўриқишининг таъсир чизиги хисобланади. Мусбат ишора 3—5 стержени чўзилишга ишлашини билдиради. 3- ва 5- тугунларни таянч чизигига туширилган проекцияларини туташтирувчи чизик — узатувчи чизик деб аталади.

$N_{35}$  га таалукли узатувчи чизик бизнинг ҳолда ўнг чизик билан устма-уст тушган. Баъзи ҳолларда узатувчи чизик чап ёки ўнг чизик билан устма-уст тушмайди.

Ўнг ва чап чизикларнинг момент нуктаси остида кесишуви ни эътиборга олиб, таъсир чизикларини чизишни бир мунча енгиллаштириш мумкин. Бунинг учун биргина ўнг ёки чап чизик чайзилса кифоя. Иккинчиси момент нуктасининг проекцияси орқали ўтказилади.

Шу йўл билан  $N_{46}$  ва  $N_{46}$  зўриқишларнинг таъсир чизигини курамиз.

1—1 кесим ўз кучини саклайди. 5- нукта  $N_{46}$  нинг момент нуктаси бўлади. Бирлик куч  $P=1$  кесимдан ўнг томонда харакатланади, деб чап томон учун қуйидаги тенгламани ёзамиз:

$$\Sigma M_5 = R_a \cdot 2d + N_{46} \cdot h_2 = 0,$$

бундан

$$N_{46} = -R_a \frac{2d}{h_2}$$

$N_{46}$  нинг таъсир чизигини чизиш учун А таянчи йўналишида ўқдан пастга (манфий бўлганлиги учун)  $2d/h_2$  масофани ўлчаб кўймиз ва В таянчи йўналишидаги ноль билан бирлаштирамиз (4.11-расм, в). Бу ўнг чизик бўлади. Чап чизиқни ўтказиш учун момент нуктаси 5 ни ўнг чизикка проекциялаймиз. Топилган нукта С ни А таянчи остидаги ноль билан туташтирамиз. Бу чизик чап чизик бўлади. Штрихланган юза  $N_{46}$  зўриқишининг таъсир чизиги хисобланади. Манфий ишора 4—6 стерженининг сикилишга ишлашини билдиради.

Энди ҳавондаги зўриқиши  $N_{45}$  нинг таъсир чизигини чизамиз. 1—1 кесим бу стерженинни хам кесиб ўтган.

Кесимнинг ўнг томонини ташлаб юборамиз. Бирлик куч  $P=1$  кесимдан ўнгда деб фараз этамиз. Ферманинг кесимдан чап кисми учун мувозанат тенгламасини тузамиз. Бунинг учун аввал момент нуктасини белгилаб оламиз;  $N_{45}$  зўрикишининг момент нуктаси 3—5 ва 4—6 стерженларидан ўтган ўкнинг кесишув нуктаси  $K$  да ётади. Моментлар йигиндисини шу нуктага ниҳбатан тузамиз:

$$\Sigma M_k = -R_a \cdot a_k + N_{45} \cdot h_k = 0,$$

бундан

$$N_{45} = R_a \frac{a_k}{h_k}.$$

Демак, куч ( $P=1$ ) кесимдан ўнгда харакатланганда,  $N_{45}$  зўрикишининг киймати  $R_a$  реакциясидан  $a_k/h_k$  маротаба катта бўлар экан. Бунга асосланиб, ўқдан юкорига  $a_k/h_k$  масофани ўлчаб кўямиз; уни В таянчи йўналишидаги ноль билан туташтирамиз (4.11-расм, г), ҳосил бўлган чизик ўнг чизик бўлади. Чап чизикни ўтказиш учун ўнг чизикни чапга давом эттирамиз. Момент нуктаси —  $K$  ни унинг давомига проекциялаймиз. Улар  $K_1$  нуктасида кесишади.  $K_1$  нуктаси билан А таянчи остидаги ноль нуктани бирлаштирамиз ва ўнгга давом эттирамиз. Бу чап чизик бўлади. Узатувчи чизикни ўтказиш учун 4- тугунни чап, 5- тугунни ўнг чизикка проекциялаймиз. Топилган нукталарни бирлаштирувчи чизик узатувчи чизик ҳисобланади. Штрихланган юза эса  $N_{45}$  нинг таъсир чизигидир. Бу ерда юза икки хил ишорага эга.  $n$  нуктада ордината нолга тенг. Бунинг маъноси шуки, бирлик куч  $n$  нуктасидан чапда харакатланса, 4—5 стержень сикилишга, ўнгда харакатланса чўзишишга ишлайди.

Энди ферма стерженларидаги зўрикишларнинг таъсир чизикларини куришида проекциялаш усулини кўллаб кўрамиз.

4.11-расм, а да тасвиirlанган ферманинг учинчи ва тўртинчи панелидаги устки ва остки тасмалар ўзаро параллел. Шу боисдан мазкур панеллардаги ҳавонларга момент нуктаси усулини кўллаб бўлмайди. Бундай холларда проекциялаш усулига мурожаат этилади.

Учинчи панел ҳавонидаги зўрикиш  $N_{67}$  нинг таъсир чизигини қурайлик. Бунинг учун II—II кесими бўйлаб фермани қирқамиз. Ўнг томонини ташлаб, чап томони учун тенглама тузамиз; бунда бирлик куч  $P=1$  кесимдан ўнгда деб фараз этамиз

$$\Sigma Y = R_a - N_{67} \cdot \cos\alpha = 0$$

бундан

$$N_{67} = \frac{1}{\cos\alpha} \cdot R_a.$$

Бирлик куч кесимдан чапда деб фараз этиб, ўнг томон учун проекциялар тенгламасини ёзамиш:

$$\Sigma Y = R_b + N_{67} \cdot \cos\alpha = 0,$$

бундан

$$N_{67} = -R_b \cdot \frac{1}{\cos\alpha}.$$

$N_{67}$  зўрикишнинг таъсир чизиги ҳам таянч реакциялари  $R_a$  ва  $R_b$  нинг таъсир чизиги каби бўлар, мидори эса  $1/\cos\alpha$  га фарқ қиласа экан. Шунга кўра реакциялар йўналишида ўқдан юкорига ва пастга  $1/\cos\alpha$  ни ўлчаб кўйамиш, топилган нукталарни таянчлар остидаги ноль нукталар билан бирлаштирамиз. Юкорида ўнг, пастда чап чизик хосил бўлади (4.11-расм, д). 6- тугунни чап, 7- тугунни ўнг чизикка проекциялаймиз ва топилган нукталарни туташтирасак, узатувчи чизик хосил бўлади. Штрихланган юза 6—7 ҳавондаги зўрикишнинг таъсир чизиги бўлади.

Тугунларни кесиб олиш усулини  $N_{87}$  зўрикиши мисолида кўриб ўтамиш.

7—8- устуннинг зўрикишини аниқлашда ферма киркимига учдан ортиқ (бизнинг ҳолда 4 та) стержень тўғри келади. Шунинг учун 8- тугунни шаклда кўрсатилгандек кесиб, ажратиб оламиш (4.11-расм, а ва ж).

Бирлик куч 8- тугундан бошқа тугунлар бўйлаб ҳаракатланса, устундаги зўрикиш ноль бўлади:  $\Sigma Y = N_{81} = 0$ .

Бирлик куч 8- тугунда бўлса,

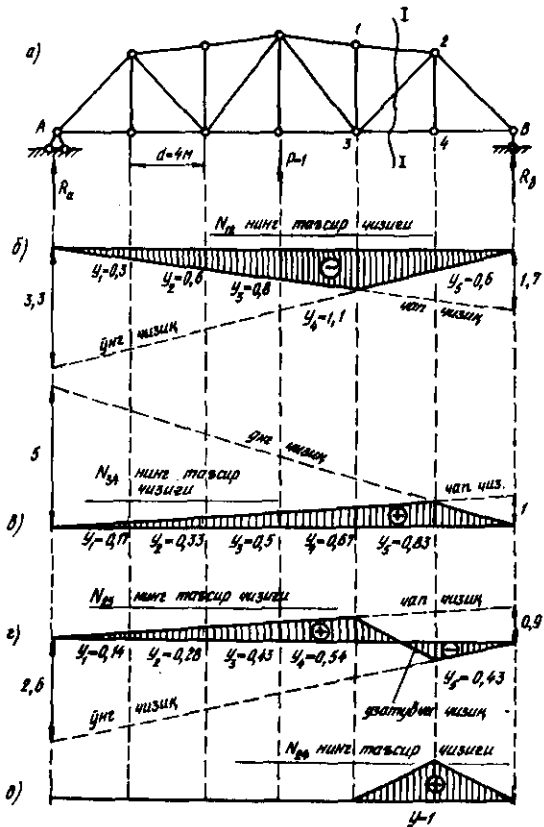
$$\Sigma Y = -N_{87} - P = 0,$$

бундан

$$N_{87} = -P = -1.$$

Мазкур зўрикишнинг таъсир чизиги 4.12-расм, е да тасвирланган.

**Мисол.** 4.12-расм, а да тасвирланган ферманнинг бешинчи панелидаги зўрикишлар учун таъсир чизиклари чизилсин ҳамда чизилган таъсир чизикларидан фойдаланиб, зўрикишларнинг қиймати аниқлансин.



4.12- расм

**Ечиш.** Момент нуктаси усулидан фойдаланиб  $N_{12}$  зўриқишининг таъсир чизигини чизамиз. Бунинг учун фермани 1—1 кесим билан қирқамиз. Навбатма-навбат ферманинг чап ва ўнг кисмлари учун мувозанат тенгламаларини тузамиз. Ферманинг чап кисми учун тенглама тузганда, бирлик куч  $P=1$  ферманинг ўнг томонида ҳаракатланади деб фараз этамиз ва аксинча.

3- тугун  $N_{12}$  учун момент нуктаси бўлади. Шу нуктага нисбатан моментлар тенгламасини тузамиз (4.10- расм, б).

а) ферманинг ўнг томони тенгламаси

$$\sum M_3 = -R_b \cdot 2d - N_{12} \cdot h_{12} = 0,$$

бундан

$$N_{12} = -\frac{2 \cdot 4}{4,9} \cdot R_b = -1,7R_b.$$

Бу ифодага кўра А таянчи остига ноль, В таянчи остига — 1,7 га тенг бўлган ординаталарни ўлчаб қўямиз ва уларни бирлаштириб, чап тўғри чизикни ҳосил қиласиз (4.12- расм, б);

б) бу ишларни ферманинг чап томони учун такрорлаймиз

$$\Sigma M_3 = R_a \cdot 4d + N_{12} \cdot h_{12} = 0,$$

бундан

$$N_{12} = -3,3R_a.$$

Бу ифодага кўра ўнг тўғри чизик ўтказилади. Штрихланган юза  $N_{12}$  зўрикишининг таъсир чизигидир (4.12- расм, б).

$N_{34}$  зўрикишининг момент нуктаси 2- тугун билан устма-уст ётади. Ферманинг чап ва ўнг қисмлар учун мувозанат тенгламаларини тузамиз ва уларнинг  $N_{34}$  га тегишли ординаталарини аниклаймиз (4.10- расм, б):

а) ферманинг чап қисми учун

$$\Sigma M_2 = R_a \cdot 5d - N_{34} \cdot h = 0,$$

бундан

$$N_{34} = 5R_a;$$

б) ферманинг ўнг қисми учун

$$\Sigma M_2 = -R_b \cdot d + N_{34} \cdot h = 0, N_{34} = R_b.$$

Штрихланган юза  $N_{34}$  нинг таъсир чизигидир (4.12- расм, в).

$N_{23}$  зўрикишининг момент нуктаси (К) фермадан ташқарида ётади (4.10- расм, б). Мувозанат тенгламаларини шу нуктага нисбатан тузамиз:

а) ферманинг чап қисми учун

$$\Sigma M_k = R_a(6d + x) + N_{23}h_{23} = 0; \text{ бундан } N_{23} = -2,6R_a,$$

бунга кўра ўнг (тўғри) чизик ўтказилади;

б) ферманинг ўнг қисми тенгламаси

$$\Sigma M_k = R_b \cdot x - N_{23} \cdot h_{23} = 0, N_{23} = 0,9R_b.$$

Бунга асосан чап (тўғри) чизик ўтказилади.

Чап ва ўнг чизиклар узатувчи чизик ёрдамида туташтирилди. Бунинг учун 3- тугун чап ва 2- тугун ўнг чизикка проекцияланади ҳамда топилган нукталар бирлаштирилди. Штрихланган юза  $N_{23}$  нинг таъсир чизигидир (4.12- расм, г).

$N_{24}$  зўриқишининг таъсир чизиги тугунларни кесиб олиш усулида курилади. Бунинг учун 4- тугунни кесиб оламиз ва унинг икки ҳолатини текширамиз (4.10- расм, в).

Биринчи ҳолатда бирлик куч 3—4 ва 4 — В панеллардан ташқарида харакатланади, деб фараз этамиз. Бу ҳолда мувозанат тенгламаси  $\Sigma Y = O$  дан  $N_{24} = O$  келиб чиқади.

Иккинчи ҳолатда бирлик куч 4- тугунга қўйилган деб фараз этамиз. Бу ҳол учун мувозанат тенгламаси  $\Sigma Y = N_{24} - P = O$  бўлади, бундан  $N_{24} = 1$  келиб чиқади.

Бирлик куч бошка тугунларда бўлганда,  $N_{24}$  зўриқиши нолга teng бўлади. Мазкур зўриқишининг таъсир чизиги 4.12- расм, д да тасвирланган.

Энди масаланинг иккинчи қисмини ҳал этишга киришамиз, яъни тайёр таъсир чизикларидан фойдаланиб, зўриқишиларнинг қийматини аниклаймиз. Фермага факат йигиқ кучлар қўйилган бўлганлиги учун зўриқишилар куйидаги формула билан аникланади:

$$N = P \sum_{i=1}^n Y_i$$

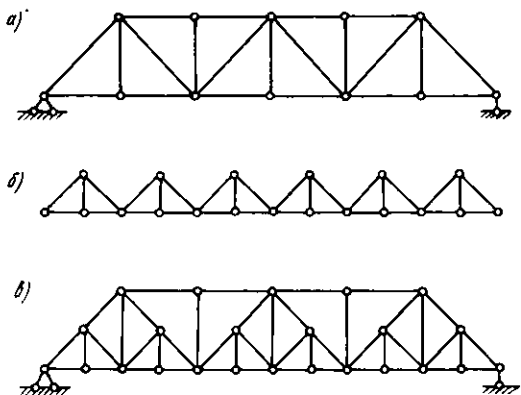
Бу формуладан фойдаланишда йигиқ кучлар пастга йўналганлиги учун (4.10- расм, а) мусбат ишорада,  $Y_i$  ординатасининг ишоралари эса таъсир чизиклари ишораси бўйича олинади.

$N_{12}$  зўриқишининг қийматини аниклайлик. Ферма тугунларига қўйилган қўзғолмас кучларнинг қиймати  $P = 12$  кН. Номаълум ординаталар ( $Y$ ) нинг қиймати  $N_{12}$  зўриқишининг таъсир чизикларидан топилади. Бунинг учун учбурчакларнинг ўҳшашлигидан фойдаланилди. Топилган ординаталарнинг қиймати шаклда кўрсатилган (4.12- расм, б).

Изланаетган зўриқишининг қиймати

$$\begin{aligned} N_{12} &= P(-y_1 - y_2 - y_3 - y_4 - y_5) = \\ &= -12(0,3 + 0,6 + 0,8 + 1,1 + 0,6) = -39,6 \text{ кН.} \end{aligned}$$

Бу қиймат аналитик усулда топилган қиймат билан бир хилдир. Қолган зўриқишиларнинг қийматлари ҳам шу йўсунда аникланади.



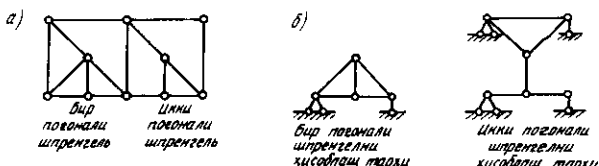
4.13- расм

#### 4.4. ШПРЕНГЕЛЛИ ФЕРМАЛАР

Катта узунликка эга бўлган ферманинг тугунлари орасидаги масофа (панел) хам катта бўлади. Бунинг оқибатида тугунларга таянувчи кўндаланг балкалар устига кўйиладиган бўйлама балкаларнинг вазни ортиб кетади. Бу ҳол иктисодий жиҳатдан самара сиздир. Панел узунлигини сақлаган ҳолда бўйлама балканинг узунлигини кискартириш учун асосий фермага (4.13-расм, а) кўшимча элементлар — шпренгеллар киритилади (4.13-расм, б). Натижада ҳосил бўлган ферма шпренгелли ферма деб аталади (4.13-расм, в).

Асосий ферма барча юкни ўзига қабул килади, шпренгеллар эса факат ўзига қўйилган юкни қабул килади.

Шпренгеллар бир ва икки погонали бўлиши мумкин (4.14-расм, а). Бир ва икки погонали шпренгелларнинг хисоблаш тарҳлари 4.14-расм, б-да тасвирланган.



4.14- расм

Шпренгелли фермаларнинг элементлари тўрт туркумга бўлинади:

1) факат асосий фермага тегишли бўлган элементлар. Бу элементлардаги зўриқишлар асосий ферма хисобидан топилади; ферма таркибига шпренгелларнинг кўшилиши мазкур элементлардаги зўриқишларга таъсир этмайди;

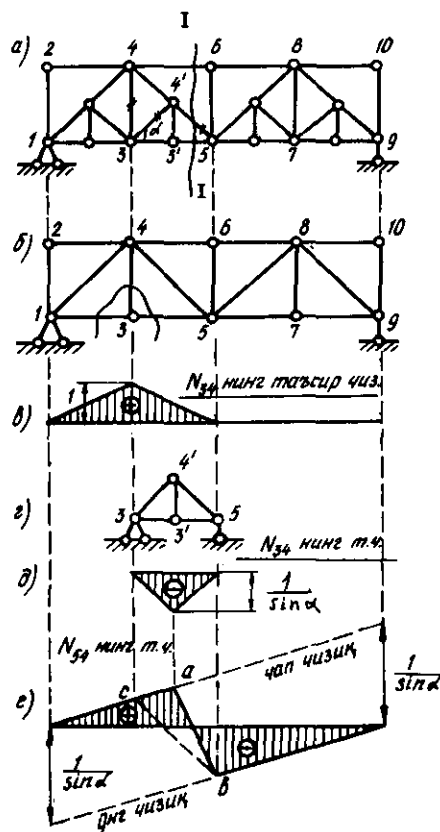
2) факат шпренгелларга, яъни кўшимча фермачаларга тегишли бўлган элементлар. Бу элементлардаги зўриқишлар шпренгелларнинг алоҳида хисобидан топилади;

3) бир вактнинг ўзида ҳам асосий фермага, ҳам шпренгелга тегишли бўлган элементлар. Бундай элементдаги зўриқиши икки хил зўриқишининг йигиндинси сифатида аниқланади; булардан бири асосий ферма элементининг зўриқиши; иккинчisi эса шпренгелли элементнинг зўриқишидир;

4) асосий ферманинг шундай элементларидирки, қўзгалувчан юкнинг харакат сатхига кўра, яъни юкнинг остики ёки устки тасмадан харакатланишига қараб элементдаги зўриқишининг таъсир чизиклари турлича бўлади.

**1- мисол.** 3—4, 3—4<sup>1</sup> ва 5—4<sup>1</sup> стерженлардаги зўриқишларнинг таъсир чизиклари курилсин (4.15- расм).

Ишни 3—4 стерженинаги зўриқишининг таъсир чизигини чизишдан бошлайлик. Аввалимбор бу стержень биринчи туркумга кирадиган, яъни факат асосий фермага оид бўлган стержендир. Шунинг учун бу масалани ҳал



4.15- расм

этишда шпренгелларни олиб ташлаб, асосий ферманинг ўзини колдирамиз (4.15- расм, б) ва ундан 3- тугунни кесиб олиб, мувозанат тенгламаларини тузамиз, натижада 4.15- расм, в да тасвириланган таъсир чизиғига эга бўламиз.

3—4<sup>1</sup> стержень иккинчи туркумга оид стержень эканлигини эътиборга олиб, шпренгелни асосий фермадан ажратиб оламиз ҳамда унга мустакил ферма сифатида ёндошамиз (4.15- расм, г).

Харакатланувчи бирлик куч  $P=1$  3<sup>1</sup> — тугунга қўйилган деб фараз этиб, 3- тугун учун мувозанат тенгламасини тузамиз:

$$\Sigma Y = \frac{1}{2} + N'_{34} \sin\alpha = 0; \text{ бундан } N'_{34} = -\frac{1}{2\sin\alpha}.$$

Бирлик куч таянчларга қўйилса, 3—4<sup>1</sup> стерженидаги зўрикиш нолга тенг бўлади. Буларга асосан 3—4<sup>1</sup> стерженидаги зўрикиш учун 4.15- расм, д да тасвириланган таъсир чизиғига эга бўламиз.

Учинчи туркумга оид бўлган 5—4<sup>1</sup> стерженидаги зўрикишни аниқлаш учун фермани 1—1 кесим бўйлаб кирқамиз ва унинг чап кисми учун мувозанат тенгламасини тузамиз:

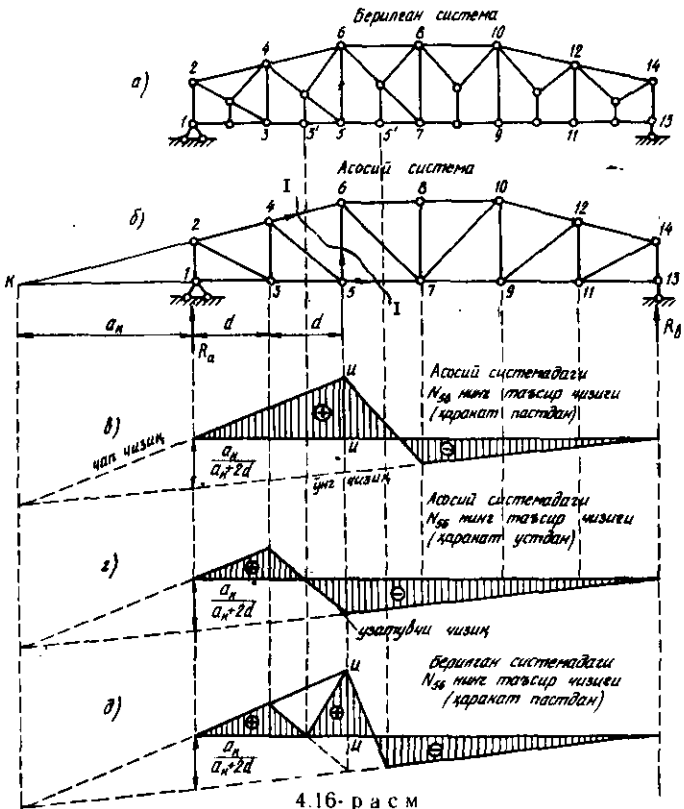
$$\Sigma Y = R_a + N'_{54} \sin\alpha = 0; \text{ бундан } N'_{54} = -\frac{R_a}{\sin\alpha}.$$

Бу кийматдан фойдаланиб, ўнг тўғри чизикни ўтказамиз (4.15- расм, е).  $N'_{34}$  нинг момент нуктаси чексизликда бўлганлиги сабабли чап тўғри чизикни ўнг тўғри чизикка параллел қилиб ўтказамиз. Узатувчи чизик  $ab$  ни ўтказиш учун 5 ва 4<sup>1</sup> — тугунларини ўнг ва чап чизикларга проекциялаймиз. Агар шпренгел бўлмаганида, узатувчи чизик  $BC$  бўйича ўтар эди. Бу ерда  $abc$  учбурчак шпренгелнинг асосий элементга таъсирини ифодалайди.

**2- мисол.** Таркибида икки поғонали шпренгеллар мавжуд бўлган ферманинг 5—6 устуни учун таъсир чизиклари курилсин (4.16- расм, а).

Ферманинг бу устуни стерженларнинг тўртинчи туркумiga киради, яъни устун асосий фермага тегишли элемент бўлиб, унинг таъсир чизиклари бирлик куч қайси тасмадан харакатланишига караб турлича бўлади.

Берилган системадаги шпренгелларни ташлаб юбориш йўли билан асосий системани хосил киламиз (4.16- расм, б). Асосий системанинг 5—6 стержени учун таъсир



чиликларини чизамиз. Бунда юкнинг устки ва остики тасмалар бўйича харакати кўриб чиқилади.

Фермани I—I кесим бўйлаб кирқамиш, бирлик куч кесимдан ўнг томонда ҳаракат киласди, деб фараз этиб, чап кисм учун К нуктага нисбатан моментлар тенгламасини тузамиз:

$$\Sigma M_k = -R_a a_k - N_{56} \cdot (a_k + 2d) = 0,$$

бундан

$$N_{56} = -\frac{R_a \cdot a_k}{a_k + 2d}.$$

Бу кийматга асосан ўнг тўғри чиликни ўтказамиз. Момент нуктасидан фойдаланиб, чап тўғри чилик ўткази-

лади. Бирлик күч пастки тасмада харакатланса, узатувчи чизикни ўтказиш учун чап ва ўнг түғри чизикларга 5 ва 7 тугунлар проекцияланади (4.16- расм, в). Юк юкори тасмада харакатланса, узатувчи чизикни ўтказиш учун 4 ва 6 тугунлар проекцияланади (4.16- расм, г).

Хар иккала таъсир чизигидан кўриниб турибдики, юк учинчи тугундан чапда ва еттинчи тугундан ўнгда харакатланса, зўриқишининг қиймати харакат сатхига боғлиқ бўлмайди.

Юк 3<sup>1</sup> ва 5<sup>1</sup> тугунларга қўйилса (4.16- расм, а), унинг таъсири икки поғонали шпренгеллар оркали юкори тугунларга узатилади; гўёки харакат устки тасма бўйлаб содир бўлгандек туюлади. Шу сабабга кўра, бундай холда  $N_{56}$  нинг ординаталари 4.15- расм, г дан олинади.  $N_{56}$  нинг изланаётган таъсир чизигини қуриш учун аниқланган ординаталар етарли. Мазкур таъсир чизиги 4.16- расм, д да ўз аксини топган.

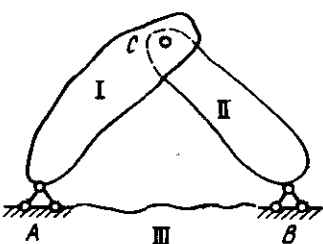
## 5- боб

### УЧ ШАРНИРЛИ АРҚАЛАР ВА РАМАЛАР

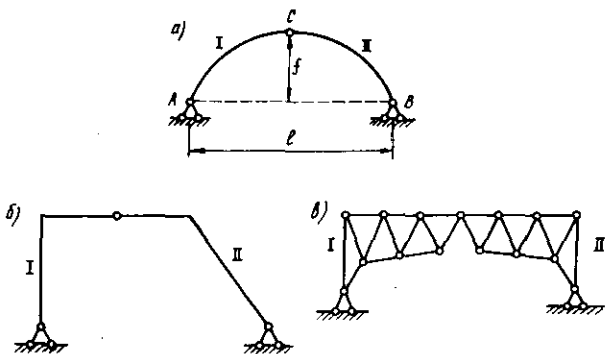
#### 5.1. УЧ ШАРНИРЛИ СИСТЕМАЛАР

Уч дискни уч шарнир ёрдамида бириктириш туфайли ҳосил бўлган система уч шарнирли система деб аталади (5.1- расм). Бунда учинчи диск сифатида ер қабул қилинади. Уч диск бир ўқ устида ётмаган уч шарнир (A, B, C) ёрдамида бирикса, геометрик ўзгармас система ҳосил бўлиши бизга аввалдан маълум.

Агар I ва II дисклар эгри чизикли стерженлардан иборат бўлса, бундай система уч шарнирли арка деб аталади (5.2- расм, а), агар I ва II диск синик түғри чизикли стерженлардан ташкил топган бўлса, уч шарнирли рама деб аталади (5.2- расм, б); агар I ва II диск ферма бўлса, у холда система уч шарнирли аркасимон ферма деб аталади (5.2- расм, в).



5.1- расм



5.2-расм

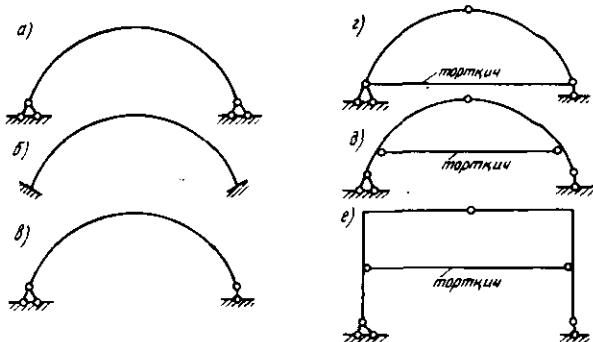
Уч шарнирли системалар вертикал ўкка нисбатан симметрик ёки носимметрик бўлиши мумкин. Симметрик системада С шарнири симметрия ўки устида жойлашади, А ва В таянч шарнирлари бир сатҳда ётади. Носимметрик системаларда таянчлар турли сатҳда жойлашиши мумкин.

Уч шарнирли система таянчларида вужудга келадиган горизонтал босим ва унга қарши реакция керки (распор) номи билан юритилади; системанинг ўзи эса керкили система деб аталади. Аркалар керки кучининг мавжудлиги билан балкалардан фарқ қиласди.

Арканинг гумбаздан фарки шундаки, арканинг кўндаланг кесими анча кичик бўлади, шунинг учун ҳам у стерженли системалар гурухига киради. Гумбаз эса қобиқлар гурухига кўшилади. Курилишда уч шарнирли, икки шарнирли (5.3-расм, а) ва шарнирсиз (5.3-расм, б) аркалар қўлланилади. Аркаларда керки кучининг мавжудлиги сабабли уларнинг таянчлари шарнирли ёки шарнирсиз қўзғалмас таянч кўринишида ишланади. Таянчлардан бири шарнирли қўзғалувчан бўлса, у арка эмас, эгри ўкли балка деб аталади (5.3-расм, в). Бинокорликда баъзан уч шарнирли аркаларнинг бошқача хили — торткичли аркалар ҳам учраб туради (5.3-расм, г).

Торткичлар шароитга қараб таянчлардан юқорироқ ўрнатилиши ҳам мумкин (5.3-расм, д). Курилишда торткичли рамалар ҳам кенг тарқалган (5.3-расм, е). Амалда аркаларнинг қайси туридан фойдаланиш иншоотнинг конкрет иш шароитига қараб ҳал этилади.

Уч шарнирли ҳамда торткичли аркалар ва рамалар



5.3- расм

статик аник, иккى шарнирли ва шарнирсиз аркалар статик ноаниқ системаларга киради. Бу бобда статик аник аркалар ва рамалар кўриб ўтилади. Статик ноаниқ аркалар билан 8- бобда танишамиз.

Аркаларнинг асосий белгилари уларнинг оралиқ узунлиги  $l$  ва арка баландлиги  $f$  дир. Ўргадаги  $C$  шарнири кулф-калит деб аталади.

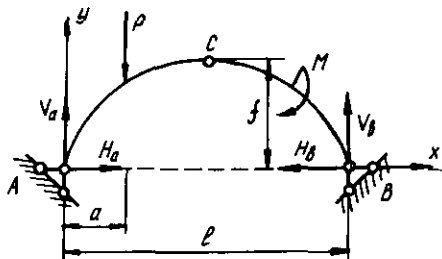
Шарнирсиз аркалар Ўрта Осиё бинокорлигига кадим замонлардан буён қўлланилиб келинади. Масжид, мадрасалар, ҳашаматли сарой ва макбаралар, ҳаммом, сардоба ва кўпприкларда равоқ ва гумбаз кўринишида арка элементларини кўплаб учратамиз. 1502 йили Шайбонийхон томонидан Зарафшон дарёсига курилган сув айирғич кўпригининг айрим равоқлари хозирга қадар сакланиб колган.

## 5.2. УЧ ШАРНИРЛИ АРКАЛАРНИНГ ТЯИНЧ РЕАКЦИЯЛАРИНИ АНИҚЛАШ

Ихтиёрий кучлар қўйилган уч шарнирли арканинг (5.4- расм) тяянч реакцияларини аниклаш талаб этилади.

Маълумки, уч шарнирли аркалар статик аник бўлади. Шу боисдан уларнинг тяянч реакцияларини аниклашда статиканинг мувозанат тенгламалари кифоя этади. Уч шарнирли аркаларда ташқи кучлар таъсирида иккита горизонтал ( $H_a, H_b$ ) ва иккита вертикал ( $V_a, V_b$ ) реакция кучлари вужудга келади. Бу номаълум тяянч реакциялари куйидаги тенгламалардан аникланиши мумкин:

$$\Sigma M_A = 0; \Sigma M_b = 0; \Sigma M_c^{(\text{чап})} = 0; \Sigma X = 0.$$



5.4- р а с м

В таянчидаги вертикал реакция күчи  $V_b$  ни аниқлаш учун  $A$  шарнирига нисбатан моментлар йиғиндисини тұзамиз.

$$\sum M_a = P \cdot a + M - V_b l = 0.$$

Бұндандан

$$V_b = \frac{P_1 a + M}{l}.$$

Мазкур формулалыңнинг сурати  $A$  нүктасига нисбатан барча ташки күчлар моментлари йиғиндиси  $\sum M_A^{\text{тәш}}$  ни ифодалайды. Шунга күра юкоридаги формуланы қўйидаги кўринишда ёза оламиз:

$$V_b = \frac{\sum M_A^{\text{тәш}}}{l}.$$

А таянчидаги реакциянынг вертикал ташкил этувчиси-ни хам шүй йўсинда топа оламиз:

$$V_a = \frac{\sum M_b^{\text{тәш}}}{l}.$$

Горизонтал реакция күчи  $H_b$  ни аниқлаш учун  $C$  шарнирига нисбатан ўнг томонда ётган күчлардан момент оламиз:

$$\sum M_c^{\text{тәш}} = M - V_b \frac{l}{2} + H_b f = 0,$$

бұндандан

$$H_b = \frac{V_b \frac{l}{2} - M}{f} \quad \text{еки} \quad H_b = \frac{\sum M_c^0 (\text{тәш})}{f}.$$

Бу ерда ноль индекси узунлиги ва юкланиши арка билан бир хил бўлган оддий балкадаги момент эканлигини билдиради.

А таянчидаги горизонтал реакция куч  $H_a$  икки тенгламанинг биридан, яъни  $\sum M_c^{\text{чай}} = 0$  ёки  $\sum x = 0$  тенгламаларидан аникланиши мумкин. Проекция тенгламасидан фойдаланамиз:

$$\sum x = H_a - H_b = 0; \text{ бундан } H_a = H_b = H.$$

Охирги ифода шуни кўрсатадики, агар аркага вертикал кучлар кўйилган бўлса, горизонтал реакциялар ўзаро тенг бўлар экан.

Уч шарнирли аркалар учун баён этилган коидалар тўлалигича уч шарнирли рамалар учун ҳам тааллуклидир.

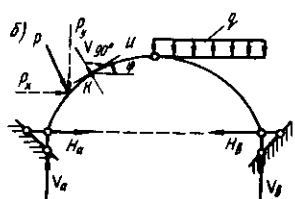
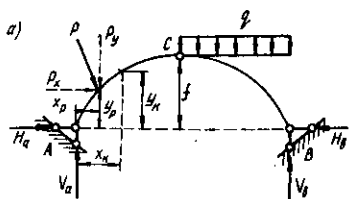
### 5.3. УЧ ШАРНИРЛИ АРКАЛАРНИ АНАЛИТИК УСУЛДА ҲИСОБЛАШ

Ҳисоблашдан мақсад бу ерда ҳам бошқа конструкциялардаги сингари ички кучларни аниклашдан иборатдир. Ички кучлар деганда, арканинг кўндаланг кесимларида ташки кучлар таъсирида ҳосил бўладиган эгувчи момент  $M$ , кўндаланг куч  $Q$  ва бўйлама куч  $N$  тушунилади.

Ички кучларни аниклашда ишора коидаси балкадаги коидага ўхшашибдир, яъни куч арканинг эргилигини оширса — ишора манфий, эргилигини камайтирса — мусбат, кесимга нисбатан куч соат стрелкаси бўйича айланаса — мусбат, тескари йўналишда — манфий олинади.

Бўйлама кучлар ишораси бошқача: куч стерженинни сикса — мусбат, чўзса — манфий олинади.

Уч шарнирли арканинг ихтиёрий  $K$  кесимида вужудга келадиган эгувчи момент  $M_k$  ни аниклаймиз (5.5-расм, а). Бунинг учун аркани шу кесим бўйича хаёлан киркализиз ва кесимнинг чап ёки ўнг томони учун моментлар йигиндисини ёзамиз:



5.5-расм

$$M_k = V_a x_k - H_a y_k - P_y (x_k - x_p) - P_x (y_k - y_p), \quad (5.1)$$

Бу ерда  $x_k$  ва  $y_k$  — арканинг  $K$  кесими координаталари;

$P_x$  ва  $P_y$  — ташки куч  $P$  нинг горизонтал ва вертикал проекциялари;

$x_p$  ва  $y_p$  — куч қўйилган нуқтанинг координаталари.

Агар аркага қўйилган куч оғма эмас, тик бўлса, у ҳолда  $P$  кучининг горизонтал проекцияси ноль,  $P_y = P$  ва  $H_a = H_b = H$  бўлади.

(5.1) ифода эса қуидаги кўринишни олади:

$$M_k = V_a x_k - P(x_k - x_p) - H y_k \quad (5.2)$$

Бу формуладаги  $V_a x_k - P(x_k - x_p)$  ифода, узунлиги ва юкланиши жиҳатидан шу арка билан бир хил бўлган оддий балқанинг эгувчи моменти  $M_k^0$  ни англатади. Буни эътиборга олсак, (5.2) формула қуидаги содда кўринишга келади:

$$M_k = M_k^0 - H y_k. \quad (5.3)$$

Қўндаланг ва бўйлама кучларни аниклаш учун арканинг  $K$  кесимига уринма ( $u$ ) ва шу уринмага тик бўлган чизик ( $v$ ) ўтказамиз (5.5- расм, б). Қўндаланг кучларни аниклаш учун  $v$  ўқига, бўйлама кучларни аниклаш учун  $u$  ўқига нисбатан кучлар проекцияларининг йиғиндисини оламиз:

$$\begin{aligned} Q_k &= V_a \cos\varphi - H_a \sin\varphi - P_y \cos\varphi - P_x \cos\varphi; \\ N_k &= V_a \sin\varphi + H_a \cos\varphi - P_y \sin\varphi + P_x \cos\varphi. \end{aligned} \quad (5.4)$$

Бу ерда  $\varphi$  — уринма билан горизонтал чизик орасидаги бурчак. Агар аркага қўйилган кучлар тик бўлса, у ҳолда (5.4) формула қуидаги кўринишни олади:

$$\begin{aligned} Q_k &= (V_a - P) \cos\varphi - H \sin\varphi; \\ N_k &= (V_a - P) \sin\varphi + H \cos\varphi. \end{aligned} \quad (5.5)$$

Бу ерда  $|V_a - P|$  аркага тенг кучли бўлган оддий балқадаги қўндаланг куч  $Q_k^0$  дир. Буни эътиборга олсак, (5.5) ифода қуидаги кўринишга келади:

$$\begin{aligned} Q_k &= Q_k^0 \cos\varphi - H \sin\varphi; \\ N_k &= Q_k^0 \sin\varphi + H \cos\varphi. \end{aligned} \quad (5.6)$$

(5.3) ва (5.6) формулалардан фойдаланиб, арканинг бир қанча кесимлари учун эгувчи момент, қўндаланг ва

бўйлама кучлар аниқланади ҳамда  $M$ ,  $Q$  ва  $N$  эпюралар курилади.

Арка моменти балка моментларидан кичик бўлиши (5.3) формуладан якъол кўриниб турибди.

#### 5.4. УЧ. ШАРНИРЛИ АРКАНИНГ МАҚБУЛ ЎКИ

Агар аркага вертикал йўналишда текис ёйик куч кўйилган бўлса, арканинг ўкини шундай олиш мумкинки, бунда арканинг барча кесимларида эгувчи момент нолга тенг бўлади. Эгувчи моментлари нолга тенг бўлган арка ўқи мақбул (рационал) ўқи деб аталади. Арканинг ўзи эса мақбул ўқли арка деб юритилади (5.6- расм).

Арканинг мақбул ўки тенгламасини тузиш учун (5.3) формуладан фойдаланамиз. Ушбу формуладаги арка моментини нолга тенглаймиз:

$$M_x^0 - H_y = 0. \quad (a)$$

Шаклдан

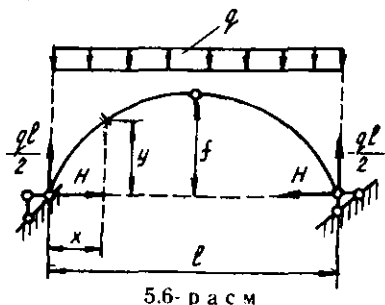
$$M_x^0 = \frac{q}{2}x - \frac{qx^2}{2} = \frac{qx}{2}(l-x).$$

$$H = \frac{M_c^0}{f} = \frac{q}{2}\left(l - \frac{l}{2}\right) \cdot \frac{1}{f} = \frac{ql^2}{8f}. \quad (b)$$

Ифода (a) дан

$$y = M_x^0/H \quad (b)$$

келиб чиқади. (b) да аниқланган кийматларни (b) га кўйамиз;



$$\begin{aligned} y &= \frac{(qx/2)(l-x) \cdot 8f}{ql^2} = \\ &= \frac{4f}{l^2} \cdot (l-x)x. \end{aligned}$$

Шу тенглама ёрдамида чизилган парабола арканинг мақбул ўки бўлади, мақбул ўқли аркада эгувчи момент нолга тенгdir.

## 5.5. УЧ. ШАРНИРЛІ АРКАЛАРНИ ҚҰЗҒАЛУВЧИ ЮК ТАЪСИРИГА ХИСОБЛАШ

Балка ва фермалар хисобида күриб ўтганимиздек, ишшоотларни құзғалувчи юклар таъсирига хисоблаш учун таъсир чизиклари деб аталувчи график чизиб олинади. Таъсир чизиклари ҳар бир таянч реакцияси ва ҳар бир ички күч ( $M$ ,  $Q$ ,  $N$ ) учун алохида равишда курилади.

### Таянч реакцияларининг таъсир чизиклари

Чап ва ўнг таянч шарнирларига нисбатан моментлар тенгламасини тузамиз (5.7- расм, а):

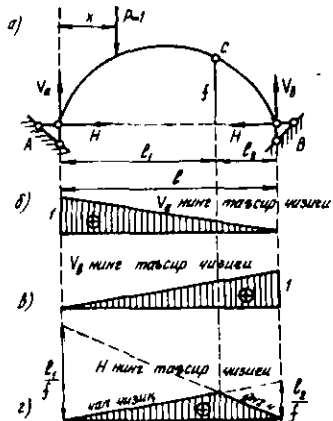
$$\Sigma M_b = V_a \cdot l - P(l - x) = 0;$$

$$\Sigma M_a = -V_b l + P \cdot x = 0.$$

Бу тенгламалардан  $V_a$  ва  $V_b$  топилади.

Топилган ифодалар балка таянч реакцияларининг ифодасидан фарқ қылмайды. Демак, арка реакцияларининг таъсир чизиклари ҳам балканинг таъсир чизикларидан фарқ қылмаслиги керак (5.7- расм, б, в).

Маълумки, керки кучи  $H = M_c^0/f$  тенгламаси ёрдамида аникланади. Бундан  $H$  нинг таъсир чизиги балка моменти  $M_c^0$  нинг таъсир чизигидан  $1/f$  маротаба кичик эканлиги күриниб турибди.. Шунинг учун  $H$  нинг таъсир чизигини куришда  $A$  таянчи остиага  $l_1$  нинг ўрнига  $l_1/f$  ни ўлчаб күя миз. Бу миқдорни  $B$  таянч остидаги ноль билан туташтирасак, ўнг түғри чизик келиб чиқади. Чап түғри чизикни ўтказиш учун  $C$  шарнирни ўнг түғри чизикка проекциялаймиз, топилган нүктанни  $A$  таянчи остидаги ноль билан туташтирамиз. Штрихланган юза керки кучи — горизонтал реакция  $H$  нинг таъсир чизигидир (5.7- расм, г). Агар  $l_1 = l_2 = l/2$  бўлса,  $C$  шарнири остидаги ордината  $l/4f$  бўлади.

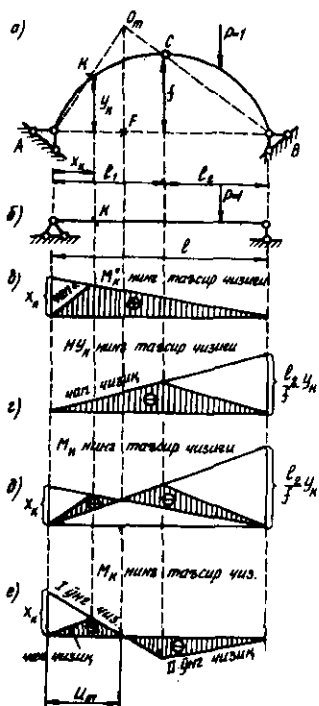


5.7 расм

## Эгувчи момент $M$ нинг таъсир чизиги

Арканинг исталган кесимидағи эгувчи момент  $M_k = M_k^0 - H_{yk}$  формуласи ёрдамида аникланишини юкорида кўриб ўтдик. Арканинг ихтиёрий  $K$  кесимидағи эгувчи момент  $M_k$  нинг таъсир чизигини куришда ҳам шу формуладан фойдаланамиз (5.8-расм, *a*).

Формулага Караганда, арканинг таъсир чизиги оддий балканинг (5.8-расм, *b*)  $K$  кесимидағи эгувчи момент  $M_k^0$  нинг таъсир чизиги билан  $y_k$  марта катталаштирилган керки кучи  $H$  нинг таъсир чизиклари орасидаги фаркка тенг бўлади.  $M_k^0$  ва  $H_{yk}$  нинг таъсир чизиклари 5.8-расм, *b* — да тасвирланган. Ҳар иккала шаклни устма-уст жойлаштириш йўли билан изланаётган таъсир чизигини хосил киласиз (5.8-расм, *c*). Хосил бўлган таъсир чизигини тўғри ўқка жойлаштируса ҳам бўлади (5.8-расм, *e*).



5.8-расм

5.8-расм, *g* — да тасвирланган  $M_k$  нинг таъсир чизигида  $M_k$  нинг ўнг чизиги билан  $H_{yk}$  нинг чап чизиги ноль нуктасида кесишади. Ушбу нуктанинг ҳолатини график усулда аникласа бўлади. Бунинг учун  $BC$  ва  $AK$  чизикларининг кесишув нуктаси  $O_m$  ни аниклаймиз (5.8-расм, *a*). Таъсир чизигининг 0 нуктаси ана шу нукта остида ётади.

$M_k$  нинг таъсир чизигини бевосита ноль нуктаси оркали курса ҳам бўлади. Бунинг учун ихтиёрий ўқка  $X_k$  масофаси ўлчаб кўйилади (5.8-расм, *e*).  $O_m$  нуктасини ўқка проекциялаб, ноль (0) нуктаси аникланади.  $X_k$  нинг учи 0 билан бирлаштирилади ва  $C$  шарнирининг проекцияси билан учрашгунча давом эттирилади. Ўтказилган чизик I ўнг чизик деб аталади. II ўнг чизик шаклда

тилгандаңдек ўтказилади. Чап чизик одатдагидек ўтказилади, яъни  $K$  кесимининг проекцияси билан  $A$  таянчи остидаги ноль нукта бирлаштирилади. Штрихланган юза  $M_k$  нинг таъсир чизиги бўлади.

Ноль нуктасининг абсциссаны  $u_m$   $AFO_m$  ва  $BFO_m$  учбурчакларидан топилади:  $FO_m = \frac{y_k}{x_k} u_m = \frac{l}{l_2} (l - u)$ ;

$$\text{бундан } u_m = \frac{fx_k}{y_k l_2 + fx_k}$$

келиб чиқади.

### Кўндаланг куч $Q_k$ нинг таъсир чизиги

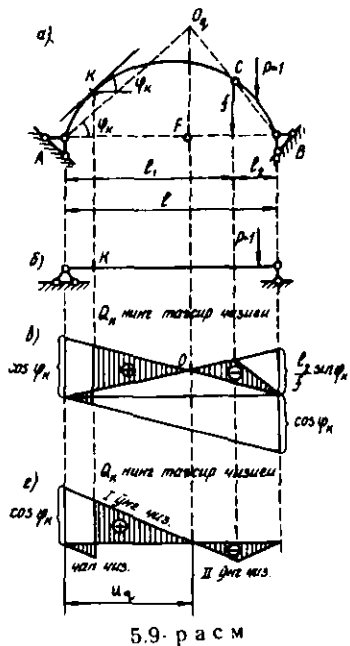
Уч шарнирли арканинг  $K$  кесимидағи кўндаланг куч  $Q_k$  нинг таъсир чизигини куришда қўйидаги формуладан фойдаланамиз (5.9- расм, а):

$$Q_k = Q_k^0 \cos \varphi_k - H \sin \varphi_k;$$

бу ерда  $Q_k^0$  оддий балканинг  $K$  кесимидағи кўндаланг куч (5.9- расм, б);  $\varphi_k$  —  $K$  кесимига ўтказилган уринма билан горизонтал ўқ орасидаги бурчак.

Арка бўйлаб бирлик куч ҳаракат килганда,  $Q_k^0$  билан  $H$  ўзгариб боради,  $\cos \varphi_k$  билан  $\sin \varphi_k$  эса ўзгаришсиз қолади. Бунга кўра  $Q_k$  нинг таъсир чизиги  $Q_k^0 \cos \varphi_k$  билан  $H \sin \varphi_k$  нинг таъсир чизиклари алгебранк йигиндиси сифатида курса бўлади. Ана шу йигинди 5.9- расм, в- да тасвиirlанган, яъни икки хил таъсир чизиги устма-уст жойлаштирилган. Микдорлари тенг, ишораси қарамакарши бўлган ординаталар қискариб кетган, қолганлари штрихланган. Штрихланган юза  $Q_k$  нинг таъсир чизигидир.

Агар ҳосил бўлган шаклни горизонтал ўқ устига



5.9- расм

жойлаштирасак,  $Q_k$  нинг таъсир чизиги 5.9- расм, г да тасвирланган кўринишни олади.

Мазкур таъсир чизигини ноль нуктаси усулида, яъни график усулдá курса ҳам бўлади. Бунинг учун аввал ноль нуктанинг ҳолати аниклаб олинади, изланаётган нукта ( $O_q$ ) икки чизикнинг кесишув нуктаси тарикасида топилади. Улардан бири  $BC$  чизиги, иккинчиси  $K$  кесимидан ўтган уринмага  $A$  шарниридан ўтказилган параллел чизикдир (59- расм, а). Шу нуктанинг горизонтал ўқка проекцияси (0) ноль нукта ҳисобланади.

Ихтиёрий горизонтал ўққа  $\cos\varphi_k$  масофани ўлчаб кўямиз (5.9- расм, г). Масофанинг учини ноль нукта билан туташтирамиз ва уни  $C$  шарнири проекцияси билан учрашгунча давом эттирамиз. Ўтказилган кесма I ўнг чизик бўлади. II ўнг чизик шаклда кўрсатилгандек ўтказилади. Чап чизик I ўнг чизикка параллел равишда ўтказилиб  $K$  кесимининг проекциясига қадар давом этади. Штрихланган юза  $Q_k$  нинг таъсир чизиги ҳисобланади.

Ноль нуктанинг абсциссаси  $AFO_q$  ва  $BFO_q$  учбурчаклари орқали  $U_q = \frac{fl}{f + l_2 \operatorname{tg}\varphi_k}$  формуладан топилади.

### Бўйлама куч $N$ нинг таъсир чизиги

Уч шарнирли арканинг  $K$  кесимидағи бўйлама куч  $N_k$  нинг таъсир чизигини қуришда  $N_k = Q_k \sin\varphi_k + H \cos\varphi_k$  формуласидан фойдаланамиз (5.10- расм, а).

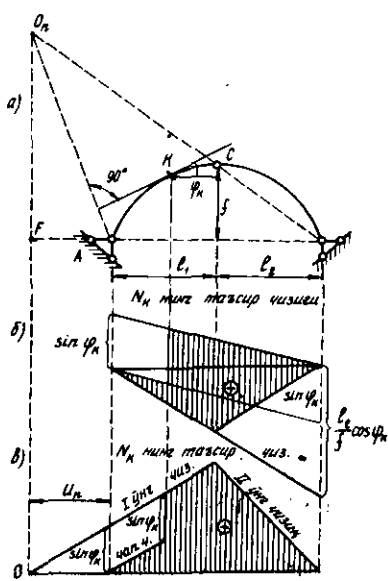
Формулага қараганда  $N_k$  нинг таъсир чизигини  $Q_k^0 \sin\varphi_k$  билан  $H \cos\varphi_k$  таъсир чизикларининг йигиндиси сифатида курса бўлади. Бу ишни амалга ошириш учун аввал  $Q_k^0 \sin\varphi_k$  нинг таъсир чизигини курамиз. Сўнгра бунинг устига  $H \cos\varphi_k$  нинг таъсир чизигини тескари равишда жойлаймиз (5.10- расм, б). Штрихланган юза  $N_k$  нинг таъсир чизиги бўлади.

Илгари кўриб ўтганимиздек,  $N_k$  нинг таъсир чизигини ҳам ноль нуктаси усулида қуриш мумкин. Бунинг учун аввал  $O_n$  нуктаси топиб олинади (5.10- расм, а). Бу нукта ҳам иккита чизикнинг кесишув нуктасида ётади: чизиклардан бири  $BC$  кесмаси, иккинчиси эса  $K$  кесимидан ўтказилган уринмага тик бўлган  $AO_n$  чизигидир. Топилган  $O_n$  нуктасини горизонтал ўққа проекциялаб, ноль (0) нуктасини аниклаймиз (5.10- расм, в). А таянч остига  $\sin\varphi_k$

кесма сини ўлчаб күймиз. Кесманинг юкори учини ноль нүкта билан бирлаштириб,  $C$  шарнирининг проекциясынга давом этирамиз. Бу I ўнг чизик бўлади. Чап тўғри чизик I ўнг чизикка параллел равишда ўтказилади. Штри хланган юза  $N_k$  нинг таъси р чизигидир.

Ноль нүктасининг абсцисаси  $AFO_n$  ва  $BFO_n$  учбурчаклари орқали куйидаги формуладан топилади:

$$l_{n_0} = \frac{fl}{l_2 \operatorname{ctg} \varphi_k - f}$$

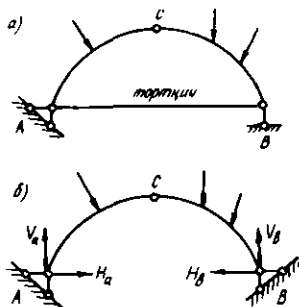


5.10- расм

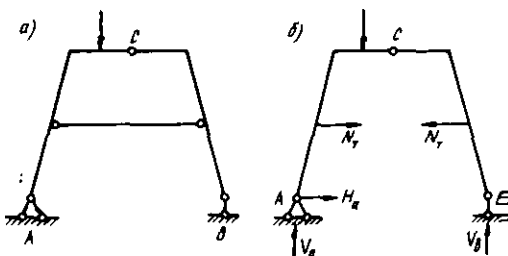
### 5.6. УЧ. ШАРНИРЛИ ТОРТКИЧЛИ АРКА ВА РАМАЛАРНИ ХИСОБЛАШ. ЯДРО МОМЕНТЛАРИ

Уч шарнирли торткичли арка ва рамаларнинг хисоби торткичсиз системалар хисобидан бироз фарқ қиласи. Бу тафоъутни 5.11- расм, а — да тасвирланган арка мисолида кўриб ўтамиз.

Арканинг  $B$  таянчи шарнирли кўзгалувчидир. Ўртадаги  $C$  шарнирининг мавжудлигини инобатга олсак, бу системага торткичининг зарурийлиги ўз-ўзидаи аён бўлади. Чунки бу системанинг геометрик ўзгармасли гини айнан шу торткич таъми илайди. Бошқача қилиб айтгандай,  $B$  таянчи горизонтал тўналишда торткич туфайли кўзгалмасдир. Демак, торткичини  $B$  таянчининг горизонтал стержени сифатида



5.11- расм



5.12-расм

талкин этса ҳам бўлади. Бу эса ҳисоб жараёнида тортқичсиз арка (5.11-расм, б) учун берилган формула-лардан бемалол фойдаланиш имконини беради. Тортқич-даги зўриқишиш горизонтал таянч реакцияси  $H_b$  га тенг бўлганлиги сабабли тортқичли арка кўндаланг ჯесимлари-даги зўриқишишлар тортқичсиз арка кўндаланг ҷесимлари-даги зўриқишишларга тенг бўлади. Шунингдек, тортқичли ва тортқичсиз аркаларнинг таянч чизикларида ҳам ҳеч кандай тафовут бўлмайди.

Баъзан уч шарнирли арка ва рамаларда тортқич таянчдан юкорироққа ўрнатилади (5.12-расм, а). Тортқични ташлаб юбориб, ўрнига қарама-карши йўналган кучлар  $N_t$ , кўямиз (5.12-расм, б). Кучларнинг киймати тортқичдаги зўриқишишга тенг бўлади. Бу ерда асосий масала ана шу зўриқишини аникланадан иборатdir. Раманинг таянч реакциялари статиканинг мувозанат тенгламаларидан топилади.

$N_t$  нинг киймати  $C$  шарнирига нисбатан чап ёки ўнг томонда жойлашган кучларнинг моментлари йигиндинисини ифодаловчи тенгламалар  $\sum M_c = 0$  ёки  $\sum M_c = 0$  дан

топилади.

$N_t$ , аниклангач, арка ёки раманинг исталган ҷесимидағи ички кучлар тортқичсиз система учун берилган формула-лардан фойдаланиб топилади.

**Ядро моментлари ва нормал кучланишлар.** Материаллар каршилиги фанидан маълумки, номарказий сикилишда ҷесимнинг четки нукталарида ҳосил бўладиган энг катта ва энг кичик нормал кучланишлар қўйидаги формуладан аникланади:

$$\sigma = \frac{N}{F} + \frac{M}{W}.$$

Бу ерда  $F$  — элементнинг кўндаланг кесим юзаси;  $W$  — кўндаланг кесимнинг қаршилик моменти;  $N$  ва  $M$  — кесимга таъсир этувчи бўйлама куч ва эгувчи момент.

Арка кесимининг четки нукталаридағи номаълум кучланишларни аниклашга ядро моментларидан фойдалансак, масала анча осонлашади.

Арка кесимининг энг четки нукталари 1 ва 2 да ҳосил бўладиган нормал кучланишларни аниклайлик (5.13- расм, а). Арканинг чап қисмини ўнг қисмiga бўлган таъсирини  $m$  нуктага қўйилган teng таъсир этувчи  $R$  орқали белгилайлик. Тенг таъсир этувчи куч  $R$  ни бўйлама  $N$  ва кўндаланг  $Q$  ташкил этувчиларга ажратамиз.

1- нуктадаги нормал кучланишни кесим ядроси орқали аниклаймиз (5.13- расм, б). Маълумки, бўйлама сиқувчи куч — ядронинг ҳошиясиға қўйилса, кесим кирғокларида нормал кучланиш нолга teng бўлади. Бинобарин, бўйлама куч кесим ядросининг  $K_1$  нуктасига қўйилса, 1- нуктадаги нормал кучланиш ноль бўлади.

Кесим ядросининг  $K_1$  нуктасига ўзаро teng, аммо қарама-қарши йўналган  $N$  кучини қўямиз. Бу учлардан бири  $m$  нуктасига қўйилган  $N$  кучи билан жуфт куч, яъни момент ҳосил қиласди:

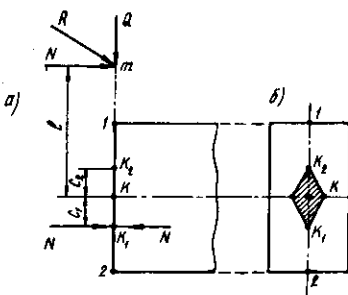
$$M_{k_1} = N(l + C_1)$$

иккинчиси эса 1 — нуктада нолга teng бўлган кучланиш ҳосил қиласди. Натижада 1- нуктадаги кучланиш  $\sigma$  факат эгувчи момент  $M_{k_1}$  орқали ифодаланади:  $\sigma_1 = \frac{M_{k_1}}{W}$ ; бу ердаги  $M_{k_1}$  — ядро моменти деб аталади.

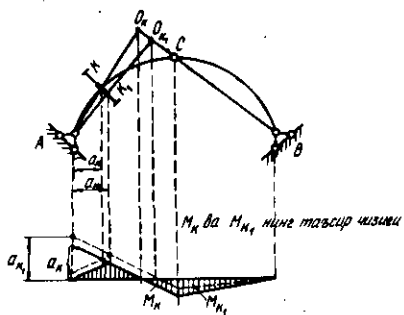
2- нуктадаги кучланишни ҳам ядро моменти орқали топса бўлади:

$$\sigma_2 = -\frac{M_{k_2}}{W}, \text{ бу ерда } M_{k_2} = N(l - C_2)$$

5.14- расмда  $K$  кесимидағи эгувчи моменти  $M_k$  ва ядро моменти  $M_{k_1}$ , нинг таъсир чизиқлари берилган. Ҳар иккала



5.13- расм



5.14- расм

таъсир чизиги ноль нуктаси усулида курилган. Графикни ясаш тартиби ҳар иккала момент учун бир хил. Асосий фарқ  $O_k$ , нуктасини аниклашда намоён бўлади. Агар  $O_k$  нуктасини топишда  $AK$  нукталари бирлаштирилса,  $O_k$  нуктасини топишда  $AK_1$  нукталари туташтирилади. Шунинг эвазига ноль нукталар орасида озгина фарқ бўлади. Бу фарқ ўз навбатида таъсир чизиклари ординаталари орасидаги тафовутга олиб келади.

### 5.7. УЧ. ШАРНИРЛИ АРКАСИМОН ФЕРМАЛАРНИ ХИСОБЛАШ

Аркасимон фермалар тузилиш жиҳатидан фермаларни, ишлаш жараёни жиҳатидан аркаларни эслатади. Шунинг учун ҳам уларни хисоблашда баъзан аркага, баъзан фермага ҳос бўлган коидалардан фойдаланилади. Мухими шундаки, уч шарнирли аркасимон фермалар керкили (распорли) системаларга киради, яъни буларда ҳам вертикал кучлар таъсирида горизонтал реакция кучлари пайдо бўлади (5.15- расм, а). Керки кучларини шарнирли кўзғолмас таянчлар қабул қиласди. Аркасимон ферманинг икки диски қулф-калит шарнири  $C$  воситасида биринтирилади. Расмдан кўриниб турибдики, дисклар яхлит эмас панжародор қилиб ферма шаклида ишланган.

5.15- расм, а — да берилган уч шарнирли аркасимон ферманинг ҳисоби билан танишиб чикамиз.

Берилган системанинг вертикал ва горизонтал реакциялари яхлит арканинг реакциялари каби аникланади. Масалан, чап таянчдан  $x$  масофада бирлик куч  $P=1$  кўйилган бўлса,  $V_a$  ва  $V_b$  реакциялари қўйида-гича топилади:

$$V_a = \frac{l-x}{l}; \quad V_b = \frac{x}{l}.$$

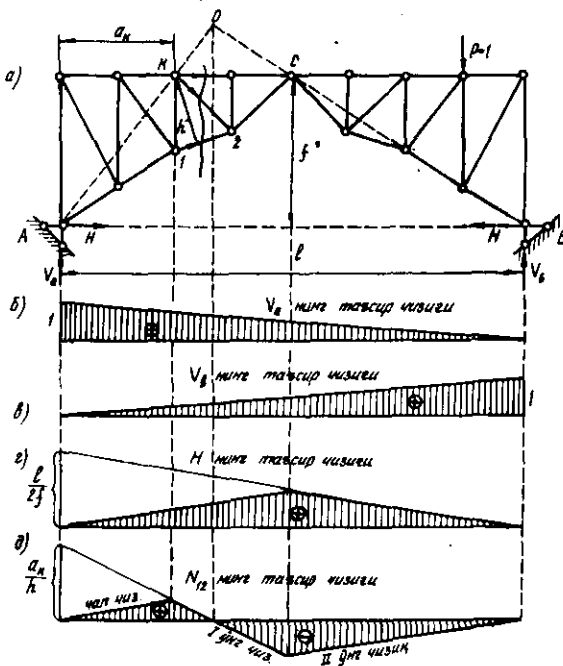
Керки кучи  $H$  қуйидаги тенгламадан анықланади:

$$H = \frac{M_c^0}{f};$$

бу ерда  $M_c^0$  — аркага тенг узунликка эга бўлган оддий балканинг  $C$  кесимидағи момент.

$V_a$ ,  $V_b$  ва  $H$  нинг таъсир чизиклари 5.15- расм,  $a$ ,  $b$ ,  $c$ ,  $d$  — да тасвирланган.

Уч шарнирли аркасимон ферманинг 1—2 стерженидаги зўриқишининг таъсир чизигини қурамиз (5.15- расм,  $a$ ). Ферманни 1—1 кесими бўйлаб кирқамиз. Зўриқиши изланаётган стержень (1—2) учун  $K$  нукта момент нуктаси хисобланади.  $N_{1,2}$  ни аниклаш учун  $K$  нуктага нисбатан чап томонда ётган қучлардан моментлар йигиндисини



5.15- расм

ёзамиз (бунда бирлік күч кесимдан үнгіде деб фараз өтәмиз):

$$\Sigma M_k = V_a a_k - H y_k - N_{12} h = 0;$$

бу ердан

$$N_{12} = \frac{V_a a_k - H y_k}{h}.$$

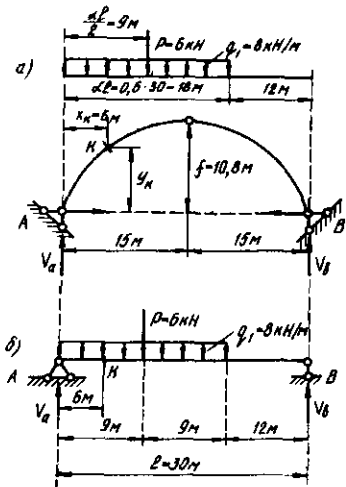
Агар момент нүктаси  $K$  ни арканинг  $K$  кесими деб фараз өтсак хамда  $a_k$  ва  $y_k$  ларни шу кесимнинг координаталари деб олсақ, касрнинг сурати аркавий момент  $M_k^{ap}$  бўлади. У ҳолда зўрикиш

$$N_{12} = \frac{M_k^{ap}}{h}$$

ифодаси билан аникланади.

Демак, ферма стерженидаги зўрикиш  $N_{12}$  нинг таъсир чизигини аркавий момент  $M_k^{ap}$  орқали курса бўлади. Бунинг учун арка моменти таъсир чизикларини  $h$  га қисқартирилса кифоя.

Арканинг  $K$  кесими учун моментнинг таъсир чизигини қуришда  $A$  таянчи остига  $a_k$  масофани ўлчаб қўйилар эди. Бу сафар шу масофани  $h$  маротаба кичрайтириб қўямиз (5.15- расм,  $\delta$ ). Колган ишлар уч шарнирли аркадаги ишлар билан айнан бир хиллар.



5.16- расм

**Мисол.** Уч шарнирли арканинг  $K$  кесимидаги эгувчи момент, кўндаланг ва бўйла мақчулар аналитик усууда хисоблансин. Айни шу мидорлар таъсир чизиклари орқали ҳам аниклансан. Арка ўқи парабола бўлиб, куч ва ўлчамлар шаклда берилган (5.16- расм,  $a$ ).

**Ечиш.** Хисобни таянч реакцияларини аниклашдан бошлаймиз:

$$\begin{aligned} \Sigma M_A &= -V_b \cdot 30 + \\ &+ q_1 \cdot 18 \cdot 9 + P \cdot 9 = 0; \end{aligned}$$

бундан  $V_b = 45$  кН;

$$\Sigma M_B = V_A \cdot 30 - P \cdot 21 - q_1 \cdot 18 \cdot 21 = 0;$$

бундан  $V_A = 105$  кН;

$$\Sigma M_c^{\text{нап}} = V_A \cdot 15 - P \cdot 6 - q_1 \cdot 15 \cdot 7,5 - H_A f = 0$$

бундан  $H_A = 59,167$  кН.

Күчлар вертикаль бўлганлиги учун  $H_A = H_B = H = 59,167$  кН.

**Текшириш.**  $\Sigma y = V_A - P - q_1 \cdot 18 + V_B = 105 - 6 - 8 \cdot 18 + 45 = 0.$

Аналитик усулда  $K$  кесимидағи ички кучлар ( $M_k$ ,  $Q_k$ ,  $N_k$ ) ни аниқлаймиз. Эгувчи момент қуйидаги формуладан (5.3) топилади:

$$M_k = M_k^0 - Hy_k.$$

Арканинг ўқи парабола бўлганлиги учун  $y_k$  ординатаси қуйидаги тенгламадан топилади:

$$y_k = \frac{4f}{l^2} x_k (l - x_k) = \frac{4 \cdot 10,8}{30^2} \cdot 6(30 - 6) = 6,912 \text{ м}.$$

Оддий балканинг (5.16- расм, б)  $K$  кесимидағи момент

$$M_k^0 = V_A \cdot 6 - q_1 \cdot 6 \cdot 3 = 105 \cdot 6 - 8 \cdot 6 \cdot 3 = 486 \text{ кНм}.$$

Уч шарнирли арканинг  $K$  кесимидағи момент

$$M_k = 486 - 59,167 \cdot 6,912 = 77,04 \text{ кНм}.$$

Кўндаланг кучни аниқлаш формуласи (5.6):

$$Q_k = Q_k^0 \cos \varphi_k - H \sin \varphi_k.$$

Арка ўқининг тенгламасидан фойдаланиб,  $\varphi_k$  бурчакни аниқлаймиз (5.16- расм, а):

$$\operatorname{tg} \varphi_k = \frac{dy_k}{dx_k} = \frac{4f}{l^2} (l - 2x_k) = \frac{4 \cdot 10 \cdot 8}{30^2} (30 - 2 \cdot 6) = 0,864,$$

бундан  $\varphi_k = 40^\circ 50'$ ;  $\sin \varphi_k = 0,6538$ ;  $\cos \varphi_k = 0,7566$ .

Оддий балканинг (5.16- расм, б)  $K$  кесимидағи кўндаланг куч

$$Q_k^0 = V_A - q_1 \cdot 6 = 105 - 8 \cdot 6 = 57 \text{ кН}$$

Арканинг  $K$  кесимидағи кўндаланг куч:

$$Q_k = 57 \cdot 0,7566 - 59,167 \cdot 0,6538 = 4,443 \text{ кН}.$$

Арканинг  $K$  кесимидағи бүйлама кучни аниклаймиз (5.6):

$$N_k = Q_k^0 \sin \varphi_k + H \cdot \cos \varphi_k = 57 \cdot 0,6538 + 59,167 \cdot 0,7566 = \\ = 82,033 \text{ кН.}$$

Шундай қилиб, уч шарнирли арканинг  $K$  кесимидағи ички кучларни аналитик усулда аникладик. Энди шу мөкдорларни таъсир чизиклари ёрдамида аниклаймиз.

### $M_k$ нинг таъсир чизикларини қуриш

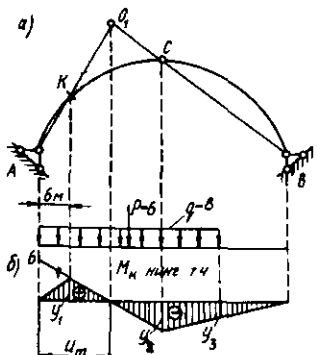
Таъсир чизигини ноль нуктаси усулида қурамиз. Бунинг учун  $A$  таянч билан  $K$  кесим тўғри чизик ёрдамида туташтирилади.  $B$  таянч  $C$  шарнир билан туташтирилади. Икки тўғри чизикнинг кесишши нуктаси ( $O_1$ ) эгувчи моментнинг ноль нуктаси бўлади, чунки  $P=1$  куч шу нуктада бўлганда  $K$  кесимидағи эгувчи момент нолга teng бўлади (5.17- расм, а).

Координата ўқининг  $A$  таянч остидаги нуктасидан  $K$  кесимигача бўлган масофа (бм) ни ўқдан юкорига масштаб бўйича ўлчаб қўямиз. Бу масофани координата ўқидаги  $O_1$  нуктанинг проекцияси билан туташтириб,  $C$  шарнир проекциясигача давом эттирамиз. Бу тўғри чизикка  $K$  кесимининг проекциясини туширамиз ва уни  $A$  таянч остидаги координата ўқининг ноль нуктаси билан туташтирамиз.  $C$  шарнир остидаги ординатани  $B$  таянч остидаги координата ўқининг ноль нуктаси билан туташтирилади. Ҳосил бўлан график  $M_k$  нинг таъсир чизиги деб аталади (5.17- расм, б). А таянчдан  $O_1$  нуктагача бўлган

масофани  $u_m$  билан белгилаб, уни куйидаги формула ёрдамида аниклаймиз:

$$u_m = \frac{2f}{l \cdot \frac{y_e}{x_k} + 2f} = \\ = \frac{2 \cdot 10,8 \cdot 30}{30 \cdot \frac{6,912}{6} + 2 \cdot 10,8} = \\ = \frac{648}{56,16} = 11,538 \text{ м}$$

Таъсир чизиклари ёрдамида номаълум зўрикишлар куйидаги формула орқали хисобланади:



5.17- расм

$$M = \Sigma P_i \cdot y_i + \Sigma q_i \cdot \omega_i.$$

Бизнинг мисол учун формула кўйидаги кўринишда ёзилади:

$$M_k = q(\omega - \omega_1 - \omega_2) + P \cdot y.$$

Бу ерда  $P$ ,  $q$  — аркага қўйилган кўзгалмас юклар;

$y$  — таъсир чизигида  $P$  кучи остидаги ордината;

$\omega$  — шу таъсир чизигида ёйилган куч остидаги кесмнинг юзаси.

Ташки кучлар остидаги ординаталар, учбурчакларнинг ўхшашлигидан фойдаланиб аниқланади. Масалан,

$$\frac{6}{11,538} = \frac{y_1}{5,538}; \quad \frac{6}{11,538} = \frac{y}{2,538}; \quad \frac{6}{11,538} = \frac{y_2}{3,462}; \quad \frac{y_2}{15} = \frac{y_3}{12};$$

$$y_1 = 2,880; \quad y = 1,320; \quad y_2 = 1,8; \quad y_3 = 1,44.$$

Юзалар:

$$\omega = \frac{y_1 + 11,538}{2} = 16,615; \quad \omega_1 = \frac{y_2 + 3,462}{2} = 3,116;$$

$$\omega_2 = \frac{y_2 + y_3}{2} \cdot 3 = 4,860.$$

Шундай килиб,  $K$  кесимдаги эгувчи момент:

$$M_k = 8(16,615 - 3,116 - 4,860) - 5 \cdot 1,320 =$$

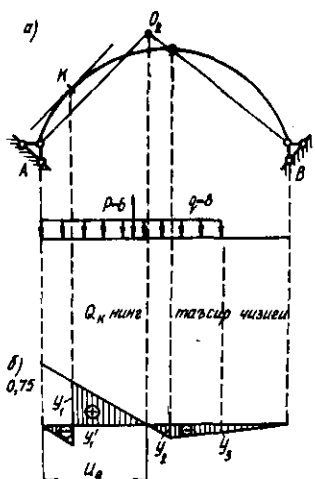
$$= 69,12 - 7,92 = 77,04 \text{ кНм}$$

(Аввалгиси билан таққосланг).

$Q_k$  нинг таъсир чизигини қуриш (5.18- расм, а)

Кўндаланг куч учун ноль нуктаси ҳолатини аниқлаймиз. Бунинг учун  $K$  кесимга уринма ўтказамиз. Бу уринмага параллел килиб  $A$  таянчдан тўғри чизик ўтказамиз ва бу тўғри чизикни  $B$  таянч билан  $C$  шарнири туташтирувчи чизикдан давом эттирамиз. Кесишиш нуктаси  $O_2$  кўндаланг кучнинг ноль нуктаси бўлади, чунки  $P = 1$  бирлик куч шу нуктада турганда  $K$  кесимдаги кўндаланг куч нолга айланади.

Кўндаланг куч таъсир чизигини қуриш учун ихтиёрий масофада координата ўки олинади ва бу ўкка  $A$ ,  $B$  таянчлари,  $C$  шарнири ва  $O_2$  нуктасининг проекциялари туширилади. А таянчи остига  $\cos\varphi_k = 0,7566$  ни масштаб бўйича ўлчаб қўямиз. Бу масофани нукта билан тўғри



5.18- расм

чилик ёрдамида туташтирамиз. Координата ўқининг *A* таянчи остида бу түғри чизикка параллел түғри чизик ётказамиз ва уни *K* кесимгача давом эттирамиз. Сўнгра бу икки параллел түғри чизикка *K* кесимиning проекцияси туширилади. *C* шарнир остидаги ордината *B* таянчининг ноль ординатаси билан туташтирилади. Кейин шаклда кўрсатилгандек штрихланади, хосил бўлган график *Q\_k* нинг таъсир чизиги бўлали (5.18-расм, б).

Кўндаланг кучнинг ноль нуқтасигача бўлган масофа *u\_Q* қуйидаги формула ёрдамида аникланади:

$$u_Q = \frac{2fl}{2f + l \cdot \operatorname{tg} \varphi_k} = \frac{2 \cdot 10 \cdot 8 \cdot 30}{2 \cdot 10,8 + 30 \cdot 0,864} = \frac{648}{47,52} = 13,636 \text{ м.}$$

Кўндаланг кучнинг қийматини қуйидаги формула ёрдамида аниклаймиз:

$$Q_k = +g(\omega - \omega_1 - \omega_2 - \omega_3) + P \cdot y$$

Зарур ординаталарни учбурчакларнинг ўхшашлигидан фойдаланиб топамиз:

$$\frac{0,7566}{13,636} = \frac{y_1}{7,636}; y_1 = 0,424; y'_1 = 0,7566 - y_1 = 0,3326;$$

$$\frac{0,7566}{13,636} = \frac{y}{4,636}; y = 0,257; \frac{0,7566}{13,636} = \frac{y_2}{1,364}; y_2 = 0,076;$$

$$\frac{y_2}{15} = \frac{y_3}{12}; y_3 = 0,8 \cdot y_2 = 0,061$$

Юзалар:

$$\omega = \frac{y_1 \cdot 7,636}{2} = 1,619; \omega_1 = \frac{y_1 \cdot 6}{2} = 0,938;$$

$$\omega_2 = \frac{y_2 \cdot 1,364}{2} = 0,052; \omega_3 = \frac{y_2 + y_3}{2} \cdot 3 = 0,206$$

Күндаланг күч киймати

$$Q_k = 8(1,619 - 0,998 - 0,052 - 0,206) + 6 \cdot 0,257 = \\ = 2,904 + 1,542 = 4,446 \text{ кН.}$$

$N_k$  нинг таъсир чизигини қуриш (5.19- расм, а).

Бўйлама кучнинг ноль нуктасини аниқлаш учун  $A$  таянчидан  $K$  кесимига ўтказилган уринмага тик чизик ўтказамиз ва уни  $B$  таянчи билан  $C$  шарнирни туташтирувчи тўғри чизик билан кесишгунча давом эттирамиз. Кесишув нуктаси бўйлама кучнинг ноль нуктаси ( $O_3$ ) бўлади.

Ихтиёрий масофада координата ўки олиниб, унга  $A$ ,  $B$  таянчлари,  $C$  шарнири ва  $O_3$  нуктасининг проекциялари ( $a$ ,  $b$ ,  $c$  ва  $d$ ) туширилади. « $a$ » нуктадан  $\sin\varphi_k = 0,6538$  масофа ( $aa_1$ ) ўлчанади ва бу масофа « $d$ » нуктаси билан туташтирилади. « $a_1d$ » чизигини « $c_1$ » нуктасигача давом эттириб, бу ординатани « $b$ » нуктаси билан бирлаштирилади. « $a$ » нуктасидан « $d c_1$ » чизигига параллел чизик ўтказиб, « $ak$ » тўғри чизигини ҳосил киласиз.  $K$  кесим остида бўйлама күч  $\sin\varphi_k = 0,6538$  га тенг микдорда сакрайди. Штрихланган шакл  $N_k$  нинг таъсир чизиги бўлади (5.19- расм, б).

Бўйлама кучнинг ноль нуктасигача бўлган масофа

$$u_N = \frac{l}{\frac{l}{2f} \cdot \operatorname{ctg}\varphi_k - 1} = \frac{30}{\frac{30}{2 \cdot 10,8} \cdot \frac{0,7566}{0,6538} - 1} = \frac{30}{0,6072} = 49,407 \text{ м}$$

га тенг бўлади.

Таъсир чизиги ёрдамида бўйлама кучнинг кийматини аниқлаймиз

$$N_k = q_1(\omega_1 + \omega_2 + \omega_3) + P \cdot y.$$

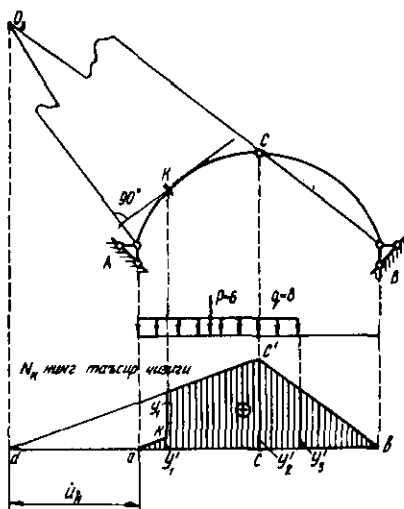
Керакли ординаталарни аниқлаймиз. Учбурчаклар ўхшашлигидан:

$$\frac{0,6538}{49,407} = \frac{y_2}{64,407}; \quad \frac{0,6538}{49,407} = \frac{y_2}{55,407}; \quad \frac{0,6538}{49,407} = \frac{y}{58,407};$$

$$y_2 = 0,852; \quad y_1 = 0,733; \quad y = 0,773;$$

$$y_1' = y_1 - 0,6538 = 0,0792; \quad y_3 = 0,8 \cdot y_2 = 0,682.$$

Юзалар:



5.19. р а с м

$$\omega = \frac{y_1 + 6}{2} = 0,238;$$

$$\omega_1 = \frac{y_1 + y_2}{2} \cdot 9 = 7,133;$$

$$\omega_2 = \frac{y_2 + y_3}{2} \cdot 3 = 2,301.$$

Бўйлама кучнинг киймати

$$N_k = 8(0,238 - 7,133 - 2,301) - 6 \cdot 0,773 = \\ = 77,376 - 4,638 = \\ 82,104 \text{ кН.}$$

Шундай қилиб, таъсир чизиклари ёрдамида ички кучларнинг қуидаги кийматларини аниқладик:

$$M_k = 77,740 \text{ кН м}; Q_k = 4,446 \text{ кН}; N_k = 82,014 \text{ кН.}$$

Ички кучларнинг бу кийматлари аналитик усулда аниқланган кийматлар билан бир хилдир.

## 6- боб

### ҚЎЧИШЛАР НАЗАРИЯСИ

#### 6.1. ҚЎЧИШЛАР ВА ИШЛАР ҲАҚИДА ТҰШУНЧА

Статик ноаниқ системаларни ҳисоблашда мувозанат тенгламаларидан ташқари қўчишлар тенгламаларини тузишга ва ечишга тўғри келади. Бундай тенгламаларни тузиш учун аввало иншиотларнинг деформацияларини аниқлашни билиш зарур. Қўчишларни аниқлаш масаласи факат статик ноаниқ системаларгагина таалукли бўлиб колмай, балки статик аниқ системаларга ҳам алокадордир. Статик аниқ системалардан ташкил топган қурилиш конструкцияларининг деформацияси меъёридан ортиб кетмаслиги зарур. Бу масала ҳам қўчишлар орқали ҳал этилади. Шундай қилиб, қўчишларни аниқлаш масаласи қурилиш механикасининг муҳим масалаларидан бири ҳисобланади.

Бирор нуктанинг күчиши деганда, иншоотнинг деформацияси жараенида унинг (нуктанинг) координаталарининг ўзгариши тушунилади. Күчишларни биз Гук конуни чегарасида аниклаймиз, яъни күчиши аникланаётган кесимнинг кучланишлари пропорционаллик чегарасида ётади, деб фараз этамиз.

Күчишларни аниклашда кучлар таъсирининг мустақиллиги коидаси амал қиласи. Бу коидага кўра бир неча кучларнинг бир йўла кўйилгандаги натижаси ҳар бир кучни алоҳида кўйилгандаги натижалар йиғиндисига тенг бўлади.

**Ташки кучлар иши.** Күчишларни аниклашнинг умумий усули ташки кучлар иши назариясига асосланади, яъни ишлар орқали күчишларни аникласа бўлади.

Эластик системага аста-секин (статик равишда) кўйилган ташки куч  $P$  нинг бажарган ишини аниклаймиз (6.1-расм, а). Деформациянинг кичик микдорларида эластик системага кучлар таъсирининг мустақиллиги коидасини кўллаш мумкин, бинобарин, алоҳида нуктларнинг күчишлари уларни вужудга келтирувчи кучларга тўғри пропорционал бўлади. Гук конунига кўра бу боғланиш қўйидагича ифодаланади:

$$\Delta = \alpha P.$$

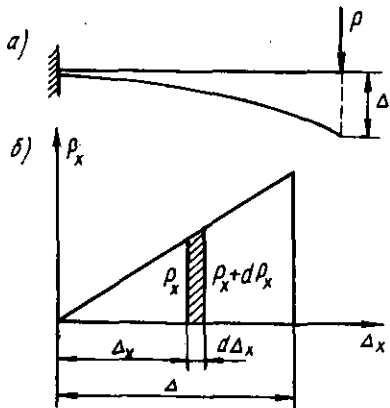
Бу ерда  $\Delta$  — таъсир этувчи куч  $P$  йўналишидаги күчиш;

$\alpha$  — пропорционаллик коэффициенти бўлиб, иншоотнинг материали, тархи ва ўлчамларига боғлик микдордир.

$P$  кучининг оралиқ қийматини  $P_x$ , унга мос бўлган күчишни  $\Delta_x$  деб белгилаймиз, (6.1-расм, б).

$P$  кучини чексиз кичик микдор  $dP_x$  га орттирамиз. Натижада кўчиши ҳам  $d\Delta_x$  масофага ортади. Бунда ташки куч қўйидаги элементар ишни бажаради:

$$d_A = (P_x + dP_x)d\Delta_x = P_x d\Delta_x.$$



6.1-расм

Ташки куч бажарган түлик иш бу ифодани интеграллаш йўли билан аниқланади.

$$A = \int_0^P P_x d\Delta_x.$$

Гук қонунига биноан  $d\Delta_x = \alpha dP_x$  эканлигини хисобга олсак,

$$A = \int_0^P \alpha P_x dP_x = \frac{\alpha P^2}{2} = \frac{1}{2} P \Delta$$

келиб чиқади.

Демак, ташки кучлар ( $P$ ) бажарган ҳақиқий иш куч билан шу куч вужудга келтирган кўчишнинг кўпайтмасини ярмига тенг экан. Бу Клапейрон теоремаси деб аталади. Агар иншоотга бир неча кучлар  $P_1, P_2 \dots P$  кўйилган бўлса, ташки кучлар бажарган түлик иш кўйидагича бўлади:

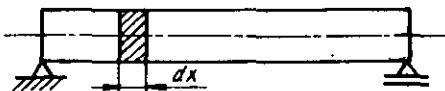
$$A = \frac{1}{2} \sum P_i \Delta_i.$$

Ташки кучларнинг бу иши иншоотда потенциал энергия тарзида тўпланади.

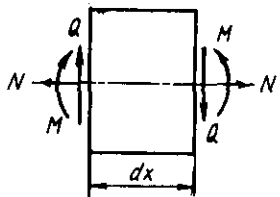
Гарчи Клапейрон теоремаси биргина куч мисолида берилган бўлса-да, аслида унинг кўлланиш чега раси жуда кенг. Ташки куч деганда биргина йиғик куч эмас, балки турли кучлар системаси тушунилади. Кўчишлар ҳам факат чизикли эмас, балки бурчакли бўлиши ҳам мумкин. Ҳулоса қилиб айтганда, ку ч деганда эластик системага таъсири этувчи ҳар қандай кучлар мажмуаси тушунилади ва «умумлашган куч» деб аталади. Бу куч таъсирида вужудга келган кўчиш «умумлашган кўчиш» деб юритилади.

**Ички кучлар иши.** Кўчишларнинг вужудга келишида ташки кучлар бажарган ишни ички кучлар орқали ифода этса ҳам бўлади. Ички кучлар деганда конструкция элементларида вужудга келадиган эгувчи момент  $M$ , кўндаланг куч  $Q$  ва бўйлама куч  $N$  тушунилади.

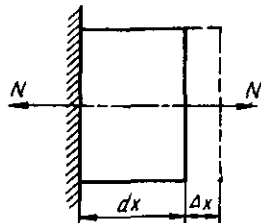
Балкадан (6.2- расм) чексиз кичик  $dx$  элементини ажратиб оламиз (6.3- расм). Ажратилган элементга  $M$ ,



6.2-расм



6.3- расм



6.4- расм

$Q$  ва  $N$  кучлари таъсир этади. Бу кучлар бутун стерженга нисбатан ички куч, ажратилган элементга нисбатан эса ташки куч деб каралади. Буларнинг хар бирини  $dx$  элементига бўлган таъсирини алоҳида равишда кўриб ўтамиз.

Энг аввал ажратилган элементга бўйлама куч  $N$  нинг таъсири билан танишамиз (6.4- расм). Элементнинг чап томондаги кесими кўзғалмас деб фараз этсак, бўйлама куч таъсирида элементнинг ўнг томондаги кесими

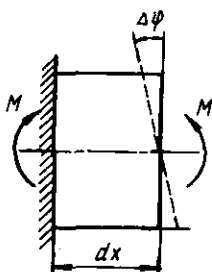
$$\Delta x = Ndx - EF$$

масофага кўчади. Бу ерда  $EF$  — стержень кўндаланг кесимининг сиқилиши ёки чўзилишдаги бикирлигидир.

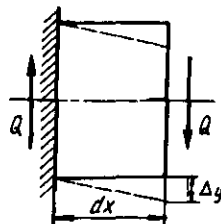
$\Delta_\phi$  бурчакли кўчишнинг вужудга келишида аста ортиб борувчи эгувчи момент куйидаги миқдорда иш бажаради (6.5- расм):

$$dA_m = \frac{1}{2} M \Delta_\phi = M \frac{Md_x}{2EI}$$

Нихоят ажратилган элементга кўндаланг куч  $Q$  нинг таъсирини кўриб ўтамиз (6.6- расм). Агар элементнинг чап



6.5- расм



6.6- расм

кесимини маҳкамланган деб қарасак, кўндаланг куч таъсирида унинг ўнг томондаги кесими

$$\Delta_y = \eta Q dx / GF$$

масофага силжийди. Бу ерда  $GF$  — кесимнинг силжишдаги бикирлиги.  $\Delta_y$  силжишнинг вужудга келишида аста ортиб борувчи кўндаланг куч қўйидаги миқдорда иш бажаради:

$$dA_Q = \frac{1}{2} Q \Delta_y = Q \frac{Q dx}{2GF} \eta$$

Бу ерда  $\eta$  — стерженнинг кўндаланг кесими шаклига боғлиқ коэффициент бўлиб, қўйидаги формуладан топилади:

$$\eta = \frac{F}{J^2} \int \frac{S^2}{b^2} dF.$$

Тўғри тўртбурчакли кесим учун  $\eta=1,2$ . Айлана учун  $\eta=10/9$ .

Ажратилган  $dx$  элементга учала куч  $(N, M, Q)$  бир вактнинг ўзида таъсир этса, тўлик иш қўйидагича топилади:

$$dA = dA_n + dA_m + dA_Q = \frac{1}{2} \left( N \frac{N dx}{EF} + M \frac{M dx}{EI} + Q \frac{Q dx}{GF} \eta \right).$$

Стерженларнинг барча участкалари бўйича бажарилган тўлик ишни аниқлаш учун юкоридаги ифодани интеграллаймиз:

$$A = \frac{1}{2} \left( \sum_0^l M \frac{M dx}{EI} + \sum_0^l N \frac{N dx}{EF} + \sum_0^l Q \frac{Q dx}{GF} \eta \right) \quad (6.1)$$

ёки

$$A = \sum_0^l \frac{M^2 dx}{2EI} + \sum_0^l \frac{N^2 dx}{2EF} + \sum_0^l \frac{Q^2 dx}{2GF} \eta \quad (6.2)$$

Шундай қилиб, кўчишларнинг вужудга келишида ташки кучлар бажарган ишни ички кучлар орқали ифода этдик.

Эластик системаларда ташки кучлар бажарган иш деформациянинг потенциал энергияси сифатида тўпланади. Ҳар қандай эластик жисм ташки кучлар вужудга келтирган энергияни ўзида жамлаш ҳусусиятига эга. Жисмни юқдан бўшатиш жараёнида потенциал энергия

иш бажаради. Мана шу ишни жисмдаги ички кучлар ( $M$ ,  $Q$ ,  $N$ ) бажаради. Энергиянинг сақланиш қонунига биноан ташқи кучлар бажарган иш система деформациясининг потенциал энергиясига (демак, ички кучлар бажарган ишга) тенг бўлади.

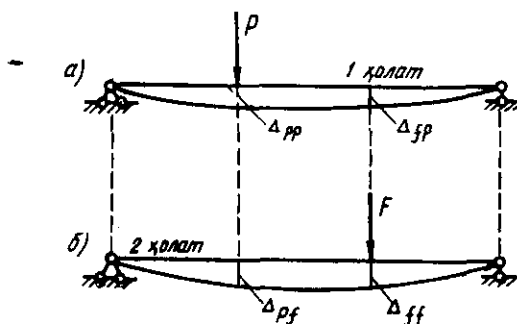
## 6.2. ИШЛАР ВА КЎЧИШЛАРНИНГ ҮЗАРО БОҒЛАНИШИ ҲАҚИДАГИ ТЕОРЕМАЛАР

Икки хил куч таъсирида мувозанатда бўлган эластик системанинг икки ҳолатини кўриб ўтамиз. Биринчи ҳолатда системага  $P$  кучи, иккинчи ҳолатда  $F$  кучи таъсири этади дейлик (6.7-расм).

Системанинг кўчишларини  $\Delta_{pp}$  тарзида белгилаймиз. Бунда биринчи индекс кўчаётган нукта ва унинг йўналишини, иккинчи индекс эса кўчишни вужудга келтираётган сабабни англатади. Ўқилиши бундай:  $P$  кучи кўйилган нуктанинг шу куч (яъни  $P$  кучи) йўналишида  $F$  кучи таъсирида вужудга келган кўчиш.

$\Delta_{pp}$  —  $P$  кучи йўналишида шу куч таъсирида вужудга келган кўчиш дейлик. Бу кўчишнинг вужудга келишида  $P$  кучи бажарган иш  $A_{pp}$  бўлсин. Худди шунингдек,  $\Delta_{ff}$  кўчишнинг вужудга келишида  $F$  кучи бажарган ишни  $A_{ff}$  деб белгилайлик. Агар ҳар иккала куч балкага статик таъсири этса, бу кучлар бажарган иш қўйидаги формуладан топилади:

$$A_{pp} = \frac{1}{2} P \Delta_{pp} \text{ ва } A_{ff} = \frac{1}{2} F \Delta_{ff}.$$



6.7-расм

Агар ҳар иккала ишни ички күчлар орқали ифодаласак

$$A_{pp} = \sum_0^l \frac{M_p^2 dx}{2EI} + \sum_0^l \frac{N_p^2 dx}{2EF} + \sum_0^l \frac{Q_p^2 dx}{2GF} \eta;$$

$$A_{ff} = \sum_0^l \frac{M_f^2 dx}{2EI} + \sum_0^l \frac{N_f^2 dx}{2EF} + \sum_0^l \frac{Q_f^2 dx}{2GF} \eta$$

келиб чиқади.

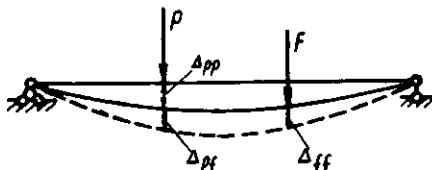
Энди ўша (6.7- расм) системага  $P$  ва  $F$  күчларининг олдинма-кейин қўйилиш жараёнини кўриб ўтайлик.

Аввал системага статик ортиб борувчи  $P$  кучи қўйилади, дейлик (6.8- расм).  $P$  кучи ўзининг тугал қийматига эришганда, системада 6.7- расм,  $a$  — да кўрсатилгандек вазият вужудга келади, яъни  $P$  кучи остида  $\Delta_{pp}$  қўчиш ҳосил бўлади. Бу кўчишнинг вужудга келишида  $P$  кучи  $A_{pp} = P\Delta_{pp}/2$  га teng бўлган иш бажаради. Шундан сўнг солки системага  $F$  кучи қўйилади. Бу куч таъсирида система солқиланишда давом этиб, 6.7- расм,  $b$  — да кўрсатилган вазият вужудга келади. Бунда  $P$  кучи остида  $\Delta_{pf}$  га teng бўлган кўшимча солқилик ҳосил бўлади.  $F$  кучининг қиймати нолдан ўзининг тугал қийматига қадар ортиб борганда,  $P$  кучининг қиймати ўзгармасдан,  $A_{pf} = P\Delta_{pf}$  га teng бўлган кўшимча иш бажаради.  $F$  кучининг ўзи эса  $A_{ff} = F\Delta_{ff}/2$  микдорида иш бажаради. Шундай қилиб, системага кетма-кет равишда  $P$  ва  $F$  кучлари қўйилса, уларнинг бажарган тўлиқ иши

$$A = A_{pp} + A_{pf} + A_{ff} = \frac{1}{2}P\Delta_{pp} + P\Delta_{pf} + \frac{1}{2}F\Delta_{ff} \quad (a)$$

га teng бўлади.

Агар күчларнинг қўйилиш тартибини ўзгартирсак, яъни аввал  $F$  ва сўнгра  $P$  күчларини қўйсак, у ҳолда тўлиқ иш қўйидаги қўринишда ифодаланади:



6.8- расм

$$A = \frac{1}{2} F \Delta_{ff} + F \Delta_{fp} + \frac{1}{2} P \Delta_{pp}.$$

Бирок кучларнинг қўйилиш тартиби ўзгариши билан бажарилган тўлик ишнинг миқдори ўзгармайди. Шунга кўра (а) ва (б) ифодаларни тенглаштириб, қўйидаги холосага эга бўламиш:

$$P\Delta_{pf} = F\Delta_{fp}.$$

Бу ерда  $P\Delta_{pf}$  биринчи ҳолатдаги  $P$  кучининг шу йўналишда, иккинчи ҳолатдаги  $F$  кучидан ҳосил бўлган кўчишнинг вужудга келишида бажарган ишидир.  $F\Delta_{fp}$  эса иккинчи ҳолатдаги  $F$  кучининг шу куч йўналишида, биринчи ҳолатдаги  $P$  кучи таъсирида ҳосил бўлган кўчишнинг вужудга келишида бажарган ишидир (6.7- расм).

Шундай қилиб, биринчи ҳолатдаги кучларнинг шу кучлар йўналишида иккинчи ҳолат кучлари таъсирида ҳосил бўлган кўчишларнинг вужудга келишида бажарган иши иккинчи ҳолатдаги кучларнинг шу кучлар йўналишида биринчи ҳолат кучлари таъсирида ҳосил бўлган кўчишларнинг вужудга келишида бажарган ишига тенгдир.

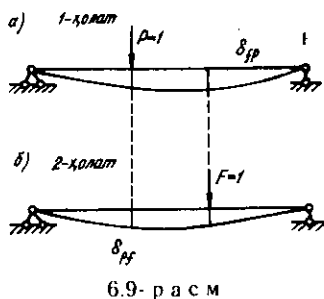
Бу холоса ишларнинг ўзаро боғланиши ҳақидаги теорема ёки унинг муаллифи Италия олими Энрико Бетти (1823—1892) теоремаси номи билан машҳурдир.

Энди кўчишларнинг ўзаро боғланиши ҳақидаги теорема билан танишиб чиқамиз.

Бунинг учун яна балканинг икки ҳолатини кўриб ўтамиш. Биринчи ҳолатда балкага  $P=1$  кучи, иккинчи ҳолатда эса  $F=1$  кучи кўйилган (6.9- расм).

Балкага кўйилган кучларнинг қиймати бирга тенг бўлганлиги сабабли балканинг ҳолатини бирлик ҳолат деб айтамиш.

Бирлик куч таъсирида ҳосил бўлган кўчишлар δ ҳарфи билан, бирдан фарқли кучлардан ҳосил бўлган кўчишлар эса Δ ҳарфи билан белгиланади. Шунга биноан биринчи ҳолатдаги кўчишни  $\delta_{fp}$ , иккинчи ҳолатдаги кўчишни эса  $\delta_{pf}$



тарз�다 белгиладик. Ҳар иккаласи ҳам бирлик күчлардан ҳосил бўлган бирлик кўчишлар дир.

Бу икки ҳолат учун Бетти теоремаси қўйидагича ёзилади:

$$P\delta_{pf} = F\delta_{fp}$$

Агар  $P=F=1$  эканлигини эътиборга олсак,

$$\delta_{pf} = \delta_{fp} \text{ келиб чиқади.} \quad (6.5)$$

Бу тенглик кўчишларнинг ўзаро боғланиши ҳақидаги теорема ёки Максвелл теоремаси деб аталади.

Мазкур тенглик  $P=F \neq 1$  бўлганда ҳам ўз кучини саклайди ва қўйидагича ифодаланади:

$$\Delta_{pf} = \Delta_{fp}. \quad (6.6)$$

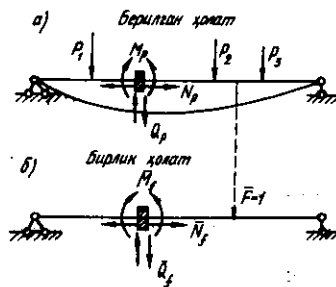
### 6.3. КЎЧИШЛАРНИ АНИҚЛАШ УЧУН МОР ФОРМУЛАСИ ВА ВЕРЕШЧАГИН УСУЛИ

Кўчишларни аниқлайдиган формулани келтириб чиқаришда бевосита ишлар учун чиқарилган формулалардан фойдаланамиз.

Бирор эластик системанинг, масалан, балканинг икки ҳолатини кўриб чиқамиз. Биринчи, яъни берилган ҳолатда балкага исталганча кучлар кўйилиши мумкин (6.10- расм, а). Иккинчи ҳолатда балкага бирлик куч  $\bar{F}=1$  қўйилади (6.10- расм, б).

Берилган кучлар таъсирида ҳосил бўлган  $\Delta_{fp}$  кўчишнинг вужудга келишида иккинчи ҳолатдаги  $\bar{F}=1$  кучи қўйидаги ишни бажаради:

$$A_{fp} = \bar{F}\Delta_{fp} = 1\Delta_{fp} = \Delta_{fp}.$$



6.10- расм

$A_{fp}$  ни ички кучлар орқали ифода этсак,

$$\Delta_{fp} = A_{fp} = \sum \int_0^l \bar{M}_f \frac{M_p dx}{EI} + \sum \int_0^l \bar{N}_f \frac{N_p dx}{EF} + \sum \int_0^l \bar{Q}_f \frac{Q_p dx}{GF} \quad (6.7)$$

кўринишдаги кўчишларни аниқлаш формуласига, яъни Мор формуласига эга бўламиз.

Бу ерда  $M_p$ ,  $N_p$  ва  $Q_p$  — берилган кучлардан ҳосил бўлган,  $\bar{M}_f$ ,  $\bar{N}_f$  ва  $\bar{Q}_f$  — бирлик кучдан ҳосил бўлган ички кучлардир.

Бирлик куч одатда кўчиши аниқланадиган нуктага кўйилади. Агар чизикли кўчиш (масалан, бирор нуктанинг солқилиги) аниқланадиган бўлса, бирлик куч сифатида ўлчамсиз йигиқ куч қабул килинади, агар бурчакли кўчиш (масалан, бирор кесимнинг оғиш бурчаги) аниқланадиган бўлса, бирлик куч сифатида ўлчамсиз йигиқ момент қабул килинади. Ҳар иккала ҳолда ҳам бирлик куч кўчиши изланадиган нуктага кўйилади.

Балка ва рамаларнинг кўчишларини аниқлашда бўйлама ва кўндаланг кучлар таъсирини эътиборга олмаса ҳам бўлади:

$$\Delta_{fp} = \sum \int_0^l \frac{\bar{M}_f M_p}{EI} dx. \quad (6.8)$$

Оддий аркаларнинг кўчишларини аниқлашда эгувчи момент билан бўйлама кучнинг таъсири эътиборга олинса кифоя

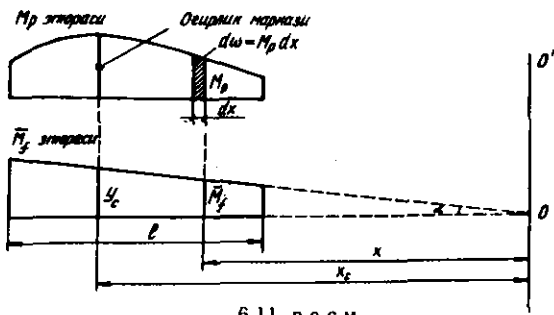
$$\Delta_{fp} = \sum \int_0^l \frac{\bar{M}_f M_p}{EI} dx + \sum \int_0^l \frac{\bar{N} \cdot N_p}{EF} dx. \quad (6.9)$$

Фермаларнинг кўчишларини аниқлашда бўйлама кучларнинг таъсири эътиборга олинади, холос

$$\Delta_{fp} = \sum \int_0^l \frac{\bar{N}_f N_p}{EF} dx. \quad (6.10)$$

**Верешчагин усули.** Маълумки, балка ва рамаларнинг кўчишларини аниқлашда Мор формуласининг биринчи ҳадидан фойдаланилади (6.8):

$$\Delta_{fp} = \sum \int_0^l \frac{\bar{M}_f M_p}{EI} dx. \quad (a)$$



6.11-расм

Интеграл чегарасида кесим ўзгармас бўлса, эгилишдаги бикирликни интегралдан ташқарига чиқариш мумкин

$$\Delta_{sp} = \frac{1}{EI} \int_0^l \bar{M}_f M_p dx. \quad (6)$$

Бу ерда  $M_p$  ва  $\bar{M}_f$  — берилган ва бирлик кучлардан ҳосил бўлган эгувчи моментлар (6.11-расм). Кўпинча икки эпюранинг бири тўғри чизикли бўлади. Бундай ҳолларда  $\int_0^l \bar{M}_f M_p dx$  интеграли осонгина ечилади; аникрофи мазкур интегрални интегралсиз ифода билан алмаштириш имкони туғилади.

Шаклдан (6.11-расм):

$$\bar{M}_f = xt_q\alpha \text{ ва } d\omega = M_p dx$$

эканлигини хисобга олсак,

$$\int_0^l \bar{M}_f M_p dx = t_q\alpha \int_0^l x M_p dx = t_q\alpha \int_0^l x d\omega$$

келиб чиқади.

Бу ерда  $\int_0^l x d\omega$  интеграли  $M_p$  эпюрасининг юзаси  $\omega_p$  дан 0—0' ўқига нисбатан олинган статик моментdir, яъни

$$\int_0^l x d\omega = \omega_p \cdot x_e.$$

## Үрнига қўямиз

$$\int_0^l \bar{M}_p M_p dx = x_c t g \alpha \cdot \omega_p; \quad (a)$$

бироқ  $x_c t g \alpha = y_c$  эканлигини назарда тутсак,

$$\int_0^l \bar{M}_p M_p dx = \omega_p y_c \quad (b)$$

келиб чикади, натижада интеграл функция интегралсиз ифода билан алмашади.

(в) ифодасини (б) га қўйсак, қўйидаги формула келиб чикади:

$$\Delta_{lp} = \frac{1}{EJ} \sum \omega_p y_c \quad (r)$$

Бу ерда  $\omega_p$  — эгувчи моментлар эпюрасининг юзаси;  
 $y_c$  — биринчи эпюранинг оғирлик марказига мос келган иккинчи эпюрадаги ордината.

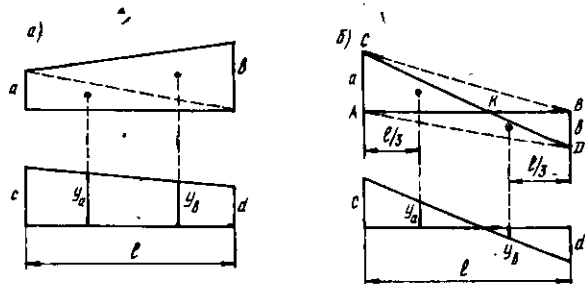
Кўчишларни аниклашнинг бу усулини 1925 йилда Москва темирйўллар транспорти мухандислари институтининг толиби А. Н. Верешчагин таклиф этган.

(г) дан кўринадики, ҳар иккала эпюра ўқнинг бир томонида жойлашса, кўчишнинг ишораси мусбат, ўқнинг турли томонларида жойлашса, ишора манфий бўлади. Шуни ҳам қайд этиш лозимки,  $y_c$  ординатаси албатта тўғри чизикли эпюрадан олиниши зарур. Агар ҳар иккала эпюра тўғри чизикли бўлса, у холда ординатани қайси эпюрадан олинишининг фарқи йўқ.

Трапеция шакли икки эпюра кўпайтириладиган бўлса, улардан бирининг оғирлик марказини топиш ўрнига трапециялардан бирини иккита учбурчакка ажратган қулай. Бунда ажратилган учбурчаклардан юза олиниб, трапециядан шу учбурчакларнинг оғирлик марказларига мос бўлган ординаталар олинади (6.12- расм, а). Бу хол учун тайёр формула бор:

$$\frac{al}{2}y_c + \frac{bl}{2}y_b = \frac{l}{b}(2ac + 2bd + ad + bc).$$

Қавс ичida қўйидаги миқдорларнинг йиғиндиси бе-рилган: эпюралар чап ординаталари кўпайтмасининг иккилангани, ўнг ординаталар кўпайтмасининг иккилангани, биринчи эпюра чап ординатасини иккинчи эпюра ўнг ординатасига кўпайтмаси, шунингдек биринчи эпюра ўнг



6.12- расм

ординатасини иккинчи эпюра чап ординатасига кўпайтмаси.

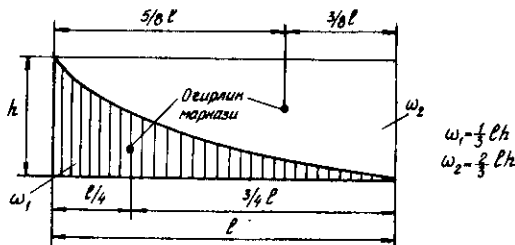
Кўпайтириладиган эпюралардан бири ёки хар иккаласи турли ишорали учбурчаклардан ташкил топса, яна юкоридаги усулдан фойдаланилса бўлади (6.12- расм, б). Бунинг учун эпюралардан бирини АВС ва АВД учбурчакларига тўлдирамиз. Ҳосил бўлган СВК ва АКД учбурчакларининг ординаталари тенг ва ишоралари карама-қарши бўлганлиги учун хисоб натижаларига таъсир этмайди.

Эпюралар кўпайтмаси (6.12- расм, б) куйидаги формуладан топилади:

$$\frac{al}{2}y_a + \left(-\frac{bl}{2}\right)(-y_b) = \frac{al}{2}y_a + \frac{bl}{2}y_b.$$

Кўчишларни Верешчагин усулида аниқлаганда, турли шаклларнинг юзалири ва оғирлик марказларини топишга тўғри келади.

Оддий геометрик шаклларнинг юза ва оғирлик марказларини аниқлаш ўқувчига ўрта мактабдан маълум. 6.13- расмда параболик эпюранинг юзаси ва оғирлик марказлари берилган.



6.13- расм

Верешчагин усулинин бикирлиги ўзгармас бўлган балка ва рамаларда қўллаш максадга мувофиқдир. Агар бикирлик элементнинг узунлиги бўйлаб ўзгарувчан бўлса, у холда  $EJ$  ни интегралдан ташқарига чиқариб бўлмайди, шу сабабли Верешчагин формуласидан фойдаланиб бўлмайди. Бундай ҳолларда кўчишлар Мор интегралини бевосита ечиш йўли билан аникланади.

#### 6.4. ҲАРОРАТНИНГ ЎЗГАРИШИДАН ВА ТАЯНЧЛАРНИНГ КЎКИШИДАН ҲОСИЛ БЎЛАДИГАН КЎЧИШЛАР

Статик аник системаларда ҳароратнинг ўзгариши стерженда кўчишлар пайдо бўлишига олиб келади. Масалан, ҳарорат таъсирида стержень узайиши, кисқариши ва қийшайиши мумкин. Ҳароратнинг ўзгариши статик аник системаларда қўшимча зўриқишлиар пайдо қилмайди.

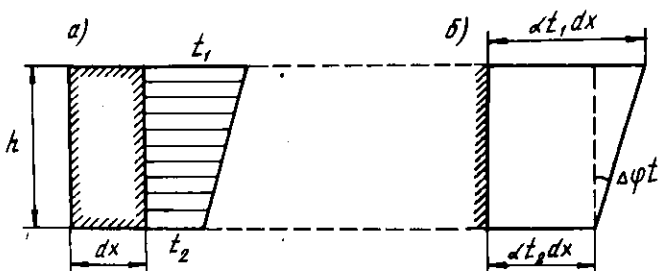
Юкорида кўриб ўтилган Мор формуласини (6.7) ҳарорат таъсирида ҳосил бўлган кўчишларни аниклаш масаласига татбик этамиз.

Ҳарорат таъсирида бўлган иштоотдан бирор  $dx$  бўлакчани ажратиб олайлик. Бўлакчанинг устки толаларининг ҳарорати  $t_1$  пастки толаларининг ҳарорати эса  $t_2$  бўлсин. Ҳарорат бўлакчанинг кўндаланг кесимида бир текисда тўғри чизик қонуни бўйича тарқалган дейлик (6.14- расм, а).

Ҳарорат таъсиридаги чизикли кенгайиш коэффициенти  $\alpha$  бўлса, бўлакчанинг устки толаси  $\alpha t_1 dx$  га, пастки толаси эса  $\alpha t_2 dx$  масофага узаяди (6.14- расм, б).

Агар кесим горизонтал ўкка нисбатан симметрик бўлса, у холда бўлакчанинг ҳарорат таъсирида ўртача узайиши

$$\Delta_{xi} = \frac{\alpha(t_1 + t_2)}{2} dx$$



6.14- расм

бўлади. Бўлакчанинг кўндаланг кесимлари бир-бирига нисбатан

$$\Delta_{pt} = \frac{\alpha(t_1 - t_2)}{h} dx$$

бурчакка оғади.

Харорат таъсирида силжиш деформацияси рўй бермайди.

Буларни эътиборга олсак, Мор формуласи (6.7) куйидаги кўринишга келади:

$$\Delta_{pt} = \sum \alpha \frac{t_1 - t_2}{h} \int_0^l \bar{M}_p dx + \sum \alpha \frac{t_1 + t_2}{2} \int_0^l \bar{N}_p dx \quad (6.11)$$

Агар стерженларнинг кўндаланг кесимлари ўзгармас бўлса, интеграллар бирлик эпюраларининг юзалари сифатида хисоблаб топилиши мумкин, у ҳолда харорат таъсирида вужудга келган кўчишларни аниқлаш формуласи қуйидаги содда кўринишни олади:

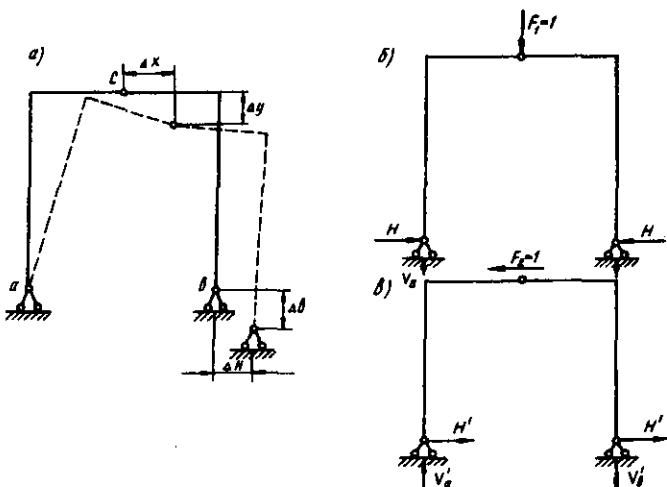
$$\Delta_{pt} = \sum \alpha \frac{t_1 - t_2}{h} \omega_{\bar{M}} + \sum \omega_{\bar{M}} + \sum \alpha \frac{t_1 + t_2}{2} \omega_{\bar{N}} \quad (6.12)$$

Бу ерда  $\omega_{\bar{M}}$  ва  $\omega_{\bar{N}}$ — бирлик эпюралар  $\bar{M}$  ва  $\bar{N}$  нинг юзалари.

(6.12) формула таркибидаги ҳадларнинг ишораси деформациянинг йўналишига боғлиқ: агар харорат таъсирида вужудга келган кўчишнинг йўналиши бирлик куч таъсирида вужудга келган кўчиш йўналиши билан бир хил бўлса, ишора мусбат, акс ҳолда манфий олинади.

**Таянчларнинг чўкишидан ҳосил бўладиган кўчишлар.** Статик аник системаларда таянчларнинг чўкиши иншо-отда қўшимча зўриқишлиар пайдо қилмайди. Таянчларнинг кўчиши эса тупроқнинг ўтириши, сув босиши ёки силжиши сингари турли сабаблар таъсирида рўй бериши мумкин.

Мисол тарикасида 6.15-расмда тасвирланган уч шарнирли рамани кўриб ўтамиз. Раманинг В таянчи чўкди деб фараз этайлик. Чўкишнинг вертикал  $\Delta_V$  ва горизонтал  $\Delta_H$  ташкил этувчилари маълум деб қарайлик. Ўртадаги С шарнирининг ҳолатини аниқлаш талаб этилади (6.15-расм, а). Шарнирининг вертикал кўчишини Мор формуласи бўйича аниқлаш учун С нуктасига вертикал йўналишда бирлик куч  $F_1=1$  ни қўямиз. (6.15-расм,



6.15- расм

б). Бирлик ҳолат күчларининг ҳақиқий ҳолат күчишлари ни вужудга келишида бажариши мумкин бўлган ишлари йиғиндиси қуидагича ифодаланади:

$$1\Delta_y - V_b\Delta_b - H\Delta_H = 0.$$

Бу тенгламадан изланётган күчиш аниқланади

$$\Delta_y = V_b\Delta_b + H\Delta_H.$$

Демак, мазкур күчиш таянчларнинг чўкишига бевосита боғлиқ экан.

Горизонтал күчиш  $\Delta_x$  ни аниқлаш учун С шарнирига  $F_2=1$  кучини қўямиз (6.15- расм, в). Мор теоремаси асосида қуидаги ишлар тенгламасини тузамиз:

$$1 \cdot \Delta_x + V'_b \cdot \Delta_b + H' \Delta_H = 0;$$

бу ердан

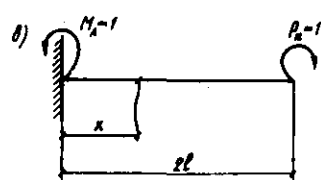
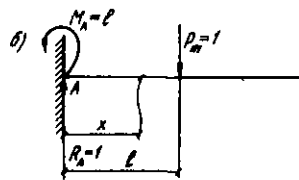
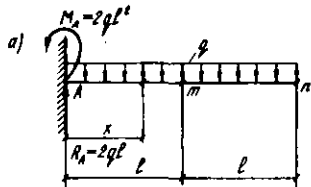
$$\Delta_x = -V'_b \Delta_b - H' \Delta_H$$

келиб чиқади.

Қуидаги күчишларни аниқлашга доир мисолларни кўриб ўтамиш.

1- мисол. Балканинг  $m$  кесимидаги чизикли күчиш ва  $n$  кесимидаги бурчакли күчиш Мор формуласи ёрдамида аниқлансан (6.16- расм, а).

Ечиш. Күчишлар Мор формуласи (6.8) ёрдамида қуидаги тартибда аниқланади:



6.16- расм

4. Мор формуласи ёрдамида «т» кесимининг вертикал  $\Delta_{mp}$  кўчишини аниқлаймиз:

$$\begin{aligned}\Delta_{mp} &= \int_0^l \frac{M_p \bar{M}_m dx}{EJ} = \int_0^l \frac{(-2ql^2 + 2qlx - \frac{qx^2}{2})(-l+x) dx}{Ey} = \\ &= \frac{1}{EJ} \int_0^l (2ql^3 - 2qc^2x + \frac{qex^2}{2} - 2qe^2x + 2qlx^2 - \frac{qx^3}{2}) dx = \\ &= \frac{1}{EJ} (2ql^3x \Big|_0^l - qe^2x^2 \Big|_0^l + \frac{qlx^3}{6} \Big|_0^l - ql^2 \Big|_0^l + \\ &\quad + \frac{2pqx^3}{3} \Big|_0^l - \frac{qx^4}{b} \Big|_0^l) =\end{aligned}$$

$$= \frac{1}{EJ} \left( 2ql^4 - ql^4 + \frac{ql^4}{6} - ql^4 + \frac{2ql^4}{3} - \frac{ql^4}{8} \right) = \frac{17}{24} \cdot \frac{ql^4}{EJ}.$$

5. Мор формуласи ёрдамида «п» кесимнинг бурчакли кўчишини аниқлаймиз:

$$\Delta_{np} = \int_0^{2l} \frac{M_p M_n dx}{EJ} = \int_0^{2l} \frac{(-2ql^2 + 2qlx - \frac{qx^2}{2})(-1) dx}{EJ} =$$

1. Энг аввал исталган кесим учун эгувчи моментлар тенгламасини тузамиз:

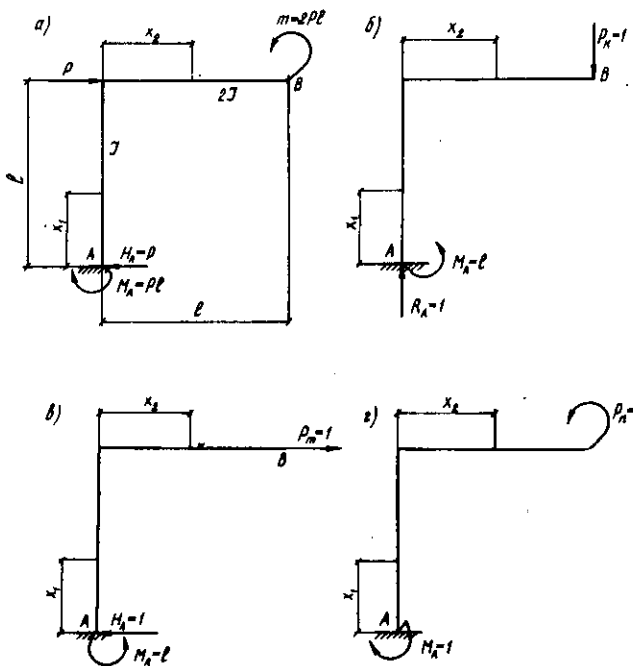
$$M_p = -2ql^2 + 2qlx - \frac{qx^2}{2}.$$

2. Балканинг  $m$  кесимидағи вертикал кўчишни аниқлаш учун уни берилган юклардан озод қилиб, ўрнига изланатган йўналишда бирлик  $P_m = 1$  куч кўямиз ва унинг таъсирида эгувчи моментлар ифодасини тузамиз (6.16- расм, б):

$$\bar{M}_m = -P_m l + x = -l + x.$$

3. Бурчакли кўчишни аниқлаш учун балканинг  $n$  кесимида бирлик  $P_n = 1$  момент кўямиз ҳамда эгувчи моментлар ифодасини тузамиз (6.16- расм, в);

$$\bar{M}_n = -1.$$



6.17- расм.

$$\begin{aligned}
 &= \frac{1}{EI} \left( 2ql^2x \Big|_0^{2l} - 2ql \frac{x^2}{2} \Big|_0^{2l} + \frac{qx^3}{6} \Big|_0^{2l} \right) = \\
 &= \frac{1}{EI} \left( 4ql^3 - 4ql^3 + \frac{8ql^3}{6} \right) = \frac{4}{3} \frac{ql^3}{EI}.
 \end{aligned}$$

**2- мисол.** Берилган юклар таъсирида раманинг «В» кесимида вертикал, горизонтал ва бурчакли кўчишлар Мор формуласи ёрдамида аниқлансин (6.17- расм, а).

**Ечиш.**

1. Рамани алоҳида участкаларга (кесмаларга) ажратамиз. Ҳар бир кесма учун ташки юк ва бирлик кучлардан эгувчи моментлар ифодаларини тузамиз:

1 кесма учун:

$$\begin{aligned}
 M_p &= Pl + Px_1; & (6.17\text{- расм, а}) \\
 \bar{M}_k &= -l; & (6.17\text{- расм б}) \\
 \bar{M}_m &= -l + x_1; & (6.17\text{- расм в}) \\
 \bar{M}_n &= 1; & (6.17\text{- расм, г})
 \end{aligned}$$

## II кесма учун

$$M_p = 2Pl; \quad (6.17\text{- расм, а})$$

$$\bar{M}_k = -l + x_2; \quad (6.17\text{- расм, б})$$

$$\bar{M}_m = 9; \quad (6.17\text{- расм, в})$$

$$\bar{M}_n = 1 \quad (6.17\text{- расм, г})$$

2. Мор формуласи ёрдамида изланаётган күчишларни аниклаймиз:

а) вертикал күчиш

$$\begin{aligned} \Delta_{\text{вер}} &= \sum \int_0^l \frac{M_p \cdot \bar{M}_k dx}{EJ} = \int_0^l \frac{(Pl + Px_1)(-l) dx}{EJ} + \int_0^l \frac{2Pl(-l + x_2) dx_2}{2EJ} = \\ &= -\frac{Pl^2 x_1}{EJ} \Big|_0^l - \frac{Plx_1^2}{2EJ} \Big|_0^l - \frac{Pl^2 x_2^2}{EJ} \Big|_0^l + \frac{Plx_2^2}{2EJ} \Big|_0^l = \\ &= -\frac{Pl^3}{EJ} - \frac{Pl^3}{2EJ} - \frac{Pl^3}{EJ} + \frac{Pl^3}{2EJ} = -\frac{2Pl^3}{EJ}; \end{aligned}$$

б) горизонтал күчиш

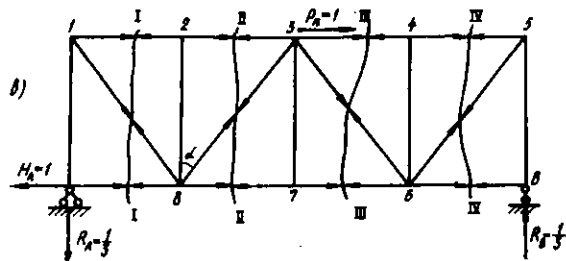
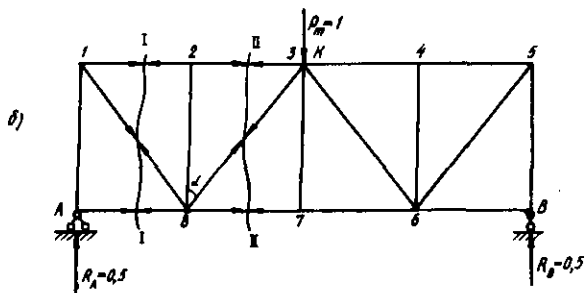
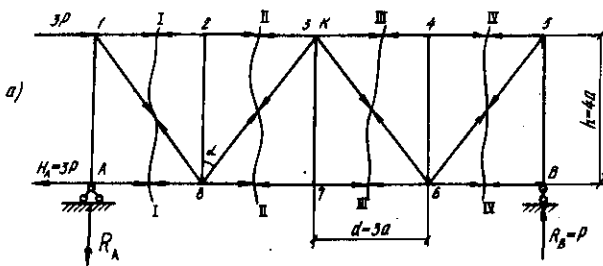
$$\begin{aligned} \Delta_{\text{гор}} &= \sum \int_0^l \frac{M_p \bar{M}_m dx}{EJ} = \int_0^l \frac{(Pl + Px_1)(-l + x_1) dx_1}{EJ} + \int_0^l \frac{2Pl \cdot 0 \cdot dx_2}{2EJ} = \\ &= -\frac{P_l^2 x_1}{EJ} \Big|_0^l - \frac{Plx_1^2}{2EJ} \Big|_0^l + \frac{Plx_1}{2EJ} \Big|_0^l + \frac{Px_1}{3EJ} \Big|_0^l = \\ &= -\frac{Pl^3}{EJ} - \frac{Pl^3}{2EJ} + \frac{Pl^3}{2EJ} + \frac{Pl^3}{3EJ} = -\frac{2}{3} \cdot \frac{Pl^3}{EJ}; \end{aligned}$$

в) бурчакли күчиш

$$\begin{aligned} \Delta_{\text{бұр}} &= \sum \int_0^l \frac{M_p \bar{M}_n dx}{EJ} = \int_0^l \frac{(Pl + Px_1) \cdot 1}{EJ} dx_1 + \int_0^l \frac{2Pl \cdot 1}{2EJ} dx_2 = \\ &= \frac{Plx_1}{EJ} \Big|_0^l + \frac{Px_1^2}{2EJ} \Big|_0^l + \frac{Plx_2}{EJ} \Big|_0^l = \frac{Pl^2}{EJ} + \frac{P^2}{2EJ} + \frac{Pl^2}{EJ} = \frac{5Pl^2}{2EJ}. \end{aligned}$$

3- мисол. 6.18- расм, а да берилған ферманинг «К» түгүндеги вертикал ва горизонтал күчишлар аниклансын. Стерженлар бикирлиги ўзаро тенг деб кабул қилинсин.

**Ечиш.** Мор формуласи  $\Delta_{ip} = \sum \frac{N_i^0 \cdot \bar{N}_i^k l_i}{EJ}$  га кўра қуйидаги амалларни бажаришимиз зарур:



6.18- р а с м

1. Ташки күчдан ферма стерженларидаги зўриқишиларни аниқлаймиз. Таъянч реакциялари  $R_A = P$ ;  $R_B = P$ ; ва  $H_A = 3P$  кийматларига эга. Хисоблаш учун зарур бўладиган ферманинг геометрик параметрлари:

$$l_{18} = l_{38} = l_{36} = l_{56} = \sqrt{h^2 + d^2} = \sqrt{(4a)^2 + (3a)^2} = 5a;$$

$$\cos\alpha = \frac{l_{28}}{l_{38}} = \frac{4a}{5a} = 0,8.$$

А, 2, 7, 4 ва В тугунларнинг мувозанат шартларидан фойдаланиб, куйидаги зўрикишлар топилади:

$$N_{14}=P; N_{8A}=3P; N_{5B}=-P; N_{28}=0; N_{37}=0;$$

$$N_{46}=0; N_{6B}=0; N_{12}=N_{23}; N_{78}=N_{6-7}; N_{34}=N_{45}.$$

I — I кесимнинг ўнг қисми мувозанатидан:

$$\Sigma y=0; N_{18} \cdot \cos\alpha + P = 0; N_{18} = -\frac{P}{\cos\alpha} =$$

$$= -\frac{P}{0,8} = -1,25P;$$

$$\Sigma m_8=0; -N_{12} \cdot h - R_b \cdot 3d = 0; N_{12} = \frac{-R_b \cdot 3d}{h} =$$

$$= -\frac{3 \cdot 3a}{4a} P = 2,25P;$$

$$N_{23} = -2,25P.$$

II — II кесимининг ўнг қисми мувозанатидан:

$$\Sigma y=0; N_{38} - \cos\alpha - a = 0; N_{38} = \frac{P}{\cos\alpha} = 1,25P;$$

$$\Sigma m_3=0; N_{78} \cdot h - P \cdot 2d = 0; N_{78} = \frac{2Pd}{h} = \frac{2P \cdot 3a}{4a} = 1,5P;$$

$$N_{78} = 1,5; N_{67} = 1,5P.$$

III — III кесимнинг ўнг қисми мувозанатидан:

$$\Sigma y=0; N_{36} \cdot \cos\alpha + P = 0; N_{36} = -\frac{P}{\cos\alpha} = -1,25P;$$

$$\Sigma m_0=0; N_{34}h + P \cdot d = 0; N_{34} = -\frac{Pd}{h} = -\frac{P \cdot 3a}{4a} = 0,75P;$$

$$N_{45} = -0,75P.$$

IV — IV кесимнинг ўнг қисми мувозанатидан:

$$\Sigma y=0; N_{56} \cdot \cos\alpha - P = 0; N_{56} = \frac{P}{\cos\alpha} = 1,25P.$$

2. Ферманинг К тугунига вертикал йўналишда қўйилган бирлик куч таъсирида стерженларда хосил бўладиган зўрикишларни аниқлаймиз (6.18- расм, б).

Таянч реакциялари  $R_A=R_B=\frac{1}{2}=0,5$ ;  $H_A=0$  бўлади.

Бу ерда ферма ва юкнинг симметриклиги эътиборга олинади. А, 2, 7, 4 тугунлар мувозанатидан фойдаланиб, куйидаги зўрикишлар аниқланади:

$$N_{1A} = N_{5B} = -0,5; \quad N_{8A} = N_{6B} = 0; \quad N_{28} = 0; \quad N_{37} = 0; \quad N_{46} = 0;$$

$$N_{12} = N_{23} = N_{34} = N_{45}; \quad N_{78} = N_{67}; \quad N_{18} = N_{56}; \quad N_{38} = N_{36}.$$

I — I кесимнинг чап қисми мувозанатидан:

$$\Sigma y = 0; \quad N_{18} \cos \alpha - 0,5 = 0; \quad N_{18} = \frac{0,5}{\cos \alpha} = \frac{0,5}{0,8} = 0,625;$$

$$\begin{aligned} \Sigma m_8 = 0; \quad N_{12} \cdot h + 0,5 \cdot d = 0; \quad N_{12} = \frac{0,5d}{h} = \\ = -\frac{0,53a}{4a} = -0,375; \end{aligned}$$

$$N_{23} = N_{34} = N_{45} = N_{12} = -0,375.$$

II — II кесимнинг чап қисми мувозанатидан:

$$\begin{aligned} \Sigma y = 0; \quad N_{38} \cdot \cos \alpha + 0,5 = 0; \quad N_{38} = -\frac{0,5}{\cos \alpha} = \\ = -0,625; \quad N_{38} = -0,625; \end{aligned}$$

$$\begin{aligned} \Sigma m_3 = 0; \quad N_{7-8} \cdot n - 0,5 \cdot 2d = 0; \quad N_{78} = \frac{0,5 \cdot 2 \cdot 39}{4a} = \\ = 0,75; \quad N_{76} = 0,75. \end{aligned}$$

3. Ферманинг К тугунига горизонтал йўналишда кўйилган бирлик куч таъсирида стерженларда ҳосил бўладиган зўрикишларни аниқлаймиз (6.18- расм, в).

Таянч реакциялари:

$$\Sigma x = 0; \quad H_A - 1 = 0; \quad H_A = 1,$$

$$\Sigma m_A = 0; \quad R_B \cdot 4d - P_1 \cdot h = 0; \quad R_B = \frac{P_1 h}{4d} = \frac{P_1 4a}{4 \cdot 3a} = \frac{P_1}{3} = \frac{1}{3};$$

$$\Sigma y = 0; \quad R_A - R_B = 0; \quad R_A = R_B = \frac{1}{3}.$$

А, 2, 7, 4, В тугунлар мувозанатидан фойдаланиб куйидагиларни аниқлаймиз:

$$N_{1-A} = R_A = \frac{1}{3}; \quad N_{5-B} = -R_B = -\frac{1}{3}; \quad N_{8-A} = H_1 = 1;$$

$$N_{6-B} = 0.$$

$$N_{28}=0; N_{3-7}=0; N_{46}=0;$$

$$N_{12}=N_{23}; N_{34}=N_{45}; N_{7-8}=N_{6-7}.$$

I — I кесимнинг чап қисми мувозанатидан:

$$\Sigma y=0; N_{18}\cos\alpha + \frac{1}{3}=0; N_{18}=-\frac{1}{3\cos\alpha}=-$$

$$=-\frac{1}{3 \cdot 0.8} = -\frac{1.25}{3} = -\frac{1.25}{3} = -0.417;$$

$$\Sigma m_8=0; N_{12} \cdot h + \frac{1}{3}d=0; N_{12}=\frac{d}{3h}=\frac{3a}{3 \cdot 4a}=$$

$$=0.25; N_{23}=0.25.$$

II — II кесимнинг чап қисми мувозанатидан:

$$\Sigma y=0; N_{38} \cdot \cos\alpha - \frac{1}{3}=0; N_{38}=\frac{1}{3\cos\alpha}=\frac{1}{3 \cdot 0.8}=$$

$$=\frac{1.25}{3}=0.417.$$

III — III кесимнинг ўнг қисми мувоза натидан:

$$\Sigma y=0; N_{36}\cos\alpha + \frac{1}{3}=0; N_{36}=-\frac{1}{3\cos\alpha}=-$$

$$=-\frac{1}{3 \cdot 0.8} = -0.417;$$

$$\Sigma m_6=0; N_{34} \cdot h + \frac{1}{3}d=0; N_{34}=-\frac{d}{3h}=-\frac{3a}{3 \cdot 4a}=$$

$$=-0.25; N_{45}=-0.25;$$

$$\Sigma m_8=0; N_{67} \cdot h - \frac{1}{3}2d=0; N_{67}=\frac{2d}{3h}=$$

$$=\frac{2 \cdot 3a}{3 \cdot 4a}=0.5; N_{78}=0.5.$$

IV — IV кесимнинг ўнг қисми мувозанатидан:

$$\Sigma y=0; N_{56}\cos\alpha - \frac{1}{3}=0; N_{56}=\frac{1}{3\cos\alpha}=\frac{1}{3 \cdot 0.8}=0.417$$

4. Ҳисобнинг давоми 6.1- жадвалда көлтирилган

6.1- жадвал

	$N_{pi}$	$l_i$	$\bar{N}_m$	$\bar{N}_n$	$N_{pi} N_{mi} l_i$	$N_{pi} N_{ni} l_i$
$N_{12}$	-2,25P	3a	-0,375	0,25	2,53Pa	1,69Pa
$N_{23}$	-2,25P	3a	-0,375	0,25	2,53Pa	1,69Pa
$N_{34}$	-0,75P	3a	-0,375	-0,25	0,84Pa	0,56Pa
$N_{45}$	-0,75P	3a	-0,375	-0,25	0,84Pa	0,56Pa
$N_{8A}$	3P	3a	0	1	0	9Pa
$N_{78}$	1,5P	3a	0,75	0,5	3,375Pa	2,25Pa
$N_{67}$	1,5P	3a	0,75	0,5	3,375Pa	2,25Pa
$N_{6B}$	O	3a	0	0	0	0
$N_{1A}$	P	4a	-0,5	1/3	-2Pa	1,33Pa
$N_{28}$	O	4a	0	0	0	0
$N_{37}$	O	4a	0	0	0	0
$N_{46}$	O	4a	0	0	0	0
$N_{5B}$	-P	4a	0,5	-1/3	2Pa	1,33Pa
$N_{18}$	-1,25P	5a	0,625	-0,417	-3,9Pa	2,6Pa
$N_{38}$	-1,25P	5a	-0,625	0,417	-3,9Pa	2,6Pa
$N_{36}$	-1,25P	5a	-0,625	-0,417	3,9Pa	1,6Pa
$N_{56}$	1,25P	5a	0,625	0,417	3,9Pa	2,6Pa
					13,49Pa	24,3Pa

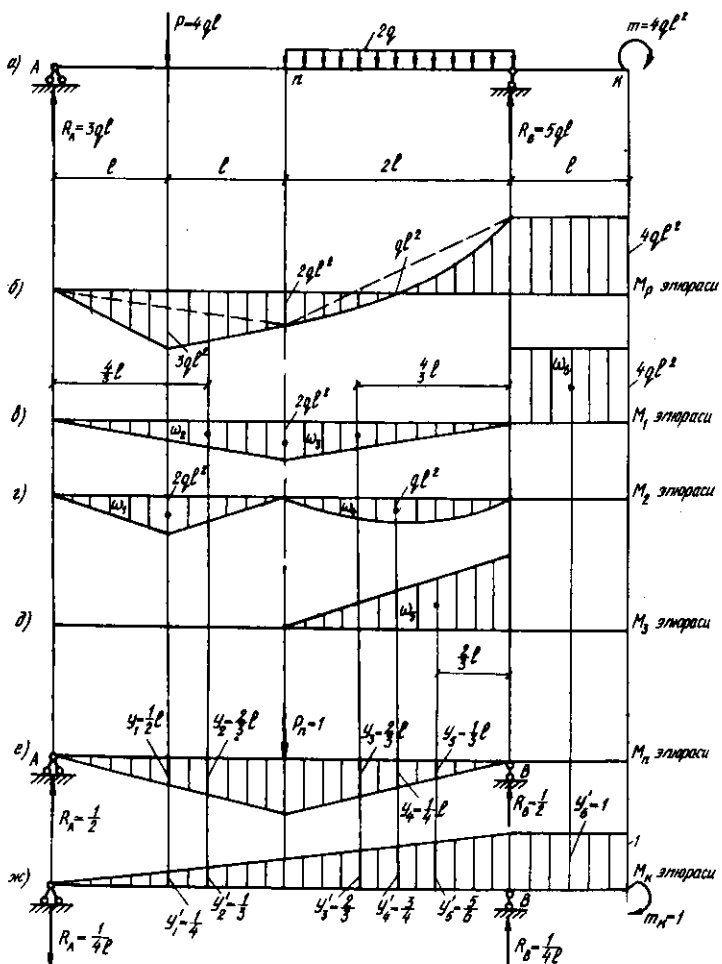
Ферма тугунининг вертикал кўчиши

$$\Delta_{mp} = \sum \frac{N_{pi} N_{mi} l_i}{EF} = \frac{13,49Pa}{EF} \text{ ва горизонтал кўчиши}$$

$$\Delta_{np} = \sum \frac{N_{pi} N_{ni} b_i}{EF} = \frac{24,3Pa}{EF} \text{ бўлади.}$$

**4- мисол.** Берилган юклар таъсирида балканинг  $n$  кесимининг вертикал кўчиши ва «К» кесимининг бурчакли кўчиши Верешчагин усулида аниқлансан. Балканинг бикирлиги унинг бутун узунлиги бўйича ўзгармас (6.19- расм, а).

**Ечиш.** 1. Берилган юклар таъсирида балканинг эгувчи моментлар эпюраси  $M_p$  ни қурамиз (6.19- расм, б).  $M_p$  эпюрасини оғирлик маркази аниқ бўлган ва юзаларини



6.19- расм

хисоблаш осон бўлган одий эпюралар ( $M_{12}$ ,  $M_{23}$ ,  $M_3$ ) га ажратамиз (6.19-расм, в, г, д).

2. Юкланмаган балкаларнинг бирига вертикал йўналишда бирлик куч ( $P_n = 1$ ), иккинчисига бирлик момент ( $m_k = 1$ ) кўямиз хамда  $\bar{M}_n$  ва  $\bar{M}_k$  эпюраларини курамиз.  $\bar{M}_n$  ва  $\bar{M}_k$  эпюраларининг эпюрасидаги оддий юзаларнинг оғирлилк марказларига мос келадиган ( $y_1$ ,  $y_2$ ,  $y_3$ ,  $y_4$ ,  $y_5$ ,  $y_6$  ва

$y'_1, y'_2, y'_3, y'_4, y'_5, y'_6$ ) ординаталарни аниклаймиз (6.19- расм е, ж).

3. Верешчагин коидасига (6.11) амал килиб, күчишларни аниклаймиз. Балканинг  $n$  кесимидағи вертикаль күчиш

$$\Delta_{np} = \sum \int \frac{M_p \cdot \bar{M}_n}{EJ} dx = \frac{1}{EJ} \sum \omega_{iyi} = \frac{1}{EY} \left( \frac{1}{2} 2ql^2 \cdot 2l \cdot \frac{1}{2} l \right) + \\ + \frac{1}{2} 2ql^2 \cdot 2l \cdot \frac{q}{3} l + \frac{1}{2} 2ql^2 \cdot 2l \cdot \frac{1}{3} l + \frac{2}{3} ql^2 \cdot 2l \cdot \frac{1}{2} l - \\ - \frac{1}{2} 4ql^2 \cdot 2l \cdot \frac{1}{3} l = \frac{ql^4}{EJ} \left( 1 + \frac{4}{3} + \frac{4}{3} + \frac{2}{3} - \frac{4}{3} \right) = \frac{3ql^4}{EJ};$$

Балканинг  $K$  кесимидағи бурчаклы күчиш

$$\Delta_{kp} = \sum \int \frac{M_p \cdot \bar{M}_k}{EJ} dx = \frac{1}{EJ} \sum \omega_{y_i} = \\ = \frac{1}{EJ} \left( -\frac{1}{2} 2ql^2 \cdot 2l \cdot \frac{1}{4} - \frac{1}{2} 2ql^2 \cdot 2l \cdot \frac{1}{3} - \frac{1}{2} 2ql^2 \cdot 2l \cdot \frac{2}{3} - \right. \\ \left. - \frac{2}{3} ql^2 \cdot 2l \cdot \frac{3}{4} + \frac{1}{2} 4ql^2 \cdot 2l \cdot \frac{5}{6} + 4ql^2 \cdot l \cdot 1 \right) = \frac{ql^3}{EJ} \left( -\frac{1}{2} - \frac{2}{3} - \right. \\ \left. - \frac{4}{3} - 1 + \frac{10}{3} + 4 \right) = \frac{23}{6} \frac{ql^3}{EJ}.$$

5- мисол. Раманинг  $K$  нүктасининг вертикаль күчиши ва  $n$  нүктасининг горизонтал күчиши Верешчагин усулида аниклансын (6.20- расм, а).

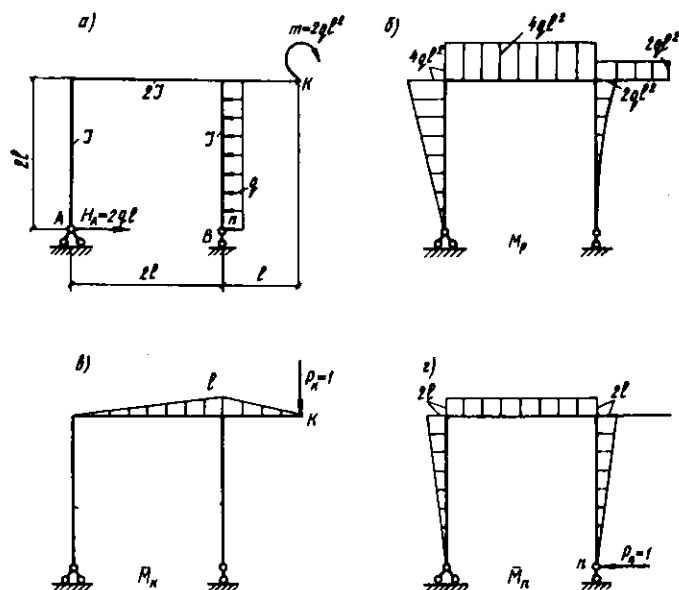
Ечиш. Берилген юклардан әгувчи моментлар эпюраси  $M_p$  ни курамиз (6.20- расм, б). Изланаётган йұналишларда бирлік күчлар ( $P_k, P_n$ ) күйіб, бирлік әгувчи момент эпюралари  $\bar{M}_k$  ва  $\bar{M}_n$  ни курамиз (6.20- расм, в, г).

$M_p$  эпюрасини алохида равишда  $\bar{M}_k$  ва  $\bar{M}_n$  эпюраларига күпайтириб, изланаётган күчишларни аниклаймиз. Вертикаль күчиш

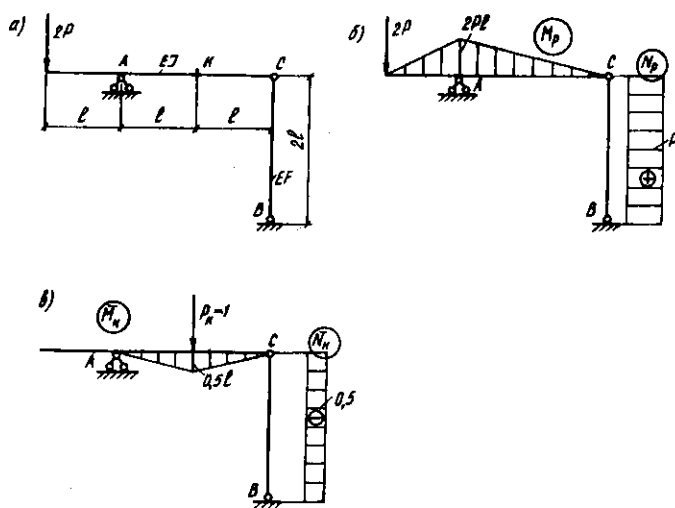
$$\Delta_{pk} = \sum \int \frac{M_p \cdot \bar{M}_k}{EJ} dx = \frac{1}{EJ} \sum \omega_{y_i} = \frac{1}{2EJ} 4ql^2 \cdot 2l \cdot \frac{1}{2} l + \\ + \frac{1}{2EJ} 2ql^2 \cdot l \cdot \frac{1}{2} l = \frac{2ql^4}{EJ} + \frac{ql^4}{2EJ} = \frac{5}{2} \frac{ql^4}{EJ}.$$

Горизонтал күчиш

$$\Delta_{np} = \sum \int \frac{M_p \cdot \bar{M}_n}{EJ} dx = \frac{1}{EJ} \sum \omega_{y_i} = \frac{1}{EJ} \frac{1}{2} 4ql^2 \cdot 2l \cdot \frac{2}{3} 2l +$$



6.20- р а с м



6.21- р а с м

$$+\frac{1}{2EJ}4ql^2 \cdot 2l \cdot 2l + \frac{1}{EJ}\frac{2}{3} \cdot 2ql^2 \cdot 2l \frac{3}{4}2l = \\ = \frac{16}{3}\frac{ql^4}{EJ} + \frac{8ql^4}{EJ} + \frac{4ql^4}{EJ} = \frac{52}{3}\frac{ql^4}{EJ}.$$

**6- мисол.** «К» нуктасининг вертикал кўчиши аниқлансан. Балка А нуктада шарнирли қўзғалмас таянч ва С нуктада ВС стержень (тортқич) ёрдамида маҳкамланган. Балканинг бикирлиги  $EJ$ , стерженнинг бикирлиги  $EF$  (6.21-расм, а).

**Ечиш.** Балка эгилишга, стержень эса чўзилишга ишлади. Кўчишни аниқлашда Мор формуласининг икки ҳадидан фойдаланамиз:

$$\Delta_{kp} = \int_0^{2l} \frac{M_p \bar{M}_k dx}{EJ} + \int_0^l \frac{N_p \bar{N}_k dx}{EF}.$$

Берилган кучдан эгувчи момент ( $M_p$ ) ва бўйлама кучлар ( $N_p$ ) эпюраларини кўрамиз (6.21-расм, б, в).

Изланаётган кўчиш йўналишида балкага бирлик куч ( $P_k=1$ ) кўйиб бирлик эгувчи моментлар ( $\bar{M}_k$ ) ва бирлик бўйлама кучлар ( $\bar{N}_k$ ) эпюраларини курамиз: (6.21-расм, в).

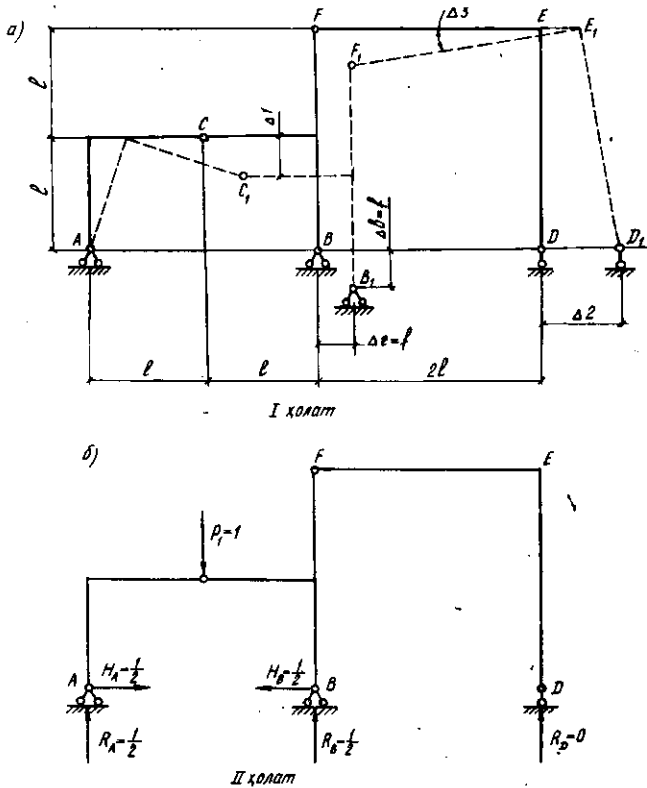
Кўчишни Верешчагин қоидаси ёрдамида аниқлаймиз:

$$\Delta_{kp} = -\frac{1}{EJ} \frac{1}{2} \cdot \frac{1}{2} l \cdot 2l \frac{1}{2} 2Pl - \frac{1}{EJ} P \cdot l \cdot \frac{1}{2} = \\ = -\frac{1}{2} \frac{Pl^3}{EJ} - \frac{1}{2} \frac{Pl}{EF} = -\frac{1}{2} \left( \frac{Pl^3}{EJ} + \frac{Pl}{EF} \right).$$

Демак, К кесимининг кўчиши икки хил деформациянинг йигинидисидан ташкил топар экан. Буларнинг биринчиси ригелнинг эгилиши (қавсдаги биринчи ҳад), иккинчиси эса устуннинг чўзилиши (қавсдаги иккинчи ҳад).

**7- мисол.** 6.22-расм, а — да кўрсатилган рама «В» таянчининг горизонтал  $\Delta_2$  ва вертикал  $\Delta_6$  силжишидан ҳосил бўлган С шарнирнинг вертикал кўчиши, Д таянчининг горизонтал кўчиши ва Е тугуннинг буралиш бурчаги аниқлансан. Рама В таянчининг силжишидан кейинги ҳолат пункттир чизик билан кўрсатилган.

**Ечиш.** Мисолни ечишда ишларнинг ўзаро муносабати ҳакидаги теоремага, яъни Бетти теоремасига асосланамиз. Бу теорема бўйича системанинг икки ҳолати кўриб ўтилади.

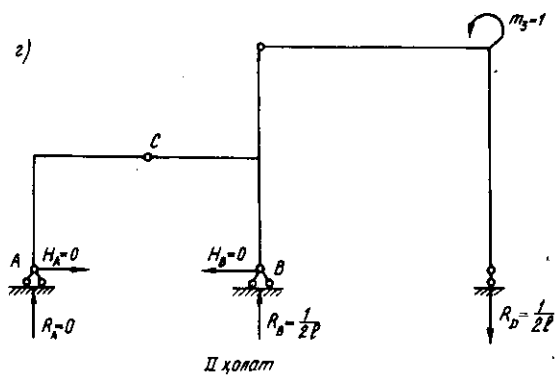
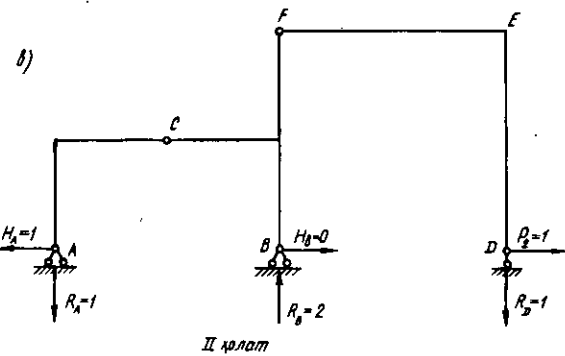


6.22- расм

Раманинг биринчи ҳолатида ташқи кучлар нолга тенг бўлишига қарамай, кўчишлар мавжуд (6.22-расм, а). П ҳолатлар сони аниқланаётган кўчишлар сонига тенг бўлиб, барчасида таянчлари силжимаган рама тасвирланган. С шарнирининг вертикаль кўчишини аниқлашда шу нуктага вертикаль бирлик куч кўйилади (6.22-расм, б). Д таянчнинг горизонтал кўчишини аниқлашда раманинг Д нуктасига горизонтал бирлик куч кўйилади (6.22-расм, в).

Е тугуннинг бурилиш бурчагини аниқлашда раманинг Е нуктасига бирлик момент кўйилади (6.22-расм, г).

Барча П ҳолатларда В таянчдаги вертикаль ва горизонтал реакция кучлари аниқланади.



1. С шарнирининг вертикал кўчишини аниқлаш.

Ишни таянч реакцияларини аниқлашдан бошлаймиз

(6.22- расм, а):

$$\sum M_F^{\text{ши}} = 0; R_P \cdot l = 0; R_d = 0;$$

$$\sum M_A = 0; R_B \cdot 2l - 1 \cdot l = 0; R_B = \frac{1}{2};$$

$$\sum M_c^{\text{ши}} = 0; R_B \cdot l - H_B \cdot l = 0; H_B = R_B = \frac{1}{2}.$$

Бетти теоремасига асосан

$$P_1 \Delta_1 - R_B f - H_B \cdot f = 0;$$

$$1 \cdot \Delta_1 - \frac{1}{2}f - \frac{1}{2}f = 0;$$

бу ердан вертикаль күчиш  $\Delta_1 = f$  топилади.

2. Д таянчининг горизонтал күчишини аниқлаш.

Таянч реакцияларини 6.22- расм, в-дан аниқлаймиз:

$$\sum M_F^{\text{ҮНГ}} = 0; R_p \cdot 2l - P_1 \cdot 2l = 0; R_p = P_1 = 1;$$

$$\sum M_A = 0; R_B \cdot 2l - R_p \cdot 4l = 0; R_B = 2R_p = 2;$$

$$\sum M_c^{\text{ҮНГ}} = 0; H_B \cdot l - R_B \cdot l - P_2 \cdot l + R_D \cdot 3l = 0;$$

$$H_B + P_2 - 3R_D = 2 + 1 - 3 = 0.$$

Бетти теоремасига асосан

$$\Delta_2 P_2 - R_B f - H_B f = 0;$$

$$\Delta_2 l - 2f - 0f = 0;$$

бундан горизонтал күчиш  $\Delta_2 = 2f$  топилади.

3. Е тугуннинг бурилиш бурчагини аниқлаш (6.22- расм, г).

Реакцияларни аниқлаймиз:

$$\sum M_F^{\text{ҮНГ}} = 0; R_D \cdot 2l - m_3 = 0; R_D = \frac{m_3}{2l} = \frac{1}{2l};$$

$$\sum M_A = 0; R_B - 2l - R_D \cdot 4l + m_3 = 0;$$

$$2R_B l - \frac{1}{2l} 4l + 1 = 0; R_B = \frac{2 - 1}{2l} = \frac{1}{2l}.$$

$$\sum M_c^{\text{ҮНГ}} = 0; H_B \cdot l - R_B \cdot l + R_D \cdot 3b - m_3 = 0;$$

$$H_B \cdot l - \frac{1}{2l} l + \frac{1}{2l} 3b - 1 = 0;$$

$$H_B \cdot l - \frac{1}{2} + \frac{3}{2} - 1 = 0; H_B = 0.$$

Бетти теоремасига асосан

$$m_3 \Delta_3 - R_B \cdot f = 0;$$

$$1 \cdot \Delta_3 - \frac{1}{2l} f = 0;$$

бундан Е тугуннинг бурилиш бурчаги топилади:

$$\Delta_3 = \frac{f}{2b}.$$

## 7- боб

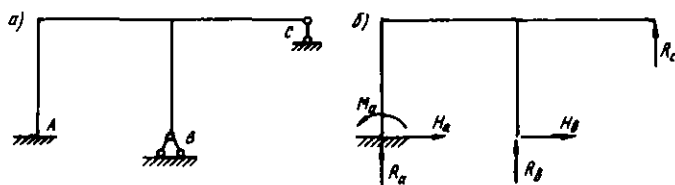
# СТАТИК НОАНИҚ РАМАЛАРНИ ҚҰЧЛАР УСУЛИДА ҲИСОБЛАШ

### 7.1. СТАТИК НОАНИҚ СИСТЕМАЛАР ҲАҚИДА ТҮШҮНЧА

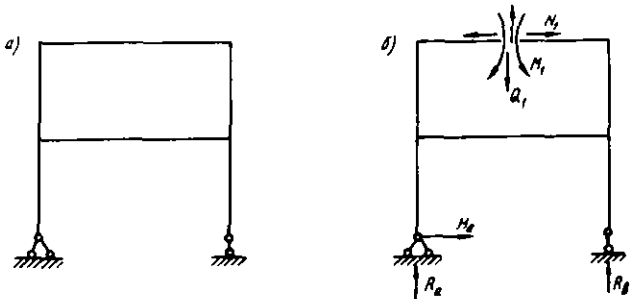
Бинокорликда шундай конструкциялар учрайдики, уларни ҳисоблаш үчүн, яъни ички күчларини аниклаш үчүн статиканинг мувозанат тенгламалари кифоя қилмайди. Чунки уларда ортиқча боғланишлар мавжуд бўлиб, ҳар бир боғланишда номаълум реакциялар вужудга келади. Номаълумлар сонини тенгламалар сонига тенглаштириш үчүн қўшимча тенгламалар тузиш талаб этилади. Ана шундай системалар статик ноаниқ системалар деб аталади.

Боғланиш деганда нукталар ва кесимларнинг ўзаро қўзғалишига қаршилик кўрсатувчи ҳар қандай тўсик тушунилади. «Ортиқча» боғланиш атамаси боғланишнинг «керақсизлигини» эмас, балки «керагидан ортиқча» эканligини англатади. Агар статик ноаниқ системадаги ортиқча боғланишлар ташлаб юборилса, у ҳолда статик аник, геометрик ўзгармас система ҳосил бўлади. Демак, ортиқча боғланишлар сони системанинг статик ноаниқлик дара жасини белгилар экан.

Системалар шартли равишда ташки ва ички статик ноаниқ системаларга ажратилади. 7.1-расмда ташки, 7.2-расмда ички статик ноаниқ рама тасвиirlанган. Буларнинг фарқига етиш үчүн ҳар иккала раманинг номаълум реакцияларини таҳлил этамиз. 7.1-расм, б-да олтита номаълум таянч реакциялари кўрсатилган. Шулардан учтаси статиканинг мувозанат тенгламаларидан топилса, колган учтаси статика учун «ортиқча» бўлиб колади. Раманинг В ва С таянчларини ортиқча боғланиш деб қабул қилиб, уларни ташлаб юборилиши раманинг



7.1- расм



7.2- расм

геометрик ўзгармаслигига путур етказмайды, айни пайтда статик аник система хосил бўлади. Ортиқча боғланишлар ўрнига реакция кучлари ( $H_a$ ,  $R_a$ ,  $R_b$ ) ни кўямиз. Бу номаълум реакция кучларини аниклаш учун қўшимча тенгламалар тузиш тақозо этилади. Хуллас бу раманинг статик ноаниклиги ташқаридан кўзга ташланиб турибди.

7.2- расмдаги раманинг статик ноаниклиги кўзга яққол ташланмайды. Бир карашда статик аник рамадай туюлади. Аслида бу рама ҳам статик ноаникдир.

Геометрик ўзгармас, статик аник система хосил килиш учун берилган раманинг бирор еридан кирқамиз (яъни ортиқча боғланишларни ташлаб юборамиз). Киркимга тушган кесимнинг кўзғолмаслигини таъминлаш учун шу кесимда хосил бўладиган ички кучларни ташки реакция кучлари кўринишида тасвирлаймиз (7.2- расм, б). Бу учала куч ( $M_1$ ,  $Q_1$ ,  $N_1$ ) ҳам номаълум. Номаълум таянч реакциялари ( $H_a$ ,  $R_a$ ,  $R_b$ ) статика тенгламаларидан топилса, номаълум ички кучлар қўшимча тенгламалардан топилади. Демак, шарнирларга эга бўлмаган ҳар бир ёпик контур уч марта статик ноаник бўлар экан.

Рамаларнинг статик ноаниклик даражаси қуйидаги формуладан аникланади:

$$C_H = 3K - \mathbb{W},$$

бунда  $K$  — ёпик контурлар сони;

$\mathbb{W}$  — оддий шарнирлар сони.

Оддий шарнирлар сони дисклар, яъни стерженлар сонидан битта кам бўлади. Қуйида рамаларнинг статик ноаниклик даражасини аниклашга доир бир неча мисол кўриб ўтамиз.

**1- мисол.** 7.1- расм, а-да берилган раманинг статик ноаниқлик даражаси аниқлансан.

Контурлар сонини белгилашда А, В, С таянчлари хәёлан туташтирилади. У холда  $K=2$  бўлади.

Шарнирлар сонини белгилашда шарнирли қўзғалмас таянчда  $W=1$  деб, қўзғалувчи таянчда эса  $W=2$  деб олинади:

$$C_H = 3 \cdot 2 - 3 = 3.$$

Демак, мазкур рама уч марта статик ноаниқ экан.

**2- мисол.** 7.2- расм, а-да тасвирланган раманинг статик ноаниқлик даражаси аниқлансан.

Епик контурлар сони  $K=2$ ; оддий шарнирлар сони  $W=2+1=3$ ;  $C_H = 3 \cdot 2 - 3 = 0$ .

Демак, бу рама ҳам уч марта статик ноаниқ экан.

**3- мисол.** 7.3- расмда кўрсатилган раманинг статик ноаниқлик даражаси аниқлансан.

Епик контурлар сони  $K=6$ ; оддий шарнирлар сони (шаклда кўрсатилган)  $W=12$ ;

$$C_H = 3 \cdot 6 - 12 = 6.$$

Демак, рама олти марта статик ноаниқ экан.

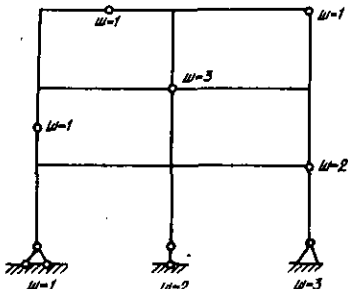
Статик ноаниқ системалар қўйидаги хоссаларга эгадир:

1. Статик ноаниқ системалар таркибида ортиқча боғланишларнинг мавжудлиги туфайли ўзига мос статик аник системага нисбатан бикирлиги юкорирок бўлади.

2. Статик ноаниқ системалар ўзига мос статик аник системаларга нисбатан тежамлироқ бўлади.

3. Статик ноаниқ системаларда бирор ортиқча боғланишнинг шикастланиши иншоотнинг бутунлай ишдан чиқишига олиб келмайди. Статик аник системаларда бирорта боғланиш бузилса, иншоот бутунлай ишдан чиқади.

4. Статик ноаниқ системаларда ҳароратнинг ўзгариши ва таянчларнинг чўкиши натижасида кўшимча зўри-кишлар пайдо бўлади. Система элементларининг узунлигидаги фарқлари, элементларни йиғишида йўл кўйилган



7.3- расм

баъзи ноаниқликлар ҳам системада қўшимча зўриқишлир уйғотади.

Статик ноаниқ системаларни ҳисоблашни кучлар усулидан бошлаймиз. Бу усул қадимий ва пухта ишланган усуллардан бири бўлиб, қамровининг кенглиги, ўзлашуви нинг осонлиги билан бошқа усуллардан ажралиб туради.

## 7.2. КУЧЛАР УСУЛИНИНГ АСОСИЙ СИСТЕМАСИНИ ТАНЛАШ

Ҳар қандай статик ноаниқ системанинг ҳисоби унинг ноаниқлик даражасини аниқлашдан бошланади. Шундан сўнг асосий система танланади. Берилган системанинг асосий системалари бир нечта бўлиши мумкин. Ҳисоблаш учун шуларнинг ичидан энг қулайи танлаб олинади. Қейинги ҳисоблар ана шу танланган система устида олиб борилади.

Хўш, асосий системанинг ўзи нима ва у қандай ҳосил қилинади?

Асосий система статик аниқ ва геометрик ўзгармас бўлиб, у берилган системадаги ортиқча боғланишларни ташлаб юбориш йўли билан ҳосил қилинади.

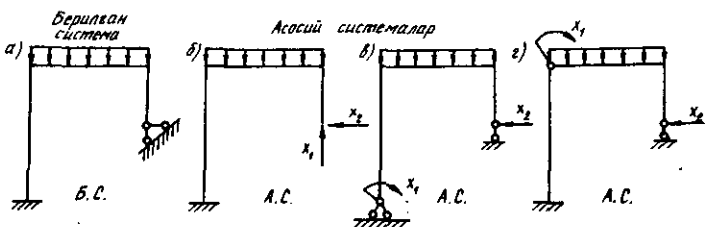
Асосий система ҳосил қилишнинг уч хил йўли бор:

а) ортиқча деб қабул қилинган таянчлар ёки таянч стерженлари ташлаб юборилади;

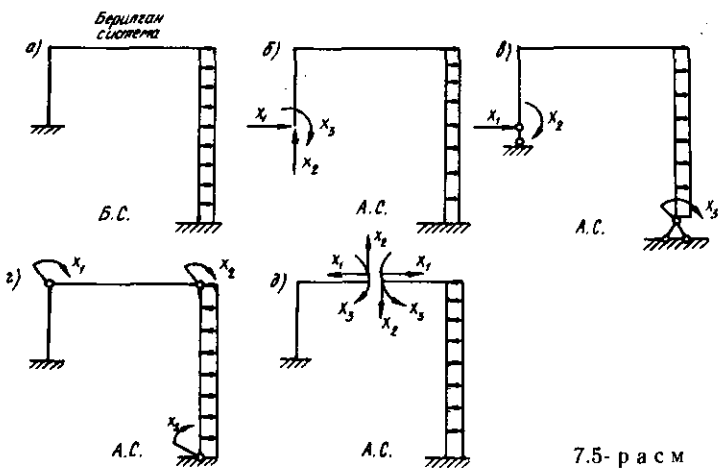
б) берилган системага шарнирлар киритилади;

в) берилган системанинг бирор кесими қиркилади.

Ҳар учала ҳолда ҳам амалда ортиқча боғланишлар ташлаб юборилган деб ҳисобланади. Шундан сўнг, берилган системанинг дастлабки мувозанат ҳолатини тиклаш мақсадида йўқотилган боғланишлар ўрнига уларнинг вазифасини бажарувчи номаълум кучлар ( $X_1, X_2, X_3$  ва х. к.) кўйилади. 7.4- расмда икки номаълумли, 7.5- расмда уч номаълумли раманинг турли асосий системалари акс эттирилган.



7.4- расм

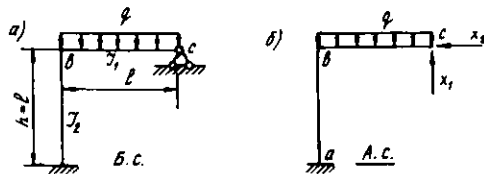


7.5- расм

Расмларга изоҳ берамиз. 7.4- расм, б, в, г-да 7.4- расм, а-да берилган раманинг уч хил асосий системаси тасвирланган. Расм б-да шарнирили кўзғалмас таянч ташлаб юборилиб, унинг ўрнига таянч реакциялари  $X_1$  ва  $X_2$  қўйилган. Расм в-да чандаги шарнирсиз таянч шарнирили кўзғалмас таянч билан, ўнгдагиси эса шарнирили кўзғалувчи таянч билан алмаштирилган. Инкор этилган боғланишлар ўрнига реакция кучлари тасвирланган. Расм г-да раманинг чапки бикир тугунига шарнир киритилган ва шарнир туфайли йўқотилган боғланиш ўрнига момент  $X_1$  қўйилган. Раманинг ўнг таянчидаги горизонтал стержень ташлаб юборилиб, ўрнига реакция кучи  $X_2$  қўйилган.

Учала асосий система ҳам геометрик ўзгармас, статик аникдир. Ҳисоб ишлари учун улар ичидан исталган системани танлаб олиш мумкин. Учала ҳолда ҳам ҳисоб натижалари бир хил чиқаверади. Бирок, 7.4- расм, б-да тасвирланган асосий система булар ичida энг мақбулидир. Чунки бундай системанинг  $M$  эпюораларини куриш ва кўчишларини аниклаш бошқаларига нисбатан бирмунча кулади.

7.5- расмда уч номаълумли раманинг тўрт хил асосий системаси тасвирланган. Буларнинг дастлабки учтаси (7.5- расм, б, в, г) аввалги раманинига ўхшашиб. Охиргиси (7.5- расм, д) кирқиши усулида ҳосил Килинган. Кирқилган кесимга ташқи кучлар таъсирида шу кесимда ҳосил бўладиган ички кучлар — бўйлама куч  $X_1$ , кўндаланг куч



7.6-расм

$X_2$  ва эгувчи момент  $X_3$  лар қўйилган. Бу тўрт асосий системанинг биринчиси ва охиргиси хисоблаш учун кулайдир.

### 7.3. КУЧЛАР УСУЛИНИНГ ҚАНОНИК ТЕНГЛАМАЛАРИ

Асосий системаларда ортиқча боғланишлар номаълум кучлар билан алмаштирилишини олдинги параграфда қўриб ўтдик. Эндиги вазифа ана шу номаълум кучларни аниклашдан иборат. Бунинг учун статика тенгламаларига қўшимча равишда каноник<sup>1</sup> деб аталувчи тенгламалар тузамиз. Каноник тенгламаларни тузиш тартибини икки номаълумли рама мисолида кўриб ўтамиз. Берилган раманинг (7.6-расм, а) асосий системасини синик консол кўринишида (7.6-расм, б) танлаймиз. Ташлаб юборилган таянч ўрнига номаълум кучлар кўямиз, сўнгра куч усулининг каноник тенгламаларини тузамиз.

Берилган рамада ·шарнирли кўзғалмас таянчнинг маркази С вертикаль ва горизонтал йўналишларда қўзғалмасдири, яъни унинг шу йўналишлардаги кўчишлари нолга тенгдир. Бундай шарт асосий системада ҳам сақланиб колиши лозим, яъни С нуктасининг вертикаль ва горизонтал кўчишлари нолга тенг бўлиши зарур. Бу шартни кисқа кўринишида қўйидагича ифодалаш мумкин:

$$\Delta_{x_1} = 0; \quad \Delta_{x_2} = 0; \quad (7.1)$$

бу ерда  $\Delta_{x_1}$  — стержень учи С нинг  $X_1$  куч йўналишидаги кўчиши;

$\Delta_{x_2}$  — шу нуктанинг  $X_2$  кучи йўналишидаги кўчиши.

<sup>1</sup> *Канон* — конуц, конда, каноник тенглама маълум конуният асосида тузилган тенглама.

Хар иккала кўчиш  $x_1$  ва  $x_2$  кучлари ҳамда ташки юклар таъсирида вужудга келади.

Кучлар таъсирининг мустакиллиги қондасидан фойдаланиб, (7.1)ни алоҳида кўчишлар йигиндиси сифатида ифодалаймиз.

$$\Delta_{x_1 x_1} + \Delta_{x_1 x_2} + \Delta_{x_1 p} = 0;$$

$$\Delta_{x_2 x_1} + \Delta_{x_2 x_2} + \Delta_{x_2 p} = 0. \quad (7.2)$$

Бу ерда кўчишларга кўйилган биринчи индекслар кўчишнинг йўналишини, иккинчи индекслар эса шу кўчишни юзага келтирувчи сабабни билдиради.

Энди  $x_1$  ва  $x_2$  кучлари таъсирида ҳосил бўлган кўчишларни Гук қонунига асосан бирлик кўчишлар орқали ифода этамиз.

$$\Delta_{x_1 x_1} = x_1 \delta_{11}; \Delta_{x_1 x_2} = x_2 \delta_{12}; \Delta_{x_2 x_1} = x_1 \delta_{21}; \Delta_{x_2 x_2} = x_2 \delta_{22}$$

Буларни (7.2) тенгламага қўйсак, икки номаълумли система учун кучлар усулининг каноник тенгламалари келиб чиқади;

$$x_1 \delta_{11} + x_2 \delta_{12} + \Delta_{1p} = 0;$$

$$x_1 \delta_{21} + x_2 \delta_{22} + \Delta_{2p} = 0; \quad (7.3)$$

Бу ерда  $\delta_{11}$  —  $x_1$  кучи кўйилган нуқтанинг шу куч йўналишида  $x_1=1$  кучи таъсирида ҳосил бўлган кўчиши;

$\delta_{12}$  —  $x_1$  кучи кўйилган нуқтанинг шу куч йўналишида  $x_2=1$  кучи таъсирида ҳосил бўлган кўчиши;

$\Delta_{1p}$  —  $x_1$  кучи йўналишида,  $\Delta_{2p}$  —  $x_2$  кучи йўналишида ташки кучлар таъсирида ҳосил бўлган кўчишлар.

Агар (7.3) да ифодаланган каноник тенгламаларнинг тузилишига жиддий эътибор берсак, унинг ёзилишида маълум қонуният борлигини пайкаш қийин эмас. Шу қонуниятдан фойдаланиб системанинг статик ноаниклик даражасига қараб, каноник тенгламаларни керагича таза оламиз. Бинобарин, система (масалан, рама) неча номаълумли бўлса, тенгламалар сони ўшанча бўлади. Масалан, уч номаълумли рама учун каноник тенгламалар куидаги кўринишга эга:

$$X_1 \delta_{11} + X_2 \delta_{12} + X_3 \delta_{13} + \Delta_{1p} = 0;$$

$$X_1 \delta_{21} + X_2 \delta_{22} + X_3 \delta_{23} + \Delta_{2p} = 0;$$

$$X_1 \delta_{31} + X_2 \delta_{32} + X_3 \delta_{33} + \Delta_{3p} = 0 \text{ ва } x.k. \quad (7.4)$$

(7.3) ва (7.4) да ифодаланган каноник тенгламаларда номаълум сифатида кучлар ( $X_1, X_2, X_3\dots$ ) турибди. Мазкур усулнинг «кучлар» усули деб аталишининг сабаби ҳамайнан ана шунда. Ушбу тенгламалардаги бирлик кўчишлар ( $\delta_{ik}$ ) — коэффициент, ташки кучлардан хосил бўлган кўчишлар ( $\Delta_{ip}$ ) эса озод ҳад вазифасини ўтайди. Кўчишларнинг ўзаро муносабати ҳақидаги Максвел теоремасига биноан  $\delta_{ik}=\delta_{ki}$  бўлади.

Бир хил индексли бирлик кўчишлар ( $\delta_{11}, \delta_{22}$ ) нинг ишоралари ҳамиша мусбат бўлади. Шу сабабли улар ҳеч қачон нолга айланмайди ва ҳамма вакт тенглама таркибида иштирок этади. Шу сабабли улар бошкўчишлар деб аталади.

Турли индексли кўчишлар ( $\delta_{12}, \delta_{13}\dots$ ) эса мусбат ва манфий ишораларга эга бўлиши ва демак, ноль бўлиши ҳам мумкин. Шунинг учун булар иккинчи дараҷали кўчишлар деб аталади.

#### 7.4. КАНОНИК ТЕНГЛАМА КОЭФФИЦИЕНТЛАРИ ВА ОЗОД ҲАДЛАРИНИ АНИҚЛАШ

Кучлар усулининг каноник тенгламаларини ечиш учун, яъни улардаги номаълум кучлар ва моментларни аниклаш учун аввал тенгламаларнинг коэффициентлари ва озод ҳадлари топилади.

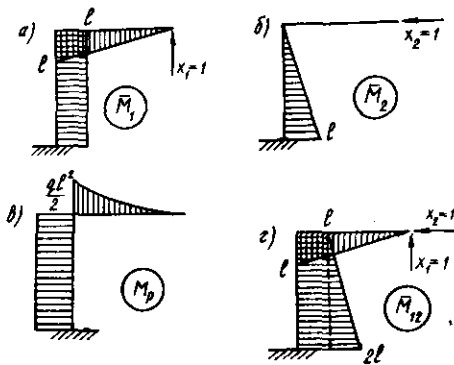
Маълумки, каноник тенгламаларнинг коэффициент ва озод ҳадлари кўчишлардир. Шунинг учун уларни аниклашда б-бобда баён этилган кўчишлар назариясидан фойдаланамиз.

7.6-расмдаги раманинг кўчишларини аниклаймиз. Бунинг учун бирлик кучлар таъсирида эгувчи моментларнинг бирлик эпюраларини (7.7-расм, а, б) қуриб оламиз. Ташки кучлар таъсиридаги Mp эпюраси 7.7-расм, в-да акс этирилган.

Бирлик кўчишлар қўйидаги формуласалардан тогпилади:

$$\delta_{11} = \sum_n \int_0^l \frac{\bar{M}_1^2}{EJ} dx; \quad \delta_{12} = \delta_{21} = \sum_n \int_0^l \frac{\bar{M}_1 \cdot \bar{M}_2}{EJ} dx;$$

$$\delta_{22} = \sum_n \int_0^l \frac{\bar{M}_2^2}{EJ} dx.$$



7.7-расм

Бу ерда  $\bar{M}_1$  — асосий системанинг исталган кесимда бирлиқ күч  $x_1=1$  дан ҳосил бўлган момент;  
 $\bar{M}_2$  — ўша кесимда  $x_2=1$  кучидан ҳосил бўлган момент;

$p$  — рама стерженлари сони.

Ташки юклардан ҳосил бўлган кўчишлар қўйидаги формулалардан топилади:

$$\Delta_{1P} = \sum_n \int_0^l \frac{\bar{M}_1 M_p}{EI} dx \quad \delta_{2P} = \sum_n \int_0^l \frac{\bar{M}_2 M_p}{EI} dx.$$

Верешчагин формуласидан фойдаланиб, эгувчи момент эпюраларидан (7.7-расм, а, б) қўйидагиларни аниқлаймиз:

$$\delta_{11} = \frac{4l^3}{3EI}; \quad \delta_{12} = \frac{l^3}{2EI}; \quad \delta_{22} = \frac{l^3}{3EI};$$

$$\Delta_{1P} = -\frac{5ql^4}{8EI}; \quad \Delta_{2P} = -\frac{qI^4}{4EI}.$$

Бу ерда  $J_1 = J_2 = J$  деб олинган.

Тўғри ечимга эга бўлиш учун кўчишлар тўғри топилган бўлиши керак. Буларнинг тўғри ёки нотўғри топилганлигини текшириб кўрса бўлади. Икки хил текшириш бор: каторма-қатор текшириш ва ялпи текшириш.

Текшириш учун бирлик эпюраларни кўшиб, йиғинди эпюра ( $\bar{M}_{12}$ ) курилади (7.7-расм, г). Каторма-қатор текшириш қўйидаги формула асосида амалга оширилади:

$$(\delta_{11} + \delta_{12}) = \sum_n \int_0^l \frac{\bar{M}_1 \bar{M}_{12}}{EI} dx; \quad (7.7)$$

яъни каноник тенгламанинг биринчи қаторидаги коэффициентлар йиғиндиси  $\bar{M}_1$  ва  $\bar{M}_{12}$  эпураларининг кўпайтмасига тенг чиқса, у ҳолда бу кўчишлар тўғри топилган бўлади.

Худди шунингдек, тенгламанинг иккинчи қатори куйидагича текширилади:

$$(\delta_{21} + \delta_{22}) = \sum_n \int_0^l \frac{\bar{M}_2 \bar{M}_{12}}{EI} dx \quad (7.8)$$

яъни кўчишлар тўғри топилган бўлса, уларнинг йиғиндиси  $\bar{M}_2$  ва  $\bar{M}_{12}$  эпураларининг кўпайтмасига тенг бўлади.

Ялпи текширишда барча коэффициентлар йиғиндиси,  $(\bar{M}_{12}) \cdot (\bar{M}_{12})$  кўпайтмасига тенг бўлиши зарур, яъни

$$(\delta_{11} + \delta_{12}) + (\delta_{21} + \delta_{22}) = \sum_n \int_0^l \frac{\bar{M}_{12}^2}{EI} dx \quad (7.9)$$

Топилган коэффициентларни тўлиқ текширамиз:

$$\sum_n \int_0^l \frac{\bar{M}_{12}^2}{EI} dx = \frac{1}{EI} \left( \frac{l^2}{2} \cdot \frac{2}{3} l + l^3 \cdot \frac{3}{2} l + \frac{l^2}{2} \cdot \frac{5}{3} l \right) = \frac{8l^3}{3EI}.$$

Бирлик кўчишлар йиғиндисини ҳисоблаймиз:

$$\delta_{11} + 2\delta_{12} + \delta_{22} = \frac{1}{EI} \left( \frac{4}{3} l^3 + \frac{1}{3} l^3 + l^3 \right) = \frac{8l^3}{3EI}.$$

Кўпайтма йиғиндига тенг чиқди. Демак, кўчишлар тўғри топилган.

Энди биринчи қатор коэффициентларини текширамиз:

$$\delta_{11} + \delta_{12} = \frac{11l^3}{6EI}.$$

$\bar{M}_1$  ва  $\bar{M}_{12}$  эпураларининг кўпайтмасини ҳисоблаймиз:

$$\sum_n \int_0^l \frac{\bar{M}_2 \bar{M}_{12}}{EI} dx = \frac{1}{EI} \left( \frac{l^2}{2} \cdot \frac{2}{3} l + l \cdot \frac{23}{2} l \right) = \frac{11l^3}{6EI}$$

Бу ерда ҳам йиғинди кўпайтмага тенг чиқди. Шундай бўлиши ҳам керак эди.

Нихоят озод ҳадларни текширамиз:

$$\Delta_{1P} + \Delta_{2P} = \sum_n \int_0^l \frac{\bar{M}_{12} M_P}{EI} dx; \quad (7.10)$$

яъни озод ҳадлар йигиндиси  $\bar{M}_{12}$  эпюраси билан  $M_p$  эпюрасининг кўпайтмасига тенг бўлиши керак. Бу шартнинг бажарилиши озод ҳадларнинг тўғри топилганлигини англатади.

Кўчишлар, яъни коэффициент ва озод ҳадлар тўғри топилганига ишонч ҳосил килингач, уларни каноник тенгламаларга қўямиз. Тенгламаларни биргаликда ечиб, номаълум кучларни аниклаймиз:

$$X_1 \cdot \frac{4l^3}{3} + X_2 \frac{l^3}{2} - \frac{5ql^4}{8} = 0;$$

$$X_1 \cdot \frac{l^3}{2} + X_2 \frac{l^3}{3} - \frac{ql^4}{4} = 0.$$

Бу ердан

$$X_1 = \frac{3ql}{7} \text{ ва } X_2 = \frac{3ql}{28}$$

келиб чиқади.

### 7.5. СТАТИК НОАНИҚ РАМАЛАРНИНГ $M_p$ ВА $M$ ЭПЮРАЛАРИНИ КУРИШ

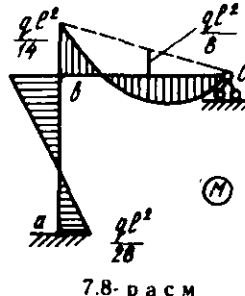
Каноник тенгламалардан ортиқча номаълумлар ( $X_1, X_2\dots$ ) аниклангач, раманинг натижавий, яъни тугал  $M$  эпюраси курилади. Исталган кесимдаги моментнинг киймати кўшиш усулида аникланади:

$$M = M_p + X_1 \bar{M}_1 + X_2 \bar{M}_2 + \dots + X_n \bar{M}_n \quad (7.11)$$

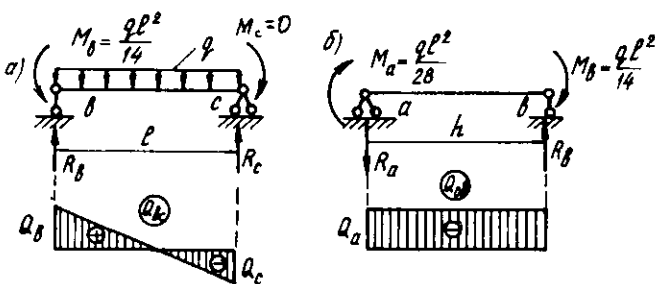
Бу ерда  $M_p$  — статик аниқ асосий системада ташки юклардан ҳосил бўлган момент;  $\bar{M}_1$  — асосий системада  $X_1=1$  кучидан ҳосил бўлган момент.

$X_1$  кучининг ҳақиқий киймати таъсирида ҳосил бўлган моментни топиш учун  $\bar{M}_1$  моментини  $X_1$  га кўпайтирамиз, яъни  $X_1$  таъсиридаги ҳақиқий момент  $X_1 \bar{M}_1$  бўлади. Бу коида бошка номаълумлар ( $X_2, X_3, \dots X_n$ ) га ҳам тегишлидир.

7.6-расмда берилган икки номаълумли раманинг мазкур усулда курилган  $M$  эпюраси 7.8-расмда акс этган. Расмда ригелнинг ўртасидаги момент ҳам кўрсатилиган. Раманинг эгувчи моментлар эпюраси ҳамма вакт стержен-



7.8-расм



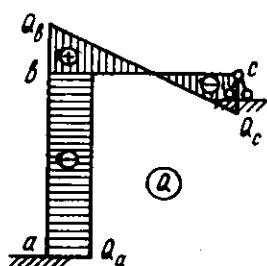
7.9-расм

нинг толалари чўзилган томонга чизилишини эслатиб ўтамиз.

Статик ноаник раманинг якунловчи  $M$  эпюрасини куриб бўлдик. Бу билан ҳисобнинг энг муҳим ва мураккаб қисми тугади. Энди кўндаланг ва бўйлама кучлар эпюраларини куришга киришсак бўлади. Нега деганда  $M$  эпюраси асосида  $Q$  эпюраси,  $Q$  эпюраси асосида  $N$  эпюраси қурилади.

$Q$  эпюрасини қуриш учун раманинг стерженларини алоҳида бўлакларга ажратамиз ва уларни бир ораликли статик аниқ балкалар сифатида ҳисоблаймиз. Бунда балкаларга ташки кучлардан ташқари раманинг  $M$  эпюрасидан олинган тугун моментлари хам кўйилади. 7.9-расмда 7.6-расм, а-да берилган раманинг алоҳида балкаларга ажратилиши ва тегишли эпюралари тасвирланган. 7.9-расм, б-да  $bc$  ригели, 7.9-расм, б-да  $ab$  устуни балка кўринишида акс эттирилган хамда ташки куч ва тугун моментлари кўрсатилган. Оддий балканинг  $Q$  эпюраси материаллар каршилиги курсида баён этилган коидалар асосида қурилади. Ишнинг охирида алоҳида балкалар учун курилган  $Q$  эпюраси рама ўқига тўпланади (7.10-расм).

Энди  $Q$  эпюраси асосида  $N$  эпюрасини қурамиз. Бунда ригелга кўйилган кўндаланг кучлар устун учун бўйлама куч, устунга кўйилган кўндаланг кучлар эса ригел учун бўйлама куч бўлади деган коида га асосланамиз. Бўйлама куч



7.10-расм

стерженни чўзса — мусбат, сикса — манфий ишора олинади.

Бўйлама кучларни аниклаш учун  $Q$  эпюраси курилган раманинг тугунлари бирин-кетин қирқиб олинади ва тугуннинг мувозанати текширилади. Энг аввал икки стерженли, кейин ундан ортиқ стерженли тугунлар кирқилади. Икки стерженли тугуннинг (7.11-расм, а) мувозанат шартларидан  $N_1$  ва  $N_2$  бўйлама кучлари аникланади:

$$\Sigma Y = N_1 - Q_1 = 0; \quad N_1 = Q_1;$$

$$\Sigma X = P + Q_2 - N_2 = 0; \quad N_2 = -(P + Q_2).$$

Уч стерженли тугуннинг (7.11-расм, б) мувозанат шартидан  $N_3$  аникланади:

$$\Sigma Y = Q_3 - Q_1 - N_3 = 0; \quad N_3 = Q_1 - Q_3.$$

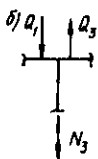
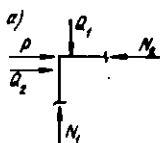
Колган стерженлардаги бўйлама кучлар ҳам шу тартибда аникланади.

Биз текшираётган раманинг (7.6-расм) бўйлама кучлар эпюрасини қуриш учун унинг  $Q$  эпюрасидан  $b$  тугунни қирқиб оламиз (7.12-расм, а) ва мувозанат шартларини ёзамиз:

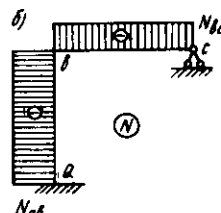
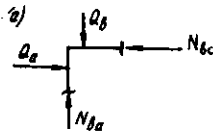
$$\Sigma X = Q_a - N_{bc} = 0; \text{ бу ердан } N_{bc} = Q_a;$$

$$\Sigma Y = N_{ba} - Q_b = 0; \text{ бу ердан } N_{ba} = Q_b.$$

Аникланган қийматлар бўйича раманинг  $N$  эпюраси курилади (7.12-расм, б).



7.11-расм



7.12-расм

**Текшириш.** Рамаларнинг статик ноаниклик даражаси ортган сари ҳисоблаш ишлари мураккаблашиб бораверади. Бундай холларда ҳисоб натижаларини текшириш мухим аҳамият касб этади. Оддинги параграфда каноник тенглама коэффициентлари ва озод ҳадларини текширишни ўрганган эдик. Бу сафар тугал  $M$ ,  $Q$  ва  $N$  эпюраларини текширишни ўрганамиз.  $M$ ,  $Q$ ,  $N$  эпюраларини текширишнинг икки усули бор: статик текшириш ва деформацион текшириш. Эпюраларни статик текширганда, яхлит рама ёки унинг айрим қисмлари ва тугунлари учун мувозанат шартлари тузилади. Бунда раманинг барча таянч реакцияларини вертикал ўқка бўлган проекциялари йигиндиси ташки юкларнинг вертикал проекциялари билан мувозанатда бўлиши лозим: бирор нуктага нисбатан таянч реакцияларидан олинган моментлар йигиндиси шу нуктага нисбатан ташки кучлардан олинган моментлар йигиндисига тенг бўлиши зарур.

Раманинг ҳар бир тугуни эгувчи моментлар таъсирида мувозанатда ётиши керак, бунинг учун бир тугунга туташган ригель ва устундаги ординаталар ўзаро тенг бўлиши лозим. Тугулардаги кўндаланг ва бўйлама кучлар алоҳида карапланда, мувозанатда бўлмайди, бирок биргаликда карапланда тугун мувозанатда ётиши зарур.  $M$ ,  $Q$  ва  $N$  эпюраларини статик текшириш уларнинг тўғри курилганига кафолат бўлаолмайди, чунки статик мувозанат шартлари номаъумлар хато топилган тақдирда ҳам бажарилаверади. Бунинг сабаби шундаки, раманинг тугал  $M$  эпюраси статик аник асосий система учун қурилган. Агар ташки юк ва аникланган номаъумлар таъсирида эпюра тўғри қурилса, у ҳолда номаъумларнинг исталган кийматида рама статик мувозанат ҳолатида бўлаверади. Натижада номаъумларни аниклашда йўл кўйилган хато очилмай колаверади.

**Деформацион текшириш** оптиқча номаъумларни аниклашда йўл кўйилган хатоларни пайқаш имконини беради. Ҳисоб натижаларини деформацион текширишда асосий системаларга қурилган бирлик эпюралар ( $M_1$ ,  $M_2$ ) раманинг тугал  $M$  эпюраси билан навбатма-навбат кўпайтирилади. Агар оптиқча номаъумлар тўғри аниклашиб, эпюралар тўғри қурилган бўлса, бундай кўпайтма нолга тенг чиқади.

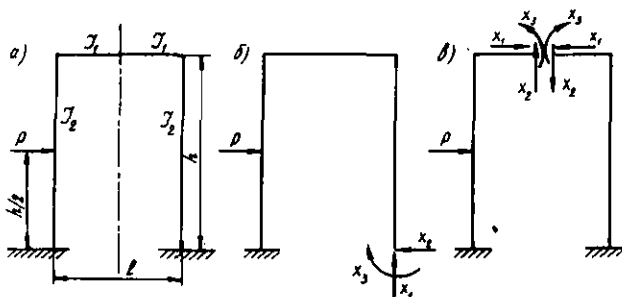
## 7.6. СТАТИК НОАНИҚ РАМАЛАРНИ ҲИСОБЛАШДА СОДДАЛАШТИРИШ УСУЛЛАРИ

Қаноник тенгламалар сони системадаги ортиқча номаълумлар сонига тенг бўлишини илгари айтиб ўтган эдик. Демак, системанинг статик ноаниқлик даражаси ортгани сари қаноник тенгламалар ҳам ортиб боради, уларни биргаликда ечиш учун тобора кўпроқ вақт ва меҳнат талаб этилади. Аниқ усулларда берилган системадаги номаълумлар сонини камайтириб бўлмайди, бирок ҳисоблаш ишларини бирмунчча осонлаштириш имконини берадиган соддалаштириш усуллари мавжуддир. Қуйида ана шу усулларнинг баъзилари билан танишиб чиқамиз.

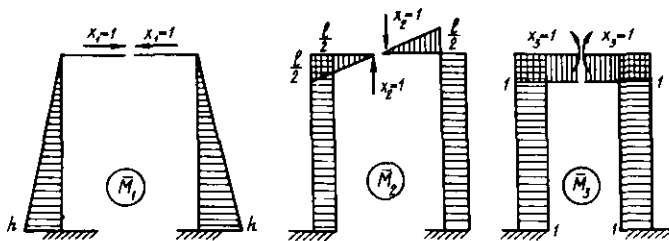
### Системаларнинг симметриклигидан фойдаланиш

Симметрик рамалар факат геометрик шаклига кўра эмас, балки таянчлари ва бикирликлари бўйича ҳам симметрик бўлиши лозим. Шунда уларнинг симметриклигидан фойдаланиб баъзи соддалаштиришларга эришиш мумкин. 7.13- расм, а-да симметрик статик ноаниқ рама тасвирланган. Рама битта вертикал симметрия ўқига эга. Раманинг чап ва ўнг таянчлари бир хил. Раманинг ҳар иккала устуни, шунингдек ригелнинг чап ва ўнг қисмлари бир хил инерция моментига эга, бу ҳар иккала устун бир хил бикирликка эга, ригелнинг чап ва ўнг қисмлари бикирликлари ўзаро тенг демакдир.

Агар раманинг асосий системасини 7.13- расм, б-да кўрсатилгандек олсак, ҳисоб жараёнида ҳеч қандай



7.13- расм



7.14- расм

соддалашувга эришмаймиз, уч номаълумли учта каноник тенгламалар системаси ўзгаришсиз колаверади:

$$\begin{aligned} X_1\delta_{11} + X_2\delta_{12} + X_3\delta_{13} + \Delta_{1p} &= 0; \\ X_1\delta_{21} + X_2\delta_{22} + X_3\delta_{23} + \Delta_{2p} &= 0; \\ X_1\delta_{31} + X_2\delta_{32} + X_3\delta_{33} + \Delta_{3p} &= 0. \end{aligned} \quad (7.12)$$

Агар раманинг асосий системасини 7.13- расм, в-даги кўринишда олсак, каноник тенгламалар системаси анча ихчамланиди. Раманинг асосий системасини ҳосил қилишда уни симметрия ўқи ўтган кесимдан кирқдик. Бу асосий системанинг бирлик эпюраларини курсак, симметрик ( $\bar{M}_1, \bar{M}_3$ ) ва тескари симметрик ( $\bar{M}_2$ ) эпюралар ҳосил бўлади (7.14- расм).

Тўғри ва тескари симметрик эпюраларнинг кўпайтмаси нолга тенг бўлади. Бу коида каноник тенглама коэффициентларини аниқлашда жуда кўл келади. Чунончи,  $\delta_{12}$  коэффициентини аниқлашда  $\bar{M}_1$  ва  $\bar{M}_2$  эпюралар Верешчагин формуласи бўйича ўзаро кўпайтирилиши керак. Бирок эпюраларнинг бири симметрик, иккинчиси тескари симметрик бўлгани учун кўпайтма ноль чикишини олдиндан биламиз. Шундай қилиб,

$$\delta_{12} = \delta_{21} = 0.$$

$\bar{M}_2$  ва  $\bar{M}_3$  эпюраларининг кўпайтмасидан  $\delta_{23} = \delta_{32} = 0$  келиб чиқади. Бунинг оқибатида каноник тенгламалар системаси қуидидаги кўринишга келади:

$$X_1\delta_{11} + X_3\delta_{13} + \Delta_{1p} = 0;$$

$$X_2\delta_{22} + \Delta_{2p} = 0;$$

$$X_1\delta_{31} + X_3\delta_{33} + \Delta_{3p} = 0;$$

яъни яхлит тенгламалар системаси (7.12) иккита мустакил тенгламалар системасига ажралиб кетди:  
булардан бири

$$\begin{aligned} X_1 \delta_{11} + X_3 \delta_{13} + \Delta_{1\rho} &= 0; \\ X_1 \delta_{31} + X_3 \delta_{33} + \Delta_{3\rho} &= 0; \end{aligned} \quad (7.13)$$

иккинчиси

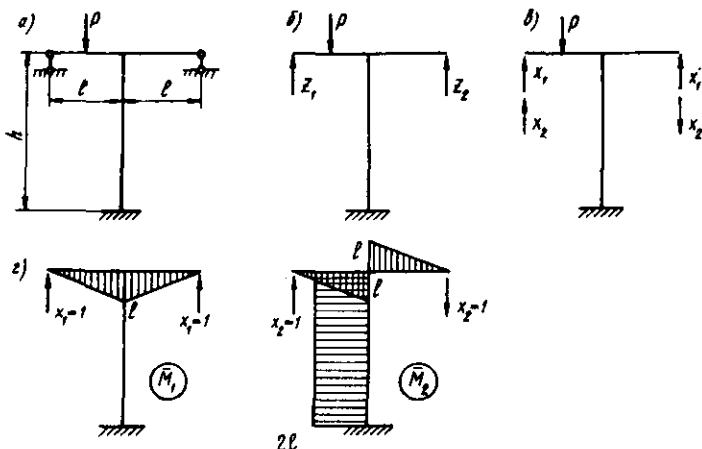
$$X_2 \delta_{22} + \Delta_{2\rho} = 0. \quad (7.14)$$

Шундай килиб, асосий система танлаш жараёнида раманинг симметриклик хусусиятларидан фойдаланиб, уч номаъумли яхлит тенгламалар системасини иккита мустакил тенгламалар системасига ажратдик, буларнинг бири икки номаъумли иккита тенглама, иккинчиси бир номаъумли битта тенглама. Натижада ҳисоб ишларини анча қисқартириш имкониятига эга бўлдик.

### Номаъумларни гурухлаш

Кўп ораликли симметрик рамаларни ҳисоблашда тўғри ва тескари симметрик бўлган эпюралар хосил килиш учун номаъумлар сифатида алоҳида кучлар эмас, балки кучлар гурухи қабул килинади. Икки номаъумли рама мисолида усулнинг моҳиятини баён этамиз (7.15- расм, а).

Берилган рама икки ораликли бўлиб, шарнирли кўзғалувчан таянчлар устунга нисбатан симметрик жой-



7.15- расм

лашган. Раманинг асосий системасини таянчларни ташлаб юбориш йўли билан ҳосил киламиз. Йўқотилган боғланышлар ўрнига номаълум реакция кучларини қўямиз (7.15- расм, б). Бироқ асосий системани бундай олиниши хисоб ишларини соддалаштиришга олиб келмайди, каноник тенгламалар системаси яхлитлигича қолаверади:

$$Z_1\delta_{11} + Z_2\delta_{12} + \Delta_{1p} = 0;$$

$$Z_1\delta_{21} + Z_2\delta_{22} + \Delta_{2p} = 0.$$

Хисоб жараёнида маълум даражада соддалашувга эришиш мақсадида  $Z_1$  реакциясини  $X_1$  ва  $X_2$  номаълумларининг ийиндиси билан,  $Z_2$  реакция кучини эса  $X_1$  ва  $X_2$  номаълумларининг айрмаси билан алмаштирамиз (7.15- расм, в). Натижада якка кучлар кучлар гурухи билан алмашади. Бунинг оқибатида тўғри ( $M_1$ ) ва тескари ( $\bar{M}_2$ ) симметрик эпюраларга эга бўламиз (7.15- расм, г). Маълумки, бундай эпюралар кўпайтмаси нолга тенг бўлади. Шунга кўра  $\delta_{12} = 0$ . Каноник тенгламалар системаси эса алоҳида иккита мустакил тенгламаларга ажралиб кетади:

$$X_1\delta_{11} + \Delta_{1p} = 0; X_2\delta_{22} + \Delta_{2p} = 0.$$

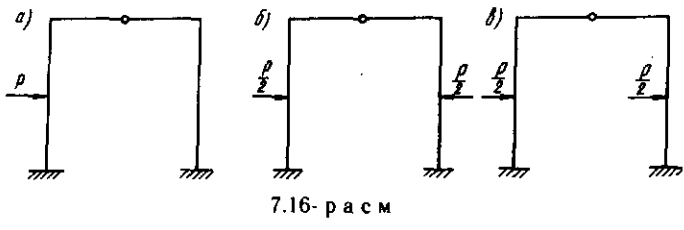
Мазкур тенгламалардан  $X_1$  ва  $X_2$  номаълумлари аникланади, сўнгра якунловчи  $M$  эпюраси курилади.

$$M = M_p + X_1\bar{M}_1 + X_2\bar{M}_2.$$

### **Носимметрик юкларни тўғри ва тескари симметрик юкларга ажратиш**

Агар статик ноаник симметрик рамаларга қўйилган юклар носимметрик бўлса, уларни тўғри ва тескари симметрик юкларга ажратиш йўли билан ҳисоб ишларини бир мунча соддалаштирса бўлади.

Симметрик рамага носимметрик  $R$  кучи қўйилган бўлсин (7.16- расм, а). Шу кучни иккига бўлиб, тўғри ва тескари симметрик кучларга ажратамиз (7.16- расм, б, в). Кучлар шундай ажратилиши керакки, уларни қайтадан қўшганда, дастлабки куч ҳолати келиб чиқсин. Масалан, раманинг чап устунига (расм, б, в) бир йўналишда микдори  $R/2$  бўлган иккита куч қўйилган, буларнинг ийиндиси  $R$  га тенг бўлади. Раманинг ўнг устунига эса ўша кучлар қарама-карши йўналишда қўйилган, бу



7.16- расм

кучларнинг йиғиндиси нолга teng бўлади, натижада дастлабки куч холати келиб чиқади.

Шундай килиб, тўғри ва тескари симметрик кучлар кўйилган иккита рамага эга бўлдик (7.16-расм, б, в). Энди бу рамалар алоҳида равишда ҳисобланади, тўғри симметрик кучлардан  $M_{t\ddot{y}r}$  эпюраси, тескари симметрик кучлардан  $M_{tes}$  эпюраси курилади. Раманинг берилган кучдан ҳосил бўладиган ҳақиқий  $M$  эпюраси тўғри ва тескари симметрик эпюралар йиғиндисидан иборат бўлади.

Носимметрик равишда жойлашган турли хил ташки кучларни тўғри ва тескари симметрик юкларга ажратиш йўли 7.17-расмда кўрсатилган.

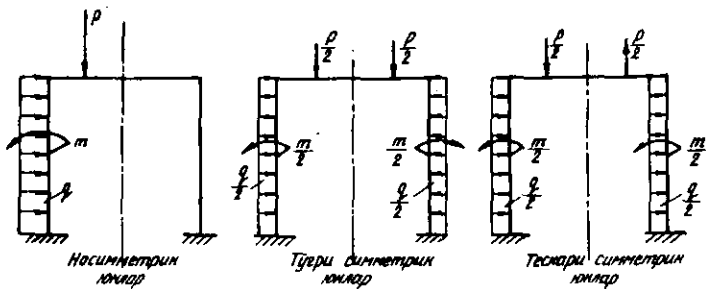
**Мисол.** 7.18-расм, а-да кўрсатилган рама куч усулида ҳисоблансин. Рама элементларининг ўлчамлари шаклда кўрсатилган.

**Ечиш.** Статик ноаниқ рамани куч усулида ҳисоблаш куйидаги тартибда бажарилади:

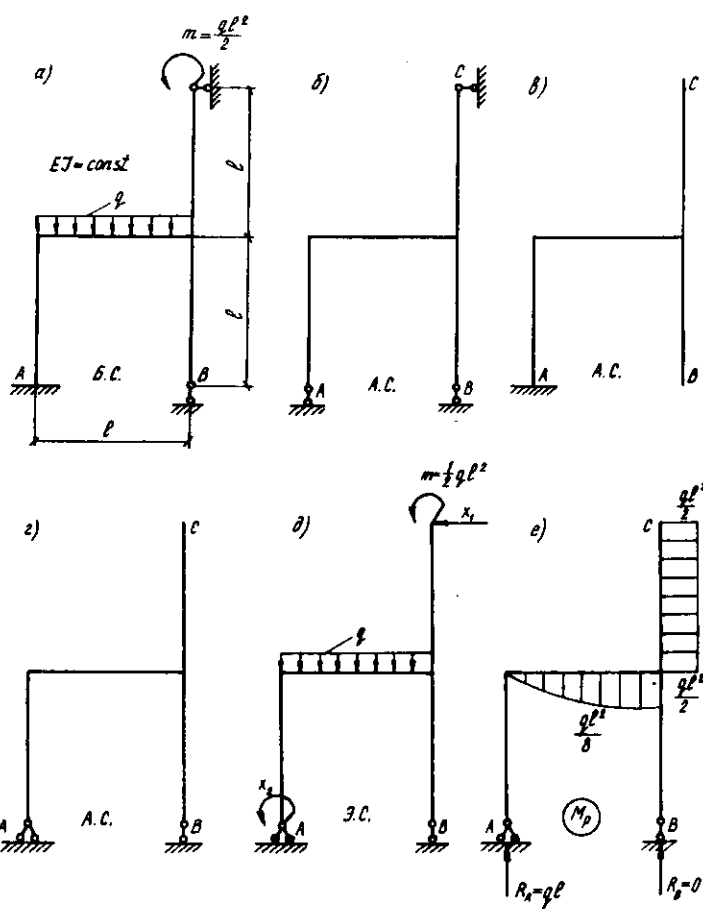
1.  $L=3K-W$  формуласи ёрдамида раманинг статик ноаниқлик даражаси аникланади.

Контурулар сони  $K=2$ , шарнирлар сони  $W=4$ ,  $L=3 \cdot 2 - 4 = 2$ . Берилган раманинг статик ноаниқлик даражаси 2 га teng экан.

2. Асосий система танланади. Асосий система вариантлари б, в, г шаклларда кўрсатилган. Ҳисоблаш учун



7.17- расм

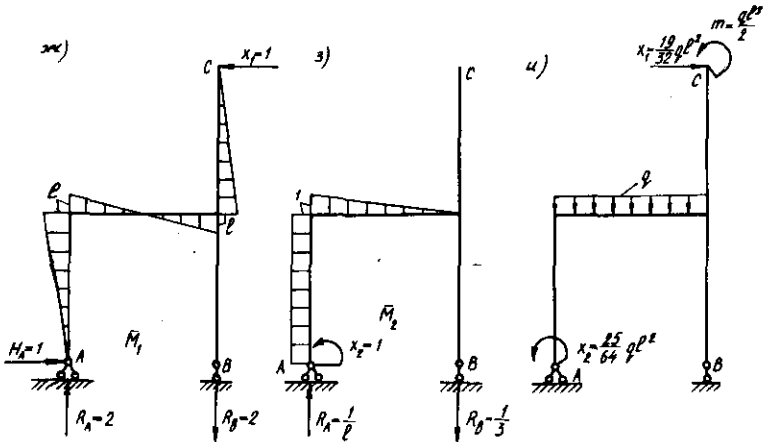


улар ичидан энг қулайини танлаб оламиз. Булар ичидә «Г» варианти энг қулайдыр.

3. Асосий системага ташки күч ҳамда  $X_1$  ва  $X_2$  зўриқишиларни кўйиб, эквивалент система ҳосил қиласиз (7.18-расм, д). Ортиқча боғланишлар йўналишидаги кўчишлар нолга тенглигини ифодаловчи каноник тенгламалар тузамиз:

$$\delta_{11}X_1 + \delta_{12}X_2 + \Delta_{1p} = 0;$$

$$\delta_{21}X_1 + \delta_{22}X_2 + \Delta_{2p} = 0.$$



7.18- р а с м

4. Қаноник тенгламаларнинг коэффициентлари ва озод хадларини аниклаш учун асосий системада ташки куч ва бирлик күчлардан эгувчи моментлар эпюраларини қурамиз ( $\epsilon$ ,  $\varphi$ , з шакллар).

5. Күчишларни аниклашда Верешчагин қоидасидан фойдаланамиз (6.11).

$$\delta_{11} = \frac{1}{EJ} \cdot \frac{1}{2}l \cdot l \cdot \frac{2}{3}l \cdot 2 + \frac{1}{EJ} \cdot \frac{7}{2}l \cdot \frac{1}{2}l \cdot \frac{2}{3}l \cdot 2 = \\ = \frac{2}{3} \frac{l^3}{EJ} + \frac{1}{3} \frac{l^3}{EJ} = \frac{l^3}{EJ};$$

$$\delta_{22} = \frac{1}{EJ} 1 \cdot l \cdot 1 + \frac{1}{EJ} \frac{1}{2} \cdot l \cdot \frac{2}{3}l = \frac{l}{EJ} + \frac{l}{3EJ} = \frac{4l}{3EJ};$$

$$\delta_{12} = \delta_{21} = \frac{1}{EJ} \frac{1}{2}l \cdot l \cdot 1 + \frac{1}{EJ} \frac{1}{2}l \cdot l \frac{2}{3}l \cdot 1 - \frac{1}{EJ} \frac{1}{2}l \cdot l \frac{1}{3}l = \\ = \frac{1}{2} \frac{l^2}{EJ} + \frac{1}{3} \frac{l^2}{EJ} - \frac{1}{6} \frac{l^2}{EJ} = \frac{2}{3} \cdot \frac{l^2}{EJ};$$

$$\Delta_{lp} = \frac{1}{EJ} \frac{q l^3}{2} \cdot l \cdot \frac{1}{2}l + \frac{1}{EJ} \cdot \frac{1}{2} \frac{q l^2}{2} \cdot l \cdot \frac{1}{3}l + \frac{1}{EJ} \frac{2}{3} \frac{q l^2}{8} \cdot l = \\ = 0 = \frac{1}{2} \frac{q l^4}{EJ} + \frac{q l^4}{12 EJ} + 0 = \frac{1}{12} \frac{q l^4}{EJ} = \frac{1}{3} \frac{q l^4}{EJ};$$

$$\Delta_{2p} = -\frac{1}{EJ} \frac{1}{2} \cdot \frac{q l^2}{2} l \cdot \frac{1}{3} \cdot 1 = -\frac{1}{EJ} \frac{2}{3} \frac{q l^2}{8} \cdot l \cdot \frac{1}{2} \cdot 1 = \\ = -\frac{1}{12} \frac{q l^3}{EJ} - \frac{1}{24} \frac{q l^2}{EJ} = -\frac{3}{24} \frac{q l^3}{EJ} = -\frac{1}{8} \frac{q l^3}{EJ}.$$

6. Топилган коэффициент ва озод ҳадларни каноник тенгламаларга қўйиб,  $X_1$  ва  $X_2$  номаъумларини аниқлаймиз:  $X_1 = \frac{19}{32} q l^2$ ;  $X_2 = \frac{25}{64} q l^2$ .

7. Асосий системага ташқи кучлар ҳамда топилган  $X_1$  ва  $X_2$  реакция кучларини қўйиб (7.18- расм, и) эгувчи моментлар ( $M$ ), кўндаланг ( $Q$ ) ва бўйлама ( $N$ ) кучлар эпюраларини курса бўлади.

8. Натижавий  $M$  эпюрасини, кучлар таъсиригининг мустакиллиги коидасидан фойдаланиб куришимиз ҳам мумкин:

$$M = M_p + M_{x1} + M_{x2} = M_p + \bar{M}_1 X_1 + \bar{M}_2 X_2.$$

Формуланинг иккинчи ва учинчи ҳадларини ҳосил қилиш учун  $\bar{M}_1$  эпюра ординаталарини  $X_1$  га кўпайтирамиз. Ҳосил бўлган эпюралар тузатилган эпюралар деб аталади (7.19- расм, а, б). Натижавий  $M$  эпюраси 7.19- расм, в да берилган.

9. Кўндаланг кучлар эпюраси  $Q$  ни қуидаги формула асосида қурамиз:

$$Q = Q_x^0 + \frac{M_{\text{ўнг}} - M_{\text{чап}}}{l}.$$

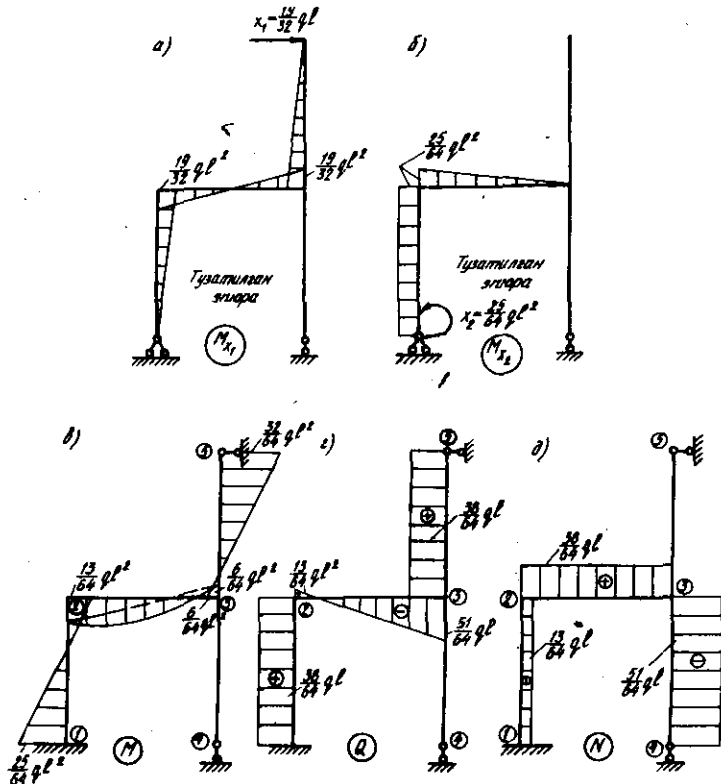
Бу ерда  $Q_x^0$  — оддий балканинг ихтиёрий кесимидағи кўндаланг куч;

$M_{\text{ўнг}}$  —  $M_{\text{чап}} - M_p$  эпюрасидаги оралиқнинг ўнг ва чап ординаталари.

$$Q_{12} = \frac{\frac{13}{64} q l^2 - \left( -\frac{25}{64} q l^2 \right)}{l} = \frac{38}{64} q l;$$

$$Q_2 = \frac{q l}{2} + \frac{-\frac{6}{64} q l^3 - \frac{13}{64} q l^2}{l} = \frac{13}{64} q l;$$

$$Q_3 = -\frac{q l}{2} + \frac{-\frac{6}{64} q l^2 - \frac{13}{64} q l^2}{2} = -\frac{51}{64} q l;$$



7.19-расм

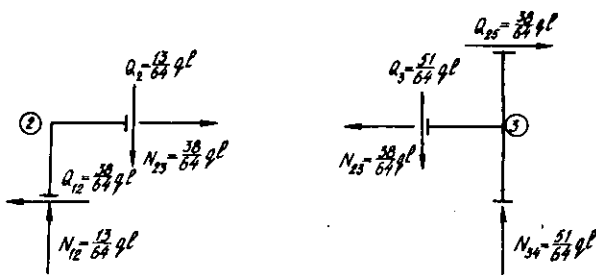
$$Q_{34} = 0;$$

$$Q_{35} = \frac{\frac{32}{64} q l^2 - \left(-\frac{6}{64} q l^2\right)}{l} = \frac{38}{64} q l;$$

Топилган ординаталар бўйича аввал  $Q$ , сўнгра  $N$  эпуралари қурилади (7.19-расм, г, д).

10. Бўйлама кучлар эпураси  $N$  ни қуришда тугунлар мувозанатидан фойдаланамиз. Биринчи навбатда икки элементни бириктирувчи тугуннинг мувозанати қўрилади.

Мусбат ишорали кўндаланг кучлар тугунни соат стрелкаси йўналишида айлантиради (7.20-расм).



7.20- р а с м

2- түгүн мувозанатидан

$$\Sigma y = 0; N_{12} - Q_2 = 0; N_{12} = Q_2 = \frac{13}{64} ql;$$

$$\Sigma x = 0; N_{23} - Q_{12} = 0; N_{23} = Q_{12} = \frac{38}{64} ql.$$

3- түгүн мувозанатидан

$$\Sigma y = 0; N_{34} - Q_3 = 0; N_{34} = Q_3 = \frac{51}{64} ql;$$

$$\Sigma x = 0; N_{23} - Q_{35} = 0; N_{23} = Q_{35} = \frac{38}{64} ql.$$

### 11. Текшириш.

Хисоб натижалари икки хил йўл билан текширилади. Улардан бири деформацион текшириш деб аталади. Бунда натижавий  $M$  эпюраси текширилади. Бунинг учун натижавий эпюра бирорта бирлик эпюра билан кўпайтирилади. Агар кўпайтма ноль чикса, демак хисоб тўғри бажарилган бўлади.

Верешчагин формуласидан (6.11) фойдаланиб, натижавий  $M$  эпюрасини аввал  $\bar{M}_1$ , сўнгра  $\bar{M}_2$  бирлик эпюралари билан кўпайтирамиз.

$$\begin{aligned} \Delta_1 = (M \bar{M}_1) &= \frac{1}{EJ} \frac{1}{2} \frac{25}{64} ql^2 \cdot l \cdot \frac{1}{3} l - \frac{1}{EJ} \frac{1}{2} \frac{13}{64} ql^2 \cdot \\ &\cdot l \cdot \frac{2}{3} l - \frac{1}{EJ} \frac{1}{2} \frac{13}{64} ql^2 \cdot l \cdot \frac{1}{3} l - \frac{1}{EJ} \frac{1}{2} \frac{6}{64} ql^2 \cdot l \cdot \frac{1}{3} l + \\ &+ \frac{1}{EJ} \frac{2}{3} \frac{8}{64} ql^2 \cdot l \cdot 0 - \frac{1}{EJ} \frac{1}{2} \frac{6}{64} ql^2 \cdot l \frac{2}{3} l + \\ &+ \frac{1}{EJ} \frac{1}{2} \frac{32}{64} ql^2 \cdot l \frac{1}{3} l = \frac{ql^4}{64EJ} \left( \frac{125}{6} - \frac{25}{6} - \frac{13}{6} - \frac{6}{6} + \right. \\ &\left. + 0 - \frac{12}{6} + \frac{32}{6} \right) = \frac{ql^4 (57 - 57)}{384EJ} = 0; \end{aligned}$$

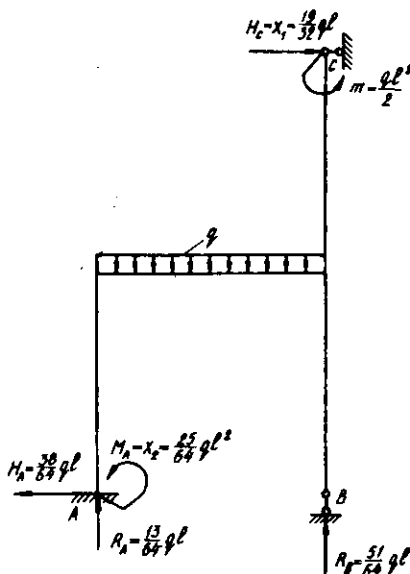
$$\Delta_2 = (M \cdot \bar{M}_2) = \frac{1}{EJ} \cdot \frac{1}{2} \cdot \frac{25}{64} q l^2 \cdot l \cdot 1 - \frac{1}{EJ} \cdot \frac{1}{2} \cdot \frac{13}{64} q l^2 \cdot l \cdot 1 - \\ \cdot 1 - \frac{1}{EJ} \cdot \frac{1}{2} \cdot \frac{13}{64} q l^2 \cdot l \cdot \frac{2}{3} 1 + \frac{1}{EJ} \cdot \frac{1}{2} \cdot \frac{1}{64} q l^2 \cdot l \cdot \frac{1}{3} 1 - \frac{1}{EJ} \\ \frac{2}{3} \cdot \frac{8}{64} q l^2 \cdot l \cdot \frac{1}{2} \cdot 1 = \frac{q l^3}{64 EJ} \left( \frac{25}{2} - \frac{13}{2} - \frac{13}{2} - \frac{13}{3} + 1 - \frac{8}{3} \right) = \\ = \frac{q l^3 (75 - 39 - 26 + 6 - 16)}{384 EJ} = \frac{q l^3 (81 - 81)}{384 EJ} = 0.$$

Күчишларнинг нолга тенг келиши ҳисобнинг түғри бажарилганлигини ифодалайди.

Энди системанинг мувозанат холатини текширамиз (статик текшириш).  $M$ ,  $Q$ ,  $N$  эпюраларидан системанинг таянч реакцияларини аниклаймиз (7.21-расм):

$$M_A = X_2 \frac{25}{64} q l^2; R_A = \frac{13}{64} q l; H_A = \frac{38}{64} q l;$$

$$R_B = \frac{51}{64} q l; H_c = -X_1 = -\frac{19}{32} q l.$$



7.21- расм

$$1. \Sigma X = 0; H_A - H_c = 0; \frac{38}{64}ql - \frac{19}{32}ql = \frac{(38-38)ql}{64} = 0;$$

$$2. \Sigma Y = 0; R_A + R_B - ql = 0; \frac{13}{64}ql + \frac{51}{64}ql - ql = 0;$$

$$3. \Sigma m_A = 0; M_A + m - N_c \cdot 2l + R_B \cdot l - ql \cdot \frac{l}{2} = 0;$$

$$\frac{25}{64}ql^2 + \frac{q^2}{2} - \frac{19}{32}ql \cdot 2l + \frac{51}{64}ql \cdot l - \frac{q^2}{2} = 0;$$

$$\frac{q^2}{64}(25 + 32 - 76 + 51 - 32) = 0.$$

Мувозанат тенгламаларининг қаноатлантирилиши системанинг мувозанатда эканлигини билдиради. Бу эса хисобнинг түғрилигини тасдиқлайди.

## 8- бөб

### КУЧЛАР УСУЛИНИ СТАТИК НОАНИҚ БАЛҚА, ФЕРМА ВА АРҚАЛАР ҲИСОБИГА ТАДБИҚИ

#### 8.1. УЗЛУКСИЗ БАЛҚАЛАРНИ ҲИСОБЛАШ

Бир неча оралиқлардан ташкил топган ва чекка таянчлардан бири шарнирли күзгалмас ёки бикир бўлган балка — узлуксиз балка деб аталади (8.1- расм.)

Мазкур параграфда узлуксиз балкалар ҳисобига кучлар усулининг тадбиқини кўриб ўтамиш. Иш узлуксиз балкаларнинг статик ноаниқлик даражасини аниқлашдан бошланади:

$$n = 2W + C_m - 3D$$



8.1- расм

Бу ерда  $W$  — дискларни туташтирувчи оддий шарнирлар сони;

$C_r$  — таянч стержэнлари сони.

Узлуксиз балка яхлит балкадан ташкил топганлиги сабабли  $D=1$ ;  $W=0$  бўлади. У ҳолда юқоридаги формула кўйидаги кўринишга келади

$$n = C_r - 3 \quad (8.1)$$

8.1- расмда кўрсатилган балкалар статик аниқмасдир, чунки уларнинг ҳар бири учун номаълум таянч реакцияларининг сони статиканинг мувозанат тенгламалари сонидан ортиқ.

Расмдаги балкаларнинг статик ноаниқлик даражасини (8.1) формула ёрдамида аниқлаймиз:

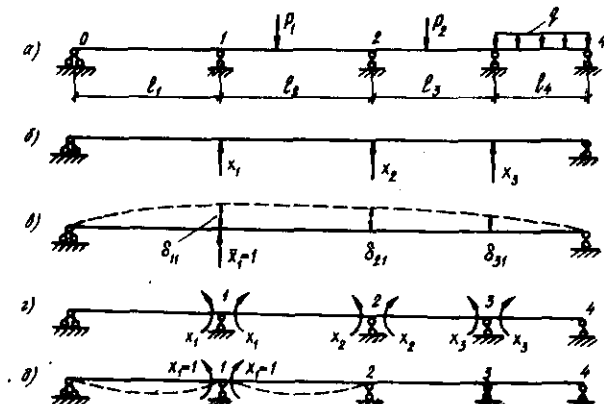
$$n = 6 - 3 = 3, \quad n = 5 - 3 = 2.$$

Демак, а-расмдаги балка уч марта, б-расмдагиси эса икки марта статик ноаниқ экан.

Узлуксиз балканинг статик ноаниқлик даражаси аниқланганидан сўнг унинг асосий системаси танланади.

8.2- расм, б-да тавсия этилган асосий система ташки таянчларига кўра 8.2- расм, г-да тавсия этилган асосий система эса ички боғланишларига кўра ҳосил қилинган.

Ҳар иккала асосий система талабга тўлиқ жавоб беради, чунки ҳар иккаласи ҳам геометрик ўзгармас ва статик аниқдир.



8.2- расм

Узлуксиз балкаларни ҳар иккала асосий система бўйича хисобласа бўлади.

Умуман асосий системани шундай танлаш керакки, каноник тенгламанинг айрим ёрдамчи коэффициентлари нолга айлансин ва танланган асосий система ҳар томонлама қулай бўлсин. Чунки асосий система ҳар томонлама қулай танланса, кейинги хисоб ишлари анча соддалашади. Шу нуткази назардан юкоридаги икки асосий системани таҳлил қилиб кўрайлик.

Биринчи вариантда ифодаланган асосий системада номаълумларнинг йўналиши бўйича мавжуд бўладиган чизиқли қўчишлар нолга тенг бўлмайди, шу сабабли каноник тенгламанинг коэффициенти ва озод ҳадлари хам тўлиқ сакланади.

Иккинчи вариант асосида танланган асосий система мустакил оддий статик аниқ балкалардан иборат бўлиб, айрим бурчакли қўчишлар нолга тенг бўлиши туфайли каноник тенгламанинг айрим ёрдамчи коэффициентлари нолга тенг бўлишига олиб келади.

Юкорида бажарилган таҳлил узлуксиз балкаларни хисоблашда иккинчи вариант максадга мувофик эканлигини кўрсатади.

#### Уч моментлар тенгламаси

Узлуксиз балканинг асосий системасини оддий бир оралиқли балкаларнинг йигиндиси сифатида қабул киласиз (8.3- расм, а).

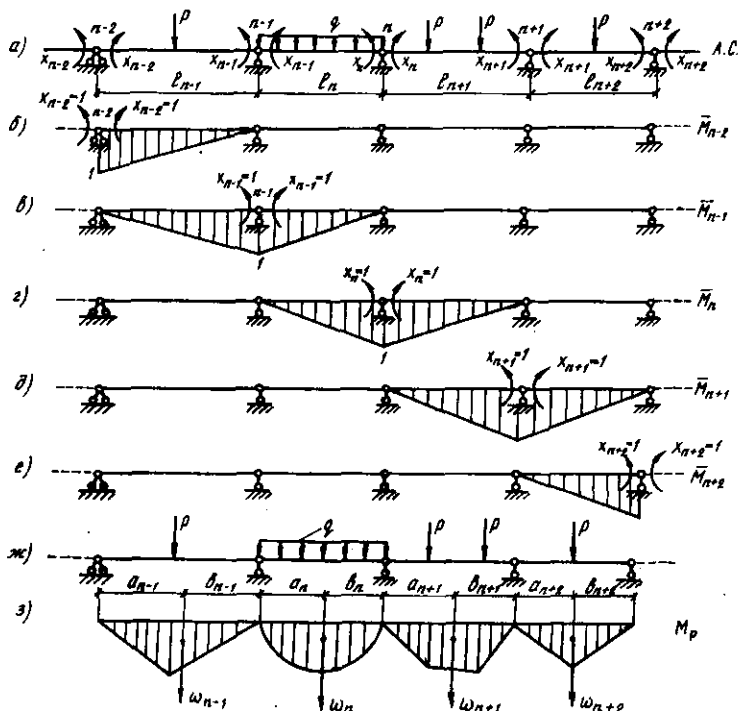
Бу асосий системада номаълумлар сифатида таянч кесимларида вужудга келадиган эгувчи моментлар ( $X_{n-2}$ ,  $X_{n-1}$ ,  $X_n$ ,  $X_{n+1}$ ,  $X_{n+2}$ ) қабул қилинади. Номаълумларнинг йўналишини олдиндан айтиш қийин. Шу сабабли уларни пастки толачаларни чўзади деб шартли равишда қабул киласиз. Номаълумларнинг ҳақиқий йўналиши тенгламанинг ечими натижасида ҳал этилади.

Каноник тенглама системасидан бирор каторини ёзамиш:

$$\dots + \delta_{n,n-2} \cdot X_{n-2} + \delta_{n,n-1} \cdot X_{n-1} + \delta_{n,n} X_n + \delta_{n,n+1} X_{n+1} + \dots + \delta_{n,n+2} X_{n+2} + \dots + \Delta_{np} = 0.$$

Бу ерда  $\delta_{n,n} X_n$  – таянчнинг бурчакли қўчиши.

Каноник тенгламанинг коэффициент ва озод ҳадларини аниқлаш учун асосий системани бирлик ва ташки кучлар



8.3- расм

билин юклаймиз. Бирлік ва ташқи күчлар таъсирида әгувчи момент зюпраалари қурилади (8.4- расм, б, в, г, д, е, ж, з).

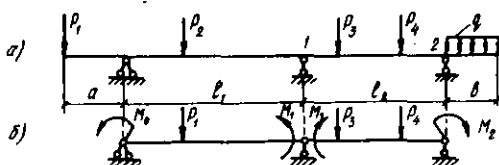
Эпуралардан фойдаланиб, каноник тенгламанинг айрим коэффициентлари (масалан,  $\delta_{n,n-2}$ ,  $\delta_{n,n+2}$ ) нолга тенг эканлигини билиб оламиз.

У ҳолда  $n$  — таянч учун каноник тенглама қуидаги күринишга эга бўлади:

$$\delta_{n,n-1}X_{n-1} + \delta_{n,n}X_n + \delta_{n,n+1}X_{n+1} + \Delta_{nP} = 0.$$

Каноник тенгламанинг коэффициенти ва озод ҳадларини Мор интеграли, Верешчагин ёки Симпсон усулида аниқлаймиз.

$$\delta_{n,n-1} = \Sigma \int \frac{\bar{M}_n \bar{M}_{n-1}}{EI} dx = \frac{1}{EI} \left[ \frac{1}{2} l n \cdot \frac{1}{3} \right] = \frac{l n}{6 E J},$$



8.4- расм

$$\delta_{n,n} = \sum \int \frac{\bar{M}_n \bar{M}_n}{EJ} dx = \frac{1}{EJ} \left[ \frac{1}{2} l_n \cdot \frac{2}{3} + \frac{1}{2} l_{n+1} \cdot \frac{2}{3} \right] = \\ = \frac{1}{EJ} \left[ \frac{2l_n}{6} + \frac{2l_{n+1}}{6} \right] = \frac{2}{6EJ} [l_n + l_{n+1}];$$

$$\delta_{n,n+1} = \sum \int \frac{\bar{M}_n \bar{M}_{n+1}}{EJ} dx = \frac{1}{EJ} \left( \frac{1}{2} l_{n+1} \cdot \frac{1}{3} \right) = \frac{l_{n+1}}{6EJ};$$

$$\Delta_{np} = \sum \int \frac{M_p \bar{M}_n}{EJ} dx = \frac{1}{EJ} [\omega_n \cdot y_c + \omega_{n+1} \cdot y_c] = \frac{1}{EJ} \\ \left[ \omega_n \cdot \frac{a_n}{l_n} + \omega_{n+1} \cdot \frac{a_{n+1}}{l_{n+1}} \right];$$

Топилган озод ҳад ва коэффициентлар тенгламага күйилиб, умумий маҳражга келтирилгандан сўнг у қуидаги кўринишга эга бўлади:

$$x_{n-1} \cdot l_n + 2x_n(l_n + l_{n+1}) + x_{n+1}l_{n+1} = \\ = -6 \left( \frac{\omega_n a_n}{l_n} + \frac{\omega_{n+1} b_{n+1}}{l_{n+1}} \right);$$

Агар  $x_{n-1} = M_{n-1}$ ,  $x_n = M_n$ ,  $x_{n+1} = M_{n+1}$  тарзида алмаштирилса, у ҳолда қуидаги тенгламага эга бўламиз:

$$M_{n-1} \cdot l_n + 2M_n(l_n + l_{n+1}) + M_{n+1}l_{n+1} = \\ = -6 \left( \frac{\omega_n a_n}{l_n} + \frac{\omega_{n+1} b_{n+1}}{l_{n+1}} \right) \quad (8.2)$$

(8.2) уч моментлар тенгламаси деб аталиб, ҳар бир оралиқ таянчи учун алоҳида равища тузилади. Тузиладиган тенгламалар сони узлуксиз балканинг статик ноаниклик даражасига тенг бўлади.

Уч моментлар тенгламасининг ўнг кисмини қуидаги кўринишда ёзиш мумкин:

$$M_{n-1} \cdot l_n + 2M_n(l_n + l_{n+1}) + M_{n+1}l_{n+1} = -6R_n\Phi \quad (8.3)$$

Бу ерда  $R_n\Phi = A_n^\Phi + B_{n+1}^\Phi$ ,

$$A_n^\Phi = \frac{\omega_n a_n}{l_n}, \quad B_{n+1}^\Phi = \frac{\omega_{n+1} b_{n+1}}{l_{n+1}},$$

белгилари қабул қилинган.

### Хусусий холлар

1. Агар берилган узлуксиз балканинг консол қисми бўлса, у ҳолда консол таянч моментлари билан алмаштирилади.

Масалан, 8.4- расм, а-да берилган бир номаълумли узлуқсиз балка учун уч моментлар тенгламаси қўйидаги кўришишга эга бўлади:

$$M_0 \cdot l_1 + 2M_1(l_1 + l_2) + M_2 \cdot l_2 = -6R_1\Phi.$$

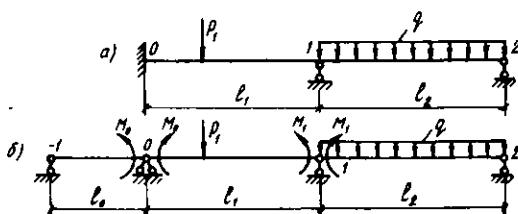
Шаклдан:  $M_0 = -P_1 \cdot a$

$$M_2 = -\frac{qb^2}{2}$$

еканлиги кўриниб турибди.

Узлуксиз балканинг асосий системаси 8.4- расм, б-да тасвирланган.

2. Агар берилган балканинг чекка таянчларидан бири шарнирсиз бикир бўлса, (8.5- расм, а), у ҳолда шу бикир таянч шарнирли таянч билан алмаштирилиб, орасига кўшимча сохта оралиқ кўшилади. Бу оралиқнинг узунлиги нолга teng ва бикирлиги чексиз деб қабул қилинади (8.5- расм, б).



8.5-расм

Уч моментлар тенгламасидан номаълум таянч моментлари аниқлангандан сўнг берилган балканинг эгувчи момент ва киркувчи куч эпюралари қурилади.

Эпюраларни қуриш учун асосий системадан ҳар бир оддий балка ажратиб олинади, ажратилган балкалар ташки куч ва аниқланган таянч моментлар билан юкланди, сўнгра эгувчи момент ва кўндаланг куч эпюралари қурилади.

Алоҳида қурилган эпюралар ягона ўқ устига жойлаштирилади. Натижада узлуксиз балканинг эгувчи момент ва кўндаланг куч эпюралари ҳосил бўлади.

## 8.2. УЗЛУКСИЗ БАЛКАЛАРНИ МОМЕНТ ФОКУСЛАРИ УСУЛИДА ҲИСОБЛАШ

Оралиқлари сони уч ва ундан ортиқ бўлиб, айрим оралиқлари ташки кучлар билан юклangan бўлса, узлуксиз балкаларни момент фокуслари усулида ҳисоблаш анча кулагай бўлади.

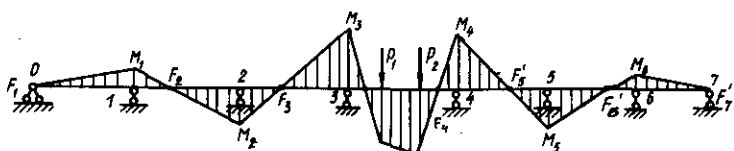
Бу усулни амалга ошириш учун уч моментлар тенгламасидан фойдаланиб, эгувчи момент эпюрасини курамиз (8.6-расм).

Бу эпюра асосида қуйидаги ҳолосаларни қелтириш мумкин: юк қўйилмаган оралиқларда эгувчи момент оғма чизиқлардан иборат бўлиб, балканинг ўқини кесиб ўтади ва ноль нукталарни ҳосил киласди. Бу нукталар момент фокуслари деб аталади.

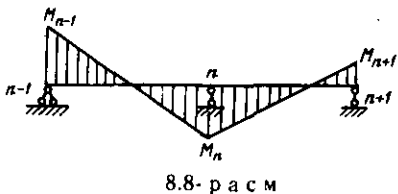
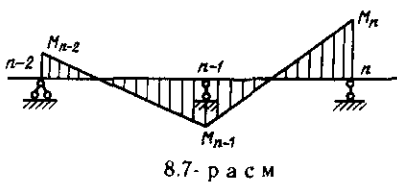
Агар ноль нукталар юк қўйилган оралиқка нисбатан чап томонда жойлашган бўлса — чап момент фокуси деб аталади ва  $F_1, F_2, F_3 \dots F_n$  деб белгиланади.

Агар ноль нукталар юк қўйилган оралиқнинг ўнг томонида жойлашган бўлса — ўнг момент фокуси деб аталади ва  $F'_1, F'_2, F'_3 \dots F'_n$  билан белгиланади.

Узлуксиз балканинг юкламаган оралиғидаги таянч моментларининг абсолют қийматлари нисбати — фокуслар нисбати деб аталади.



8.6-расм



Юк кўйилган ораликларда фокусларнинг ҳолати фокуслар нисбатлари орқали аникланади. Фокус нисбатлари ўз навбатида чап ва ўнг нисбатларга бўлинади.

Масалан, 8.6-расмда тасвирланган эгувчи момент эпюрасидан чап ва ўнг фокус нисбатлари қўйидагича аникланади:

Чап фокус нисбатлари, яъни

$$\frac{M_1}{M_0} = -K_1, \quad \frac{M_2}{M_1} = -K_2, \quad \frac{M_3}{M_2} = -K_3 \quad \text{бўлади.}$$

Ўнг фокус нисбатлари:

$$\frac{M_4}{M_5} = -K_5^I, \quad \frac{M_5}{M_6} = -K_6^I, \quad \frac{M_6}{M_7} = -K_7^I \quad \text{бўлади.}$$

Таянч моментлари ҳар хил ишорали бўлгани учун фокус нисбатлари манфий ишорага эга бўлади.

Шунга ўхшаш узлуксиз балканинг юкламаган  $n$  — оралиғи учун чап фокус нисбати қўйидагича аникланади (8.7-расм):

$$\frac{M_n}{M_{n-1}} = -K_n. \quad (8.4)$$

Агар узлуксиз балканинг юкламаган « $n$ » оралиғи юк кўйилган оралиқка нисбатан ўнг томонда бўлса, у ҳолда шу оралиқ учун ўнг фокус нисбати қўйидагича ифодаланади (8.8-расм):

$$\frac{M_{n-1}}{M_n} = -K_n^I. \quad (8.5)$$

Агар юкланмаган оралиқ юк күйилган  $n$  — оралиқнинг чап томонида жойлашган бўлса, у ҳолда эгувчи моментлар эпюрасининг чизиги чап фокусдан ўтади: юкланмаган оралиқнинг таянч моментлари эса куйидагича хисобланади:

$$M_{n-2} = -\frac{M_{n-1}}{K_{n-1}}. \quad (8.6)$$

Агар юкланмаган оралиқ юк күйилган оралиқнинг ўнг томонида жойлашган бўлса, у ҳолда эгувчи моментлар эпюрасининг чизиги ўнг фокусдан ўтади ва номаълум таянч моментлари куйидаги ифодадан аникланади:

$$M_{n+1} = -\frac{M_n}{K_{n+1}}. \quad (8.7)$$

Демак, узлуксиз балкаларни момент фокуслари усулида хисоблаш учун биринчи навбатда, фокус нисбатлари ва юк күйилган оралиқдаги таянч моментлари аникланган бўлиши керак. Чап фокус нисбатларини аниклаш учун юк күйилган оралиқдан чап томонда жойлашган ораликлар учун уч моментлар tenglamasini tuzamiz. Узлуксиз балканинг биринчи таянчи учун (8.7- расм) уч моментлар tenglamasi (8.2- расм) куйидаги кўринишда ёзилади:

$$M_0 l_1 + 2M_1(l_1 + l_2) + M_2 l_2 = 0.$$

Шаклдан  $M_0=0$  ва tenglamанинг ўнг қисми ноль эканлиги кўриниб турибди. У ҳолда:

$$\frac{M_2}{M_1} = -\frac{2(l_1 + l_2)}{l_2} = -2\left(1 + \frac{l_1}{l_2}\right) \quad \text{бўлади.}$$

(8.4) формулагага асосан  $\frac{M_2}{M_1} = -K_2$  деб белгиласак,

$$K_2 = 2\left(1 + \frac{l_1}{l_2}\right) \quad (8.8) \quad \text{келиб чиқади.}$$

Энди иккинчи таянч учун ( $n=2$ ) уч моментлар tenglamasini ёзамиз:

$$M_1 l_2 + 2M_2(l_2 + l_3) + M_3 l_3 = 0.$$

Тенгламанинг барча ҳадларини  $M_2$  га бўлсак,

$$\frac{M_1}{M_2} \cdot l_2 + 2(l_2 + l_3) + \frac{M_3}{M_2} \cdot l_3 = 0.$$

келиб чиқади.

Бу тенгламадаги таянч моменти нисбатларини (8.6) формулага асосан чап фокус нисбатлари оркали ифодалаймиз:

$$-\frac{1}{K_1} \cdot l_2 + 2(l_2 + l_3) - K_2 l_3 = 0.$$

Бу тенгламадан иккинчи оралиқ учун чап фокус нисбати аниқланади:

$$K_2 = \left[ 2 + \frac{l_2}{l_3} \left( 2 - \frac{1}{K_1} \right) \right] \quad (8.9)$$

Буларни умумлаштириб,  $n$  — нчи оралиқ учун фокуслар нисбати  $K_n$  ни қўйидаги кўринишда ёза оламиз:

$$K_n = \left[ 2 + \frac{l_{n-1}}{l_n} \left( 2 - \frac{1}{K_{n-1}} \right) \right]. \quad (8.10)$$

Шу тартибда ўнг фокус нисбатлари аниқланади:

$$K_n^1 = \left[ 2 + \frac{l_{n+1}}{l_n} \left( 2 - \frac{1}{K_{n+1}^1} \right) \right]. \quad (8.11)$$

Чап фокус нисбатларини аниқлаш узлуксиз балканинг биринчи оралиғидан, ўнг фокус нисбатларини ҳисоблаш эса охирги оралиғидан бошланади.

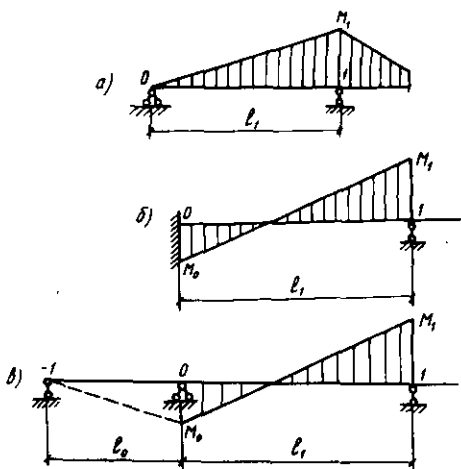
Биринчи ва сўнгги ораликларнинг фокус нисбатлари таянчлар хилига боғлиқ ҳолда аниқланади.

Агар балканинг биринчи таянчи шарнирли бўлса, у ҳолда биринчи оралиқ учун чап фокуслар нисбати қўйидаги кўринишга эга бўлади (8.9- расм, а):

$$K_1 = -\frac{M_1}{M_0} = -\frac{M_1}{0} = \infty.$$

Шаклдан  $M_0=0$  эканлиги кўриниб турибди.

Агар берилган балканинг биринчи таянчи шарнирсиз бикир бўлса, (8.9- расм, б) у ҳолда шу бикир таянч шарнирли таянч билан алмаштирилиб, орасига кўшимча



8.9-расм

сохта оралиқ күшилади (8.9-расм, в) ва шу оралиқ учун чап фокуслар нисбати қўйидаги кўриннишда аникланади:

$$K_0 = -\frac{M_0}{M_1} = -\frac{M_0}{0} = \infty.$$

(8.10) формулага кўра биринчи оралиқ учун фокуслар нисбати  $K_1 = 2 + l_0/l_1 \left(2 - \frac{1}{K_0}\right)$  бўлгани учун  $K_1 = 2$  бўлади. Бу ерда  $l_0 = 0$  ва  $K_0 = \infty$ .

Демак, балканинг биринчи таянчи шарнирли кўзғалмас бўлса, биринчи оралиқ учун чап фокуслар нисбати  $K_1 = \infty$ ; шарнирсиз бикир бўлса,  $K_1 = 2$  га teng бўлади.

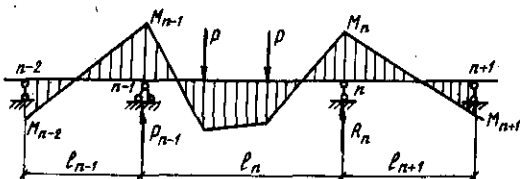
Узлуксиз балканинг чап ва ўнг фокус нисбатлари аниклангандан сўнг юк қўйилган оралиқдаги таянч моментлар аникланади.

Узлуксиз балканинг «n» оралиғи ташқи юклар таъсирида деб фараз қиласиз (8.10-расм).

Юк қўйилган оралиқдаги таянч моментлари  $M_{n-1}$ ,  $M_n$  ларни аниклаш учун балканинг  $n-1$  ва  $n$  —чи таянчларига тегишли уч моментлар тенгламасини ёзамиш (8.10-расм):

$$M_{n-2}l_{n-1} + 2M_{n-1}(l_{n-1} + l_n) + M_nl_n = -6R_{n-1};$$

$$M_{n-1}l_n + 2M_n(l_n + l_{n+1}) + M_{n+1}l_{n+1} = -6R_n. \quad (8.12).$$



8.10- расм

Тузилган тенгламалар қаторида түртта таянч моментлари  $M_{n-2}, M_{n-1}, M_n, M_{n+1}$  мавжуддир. Булардан иккитаси ( $M_{n-1}, M_n$ ) изланаётган моментлар, қолган иккитаси ( $M_{n-2}, M_{n+1}$ ) фокуслар нисбати орқали аниқланадиган таянч моментларидир.

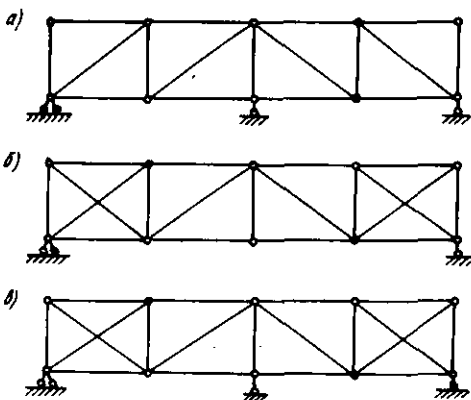
$$(8.6) \text{ формулага асосан } M_{n-2} = -\frac{M_{n-1}}{K_{n-1}};$$

$$(8.7) \text{ формулага асосан } M_{n+1} = -\frac{M_n}{K_{n+1}}.$$

Үч моментлар тенгламасининг ўнг қисмидаги сохта таянч реакциялари қуийдаги кўринишга келтирилади:

$$R_{n-1}^\Phi = A_n^\Phi, R_n^\Phi = B_n^\Phi.$$

Чунки бу ерда 8.10- расмга асосан  $B_{n-1}^\Phi = 0, A_{n+1}^\Phi = 0$  тенгдир.  $M_{n-2}, M_{n+1}$  ва  $R_{n-1}, R_n$  ларнинг қийматларини (8.12) тенгламага кўямиз:



8.11- расм

$$-\frac{M_{n-1}}{K_{n-1}} \cdot l_{n-1} + 2M_{n-1}(l_{n-1} + l_n) + M_n l_n = -6A_n^\Phi$$

$$M_{n-1}l_n + 2M_n(l_n + l_{n+1}) - \frac{M_n}{K_{n+1}^1} \cdot l_n = -6B_n^\Phi.$$

Бу тенгламаларнинг барча ҳадларини  $l_n$  га бўлиб юборсак,

$$M_{n-1} \left[ 2 + \frac{l_{n-1}}{l_n} \left( 2 - \frac{1}{K_{n-1}} \right) \right] + M_n = -\frac{6A_n^\Phi}{l_n};$$

$$M_{n-1} + M_n \left[ 2 + \frac{l_{n+1}}{l_n} \left( 2 - \frac{1}{K_{n+1}^1} \right) \right] + M_n = -\frac{6B_n^\Phi}{l_n}$$

келиб чиқади.

(8.10) ва (8.11) формулаларга асосан тенгламалар куйидаги кўринишга келади:

$$M_{n-1} \cdot K_n + M_n = -\frac{6A_n^\Phi}{l_n};$$

$$M_n + M_{n+1} K_n^1 = -\frac{6B_n^\Phi}{l_n}.$$

Бу тенгламаларни биргаликда ечиб, юк кўйилган оралиқнинг таянч моментларини аниклаймиз:

$$M_{n-1} = -\frac{6}{l_n} \cdot \frac{(A_n^\Phi \cdot K_n^1 - B_n^\Phi)}{(K_n K_n^1 - 1)};$$

$$M_n = -\frac{6}{l_n} \cdot \frac{(B_n^\Phi \cdot K_n - A_n^\Phi)}{(K_n K_n^1 - 1)}. \quad (8.13)$$

Узлуксиз балкаларни момент фокуслари усулида ҳисоблаш қуйидаги тартибда бажарилади:

1. Ҳар бир оралиқ учун чап ва ўнг фокус нисбатлари (8.10) ва (8.11) формулаларга асосан топилади.
2. Юк кўйилган оралиқдаги таянч моментлари (8.13) формула бўйича аникланади.
3. Юк кўйилмаган оралиқлардаги таянч моментлари (8.6) ва (8.7) формулалар ёрдамида аникланади.

Агар узлуксиз балканинг бир неча оралиғи ташки юклар таъсирида бўлса, у ҳолда ҳар бир юк кўйилган

оралик учун балка алоҳида равишда хисобланади, сўнгра таянч моментларининг алгебраик йигиндилари бўйича умумий эпюра қурилади.

### 8.3. СТАТИК НОАНИҚ ФЕРМАЛАРНИ ХИСОБЛАШ

Статик ноаниқ фермаларни хисоблашда ҳам статик аниқ фермаларни хисоблашда қабул қилинган айрим чекланишлардан фойдаланилади. Масалан, қўзгалмас юклар ферма тугунларига қўйилган стерженлар факат сикилиш ёки чўзилишга ишлайди, деб қаралади.

Статик ноаниқ фермаларни асосан уч гурухга ажратиш мумкин:

1. Таянч реакциялари сонига кўра статик ноаниқ фермалар (8.11-расм, а).

2. Ферма стерженларидаги зўриқишиларга кўра статик ноаниқ фермалар (8.11-расм, б).

3. Таянч реакциялари сони ва стерженлардаги зўриқишиларга кўра статик ноаниқ фермалар (8.11-расм, в).

Фермаларнинг статик ноаниқлик даражаси қўйидаги формула ёрдамида аникланади:

$$n = C + C_0 - 2Y. \quad (8.14)$$

Бу ерда  $n$  — ферманинг статик ноаниқлик даражаси;

$C$  — фермани ташкил этувчи стерженлар сони;

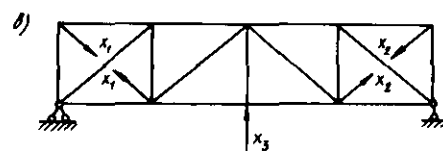
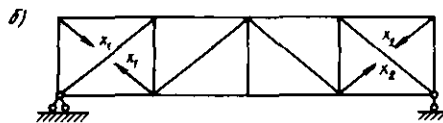
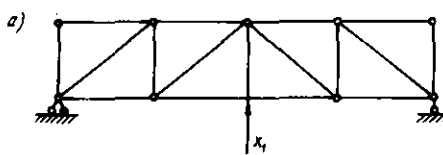
$C_0$  — таянч стерженлари сони;

$Y$  — тугунлар сони.

Статик ноаниқ фермаларни хисоблаш тартиби статик ноаниқ рамаларни хисоблашдан кам фарқ қиласди. Бу ерда ҳам биринчи навбатда, (8.11-расм) фермаларнинг статик ноаниқлик даражаси аникланади ва ундан сўнг асосий система қабул қилинади. Бунинг учун ортиқча боғланишлар ташлаб юборилади. Ташлаб юборилган ортиқча боғланишлар номаълум зўриқишилар билан алмаштирилади (8.12-расм, а, б, в). Сўнгра каноник тенгламалар тузилади. Каноник тенгламалар сони берилган ферманинг статик ноаниқлик даражаси сонига тенг бўлади. 8.12-расм, а-да ифодаланган асосий система учун кучлар усулининг каноник тенгламаси қўйидагича ёзилади:

$$\delta_{13} \cdot X_1 + \Delta_{1p} = 0.$$

8.12-расм, б-да ифодаланган асосий система учун кучлар усулининг каноник тенгламалари иккита тузилади:



8.12- расм

$$\delta_{11} \cdot X_1 + \delta_{12} \cdot X_2 + \Delta_{1p} = 0;$$

$$\delta_{21} \cdot X_1 + \delta_{22} \cdot X_2 + \Delta_{2p} = 0;$$

8.12- расм, в-да ифодаланган асосий система учун кучлар усулининг каноник тенгламалари қуйидаги кўришишга эга бўлади:

$$\delta_{11} \cdot X_1 + \delta_{12} \cdot X_2 + \delta_{13} \cdot X_3 + \Delta_{1p} = 0;$$

$$\delta_{21} \cdot X_1 + \delta_{22} \cdot X_2 + \delta_{23} \cdot X_3 + \Delta_{2p} = 0;$$

$$\delta_{31} \cdot X_1 + \delta_{32} \cdot X_2 + \delta_{33} \cdot X_3 + \Delta_{3p} = 0.$$

Тенгламаларнинг ҳар бири ўз навбатида, асосий системада ташки юк ва номаълум зўриқишлилар таъсирида хосил бўладиган кўчишларнинг йифиндиси нолга тенг бўлишини ифодалайди.

Каноник тенгламанинг коэффициенти ва озод ҳадлари қуйидаги формулалар ёрдамида аникланади:

$$\begin{aligned}\delta_{kk} &= \sum \frac{\bar{N}_k \bar{N}_i}{EF} \cdot S = \frac{1}{E} \sum \frac{\bar{N}_k \bar{N}_i}{F} S; \\ \delta_{kk} &= \sum \frac{\bar{N}_k^2}{EF} S = \frac{1}{E} \sum \frac{\bar{N}_k^2}{F} \cdot S; \\ \Delta_{kp} &= \sum \frac{\bar{N}_k N_p}{EF} S = \frac{1}{E} \sum \frac{\bar{N}_k N_p}{F} S.\end{aligned}\quad (8.15)$$

Бу ерда:

$\bar{N}_i$  — ферма стерженларида  $X_i = 1$  бирлик күч таъсирида ҳосил бўладиган зўриқишлар;

$\bar{N}_k$  — ферма стерженларида  $X_k = 1$  бирлик күч таъсирида ҳосил бўладиган зўриқишлар;

$N_p$  — ташки кучлар таъсирида асосий системада ҳосил бўладиган зўриқишлар;

$S$  — ферма стерженининг узунлиги;

$E$  — ферма материалининг эластиклик модули;

$F$  — ферма стерженининг кўндаланг кесим юзаси.

Зўриқишлар  $N_p$ ,  $\bar{N}_k$  ва  $\bar{N}_i$  ларнинг қийматлари аналитик ёки график усуллар орқали аникланади.

Каноник тенгламанинг коэффициенти ва озод ҳадлари ни жадвал ёрдамида аниклаш тавсия этилади.

Номаълумлар ( $X_1$ ,  $X_2$ ,  $X_3$ ) топилгандан кейин ферма стерженларидаги зўриқишларнинг якунловчи қийматлари осонлик билан топилади:

$$N = N_p + \bar{N}_1 \cdot X_1 + \bar{N}_2 \cdot X_2 + \dots + \bar{N}_n \cdot X_n$$

Бу ерда  $N_p$  — ташки кучлар таъсирида ферма стерженларида ҳосил бўладиган зўриқиши;

$\bar{N}_1$ ,  $\bar{N}_2 \dots \bar{N}_n$  — бирлик кучларнинг таъсирида ( $X_1 = 1$ ;  $X_2 = 1 \dots X_n = 1$ ) шу элементларда мавжуд бўладиган зўриқишлар.

**Мисол.** 8.13- расмда берилган статик ноаник ферманинг стерженларидаги зўриқишлар аниклансин. Ферма стерженларининг бикирлиги  $EF$  ўзгармас.

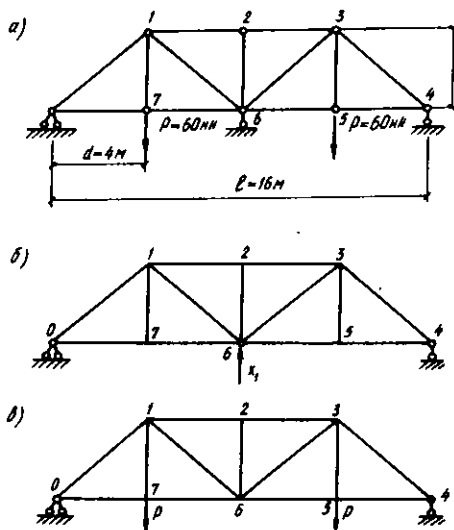
**Ечиш.** Ферманинг статик ноаниклик даражасини (8.14) формулага асосан белгилаб оламиз. У бир марта статик ноаник бўлиб, битта ортиқча таянч боғланишига эга.

Ферманинг ўртадаги таянчини ташлаб юбориб, асосий системани танлаймиз (8.13- расм, б). Номаълум таянч реакциясини аниклаш учун кучлар усулининг каноник тенгламасини тузамиз:

$$\delta_{11} \cdot X_1 + \Delta_{1p} = 0.$$

Бу тенгламадаги  $\delta_{11}$  ва  $\Delta_{1p}$  кўчишлар (8.15) формула ёрдамида аникланади. Ферма стерженларида бирлик күч  $X_i = 1$  ва ташки юклар таъсирида ҳосил бўладиган зўриқишлар 4- бобда баён этилган усуллардан фойдаланиб аникланади (8.13- расм, в).

Ферма ва унга кўйилган юклар симметрик бўлганлиги сабабли ферманинг ярмини ҳисоблаш кифоя, чунки,



8.13- р а с м

0—7 стержендаги зўрикиш 5—4 стержендаги зўрикишга тенг ( $N_{70} = N_{45}$ ), шунга ўхшаш  $N_{12} = N_{23}$ ,  $N_{10} = N_{34}$ ,  $N_{76} = N_{65}$ ,  $N_{16} = N_{63}$  бўлади. Фермани ҳисоблаш натижалари 8.1- жадвалда келтирилган.

8.1- жадвал

Стер- жен- лар	Стер- жень узун- лиги $l_k$ (см)	Зўри- киш	$\frac{\bar{N}_1^2}{EF}$	$N_p$ кн	$\frac{\bar{N}_1 N_p}{EF}$	$N$ кн	$\frac{\bar{N}_1 N_1}{EF}$ тек- шириш
1	2	3	4	5	6	7	8
01	500	0,825	1,74	—100	—208	—39,8	—82,3
1—2	400	1,333	3,56	—80	—213	16,2	43
0—7	400	—0,667	0,89	80	—107	31,8	—42,5
7—6	400	—0,667	0,89	80	—107	31,8	—42,5
1—6	500	—0,825	1,74	0	0	60,1	124
1—7	300	0,00	0	60	60	60	0
		$\delta_{11} = 8,82$ ,		$\Delta_{1P} = -635$		$167 - 167,3 = 0$	

Топилган күчишларни каноник тенгламаларга қўйиб, номаълум реакция кучи  $X_1$  ни аниклаймиз:

$$X_1 = -\frac{\Delta_{1P}}{\delta_{11}} = \frac{635}{8,82} = 72,2 \text{ кН.}$$

Ташқи юк ва аникланган таянч реакцияси  $X_1$  таъсирида статик ноаник ферманинг стерженларида ҳосил бўлган зўрикишлар (8.4) формула ёрдамида ҳисобланади.

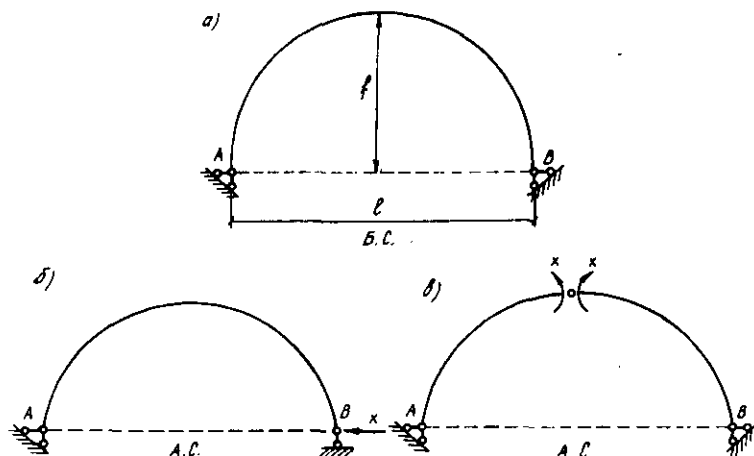
$$N_{01} = N_p + \bar{N}_{01} \cdot X_1 = -100 + 0,825 \cdot 72,2 = -40,44 \text{ кН;}$$

$$N_{12} = N_p + \bar{N}_{12} \cdot X_1 = -80 + 1,33 \cdot 72,2 = 16,24 \text{ кН.}$$

#### 8.4. ИККИ ШАРНИРЛИ АРКАЛАРНИ ҲИСОБЛАШ

Икки шарнирли аркалар асосан кўприк конструкцияларида ва иморатлар томини ёпишда ишлатилади.

Икки шарнирли арка (8.14- расм, а) бир марта статик ноаникдир. Асосий система танлашда унинг битта ортиқча боғланиши ташлаб юборилади. 8.14- расм, б, в-да асосий система икки хил нусхада тавсия этилган. Асосий системанинг бирида В таянчининг горизонтал стержени номаълум реакция кучи  $X$  билан алмаштирилган. Иккинчи асосий система эса кўшимча шарнир киритиш йўли билан ҳосил қилинган.



8.14- расм

Номаълум  $X_1$  ни аниқлаш учун күч усулининг каноник тенгламасини тузамиз

$$\delta_{11} \cdot X_1 + \Delta_{1p} = 0; X_1 = -\frac{\Delta_{1p}}{\delta_{11}}.$$

Бу ерда  $\delta_{11}$  — бирлик күч йўналиши бўйича ва шу бирлик күч ( $P=1$ ) таъсиридан ҳосил бўлган бирлик кўчиш;

$\Delta_{1p}$  — асосий системага қўйилган ташки юклардан ҳосил бўладиган горизонтал кўчиш.

Кўчишлар қўйидаги формуласардан фойдаланиб топилиади:

$$\Delta_{1p} = \int \frac{\bar{M}_1 M_p}{EJ} ds + \int \frac{\bar{N}_1 N_p}{EF} ds + \int \eta \frac{\bar{Q}_1 Q_p}{GF} ds;$$

$$\delta_{11} = \int \frac{\bar{M}_1^2}{EJ} ds + \int \frac{\bar{N}_1^2}{EF} ds + \int \eta \frac{\bar{Q}_1^2}{GF} ds.$$

Қиёсий хисоблар қўйидаги ҳолосага келиш имконини беради: а) агар  $f < \frac{1}{3}l$  ва  $n < \frac{1}{10}l$  бўлса,  $\delta_{11}$  ни аниқлашда кўндаланг кучни,  $\Delta_{1p}$  ни аниқлашда эса бўйлама ва кўндаланг кучларни инобатга олмаса бўлади, яъни

$$\Delta_{1p} = \int \frac{\bar{M}_1 M_p}{EJ} ds;$$

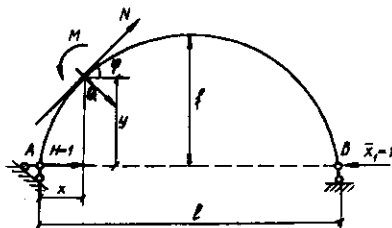
$$\delta_{11} = \int \frac{\bar{M}_1^2}{EJ} ds + \int \frac{\bar{N}_1^2}{EF} ds.$$

### 8.15- расмдан

$$\bar{M}_1 = -Y, \bar{N}_1 = -Cos\varphi.$$

Буларни кўчишлар формуласига қўямиз:

$$\Delta_{1p} = - \int_A^B \frac{YM_p ds}{EJ} = - \frac{1}{EJ_0} \int_A^B Y \cdot M_p \cdot \frac{J_0}{J} ds.$$



8.15- расм

Бу ерда  $J_0$  — күндаланг кесимнинг энг кичик инерция моменти:

$$\delta_{11} = \int_A^B \frac{y^2 ds}{EJ} + \int_A^B \frac{\cos^2 \varphi}{EJ} ds = \frac{1}{EJ_0}$$

$$\left[ \int_A^B y^2 \cdot \frac{J_0}{J} ds + \int_A^B \cos^2 \varphi \cdot \frac{J_0}{F} ds \right];$$

$$x_1 = \frac{\int_A^B Y \cdot M_p \cdot \frac{J_0}{J} ds}{\int_A^B y^2 \cdot \frac{J_0}{J} ds + \int_A^B \cos^2 \varphi \cdot \frac{J_0}{F} ds};$$

б) агар  $\frac{1}{3}l > f > \frac{1}{5}l$  ва  $k < \frac{1}{10}l$  бўлса,  $\delta_{11}$  ни аниклашда кўндаланг ва бўйлама кучлар инобатга олинмайди:

$$x_1 = \frac{\int_A^B y M_p \cdot \frac{J_0}{J} ds}{\int_A^B y^2 \cdot \frac{J_0}{J} ds}.$$

Горизонтал реакция кучи  $X_1$  аниклангандан сўнг арканинг ихтиёрий К кесимидағи зўриқишилар қуйидаги формуулалар ёрдамида топилади:

$$M_K = M_K^0 - H \cdot y_K;$$

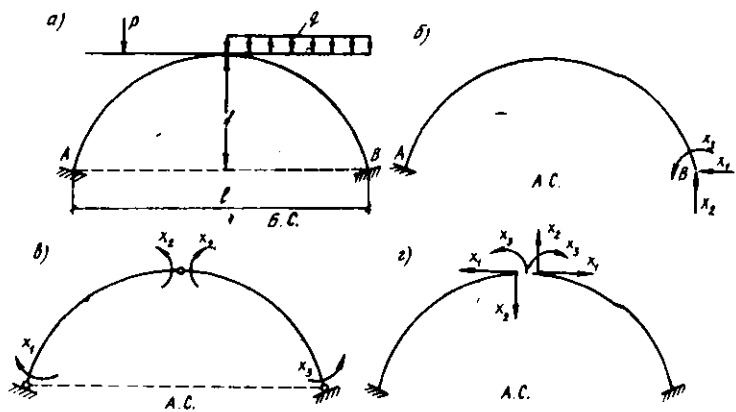
$$Q_K = Q_K^0 \cos \varphi - H \cdot \sin \varphi;$$

$$N_K = Q_K^0 \sin \varphi + H \cdot \cos \varphi.$$

Бу формулалардан Н — керки кучи бўлиб, унинг қиймати горизонтал реакция кучи  $X_1$  га тенгdir.

### 8.5. ШАРНИРСИЗ АРКАЛАРНИ ҲИСОБЛАШ

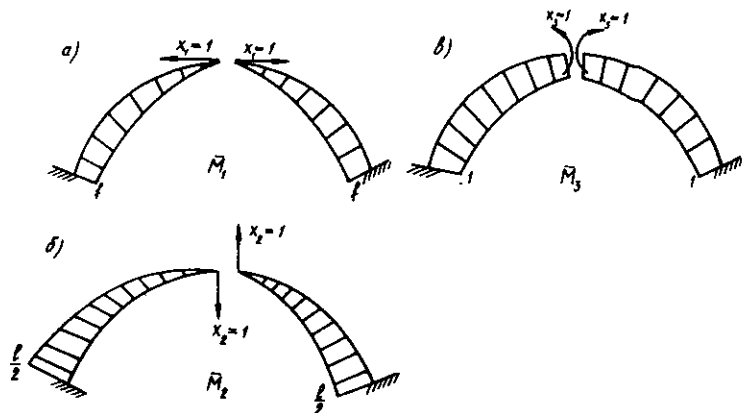
Шарнирсиз аркалар асосан кўприқ конструкциялари ҳамда бинокорликда катта ораликларни ёпишда ишлатилиди. Шарнирсиз аркалар (8.16- расм) уч марта статик ноаниқ бўлади. Асосий система ҳосил қилиш учун аркадан



8.16-расм

учта ортиқча боғланиш олиб ташланади. Асосий системаның бир неча нұсқасы 8.16-расм, б, в, г-да тасвирланған. Аркани ҳисоблаш учун тавсия этилған нұсхалардан бири танлаб олинади. Маълумки, асосий система күлай танланса, каноник тенгламанинг баъзи ёрдамчы коэффициентлари нолга айланади. 8.16-расм, г-да тавсия этилған асосий система бу талабга түлік жағоб беради, чунки бу асосий система айрим коэффициентларнинг нолга тенг бўлишини таъминлади.

Асосий системадаги номаълум ички күчлар ( $X_1$ ,  $X_2$ ,  $X_3$ ) күч усулининг каноник тенгламаларидан топилади:



8.17-расм

$$\delta_{11} \cdot X_1 + \delta_{12} \cdot X_2 + \delta_{13} \cdot X_3 + \Delta_{1p} = 0;$$

$$\delta_{21} \cdot X_1 + \delta_{22} \cdot X_2 + \delta_{23} \cdot X_3 + \Delta_{2p} = 0;$$

$$\delta_{31} \cdot X_1 + \delta_{32} \cdot X_2 + \delta_{33} \cdot X_3 + \Delta_{3p} = 0.$$

Каноник тенгламанинг коэффициенти ва озод ҳадларини аниқлаш учун бирлик кучлардан эгувчи момент эпюралари қурилади (8.17- расм).

Бу ерда  $\bar{M}_1$ ,  $\bar{M}_3$  симметрик,  $\bar{M}_2$  эса тескари симметрик эпюрадир (8.17- расм, а, б, в). Шунинг учун  $\delta_{12} = \delta_{21} = 0$  ва  $\delta_{23} = \delta_{32} = 0$  бўлади. У ҳолда кучлар усулининг каноник тенгламалари икки мустакил тизимга ажралиб, қуйидаги кўринишга эга бўлади:

$$\left. \begin{array}{l} \delta_{11} \cdot X_1 + \delta_{13} \cdot X_3 + \Delta_{1p} = 0 \\ \delta_{31} \cdot X_1 + \delta_{33} \cdot X_3 + \Delta_{3p} = 0 \end{array} \right\}$$

$$\delta_{22} \cdot X_2 + \Delta_{2p} = 0.$$

Каноник тенгламаларнинг биринчи гурухида симметрик номаъумлар ( $X_1$ ,  $X_3$ ), иккинчи гурухида эса тескари симметрик номаъум ( $X_2$ ) иштирок этади.

Каноник тенгламанинг коэффициенти ва озод ҳадлари Мор формуласи ёрдамида аниқланади.

$$\delta_{kn} = \Sigma \int_{EJ}^{M_K M_n} ds + \Sigma \int_{EF}^{N_K N_n} ds + \Sigma \int \eta \frac{Q_K Q_n}{GF} ds$$

Каноник тенгламанинг нолга тенг бўлмаган ёрдамчи коэффициентларини ( $\delta_{13} = \delta_{31}$ ) нолга тенглаш учун асосий системани бироз ўзгаририб, номаъум зўриқишиларни бикир консоллар учига кўчирамиз (8.18- расм).

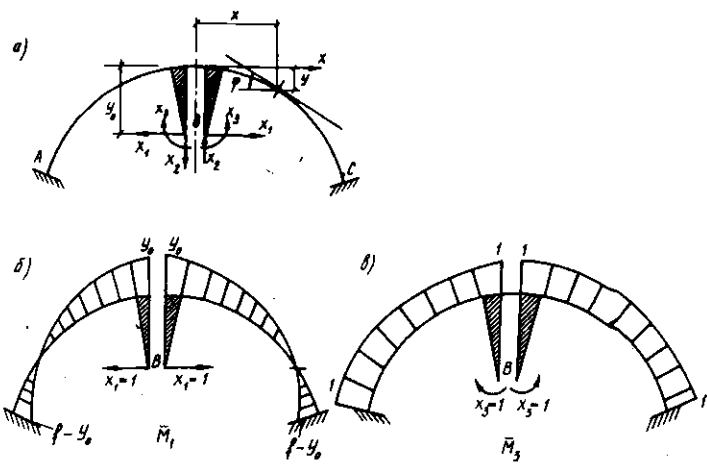
Абсолют бикир консонинг уни эластик марказга жойлашган бўлиши лозим. Бикир консол узунлиги, яъни эластик марказнинг ўрни арканинг геометрик ўлчамларига боғлиқдир.

Асосий системанинг ихтиёрий кесими учун моментлар тенгламасини ёзамиз (8.18- расм, а):

$$M_1 = l(y_0 - y);$$

$$M_3 = -l \cdot x.$$

Бу ерда  $y_0$  — консол узунлиги.



8.18- расм

Бўйлама ва кўндаланг кучлар тенгламаси:

$$N_1 = -\cos\varphi; \quad N_2 = \sin\varphi; \quad N_3 = 0;$$

$$Q_1 = \sin\varphi; \quad Q_2 = \cos\varphi; \quad Q_3 = 0.$$

Энди консол узунлиги  $y_0$  қийматини аниклаймайтим. Бунинг учун  $\delta_{13}$  ни нолга тенглаштирамиз:

$$\begin{aligned} \delta_{13} &= \int \frac{\bar{M}_1 \bar{M}_3}{EJ} ds + \int \frac{\bar{N}_1 \bar{N}_3}{EF} ds + \int \eta \frac{\bar{Q}_1 \bar{Q}_3}{GF} ds = \\ &= \int \frac{\bar{M}_1 \bar{M}_3}{EJ} ds = 0. \end{aligned}$$

$\bar{M}_1$  ва  $\bar{M}_3$  нинг қийматларини тенгламага жойлаштирамиз:

$$2 \int_A^B \frac{1(y_0 - y)}{EJ} ds = 0 \text{ ёки } y_0 \int_A^B \frac{ds}{J} - \int_A^B \frac{y ds}{J} = 0;$$

бундан

$$y_0 = \frac{\int_A^B \frac{y ds}{J}}{\int_A^B \frac{ds}{J}} = \frac{\int_A^B y \cdot \frac{J_0}{J} ds}{\int_A^B \frac{J_0}{J} ds}$$

Бу ерда  $\int_A^B y \cdot \frac{J_0}{J} ds$  — арканинг келтирилган узунлиги десак,  $\int_A^B \frac{J_0}{J} \cdot y$  — келтирилган узунликнинг статик моменти,  $y_0$  эса келтирилган контур оғирлик марказининг координати бўлади. Шунга асосан, В нукта эластик марказ деб аталади.

Эластик марказнинг текисликдаги ўрнини график равишда аниқласа ҳам бўлади. Бунинг учун интеграл кўринишдаги формула йигинди орқали ифодаланади:

$$y_0 = - \frac{\sum_A^B y \cdot \frac{J_0}{J} \Delta S}{\sum_A^B \frac{J_0}{J} \Delta S},$$

Арка симметрик бўлганлиги сабабли ҳисоб ишларини унинг бир бўлаги учун амалга оширса бўлади. Арканинг ўки тенг бўлакларга бўлинниб, бўлакларнинг оғирлик марказига горизонтал соҳта юклар жойлаштирилади (8.19- расм).

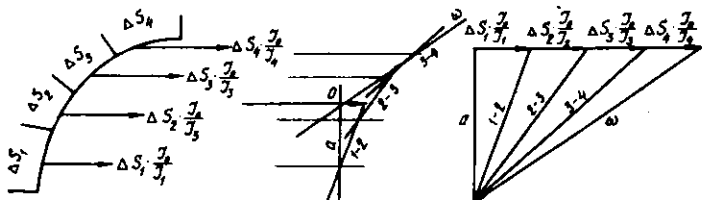
Куч ва аркон кўпбурчаги қурилади ҳамда уларнинг ёрдамида соҳта юкларнинг тенг таъсир этувчиси аниқланади. Арканинг симметрия ўки билан тенг таъсир этувчи юкнинг кесишган нуктаси «В» эластик марказ деб аталади.

Бикир консол учларини шу нуктага жойлаштирилса, каноник тенглама ихчам кўринишга келади:

$$\delta_{11} \cdot X_1 + \Delta_{1p} = 0;$$

$$\delta_{22} \cdot X_2 + \Delta_{2p} = 0;$$

$$\delta_{33} \cdot X_3 + \Delta_{3p} = 0.$$



8.19-расм

Бунда ҳар бир тенглама мустақил бўлиб, номаълумлар осонлик билан аникланади:

$$X_1 = -\frac{\Delta_{1p}}{\delta_{11}}, \quad X_2 = -\frac{\Delta_{2p}}{\delta_{22}}, \quad X_3 = -\frac{\Delta_{3p}}{\delta_{33}}.$$

Агар кордината бошини эластик марказга жойлаштирилса, бош кўчишлар қуидаги кўринишга эга бўлади:

$$\begin{aligned} \delta_{11} &= \frac{1}{EJ_0} \sum_A^C \frac{J_0}{J} \Delta S; \\ \delta_{22} &= \frac{1}{EJ_0} \left[ \sum_A^C y^2 \cdot \frac{J_0}{J} \Delta S + \sum_A^B \cos^2 \varphi \cdot \frac{J_0}{F} \Delta S + \right. \\ &\quad \left. + \mu \cdot \frac{E}{G} \sum_A^C \sin^2 \varphi \cdot \frac{J_0}{F} \Delta S \right]; \end{aligned}$$

$$\begin{aligned} \delta_{33} &= \frac{1}{EJ_0} \left[ \sum_A^C X^2 \cdot \frac{J_0}{J} \Delta S + \sum_A^B \sin^2 \varphi \cdot \frac{J_0}{F} \Delta S + \right. \\ &\quad \left. + \mu \cdot \frac{E}{G} \sum_A^C \cos^2 \varphi \cdot \frac{J_0}{F} \Delta S \right]; \end{aligned}$$

$$\begin{aligned} \delta_{11} &= \frac{1}{EJ_0} \sum_A^C \frac{J_0}{J} \Delta S; \quad \delta_{22} = \frac{1}{EJ_0} \sum_A^C y^2 \cdot \frac{J_0}{J} \Delta S; \\ \delta_{33} &= \frac{1}{EJ_0} \sum_A^C X^2 \cdot \frac{J_0}{J} \Delta S. \end{aligned}$$

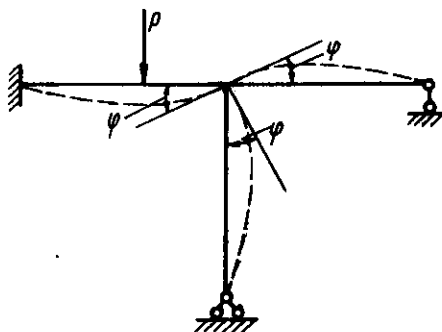
## 9- боб

# СТАТИК НОАНИҚ РАМАЛАРНИ ҚЎЧИШЛАР УСУЛИДА ҲИСОБЛАШ

## 9.1. УСУЛНИНГ МОҲИЯТИ

Маълумки, статик ноаниқ рамаларни кучлар усулида ҳисоблагандаги, номаълумлар сифатида ортиқча боғла нишлардаги зўриқиши кучлари қабул қилинган эди.

Ортиқча боғланишлардаги зўриқиши кучлари аниклангандан сўнг ички кучларнинг қийматлари ( $M$ ,  $Q$ ,  $N$ ) ва қўчишлар осонлик билан аникланади.



9.1- расм

Демак, статик ноаник рамаларни күч усулида хисоблашда аввал зўриқиши кучлари аниқланади, ундан сўнг кўчишлар аниқланади.

Бу масалани бошқа йўл билан ҳам ечиш мумкин. Бунда аввал статик ноаник рамалардаги кўчишлар топилади, ундан сўнг ихтиёрий кесимдаги ички кучлар аниқланади. Статик ноаник рамаларни кўчиш усулида хисоблагандан, айнан шундай килинади.

Бу усулга кўра номаъумлар сифатида рама тугунларидаги чизиқли ва бурчакли эластик кўчишлар қабул килинади.

Кўчиш усули қуйидаги фаразларга асосланади:

1. Икки ва ундан ортиқ стерженлар келиб туташган раманинг бикир тугуни бир хил бурчакка бурилади (9.1- расм).

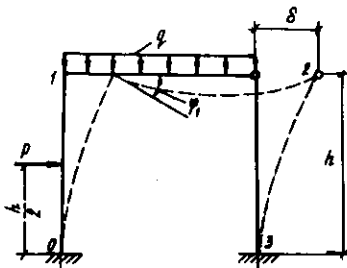
2. Рама деформацияларини хисоблашда  $Q$  ва  $N$  нинг таъсири хисобга олинмайди.

3. Деформация натижасида тугунлар орасидаги ма-софа ўзгаришсиз қолади.

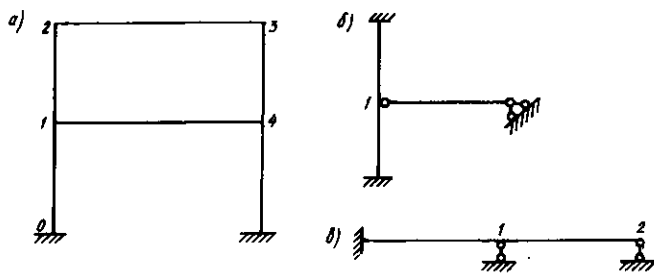
4. Бурчак кичик бўлганлиги сабабли унинг тангенсини бурчакнинг ўзига тенг деб оламиз, яъни

$$\operatorname{tg}\phi = \phi$$

9.2- расмда тасвирланган рама ташки кучлар таъсири-



9.2- расм



9.3-расм

да деформацияланиб, унинг тугунлари бурчакли ва чизиқли кўчишлар олади.

Раманинг 1 тугуни ф бурчакка бурилади ва горизонтал йўналишда δ масофага кўчади.

Кўчишлар усулида номаълум сифатида рама тугунларининг чизиқли (б) ва бурчакли (з) эластик кўчишлари қабул қилинади.

Кўчишлар усулида рамаларнинг кинематик иоаниқлик даражаси кўйидаги формуладан топилади:

$$n = n_b + n_q$$

Бу ерда

$n_b$  — бикир тугунлар сони ёки бикир тугунларнинг бурчакли кўчишлари сони;

$n_q$  — рама тугунларининг чизиқли кўчишлари сони.

Номаълум деб қабул қилинган бурчакли кўчишлар сони « $n_b$ », раманинг таркибидаги бикир тугунлар сонига тенг деб қабул қилинади. Икки ва ундан ортиқ стерженларнинг мустаҳкам туташган жойи бикир тугун деб аталади.

**Мисол:** 9.3-расм, а — да 1, 2, 3, 4 — тугунлар, 9.3-расм, б — да 1-тугун, 9.3-расм, в — да 1,2 — тугунлар бикир тугунлар саналади.

Чизиқли кўчишлар сонини аниқлаш учун берилган раманинг бикир тугунларига ва таянчларига шарнирлар киритиб, геометрик ўзгарувчан система ҳосил қилинади. Бу ҳосил бўлган шарнирлар системанинг эркинлик даражаси — раманинг чизиқли кўчишлари сонига тенг бўлади.

Шарнирлар системани геометрик ўзгармас системага айланиши учун керакли бўлган кинематик боғланишлар сони раманинг чизиқли кўчишлар сонини ифодалайди.

Чизиқли кўчишлар сони кўйидаги формулалар ёрдамида ҳам аниқланади:

$$n_u = 2\text{Ш} - \text{С} - \text{С}_m;$$

$$n_u = 2\text{T} - \text{С}.$$

Бу ерда:

Ш — шарнирлар сони;

С — рама стерженлари сони;

Ст — таянч стерженлари сони;

Т — тугунлар сони.

**Мисол.** 9.4-расм, а — да ифодаланган раманинг кинематик ноаниқлик даражаси аниқлансин.

**Ечиш.** Раманинг бурчакли кўчишлар сони  $n_b = 2$ . Рама тугунларининг чизикли кўчишлари сонини аниқлаш учун унинг бикир тугунларига шарнир киритиб, геометрик ўзгарувчан шарнирли системага келтирилади (9.4-расм, б) ва шу схеманинг эркинлик даражаси аниқланади. Бу схеманинг эркинлик даражаси  $n_u = 1$ , чунки унинг геометрик ўзгармас бўлиши учун унга битта кўшимча стержень — боғловчи киритилса кифоя (9.4-расм, в).

Берилган раманинг жами номаълумлари сони

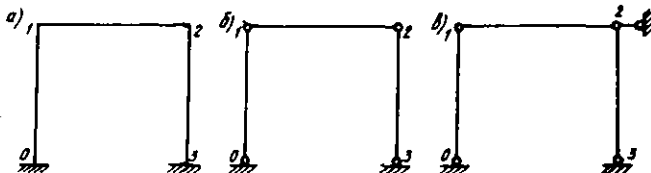
$$n = n_b + n_u = 2 + 1 = 3.$$

Демак раманинг кинематик ноаниқлик даражаси учга тенг экан.

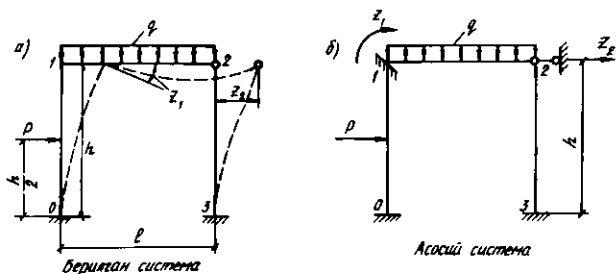
## 9.2. КЎЧИШЛАР УСУЛИНИНГ АСОСИЙ СИСТЕМАСИ ВА ҚАНОНИК ТЕНГЛАМАЛАРИ

Куч усулининг асосий система берилган системадаги оптика боғланишларни ташлаб юбориш йўли билан ҳосил қилинлар эди. Асосий система — статик аниқ ва геометрик ўзгармас бўлади.

Кўчишлар усулида асосий система, аксинча, рамага кўшимча боғланишлар киритиш йўли билан ҳосил қилинади. Кўшимча боғланишлар икки хил (бурчакли ва чизикли) бўлади.



9.4-расм



9.5-расм

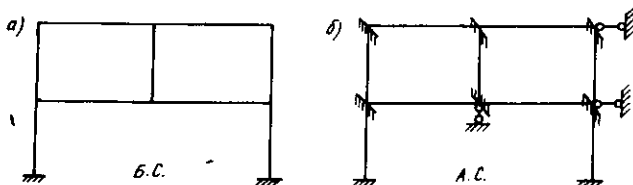
Рама тугунларининг бурчакли кўчишларига қаршилик кўрсатувчи боғланишлар — бурчакли боғланишлар деб аталади. Рама тугунларини чизиқли кўчишларига қаршилик кўрсатувчи боғланишлар — чизиқли боғланишлар деб аталади.

Рамага кўшимча боғланишлар киритилиши натижасида рама алоҳида бир оралиқли статик ноаниқ балкаларнинг йиғиндисига айланиб қолади.

9.5-расм, а — да тасвирланган раманинг кинематик ноаниқлик даражаси 2 га teng. У битта бурчакли ( $Z_1$ ), битта чизиқли ( $Z_2$ ) кўчишга эга. Бу кўчишларга чек қўйиш учун рамага битта бурчакли боғланиш (биринчи тугун) хамда битта чизиқли боғланиш (иккинчи тугун) киритилади. Бу раманинг асосий системаси 9.5-расм, б — да берилган. 9 марта кинематик ноаниқ раманинг (9.6-расм, а) асосий системаси (9.6-расм, б) тасвирланган. Раманинг бурчакли кўчишлари сони олтига teng ( $n_b=6$ ), чизиқли кўчишлари сони эса учга teng ( $n_q=3$ ).

**Кўчишлар усулининг каноник тенгламалари.** Каноник тенгламалар тизимини тузиш қоидаси берилган система билан асосий система орасидаги фарқни йўқотишига асосланган.

Асосий системалар берилган системадан кўшимча боғланишлари борлиги билан фарқ қиласди. Маълумки,



9.6-расм

бұрчакли боғланишларда реактив момент, чизиқли боғланишларда эса реактив күчлар ҳосил бўлади.

Реактив момент ва күчларни нолга тенглаш мумкин. Бунинг учун қўшимча боғланишларга берилган системада вужудга келадиган микдорда чизиқли ва бурчакли кўчишлар берамиз.

Бурчакли ва чизиқли боғланишлардаги реактив момент ва күчларни инкор этиш кўчиш усули каноник тенгламасининг асосини ташкил этади.

Умумий кўринишда кўчиш усулиниң каноник тенгламалари кўйидагича ёзилади (9.7- расм);

$$R_1 = 0; R_2 = 0$$

Бу ерда  $R_1$  ва  $R_2$  — қўшимча боғланишларда ташки күчлар ҳамда боғланишларнинг бурчакли ва чизиқли кўчишлари натижасида ҳосил бўладиган реактив момент ва реактив күчларнинг алгебраик йиғиндишидир.

Тузиладиган тенгламалар сони берилган раманинг кинематик ноаниқлик даражасига тенг бўлади.

Каноник тенгламалар системасини тузиш тартибини 9.7- расмда тасвирланган рама мисолида кўриб ўтамиш.

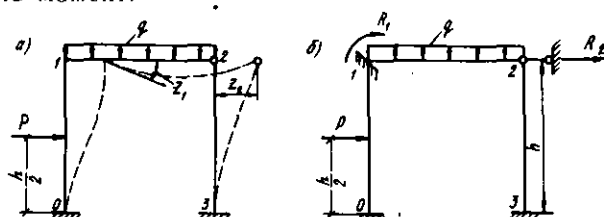
Биринчи тугунга киритилган қўшимча боғланишда вужудга келадиган тўлиқ момент  $R_1$  кўйидаги ҳадлардан ташкил топади:

$$R_1 = R_{1p} + R_{11} + R_{12}.$$

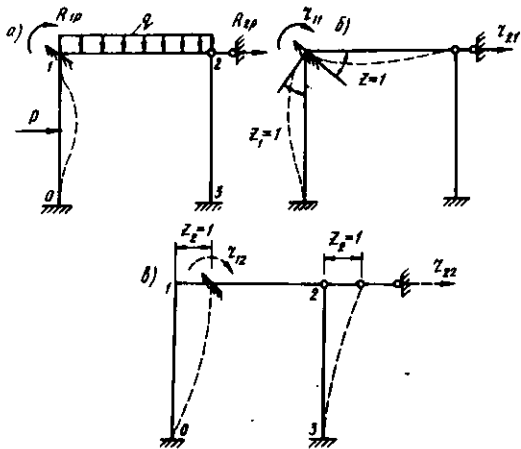
Бу ерда  $R_{1p}$  — қўшимча боғланишда ташки юклар таъсирида вужудга келадиган реактив момент (9.8- расм, а);

$R_{11}$  — биринчи боғланишни  $Z_1=1$  бурчакка бурилиши натижасида шу боғланишда ҳосил бўладиган реактив момент;

$R_{12}$  — раманинг 1,2— тугунларини  $Z_2=1$  масофага кўчиши натижасида биринчи боғланишда ҳосил бўладиган реактив момент.



9.7- расм



9.8- расм

$R_{11}$  ва  $R_{12}$  реактив моментларни бирлик күчиш натижасида вужудга келадиган реактив моментлар оркали ифодалаймиз:

$$R_{11} = r_{11} \cdot Z_1 \text{ ва } R_{12} = r_{12} \cdot Z_2.$$

Бу ерда:  $r_{11}$  — биринчи боғланишни бир бирликка ( $Z_1 = 1$ ) бурганимизда шу боғланишда ҳосил бўладиган реактив момент (9.8-расм, б);  $r_{12}$  — иккинчи боғланишни  $Z_2 = 1$  масофага силжитганимизда биринчи боғланишда ҳосил бўладиган реактив момент (9.8-расм, в);

У ҳолда дастлабки тенглама қўйидаги кўринишга эга бўлади:

$$r_{11} \cdot Z_1 + r_{12} \cdot Z_2 + R_{1p} = 0. \quad (9.4)$$

Шу тарзда иккинчи тенгламани ҳам тузса бўлади:

$$r_{21} \cdot Z_1 + r_{22} \cdot Z_2 + R_{2p} = 0. \quad (9.4)$$

Бу ерда  $r_{21}$  — биринчи боғланишни  $Z_1 = 1$  бурчакка кўчиши натижасида иккинчи боғланишда ҳосил бўладиган реактив куч (9.8-расм, б);

$r_{22}$  — иккинчи боғланишни  $Z_2 = 1$  масофага кўчиши натижасида шу боғланишда ҳосил бўладиган реактив куч (9.8-расм, в);

$R_{2p}$  — ташки кучлар таъсирида иккинчи боғланишда вужудга келадиган реактив куч (9.8-расм, а).

. Шундай килиб, биринчи тенглама биринчи тугунга киритилган құшимча боғланишда реактив моменттің нолға тенглигини, иккінчи тенглама эса иккінчи боғланишдаги реактив күчларнинг нолға тенглигини ифодалайди. Ҳар иккі тенглама күчиш усулининг каноник тенгламасы деб аталади.

Агар система түрт маротаба кинематик ноаның бүлсаса, у холда юкорида баён этилган тартиб асосида түрттә каноник тенглама тузилади ва у қуидаги күриништа эга бўлади:

$$\begin{aligned}r_{11} \cdot Z_1 + r_{12} \cdot Z_2 + r_{13} \cdot Z_3 + r_{14} \cdot Z_4 + R_{1p} &= 0; \\r_{21} \cdot Z_1 + r_{22} \cdot Z_2 + r_{23} \cdot Z_3 + r_{24} \cdot Z_4 + R_{2p} &= 0; \\r_{31} \cdot Z_1 + r_{32} \cdot Z_2 + r_{33} \cdot Z_3 + r_{34} \cdot Z_4 + R_{3p} &= 0; \\r_{41} \cdot Z_1 + r_{42} \cdot Z_2 + r_{43} \cdot Z_3 + r_{44} \cdot Z_4 + R_{4p} &= 0.\end{aligned}$$

Бош диагонал бўйича жойлашган коэффициентлар ( $r_{11}$ ,  $r_{22}$ ,  $r_{33}$ ,  $r_{44}$ ) бош коэффициентлар, қолганлари ёрдамчи коэффициентлар деб аталади; озод ҳадлар  $R_{1p}$ ,  $R_{2p}$ ,  $R_{3p}$ ,  $R_{4p}$  — юқ реакциялари деб аталади.

Бу тенгламаларда ҳам куч усулидаги сингари бош диагоналга нисбатан симметрик равишида жойлашган коэффициентлар ўзаро тенг бўлади, яъни  $r_{12} = r_{21}$ ,  $r_{13} = r_{31}$ .

Бош коэффициентлар ҳамма вакт нольдан катта бўлади  $r_{nn} > 0$ .

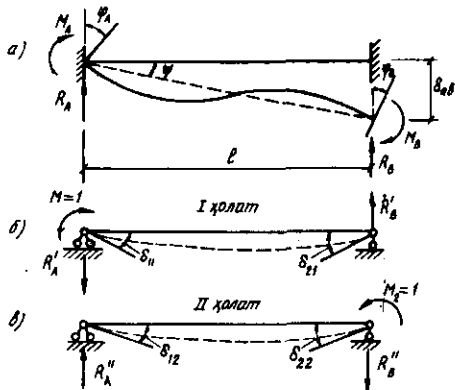
Ёрдамчи коэффициентлар эса  $r_{ki} \geq 0$  бўлиши мумкин.

Куч усулининг каноник тенгламалари күчишларнинг нолға тенглигини ифодалайди. Күчиш усулининг каноник тенгламалари эса рама тугуларига киритилган құшимча боғланишлардаги реактив момент ва реактив күчларнинг нолға тенглигини ифодалайди.

### 9.3. РЕАКЦИЯЛАР ВА КҮЧИШЛАР ОРАСИДАГИ БОҒЛANIШ ҲАҚИДА ТЕОРЕМА

Тўғри стерженлардан ташкил топган рамаларни күчишлар усулида хисоблашда киритилган құшимча боғланишлардаги реакциялар бир ораликли статик ноанық балкалар учун берилган формулалардан фойдаланиб аникланади.

Бир ораликли бинир таянчли статик ноанық балканни мисол тарикасида кўриб чиқамиз (9.9- расм).



9.9- расм

Фараз қиласиз, чекка кесимлар  $\varphi_A$  ва  $\varphi_B$  бурчакларга бурилган бўлсин.  $AB$  тўғри чизик  $\psi$  бурчакка бурилган дейлик.

9.9-расм,  $a$  — да кўрсатилган  $M_A$ ,  $M_B$ ,  $\varphi_A$ ,  $\varphi_B$ ,  $R_A$ ,  $R_B$  ларнинг йўналишлари мусбат ишорага мос келади деб қабул қиласиз.  $M_A$  ва  $M_B$  таянч моментларини аниқлаш учун куч усули бўйича асосий системалар курилади (9.9-расм,  $b$ ) сўнгра ишлар ҳақидаги Бетти теоремасидан фойдаланиб, куйидаги тенгламалар ёзилади:

$$\left. \begin{aligned} M_A \cdot \delta_{11} - X_2 \delta_{21} &= 1 \cdot \varphi_A - \frac{1}{l} \delta_{ab} \\ M_A \cdot \delta_{12} - X_2 \delta_{22} &= -1 \cdot \varphi_B + \frac{1}{l} \delta_{ab} \end{aligned} \right\} \quad (9.4)$$

Берилган система ва ҳар икки бирлик ҳолат бўйича аниқланган кўчиш ва зўриқишиларнинг кийматлари 9.1-жадвалда ифодаланган.

#### 9.1- жадвал

Ҳолат	Моментлар	Кучлар	Кўчишилар	
			Бурилиш бурчаклари	Оғиш бурчаки
Берилган	$M_A, M_B$	$R_A, R_B$	$\varphi_A, \varphi_B$	$0; \delta$
I ҳолат	$M_1=1, M_2=0$	$R_A^1 = \frac{1}{e}, R_B^1 = \frac{1}{e}$	$\delta_{11}, -\delta_{21}$	$0; 0$
II ҳолат	$M_1=0, M_2=-1$	$R_A^{11} = \frac{1}{e}, R_B^{11} = \frac{1}{e}$	$\delta_{12}, -\delta_{22}$	$0; 0$

## Материаллар каршилиги фанига асосан

$$\delta_{12} = \delta_{21} = \frac{M_1 \cdot l}{6EI} = \frac{l}{6EI}; \quad (9.5.)$$

$$\delta_{22} = \delta_{11} = \frac{M_2 l}{3EI} = \frac{l}{3EI}. \quad (9.6)$$

Бу кийматларни биринчи тенгликка жойлаштириб, қүйидагиларга эга бўламиз:

$$M_A \cdot \frac{l}{3EI} - M_{B3} \cdot \frac{l}{6EI} = \varphi_A - \psi; \quad (9.7)$$

$$M_A \cdot \frac{l}{6EI} - \frac{l}{3EI} = -\varphi_B + \psi.$$

Бундан

$$\begin{aligned} M_B &= 2 \cdot \frac{EI}{l} (2\varphi_A + \varphi_B - 3\psi); \\ M_B &= 2 \cdot \frac{EI}{l} (\varphi_A + 2\varphi_B - 3\psi). \end{aligned} \quad (9.8)$$

Агар  $\frac{EI}{l} = i$  деб белгиласак, у холда

$$\begin{aligned} M_A &= 2i(2\varphi_A + \varphi_B - 3\psi); \\ M_B &= 2i(\varphi_A + 2\varphi_B - 3\psi). \end{aligned} \quad (9.10.)$$

бўлади. Бу ерда  $i$  — стерженинг нисбий бирлиги.

Хусусий ҳоллар:

Агар  $\varphi_A = \varphi_B = 0$  бўлса, (9.10) формула қўйидаги кўринишга эга бўлади:

$$M_B = M_A = -6i\psi \quad (9.11.)$$

Агар  $\varphi_A = \psi = 0$  бўлса,

$$\begin{aligned} M_A &= 2i\varphi_A; \\ M_B &= 4i \cdot \varphi_B \end{aligned} \quad \text{бўлади.} \quad (9.12.)$$

Агар  $\varphi_B = \psi = 0$  бўлса, у холда формула қўйидаги кўринишга эга бўлади:

$$\begin{aligned} M_A &= 4i\varphi_B; \\ M_B &= 2i\varphi_A. \end{aligned} \quad (9.13.)$$

Турли хил таъсирлар остида бўлган стерженларнинг чекка қесимларидаги таянч моментлари ва реакцияларини аниклаш формулалари 9.2- жадвалда берилган.

9.2- жадвал

Балка да үнгэ тэсвир килүүбчилж ошиж	Згуурын момент зэрэгслийн	Голч реактивийн моментийн	Голч реакциялары
		$M_{ab} = 4i_{ab}$ $M_{ba} = 2i_{ba}$	$R_{ab} = -\frac{\delta i_{ab}}{l}$ $R_{ba} = -R_{ab}$
		$M_{ab} = -\frac{6i_{ab}}{l}$ $M_{ba} = -\frac{6i_{ba}}{l}$	$R_{ab} = \frac{12i_{ab}}{l}$ $R_{ba} = -R_{ab}$
		$M_{ab} = -\frac{q l^2}{12}$ $M_{ba} = \frac{q l^2}{12}$	$R_{ab} = \frac{q l}{2}$ $R_{ba} = \frac{q l}{2}$
		$M_{ab} = -\frac{P a b^2}{l^2}$ $M_{ba} = \frac{P a b}{l^2}$	$R_{ab} = \frac{P b^2}{l^2} \left(1 + \frac{2a}{l}\right)$ $R_{ba} = \frac{P a^2}{l^2} \left(1 + \frac{2b}{l}\right)$
		$M_{ab} = \frac{M_b}{l^2} (2l - 3b)$ $M_{ba} = \frac{M_a}{l^2} (2l - 3a)$	$R_{ab} = -\frac{\delta a b}{l^2} \cdot M$ $R_{ba} = \frac{\delta a b}{l^2} \cdot M$
		$M_{ab} = 3i_{ab}$	$R_{ab} = -\frac{3l_{ab}}{l_{ab}}$ $R_{ba} = \frac{3l_{ab}}{l_{ab}}$
		$M_{ab} = -\frac{3i_{ab}}{l}$	$R_{ab} = -R_{ba} = -\frac{3i_{ab}}{l}$
		$M_{ab} = -\frac{q l^2}{8}$	$R_{ab} = \frac{5}{8} q l$ $R_{ba} = \frac{3}{8} q l$
		$M_{ab} = -\frac{P b (l^2 - b^2)}{2l^3}$ $M_{ba} = \frac{P b (l^2 - a^2)}{2l^3}$	$R_{ab} = \frac{P b (3l^2 - b^2)}{2l^3}$ $R_{ba} = \frac{P a^2 (3l - a)}{2l^3}$
		$M_{ab} = \frac{M (l^2 - 3b^2)}{2l^3}$	$R_{ab} = -\frac{3M (l^2 - b^2)}{2l^3}$ $R_{ba} = \frac{3M (l^2 - b^2)}{2l^3}$

#### 9.4. ҚАНОНИК ТЕНГЛАМА КОЭФФИЦИЕНТЛАРИ ВА ОЗОД ҲАДЛАРИНИ АНИҚЛАШ. СТАТИК УСУЛ

Қаноник тенгламанинг коэффициентлари ва озод ҳадларини аниқлаш учун асосий системада бирлик күчишлар ва ташки кучлар таъсиридан ҳосил бўладиган момент эпюралари курилади.

Эгувчи момент эпюраларини куриш ва қаноник тенгламаларнинг коэффициентларини аниқлаш тартибини 9.10- расмда тасвиранган рама мисолида кўриб ўтамиш.

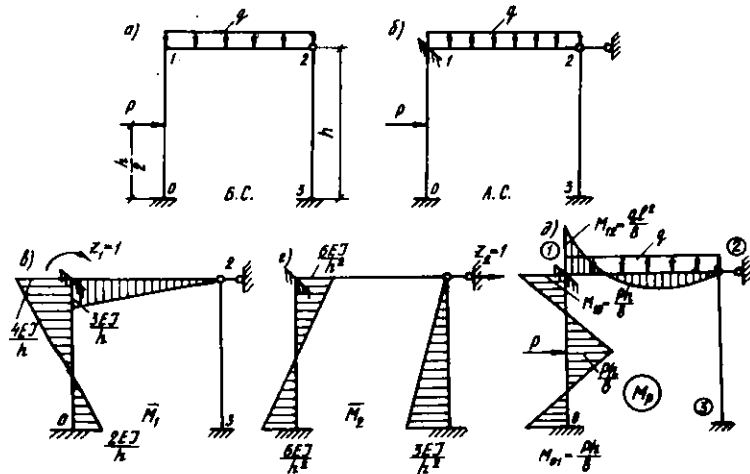
Берилган раманинг кинематик ноаниқлик даражаси  $n=2$  бўлгани учун иккита қаноник тенглама тузилади:

$$\begin{aligned} r_{11} \cdot Z_1 + r_{12} \cdot Z_2 + R_{1p} &= 0; \\ r_{21} \cdot Z_1 + r_{22} \cdot Z_2 + R_{2p} &= 0. \end{aligned} \quad (9.14)$$

Қаноник тенгламани ечиш учун аввал унинг коэффициентлари ва озод ҳадларини топиб олишимиз керак.

$\bar{M}_1$  эпюрасини ҳосил килиш учун биринчи тугунга киритилган боғланишни  $Z_1=1$  бурчакка бурамиз (9.10- расм,  $\vartheta$ ). Шаклда келтирилган моментларнинг қиймати 9.2- жадвалдан олинади.

$\bar{M}_2$  эпюраси иккинчи боғланишнинг  $Z_2=1$  масофага кўчишидан ҳосил бўлган (9.10- расм,  $\varrho$ ). Бу ерда ҳам стержень учларидаги моментларнинг қиймати 9.2- жадвалдан олинган.



9.10- расм

$M_p$  эпюраси ташки күчлардан курилган (9.10- расм, д). Табиийки бу эпюрада ҳам моментларнинг қийматлари ўша жадвалдан олинган.

Эгувчи момент эпюралари қурилгандан сўнг каноник тенгламаларнинг коэффициентлари ва озод ҳадларини аниқлашга ўтилади.

Каноник тенгламаларнинг коэффициент ва озод ҳадлари иккита гурухга бўлиниади:

1) кўшимча боғланишларда вужудга келадиган реактив моментлар;

2) кўшимча боғланишларда вужудга келадиган реактив кучлар.

Аниқлананаётган коэффициент ёки озод ҳад реактив момент бўлса, у ҳолда асосий системадан тегишили кўшимча боғланиш кесиб олинади ҳамда мувозанат тенгламалари тузилади:

$$\Sigma M = 0.$$

Агар аниқлананаётган коэффициент ва озод ҳадлар реактив куч бўлса, у ҳолда асосий системанинг устунлари ва иккинчи боғланиш орқали кесим ўтказилади. Шундан сўнг тенглама тузилади:

$$\Sigma T = 0.$$

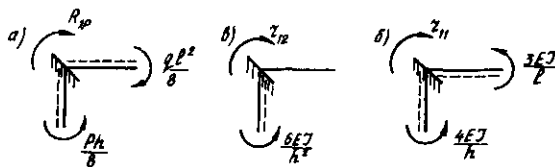
$T$  — ўқнинг йўналиши тенгламалар тузишга қулай ҳолатда ўтказилади.

Каноник тенгламанинг биринчи қаторидаги озод ҳадлар ва коэффициентларни аниқлайлик.

$R_{1p}$  нинг қийматини аниқлаш учун « $M_p$ » эпюрасидан биринчи тугунни кесиб олиб, мувозанат тенгламасини ёзамиз (9.11- расм, а):

$$\Sigma M_1 = R_{1p} + \frac{q l^2}{8} - \frac{\rho h}{8} = 0.$$

$$\text{Бундан } R_{1p} = \frac{\rho h}{8} - \frac{q l^2}{8}.$$



9.11- расм

$r_{11}$ ,  $r_{12}$  ларни аниклаш учун  $\bar{M}_1$  ва  $\bar{M}_2$  бирлик эгувчи момент эпюраларидан 1-түгүнни кесиб олиб, мувозанат тенгламаси ёзилади (9.11-расм, в, б):

$$\sum M_1 = r_{11} - \frac{3EI}{l} - \frac{4EI}{h} = 0; \quad \sum M_2 = r_{12} + \frac{6EI}{h^2} = 0;$$

$$r_{11} = \frac{3EI}{l} + \frac{4EI}{h}; \quad r_{12} = -\frac{6EI}{h^2}.$$

Каноник тенгламанинг иккинчи қаторидаги  $r_{21}$ ,  $r_{22}$ ,  $R_{2p}$  лар реактив күчлардан иборатдир.

Иккинчи боғланишдаги реактив күч  $R_{2p}$  ни аниклаш учун асосий системанинг устунларини 1—1 кесим бүйича кесиб, ригель ва иккинчи боғланиш ажратыб олинади (9.12-расм, а). Бу ажратылган бүлак учун статиканинг мувозанат тенгламасини ёзамиз:

$$\Sigma X = P + R_{2p} - \frac{P}{2} = 0.$$

Бундан

$$R_{2p} = -\frac{P}{2}.$$

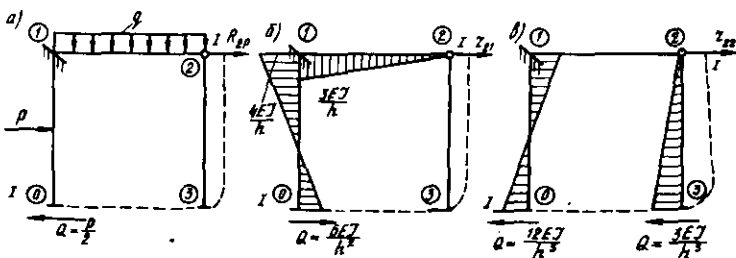
$r_{21}$  ни аниклаш учун асосий системанинг устунларини 1—1 кесим бүйича кесиб, ригельни ва иккинчи боғланишни ажратамиз ҳамда унинг мувозанатини текширамиз (9.12-расм, б):

$$\Sigma X = \frac{6EI}{h^2} + r_{21} = 0;$$

бундан

$$r_{21} = -\frac{6EI}{h^2}.$$

$r_{22}$  ни аниклаш учун ҳам асосий системанинг устунларини 1—1 кесим бүйича кесиб, ригельни ва иккинчи боғланишни



9.12-расм

ажратамиз ҳамда унинг мувозанатини текширамиз (9.12- расм, *в*);

$$\Sigma X = r_{22} - \frac{12EI}{h^3} - \frac{3EI}{h^3} = 0;$$

бундан

$$r_{22} = \frac{15EI}{h^3}.$$

### Эпюраларни кўпайтириш усули

Агар берилган раманинг устунлари ўзаро параллел бўлмаса, у ҳолда статик усул анча мураккаб тус олади. Чунки оғма устунили раманинг асосий системаси учун мувозанат тенгламаси тузилганда, унинг горизонтал ўқига кўндаланг кучлар билан биргаликда бўйлама кучлар ҳам проекцияланади.

Бу усул билан коэффициентлар ва озод ҳадларни ҳисоблаш мураккаблашади. Бундай ҳолларда эпюраларни кўпайтириш усулидан фойдаланилади. Бу усул ташки ва ички кучларнинг бажариши мумкин бўлган ишлар ҳақидаги Бетти теоремасига асосланади:

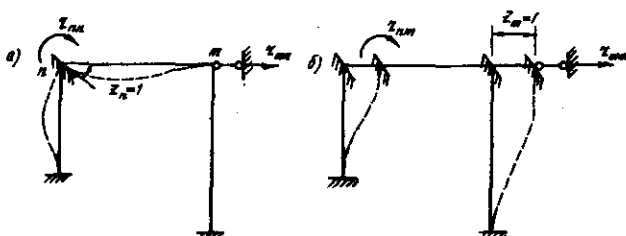
$$T_{nm} = U_{mn}. \quad (a)$$

$T_{nm}$  «*m*» ҳолатдаги ташки кучларнинг бажариши мумкин бўлган иши;

$U_{mn}$  «*n*» ҳолатдаги ички кучларнинг бажариши мумкин бўлган иши.

Статик ноаниқ рамани икки ҳолатда тасвирлаймиз: биринчи ҳолатда «*n*» тугунни  $Z_n = 1$  бурчакка бурамиз (9.13- расм, *a*) иккинчи ҳолатда «*m*» тугунни  $Z_m = 1$  масофага кўчирамиз (9.13- расм, *б*). Шакллардан фойдаланиб, ташки кучлар бажариши мумкин бўлган иш ифодасини ёзамиз:

$$T_{nm} = r_{mn} \cdot 1. \quad (b)$$



9.13- расм

Маълумки, ички кучлар бажариши мумкин бўлган иш куйидаги формуладан аниқланади:

$$r_{mn} = \Sigma \frac{\bar{M}_m \bar{M}_n}{EI} dx, \quad (e)$$

(a) ифодага кўра

$$r_{mn} = \Sigma \int \frac{\bar{M}_m \bar{M}_n}{EI} dx. \quad (e)$$

Демак, кўчиш усули каноник тенгламаларнинг коэффициентларини аниқлаш учун куч усулидаги сингари иккита бирлик эпюрани бир-бираига кўпайтирилса кифоя экан.

Кўчиш усули каноник тенгламаларининг озод ҳадларини ҳам эпюраларни кўпайтириш усулида топса бўлади. Бунинг учун куйидаги формуладан фойдаланилади:

$$R_{np} = - \Sigma \int \frac{\bar{M}_n M'_p}{EI} dx$$

Бу ерда  $\bar{M}_n$  — бирлик эгувчи момент эпюраси;

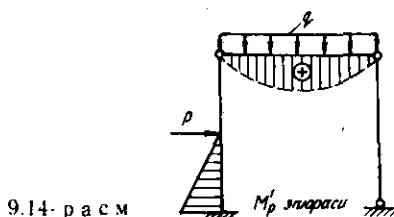
$M'_p$  — статик аниқ системада ташки кучлардан хосил бўлган  $M$  эпюраси.

Масалан, 9.10-расм, а — да берилган статик ноаник рама учун  $M'_p$  эпюраси 9.14-расмда кўрсатилгандек бўлади.  $\bar{M}_1$  ва  $\bar{M}_2$  бирлик эпюралари ўзгаришсиз қолади (9.10-расм, в, г).  $R_{1p}$  ни аниқлаш учун  $M'_p$  билан  $\bar{M}_1$  эпюраси,  $R_{2p}$  ни аниқлаш учун эса  $M'_p$  билан  $\bar{M}_2$  эпюралари кўпайтирилади. Кўпайтириш ишлари Верешчагин қоидаси бўйича амалга оширилади.

Кўчиш усули каноник тенгламалари системасининг коэффициентлари ва озод ҳадлари куч усулидаги каби текширилади.

Бунинг учун аввал  $\bar{M}$ , йигинди эпюраси чизиб олинади:

$$\bar{M}_s = \bar{M}_1 + \bar{M}_2 + \dots + \bar{M}_n,$$



Бу эпюра билан истаган бирлик эпюранинг кўпайтмаси, куч усулидаги сингари, тегишли қатор коэффициентларининг йиғиндишига тенг бўлади:

$$\begin{aligned} r_{1s} &= \sum \int \frac{\bar{M}_1 \bar{M}_s}{EJ} dx = \sum \int \frac{\bar{M}_1 (\bar{M}_1 + \bar{M}_2 + \dots + \bar{M}_n) dx}{EJ} = \\ &= \sum \frac{\bar{M}_1^2 dx}{EJ} + \sum \int \frac{\bar{M}_1 \bar{M}_2 dx}{EJ} + \dots + \\ &+ \sum \int \frac{\bar{M}_1 \bar{M}_n dx}{EJ} = r_{11} + r_{12} + \dots + r_{1n}. \end{aligned}$$

Каноник тенгламанинг озод ҳадлари куйидагича текширилади:

$$\begin{aligned} \sum \int \frac{\bar{M}_s M_p'}{EJ} dx &= - \sum \int \frac{(\bar{M}_1 + \bar{M}_2 + \dots + \bar{M}_n) M_p' dx}{EJ} = \\ &= \left( \sum \int \frac{\bar{M}_1 M_p' dx}{EJ} + \sum \int \frac{\bar{M}_2 M_p' dx}{EJ} + \dots + \sum \int \frac{\bar{M}_n M_p' dx}{EJ} \right) = \\ &= R_{1p} + R_{2p} + \dots + R_{np}. \end{aligned}$$

Демак, озод ҳадлар тўғри топилган бўлса, уларнинг йиғиндиси икки эпюранинг ( $\bar{M}_s$  ва  $M_p'$  эпюраларининг) кўпайтмасига тенг бўлади.

## 9.5. РАМАНИНГ $M$ , $Q$ ВА $N$ ЭПЮРАЛАРИНИ ҚУРИШ

Каноник тенглама коэффициентлари тўғри топилганга ишонч ҳосил қилганимиздан сўнг коэффициентларни тенгламага кўйиб, ундаги номаълумлар ( $z_1, z_2, z_3, \dots, z_n$ ) ни аниқлаймиз ва ундан сўнг « $M$ » эпюрасини куришга ўтамиз. Эпюра кўйидаги коида асосида курилади:

$$M = M_p + \bar{M}_1 \cdot Z_1 + \bar{M}_2 \cdot Z_2 + \dots + \bar{M}_n \cdot Z_n;$$

бу ерда  $M$  — статик ноаниқ раманинг исталган кесими-даги эгувчи момент;

$M_p$  — асосий системада ташки кучдан курилган  $M$  эпюрасининг ординатаси;

$\bar{M}_1, \bar{M}_2$  — бирлик эпюраларнинг ординаталари;  
 $Z_1, Z_2$  — каноник тенгламалардан топилган бур-чакли ёки чизиқли кўчишлар.

Якунловчи  $M$  эпюраси курилгандан сўнг шу эпюра асосида « $Q$ » ва « $N$ » эпюралари курилади.

## 9.6. КҮЧИШЛАР УСУЛИДА СОДДАЛАШТИРИШЛАР

Симметрик рамаларни күчиш усулида хисоблаганда ҳам күч усулидаги сингари номаълумларни гурухлаш йўлидан фойдаланса бўлади.

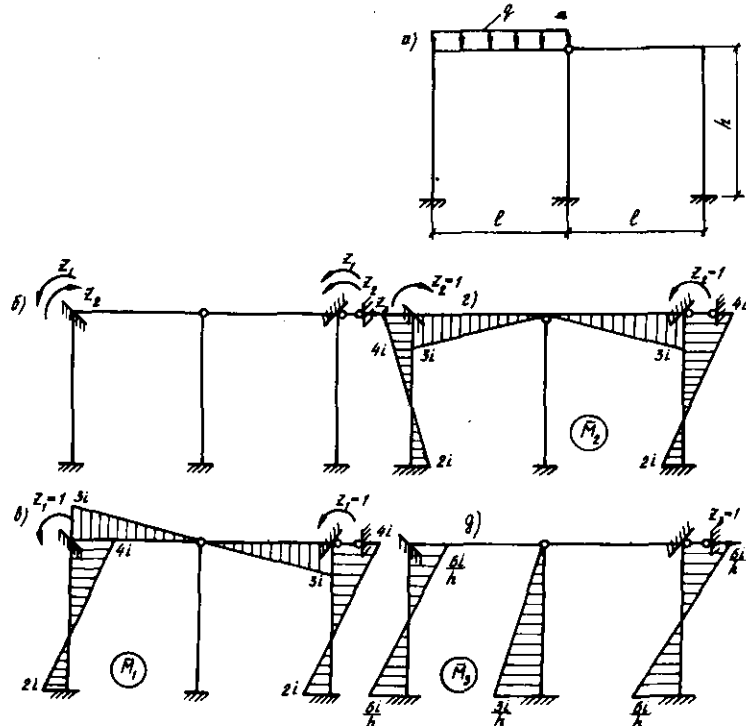
Мисол тарикасида 9.15-расм, а — да тасвиirlанган рамани кўриб ўтамиз. Рама иккита бурчакли ва битта чизикли күчишга эга, яъни унинг кинематик ноаниклик даражаси  $n=3$ . Раманинг тўлик каноник тенгламаси кўйидаги кўринишга эга:

$$r_{11} \cdot Z_1 + r_{12} \cdot Z_2 + r_{13} \cdot Z_3 + R_{1p} = 0;$$

$$r_{21} \cdot Z_1 + r_{22} \cdot Z_2 + r_{23} \cdot Z_3 + R_{2p} = 0;$$

$$r_{31} \cdot Z_1 + r_{32} \cdot Z_2 + r_{33} \cdot Z_3 + R_{3p} = 0.$$

Берилган рама симметрия ўқига эга бўлганлиги сабабли номаълумларни гурухлаш йўли билан каноник



9.15-расм

тenglamанинг айрим коэффициентларини нолга tengлаштириш мумкин.

Номаълумларни гурухлаш натижасида икки хил: тўғри симметрик ва тескари симметрик эпюралар ҳосил бўлади. Маълумки, бундай эпюралар кўпайтмаси 0 га teng бўлади. Натижада каноник tenglama иккита системага ажралиб кетади. Бу эса хисоблаш ишларини анча енгиллаштиради.

Номаълумларни гурухлаш 9.15-расм,  $b$  — да кўрсатилган шаклда амалга оширилади. Бирлик  $M$  эпюралари 9.15-расм,  $a$ ,  $c$ ,  $d$  — да тасвиirlанган. Бу ерда  $\bar{M}_1$  тескари,  $\bar{M}_2$  эса тўғри симметрик эпюра бўлиб, буларнинг кўпайтмасидан топиладиган  $r_{12} = r_{21} = 0$  бўлади, Шунингдек  $r_{23} = r_{32}$  ҳам нолга tengdir. У ҳолда юқоридаги каноник tenglama қуйидаги кўринишга келади:

$$\left. \begin{aligned} r_{11} \cdot Z_1 + r_{13} \cdot Z_3 + R_{1q} \\ r_{31} \cdot Z_1 + r_{33} \cdot Z_3 + R_{3q} \\ r_{22} \cdot Z_2 + R_{2q} = 0 \end{aligned} \right\} \text{тескари симметрик tenglama,}$$

## 9.7. СТАТИК НОАНИҚ РАМАЛАРНИ АРАЛАШ ВА КОМБИНАЦИЯ УСУЛЛАРИДА ХИСОБЛАШ

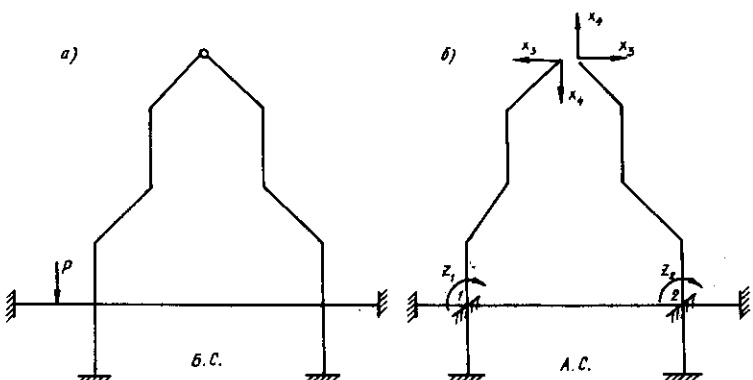
Бинокорликда шундай рамалар учрайдики, уларни ҳар қанча соддалаштирганда ҳам умумий ечими мураккаблигича колаверади. Бундай рамаларнинг ечилишини соддалаштириш максадида кўч ва кўчиш усуllibаридан бир йўла фойдаланиш тавсия этилади. Бунда раманинг бир қисми кучлар усулида, иккинчи қисми эса кўчишлар усулида хисобланади. Бундай хисоблаш усули аралаш усул деб аталади. Аралаш усулга доир мисол кўриб ўтамиз (9.16-расм).

Берилган раманинг статик ва кинематик ноаниқлик даражалари қуйидаги жадвалда берилган:

Қаватлар	Статик ноаниқлик даражаси	Кинематик ноаниқлик даражаси
Биринчи	9	2
Иккинчи	2	12
Жами	11	14

Жадвалдан кўринадики, агар рамани куч усулида ишласак, у 11 номаълумли, кўчиш усулида эса 14 номаълумли бўлади. 11 ёки 14 номаълумли tenglamalarни ечиш осон масала эмаслиги хаммага аён.

Агар раманинг биринчи қаватини кўчиш, иккин-



9.16-расм

чи қаватини кучлар усулида ечилса, ҳисоб анча енгиллашади. Демак, рамани аралаш усулда ҳисоблаш мақсадга мувофиқдир. Бу усулга кўра номаълумлар сони 4 га тенг бўлади.

Аралаш усулнинг асосий системаси 9.16-расм, б — да тесвирланган.

Аралаш усулнинг каноник тенгламалари қўйидаги кўринишга эга:

$$\begin{aligned} r_{11} \cdot Z_1 + r_{12} \cdot Z_2 + r_{13} \cdot X_3 + r_{14} \cdot X_4 + R_{1p} &= 0; \\ r_{21} \cdot Z_1 + r_{22} \cdot Z_2 + r_{23} \cdot X_3 + r_{24} \cdot X_4 + R_{2p} &= 0; \\ r_{31} \cdot Z_1 + r_{32} \cdot Z_2 + r_{33} \cdot X_3 + \delta_{34} \cdot X_4 + \Delta_{3p} &= 0; \\ \delta_{41} \cdot Z_1 + \delta_{42} \cdot Z_2 + \delta_{43} \cdot X_3 + \delta_{44} \cdot X_4 + \Delta_{4p} &= 0. \end{aligned}$$

Каноник тенгламалар системасининг 1—2 қаторлари асосий системанинг биринчи ва иккинчи кўшимча боғлашибнишларида ташки юк ва номаълумлардан ҳосил бўлган реакцияларнинг йигиндиси нолга тенглигини ифодалайди. 3—4 тенгламалар эса асосий системада ташки юк ва номаълумлардан  $X_3$  ва  $X_4$  йўналишлари бўйича кўчишларнинг йигиндиси нолга тенглигини ифодалайди.

Шундай қилиб, аралаш усул каноник тенгламалари нинг бир кисми кўчишлар усулига, иккинчи кисми эса кучлар усулига тегишли шартларни ифодалайди.

Аралаш усулнинг каноник тенгламалари системасидаги коэффициентлар тўрт гурухга бўлинади:

1. Асосий системада бирлик кўчишлар ( $Z_1 = 1, Z_2 = 1$ ) дан ҳосил бўлган реакцияларни ифодаловчи коэффициентлар  $r_{11}, r_{12}, r_{21}, r_{22}$ .

2. Асосий системанинг қўшимча боғланишларида бирлик кучлар ( $X_3 = 1, X_4 = 1$ ) дан ҳосил бўлган реакцияларни ифодаловчи коэффициентлар  $r_{13}, r_{13}, r_{23}, r_{24}$ .

3. Асосий системада номаълум зўриқишилар йўналишида бирлик кўчишлардан ҳосил бўлган кўчишларни ифодаловчи коэффициентлар  $\delta_{31}, \delta_{32}, \delta_{41}, \delta_{42}$ .

4. Асосий системада номаълум куч ( $X_3$  ва  $X_4$ ) лар йўналишларида бирлик кучлардан ҳосил бўлган кўчишлар:  $\delta_{33}, \delta_{34}, \delta_{43}, \delta_{44}$ .

Каноник тенгламаларнинг коэффициентлари ва озод ҳадлари куч ва кўчиш усулларида баён этилган коидалар асосида топилади.

Аралаш усулда ҳам қуйидаги теоремалар амал қиласди:

$$r_{mn} = r_{nm};$$

$$\delta_{mn} = \delta_{nm};$$

$$r_{mn} = -\delta_{np}.$$

Аралаш усулнинг каноник тенгламалари биргаликда ечилади ва  $z_1, z_2, x_3$  ва  $x_4$  номаълумлар аниқланади. Эгувчи моментлар эпюрасини куриш учун қуйидаги формуулардан фойдаланамиз:

$$M = M_p + \bar{M}_1 \cdot Z_1 + \bar{M}_2 \cdot Z_2 + \bar{M}_3 \cdot X_3 + \bar{M}_4 \cdot X_4.$$

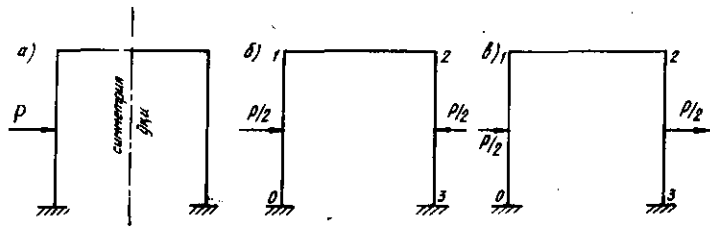
Статик ноаник рамаларни комбинация усулида ҳисоблаш ҳам симметрик рамалар ҳисобини осонлаштириш максадини кўзда тутади. Бу усулга кўра рамага юклар тўғри ва тескари симметрик юкларга ажратилади.

Симметрик юклangan рамаларни кўчишлар усулида ҳисоблаш тавсия этилади, чунки бунда симметрик тугунларнинг бурилиш бурчаклари ўзаро тенг бўлиб, ишоралари тескари бўлади, уларнинг чизиқли кўчишлари эса нолга тенг бўлади.

Тескари симметрик юклangan рамаларни куч усулида ҳисоблаш тавсия этилади, чунки куч усулнинг асосий системасида симметрик номаълумлар нолга тенг бўлади. Симметрик рамаларни ҳисоблашда уларга қўйилган ташки юкларни симметрик ва тескари симметрик юкларга ажратилади (9.17- расм, б, в).

9.18- расмда симметрик юклangan раманинг кўчиш (а) ва куч (б) усули бўйича танланган асосий системалари тасвирланган. 9.19- расмда худди шунинг ўзи тескари симметрик юклangan рама учун бажарилган.

Ҳар иккала ҳол учун раманинг статик ва кинематик ноаниклик даражаси, яъни номаълумлар сони аниқланиб, у



9.17-расм

9.2 а — жадвалда акс эттирилган. Шу жадвалнинг охирги устунида қабул қилинган усул кўрсатилган.

Жадвалга кўра симметрик юкланган рама — кўчиш, тескари симметрик юкланган рама — куч усулида ишланиши мақсадга мувофик экан.

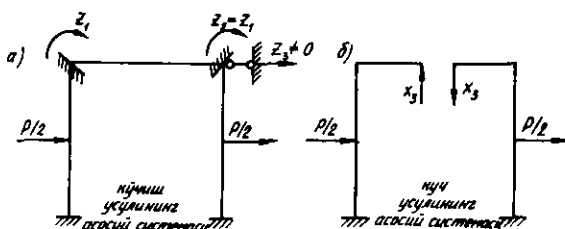
#### 9.2.а-жадвал

Юкланиши тартиби	Номаълумлар сони		Қабул қилинадиган усул
	Куч усули	Кўчиш усули	
Симметрик	2	1	кўчиш усули
Носимметрик	1	2	куч усули

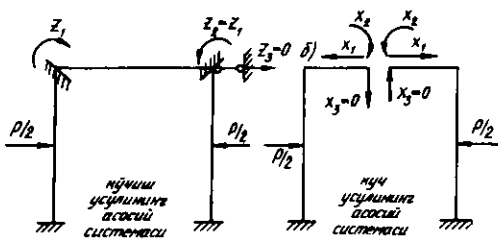
Рамаларни ҳисоблашнинг бу йўли комбинация усул и деб ном олган.

Энди статик ноаниқ рамани кўчиш усулида ҳисоблашга доир бир мисол ечамиз. Раманинг юкланиши ва ўлчамлари 9.20-расм, а — да кўрсатилган.

Рама куйидаги тартибда ҳисобланади:



9.18-расм



9.19- расм

1. Раманинг кинематик ноаниқлик даражаси аниқланади:

$$n = n_6 + n_4;$$

$n_6$  — рама тугунларининг бурчакли кўчишлари сони;  
 $n_4$  — рама тугунларининг чизиқли кўчишлари сони;  
 (бу сон бикир тугунларни шарнир билан алмаштирилганда раманинг эркинлик даражасига тенг бўлади);

$$n_4 = 1.$$

Раманинг кинематик ноаниқлик даражаси

$$n = 1 + 1 = 2 \text{ бўлади.}$$

2. Асосий система тузилади (9.20- расм, б) ва рама элементларининг нисбий бикирликлари аниқланади:

$$i_{13} = \frac{EI}{2l} = 0,5 \frac{EI}{l} = 0,5i; \frac{EI}{l} = i;$$

$$i_{34} = \frac{EI}{l} = i;$$

$$i_{45} = \frac{EI}{l} = i;$$

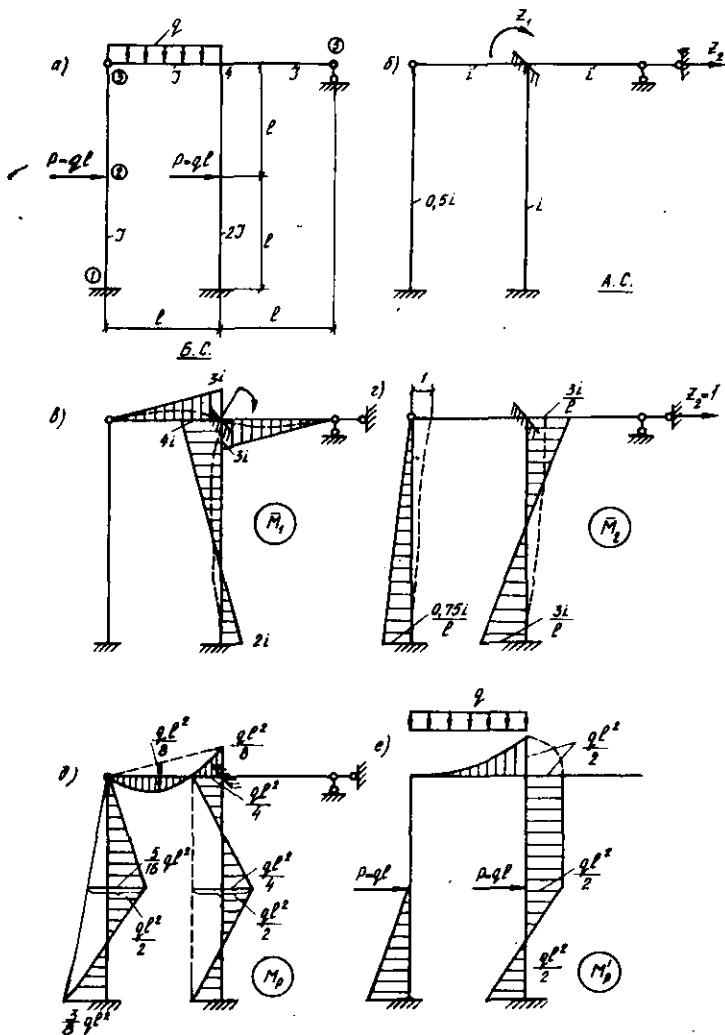
$$i_{47} = \frac{2EI}{2l} = i.$$

3. Каноник тенгламалар системаси тузилади:

$$r_{11} \cdot Z_1 + r_{12} \cdot Z_2 + R_{1p} = 0;$$

$$r_{21} \cdot Z_1 + r_{22} Z_2 + R_{2p} = 0.$$

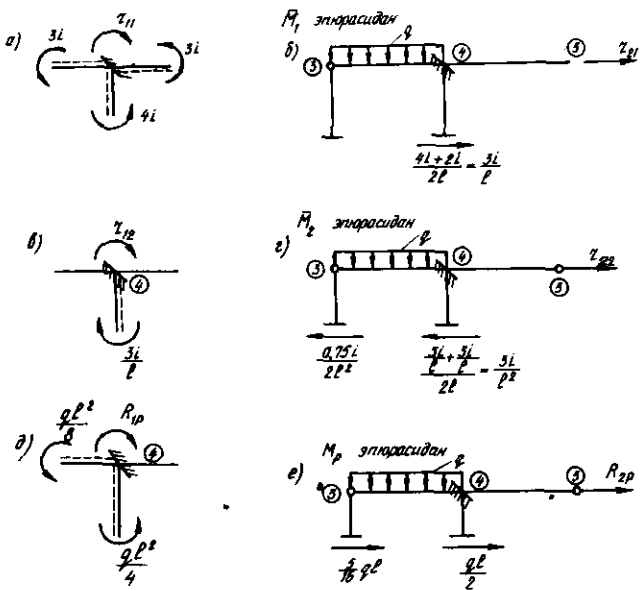
4. Асосий системада ташқи кучлардан ва бирлик кўчишлардан алоҳида-алоҳида эгувчи моментлар эпюратлари қурилади (9.20- расм, в, г, д).



9.20- р а с м

Эпюраларни куришда махсус жадвалдан фойдаланилади (9.2- жадвал).

5. Қаноник тенгламалар тизими коэффициентлари ва озод ҳадлари аникланади.



9.21- расм

### Статик усул

а) 4 — түгун мувозанатидан күйидагилар топилади: (9.21- расм).

$\bar{M}_1$  эпюрасидан (9.21- расм, а):  $r_{11} - 2(3i) - 4i = 0$ ;  
 $r_{11} = 10i$ .

$\bar{M}_2$  эпюрасидан (9.21- расм, б):  $r_{12} + \frac{3i}{l} = 0$ ;  $r_{12} = -\frac{3i}{l}$ ;

$M_p$  эпюрасидан (9.21- расм, д):

$$R_{1p} - \frac{q l^2}{4} - \frac{q l^2}{8} = 0; R_{1p} = 0,375 q l^2.$$

б) раманинг юкори кисми мувозанатидан күйидагилар топилади:

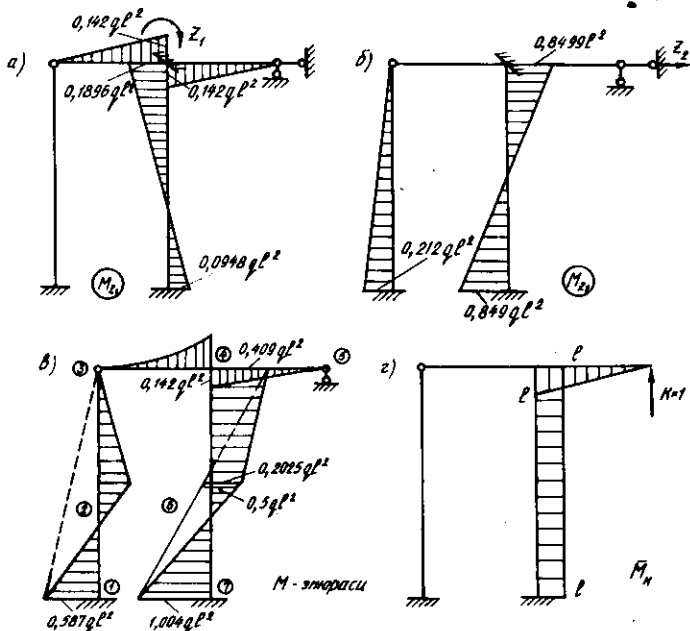
$\bar{M}_1$  эпюрасидан (9.21- расм, б)  $r_{21} + \frac{3i}{l} = 0$ ;  $r_{21} = -\frac{3i}{l}$ ;

$\bar{M}_2$  эпюрасидан (9.21- расм, в)

$$r_{22} - \frac{0,75i}{2l^2} - \frac{3i}{l^2} = 0; r_{22} = 3,375i \cdot l^2;$$

$M_p$  эпюрасидан (9.21- расм, е)

$$R_{2p} + \frac{5}{16} q l + \frac{q l}{2} = 0; R_{2p} = -\frac{13q l}{16} = -0,81q l.$$



9.22- расм

### Эпюраларни күпайтириш усули

Статик усулда топилган коэффициент ва озод ҳадларни эпюраларни күпайтириш усулида топса ҳам бўлади. Кўпайтириш амаллари Верешчагин усулида (9.22- расм) амалга оширилади:

$$\begin{aligned}
 r_{11} &= (\bar{M}_1 \cdot \bar{M}_1) = \frac{1}{EJ} \frac{1}{2} 3i \cdot l \cdot \frac{2}{3} 3i \cdot 2 + \\
 &\quad + \frac{1}{2EJ} \frac{1}{2} \cdot 4i \cdot 2l \left( \frac{2}{3} \cdot 4i \cdot \frac{1}{3} 2i \right) + \\
 &\quad + \frac{1}{2EJ} \cdot \frac{1}{2} \cdot 2i \cdot 2l \left( \frac{2}{3} \cdot 2i - \frac{1}{3} \cdot 4i \right) = \frac{l \cdot l^2}{EJ} (6 + 2 + 2) = 10i; \\
 r_{22} &= (\bar{M}_2 \cdot \bar{M}_2) = \frac{1}{EJ} \cdot \frac{1}{2} \cdot \frac{0.75i}{l} \cdot 2l \cdot \frac{2}{3} \cdot \frac{0.75i}{l} + \frac{1}{2EJ} \cdot \frac{1}{2} \cdot 2 \times \\
 &\quad \times \frac{3i}{l} \cdot \frac{l}{3} \cdot \frac{3i}{l} \cdot 2 = \frac{l^2}{EJ \cdot l} (0.375 + 3) = \frac{3.375i^2}{l \cdot EJ} = \\
 &= \frac{3.375i \cdot \frac{EJ}{l}}{l \cdot EJ} = \frac{3.375i}{l^2};
 \end{aligned}$$

$$r_{21} = r_{12} = \bar{M}_1 \bar{M}_2 = -\frac{1}{2EJ} \cdot \frac{1}{2} \cdot 4i2l \cdot \frac{1}{3} \cdot \frac{3i}{l} - \\ - \frac{1}{2EJ} \cdot \frac{1}{2} 2i \cdot 2l \cdot \frac{1}{3} \cdot \frac{3i}{l} = -\frac{3i^2}{EJ} = -\frac{3i \cdot EJ}{EJ \cdot l} = -\frac{3i}{l};$$

Озод ҳадларни аниклаш учун берилган системадан статик аник система ҳосил қилинади ва ташки кучлардан эгувчи моментлар эпюраси қурилади (9.20- расм, е):

$$R_{1p} = -[M'_p \bar{M}_1] = -\frac{1}{EJ} \cdot \frac{1}{3} \cdot \frac{q l^2}{2} \cdot l \cdot \frac{3}{4} \cdot 3i + \\ + \frac{1}{2EJ} \cdot \frac{1}{2} 4i \cdot 2l \cdot \frac{1}{3} \cdot \frac{q l^2}{2} + \\ + \frac{1}{2EJ} \cdot \frac{1}{2} 2i \cdot 2l \cdot \frac{1}{3} \cdot \frac{q l^2}{2} + \frac{1}{2EJ} \cdot \frac{1}{2} \frac{q l^2}{2} \cdot 2l \cdot \frac{1}{2} (4i - 2i) = \\ = \frac{q l^3}{EJ} \cdot i \left[ -0,375 + \frac{1}{3} + \frac{1}{6} + 0,25 \right] = 0,375 \cdot \frac{q l^3}{EJ} \cdot i = 0,375 q l^2.$$

$$R_{2p} = -[M'_p \bar{M}_2] = -\frac{1}{EJ} \cdot \frac{1}{2} q l^2 \cdot l \cdot \frac{5}{6} \cdot \frac{0,75}{l} i - \\ - \frac{1}{2EJ} \cdot \frac{1}{2} \cdot \frac{q l^2}{2} \cdot l \cdot \frac{2}{3} \cdot \frac{3i}{l} \cdot 2 + \frac{1}{2EJ} \cdot \frac{1}{2} \frac{q l^2}{2} \cdot 2l \cdot 0 = \\ = -\frac{q l^2}{EJ} \cdot i \left[ \frac{5}{16} + \frac{1}{2} \right] = -\frac{13}{16} q l = -0,8125 q l.$$

Хар иккала усулда топилган коэффициент ва озод ҳадлар мос равиша бир-бирига тенг чиқди.

6. Номаъумлар аникланади. Бунинг учун топилган коэффициент ва озод ҳадлар каноник тенгламага қўйила-ди:

$$10i \cdot Z_1 - \frac{3i}{l} \cdot Z_2 + 0,375 q l^2 = 0;$$

$$-\frac{3i}{l} \cdot Z_1 + \frac{3,375i}{l^2} \cdot Z_2 - 0,8125 q l = 0.$$

Тенгламалар биргаликда ёчилиб, номаъум бурчакли ва чизикли кўчишлар аникланади:

$$Z_1 = 0,0474 \frac{q l^2}{i}; \quad Z_2 = 0,283 \cdot \frac{q l^3}{i};$$

7. Қуйидаги формула асосида тузатылған эпюралар курилади (9.22-расм, а, б):

$$M_{z_1} = \bar{M}_1 \cdot Z_1; M_{z_2} = \bar{M}_2 \cdot z_2$$

8. Натижавий әгувчи моментлар эпюраси қуйидаги формула асосида курилади (9.22-расм, в):

$$M = M_p + M_{z_1} + M_{z_2}$$

9. Натижавий  $M$  эпюраси текширилади. Буннинг учун статик аник системага бирлік күчдан  $\bar{M}_k$  эпюраси курилади (9.22-расм, г) ва шу эпюра натижавий  $M$  эпюраси билан күпайтирилади:

$$\begin{aligned} \Delta_{kp} &= \frac{1}{EJ} \cdot \frac{1}{2} \cdot 0,142ql^2 \cdot l \cdot \frac{2}{3}l + \frac{1}{2EJ} \cdot \frac{1}{2} \cdot 0,409ql^2 \times \\ &\times 2l \cdot l + \frac{1}{2EJ} \cdot \frac{1}{2} \cdot 0,5ql^2 \cdot 2l \cdot l - \frac{1}{2EJ} \cdot \frac{1}{2} \cdot 1,004ql^2 \cdot 2l \cdot l = \\ &= \frac{ql^4}{EJ} [0,0473 + 0,2045 + 0,25 - 0,502] = \\ &= \frac{ql^4}{EJ} [0,5018 - 0,502] = -\frac{0,0002}{EJ} ql^4. \end{aligned}$$

$$\text{Хатоси } \delta \% = \frac{0,0002 \cdot 100}{0,502} = 0,04 \% < 1 \%$$

Рұхсат этилған чегарада.

10. Қўндаланғ күчлар эпюраси  $Q$  курилади. Буцнинг учун қуйидаги формуладан фойдаланилади:

$$Q_x = Q_x^0 + \frac{M_{y_{нг}} - M_{чап}}{l};$$

$$Q_{12} = \frac{0,2065ql^2 - (+0,582ql^2)}{l} = 0,7935ql;$$

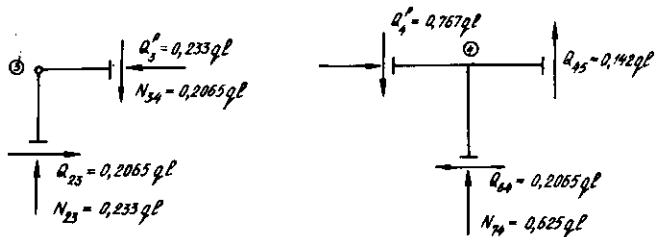
$$Q_3^{pu2} = \frac{ql}{2} + \frac{-0,267ql^2 - 0}{l} = 0,233ql;$$

$$Q_4^{pu2} = -\frac{ql}{2} + \frac{-0,267ql^2 - 0}{l} = -0,767ql;$$

$$Q_{45} = \frac{0 - 0,142ql^2}{l} = -0,142ql;$$

$$Q_{64} = \frac{0,409ql^2 - 0,2025ql^2}{l} = 0,2065ql;$$

$$Q_{76} = \frac{0,2025ql^2 - (-1,004ql^2)}{l} = 1,2065ql.$$



9.23- расм

11. Бўйлама кучлар эпюраси  $N$  курилади. Бунинг учун раманинг 3 ва 4 тугуллари мувозанати кўриб чиқилади (9.23- расм). 3 тугун мувозанатидан:

$$\Sigma x = 0; \quad N_{34} - Q_{23} = 0; \quad N_{34} = Q_{23} = 0,2065 \text{ ql};$$

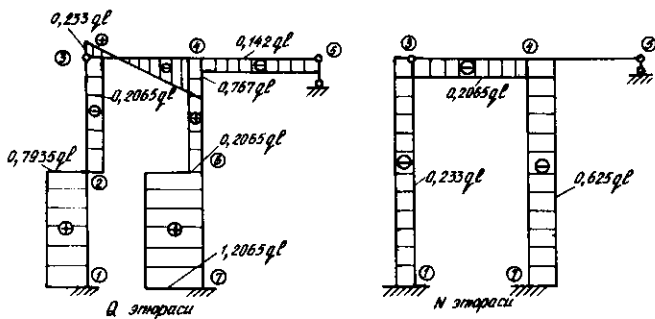
$$\Sigma y = 0; \quad N_{13} - Q_{31}^b = 0; \quad N_{13} = Q_{31}^b = 0,233 \text{ ql}.$$

4 тугун мувозанатидан:

$$\Sigma y = 0; \quad N_{74} - Q_4^b + Q_{45} = 0;$$

$$N_{74} = Q_4^b - Q_{45} = 0,767 \text{ ql} - 0,142 \text{ ql} = 0,625 \text{ ql}.$$

Топилган ординаталар бўйича кўндаланг ва бўйлама кучлар эпюраси курилади (9.24- расм).



9.24- расм

## 10- боб

# СТАТИК НОАНИҚ РАМАЛАРНИ ҲИСОБЛАШНИНГ ТАҚРИБИЙ УСУЛЛАРИ

### 10.1. ТАҚРИБИЙ УСУЛЛАР ҲАҚИДА ТУШУНЧА

Ҳисоблаш усулларини аник ва тақрибий усулларга бўлишнинг ўзи шартлидир. Негаки, «аник» усулларда ҳам айрим фаразларга йўл қўйилади. Масалан, материални идеал эластик ва бир жинсли деб қаралади, бунда раманинг фазовий иши ҳамда таянчларининг қайишқоқлиги эътиборга олинмайди ва х.к. Тақрибий усулларда эса ҳисобни енгиллаштирадиган фараз ва соддалаштиришга кўпроқ ўрин берилади.

Статик ноаниқ рамаларни ҳисоблашда тақрибий усуллар кенг қўлланилади. Маълумки, қурилиш конструкцияларининг ҳисоби уларнинг кўндаланг кесимини дастлабки танловдан бошланади. Бу ишларни тез ва соз амалга оширишда мухандисга тақрибий усуллар жуда кўл келади.

Тақрибий усулларнинг қўшимча фаразлари иншотнинг тархини янада соддалаштиришга, ички кучлар тақсимотига, берилган юкларни соддароқ юклар билан алмаштиришга ва шунинг сингари қатор амалларга асосланади.

Бу борада ҳисоблаш тархини янада соддалаштириш асосий йўллардан бири ҳисобланади. Агар ҳисоблаш тархи кўпол фаразларга асосланса, у ҳолда ҳисоб натижалари биринчи яқинлашув учун тўғри деб қабул қилинади, танланган кесим эса дастлабки нусха сифатида қаралади, зарурат туғилса, кейинчалик аниқроқ тархи бўйича қайта ҳисобланади.

Масалан, рама ригелининг кўндаланг кесими ўлчамларини дастлабки танлашда уни оддий балка кўринишида олиш мумкин: бунда ригель моменти балка моменти  $M_0$  нинг 0,6—0,7 улушини ташкил этади:

$$M = (0,6 - 0,7) M_0$$

Рама устунларининг кесимини танлашда ригеллар устунга шарнирли бириккан деб фараз этилади ва шу асосда устунга таъсир этувчи бўйлама кучлар аниқланади. Буни ҳисобга олиб, ҳисобий қаршиликлар 20—50 фоизга камайтирилади.

Аникроқ ҳисоблаш тарҳлари бўйича бажарилган ҳисоб дастлабки танланган кесимни ойдинлаштириш имконини беради. Баъзан қайта аникланган кесим кейинги аник ҳисобларга асос қилиб олинади.

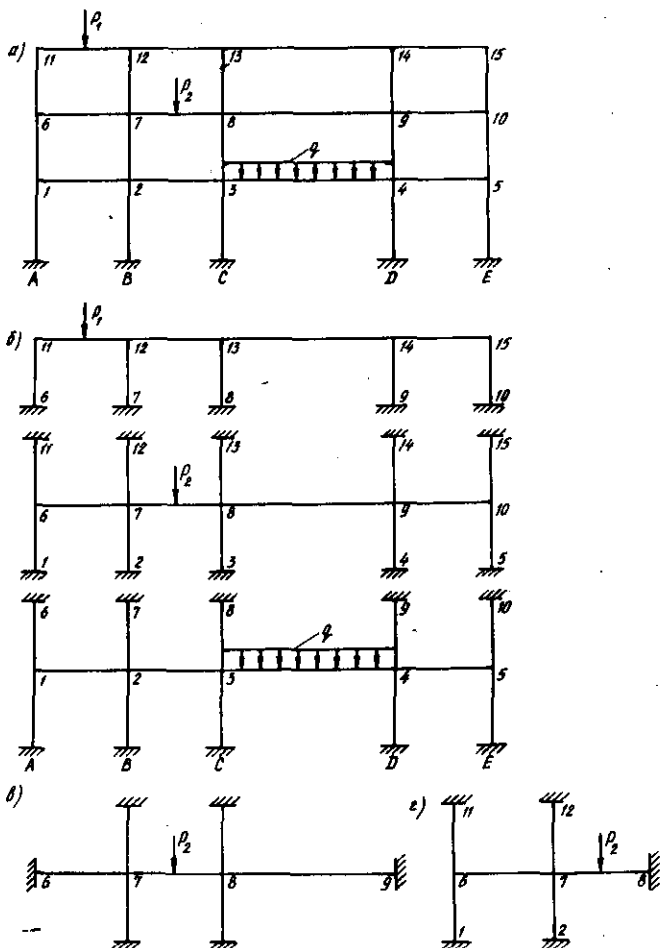
Амалий ишларда тақрибий усуулларнинг аҳамияти бенихоя каттадир.

## 10.2. РАМАЛАРНИ ВЕРТИКАЛ ЮҚЛАР ТАЪСИРИГА ТАҚРИБИЙ ҲИСОБЛАШ

Аник ҳисобларнинг далолат беришича, бирор қаватнинг ригелига қўйилган юк бошқа қават ригелларида вужудга келадиган эгувчи моментларга айтарли таъсир этмайди. Бу ҳол 10.1-расм, *a* — да берилган рамани 10.1-расм, *b* — да кўрсатилган тарзда алоҳида рамаларга ажратиш имконини беради. Раманинг ҳар бир қисми мустакил рама сифатида қурилади. Алоҳида эпюралар раманинг дастлабки тарҳига устма-уст жойлаштирилади, сўнгра кўндаланг ва бўйлама кучлар ҳисобланади. Ҳисоб тақрибий бўлганлиги сабабли рама тугунлари тўлик мувозанатга эга бўлмайди.

Ҳисобни бундан ҳам соддалаштиrsa бўлади. Бунинг учун раманинг уч ригелдан иборат бўлган бўлаги ажратиб олинади (10.1-расм, *c*) ва мустакил равиша ҳисобланади. Раманинг чекка қисми 10.1-расм, *g* — да кўрсатилган тарзда ажратилади.

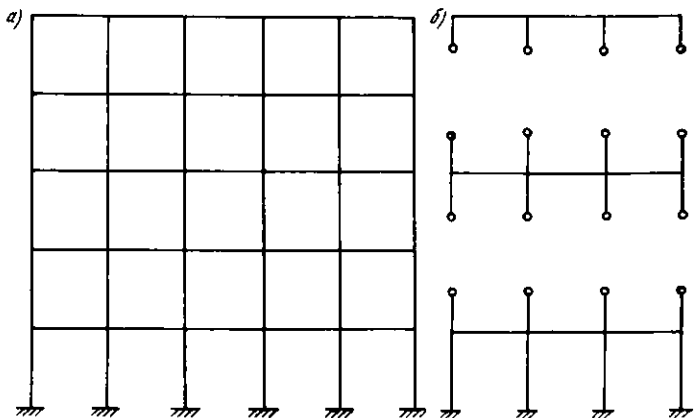
Бинокорликда оралиқлари teng ҳамда бир хил юкланган кўп қаватли рамалар кўп учрайди. Бундай рамаларни вертикал юклар таъсирига ҳисоблагандан янада соддароқ тарҳлар танлаш мумкин. Масалан, 10.2-расм, *a* — да тасвиirlанган кўп қаватли кўп оралиқли рамалар ҳисоби, 10.2-расм, *b* — да кўрсатилганидек учта уч оралиқли рамалар ҳисобига келтирилиши мумкин, яъни берилган раманинг ички кучлари ҳақида тақрибий маълумотга эга бўлиш учун юкори, ўрта ва биринчи қават рамалари ҳисобланса кифоя. Рама устунчасининг баландлиги қават баландлигининг ярмига teng бўлиб, учлари шарнирли деб қабул қилинади. Бунга сабаб шуки, горизонтал кўчишлар йўқ деб фараз этилса, бир ўқ устида жойлашган тугунлар деярли бир хил бурчакка бурилади. Бинобарин, устунларнинг тугундаги моментлари ҳам ўзаро teng бўлади, натижада ноль нукталар устуннинг ўрталарида ҳосил бўлади.



10.1. расм

### 10.3. РАМАЛАРНИ ГОРИЗОНТАЛ ЮКЛАР ТАЪСИРИГА ТАҚРИБИЙ ҲИСОБЛАШ

Рамаларни горизонтал юклар (шамол ва сейсмик кучлар) таъсирига тақрибий ҳисоблаганда, юклар йиғик куч сифатида тугунларга қўйилган деб каралади. Аниқ ҳисобларнинг кўрсатишича, юклар тугунларга қўйилса, эгувчи моментларнинг ноль қийматлари устуннинг ўрта



10.2-расм

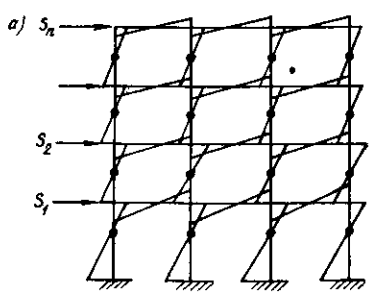
кисмида, биринчи қаватда эса устун баландлигининг таҳминан учдан икки кисмида жойлашади (10.3-расм, а). Шунга кўра, ноль нукталарга шарнирлар киритиши воситасида раманинг статик ноаниқлик даражасини пасайтиrsa бўлади.

Қават учун аникланган умумий кўндаланг куч  $Q$  рама устунларига маълум тартибда таксимланади. Ҳар бир устунга таъсир этувчи кўндаланг куч топилгач, эгувчи моментларни аниклаш ва  $M$  эпюрасини куриш учун

рамадан бир бўлаги ажратиб олинади (10.3-расм, б). Устун учларига  $Q$  кучларини қўйиб, устун учун  $M$  эпюраси қурилади. Тугундаги мувозанатлашмаган момент ригелдаги момент билан мувозанатлаштирилади.  $M$  эпюраси асосида  $Q$  ва  $N$  эпюралари қурилади.

Қаватлар кўндаланг кучлари куйидаги тартибда аникланади: биринчи қават учун

$$Q_1 = S_1 + S_2 + \\ + S_3 + \dots + S_n;$$



10.3-расм

иккинчи қават учун

$$\cdot Q_2 = S_2 + S_3 + \dots + S_n \quad (10.1)$$

Маълум қават чегарасида устунларнинг кўндаланг кесимлари бир хил бўлса, у холда кўндаланг куч устунларга қўйидаги тартибда тақсимланади:

қаватнинг ўртадаги устунлари учун

$$Q_{\text{yp}} = \frac{Q}{m - 2(1 - \beta)}; \quad (10.2)$$

қаватнинг четки устунлари учун

$$Q_{\text{чет}} = \beta Q_{\text{yp}} \quad (10.3)$$

Бу ерда  $m$  — битта қаватдаги устунлар сони;

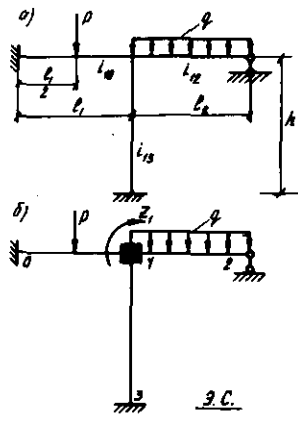
$\beta$  — четки устунлар бикирлигини камайтириш коэффициенти; биринчи қават учун  $\beta = 0,9$ ; колган қаватлар учун  $\beta = 0,54 \dots 0,79$ .

#### 10.4. ТУГУНЛАРНИ МУВОЗАНАТЛАШ УСУЛИ

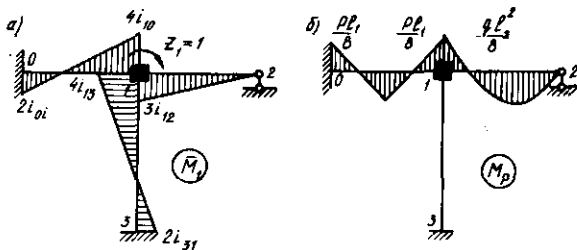
Мазкур усулни замирида кўчиш усули ётади. Бироқ бунда каноник тенгламалар тузилмай, оддий арифметик хисоблар амалга оширилади. Усул такрибий бўлишига қарамай, хисоб ишлари керакли аниқликкача олиб борилиши мумкин. Мазкур усулни айрим муаллифлар моментларни тақсимлаш усули ёки кетма-кет яқинлаштириш усули деб атайдилар.

Тугунларни мувозанатлаш усули 1929 йилда Тошкентлик муҳандис Н. М. Бернадский томонидан ишлаб чиқилган. Шунга ўхшаш усулни 1930 йилда америка олими Харди Кросс ҳам тақлиф этган.

Тугунларни мувозанатлаш усулида рамалар озод ва озодмас рамаларга ажратилади. Чизикли кўчиш имкониятига эга бўлган рамалар озод, эга бўлмаганлари — озодмас рамалар деб аталади.



10.4-расм



10.5- расм

Усулнинг моҳияти билан 10.4- расм, а — да тасвирланган озодмас рама мисолида танишиб ўтамиз. Берилган рамага эквивалент бўлган система кўчиш усулида 10.4- расм, б — да кўрсатилган. Кўчиш усулнинг каноник тенгламаси эса кўйидаги кўринишга эга:

$$Z_1 r_{11} + R_{1p} = 0. \quad (10.4)$$

Бу тенгламадан номаълум бурчакли кўчиш  $z_1$  аниқланади:

$$Z_1 = -R_{1p} : r_{11}. \quad (10.5)$$

Раманинг биринчи тугунида хосил бўладиган реактив моментлар  $r_{11}$  ва  $R_{1p}$  бирлик кўчиш ва ташки кучлардан хосил бўлган эгувчи момент эпюралари  $M_1$  ва  $M_p$  дан топилади. (10.5- расм, а, б):

$$r_{11} = 4 \left( i_{10} + i_{13} + \frac{3}{4} i_{12} \right); \quad i_{12}^l = \frac{3}{4} i_{12} \text{ деб олсан}; \\ r_{11} = 4 (i_{10} + i_{13} + i_{12}^l); \quad (10.6)$$

$$R_{1p} = \frac{pl}{8} - \frac{pl^3}{8} \text{ бўлади}. \quad (10.7)$$

Бу ерда  $R_{1p}$  раманинг биринчи тугунига киритилган кўшимча боғланишдаги мувозанатлашмаган момент бўлиб, уни  $M_1^{\text{неур}}$  деб белгилаймиз, яъни  $R_{1p} = M_1^{\text{неур}}$  («неур» → неуровновешанный — мувозанатлашмаган сўзидан олинган). Буни инобатта олсан, (10.5) ифода кўйидаги кўринишни олади:

$$Z_1 = -\frac{M_1^{\text{неур}}}{r_{11}}. \quad (10.8)$$

Бурчакли кўчиш  $z_1$  аниқлангач, қўйидаги формуладан фойдаланиб, стержень учларидаги моментлар аниқланади:

$$M_{ki} = M_{ki}^p + \bar{M}_{ki} z_1. \quad (10.9)$$

Раманинг 0—1 стерженини чап учидағи момент

$$M_{01} = -\frac{Pl_1}{8} + 2i_{01} \left( -\frac{M_1^{\text{неур}}}{r_{11}} \right) = \\ = \frac{Pl_1}{8} - \frac{2i_{10} \cdot M_1^{\text{неур}}}{4(i_{10} + i_{13} + i_{12})} = \frac{Pl_1}{8} - \frac{1}{2} K_{01} \cdot M_1^{\text{неур}}$$

бўлади. Шу стерженнинг ўнг учидағи момент қуйидагича ифодаланади:

$$M_{10} = \frac{Pl_1}{8} + 4i_{10} \left( -\frac{M_1^{\text{неур}}}{r_{11}} \right) = \\ = \frac{Pl_1}{8} - \frac{4i_{10} \cdot M_1^{\text{неур}}}{4(i_{10} + i_{13} + i_{12})} = \frac{Pl_1}{8} - K_{10} \cdot M_1^{\text{неур}}.$$

Бу ерда қуйидаги белгилаш қабул килинган:

$$K_a = K_{10} = \frac{i_{10}}{i_{10} + i_{13} + i_{12}}$$

ва унга таксимлаш коэффициенти деб ном берилган. Таксимлаш коэффициенти умумий кўриннишда

$$K_{ki} = \frac{i_{ki}}{\sum_{i=1}^n i_{ki}} \quad (10.10)$$

тарзида ифодаланади.

Қолган стерженлардаги моментлар ҳам шу тарика аникланади:

$$M_{12} = -\frac{q l_2^2}{8} - K_{12} - M_1^{\text{неур}}; \\ M_{21} = 0; \\ M_{13} = 0 - K_{13} \cdot M_1^{\text{неур}}; \\ M_{31} = 0 - \frac{1}{2} K_{13} \cdot M_1^{\text{неур}}.$$

Бир тугунда учрашувчи стерженларнинг таксимлаш коэффициентлари йигиндиси бирга тенг бўлади.

$$K_{10} + K_{12} + K_{13} = 1. \quad (10.11)$$

Биринчи тугуннинг мувозанатини текширамиз. Бунинг учун шу тугундаги моментлар йиғиндинисини ёзамиш:

$$M_{10} + M_{12} + M_{13} = \left( \frac{Pl_1}{8} - K_{01}M_1^{\text{нейр}} \right) + \\ + \left( -\frac{qL_2^2}{8} - K_{12}M_1^{\text{нейр}} \right) + (-K_{13}M_1^{\text{нейр}}).$$

Қавсларни очиб, гурухлаймиз:

$$M_{10} + M_{12} + M_{13} = \left( \frac{Pl_1}{8} - \frac{qL_2^2}{8} \right) - (K_{10} + K_{12} + K_{13})M_1^{\text{нейр}}. \quad (10.12)$$

Биринчи қавсдаги ифода  $M_1^{\text{нейр}}$  га, иккинчи қавс эса бирга тенг эканлигини ҳисобга олсак, тугуннинг мувозанатини белгиловчи тенгламага эга бўламиш:

$$M_{10} + M_{12} + M_{13} = 0. \quad (10.13)$$

(10.12) тенгламадаги биринчи қавснинг ўрнига  $M_1^{\text{нейр}}$  ни кўйиб иккинчи қавсни очиб ёзамиш:

$$M_{10} + M_{12} + M_{13} = M_1^{\text{нейр}} + (-K_{10}M_1^{\text{нейр}}) + \\ + (-K_{12}M_1^{\text{нейр}}) + (-K_{13}M_1^{\text{нейр}}) = \\ = M_1^{\text{нейр}} + M_{10}^{\text{нейр}} + M_{12}^{\text{нейр}} + M_{13}^{\text{нейр}} = 0.$$

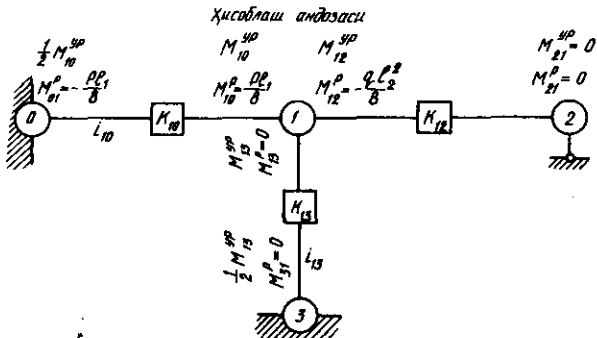
Бу ерда қуйидаги белгилаш қабул қилинди:

$$M_{ki}^{\text{нейр}} = -K_{ki} \cdot M_1^{\text{нейр}} \quad (10.14)$$

$M_{ki}^{\text{нейр}}$  —  $ki$  стерженнинг «К» учидаги мувозанатлашган момент («нейр» — уровновешанный сўзидан олингани)

(10.14) формуласининг маъноси: бикир тугунга кири-тилган қўшимча боғланиш олиб ташланса, яъни тугун бўшатилса, у  $z_1$  бурчакка бурилади. Натижада тугундаги мувозанатлашмаган момент  $M_1^{\text{нейр}}$  шу тугунга келиб туташган стерженларга уларнинг таксимлаш коэффициентларига пропорционал равишда таксимланиб кетади. Манфий ишора мувозанатлашган момент билан мувозанатлашмаган моментнинг йўналиши қарама-карши эканлигини билдиради.

(10.14) формула ёрдамида топилган мувозанатлашган моментларнинг кийматини берилган рама шаклида чи-



10.6- расм

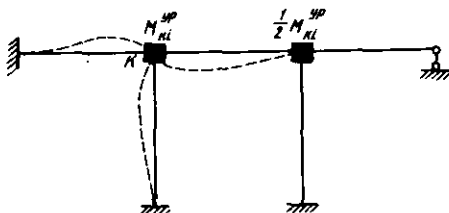
зилган ҳисоблаш андозасига жойлаштирамиз (10.6-расм). Ҳар қайси стержен учидаги натижавий моментнинг киймати ҳисоблаш андозасига ёзилган тегишли моментларнинг йигиндисига тенг бўлади.

Мазкур мисолда бикир тугуни битта бўлган рама, яъни бир номаълумли рама кўриб ўтилди. Бунда тугундаги мувозанатлашмаган момент стерженларга тўла тўқис ва қолдиқсиз тақсимланаб кетди. Шу сабабли ҳисоб аниқ бўлди. Агар бикир тугунлар сони бирдан ортиқ бўлса, у холда ечим тақрибий бўлади.

### Раманинг бикир тугуни бирдан ортиқ бўлган ҳол

Юкорида раманинг бикир тугуни битта бўлган ҳолни кўриб ўтдик. Бунда тугундаги мувозанатлашмаган моментнинг тўла ва аниқ тақсимланганинг гувоҳи бўлдик. Агар раманинг бикир тугунлари иккита ва ундан ортиқ бўлса, у холда вазият бироз бошқача бўлади.

Мисол тарикасида бикир тугуни иккита бўлган статик ноаниқ рамани (10.7-расм) кўриб ўтайлик. Раманинг «*K*» ва «*i*» тугунлари кўшимча боғланиш билан махкамланган. Ҳисобни исталган тугундан бошлаш мумкин. Раманинг «*K*» тугунидаги мувозанатлашмаган момент  $M_k^{\text{нур}}$  ни аниқладик, дейлик. Энди «*K*» тугунини бўшатамиз. Бунда тугундаги мувозанатлашмаган момент  $M_k^{\text{нур}}$  шу тугунга туташган стерженларга тақсимланаб кетади. Тақсимот натижасида  $k-i$  стержениннинг «*K*» учига  $M_{ki}^{\text{ур}}$  моменти тегади, «*i*» учига эса шу моментнинг ярми,



10.7. расм

яъни  $1/2 M_k^y$  тегади. Шу билан битта жараён тугайди. Шундан кейин « $K$ » тугунини қайта маҳкамлаб, « $i$ » тугунини бўшатамиз. Бунда стерженнинг « $i$ » учига  $M_k^y$  моменти, « $K$ » учига эса шунинг ярми, яъни  $1/2 M_k^y$  тегади. Шу йўсинда « $K$ » тугунига бошқа қарама-қарши тугулардан ҳам (агар мавжуд бўлса) яримталик моментлар келиб қўшилади, натижада « $K$ » тугунининг дастлабки мувозанати бузилади. Бирок энди бу сафар « $K$ » тугунидаги мувозанатлашмаган моментнинг қиймати аввалгисидан кичикроқ бўлади. Ҳисобнинг навбатдаги жараёнида бу моментни яна қайта тақсимлаймиз. Қайта тақсимлаш амали бир неча марта тақорорланганда, тугундаги мувозанатлашмаган моментнинг қиймати тобора нолга якинлашиб боради. Қайта тақсимлаш амали тугагач, стержень учидаги моментлар йиғинди топилади. Ана шу йиғинди момент натижавий момент ҳисобланади.

Тугуларни бирин-кетин мувозанатлаш усулиниң моҳияти ана шундан иборат.

## 1- боб

### ҚУРИЛИШ МЕХАНИКАСИ МАСАЛАЛАРИГА МАТРИЦАЛАР НАЗАРИЯСИННИНГ ТАДБИКИ

#### 11.1. МАТРИЦАЛАР ҲАҚИДА ТЎШУНЧА

Устун ва қаторлари сони  $m$  ва  $n$  бўлган жадвал кўринишидаги ифодалар тизими матрица  $A$  деб аталади.

Ўлчами  $m \times n$  бўлган матрица  $A$  қуйидаги кўринишда ёзилади:

$$A = \begin{bmatrix} a_{11} & a_{12} & \dots & a_{1n} \\ a_{21} & a_{22} & \dots & a_{2n} \\ \dots & \dots & \dots & \dots \\ a_{m1} & a_{m2} & \dots & a_{mn} \end{bmatrix}$$

Матрикалар хар хил хусусий күринишга эга бўлиб, турли номлар билан юритилади. Масалан, устунлар сони  $n=1$  бўлган, яъни якка устундан ташкил топган матрица — устун матрица деб аталади.

$$A_1 = \begin{bmatrix} a_1 \\ a_2 \\ \vdots \\ a_m \end{bmatrix}$$

Қаторлари сони  $m=1$  бўлган матрица эса қатор матрица деб юритилади:

$$A_1 = [a_1 \ a_2 \ \dots \ a_n]$$

Элементлар устун ва қаторлар тартиби  $m=n$  бўлган матрикалар  $m$  тартибли квадрат матрица деб юритилади. Квадрат матрица тартибига тенг бўлган аникловчи матрица аникловчиси деб аталади ва куйидагича белгиланади:

$$[A] \rightarrow D(A) \quad (11.1)$$

Агарда  $D(A)=0$  бўлса,  $A$  матрицани хусусий, бошка холларида нохусусий, яъни расмий матрица деб юритилади. Олий математика курсида баён этилган тушунчага биноан аникловчи куйидаги формуладан топилади:

$$D(A) = \begin{bmatrix} a_{11} & a_{12} & \dots & a_{1n} \\ a_{21} & a_{22} & \dots & a_{2n} \\ \dots & \dots & \dots & \dots \\ a_{m1} & a_{m2} & \dots & a_{mn} \end{bmatrix} = a_{11}a_{22}^{(1)}a_{33}^{(2)} \dots a_{nn}^{(n-1)}. \quad (11.2)$$

бу ерда

$$a_{ii}^{(i-1)} = a_{ii} - \sum_{j=1}^{i-1} \frac{a_{ij}^{(i-1)}}{a_{jj}^{(i-1)}} a_{ji}^{(i-1)}$$

$$a_{ij}^{(j-1)} = a_{ij} - \sum_{R=1}^{j-1} \frac{a_{RR}^{(R-1)}}{a_{RR}^{(R-1)}} a_{Rj}^{(R-1)}$$

$$a_{ji}^{(j-1)} = a_{ji} - \sum_{R=1}^{j-1} \frac{a_{jR}^{(R-1)}}{a_{RR}^{(R-1)}} a_{Ri}^{(R-1)}$$

Масалан, иккинчи ва учинчи тартибли аниқловчилар қуийдагича ёйлади:

$$D(A) = \begin{bmatrix} a_{11} & a_{12} \\ a_{21} & a_{22} \end{bmatrix} = a_{11}a_{22} - a_{12}a_{21}$$

$$D(A) = \begin{bmatrix} a_{11} & a_{12} & a_{13} \\ a_{21} & a_{22} & a_{23} \\ a_{31} & a_{32} & a_{33} \end{bmatrix} = a_{11}a_{22}a_{33} + a_{13}a_{21}a_{32} + a_{12}a_{23}a_{31} - a_{13}a_{22}a_{31} - a_{11}a_{23}a_{32} - a_{33}a_{12}a_{21}$$

Агар түртбұрчаклы матрица ( $m \times n$ ) нинг баъзи катор ҳамда устунларини ўчирсак, ҳар хил тартибли квадрат матрицалар ҳосил бўлади.

Масалан, берилган A матрицадан ( $m=3, n=4$ )

$$A = \begin{bmatrix} a_{11} & a_{12} & a_{13} & a_{14} \\ a_{21} & a_{22} & a_{23} & a_{24} \\ a_{31} & a_{32} & a_{33} & a_{34} \end{bmatrix}$$

тўртта III — тартибли, ўн саккизта II — тартибли ва ўн иккита I — тартибли матрицалар ҳосил килиш мумкин.

Матрица элементларининг алгебраик тўлдирувчи си деб,  $D(A)$  аниқловчидан  $a_{ij}$  элементли катор ва устунларни ўчириб, топилган  $(-1)^{i+5}$  ишорали аниқловчига айтилади.

Агар иккита бир хил тартибли A ва B матрицаларнинг бир хил жойлашган ҳар бир элементи ўзаро тенг бўлса, яъни

$$A = \begin{bmatrix} a_{11} & a_{12} & \dots & a_{1n} \\ a_{21} & a_{22} & \dots & a_{2n} \\ \dots & \dots & \dots & \dots \\ a_{m1} & a_{m2} & \dots & a_{mn} \end{bmatrix} = \begin{bmatrix} b_{11} & b_{12} & \dots & b_{1n} \\ b_{21} & b_{22} & \dots & b_{2n} \\ \dots & \dots & \dots & \dots \\ b_{m1} & b_{m2} & \dots & b_{mn} \end{bmatrix} = B$$

бу ерда  $a_{ij} = b_{ij}$  ( $i = \overline{1, m}, j = \overline{1, n}$ )

у ҳолда бу матрицаларни тенг матрицалар дейиш мүмкін.

Агар  $A$  матрицаның қаторларини устунга, устунларини эса қаторға айлантириб ёсқак, у ҳолда  $A$  матрицага нисбатан  $A'$  — транспонирланган матрица хосил бўлади, яъни

$$A = \begin{bmatrix} a_{11} & a_{12} & \dots & a_{1n} \\ a_{21} & a_{22} & \dots & a_{2n} \\ \dots & \dots & \dots & \dots \\ a_{m1} & a_{m2} & \dots & a_{mn} \end{bmatrix} \quad A' = \begin{bmatrix} a_{11} & a_{21} & \dots & a_{m1} \\ a_{12} & a_{22} & \dots & a_{m2} \\ \dots & \dots & \dots & \dots \\ a_{1n} & a_{2n} & \dots & a_{mn} \end{bmatrix}$$

Устун матрица  $A$  нинг транспонирланган кўриниши қатор матрица бўлади:

$$A' = [a_1 \ a_2 \ \dots \ a_m]$$

## 11.2. ҚУРИЛИШ МЕХАНИКАСИ МАСАЛАЛАРИДА УЧРАЙДИГАН МАТРИЦА ВА ВЕКТОРЛАР

Қурилиш механикасида матрицалар статик аниқ ва ноани қ балка, ферма, арка, рама ва бошқа конструкцияларни ҳисоблашда кенг қўлланилади.

Матрицалар энг мураккаб ҳисобларни ЭҲМ га программалаштиришда ўзининг ихчам ва яхлитлиги ҳамда универсаллиги билан ажралиб туради. ЭҲМ ва ҳисоблаш математикаси ривожланган сари матрицалар қурилиш механикасининг барча бўлимларига жадал суръатда кириб бормокда.

Юқорида келтирилган кўчишларнинг ўзаро боғланиши ҳакидаги Максвел теоремасига асосан қурилиш механикаси масалаларида учрайдиган матрицаларнинг қўшини элементлари  $a_{ij} = a_{ji}$  бўлади. Натижада бу матрица симметрик бўлиб, квадрат кўринишига эга бўлади.

Қурилиш механикасида диагонал

$$A = \begin{bmatrix} a_{11} & & 0 & \dots & 0 \\ 0 & & a_{22} & \dots & 0 \\ \dots & & \dots & \dots & \dots \\ 0 & & 0 & \dots & a_{nn} \end{bmatrix} \quad a_{ij} = 0 \quad i \neq j$$

лентасимон

$$A = \begin{bmatrix} a_{11} & a_{21} & & & & \\ a_{21} & a_{22} & a_{23} & & & \\ a_{32} & a_{33} & a_{34} & & & \\ & \ddots & \ddots & \ddots & & \\ & & & a_{m-1, m-2} & a_{m-1, m-1} & a_{m-1, m} \\ & & & & a_{mm} & a_{m, m-1} \end{bmatrix}$$

бирлик ва ноллик

$$E = \begin{bmatrix} 1 & 0 & 0 & \dots & 0 \\ 0 & 1 & 0 & \dots & 0 \\ \dots & \dots & \dots & \dots & \dots \\ 0 & 0 & 0 & \dots & 1 \end{bmatrix} \quad A = 0$$

$$aij = 0 \quad i=j=1, m$$

матрикалардан көнг фойдаланилади.

Үндән ташқари юқори ёки пастки учбурчак матрица-лардан

$$A = \begin{bmatrix} a_{11}^1 & a_{12} & a_{13} & \dots & a_{1n} \\ a_{22} & a_{23} & \dots & a_{2n} \\ a_{33} & \dots & a_{3n} \\ \dots & & & & \\ a_{nn} \end{bmatrix} \quad A = \begin{bmatrix} a_{11} \\ a_{21} & a_{22} \\ a_{31} & a_{32} & a_{33} \\ \dots & \dots & \dots & \dots \\ a_{n1} & a_{n2} & a_{n3} & \dots & a_{nn} \end{bmatrix}$$

хам фойдаланилади.

Юқори тартибли статик ноанык масалаларни умуман катта тартибли тенгламаларни ЭХМ да ечишни осонлаштириш учун блоксимон ва квази матрикалар күлланилади.

Блоксимон матрица хосил қилиш учун матрица  $A$  дан горизонтал ва вертикаль чизиклар ўтказиб бир неча блокларга бўлинади:

$$A = \left[ \begin{array}{ccc|cc|cc} a_{11} & a_{12} & a_{13} & a_{14} & a_{15} & a_{16} \\ a_{21} & a_{22} & a_{23} & a_{24} & a_{25} & a_{26} \\ \hline a_{31} & a_{32} & a_{33} & a_{34} & a_{35} & a_{36} \\ \dots & \dots & \dots & \dots & \dots & \dots \\ a_{61} & a_{62} & a_{63} & a_{64} & a_{65} & a_{66} \end{array} \right]$$

$$A_{11} = \begin{bmatrix} a_{11} & a_{12} & a_{13} \\ a_{21} & a_{22} & a_{23} \end{bmatrix} \quad A_{12} = \begin{bmatrix} a_{14} \\ a_{24} \end{bmatrix} \quad A_{13} = \begin{bmatrix} a_{15} & a_{16} \\ a_{25} & a_{26} \end{bmatrix}$$

$$A_{21} = \begin{bmatrix} a_{31} & a_{32} & a_{33} \\ a_{41} & a_{42} & a_{43} \\ a_{51} & a_{52} & a_{53} \\ a_{61} & a_{62} & a_{63} \end{bmatrix} \quad A_{22} = \begin{bmatrix} a_{34} \\ a_{44} \\ a_{54} \\ a_{64} \end{bmatrix} \quad A_{23} = \begin{bmatrix} a_{35} & a_{36} \\ a_{45} & a_{46} \\ a_{55} & a_{56} \\ a_{65} & a_{66} \end{bmatrix}$$

У ҳолда матрица А нинг элементларини матрица кўрининишида ифодалаш мумкин:

$$A = \begin{bmatrix} A_{11} & A_{12} & A_{13} \\ A_{21} & A_{22} & A_{23} \end{bmatrix}$$

Бундай матрица блоксимон матрица деб қабул қилинган.

Агар блоксимон матрицанинг қўшни элементлари ноль бўлса, бундай матрикалар квазидиагонал:

$$A = \begin{bmatrix} A_{11} & & & & \\ & A_{12} & & & \\ & & A_{13} & & \\ & & & \ddots & \\ & & & & A_{RR} \end{bmatrix}$$

баъзилари ноль бўлса,

$$A = \begin{bmatrix} A_{11} & A_{12} & & & \\ A_{21} & A_{22} & & & \\ & & A_{32} & A_{33} & A_{34} \\ & & \cdots & \cdots & \cdots \\ & & & A_{R\ R-1} & A_{RR} \end{bmatrix}$$

квазилентасимон матрица деб юритилади.

Илгари кўриб ўтилган куч ёки кўчишлар усулининг каноник тенгламалари тизимини матрица кўрининишида куйидагича ёзиш мумкин:

$$Ax + B = 0 \text{ ёки } Kz + P = 0 \quad (11.3)$$

бу ерда  $A, K$  — тенгламалардаги коэффициентлар матрицаси;

$x, z$  — номаълум куч ва кўчишлар матрицаси;

$B, P$  — озод ҳадлар матрицалари.

Шу кўринишга эга бўлган тенгламаларни ЭҲМ да матрицалар ёрдамида ҳисоблаш кенг имкониятларга эга. Бу имкониятлар қуидагилардан иборат:

- юкори тартибли статик ноаниқ масалаларни ечиш;
- иншоотга бир неча хил ташки кучлар таъсир этса, тенгламаларни тескари матрицалар оркали бир марта ечиш;
- ҳисоб ишларини соддалаштириш ҳамда натижасини ҳақиқатга яқинлаштириш каби имкониятларга эга.

Бунинг учун, яъни номаълум векторларни

$$x = \begin{bmatrix} x_1 \\ x_2 \\ \vdots \\ x_n \end{bmatrix} \quad \text{ёки} \quad z = \begin{bmatrix} z_1 \\ z_2 \\ \vdots \\ z \end{bmatrix}$$

топиш учун, қуидаги матрица амаллари бажарилади:

$$x = -A^{-1}B \quad \text{ёки} \quad z = -K^{-1}P \quad (11.4)$$

$A^{-1}, K^{-1}$  кўринишига эга бўлган тескари матрицадан фойдаланилади.

Тескари матрицаларни топиш ёки математик ибора билан айтганда, матрицаларни алмаштириш — чизикли алгебранинг энг муҳим масалаларидан бири ҳисобланади.

### 11.3. МАТРИЦАЛАР УСТИДАГИ АМАЛЛАР

$A$  ва  $B$  матрицаларни кўшиш ёки айириш амалларини фақат уларнинг тартиблари бир хил, яъни қатор ва устунлари сони тенг бўлгандагина бажариш мумкин:

$$c = A \pm B = \begin{bmatrix} a_{11} & a_{12} & \dots & a_{1n} \\ a_{21} & a_{22} & \dots & a_{2n} \\ \dots & \dots & \dots & \dots \\ a_{n1} & a_{n2} & \dots & a_{nn} \end{bmatrix} \pm \begin{bmatrix} b_{11} & b_{12} & \dots & b_{1n} \\ b_{21} & b_{22} & \dots & b_{2n} \\ \dots & \dots & \dots & \dots \\ b_{n1} & b_{n2} & \dots & b_{nn} \end{bmatrix} =$$

$$= \begin{bmatrix} c_{11} & c_{12} & \dots & c_{1n} \\ c_{21} & c_{22} & \dots & c_{2n} \\ \dots & \dots & \dots & \dots \\ c_{n1} & c_{n2} & \dots & c_{nn} \end{bmatrix}$$

бу ерда  $c_{ij} = a_{ij} \pm b_{ij}; i = \overline{1, n}; j = \overline{1, n}$

Матрица устидаги қўшиш ва айриш амаллари кўйидаги алгебрик боғланишларга эга:

$$A + B = B + A; (A + B) + C = A + (B + C); A + 0 = A$$

$A(m \times p)$  матрицасини  $B(p \times n)$  матрицасига кўпайтириш учун  $A$  матрицанинг устунлар сони  $B$  матрицанинг каторлар сонига тенг бўлиши шарт. Буларгинг кўпайтмасдан ҳосил бўлган  $C = A \cdot B$  матрица элеменлари кўйидаги кўпайтмалар йигиндисига тенгдир:

$$c_{ij} = a_{i1}b_{1j} + a_{i2}b_{2j} + \dots + a_{ip}b_{pj} = \sum_{k=1}^p a_{ik}b_{kj}$$

Яна шунга эътибор бериш керакки,  $A$  ва  $B$  матрицалар ўзаро мос бўлгандагина кўпайтириш мумкин.

Масалан:

$$A = \begin{bmatrix} a_{11} & a_{12} & a_{13} \\ a_{21} & a_{22} & a_{23} \\ a_{31} & a_{32} & a_{33} \end{bmatrix} \text{ ва } B = \begin{bmatrix} b_{11} & b_{12} \\ b_{21} & b_{22} \\ b_{31} & b_{32} \end{bmatrix} \quad C = A \cdot B = \begin{bmatrix} c_{11} & c_{12} \\ c_{21} & c_{22} \\ c_{31} & c_{32} \end{bmatrix}$$

бу ерда

$$c_{11} = a_{11}b_{11} + a_{12}b_{12} + a_{13}b_{31} \text{ ва х. к.}$$

Агарда  $A$  ва  $B$  матрицаларининг тааллукли тартиблари тенг бўлмаса, уларни кўпайтириб бўлмайди ва бундай матрицалар мос бўлмаган матрицалар дейилади.

Масалан, юкоридаги  $B$  ва  $A$  матрицалар ўзаро мос эмас, чунки уларни  $B \cdot A$  кетма-кетликда кўпайтириб бўлмайди. Аксинча, икки матрица  $A$  ва  $B$  ўзаро мос бўлиб, уларнинг кўпайтмалари мавжуд:

$$A = \begin{bmatrix} a_{11} & a_{12} \\ a_{21} & a_{22} \\ a_{31} & a_{32} \end{bmatrix} \quad B = \begin{bmatrix} b_{11} & b_{12} & b_{13} \\ b_{21} & b_{22} & b_{23} \end{bmatrix}$$

Чунки матрица амалларыда  $AB \neq BA$  бўлади.

Бу тенгсизлик икки матрица квадрат ва тенг тартибли (мос матрицалар) бўлганда ҳам сакланади.

Квадрат матрицалар учун қуйидаги кўпайтмалар бўлиши мумкин:

$$A^n = A^{n-1} \cdot A = A \cdot A^{n-1} = A, R — бутун сон$$

$A$  матрицасини  $\alpha$  миқдорга кўпайтириш қуйидагича бажарилади:

$$C = \alpha A = \alpha \begin{bmatrix} a_{11} & a_{12} & \dots & a_{1n} \\ a_{21} & a_{22} & \dots & a_{2n} \\ \dots & \dots & \dots & \dots \\ a_{n1} & a_{n2} & \dots & a_{nn} \end{bmatrix} = \begin{bmatrix} \alpha a_{11} & \alpha a_{12} & \dots & \alpha a_{1n} \\ \alpha a_{21} & \alpha a_{22} & \dots & \alpha a_{2n} \\ \alpha a_{n1} & \alpha a_{n2} & \dots & \alpha a_{nn} \end{bmatrix}$$

Умуман матрицаларни кўпайтиришда қуйидаги алгебрик боғланишлардан фойдаланиш мумкин:

$$(\alpha + \beta)A = \alpha A + \beta A$$

$$\alpha(A + B) = \alpha A + \alpha B$$

$$(\alpha\beta)A = \alpha(\beta A) = \beta(\alpha A)$$

$$(AB)C = A(BC)$$

$$\alpha(AB) = (\alpha A)B = (\alpha B)A$$

$$(A + B)C = AC + BC$$

$$C(A + B) = CA + CB$$

$$AE = A$$

Матрицаларни кўпайтиришда қуйидаги хусусий ҳолатлар бўлиши мумкин:

1. Ҳадлари бир хил бўлса, ҳосил бўлган матрица қуйидаги кўринишга эга бўлади:

$$c = A \cdot B = \begin{bmatrix} a_{11} & a_{12} & \dots & a_{1n} \\ a_{21} & a_{22} & \dots & a_{2n} \\ \dots & \dots & \dots & \dots \\ a_{n1} & a_{n2} & \dots & a_{nn} \end{bmatrix} \cdot \begin{bmatrix} \beta & 0 & \dots & 0 \\ 0 & \beta & \dots & 0 \\ \dots & \dots & \dots & \dots \\ 0 & 0 & \dots & \beta \end{bmatrix} = \beta A = BA$$

2. Икки диагонал матрицалар кўпайтмаси

$$C = A \cdot B = \begin{bmatrix} a_1 & & 0 \\ & a_2 & \\ 0 & \dots & a_n \end{bmatrix} \cdot \begin{bmatrix} \beta_1 & & \\ & \beta_2 & \\ & \dots & \beta_n \end{bmatrix} = BA$$

ком мутацион хусусиятга эга.

3. Тенг тартибли устун матрица  $A$  ни қатор матрица  $B$  га кўпайтмаси шу тартибга тенг квадрат матрица хосил килади:

$$c = A \cdot B = \begin{bmatrix} a_1 \\ a_2 \\ \vdots \\ a_n \end{bmatrix} [b_1 \ b_2 \dots \ b_n] = \begin{bmatrix} a_1 b_1 & a_1 b_2 \dots & a_1 b_n \\ a_2 b_1 & a_2 b_2 \dots & a_2 b_n \\ \vdots & \vdots & \vdots \\ a_n b_1 & a_n b_2 \dots & a_n b_n \end{bmatrix}$$

4. Тенг тартибли қатор матрица  $A$  ни устун матрица  $B$  га кўпайтмаси скаляр  $C$  га тенгдир,

$$c = [a_1 \ a_2 \dots \ a_n] \begin{bmatrix} b_1 \\ b_2 \\ \vdots \\ b_n \end{bmatrix} = \sum_{i=1}^n a_i b_i$$

5. Квадрат матрица  $A$  нинг вектор устун  $B$  матрицага кўпа йтмаси устун матрица  $C$  га тенгдир:

$$C = A \cdot B = \begin{bmatrix} a_{11} & a_{12} & a_{1n} \\ a_{21} & a_{22} \dots & a_{2n} \\ \vdots & \vdots & \vdots \\ a_{n1} & a_{n2} \dots & a_{nn} \end{bmatrix} \begin{bmatrix} b_1 \\ b_2 \\ \vdots \\ b_n \end{bmatrix} = \begin{bmatrix} C_1 \\ C_2 \\ \vdots \\ C_n \end{bmatrix} \quad c_i = \sum_{j=1}^n a_{ij} b_j$$

Кури лиш механикасида кўлланиладиган матрикаларнинг аксарияти тенгламалар тизимици тузиш ва уларни ечишга қаратилган. Агар  $A$  ва  $B$  матрица уларнинг кўпайтмаси  $AB$  ва  $BA$  бирлик матрицага тенг бўлса, улар тескари матрица хисобланади:  $AB = BA = E$

Чизикли математикада  $A$  матрицасининг тескари кўренишини  $A^{-1}$  деб, ёки  $B = A^{-1}$  деб қабул қилинган.

Ҳар қандай тўлик квадрат матрица ўзининг тескари матрицасига эгадир ва у қуйидагича ифодаланади:

$$A^{-1} = \frac{1}{D(A)} \begin{vmatrix} A_{11} & A_{21} & \dots & A_{n1} \\ A_{12} & A_{22} & \dots & A_{n2} \\ \dots & \dots & \dots & \dots \\ A_{1n} & A_{2n} & \dots & A_{nn} \end{vmatrix} \quad (11.5)$$

Бу ерда  $A_{ij}$  —  $A$  матрица аниқловчисининг алгебрик тўлдирувчисидир.

$A_{ij}$  — матрицасининг элементлари  $A$  матрицасининг аниқловчисидаги  $i$  — катор ва  $j$  — устунларни ўчирганда ҳосил бўлган аниқловчига  $(-1)$  ни кўпайтириб хисобланади.

Шунга эътибор бериш керакки, қурилиш мөханикаси масалаларини ечаётганда ва текшираётганда, қуйидаги боғланишлардан фойдаланиш мумкин:

$x = -A^{-1}AE$  бу эса  $A^{-1}A = E$  — бирлик матрицасидир.

Юкорида кўрсатилганидек, номаълум ҳадлар матрицаси  $x = -A^{-1}B$  (11.4) тескари  $A^{-1}$  матрицаси орқали топилади.

$A$  матрица  $D(A) = 0$  бўлгандагина тескари  $A^{-1}$  матрицасига эга бўла олади.

**Мисол.**  $A$  матрицасининг тескари қиймати алгебрик тўлдирувчилар орқали топилсин.

Берилган:

$$A = \begin{vmatrix} 1 & 2 & -1 \\ 3 & 0 & 2 \\ 4 & -2 & 5 \end{vmatrix}$$

Алгебрик тўлдирувчилар қуйидагича аниқланади:

$$A_{11} = \begin{vmatrix} 0 & 2 \\ -2 & 5 \end{vmatrix} = 4; \quad A_{21} = \begin{vmatrix} 3 & 2 \\ 4 & 5 \end{vmatrix} = -7;$$

$$A_{31} = \begin{vmatrix} 3 & 0 \\ 4 & -2 \end{vmatrix} = -6; \quad A_{12} = \begin{vmatrix} 2 & -1 \\ -2 & 5 \end{vmatrix} = -8;$$

$$A_{22} = \begin{vmatrix} 1 & -1 \\ 4 & 5 \end{vmatrix} = 9; \quad A_{32} = -\begin{vmatrix} 1 & 2 \\ 4 & -2 \end{vmatrix} = 10;$$

$$A_{13} = \begin{vmatrix} 2 & -1 \\ 0 & 2 \end{vmatrix} = 4; A_{23} = - \begin{vmatrix} 1 & -1 \\ 3 & 2 \end{vmatrix} = -5;$$

$$A_{33} = \begin{vmatrix} 1 & 3 \\ 3 & 0 \end{vmatrix} = -6$$

Демак, тескари матрица  $A$  нинг тўлдирувчиси

$$A = \begin{vmatrix} 4 & 8 & 4 \\ -7 & 9 & -5 \\ -6 & 10 & -6 \end{vmatrix}$$

куйидаги аникловчига эга бўлиб:

$$D(A) = 16 + 6 + 4 - 30 = -4$$

$$A^{-1} = -\frac{1}{4} \begin{vmatrix} 4 & -8 & 4 \\ -7 & 9 & -5 \\ -6 & 10 & -6 \end{vmatrix} \text{ га тенгдир.}$$

Тўртинчи ва ундан юқори тартибли матрицаларни алмаштириш ва уларни тескари кийматларини аниклаш анча мураккаб масала хисобланади.

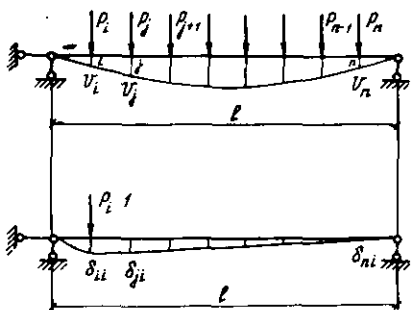
Шунинг учун бундай масалаларни ечишда ЭХМ ва матрица амалларидан фойдаланилади. Замонавий ЭХМларда тартиби 50—100, ҳаттоти 500—700 ва ундан юқори бўлган матрицаларнинг тескари кийматларини аниклаш имкониятига эга бўлган стандарт дастурлар мавжуддир.

#### 11.4. МАТРИЦАЛАРНИ СТАТИК АНИҚ БАЛКАЛАР ХИСОБИГА ТАДБИКИ

Конструкцияларни матрицалар ёрдамида хисоблашда барча бошланғич ахборот матрица кўринишига келтирилади.

Масалан, элементнинг ва элементлар йигиндисининг эластиклик хусусияти мойиллик ёки бикирлик матрицалари орқали ифодаланади. Бу матрицалар ташки куч билан шу кучлар йўналиши бўйлаб элементда ҳосил бўлувчи кўчишларнинг ўзаро боғлиқлигини ифодалайди.

Агар кўчишлар кучлар орқали ифодаланса, у ҳолда бу матрица мойиллик, аксинча, кучлар кўчишлар орқали ифодаланса, бикирлик матрицаси деб аталади.



11.1-расм

дасидан фойдалансак, ихтиёрий кесимнинг  $P_i=1$  йўналиши бўйича кўчиши барча ташки кучларнинг шу йўналиш бўйича кўчишлари йигиндисига тенг бўлади, яъни

$$v_i = \delta_{ii}P_i + \delta_{ij}P_j + \dots + \delta_{in}P_n;$$

бу ерда  $\delta_{ii}$  —  $i$  кесимнинг  $P_i=1$  йўналиши бўйлаб кўчиши;  
 $\delta_{ij}$  —  $i$  кесимнинг  $P_j$  йўналиши бўйлаб  $P_j=1$  кучидан хосил бўлган кўчиши.

Колган  $j$  ва  $n$  кесимларининг кўчишлари айнан юкоридагидек топилади:

$$\begin{aligned} v_j &= \delta_{ij}P_i + \delta_{jj}P_j + \dots + \delta_{jn}P_n; \\ v_n &= \delta_{ni}P_i + \delta_{nj}P_j + \dots + \delta_{nn}P_n. \end{aligned} \quad (1.6)$$

Агарда матрица кўринишида ёзсан:

$$\begin{bmatrix} v_i \\ v_j \\ \vdots \\ v_n \end{bmatrix} = \begin{bmatrix} \delta_{ii} & \delta_{ij} & \dots & \delta_{in} \\ \delta_{ji} & \delta_{jj} & \dots & \delta_{jn} \\ \dots & \dots & \dots & \dots \\ \delta_{ni} & \delta_{nj} & \dots & \delta_{nn} \end{bmatrix} \cdot \begin{bmatrix} P_i \\ P_j \\ \vdots \\ P_n \end{bmatrix} \quad (11.7)$$

бу ерда  $\delta_{ii}=\delta_{jj}$  бўлиб, матрицанинг каторлар сони устунлар сонига тенг.

(11.7) ифоданинг содда кўриниши кўйидагича:

$$v_q = \delta_q \cdot P_q \quad (11.8)$$

бу ерда  $v_q$  —  $q$  — элементнинг кўчишлар матрицаси;  
 $P_q$  — ташки куч матрицаси;  
 $\delta_q$  — элементнинг майиллик матрицаси.

Элементлар йигиндисидан ташкил топган конструкциянинг кесимларидаги кўчишларини кўйидагича аниқлаш мумкин:

Содда балка ёрдамида (11.1-расм) майиллик матрицасини келтириб чи-каришни кўрсатамиз. Балканинг  $i, j \dots n$  кесимлари га қўйилган  $P_i, P_j$  ва  $P_n$  ташки кучлардан балканинг кесимларида  $v_i, v_j, \dots, v_n$  кўчишлар ҳосил бўлади ва улар  $P_i$  ларнинг майдорига боялиб бўлади.

Агарда кучлар таъсирининг мустакиллиги коин

$$\begin{bmatrix} v_1 \\ v_2 \\ \vdots \\ v_R \end{bmatrix} = \begin{bmatrix} \delta_1 & 0 & 0 & \dots & 0 \\ 0 & \ddots & \delta_2 & \dots & 0 \\ \dots & \dots & \dots & \dots & \dots \\ 0 & 0 & 0 & \dots & \delta_R \end{bmatrix} \begin{bmatrix} P_1 \\ P_2 \\ \vdots \\ P_R \end{bmatrix}$$

ёки қиска қилиб ёзганда,

$$v = f \cdot P$$

бу ерда  $v$  — элемент тугунларининг кўчиш матриаси;  
 $f$  — квазидиагонал мойиллик матриаси;  
 $P$  — куч матриаси.

### 11.5. ТАЪСИР ЧИЗИҚЛАРИНИНГ МАТРИЦА ИФОДАСИ. ТАЪСИР МАТРИСАСИ

Таъсир чизиклари орқали ички кучларни топишда матрица ифодаларида фойдаланиш бирмунча қулайликларга эга.

Агар балканинг ихтиёрий ( $r_1, r_2, r_3, \dots, r_n$ ) кесимларидан ташки кучлардан хосил бўлган ички куч  $S_k (M_k$  ва  $Q_k$ ) ларни топиш зарур бўлса, у холда куч матриасини куйдагича аниқлаш мумкин:

$$\bar{S}_k = b \bar{P} = \begin{bmatrix} b_{11} & b_{12} & \dots & b_{1n} \\ b_{21} & b_{22} & \dots & b_{2n} \\ \dots & \dots & \dots & \dots \\ b_{1R} & b_{2R} & \dots & b_{nR} \end{bmatrix} \begin{bmatrix} P_1 \\ P_2 \\ \vdots \\ P_R \end{bmatrix} \quad (11.9)$$

бу ерда  $b$  — таъсир матриаси ҳисобланиб, харакатланувчи бирлик кучдан  $R$  кесими учун чизилган таъсир чизиклари ординаталарини ифодалайди.

$$P = [P_1, P_2, \dots, P_R] — юк матриаси.$$

Таъсир матриаси эгувчи момент, кирқувчи куч ёки таянч реакцияларига тааллукли бўлиши мумкин.

Масалан, берилган балка  $k = (1, 2, 3, 4) \frac{l}{5}$  масофа-даги кесимларга бўлинниб,  $n = 1, 2, 3, 4$  нукталарга ташки кучлар қўйилган бўлсин. Ҳар бир кесим учун таъсир чизиклари (11.2-расм) чизилиб, улардан хосил бўлган ординаталар куйидаги матрицаларни ташкил килади:

$$b_{1i} = [4 \ 3 \ 2 \ 1] \quad b_{2i} = [3 \ 6 \ 4 \ 2] \\ b_{3i} = [2 \ 4 \ 6 \ 3] \quad b_{4i} = [1 \ 2 \ 3 \ 4]$$

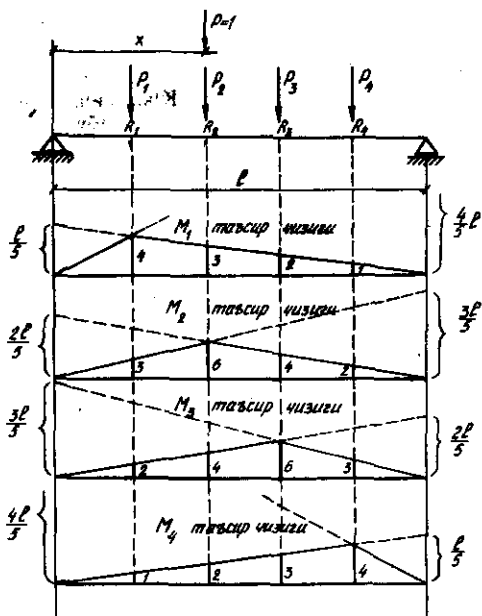
Бунинг маъноси шуки, биринчи кесимда эгувчи момент қуйидагига тенг бўлса:

$$M_1 = \frac{l}{25} (4P_1 + 3P_2 + 2P_3 + P_4)$$

матрица кўринишида қуйидагича аниқланади:

$$M_1 = \frac{l}{25} [4 \ 3 \ 2 \ 1] \begin{bmatrix} P \\ P \\ P \\ P \end{bmatrix}$$

Кўрилаётган мисол учун эгувчи моментнинг таъсир матрицаси қуйидагича бўлади:



11.2- р а с м

$$L_M = \frac{l}{h^2} L = \frac{l}{25} L = \frac{l}{25} \begin{bmatrix} 4 & 3 & 2 & 1 \\ 3 & 6 & 4 & 2 \\ 2 & 4 & 6 & 3 \\ 1 & 2 & 3 & 4 \end{bmatrix}$$

бу ерда  $m$  — тенг бўлаклар сони.

Таъсир матрицаси симметрик бўлса, ЭХМ ёрдамида бир нечта ҳаракатланувчи кучлар таъсир чизиқлари чизмасидан бир йўла  $M_k$  ва  $Q_k$  ларни топиш мумкин.

**Мисол.** 11.2-расмда кўрсатилган балкага  $P_1=50$  кН,  $P_2=2P_1$ ,  $P_3=3P_1$ ,  $P_4=P_1$  ташки кучлар таъсир этиб,  $l=10$  м бўлса,  $k=1,2,3,4$  кесимлардаги ички куч  $M_i$  топилсин.

Юкорида келтирилган умумий формуладан фойдалансак, куйидаги келиб чиқади:

$$M = \frac{10}{25} \begin{bmatrix} 4 & 3 & 2 & 1 & 50 \\ 3 & 6 & 4 & 2 & 100 \\ 2 & 4 & 6 & 3 & 150 \\ 1 & 2 & 3 & 4 & 50 \end{bmatrix} = \begin{bmatrix} 340 \\ 590 \\ 620 \\ 360 \end{bmatrix} \text{ кН}$$

Кўрининб, турибдики, таъсир матрицаси ички кучларни аниклашда талай қулагайликларга эга.

## 11.6. ФЕРМА СТЕРЖЕНЛАРИДАГИ ЗЎРИҚИШЛАРНИ МАТРИЦАЛАР ЁРДАМИДА АНИКЛАШ

Электрон ҳисоблаш машиналарининг кенг қўлланилиши конструкцияларни матрицалар ёрдамида ҳисоблашни чукур ўрганишга олиб келади. Айниқса, мураккаб, юкори тартибли статик ноаник масалаларнинг матрица кўрининшида ЭХМ ёрдамида ҳисобланиши ниҳоятда самарали бўлади.

Ихтиёрий  $n$  — та стержень ва  $q$  — та тугундан ташкил топган статик аниқ ясси ферма берилган бўлсин. Бу ферманинг элементларидағи зўриқишлиарни топиш учун ферманинг ҳар бир тугунига алоҳида, кетма-кет  $P_1=1$ ,  $P_2=1 \dots P_i=1 \dots P_q=1$  бирлик кучлар кўямиз ва ҳар биридан ферманинг ҳамма элементларида ҳосил бўладиган кучларни аниклаймиз. Ферманинг ихтиёрий  $i$  — элементида бирлик  $P_i=1$  кучидан ҳосил бўлган ички кучни  $b_{ij}$  деб белгилаймиз. У ҳолда қатори  $q$  — га ва устуни  $n$  —

га тенг бўлган берлик кучлар матрицаси  $b$  ни ҳосил қиласиз:

$$b = \begin{bmatrix} b_{11} & b_{12} & \dots & b_{1q} \\ b_{21} & b_{22} & \dots & b_{2q} \\ \dots & \dots & \dots & \dots \\ b_{n1} & b_{n2} & \dots & b_{nq} \end{bmatrix}$$

Агарда тугунларга қўйилган ташки кучларни  $q$  — тартибли устун матрица ёрдамида ифодаласак,

$$P = \begin{bmatrix} P_1 \\ P_2 \\ \vdots \\ P_3 \\ \vdots \\ P_q \end{bmatrix}$$

у ҳолда ферманинг ҳамма стерженларидаги ички кучлар матрицаси қўйидаги кўринишда ифодаланади:

$$S = \begin{bmatrix} S_1 \\ S_2 \\ \vdots \\ S_3 \\ \vdots \\ S_n \end{bmatrix}$$

Ички кучларнинг ўзи қўйидаги матрица амалидан келиб чиқади:

$$S = b \cdot p \quad (11.10)$$

Агар фермага бир неча ташки куч таъсир этса, ташки куч ва ички куч матрицалари қўйидаги кўринишга эга бўлади:

$$P^{qk} = \begin{bmatrix} P_1^I & P_1^{II} & \dots & P_1^k \\ P_2^I & P_2^{II} & \dots & P_2^k \\ \dots & \dots & \dots & \dots \\ P_q^I & P_q^{II} & \dots & P_q^k \end{bmatrix}, \quad S = \begin{bmatrix} S_1^I & S_1^{II} & \dots & S_1^k \\ S_2^I & S_2^{II} & \dots & S_2^k \\ \dots & \dots & \dots & \dots \\ S_n^I & S_n^{II} & \dots & S_n^k \end{bmatrix} = b P^{qk}$$

Ферма элементларининг чўзилиши ёки сикилиш деформациясини  $z_i$  деб белгиласак, у ҳолда ихтиёрий  $i$  — элементнинг деформацияси қуидагича аниқланади:

$$z_i = S_i l_i / E_i F_i = \delta_i S_i$$

бу ерда  $\delta_i = \frac{l_i}{E_i F_i}$   $i$  — элементнинг мойиллиги,

Ферманинг ҳамма элементларидағи чўзилишлар қуидагича аниқланади:

$$z_1 = \delta_1 S_1$$

$$z_2 = \delta_2 S_2$$

$$\dots$$

$$z_n = \delta_n S_n$$

ёки матрица кўринишида

$$z = \delta S_p$$

бу ерда

$$z = \begin{bmatrix} z_1 \\ z_2 \\ \vdots \\ \vdots \\ z_n \end{bmatrix}$$

матрица устун — ферма стерженларидаги чўзилишлар.

$$\delta = \begin{bmatrix} \delta_1 & & 0 \\ & \ddots & \\ 0 & & \delta_n \end{bmatrix}$$

диагонал матрица, ферманинг мойиллик матрицаси.

Агар фермага турли хил ташки куч таъсир этса, у ҳолда

$$\bar{z} = \begin{bmatrix} z_1^I & z_1^{II} & \dots & z_1^k \\ z_2^I & z_2^{II} & \dots & z_2^k \\ \dots & \dots & \dots & \dots \\ z_n^I & z_n^{II} & \dots & z_n^k \end{bmatrix}$$

бўлади.

Ферма тугунларининг деформацияси, яъни кўчишини топиш учун Мор ёки Верешчагин усулларидан фойдаланиб, шу тугунда изланадиган кўчиш  $z_i$  йўналиши бўйлаб  $P_i=1$  куч кўйилади.

Кўчиш  $z_i$  қўйидаги амалдан фойдаланиб топилади:

$$z_i = \sum_{i=1}^{i=n} \frac{S_{ij} S_{ip} l_i}{E_i \Delta_i} = \sum_{i=1}^n S_{ij} v_{ip} \quad (11.11).$$

бу ерда  $S_{ij}$  — ферманинг  $i$  — элементида  $j$  — йўналиши бўйлаб  $P_i=1$  кучидан ҳосил бўлган куч;

$v_{ip}$  — ферманинг  $i$  — элементидаги ташки кучдан ҳосил бўлган кўчиш.

Бу формуланинг матрица кўриниши қўйидагича ёзилади:

$$z_i = S^i \bar{v}_p,$$

бу ерда  $S^i$  юкоридаги  $S_i$  матрицанинг транспонирланган кўриниши.

Агарда  $\bar{v}_p$  — учун юкорида топилган матрицадан фойдаланилса,

$$z = S^i \delta S_p$$

келиб чиқади.

Агар ферманинг ҳар бир тугунининг кўчиши аникланилиши зарур бўлса, у ҳолда ҳар бир тугунга изланадиган кўчиш йўналиши бўйлаб  $P_k=1$  кучи кўйилади. Сўнгра ҳар қайси куч таъсирида ферманинг барча элементларида ҳосил бўладиган ички кучлар топилади.

$$S_i = \begin{bmatrix} S_{11} & S_{12} & \dots & S_{1k} \\ S_{21} & S_{22} & \dots & S_{2k} \\ \dots & \dots & \dots & \dots \\ S_{n1} & S_{n2} & \dots & S_{nk} \end{bmatrix}$$

Бу матрицанинг ҳар бир устуни ферманинг элементларида  $i$  — тугунга қўйилган  $P_i=1$  кучдан ҳосил бўлган кучларни ифодалайди.

Демак, ферманинг барча тугунларида кўчишлар қуидагича топилади:

$$\bar{z} = S'_i \delta S_p$$

бу ерда

$$\bar{z} = \begin{bmatrix} Z_1 \\ Z_2 \\ \vdots \\ \vdots \\ Z_k \end{bmatrix}$$

— ферма тугунларидаги изланётган кўчишлар матрица;  $S'_i - S_i$  нинг транспонирланган кўриниши.

Агар тугун кўчишларини ташки кучларга боғласак, у ҳолда

$$\bar{z} = S_i \delta b P$$

бўлади.

Шуни айтиш керакки, кўчишлар йўналиши ташки куч йўналишларига мос келса,

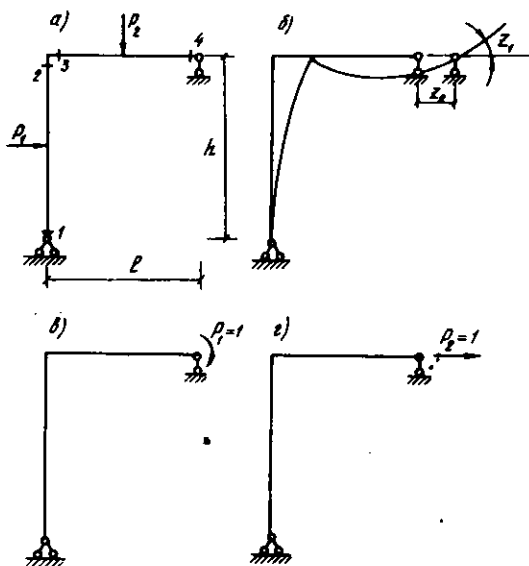
$$\bar{z} = b' \delta b P$$

кўринишда осон топилади.

#### 11.7. КЎЧИШЛАРНИ АНИҚЛАШНИНГ МАТРИЦА УСУЛИ

Мураккаб конструкциялардаги кўчишларни топиш матрицалар ёрдамида бажарилгани маъқулроқдир, чунки бу амал бир мунча осон, аниқ ва ЭҲМ га ниҳоятда мосдир. Статик аниқ рамалар мисолида (11.3- расм, а) ташки  $P_k$  кучидан ҳосил бўлган кўчишларни аниклашни кўриб чиқамиз. Системанинг деформацияси тугунларининг кўчиши орқали ифодаланади (11.3- расм, б).

Чизмада келтирилган раманинг В нуктасидаги бурилиш бурчаги ҳамда шу нуқтанинг чизикли кўчиши ( $Z_1, Z_2$ ) ни аниклаш талаб этилади. Бунинг учун рамага ҳар бир изланётган кўчиш йўналиши бўйлаб бирлик ( $P=1$ ) кучларни кўямиз (11.3- расм, в, г).



11.3- р а с м

Күчишлар юкорида келтирилган (11.8) формула

$$v = fP$$

орқали топилади.

Келтирилган конструкциянинг мойиллик матрицаси унинг таркибий элементларининг мойиллик матрикалари  $\delta_i$  орқали ифодаланади. Бунда туташтирилган элементларнинг квазидиагонал кўринишига эга бўлган мойиллик матрицасидан фойдаланилади:

$$F = \begin{bmatrix} \delta_1 & 0 \\ \delta_2 & \dots \\ 0 & \delta_i \end{bmatrix}$$

Бу ерда

$\delta_i = \frac{l_i}{6EI_i} \begin{bmatrix} 2 & 1 \\ 1 & 2 \end{bmatrix}$  — раманинг  $i$  — элементи учун мойиллик матрицасидир.

Икки хил мойиллик матрикаларининг боғланишини таъминловчи куч матрикаси  $b$  — дан фойдаланамиз:

$$F = b'Db \quad (11.12).$$

бу ерда  $b$  — характерли кесимлардаги бирлик кучлардан ҳосил бўлган куч матрикаси;

$b'$  — характерли кесимдаги изланётган йўналишда кўйилган бирлик кучдан ҳосил бўлган куч матрикаси.

Агар конструкцияга бир хил ташки куч таъсир этса,

$$S_p = bP$$

кўчиш матрикаси матрица устун кўринишига

$$v = b'DS_p \quad (11.13)$$

ҳар хил ташки кучлар таъсир этса, кўчиш матрикаси тўртбурчак матрица кўринишига эга бўлади:

$$v = b'DbP.$$

Агарда кўчишлар фақат ташки куч кўйилган нуқтада шу куч йўналиши бўйлаб топилаётган бўлса, у ҳолда  $b' = b$  бўлади.

Юкорида кўрсатилган чизмадаги рама учун эса

$$v = \begin{bmatrix} v_1 \\ v_2 \end{bmatrix} = b'DbP = [b'_1 \ b'_2 \ b'_3 \ b'_4] \begin{bmatrix} D_1 \\ D_2 \end{bmatrix} \begin{bmatrix} b_1 \\ b_2 \end{bmatrix} \begin{bmatrix} P_1 \\ P_2 \end{bmatrix}.$$

Яесси рама, ферма ҳамда балкалардаги кўчишларни аниклашни осонлаштириш учун қўйида уларга мос мойиллик матрикаларини келтирамиз.

1. Рама элементининг мойиллик матрикаси:

$$F = \begin{bmatrix} \frac{l}{EF} & 0 & 0 & 0 & 0 & \frac{l}{EF} \\ 0 & \frac{l}{3EI_y} & \frac{l}{6EI_y} & 0 & 0 & 0 \\ 0 & -\frac{l}{6EI_y} & \frac{l}{3EI_y} & 0 & 0 & 0 \\ 0 & 0 & 0 & \frac{l}{3EI_y} & -\frac{l}{6EI_z} & 0 \\ 0 & 0 & 0 & -\frac{l}{6EI_y} & \frac{l}{3EI_z} & 0 \\ \frac{l}{EF} & 0 & 0 & 0 & 0 & \frac{l}{6EI_k} \end{bmatrix}$$

2. Ферма элементининг мойиллик матрикаси:

$$\delta_k = \frac{l_k}{EI_k} \begin{bmatrix} 1 & 1 \\ 1 & 1 \end{bmatrix}$$

3. Балка элементининг эгилишга доир мойллик матрикаси:

$$\delta_k = \frac{l_k}{6EI^k} \begin{bmatrix} 2 & -1 \\ -1 & 2 \end{bmatrix}$$

Шуни айтиб ўтиш керакки, элементнинг мойиллик матрикасининг тескари қиймати шу элементнинг бикорлик матрикасими ифодалайди:

$$\delta^{-1} = \frac{\delta}{|\delta|} = \frac{\frac{l}{6EI} \begin{bmatrix} 2 & -1 \\ -1 & 2 \end{bmatrix}}{3 \left[ \frac{l}{EI} \right]^2} = \frac{2EI}{l} \begin{bmatrix} 2 & -1 \\ -1 & 2 \end{bmatrix} = k$$

#### II.8. СТАТИК НОАНИҚ СИСТЕМАЛАРНИ ҚУЧЛАР УСУЛИ БИЛАН ХИСОБЛАШНИНГ МАТРИЦА КҮРИНИШИ

Кучлар усулининг матрица күриниши, асосан шу усулнинг ҳамма амалларини матрица амаллари оркали ифодалашдан иборатдир.

Куч усулидаги каноник тенгламалар системасини матрица күринишида ёзсак, қуйидаги матрица күринишидаги тенглама ҳосил бўлади:

$$Ax + B = 0$$

$$A = \begin{bmatrix} \delta_{11} & \delta_{12} & \dots & \delta_{1n} \\ \delta_{21} & \delta_{22} & \dots & \delta_{2n} \\ \dots & \dots & \dots & \dots \\ \delta_{n1} & \delta_{n2} & \dots & \delta_{nn} \end{bmatrix}, \quad x = \begin{bmatrix} x_1 \\ x_2 \\ \vdots \\ x_n \end{bmatrix}, \quad B = \begin{bmatrix} \Delta_{1p} \\ \Delta_{2p} \\ \vdots \\ \Delta_{np} \end{bmatrix}$$

Бу ерда  $A$  — конструкциянинг мойиллик матрикаси;  
 $x$  — номаътум кучлар матрикаси;

$B$  — ташки юқдан ҳосил бўлган кўчишлар матрикаси.

Кучлар усулида бирлик кўчишлар  $\delta_{ij}$  ҳар хил усуллар ёрдамида (Верешчагин, Мор, Костельяно ва бошқалар)

топилган бўлса; матрица кўринишида шу кўчишларни ифодаловчи мойиллик матрицаси қуйидагича аникланади:

$$A = b'Db \quad (11.14)$$

бу ерда:  $b$  — таъсир матрицаси;

$D$  — туташтирилган элементларнинг мойиллик матрицаси;

$b'$  — транспонирланган таъсир матрицаси.

Раманинг таъсир матрицаси асосий системада бирлик кучлардан ҳосил бўлган  $\bar{M}$  эпюраси ординаталарини ифодалайди:

$$b = \begin{bmatrix} b_{11} & b_{12} & \dots & b_{1n} \\ b_{21} & b_{22} & \dots & b_{2n} \\ \dots & \dots & \dots & \dots \\ b_{n1} & b_{n2} & \dots & b_{nn} \end{bmatrix}$$

бу ерда  $b_{ij}$  — асосий системанинг  $i$  кесимидағи  $j$  кесимга қўйилган бирлик куч таъсирида ҳосил бўлган ички кучлар. Бу матрицанинг устунлар тартиби ноаниқлик даражаси  $n$  — га, каторлар тартиби эса характерли кесимлар ( $k = 1, 2, \dots, m$ ) га тенгдир.

Раманинг туташтирилмаган элементларининг мойиллик матрицаси квазидиагонал матрицадир:

$$D = \begin{bmatrix} D_1 & & & \\ & D_2 & & \\ & & \ddots & \\ & & & D_n \end{bmatrix}$$

Бу ерда  $D_k$   $k$  — элементнинг мойиллик матрицаси.

Элементнинг мойиллик матрицаси бирлик кучдан ҳосил бўлган элемент учларининг кўчишларини ифодаловчи матрицадир. Узунлиги  $l$ , бикирлиги ўзгармас  $EI$  бўлган балканинг мойиллик матрицаси қуйидагича ифодаланади:

$$D_i = \frac{l}{6EI_i} \begin{bmatrix} 2 & 1 \\ 1 & 2 \end{bmatrix}$$

Бунинг маъноси шуки, агар балканинг бир учиға бирлик куч қўйилган бўлса, шу учидаги  $\frac{l}{3EI}$  ва иккинчи учидаги  $\frac{l}{6EI}$  га тенг бўлган кўчиш ҳосил бўлади.

Асосий системада ташки кучдан ҳосил бўлган кўчишлар матрицасини куйидагича топиш мумкин:

$$B = B_p P = b' D P$$

Бу ерда:  $B_p$  — асосий системада бирлик кучдан ҳосил бўлган кўчиш

$$B_p = b' D$$

$P$  — ташки куч матрицаси.

Юқоридаги матрица кўриннишидаги тенгламадан номаълум куч матрицаси куйидагича топилади:

$$x = -A^{-1}B = -(b'Db)^{-1}B_p P = -(b'Db)^{-1}b'DP \quad (11.17)$$

Бу ерда  $A^{-1}$  —  $A$  матрицасига нисбатан тескари матрица.

Раманинг характеристли кесимларида ҳосил бўлган ички куч матрицаси куйидагича аниқланади:

$$S = P + bx \quad (11.18)$$

Мазкур ифода (11.17)-ни эътиборга олинса; куйидаги кўринишга келади:

$$S = P - b(b'Db)^{-1}B_p P = [1 - b(b'Db)^{-1}B_p] P$$

Матрица хисоби натижаларини куйидагича текшириш мумкин:

$$b'DS = 0 \quad (11.19)$$

Агар конструкцияга таъсир этувчи ташки кучларни  $t$  гурӯхларга бўлинса, у ҳолда  $D$  матрицаси ўзгармай  $b_1 x$  ва  $S$  матрицаларида ҳар бир ташки куч учун устунлар ҳосил бўлади. Бунга сабаб каноник тенгламада ҳар бир ташки кучнинг озод ҳади ( $\Delta_{1p}, \Delta_{2p}, \dots, \Delta_{np}$ ) ва номаълум кучлари ( $x_1, x_2, \dots, x_n$ ) бордир. Шунинг учун умумий ҳолда кучлар усулининг каноник тенгламаси куйидаги матрица кўринишига келтирилган:

$$Ax = -B_p^t P$$

Бу ерда

$$x = \begin{bmatrix} x_1^{(1)} & x_1^{(2)} & \dots & x_1^{(t)} \\ x_2^{(1)} & x_2^{(2)} & \dots & x_2^{(t)} \\ \dots & \dots & \dots & \dots \\ x_n^{(1)} & x_n^{(2)} & \dots & x_n^{(t)} \end{bmatrix}; \quad B_p^t = \begin{bmatrix} \Delta_{1p}^{(1)} & \Delta_{1p}^{(2)} & \dots & \Delta_{1p}^{(t)} \\ \Delta_{2p}^{(1)} & \Delta_{2p}^{(2)} & \dots & \Delta_{2p}^{(t)} \\ \dots & \dots & \dots & \dots \\ \Delta_{np}^{(1)} & \Delta_{np}^{(2)} & \dots & \Delta_{np}^{(t)} \end{bmatrix}$$

$x_1^{(s)}, x_2^{(s)} \dots x_n^{(s)}$  — ташки кучдан хосил бўйган  
ортиқча номаълум куч;  
 $\Delta_{1p}^{(s)}, \Delta_{2p}^{(s)} \dots \Delta_{np}^{(s)}$  — ташки кучнинг бирлик  
кимматидан хосил бўлган озод ҳадлар.

Агарда ташки кучлар алоҳида таъсир этса,

$$P = \begin{bmatrix} P_1 & & & 0 \\ & P_2 & & \\ & & \ddots & \\ 0 & & & P_t \end{bmatrix}$$

бир вактда таъсир этса,

$$P = [P_1 P_2 \dots P]$$

кўринишда ёзилади.

Кучлар усулиниң матрица кўринишида хисоблаш тартиби қуйидагилардан иборат:

1. Асосий система танланиб, номаълум кучларнинг йўналишлари белгиланади.
2. Хар кайси ортиқча номаълум кучларнинг бирлик кимматларидан  $M$  эпюраси курилади.
3. Асосий системага нисбатан таъсир матрицаси  $b$  тузилади.
4. Таъсир матрицаси транспонирланади —  $b'$
5. Ташки юқ матрицаси  $P$  тузилади, кучлар бир нечта ( $t$ ) бўлганда  $P^t$  матрицаси тузилади.
6. Асосий системага нисбатан бирлик ташки кучдан  $B_p$  матрицаси тузилади.
7. Конструкциянинг туташтирилмаган элементлари учун мойиллик матрицаси тузилади.

8. Агар  $D$  матрицани  $b'$  матрицага күпайтириш жараёнида уларнинг тартиблари мос келмаса, у ҳолда  $D$  ёки  $B$  матрикаларнинг тартиблари келтирилади.

9. Раманинг мойиллик матрицаси аникланади:

$$A = b'Db$$

10. Мойиллик матрицасига тескари бўлган матрица  $A^{-1}$  аникланади:

$$A^{-1} = (b'Db)^{-1}$$

11. Ташқи юк матрицаси аникланади:

$$B^t = B_p P^t = b' D P^t$$

бу ерда  $t$  — матрицанинг устунлар тартибини билдириб,  $1, 2, \dots, t$  хил ташқи юкларни ифодалайди.

12. Номаълум кучлар матрицаси аникланади:

$$x^t = -A^{-1}B^t = -(b'Db)^{-1}B_p P^t = -(b'Db)^{-1}b'^t D P^t$$

13. Раманинг характерли кесимларидағи ички кучлар матрицаси аникланади:

$$S^t = (I - bx^t)P^t$$

14. Топилган матрицалар текширилади:

$$b'DS = 0$$

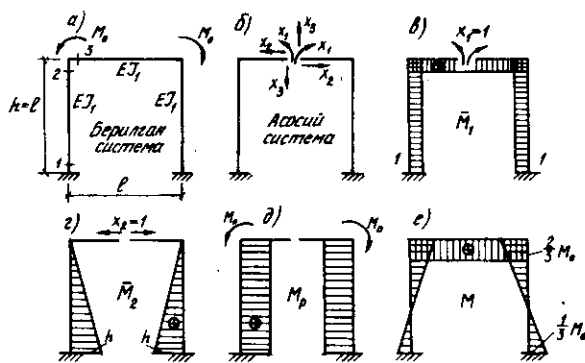
Демак, агар рамага ўзгармас вактинча ва бошка  $t$  хил ташқи кучлар таъсир этса, у ҳолда ички куч матрицаси  $S^t$  тескари  $A^{-1}$  матрицадан фойдаланиб топилади. Келтирилган алгоритмдан фойдаланиб, рамаларни ЭХМда хисоблаш дастури тузилади.

### Хисоблаш намунаси

**1- мисол.** Юқорида келтирилган алгоритмдан фойдаланиб, содда раманинг хисобини кўриб ўтамиз (11.4- расм, а).

1. Асосий система тақлашда берилган раманинг ва ташқи юкларнинг симметриклигини инобатга олиб, ўхшашиб икки қисмга бўламиз (11.4- расм, б). Номаълумларни асосий системанинг бир қисми учун аниклаймиз.

2. Номаълум кучларнинг бирлик қийматларидан  $\bar{M}_i$  эпюраларини курамиз (11.4- расм в, г). Берилган рамада  $X_3=0$  эканлиги эпюралардан кўриниб турибди.



#### 11.4- расм

3.4. Эпюралардан фойдаланиб, характерли кесимлар учун таъсир матрицалари  $b$ ,  $b'$  ни аниқлаймиз:

$$b = \begin{bmatrix} 1 & l \\ 1 & 0 \\ 1 & 0 \\ 1 & 0 \end{bmatrix} \quad b' = \begin{bmatrix} 1 & 1 & 1 & 1 \\ l & 0 & 0 & 0 \end{bmatrix}$$

5.6. Фақат биргина  $M_0$  ташки юк таъсир этадётгани учун:

$$P = \begin{bmatrix} M_0 \\ M_0 \\ 0 \\ 0 \end{bmatrix}$$

7. Туташтирилган элементларнинг майдиллик матрицаси:

$$D = \frac{l}{6EI} \begin{bmatrix} 2 & 1 & . & . \\ 1 & 2 & . & . \\ . & . & 1 & 0,5 \\ . & . & 0,5 & 1 \end{bmatrix}$$

8.  $D$  матрицанинг тартиби  $b$  матрицанинг тартибига мос келгандылык учун унинг тартибини ўзгартыриш, яъни камайтириш талаб этилмайди.

9. Берилган рама бир қисмининг майиллик матрицаси:

$$A = b'Db = \frac{l}{6EI} \begin{bmatrix} 9 & 3l \\ 3l & 3l^2 \end{bmatrix}.$$

10.  $A$  матрицанинг тескари киймати:

$$A' = \frac{6EI}{ql^3} \begin{bmatrix} 3l^2 & -3l \\ -3l & 9 \end{bmatrix}.$$

11. Ташки юк матрицасининг ҳисоби:

$$B = B^p P = b'DP = \frac{l}{6EI} \begin{bmatrix} 3 & 3 & 1,5 & 1,5 \\ 2l & l & 0 & 0 \end{bmatrix} \begin{bmatrix} M_0 \\ M_0 \\ 0 \\ 0 \end{bmatrix} =$$

$$= \frac{M_0 l}{EI} \begin{bmatrix} 1 \\ 0,5l \end{bmatrix}$$

12. Номаълум куч вектор матрицаси:

$$x = -\frac{6EI}{ql^3} \begin{bmatrix} -2l^3 & -3l \\ -3l & 9 \end{bmatrix} \frac{M_0 l}{EI} \begin{bmatrix} 1 \\ 0,5l \end{bmatrix} = \frac{M_0}{ql} \begin{bmatrix} 3l \\ 9 \end{bmatrix}$$

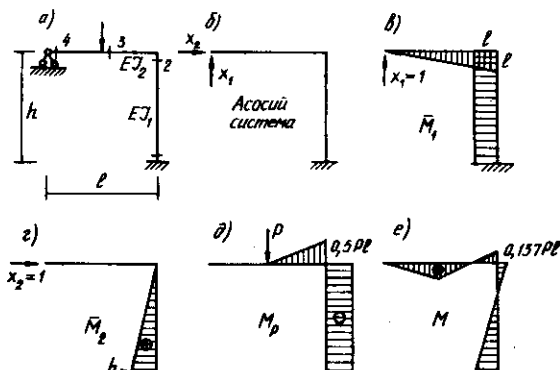
13. Рама, элементлари учун излангаётган ички куч матрицаси:

$$S = \frac{M_0}{3} \begin{bmatrix} 1 \\ 2 \\ -1 \\ -1 \end{bmatrix}$$

14. Топилган кийматларни текшириш:

$$b'DS = \frac{l}{6EI} \begin{bmatrix} 3 & 3 & 1,5 & 1,5 \\ 2l & l & 0 & 0 \end{bmatrix} \frac{M_0}{3} \begin{bmatrix} -1 \\ -2 \\ -1 \\ -1 \end{bmatrix} =$$

$$= \frac{M_0 l}{18EI} \begin{bmatrix} -3+6-1,5-1,5 \\ -2l+2l-0-0 \end{bmatrix} = \frac{M_0 l}{18EI} \begin{bmatrix} 0 \\ 0 \end{bmatrix} = 0$$



11.5- расм

**2- мисол.** Матрица күринишидаги баъзи хусусий ҳолларни кўрсатиш максадида 11.5- расмда келтирилган рамани хисоблаймиз.

Раманинг таъсир матрицаси:

$$b = \begin{bmatrix} h & l \\ 0 & l \\ 0 & 0,5l \\ 0 & 0 \end{bmatrix} \quad b' = \begin{bmatrix} H_0 & 0 & 0 & 0 \\ l & l & 0,5l & 0 \end{bmatrix}.$$

Туташган элементларнинг мойиллик матрицаси 1—4 қесими орасидаги характерли элементлардан тузилган:

$$D = \begin{bmatrix} D_1 \\ D_2 \\ D_3 \end{bmatrix} \quad D_1 = \frac{l}{6EI_1} \begin{bmatrix} 2 & 1 \\ 1 & 2 \end{bmatrix}$$

$$D_2 = D_3 = \frac{l}{12EI_2} \begin{bmatrix} 2 & 1 \\ 1 & 2 \end{bmatrix}.$$

Агар  $h=0,5l$ ,  $EI=EI_1=EI_2$  бўлса, у ҳолда

$$D = \frac{0,5l}{6EI} \begin{bmatrix} 2 & 1 & 2 & 1 & 2 & 1 \\ 1 & 2 & 1 & 2 & 1 & 2 \end{bmatrix}$$

Юкорида зикр қилинганидек,  $D$  матрицаси та ртибилини камайтириб,  $b$  матрицанинг тартибига мос келтирамиз. Бунинг учун  $D$  матрицасининг  $D_2$  ва  $D_3$  қийматларини  $D_1$  томонга диагонал бўйлаб суруб, сўнг қўшамиз:

$$D = \frac{l}{12EI} \begin{bmatrix} 2 & 1 & & \\ 1 & 4 & & \\ & & 4 & 1 \\ & & 1 & 2 \end{bmatrix}$$

Ташқи юк матрицаси (11.5- расм, д).

$$P = 0,5p \begin{bmatrix} -l \\ -l \\ 0 \\ 0 \end{bmatrix}$$

Ташқи юк орқали  $B$  ни топамиз:

$$\begin{aligned} B = b'DP &= \begin{bmatrix} h & 0 & 0 & 0 \\ l & l & 0,5l & 0 \end{bmatrix} \frac{l}{12EI} \begin{bmatrix} 2 & 1 & & \\ 1 & 4 & & \\ & & 4 & 1 \\ & & 1 & 2 \end{bmatrix} = \\ &= \frac{l}{12EI} \begin{bmatrix} 2h & h & 0 & 0 \\ 3l & 5,5l & 3l & 0 \end{bmatrix} 0,5Pl \begin{bmatrix} -1 \\ -1 \\ 0 \\ 0 \end{bmatrix} = \frac{Pl^2}{24EI} \begin{bmatrix} -3h \\ -8,5l \end{bmatrix} \end{aligned}$$

Раманинг мойиллик матрицаси (11.5- расм, в, г) қуидагига тенг:

$$\begin{aligned} A = b'Db &= \frac{l}{12EI} \begin{bmatrix} 2h & h & 0 & 0 \\ 3l & 5,5l & 3l & 0 \end{bmatrix} \begin{bmatrix} h & l \\ 0 & l \\ 0 & 0,5l \\ 0 & 0 \end{bmatrix} = \\ &= \frac{l}{12EI} \begin{bmatrix} 2h^2 & 3hl \\ 3hl & 10l \end{bmatrix}. \end{aligned}$$

Агарда  $h=0,5$  лигини инобатга олсак, у ҳолда

$$B = -\frac{P\ell^3}{24EI} \begin{bmatrix} 1,5 \\ 8,5 \end{bmatrix} \quad A = \frac{\ell^3}{24EI} \begin{bmatrix} 1 & 3 \\ 3 & 20 \end{bmatrix}$$

Демак, тенгламалар системасининг матрица кўриниши кўйидагича бўлади:

$$\frac{\ell^3}{24EI} \begin{bmatrix} 1 & 3 \\ 3 & 20 \end{bmatrix} x = \frac{P\ell^3}{24EI} \begin{bmatrix} 1,5 \\ 8,5 \end{bmatrix}$$

Агарда соддалаштирилса:

$$\begin{bmatrix} 1 & 3 \\ 3 & 20 \end{bmatrix} \begin{bmatrix} x_1 \\ x_2 \end{bmatrix} = P \begin{bmatrix} 1,5 \\ 8,5 \end{bmatrix}$$

келиб чиқади:

Матрица  $A$  нинг тескари қийматини топиш учун, яъни

$$A^{-1} = \frac{\tilde{A}}{\text{Det}A}$$

аниклаш учун алгебрик тўлдирувчи  $A$  ҳамда аникловчи  $\text{Det}A$  нинг қийматидан фойдаланамиз.

Маълумки,

$$\tilde{A} = (-1)^{i+j} M_{ij}$$

бўлиб,  $M_{ij}$  аникловчи минорлар кўйидагиларга тенг:

$$M_{11} = (-1)^{1+1} \begin{bmatrix} 1 & 3 \\ 3 & 20 \end{bmatrix} = 20 \quad M_{12} = (-1)^{1+2} \begin{bmatrix} 1 & 3 \\ 3 & 20 \end{bmatrix} = -3$$

$$M_{21} = (-1)^{2+1} \begin{bmatrix} 1 & 3 \\ 3 & 20 \end{bmatrix} = -3 \quad M_{22} = (-1)^{2+2} \begin{bmatrix} 1 & 3 \\ 3 & 20 \end{bmatrix} = 1$$

Аникловчининг

$$\text{Det}A = \begin{bmatrix} 1 & 3 \\ 3 & 20 \end{bmatrix} = 11$$

эканлиги ҳам бизга маълум. У ҳолда  $A$  матрицанинг тескариси

$$A^{-1} = \frac{1}{\text{Det}A} \begin{bmatrix} 20 & -3 \\ -3 & 1 \end{bmatrix} = \frac{1}{11} \begin{bmatrix} 20 & -3 \\ -3 & 1 \end{bmatrix}$$

бўлади.

Номаълум кучлар эса қуидаги топилади:

$$x = \frac{1}{11} \begin{bmatrix} 20 & -3 \\ -3 & 1 \end{bmatrix} P \begin{bmatrix} 1,5 \\ 8,5 \end{bmatrix} = \frac{P}{11} \begin{bmatrix} 4,5 \\ 4,5 \end{bmatrix}$$

Характерли кесимлардаги әгувчи моментлар матрикаси қуидаги бўлади:

$$\begin{aligned} M = 0,5 Pl \begin{bmatrix} 1 \\ 1 \\ 0 \\ 0 \end{bmatrix} + \begin{bmatrix} h & l \\ 0 & l \\ 0 & 0,5l \\ 0 & 0 \end{bmatrix} \frac{P}{11} \begin{bmatrix} 4,5 \\ 4,5 \end{bmatrix} = \\ = 0,5Pl \begin{bmatrix} 1 \\ 1 \\ 0 \\ 0 \end{bmatrix} + \frac{Pl}{11} \begin{bmatrix} 6,25 \\ 4 \\ 2 \\ 0 \end{bmatrix} = Pl \begin{bmatrix} 1,160 \\ -0,137 \\ 0,181 \\ 0 \end{bmatrix}. \end{aligned}$$

Топилган қийматлар асосида қурилган әгувчи момент эпюраси (11.5- расм, е) да кўрсатилган.

### 11.9. РАМАЛАРНИ ҚУЧИШЛАР УСУЛИДА ХИСОБЛАШНИНГ МАТРИЦА ҚЎРИНИШИ

Қўчишлар усулининг матрица қўриниши ўзининг соддалиги билан куч усулидан фарқ қиласди. Қўчиш усулининг матрица қўринишида хеч қандай эпюралардан фойдаланилмайди.

Матрица қўринишида ҳам қўчишлар усулидаги ғоя сақланиб, берилган рамани қўзғалмайдиган ҳолга келтирувчи асосий система танланади.

Матрица қўринишидаги қўчишлар усулининг тенгламалар системаси қуидаги ифодаланади:

$$k \cdot z + R_p = 0 \quad (11.20)$$

Бу ерда

$$K = \begin{bmatrix} r_{11} & r_{12} & \dots & r_{1m} \\ r_{21} & r_{22} & \dots & r_{2m} \\ \dots & \dots & \dots & \dots \\ r_{m1} & r_{m2} & \dots & r_{mm} \end{bmatrix}, z = \begin{bmatrix} z_1 \\ z_2 \\ \vdots \\ z_m \end{bmatrix}, R_p = \begin{bmatrix} R_{1p} \\ R_{2p} \\ \vdots \\ R_{mp} \end{bmatrix}$$

$K$  — асосий системадаги рама тугунларида бирлик күчишдан ҳосил бўлган реакциялар матрицаси ёки рама-нинг бикирлик матрицаси;

$z$  — шу тугунлардаги ҳакикий күчишлар ёки номаъ-лумлар матрицаси;

$R_p$  — асосий системада ташки юклардан рама тугунларида ҳосил бўладиган реакциялар матрицаси.

Умуман  $K$  — матрицаси бикирлик матрицаси деб аталиб, қуйидаги матрица амаллари оркали топилади:

$$K = d' R d \quad (11.21)$$

Бу ерда  $d$  — реакция матрицаси;

$R$  — раманинг туташтирилмаган элементларининг бикирлий матрицаси;

$d'$  — транспонирланган реакция матрицаси.

$d$  — матрицасининг элементлари асосий системадаги тугунларда ҳосил бўлган реакциялардан ташкил топади:

$$d = \begin{bmatrix} d_{11} & d_{12} & \dots & d_{1m} \\ d_{21} & d_{22} & \dots & d_{2m} \\ \dots & \dots & \dots & \dots \\ d_{R1} & d_{R2} & \dots & d_{Rm} \end{bmatrix}$$

бу ерда  $d_{ij}$  —  $i$  кесимда  $j$  йўналишда қўшимча боғла-нишларнинг бирлик күчишларидан ҳосил бўлган реакциялардир. Устунлар тартиби ноаниклик даражасига, катор-ларники эса кесим  $R=1,2,\dots$  лар сонига тенгdir.

Туташтирилмаган элементларнинг бикирлик матрицаси квазидиагонал матрица бўлиб, қуйидаги кўринишга эгадир:

$$R = \begin{bmatrix} R_1 & & & \\ & R_2 & & \\ & & \ddots & \\ & & & R_n \end{bmatrix}$$

бу ерда  $R_i$  —  $i$  элементнинг бикирлик матрицаси;

$n$  — элементлар сони.

Элементнинг бикирлик матрицаси куч усулидаги мойиллик матрицасидан фарқ килади, яъни:

$$K = D^{-1}$$

Элементнинг учидаги бикирлик күчишлардан ҳосил бўлган реакциялар матрицасидир. Узунлиги  $l$ , бикирлиги

$EI$  бўлган, икки учи мустаҳкам балканинг бикирлик матрицаси:

$$R_i = \frac{2EI}{l_i} \begin{bmatrix} 2 & 1 \\ 1 & 2 \end{bmatrix} \quad (11.22)$$

Бир учи мустаҳкам иккинчи учи эса шарнирли қўзғолмас таянчга таянган балканинг бикирлик матрицаси:

$$R_{io} = \frac{2EI}{l} \begin{bmatrix} 1.5 \\ 0 \end{bmatrix} \quad (11.23)$$

Кўчиш усулининг тенгламалар системаси (11.20) худди куч усулидагидек ечилади:

$$z = -K^{-1}R_p = -(d'Rd)^{-1}R_p \quad (11.24)$$

Ички кучлар матрицаси куйидагича топилади:

$$S = R dz = -R d K^{-1} R_p = -R d (d'Rd)^{-1} R_p \quad (11.25)$$

Аниқланган миқдорларни текшириш учун қўйидаги матрица кўринишидаги тенгламадан фойдаланиш мумкин:

$$K_z = d'S \quad (11.26)$$

### Ҳисоблаш алгоритми

Рамаларни ЭХМда кўчишлар усулининг матрица кўринишида ҳисоблаш алгоритми куйидагилардан иборат:

1. Раманинг асосий системаси танланади.
2. Ҳар бир киритилган қўшимча боғланишга алоҳида бикирлик кўчишлар берилади.
3. Бирлик кўчишлардан хосил бўлган реакция матрицаси  $d$  — ни аниқланади.
4.  $d$  — матрицани транспонирланади.
5. Ҳар қайси  $t$  — хил ташки юклардан озод ҳад матрицалари топилади.
6. Туташтирилмаган элементлар бикирлик матрицасини келтириб чиқарилади:

$$R = \begin{bmatrix} R_1 \\ R_2 \\ \vdots \\ R_n \end{bmatrix}$$

бу ерда  $R_i = \frac{2EI_i}{l_i} \begin{bmatrix} 2 & 1 \\ 1 & 2 \end{bmatrix}$  — икки учи мустаҳкам элементнинг бикирлиги.

$R_{io} = \frac{2EI}{l} \begin{bmatrix} 1,5 \\ 0 \end{bmatrix}$  — бир учи мустаҳкам, иккинчи учи шарнирли бўлган балканинг бикирлиги.

7. Раманинг бикирлик матрицаси ҳисобланади:

$$K = d' \cdot R \cdot d$$

8. Бикирлик матрицасининг тескари қиймати топилади:

$$KK^{-1} = E$$

9. Номаълум кўчишлар матрицаси ҳисобланади:

$$z' = -K^{-1} R_p'$$

бу ерда  $z$  — номаълумлар матрицасининг устунлар тартиби  $t$  — га, қаторлар тартиби ноаниклик даражаси  $m$  — га тенгдир.

10. Раманинг ҳарактерли кесимларида ҳосил бўлаётган ички куч матрицаси аниқланади:

$$S' = R dz' = -R d K^{-1} R_p'$$

11. Топилган миқдорлар текширилади:

$$K_z = d' S$$

Кўчишлар усулининг матрица кўриниши кучлар усулидаги матрица кўринишидан анча соддалиги кўриниб турибди.

Лойиҳалаш тажрибасида кенг қўлланилаётган ЭҲМ даги дастурларнинг кўплари айнан шу усулга асосланган.

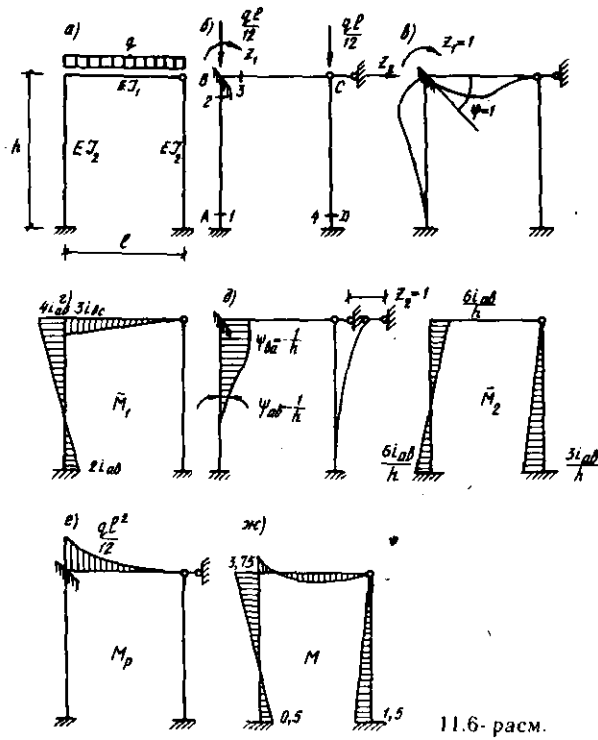
### Ҳисоблаш намунаси:

3- мисол: 11.6- расмда кўрсатилган рама ҳисоблансин.

Юкорида кўрсатилган тартибдан фойдаланиб, масала-нинг ечимини кидирамиз.

1. Асосий система танлаб, бурчакли ва чизикли боғланишларни киритамиз.

2. В тугунга бирлик бурчакли кўчиш, С тугунга эса бирлик чизикли кўчиш берамиз.



3. Тугуларнинг бирлик кўчишлардан (11.6- расм, г, д) элемент кесимларида хосил бўлган кўчишлар матрицаси  $d$  — ни тузамиз:

$$d = \begin{bmatrix} 0 & -\frac{1}{t} \\ -1 & -\frac{1}{t} \\ -1 & 0 \\ 0 & -\frac{1}{t} \end{bmatrix}$$

4. Матрица  $d'$  — нинг қийматини аниклаймиз:

$$d' = \begin{bmatrix} 0 & -1 & -1 & 0 \\ -\frac{1}{t} & -\frac{1}{t} & 0 & -\frac{1}{t} \end{bmatrix}$$

5.. Факат бир ташки күч таъсир этаётгани учун  $t = 1$  бўлади.

6. Туташтирилмаган элементларнинг бикирлик матрицасини тузамиз:

$$R = \begin{bmatrix} R_1 \\ R_{II} \\ R_{III} \end{bmatrix} = \frac{2EI}{l} \begin{bmatrix} 2 & 1 & & \\ 1 & 2 & & \\ & & 3 & \\ & & 2 & \\ & & & 3 \\ & & & 2 \end{bmatrix}$$

чунки

$$R_1 = \frac{2EI}{l} \begin{bmatrix} 2 & 1 \\ 1 & 2 \end{bmatrix}, R_{II} = R_{III} = \frac{2EI}{l} \begin{bmatrix} 3 \\ 2 \end{bmatrix}$$

7. Раманинг бикирлик матрицасини аниқлаймиз

$$\begin{aligned} K = d' R d &= \left[ \begin{array}{cccc} 0 & -1 & -1 & 0 \\ -\frac{1}{l} & -\frac{1}{l} & 0 & -\frac{1}{l} \end{array} \right] \frac{2EI}{l} = \\ &= \begin{bmatrix} 2 & 1 \\ 1 & 2 \\ & 3 \\ & 2 \\ & 3 \\ & 2 \end{bmatrix} d = \\ &= \frac{2EI}{l} \left[ \begin{array}{cccc} 1 & 2 & \frac{3}{2} & 0 \\ -\frac{3}{l} & -\frac{3}{l} & 0 & -\frac{3}{2}l \end{array} \right] \begin{bmatrix} 0 & -\frac{1}{l} \\ 1 & -\frac{1}{l} \\ 1 & 0 \\ 0 & -\frac{1}{l} \end{bmatrix} = \\ &= \frac{2EI}{l} \left[ \begin{array}{cc} 3,5 & -\frac{3}{l} \\ -\frac{3}{l} & \frac{1,5}{2l^2} \end{array} \right] \end{aligned}$$

8. Матрица  $K$  — нинг тескари қийматини аниклаймиз:

$$K^{-1} = \frac{l^2}{11,5EI} \begin{bmatrix} \frac{2,5}{l} & 1 \\ 1 & \frac{2}{8}l \end{bmatrix}$$

9. Номаълум кўчиш  $z$  — яъни устүн матрица қўйидагича аникланади:

$$\begin{aligned} z = -K^{-1}R_p &= -\frac{l^2}{115, EI} \begin{bmatrix} 2,5 & 1 \\ 1 & \frac{7}{8}l \end{bmatrix} \begin{bmatrix} -C_0 \\ 0 \end{bmatrix} = \\ &= \frac{l^2 C_0}{11,5EI} \begin{bmatrix} \frac{2,5}{l} \\ 1 \end{bmatrix} \end{aligned}$$

бу ерда  $C_0 = \frac{q l^2}{12}$

10. Икки куч матрицасини бир мунча енгил топиш мумкин. (11.6- расм, ж).

$$S = Rdz$$

11. Топилган қийматлар  $K = d'Rd$  ҳақиқатдан ҳам (11,26) тенгламани

$$\begin{aligned} \frac{2EI}{l} \begin{bmatrix} 3,5 & -\frac{3}{l} \\ -\frac{3}{l} & \frac{1,5}{2l^2} \end{bmatrix} (-1) \frac{l^2 C_0}{115, EI} \begin{bmatrix} \frac{2,5}{l} \\ 1 \end{bmatrix} = \\ = \frac{2C_0}{11,5l} \begin{bmatrix} (8,75l - 3l) \\ -7 \cdot 5 + 7,5 \end{bmatrix} = \begin{bmatrix} -C_0 \\ 0 \end{bmatrix} \end{aligned}$$

қаноатлантиради.

## ЧЕКЛИ ЭЛЕМЕНТЛАР УСУЛИ

### 12.1. ЧЕКЛИ ЭЛЕМЕНТЛАР УСУЛИ (ЧЭУ) ҲАҚИДА ТУШУНЧА

Статик ноанник системаларни хисоблашда юқорида күрсатылған усуллардан ташқари аралаш, тақрибий ғана башка усуллар ҳам мавжуд. Бу усуллар курилиш механикаси масалаларини аникрок ечиш вазифасини ўзида мужассамлаштирган бўлиб, улар ичидаги чекли элементлар усули (ЧЭУ) ўзининг самараадорлиги билан бошқалардан ажралиб туради. ЧЭУ бир қатор кулагайликларга эга бўлгани учун ҳозирги кунда кенг қўлланмомокда.

ЧЭУ нинг асосий афзаллilikларидан бири унинг кенг миқёслилигидир. Агар ҳар хил қурилиш конструкцияларини ЭХМда хисоблаш учун ҳар кайсисига алоҳида дастурлар тузилган бўлса (масалан, ферма учун алоҳида, балка учун алоҳида) ЧЭУ деярли ҳамма курилиш конструкцияларини ЭХМда ягона хисоблаш алгоритми ва дастури асосида хисоблаш имконини беради. Бу лойиҳачи – мухандиснинг ишини анча енгиллаштиради. Ягона хисоблаш алгоритми ва дастури хисоблаш вактини тежайди, хисобининг аниқлик даражасини оширади. Бу усулнинг афзаллilikи ҳам шунда.

Умуман конструкцияларни ЭХМда хисоблашда ўта аниқлик ва универсал усуллардан фойдаланиш мақсадга мувофиқдир. Олдинги усуллар ҳамма вакт ҳам буталабларга жавоб бермайди, Шунинг учун ҳам машинабоп усуллар яратилишига эхтиёж туғилди. Айникса, хисоблашдаги бир неча хил мураккабликларни, яъни конструкцияларнинг чизикини ва чизиксиз ишлаш ҳусусиятларини, ерга эластик таяниши, устуворлик ва башка шартларни бир йўла хисобга оладиган усул керак эди. Чекли элементлар усули (ЧЭУ) шундай самараали усуллардан бири сифатида юзага келди.

ЧЭУ тоғаси берилган системани, ҳусусан, рамани чекли элемент деб аталувчи алоҳида содда элементларга ажратишдан иборатdir. Чекли элементлар аниқ геометрик, физик ва механик ўлчамларга эга бўлиши шарт.

Пластина ва кобиқ конструкцияларини хисоблашда чекли элемент сифатида учбурчак, кўпбурчак ва тўғри бурчакли пластиналар қабул килиниши мумкин, массив

конструкциялардан кичик ҳажмий бўлак тетраэдр ва х.к. чекли элемент деб қабул қилинади.

Стерженлар системасида чекли элемент сифатида доимий бикирликка эга бўлган стержень қабул қилинади. Шундай қилиб ЧЭУ берилган конструкцияларни содда, чекли элементларга бўлиб, қурилиш механикаси қоидалири асосида ҳисоблади.

Содда кўринишга эга бўлган чекли элементнинг ташки таъсирларга қаршилик қўрсатиш имкониятлари олдиндан аникланади. ЧЭУ куч усули ёки кўчиш усулларига асосланиши мумкин. Чекли элементлар усулида ҳам асосий система танланиб, тенгламалар тизими тузилади. Асосий система — берилган раманинг энг содда чекли элементлари йигиндисидир. Тенгламалар тизими чекли элементларнинг узлуксизлигини таъминловчи шартни ифодалайди.

Демак, системани содда бўлакларга бўлиш ғояси, мураккаб конструкцияни содда «чекли» элементлар оркали ифодалаш имконини беради. Киритилувчи узлуксизлик ва бошқа статик шартлар эса чекли элементларнинг берилган система каби ишлашини таъминлайди. Рамаларни ЧЭУ ёрдамида ҳисоблашда номаълум сифатида куч ёки кўчиш усулларидагидек ички кучлар ёки кўчишлар қабул қилинади.

Ҳисоб куч усули асосида бажарилса, чекли элементларнинг уланиш жойида номаълум сифатида куч қабул қилинади, агарда кўчиш усули асосида олиб борилса, у ҳолда номаълум сифатида тугунларнинг кўчиши қабул қилинади. Умумий ҳолда аралаш усулдан фойдаланса ҳам бўлади. ЧЭУ бўйича ҳисоблашда асосий ролни мойиллик матрицаси ёки бикирлик матрицаси ўйнайди. Агар ҳисоб куч усулида бажарилса мойиллик матрицасидан, кўчиш усулида бажарилганда эса бикирлик матрицасидан фойдаланилади.

Куч усулида номаълум кучлар чекли элементларнинг уланиш жойидаги кўчишларнинг тенглигини ифодаласа, кўчиш усулидаги номаълум кўчишлар — тугунларнинг мувозанатини ифодалайди.

Рамаларни ЧЭУ ёрдамида ҳисоблаганда бир вактнинг ўзида ҳар бир элементнинг икки учидаги ички кучлар  $M$ ,  $Q$ ,  $N$  ларни аниклаш мумкин. ЧЭУ ни матрица кўринишда ифодалаш максаддага мувофик бўлиб, ҳисоб охирида кўчишлар ҳамда ички кучлар ҳам матрица кўринишида аникланади.

Чекли элементнинг кўчиш усулига асосланган умумлаштирилган тенгламаси куйидаги кўринишга эга бўлади:

$$R \cdot Z + R_p = 0 \quad (12.1)$$

бу ерда  $\bar{R}$  — конструкциянинг, хусусан, раманинг бикирлик матрицаси;  
 $R_p$  — юк матрицаси.

Бу тенглама асосий системага киритилган ҳар бир кўшимча боғланишда бирлик буралиш, силжиш ва чўзилиш, шунингдек, ташки кучлар таъсиридан хосил бўлган тугунлардаги реакцияларнинг йигиндиси нолга тенг эканлигини ифодалайди.

Номаълум кўчиш матрицасини аниклаш учун худди кўчиш усулида кўриб ўтганимиздек, куйидаги амалдан фойдаланамиз:

$$z = -\bar{R}^{-1}R_p = (\Pi^T R\Pi)R_p, \quad (12.2)$$

бу ерда  $\Pi$  — косинуслар матрицаси элементнинг координата ўқларига нисбатан бурчагини ифодалайди;

$R$  — туташтирилмаган элементлар матрицаси.

Агарда ички куч матрицасини аниклаш зарур бўлса, у холда куйидаги амалдан фойдаланамиз:

$$S = Q \cdot Z = R\Pi(\Pi^T R\Pi)^{-1}R_p. \quad (12.3)$$

Чекли элементлар усулининг кўчиш усулидан асосий фарқи шундан иборатки, бу усулда деформацияларнинг барча тури инобатга олинади ва ҳар бир тугунда умумлаштирилган кўчишлар аникланади. Шунинг учун ҳам бу фарклар бикирлик матрицаларида яққол кўзга ташланади.

## 12.2. СТЕРЖЕНЛИ СИСТЕМАЛАРНИ ЧЕКЛИ ЭЛЕМЕНТЛАР УСУЛИ ЁРДАМИДА ХИСОБЛАШ ТАРТИБИ

Чекли элементлар усули ёрдамида статик ноаник системаларни хусусан, рамаларни хисоблаш бошқа усулларга нисбатан кулайдир.

ЧЭУ ёрдамида стерженли системаларни хисоблаш тартиби куйидагича:

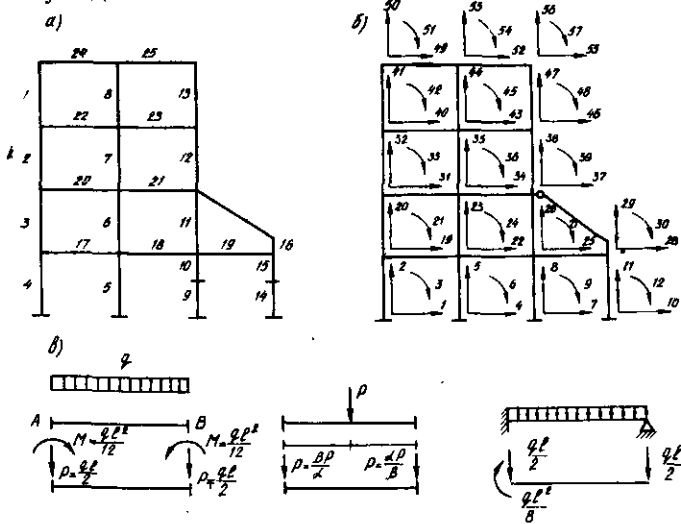
- асосий система танлаш, номаълум кўчишларни белгилаш;
- бикирлик матрицасини аниклаш;

- күч матрицасини аниқлаш;
- тенгламалар тизіміні тузиш;
- тенгламалар тизіміні ечиш, түгунлардаги күчишларни аниқлаш, умумий ічки күч матрицаларини топиш.

### Асосий система танлаш, номаълум күчишларни киритиши

Асосий система конструкциянинг кўринишига, унинг элементларининг сонига, ташки күч ҳамда зарурый аниқликларга боғлиқдир.

Рамаларни ҳисоблашда чекли элемент сифатида кўндаланг кесими ўзгармас бўлган алоҳида стержень қабул қилинади. 12.1- расм, а да келтирилган асосий тизми раманинг түгун ва кўндаланг кесими ўзгарган жойларига нисбатан танланган. Шартли равишда киритилган квадратлар берилган рамани чекли элементларга бўлиб, ҳар иккى учидан учтадан күчишлар кўрсатилган (12.1- расм, б). Агар бирор ерда рама элементининг кўндаланг кесими ўзгарса ёки элемент оралиғида йиғик күч қўйилган бўлса, у холда кесимларга ҳам квадратлар киритилади. Раманинг ноаниклик даражаси ҳар бир түгунга ва кесимга киритилган күчишлар сонига тенг. Аксарият мунтазам рамаларда ҳар бир квадрат учтадан номалум күчишларга эга бўлади.



Рамага күйилган хар бир ташки куч унинг квадратлар киритилган тугунларига келтирилади.

Демак, раманинг асосий системаси бикирликлари ўзгармас бўлган  $IM$  — та чекли элементларга бўлиниб,  $MM$  та номаълум — умумий кўчишларга эга бўлади.

### 12.3. СТЕРЖЕННИНГ БИКИРЛИК МАТРИЦАСИНИ АНИҚЛАШ

Бикирлик матрицаси ( $BM$ ) чекли элемент учларидаги бирлик кўчишлардан вужудга келувчи реактив кучларни ифодалайди.

Умуман, бикирлик матрицасининг формуласини бир марта аниклаб олинса кифоя.  $BM$  тартиби ҳисобга олинниши зарур бўлган чекли элемент учларидаги кўчишлар сонига ҳамда ҳисобга олинаётган бошқа омилларга боғлиқ. Агар кўндаланг ва бўйлама кўчишлар ҳисобга олинса, текисликдаги элементнинг  $BM$  тартиби олтига тенг бўлади.

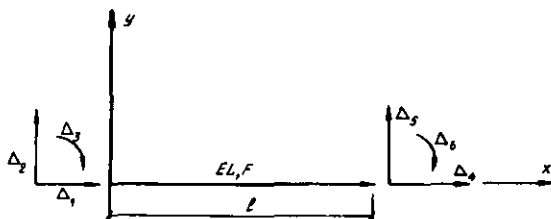
Аввало чекли элементнинг ҳусусий ўқларга нисбатан  $BM$  ни келтириб чиқарамиз. Ўзгармас кўндаланг кесимли элементнинг  $BM$  си бош координата ўқларига нисбатан 12.2- расмда кўрсатилгандек топилади.

Маълумки, стержень учларининг кўчишлари унинг узунлиги ва бикирлигига боғлиқдир. Шунинг учун уларнинг ўзаро боғлиқликларини аниклаймиз. Чекли элементнинг ихтиёрий нуктасининг тутган ўрни қуидагича ифодаланиши мумкин:

$$\begin{aligned} u(x) &= \alpha_1 + \alpha_2 x \\ v(x) &= \alpha_3 + \alpha_4 x + \alpha_5 x^2 + \alpha_6 x^3 \end{aligned} \quad (12.4)$$

бу ерда  $u(x), v(x)$  — бўйлама ва кўндаланг кўчишлар;

$\alpha_i$  — киритилган боғланишни ифодаловчи тенглама коэффициенти.



12.2- расм

12.2-расмда күрсатылған элемент учун чегара шарттардың күйидаги белгиланади:

$$\begin{aligned}x &= 0; u(0) = \alpha_1 = \Delta_1 \\v(0) &= \alpha_3 = \Delta_3 \\\frac{\partial v}{\partial x} &= \alpha_4 = \Delta_4\end{aligned}\quad (12.5)$$

$$\begin{aligned}x &= l; u(l) = \alpha_1 + \alpha_2 l = \Delta_2 \\v(l) &= \alpha_3 + \alpha_4 l + \alpha_5 l^2 + \alpha_6 l^3 = \Delta_3 \\\frac{\partial v}{\partial x} &= \alpha_4 + 2\alpha_5 l + 3\alpha_6 l^2 = \Delta_6\end{aligned}$$

Бұ тенгламалардан коэффициентлар топилади:

$$\begin{aligned}\alpha_1 &= \Delta_1 \\\alpha_2 &= \frac{1}{l} (\Delta_2 - \Delta_1) \\\alpha_3 &= \Delta_3 \\\alpha_4 &= \Delta_4 \\\alpha_5 &= \frac{1}{l^2} (-3\Delta_3 - 2\Delta_4 l + 3\Delta_5 - \Delta_6 l) \\\alpha_6 &= \frac{1}{l^3} (2\Delta_3 + \Delta_4 l - 2\Delta_5 + \Delta_6 l)\end{aligned}\quad (12.6)$$

Топилған қийматларни (12.5) формулага қўйсак ва соддалаштирусақ, қуйидаги функцияларга эга бўламиз:

$$\begin{aligned}u(x) &= \sum_{s=1,4} \Theta_s(x) \Delta_s; \\v(x) &= \sum_{s=2,3,5,6} \Theta_s(x) \Delta_s.\end{aligned}\quad (12.7)$$

Киритилған коэффициент  $\Theta_s(x)$  — Эрмит функцияси деб юритилади ва қуйидагида топилади:

$$\begin{aligned}\Theta_1(x) &= 1 - \frac{1}{l}x & \Theta_2(x) &= \frac{1}{l}x \\\Theta_3(x) &= 1 - \frac{3}{l^2}x^2 + \frac{2}{l^3}x^3 & \Theta_4(x) &= x - 2\frac{x^2}{l^2} + \frac{x^3}{l^3} \\\Theta_5(x) &= 3\frac{x^2}{l^2} - 2\frac{x^3}{l^3} & \Theta_6(x) &= -\frac{x^2}{l} + \frac{x^3}{l^2}\end{aligned}\quad (12.8)$$

Чекли элементлар учун керак бўлган БМни потенциал энергия ифодасидан фойдаланиб топамиз.

Потенциал энергиянинг мумкин бўлган кўчишлар орқали ифодаси

$$U = \frac{1}{2} EF \int_0^l (u'(x))' dx + \frac{1}{2} EI \int_0^l (v'(x))' dx \quad (12.9)$$

бўлади.

Агар кўчишлар кийматини (12.7) формуладан (12.9) формулага қўйсак.

$$U = \frac{1}{2} \sum_{i=1}^6 \Sigma R_{ix} \Delta \Delta_k \quad (12.10)$$

энергия формуласи келиб чиқади.

Бу ерда

$$K_{ik} = \begin{cases} EF \int_0^l \Theta_i''(x) \Theta_k''(x) dx; & i, k = 1, 4 \\ EI \int_0^l \Theta_i''(x) \Theta_k''(x) dx; & i, k = 2, 3, 5, 6 \end{cases} \quad (12.11)$$

$K_{ik}$  — чекли элементнинг бикирлик матрицаси.

Агар топилган (12.11) формулага (12.8) да кўрсатилган ифодаларни киритсак, у ҳолда

$$\begin{aligned} K_{11} &= EF \int_0^l \left(1 - \frac{x}{l}\right)'' \left(1 - \frac{x}{l}\right)'' dx \\ K_{14} &= EI \int_0^l \left(1 - \frac{x}{l}\right)'' \left(\frac{x}{l}\right)'' dx \end{aligned} \quad (12.12)$$

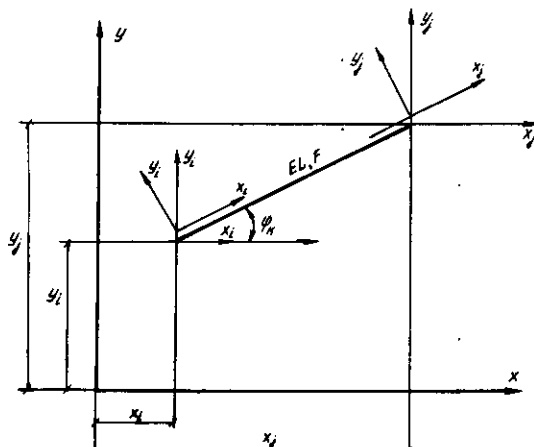
келиб чиқади.

Келтириб чиқарилган (12.12) формуладан фойдаланиб, икки учи маҳкамланган элементнинг (12.13), шунингдек бир учи маҳкамланган, иккинчи учи шарнирли бириктирилган элементнинг бикирлик матрицаси (12.14) жадвал кўринишида берилган.

$$K = \begin{bmatrix} r_{11} & r_{12} & r_{13} & r_{14} & r_{15} & r_{16} \\ r_{21} & r_{22} & r_{23} & r_{24} & r_{25} & r_{26} \\ r_{31} & r_{32} & r_{33} & r_{34} & r_{35} & r_{36} \\ r_{41} & r_{42} & r_{43} & r_{44} & r_{45} & r_{46} \\ r_{51} & r_{52} & r_{53} & r_{54} & r_{55} & r_{56} \\ r_{61} & r_{62} & r_{63} & r_{64} & r_{65} & r_{66} \end{bmatrix} =$$

$$= \begin{bmatrix} \frac{EF}{l} & 0 & 0 & \frac{EF}{l} & 0 & 0 \\ 0 & \frac{12EI}{l^3} & \frac{6EI}{l^2} & 0 & \frac{12EI}{l^3} & \frac{6EI}{l^2} \\ 0 & \frac{6EI}{l^2} & \frac{4EI}{l} & 0 & \frac{6EI}{l^2} & \frac{2EI}{l} \\ -\frac{EF}{l} & 0 & 0 & \frac{EF}{l} & 0 & 0 \\ 0 & -\frac{12EI}{l^3} & -\frac{6EI}{l^2} & 0 & \frac{12EI}{l^3} & -\frac{6EI}{l^2} \\ 0 & \frac{6EI}{l^2} & \frac{2EI}{l} & 0 & -\frac{6EI}{l^2} & \frac{4EI}{l} \end{bmatrix} \quad (12.13)$$

$$K_0 = \begin{bmatrix} \frac{EF}{l} & 0 & 0 & -\frac{EF}{l} & 0 \\ 0 & \frac{3EI}{l^3} & \frac{3EI}{l^3} & 0 & -\frac{3EI}{l^3} \\ 0 & \frac{3EI}{l^2} & \frac{3EI}{l} & 0 & -\frac{3EI}{l^3} \\ -\frac{EF}{l} & 0 & 0 & \frac{EF}{l} & 0 \\ 0 & -\frac{3EI}{l^3} & \frac{3EI}{l^3} & 0 & \frac{3EI}{l^3} \end{bmatrix} \quad (12.14)$$



12.3- расм

Бикирлик матрицасининг физик маъноси: икки учимаҳкамланган балкага уч йўналиш бўйлаб бирлик кўчишлар  $\Delta$ ; берилганда, таянчларда ҳосил бўладиган реакциялар БМ нинг элементларини ташкил этади.

Лойиҳалаш амалиётида ҳар доим ҳам рама элементлари координата ўқларига мос келавермайди, баъзи элементлар ўкка нисбатан оғма ҳолатда жойлашуви мумкин. Бундай ҳолларда ОХ ўқига нисбатан ҳосил бўлган бурчакни —  $m$ , ОУ ўқига нисбатан ҳосил бўлган бурчакни —  $n$  деб белгиласак (12.3-расм), қуйидаги янги боғловчи косинус матрицаси келиб чиқади:

$$\Pi = \begin{bmatrix} \Pi_0 & 0 \\ 0 & \Pi_0 \end{bmatrix} \quad \Pi_0 = \begin{bmatrix} m & n & 0 \\ -n & m & 0 \\ 0 & 0 & 1 \end{bmatrix}$$

Матрица  $\Pi$  — квазидиагонал матрица бўлиб, ихтиёрий равишда учраши мумкин бўлган чекли элементнинг БМ сини тузишда фойдаланилади. Бунинг учун хусусий ўқларга нисбатан топилган БМ ни боғланиш матрицасига кўпайтириб, умумий ўқларга нисбатан бикирлик матрицаси топилади:

$$\bar{R} = \bar{\Pi}^T R \Pi \quad (12.15)$$

Матрица  $R, \Pi$  кийматларини (12.15) формулага қўйиб, қуйидаги кўринишга эга бўлган БМ ни ҳосил қиласиз:

$\frac{12EI}{l^3}n^2 + \frac{EF}{l}m^2$	$\left(\frac{EF}{l} - \frac{12EI}{l^3}\right)mn$	$-\frac{6EI}{l^2}m^2 - \frac{12EI}{l^3}$	$\frac{EF}{l}m^2 + \frac{12EI}{l^3}n^2$	$-\frac{EF}{l}mn + \frac{12EI}{l^3}mn$	$-\frac{6EI}{l^2}mn$
$\frac{EF}{l}n^2 + \frac{12EI}{l^3}m^2$	$\frac{6EI}{l^2}mn$	$-\frac{EF}{l}mn + \frac{12EI}{l^3}mn$	$-\frac{EF}{l}n^2 + \frac{12EI}{l^3}m^2$	$\frac{6EI}{l^2}m^2$	
	$\frac{4EI}{l}$	$\frac{6EI}{l^2}$		$-\frac{6EI}{l^2}$	$\frac{2EI}{l}$
		$\frac{EF}{l}m^2 + \frac{12EI}{l^3}n^2$	$\frac{EF}{l}mn - \frac{12EI}{l^3}mn$	$\frac{6EI}{l^2}mn$	
			$\frac{EF}{l}n^2 + \frac{12EI}{l^3}m^2$	$-\frac{6EI}{l^2}m^2$	
				$\frac{4EI}{l}$	

(12.16)

R=

Юкорида келтирилган ЧЭУ нинг умумий формуласи (12.1) яхлит система ёки рама учун берилган бўлса, топилган  $R$ ,  $R_0$   $Q$  лар факат биргина чекли элементга тегишиладир. Агар (12.2) бодганишини топилган БМ ва КМ орқали ифодаласак, (12.3) формулага эга бўламиш.

$R$  — квазидиагонал квадрат матрица бўлиб, унинг тартиби рама элементларининг сони —  $IM$  га teng бўлади; уни раманинг бикрлик матрицаси деб ҳам юритилади. Конструкция чекли элемент усули бўйича ЭХМ да хисобланадиган бўлса, у ҳолда тенгламалар системаси автоматик равишда маҳсус индекс матрицаси ёрдамида тузилади.

Тенгламалар системаси қўйидаги шартларни қаноатлантириши зарур:

1. Тугун ва элементларнинг мувозанат шарти;
2. Тугунларнинг узлуксизлик шарти.
3. Қўчиш ва кучлар бодганишини ифодаловчи шартлар.

Тенгламалар системасини тузиш учун қўйидаги маълумотлар керак:

- конструкция элементларининг ўзаро боғланиши;
- конструкциянинг геометрик, физик ва механик кўрсаткичлари.

#### 12.4. РАМАЛАРНИ ЧЭУ ЁРДАМИДА ҲИСОБЛАШ

Рамаларни ЧЭУ ёрдамида ҳисоблашда ички кучлар матрицасини қўйидаги матрица амали орқали топамиш:

$$S = Q \cdot Z = -Q \cdot \bar{R}^{-1} R_p.$$

Бу ерда  $Q$  — куч матрицаси.

Умумий координата ўқларига нисбатан куч матрицаси қўйидагича аникланади:

$$Q_0 = R \Pi_z.$$

Элементнинг хусусий ўқига нисбатан куч матрицаси унинг бикрлик матрицасига teng. Умумий координата ўқларига нисбатан куч матрицаси (12.17)-жадвал кўринишига эга:

— ташки кучнинг қўйилиш жойи, йўналиши ва сон киймати.

$\frac{EF}{l^m}$	$\frac{EF}{l^n}$	0	$-\frac{EF}{l^m}$	$-\frac{EF}{l^n}$	0
$-\frac{12 EI}{l^3} n$	$\frac{12 EI}{l^3} m$	$\frac{6 EI}{l^2}$	$\frac{12 EI}{l^3} n$	$-\frac{12 EI}{l^3} m$	$\frac{6 EI}{l^2}$
$-\frac{6 EI}{l^2} n$	$\frac{6 EI}{l^2} m$	$\frac{4 EI}{l}$	$\frac{6 EI}{l^2} n$	$-\frac{6 EI}{l^2} m$	$\frac{2 EI}{l}$
$-\frac{EF}{l^m}$	$-\frac{EF}{l^n}$	0	$\frac{EF}{l^m}$	$\frac{EF}{l^n}$	0
$-\frac{12 EI}{l^3} n$	$-\frac{12 EI}{l^3} m$	$\frac{6 EI}{l^2}$	$-\frac{12 EI}{l^3} n$	$\frac{12 EI}{l^3} m$	$-\frac{6 EI}{l^2}$
$-\frac{6 EI}{l^2} n$	$\frac{6 EI}{l^2} m$	$\frac{2 EI}{l}$	$\frac{6 EI}{l^2} n$	$-\frac{6 EI}{l^2} m$	$\frac{4 EI}{l}$

(12.17)

Бу маълумотлар махсус матрицалар орқали ифодаланиб, индекс матрицаси  $\{TT\}$ , конструкция параметр матрицаларини ифодаловчи  $\{PP\}$  матрицаси ва ташки кучларни ифодаловчи  $\{ЮК\}$  матрицаси деб номланади.

Аввало статик ноаник конструкциянинг асосий системасида кабул қилинган кетма-кетлик бўйича  $\{TT\}$  матрицаси, кейин  $\{PP\}$  ҳамда  $\{ЮК\}$  матрицалари тузилади. Сўнгра кабул қилинган тартиб бўйича ҳар бир элемент учун параметр матрицаси  $\{PP\}$  дан фойдаланиб БМ — топилади.  $\{TT\}$  матрицаси ёрдамида  $R_0$  массивидан керакли ҳадларни танлаб олиб, қолган элементларнинг тегишли ҳадларига қўшиш йўли билан (12.11) тенгламалар тизими тузилади.

ЧЭУ да тенгламалар системасини тузиш кўчиш усулидаги каби бўлиб, бу усулда бурчакли кўчишдан ташкари бўйлама ва кўндаланг кўчишлар ҳам хисобга олинади.

Тенгламалар системасининг озод ҳадлари осон топилади. Берилган барча ташки кучлар тугунларга тўпланиб, номаълум кўчишлар йўналишига келтирилади (12.1-расм, в).

$\{ЮК\}$  матрицасида ташки кучларнинг қиймати ва йўналиши ифодаланади. Тенгламаларни тузганда, шу йўналиш бўйлаб тенгламада жой ажратилади.

Тенгламаларнинг тартиби киритилган квадратлар, шарнирлар ва талаб қилинган кўчишлар сонига қараб

аниқланади. Тенгламанинг кўриниши лентасимон бўлиб, унинг симметриклиги ҳисобга олинса, диагоналнинг бир томонини аниқлаш кифоя қиласди.

Тенгламанинг умумий кўриниши қўйидагича:

$$(II'RII)z + R_p = 0. \quad (12.18)$$

Тенгламалар системасини ечиш — тугунлардаги кўчишларни аниқлаш, умумий ички куч матрицаларини топишдан иборат. Лентасимон диагонал тенгламаси очилса, ҳакиқий кўчиш матрицаси топилади. Агар лента тузилишини ҳисобга олсан, юкори даражали тенгламалар системасини ечиш учун Гаусс ёки бошқа тақрибий усулини кўллаш мақсадга мувофиқдир.

Ечишни  $R^{-1}$  матрицасига алмаштириш усулидан фойдаланиб, амалга ошириш мумкин:

$$\bar{R}^{-1} = (II^{-1}RII)^{-1} \quad (12.19)$$

Тенгламалар системасининг ечими кўчиш матрицасини ифодалайди. Номаълум матрица —  $z$  аниқлангандан сўнг элементнинг учларидаги ички кучларнинг кийматини аниқлаш қийин эмас. Агар БМ ва КМ эгувчи момент, кирқувчи ва бўйлама кучларни ҳисобга олиб тузилган бўлса, у холда охирги элементнинг иккала учлари учун  $M$ ,  $Q$ ,  $N$  ички кучларини аниқлаб олиш мумкин:

$$S = \bar{Q} \cdot z.$$

Юкорида айтилганидек, раманинг элементлари муутазам, яъни қатъий горизонтал ва вертикал бўлганида, ички кучлар қўйидагича топилади:

$$S = R \cdot z.$$

## 12.5. ҲИСОБЛАШ НАМУНАСИ

Умуман ЧЭУ ЭХМ га мослашган бўлгани учун конструкцияларни кўлда шу усул бўйича ҳисоблаш бошқа усулларга нисбатан бирмунча мураккабдир. Шунинг учун ҳам оддий мисолларда усулнинг барча имкониятларини тўлалигича очиб бериш қийин. Қўйида ЧЭУ нинг баъзи имкониятларини ва кетма-кетлигини кўрсатиш мақсадида энг содда мисоллар келтирилган.

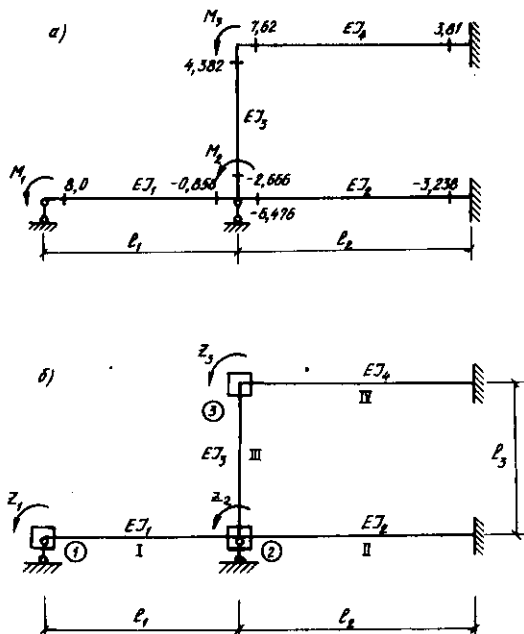
Чекли элементлар усули асосида ЭХМларга бир неча ҳисоблаш дастурлари яратилган. Бу усул асосида Тошкент архитектура ва курилиш институтининг мутахассислари

томонидан эластик конструкцияларни хисоблаш ва оптималлаштириш дастури КРОУС — IV яратилган ва ЕС — ЭХМ машиналариغا ва шахсий компьютер IBM га мослаштирилган. Бу КРОУС дастури турли даражада мураккабликка эга бўлган стерженлардан ташкил топган конструкцияларни хисоблаш ва лойиҳалаш имконини беради.

### 1- мисол.

12.4- расм, а да кўрсатилган раманинг тугунларига таъсир этаётган эгувчи моментлардан ҳосил бўлган тугунлардаги кўчишлар аниқлансин.

Хисобни асосий система танлашдан бошлаймиз. (12.4- расм, б), тугунлардаги бурчакли кўчишлар сони 3- га, чекли элементлар сони IM — 4- га тенг. Элементлар тартибини рим раками (I, II, ... IV) билан, номаълум кўчишларни 1, 2, 3 орқали белгиласак, индекс матрицаси {TT} қўйидаги кўринишда бўлади:



12.4- расм

$$\{TT\} = \begin{bmatrix} 1 & 2 \\ 2 & 0 \\ 2 & 3 \\ 3 & 0 \end{bmatrix}$$

Параметр матрицаси ҳар бир элементнинг бикирлигиги  $EI_i$ , узунлигини  $l_i$ , та  $n$  орқали  $XOY$  ўқларига боғликликларини ифодалайди.

$$\{PAR\} = \begin{bmatrix} EI_1, & l_1 & m_1 & n_1 \\ EI_2, & l_2 & m_2 & n_2 \\ EI_3, & l_3 & m_3 & n_3 \\ EI_4, & l_4 & m_4 & n_4 \end{bmatrix}$$

Юк матрицасини  $\{\text{ЮК}\}$  ташкил қилиш учун тугунлардаги номаълум кўчишлар йўналишидан фойдаланилади.

$$\{\text{ЮК}\} = \begin{bmatrix} M_1 \\ M_2 \\ M_3 \end{bmatrix} = \begin{bmatrix} 8 \\ -10 \\ -12 \end{bmatrix}$$

Раманинг бикирлик матрицасини аниклашда  $\{TT\}$  ҳамда  $\{PAR\}$  матрицаларидан фойдаланилади, яъни  $R = \Pi K \Pi$ . Тенгламалар системасини тузишда эса юк матрицаси озод ҳад сифатида катнашади:

$$R_p = \{\text{ЮК}\}.$$

Бу ерда  $\Pi$  — косинус матрицаси бўлиб,  $\{PAR\}$  матрицасидан келтириб чиқарилади.

ЭҲМ да ҳисоб аввало ҳар бир чекли элементнинг бикирлик матрицасини  $R_1, R_2, R_3$  ва  $R_4$  аниклашдан бошланиб, сўнгра раманинг туташтирилмаган элементлари бикирлик матрицаси тузилади.

Умумий туташтирилмаган элементларнинг бикирлик матрицалари куйидагича бўлиб,

$$K = \begin{bmatrix} R_1 & & & \\ & R_2 & & \\ & & R_3 & \\ & & & R_4 \end{bmatrix}$$

тенгламалар системаси түзилади:

$$\begin{aligned} \frac{4EI_1}{l_1} z_1 + \left( \frac{2EI}{l_1} \right) Z_2 &= M_1 \\ \frac{2EI_1}{l_1} z_1 + \left( \frac{4EI_1}{l_1} + \frac{4EI_2}{l_2} + \frac{4EI_3}{l_3} \right) Z_2 + \frac{2EI_3}{l_3} Z_3 &= -M_2 \\ \frac{2EI_3}{l_3} z_2 + \left( \frac{4EI_3}{l_3} + \frac{4EI_4}{l_4} \right) Z_3 &= M_3. \end{aligned}$$

Тенгламаларни очиб, номаълум  $Z_i$  күчишларни аник-лаймиз;

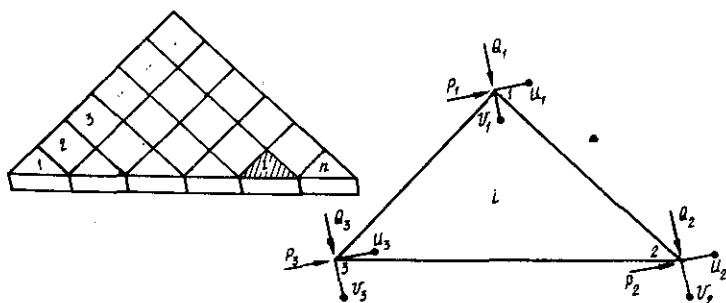
$$z_1 = \frac{1}{l} 2.809; z_2 = -\frac{1}{l} 1.619; z_3 = \frac{1}{l} 1.905.$$

Бўйлама ва кўндаланг деформациялар ҳам худди юкорида кўрсатилгандек ҳисобга олиниши мумкин.

## 12.6. ПЛАСТИНАСИМОН КОНСТРУКЦИЯЛАРНИ ЧЭУ ЁРДАМИДА ҲИСОБЛАШ

Икки ўлчамли ясси жисмлар учбурчак ёки тўртбурчак шаклидаги чекли элементларга бўлинади. Ҳар бир учбурчак ёки тўртбурчак чекли элемент ҳисобланади (12.5, 12.6- расмлар).

Унинг бажарган ишини такрибий формула орқали ифодалаш мумкин. Масалан, учбурчак учларини 1, 2, 3 ракамлари билан белгилаб, шу ракам орқали ҳар бир учбурчакдаги микдорни белгилаб оламиз. Учбурчак учларида  $X$  ва  $Y$  ўқлари йўналиши бўйича  $u$  ва  $v$  күчишла-



12.5-расм

ри содир бўлиши ёки шу йўналишларда  $P$  ва  $Q$  ташки кучлари таъсир қилиши мумкин (12.5-расм).

Юкорида кабул килинганидек, (12.4), кўчишларни ифодаловчи чизикли функциялар киритамиз.

$$u = \alpha_1 + \alpha_2x + \alpha_3y, \quad v = \alpha_4 + \alpha_5x + \alpha_6y \quad (12.20)$$

$\alpha_1, \alpha_2, \alpha_3, \dots, \alpha_6$  коэффициентларни шундай олиш керакки, учбурчак учларидаги кўчишларнинг киймати масаланинг шартини қаноатлантирусин.

Кўчишлар векторини матрица ифодасига келтирсан

$$\vec{z}(x, y) = N(x, y)\alpha, \quad (12.21)$$

бу ерда

$$\vec{z}(x, y) = \begin{bmatrix} u \\ v \end{bmatrix}; \quad N(x, y) = \begin{bmatrix} 1 & x & y & 0 & 0 & 0 \\ 0 & 0 & 0 & 1 & x & y \end{bmatrix}; \quad \alpha = \begin{bmatrix} \alpha_1 \\ \alpha_2 \\ \vdots \\ \alpha_6 \end{bmatrix}$$

Эластиклик назариясидаги Коши формуласи

$$\epsilon_x = \frac{\partial u}{\partial x}; \quad \epsilon_y = \frac{\partial v}{\partial y}; \quad \gamma = \frac{\partial u}{\partial x} + \frac{\partial v}{\partial y} \dots \quad (12.22)$$

хисобга олинса, деформациялар қуидаги боғланишга эга бўлади:

$$\begin{bmatrix} \epsilon_x \\ \epsilon_y \\ \gamma \end{bmatrix} = \begin{bmatrix} \frac{\partial u}{\partial x} \\ \frac{\partial v}{\partial y} \\ \frac{\partial u}{\partial y} + \frac{\partial v}{\partial x} \end{bmatrix} = \begin{bmatrix} 0 & 1 & 0 & 0 & 0 & 0 \\ 0 & 0 & 0 & 0 & 0 & 0 \\ 0 & 0 & 1 & 0 & 1 & 0 \end{bmatrix} \vec{\alpha}$$

ёки

$$\vec{\epsilon} = B\vec{\alpha}.$$

(12.23)

Пластина учун Гук конуни

$$\vec{\sigma} = D\vec{\epsilon} \quad (12.24)$$

эканлигини хисобга олиб, (12.23) ни (12.24) га қўйсак,

$$\vec{\sigma} = DB\vec{\alpha}$$

келиб чиқади.

Потенциал энергияни пластинадаги мүмкін бўлган кўчишлар орқали ифодаси қўйидаги кўринишга эга.

$$U = \frac{1}{2} \iint_F \sigma \varepsilon dxdy = \frac{1}{2} a R^* \bar{a} \quad (12.25)$$

бўлиб,  $R^*$  — биз қидирган бикирлик матрицасидир.

$$R^* = h \iint_F B^T D B dxdy. \quad (12.26)$$

Учбуручак кўринишига эга бўлган чекли элементнинг (12.5- расм) бикирлик матрицасининг энг содда кўриниши қўйидагичадир:

$$R^* = \frac{Eh}{12(1-\mu^2)} \begin{bmatrix} 6\beta & 0 & 6\mu \\ 0 & 3(1-\mu)\beta^{-1} & 0 \\ 6\mu & 0 & 6\beta^{-1} \end{bmatrix}$$

бу ерда  $h$  — пластина қалинлиги

$$\beta = b/a.$$

Умуман пластиинанинг бикирлик матрицаси

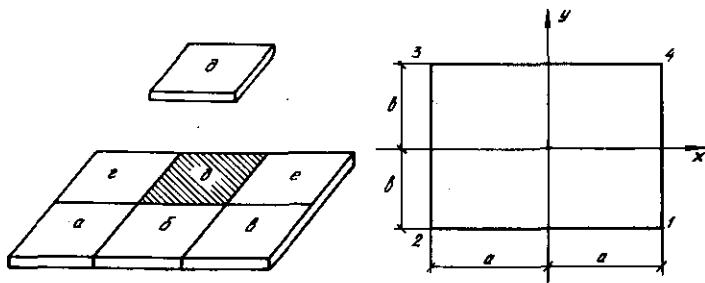
$$R = \Pi^T R^* \Pi$$

кўринишида аниқланади.

Пластиналарни ҳисоблашда чекли элемент тўғри бурчакли тўртбурчак кўринишида бўлиши ҳам мүмкін (12.6- расм). Бундай холатдаги кўчишларни қўйидагича белгилаймиз:

$$u = \alpha_1 u_1 + \alpha_2 u_2 + \alpha_3 u_3 + \alpha_4 u_4$$

$$v = \alpha_1 v_1 + \alpha_2 v_2 + \alpha_3 v_3 + \alpha_4 v_4$$



12.6- расм

Буни матрица кўринишида ёзамиш:

$$\begin{bmatrix} u \\ v \end{bmatrix} \begin{bmatrix} \alpha_1 & 0 & \alpha_2 & 0 & \alpha_3 & 0 & \alpha_4 & 0 \\ 0 & \alpha_1 & 0 & \alpha_2 & 0 & \alpha_3 & 0 & \alpha_4 \end{bmatrix}$$

Оралиқдаги амалларни ташлаб ўтилса, чекли пластина нинг бикирлик матрицаси қуидаги умумий кўринишига эга бўлади:

$$R = \begin{bmatrix} A_{11} & B_{12} & C_{13} & D_{14} \\ B_{21} & A_{22} & D_{23} & C_{24} \\ C_{31} & D_{32} & A_{33} & B_{34} \\ D_{41} & C_{42} & B_{43} & A_{44} \end{bmatrix}$$

Энг содда квадрат кўринишига эга бўлган чекли пластина учун

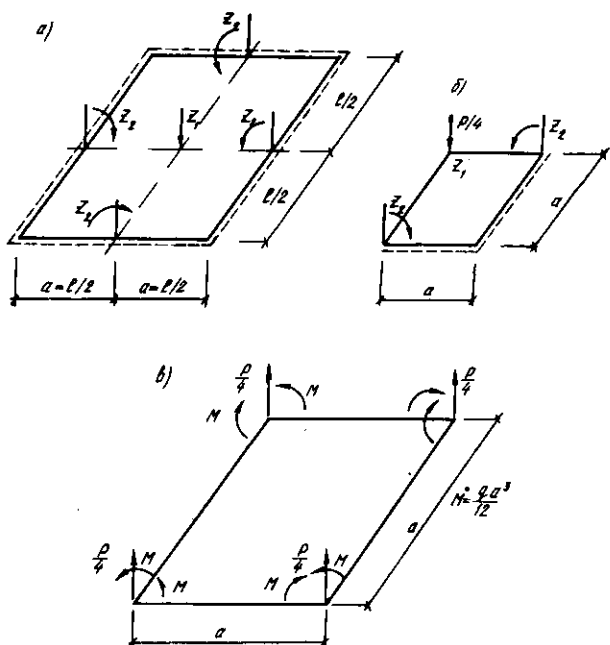
$$A_{11} = \begin{bmatrix} 52,8 & 12,2a & 12,2a \\ 7,6a^2 & 1,5a^2 \\ 7,5a^2 \end{bmatrix} B_{12} = \begin{bmatrix} -22,8 & 10,7a & 2,8a \\ 3,1a^2 & 0 \\ 2,4a^2 \end{bmatrix}$$

$$C_{13} = \begin{bmatrix} -7,2a & 4,3a & 4,3a \\ 1,9a^2 & 0 \\ 1,9a^2 \end{bmatrix} D_{14} = \begin{bmatrix} -22,8 & -2,8a & 10,7a \\ 2,4a^2 & 0 \\ 3,1a^2 \end{bmatrix}$$

$$A_{22} = \begin{bmatrix} 52,8 & -42,2a & 12,2a \\ 7,6a^2 & -1,5a^2 \\ 7,6a^2 \end{bmatrix} D_{23} = \begin{bmatrix} -22,8 & -2,8a & 10,7a \\ 2,4a^2 & 0 \\ 3,1a^2 \end{bmatrix}$$

$$C_{24} = \begin{bmatrix} -7,2a & 4,3a & 4,3a \\ 1,9a^2 & 0 \\ 1,9a^2 \end{bmatrix} A_{33} = \begin{bmatrix} 52,8 & -12,2a & -12,2a \\ 7,6a^2 & 1,5a^2 \\ 7,6a^2 \end{bmatrix}$$

$$B_{34} = \begin{bmatrix} -22,8 & -10,7a & -2,8a \\ 3,1a^2 & 0 \\ 2,4a^2 \end{bmatrix} A_{34} = \begin{bmatrix} 52,8 & 12,2a & -12,2a \\ 7,6a^2 & -1,5a^2 \\ 7,6a^2 \end{bmatrix}$$



12.7-расм

Юкорида келтирилган учбурчак ва тўртбурчак шаклидаги чекли элементлар бикирлик матрицалари ҳар хил кўриниш ва ўлчамга эга бўлган текис юзалик плита — пластиналарни хисоблаш учун асос бўла олади.

Чекли элементнинг хили, уларнинг хисоб жараёнидаги қабул қилинган сонлари масалани аниқлик даражасини белгилайди. Берилган конструкция канча кўп чекли элементларга бўлинса, хисобнинг аниқлиги шунча юкори бўлади.

**Мисол.** Квадрат (12.7-расм) кўринишига эга бўлган, шарнирли таянган пластинани текис ёйик куч таъсирига хисоблансин.

Берилган мисолнинг асосий системаси 12.7-расм, а да кўрсатилган бўлиб, пластина симметрик бўлганлиги учун у иккита номаълум кўчишга эга:  $z_1$  — пластина ўртасидаги солқилик,  $z_2$  — чеккадаги бурилиш бурчаги. Демак, тенглама куйидаги кўринишига эга бўлади:

$$Rz + R_p = 0; z = \begin{bmatrix} z_1 \\ z_2 \end{bmatrix}$$

Юкоридаги квадрат матрица БМ дан фойдалансак,

$$R_{11}=52.8 \frac{D}{5a^2}, R_{12}=R_{21}=-21.4 \frac{D}{5a}$$

$$R_{22}=15.2 \frac{D}{5}$$

келиб чиқади.

Юк матрицасини тузиш учун текис ёйик ташки кучни тугунларга түплаймиз. Бунда юк матрицаси қуийдаги күренишга келиб,

$$R_p = \begin{bmatrix} -\frac{5qa^4}{4D} \\ 0 \end{bmatrix} = \begin{bmatrix} \frac{P}{4} \\ 0 \end{bmatrix}$$

тенгламалар системасининг ечими

$$W_{max}=Z_1=0,003446 \frac{qI^4}{D}; M_{max}=0,0572 ql^2;$$

$$Z_2=0,00970 \frac{qI^3}{D}.$$

бўлади.

Агар берилган пластинани  $a=\frac{l}{4}$  деб, тўртга бўлганда  $W_{max}=Z_1=0,003939 \frac{qI^4}{D}$ ,  $M=0,04873ql^2$  кийматига эга бўлардик. Бу солқиликнинг аниқ микдори  $W_{max}=0,004062 \frac{qI^2}{D}$ ,  $M_{max}=0,0479ql^2$  ни инобатга олсак, юкоридаги холоса тасдиқланади. Агарда бу пластинани  $a=\frac{l}{2}$  деб, тугунлардаги моментларни ( $M=-\frac{qa^2}{12}$ ) ҳам инобатга олиб ҳисобланса, у ҳолда  $W_{max}=0,004259 \frac{qI^2}{D}$  бўлиб, аниқлик 4,75 фоизга тенг бўлади.

Шундай килиб, чекли элемент усули бошқа ҳамма усулларга нисбатан ўзининг универсаллиги, машина-боплиги ва самарадорлиги билан ажralиб туради. Бу усул қўп омилларни ҳисобга олиш имконини беради. Ҳозир кенг кўлланилаётган дастурлар шу усулга асосланган.

## 12.7. МУРАККАБ КОНСТРУКЦИЯЛАРНИ СУПЕР ЭЛЕМЕНТЛАР УСУЛИ ЁРДАМИДА ХИСОБЛАШГА ДОИР ТҮШҮНЧАЛАР

Электрон хисоблаш машиналарининг, хусусан, ўрта имкониятли кичик ва микро ЭХМ ларнинг хотиралари чегараланган бўлгани учун юкори даражада мураккаб конструкцияларни хисоблаш имконияти ҳам чегараландир.

Бундай мураккаб масалаларни ечиш учун «диокоптика» усулидан, яъни мураккаб конструкцияларни содда бўлакларга бўлиш усулидан фойдаланиш максадга мувофиқдир. Хисобнинг бу йўли супер элемент усули деб юритилади. Бу усулга кўра мураккаб статик ноаник конструкция соддароқ ноаник конструкцияларга ажратилади.

Супер элемент усулининг хисоблаш коидаси юкорида кўриб ўтилган ЧЭУ га ўхшашибир, бу ерда чекли элемент ўрнига супер элемент, яъни содда статик ноаник элемент қабул қилинади.

Супер элемент усулининг математик талқини куйидаги-ча бўлиши мумкин:

$$[R]\{\Delta\} = \{P\} \quad (12.27)$$

Бу ерда  $\{\Delta\}$ ,  $\{P\}$  — кўчиш ва куч матрицалари.

Конструкциянинг бикирлик матрицаси  $[R]$  ни блок матрицаси кўринишида ёзамиз:

$$[R] = \begin{bmatrix} K_{ii} & K_{in} \\ K_{ni} & K_{nn} \end{bmatrix} \quad (12.28)$$

Бу ерда:  $K_{ii}$ ,  $K_{nn}$  — супер элементларнинг хусусий бикирликларини ифодаловчи матрицалар;

$K_{1n}$ ,  $K_{ni}$  — элементларнинг ўзаро муносабатини ифодаловчи бикирлик матрицалари.

Агарда умумий тенгламани соддароқ кўринишда ёзсан:

$$\begin{aligned} [K_{ii}]\{\Delta_i\} + [K_{in}]\{\Delta_n\} &= \{P\} \\ [K_{ni}]\{\Delta_i\} + [K_{nn}]\{\Delta_n\} &= \{P\} \end{aligned} \quad (12.29)$$

келиб чиқади.

Бу ерда  $\Delta_i$  — супер элементларнинг туташган нуктадаги кўчишлар матрицаси;

$\Delta_n$  — конструкция тугунларидаги ташки кўчишлар матрицаси.

Уларни аниклаш учун қуйидаги амалларни бажариш кифоя:

$$\begin{aligned}\{\Delta_i\} &= ([K_{ii}] - [K_{in}] [K_{nn}]^{-1} [K_{ni}]) \ (\{P_i\} - [K_{in}] [K_{nn}]^{-1} \{P_n\}) \\ \{\Delta_n\} &= ([K_{nn}] - [K_{ni}] [K_{ii}]^{-1} [K_{in}]) \ (\{P_n\} - [K_{ni}] (K_{ii})^{-1} \{P_i\})\end{aligned}\quad (12.30)$$

Агарда қуйидаги белгилашлар киритилса:

$$\begin{aligned}[K_{nn}^*] &= [K_{nn}] - [K_{ni}] [K_{ii}]^{-1} [K_{in}]^{-1} \\ \{P_n^*\} &= \{P_n\} - [K_{in}] [K_{ii}]^{-1} \{P_i\} \\ [K_{ii}^*] &= [K_{ii}] - [K_{in}] [K_{nn}]^{-1} [K_{ni}]^{-1} \\ \{P_i^*\} &= \{P_i\} - [K_{in}] [K_{nn}]^{-1} \{P_n\}\end{aligned}\quad (12.31)$$

у холда супер элемент усулининг хусусий тенгламаси келиб чиқади:

$$\begin{aligned}[K_{nn}^*] \{\Delta_n\} &= \{P_n^*\}; \\ [K_{ii}^*] \{\Delta_i\} &= \{P_i^*\}\end{aligned}\quad (12.32)$$

Кўриниб турибдики, иккита тенгламанинг тартиби умумий тенглама (12.27) дан анча кам бўлиб,  $\Delta_i$  ва  $\Delta_n$  кўчишларни алоҳида, бир-бирига боғланмаган холда аниклаш имконини беради.

Шундай килиб, супер элемент -- бу бикирлиги аник бўлган кичик система бўлиб, берилган мураккаб системанинг таркибий кисми ҳисобланади.

Супер элемент усулининг ҳисоблаш тартиби қуйидаги-ча:

- Берилган конструкцияни супер элемент усулига мос бўлакларга бўлувчи ҳисоблаш тархи танланади.
- Қабул килинган ҳисоблаш тархига доир системани бир чеккадан содда супер элемент (СЭЛ) ларга бўлинади.
- Икки хил кўчишларга доир тенгламалар тизими тузилади ва ечилади.
- Топилган ички  $\Delta_i$  ва ташки  $\Delta_n$  кўчишлар орқали ички кучлар аникланади:

$$\{S\} = [K] \{\Delta\}^{pt}$$

Бу ерда

$$\{\Delta_i\}^{pt} = C \{\Delta_n\}^{pt} = C ([K_n]^{pt})^{-1} \{P\}^{pt}$$

Матрица С — бирлаштириш матрицаси бўлиб, конструкция элементларининг ўзаро боғланишларини ифодайди.

Супер элемент усули машинабоп усул бўлиб, энг мураккаб конструкцияларни ЭХМда хисоблаш имконини беради. Бу усул куйидаги имкониятларга эга:

— ҳар хил конструкциядан (ферма, рама, арка ва б.) ташкил топган мураккаб иморат ва иншоотларни хисоблаш;

— устуворлик, мустаҳкамлик ва динамика масалаларини ҳал қилиш;

— конструкциянинг ўзига хос ҳусусиятларини, чизиксиз деформацияларни ва бошқа омилларни инобатга олиш;

— ер ости ва устидаги конструкцияларнинг бирга ишлашини инобатга олиш;

— ҳар хил мураккабликдаги конструкцияларнинг чидамлилигини аниқлаш;

— конструкция параметрларининг энг мақбул — оптимал ечимларини топиш;

Умуман супер элемент усули кема, тайёра ва космик кемалар каби жуда мураккаб конструкцияларни хисоблашда кенг қўлланилади.

## 13-боб

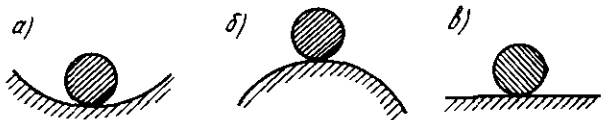
### СТЕРЖЕНЛИ СИСТЕМАЛАРНИНГ УСТУВОРЛИГИ

#### 13.1. АСОСИЙ ТУШУНЧАЛАР

Устуворлик деганда, иншоотнинг ташки кучлар таъсирда ўзининг дастлабки ҳолатини ёки деформациясининг дастлабки шаклини саклаб туриш хоссаси тушунилади.

Иншоотларнинг устуворлиги ҳам мустаҳкамлиги сингари ташки кучларнинг микдорига боғлик. Куч маълум микдорга етгунча иншоот ўзининг устувор ҳолатини ёки деформациясининг дастлабки шаклини саклаб туради. Куч маълум микдордан ошганда, иншоотнинг устуворлиги бузилади, яъни дастлабки ҳодати ёки деформация шакли ўзгаради.

Фикримизни мисоллар ёрдамида равшанлаштирамиз. 13.1-расмда ботик, қабарик ва текис сиртга ўрнатилган оғир шарча тасвирланган. Агар шарчани бироз оғдириб, сўнг ўз ҳолига кўйсак, куйидаги вазият юзага келади: биринчи ҳолда шарча ўзининг дастлабки ҳолатига қайтиб



13.1- р а с м

келади. Унинг бу ҳолати устувор мувозанат ҳолати деб аталади. Бу ҳолда шарча энг кичик потенциал энергияга эга бўлади. Иккинчи ҳолда шарча дастлабки ҳолатига қайтмайди. Бу ҳол ноустувор мувозанат ҳолатига киради. Бунда шарчанинг потенциал энергияси энг катта кийматга эга бўлади. Учинчи ҳолда шарча озгина юриб тўхтайди, дастлабки ҳолатига қайтмайди. Бундай ҳолат бефарқ мувозанат деб юритилади. Бунда потенциал энергия ўзгармас бўлади.

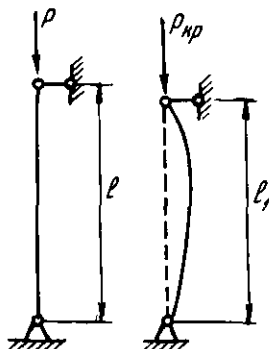
Келтирилган мисол каттиқ жисм ҳолатининг устуворлигига доир. Биз бу мисол ёрдамида устувор, ноустувор ва бефарқ мувозанатлар қандай бўлишини билиб олдик. Энди мана шу вазиятлар эластик системаларда қай тариқа содир бўлишини кўриб ўтайлик.

Маълумки, ташки кучлар таъсирида эластик системаларда эластик деформациялар ҳосил бўлади. Ташки кучларнинг микдори орта бориб, маълум кийматга етганда, деформация шакли ноустувор бўлиб колади; бошқача қилиб айтганда, ташки кучларнинг маълум кийматида эластик системанинг дастлабки деформация шакли ўз устуворлигини йўқотади. Система устуворлиги йўқолганда, ташки ва ички кучлар орасидаги мувозанат ҳам бузилади.

Устувор ва ноустувор ҳолат орасидаги чегара система-нинг бефарқ ҳолати деб аталади.

Устувор мувозанат ҳолатидаги системани кичик масо-фага оғдирилса, оғдирувчи сабаб йўқолгач, система дастлабки ҳолатига қайтади. Ноустувор мувозанатда қўшимча юқ қўйилмаса ҳам деформация давом этади. Бефарқ мувозанатда эса система оғганича колаверади.

Амалда устуворлик бузилиши (йўколиши) нинг икки тури мавжуд. Устуворлик бузилишининг биринчи турида, яни куч аста ортиб борганда, деформациянинг дастлабки шакли йўқолиб, унинг ўрнига янги шакли ҳосил бўлади ва ривожланиб боради.



13.2- расм

Деформацияни бир шаклдан иккинчи шаклга ўтказувчи күч критик күч<sup>1</sup> деб аталади.

Устуворлик бўзилишининг биринчи турига мисол келтирамиз (13.2-расм). Агар  $P < P_{kp}$  бўлса, устун тўғри чизиқли ҳолатини саклайди. Мувозанатнинг бу кўриниши устувор мувозанат саналади. Агар устунни тўғри чизиқли ҳолатидан чикарilsа (масалан, озгина туртки берилсa), стержень тебрана бошлайди ва ички кучларнинг каршилиги туфайли яна дастлабки тўғри чизиқли ҳолатига қайтади.

Сикувчи күч  $P$  нинг киймати орта бориб, критик кийматга етганда мувозанатнинг тўғри чизиқли шакли ноустуров бўлиб қолади. Кучнинг кийматида берилган озгина туртки устунда деформациянинг янги шаклини — эгилиш деформациясини ҳосил қиласди.

$P = P_{kp}$  бўлганда, устуннинг тўғри чизиқли деформацияси ноустуров, эгри чизиқли деформацияси эса устуров бўлади. Кучнинг киймати критик кийматдан яна бироз ошса, эгилиш деформацияси тез ўсиб бориб, устун бутунлай ишдан чиқади.

Устуворликнинг бузилиши (йўқолиши)нинг иккинчи турини кўриб ўтамиз. Устуворлик бузилишининг иккинчи турида деформациянинг янги шакли пайдо бўлмай, дастлабки деформация кескин равишда ўсиб боради (13.3-расм, а).

Маълум чегарада С шарнирга қўйилган  $P$  кучининг ортиши билан солқилик  $y_c$  хам мос равишда ортиб боради. Бунда ташки ва ички кучлар орасидаги мувозанат сакланади. Бироқ бу жараён давомида шундай ҳолат вужудга келадики, бунда ташки күч  $P$  нинг киймати ортмаса хам солқилик  $y_c$  ортиб бораверади (13.3-расм, б). Деформациянинг узлуксиз равишда ўсиб боришига олиб келувчи ўзгармас күч критик күч деб аталади.  $P = P_{kp}$  бўлганда, ташки ва ички кучлар орасидаги мувозанат ноустуров бўлади.  $P > P_{kp}$  бўлганда, мувозанат

<sup>1</sup> Критик күч – танг ҳолатни вужудга келтирувчи күч.



13.3- р а с м

умуман мавжуд бўлмайди. Бу ҳодиса устуворлик бузилишининг иккинчи тuri деб аталади.

Иншоотларни устуворликка ҳисоблашда баъзи чекланышлар ва фаразларга йўл кўйилади. Масалан, рамаларни ҳисоблашда система мутлақ тўғри чизикли стерженлардан ташкил топган деб фараз этилади.

Устуворлик бузилганда стержендаги силжиш ва бўйлама деформациялар ҳисобга олинмай, фактат эгилиш деформацияси текширилади. Бунда стержень эгилган ўқининг куйидаги такрибий дифференциал тенгламасидан фойдаланилади:

$$EIy'' = -M_x.$$

Ваҳоланки, дифференциал тенгламанинг аниқ ифодаси куйидаги кўринишга эга:

$$EI \frac{y''}{[1 + (y')^2]^{3/2}} = -M_x.$$

Икки учи шарнирли маҳкамланган стерженнинг устуворлиги масаласини биринчи бўлиб 1744 йилда Леонард Эйлер хал этган. Ўша даврлардан буён иншоотлар устуворлиги масаласи ривожлана бориб, ҳозирги даврда курилиш механикасининг катта соҳасига айланди.

Критик кучларни аниклашда статик, динамик ва энергетик деб аталувчи асосий усуллар кўлланилмоқда.

Статик усул замирида стерженини системанинг устуворлиги йўқолгандан кейинги деформацияланган ҳолати ётади, яъни стерженнинг эгилган ҳолати учун мувозанат тенгламалари тузилади ва улардан системани шу ҳолатда ушлаб турга оладиган кучнинг қиймати аникланади. Бу куч критик куч бўлади.

Динамик усулга кўра берилган система учун хусусий тебраниш тенгламаси тузилади ва бу тенгламадан

хусусий тебранишлар частотаси нолга тенглиги шартидан фойдаланиб, критик кучнинг киймати  $P_{kp}$  аниқланади.

Энергетик усул Дирихле қоидасига асосланади. Бу қоидага биноан устувор мувозанат ҳолатида система-нинг потенциал энергияси  $\Pi$  минимал кийматга эга бўлади, бефарқ мувозанат ҳолатида эса потенциал энергиянинг икки қўшни кийматлари орасидаги фарқ  $\Delta\Pi$  нолга тенг бўлади:

$$\Delta\Pi = \Delta v - \Delta E = 0,$$

бу ерда  $v$  — ички кучлар потенциал энергияси;

$E$  — ташқи кучлар потенциал энергияси.

Бундан  $\Delta^e = \Delta E$  келиб чиқади.

Бу қоидага асосланаб системалар учун аниқ тенгламалар тузилади ва улардан критик кучнинг киймати аниқланади.

Иншоотга таъсир этувчи юк орта бориб, ўзининг критик кийматига эришганда, иншоотда танг (критик) ҳолат вужудга келади, юк яна бироз оширилса, иншоот бутунлай ишдан чиқади (бузилади). Тарихда сиқилган стерженлар устуворлигининг йўқолиши оқибатида иншоотларнинг кулаб тушиш ҳолати кўп учрайди. Масалан, 1907 йили АҚШнинг Шимолий Лаврентия дарёсига курилган металл кўприк қулаб тушиб, 74 киши ҳалок бўлган. Бу фожиага сикилишга ишлайдиган стерженлар устуворлигининг нотўғри ҳисобланганлиги сабаб бўлган.

Шунга ўхшаш фалокат 1891 йили Швейцарияда рўй берган, 12 вагонли пассажир поезди кўприкдан ўтадётганда, кўприк босиб колган. Фалокат натижасида 74 киши ўлиб, 200 киши тан жароҳати олган. Кўприк фермасининг сикилувчи ховонларидан бирининг устуворлигини йўқолиши кўприкни ҳалокатга олиб келган.

Бинокорлик ва кўприксозлик тарихида бунга ўхшаш мисоллар оз эмас. Бирок иншоотлар устуворлиги масала-сини тўғри ҳал этилиши инсонлар учун нақадар катта ахамиятга эга эканлиги юкоридаги икки мисолдан якъол кўриниб турибди.

### 13.2. СИҚИЛГАН СТЕРЖЕНЛАР УЧУН ЭЙЛЕР ФОРМУЛАСИ

Икки учи шарнирли маҳкамланган стерженга марказий Р кучи кўйилган (13.4-расм). Сиқувчи кучнинг киймати  $P_{kp}$  дан кичик бўлса, стержень бирдан-бир тўғри чизикли

мувозанат шаклига эга бўлади.  $P = P_{kp}$  бўлганда, стержень икки хил: тўғри чизикли ва эгри чизикли мувозанат шаклига эга. Бунда тўғри чизикли мувозанат — ноустуров, эгри чизиклиси — устувор хисобланади. Критик кучни аниқлаш учун солқиликнинг дифференциал тенгламасидан фойдаланамиз:

$$EJ_{\min}y'' = -M_x, \quad (13.1)$$

бу ерда  $x$  — стержендаги ихтиёрий нуктанинг координати;

$y$  — шу нуктанинг солқилиги;

$E$  — эластиклик модули;

$J_{\min}$  — стержень кўндаланг кесимининг минимал инерция моменти;

$EJ_{\min}$  — стерженнинг эгилишга бўлган минимал бикирлиги;

$M$  — ташки кучлар эгувчи моменти.

Бизнинг ҳолда  $M_x = P_y$ .

Моментнинг қийматини (13.1) га қўямиз

$$y'' = -\frac{M_x}{EJ_{\min}} = -\frac{P_y}{EJ_{\min}}.$$

Қўйидаги белгилашини қабул қилсак:

$$\alpha^2 = -\frac{P}{EJ_{\min}}, \quad (13.2)$$

тенглама ихчамлашади

$$y'' + \alpha^2 y = 0. \quad (13.3)$$

Мазкур тенгламанинг ечими қўйидаги кўринишга эга:

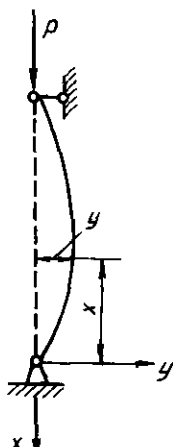
$$y = A \sin \alpha x + B \cos \alpha x.$$

Ихтиёрий ўзгармаслар А ва В қўйидаги чегаравий шартлардан топилади:  $x=0$  бўлганда,  $y=0$  ҳамда  $x=l$  бўлганда,  $y=0$ .

Биринчи шартдан  $B=0$  келиб чиқади. Бинобарин стержень эгилган ўқининг тенгламаси қўйидаги кўринишни олади:

$$y = A \sin \alpha x. \quad (13.4)$$

Демак, стержень синусоида шаклида эгилар экан.



13.4-расм

Иккинчи шартдан  $A \sin \alpha l = 0$  ҳосил бўлади. Бу шарт куйидаги икки ҳолга тўғри келади:

1)  $A=0$ , бунда стержень эгилмайди, чунки (13.4) га биноан барча кесимлардаги солқилик нолга тенг.

2)  $\sin \alpha l = 0$ , бундан  $\alpha l = \pi; 2\pi; \dots n\pi$  эканлиги келиб чиқади.

Натижада  $\alpha l$  нинг бу қийматлари ҳамда (13.2) ифода асосида критик кучларни аниқлаш учун куйидаги катор формулаларга эга бўламиз:

$$P_{1kp} = \frac{\pi^2 E J_{min}}{l^2};$$

$$P_{2kp} = \frac{4\pi^2 E J_{min}}{l^2};$$

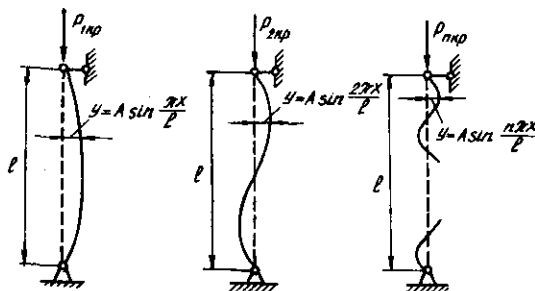
$$P_{nkp} = \frac{n^2 \pi^2 E J_m}{l^2}$$

Критик кучнинг ҳар бир қиймати ўзининг эгилиш шаклига эга. Биринчи ҳолда стержень синусоиданинг битта ярим тўлқини бўйлаб, иккинчи ҳолда иккита ярим тўлқин бўйлаб эгилади ва ҳоказо (13.5-расм).

Амалда критик кучларнинг энг кичиги (биринчиси) қўлланилади, қолганлари факат назарий аҳамиятга эга:

$$P_{kp} = \frac{\pi^2 E J_{min}}{l^2}. \quad (13.5)$$

Бу формула ўз муаллифи номи билан — Эйлер формуласи деб аталади.



13.5-расм

Демак, критик күч стерженнинг бикирлигига тўғри пропорционал, стержень узунлиги квадратига тескари пропорционал.

Критик ҳолатдаги стерженнинг эгилиши тўсатдан содир бўлади, шунинг учун ҳам унинг олдини олиш кийин. Ҷўзилган стерженларнинг узилишини олдиндан пайкаса бўлади, бирок сикилган стерженнинг устуворлиги йўқолишини олдиндан илғаб бўлмайди. Унинг хавфли томони ҳам айнан шундан иборат.

Эгилган ўқ тенгламаси (13.4) даги ихтиёрий ўзгармас А нинг физик маҳиятини аниклаш учун тенгламага  $\alpha = \frac{\pi}{l}$  ва  $x = \frac{l}{2}$  кийматларни қўямиз. Бунда  $\sin 90 = 1$  ва  $y_{\max} = A$  келиб чиқади. Демак, А стерженнинг ўртасидаги солқилик экан.

Агар критик күч  $P_{kp}$  ни стерженнинг кўндаланг кесим юзаси  $F$  га бўлсак, устуворлик йўколадиган даражадаги критик кучланиш келиб чиқади:

$$\sigma_{kp} = \frac{P_{kp}}{F} = \frac{\pi^2 E J_{\min}}{l^2 F} = \frac{\pi^2 E r_{\min}^2}{l^2},$$

бу ерда  $r_{\min}^2 = \frac{J_{\min}}{F}$  — кесимнинг минимал инерция радиусининг квадрати.

$\frac{l}{r_{\min}}$  —  $\lambda$  деб белгиласак (буни стерженнинг эгилувчалиги деб аталади), критик кучланиш формуласи қуидаги кўринишга келади:

$$\sigma_{kp} = \frac{\pi^2 E}{\lambda^2}.$$

Шуни назарда тутиш керакки, Эйлер формуласини чиқараётганда кучланиш пропорционаллик чегараси  $\sigma_n$  дан ортиб кетмайди, деб қабул килинган, акс ҳолда эгилган ўқ эластик чизик бўлмас эди.

Шундай қилиб, Эйлер формуласи қуидаги чегарада қўлланиши мумкин:

$$\sigma_{kp} = \frac{\pi^2 E}{\lambda} \leq \sigma_n.$$

Бу формуладан стержень эгилувчанигининг чегаравий кийматини аниклаш мумкин:

$$\lambda = \sqrt{\frac{\pi^2 E}{\sigma_n}}.$$

**Мисол.** Ст.3 маркали пўлат учун  $E = 2,1 \cdot 10^6$  кгк/см<sup>2</sup>, пропорционаллик чегараси  $\sigma_n = 2000$  кгк/см<sup>2</sup>. Бу кийматларни формулага қўйиб, эгилувчанликни аниклаймиз:

$$\lambda = \sqrt{\frac{3,14^2 \cdot 2100000}{2000}} = 100.$$

Ст. 5 маркали пўлат учун  $\lambda = 90$  бўлади.

Ёғоч учун  $E = 100000$  кгк/см<sup>2</sup> ва  $\sigma_n = 175$  кгк/см<sup>2</sup>.

Бинобарин ёғоч стерженлар учун чегаравий эгилувчанлик қўйидаги кийматга тенг бўлади:

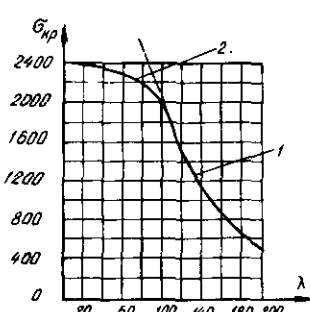
$$\lambda = \sqrt{\frac{3,14^2 \cdot 100000}{175}} = 75.$$

Шундай қилиб, эгилувчанлик пўлат стерженлар учун 100 дан, ёғоч стерженлар учун 75 дан кам бўлмаса, Эйлер формуласидан фойдаланиш мумкин.

Ўртача ва кичик эгилувчанликка эга бўлган стерженлар учун, яъни эластиклик чегарасидан ташқарида ишлайдиган стерженлар учун олимлар тажрибалар асосида критик кучни аникладиган катор формулалар таклиф этганлар.

Критик кучланиш  $\sigma_{kp}$  ни топадиган формулани чизмада тасвирласак (13.6- расм), эластиклик чегарасида ишловчи сиқилган стерженларнинг критик кучланишларини аниклаш имкониятига эга бўламиз.

Расмда эгилувчанлиги  $\lambda \geq 100$  бўлган стерженлар учун Эйлер эгри чизиги 1 ракамли туташ чизик билан берилган.



13.6- расм

Эгилувчанлик  $\lambda < 100$  бўлган холларни ўзида акс эттирган пунктир чизик тўғри натижа бермайди. Шунинг учун хам ўртача ва кичик эгилувчанликка эга бўлган пўлат стерженларда критик кучланишларни аниклаш учун бир катор тажрибалар асосида (расмда 2 раками билан белгиланган) ёрдамчи эгри чизик ўтказилган. Бу чизик Эйлер эгри чизигининг узвий давоми сифатида акс этган.

### 13.3. УЧЛАРИ ТУРЛИЧА МАҲКАМЛАНГАН СТЕРЖЕНЛАР УЧУН КРИТИК КУЧ ИФОДАСИ

Курилиш конструкцияларида стержень учларини маҳкамлаш (бириктириш) нинг 13.7- расмда тасвирланган түрт тури кенг кўлланилади. Оддинги параграфда икки учи шарнирли бириктирилган стержень, учун критик кучни аниқлаб, бунда чегаравий шартларни танлашда стержень учларининг бириктирилиш тури муҳим роль ўйнашининг гувоҳи бўлдик. Агар ўша усулда қолган схемалар учун ҳам критик кучларни аниқласак, тузилиши жиҳатидан умумий бўлган кўйидаги формулага эга бўламиш:

$$P_{kp} = m \frac{\pi^2 EI}{l^2}$$

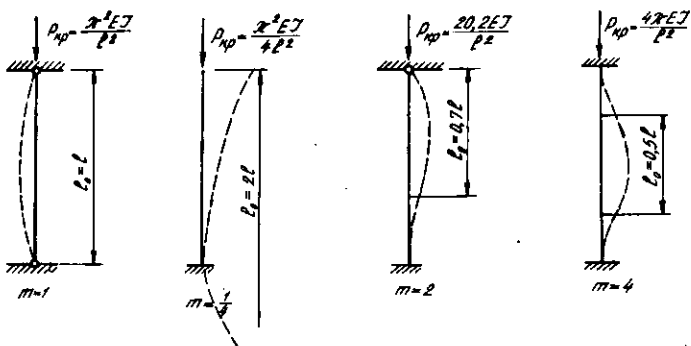
Тўрт хил схема учун чиқарилган критик куч ифодалари бир-биридан тузатувчи коэффициент  $m$  билан фарқ қилиб, биринчи схема учун  $m=1$ , иккинчиси учун  $m=1/4$ , учинчisi учун  $m=2$  ва тўртинчи схема учун  $m=4$ .

Формула шаклини ўзгартирамиз:

$$P_{kp} = \frac{\pi^2 EI}{\left(\frac{l}{\sqrt{m}}\right)^2}$$

$\frac{l}{\sqrt{m}} = l_0$  — стерженнинг келтирилган (эркин) узунлиги дейилади. Буни формулага кўйсак, Эйлер формуласининг дастлабки кўринишига эга бўламиш.

$$P_{kp} = \frac{\pi^2 EI}{l_0^2}$$



13.7- расм

Келтирилган узунликлар тўрттала ҳол учун қўйидаги кийматларга эга:

$$\text{биринчи ҳол } l_0 = \frac{l}{\sqrt{m}} = \frac{l}{\sqrt{1}} = l;$$

$$\text{иккинчи ҳол } l_0 = \frac{l}{\sqrt{m}} = \frac{l}{\sqrt{\frac{1}{4}}} = 2l;$$

$$\text{учинчи ҳол } l_0 = \frac{l}{\sqrt{m}} = \frac{l}{\sqrt{2}} \approx 0,7l;$$

$$\text{тўртинчи ҳол } l_0 = \frac{l}{\sqrt{m}} = \frac{l}{\sqrt{4}} = 0,5l.$$

### 13.4. СИҚИЛГАН СТЕРЖЕНЛАРНИ АМАЛИЙ ҲИСОБЛАШ

Сикилишга ишлайдиган пўлат стерженлар икки сабабга кўра ишдан чикади: биринчидан, материалдаги кучланиш  $\sigma$  оқиш чегараси  $\sigma_T$  га етганда мустаҳкамлик бузилади; иккинчидан, материалдаги кучланиш критик киймат  $\sigma_{kp}$  га етганда устуворлик йўколади. Ҳар иккала сабаб стерженнинг ишдан чикишига олиб келади. Шунга кўра сикилган стерженларнинг ҳисобий чегаравий юк кўтариш қобилияти қўйидаги икки шарт бўйича ифодаланади:

а) мустаҳкамлик шарти  $\sigma \leq \sigma_T$ ;

б) устуворлик шарти  $\sigma \leq \sigma_{kp}$ .

Критик кучланиш  $\sigma_{kp}$  оқиш чегараси  $\sigma_T$  дан кичик бўлганлиги сабабли, уларни бирдан кичик бўлган мослаштирувчи коэффициент  $\varphi_1$  ёрдамида ўзаро боғлаш мумкин:  $\sigma_{kp} = \sigma_T \varphi_1$ . Бунда устуворлик шарти қўйидаги кўринишни олади:

$$\sigma \leq \sigma_T \varphi_1.$$

Курилиш нормаларида оқиш чегарасининг энг кичик микдори сифатида ҳисобий каршилик  $R$  кўлланишини эътиборга олсак, юкоридаги шарт қўйидаги кўринишда ёзилади:

$$\sigma \leq R \varphi_1, \text{ бу ерда } \varphi_1 = \frac{\sigma_{kp}}{\sigma_T}.$$

Реал конструкцияларда сиқувчи кучларнинг аниқ маркази бўлмайди, улар ҳамма вакт маълум елкага эга бўлади, бу эса критик кучланишнинг камайишига олиб

келади. Буни эътиборга олиб, нормаларда яна бир коэффициент киритилган:

$$\varphi_2 = \frac{\sigma_{kp}^e}{\sigma_{kp}},$$

бу ерда  $\sigma_{kp}^e$  — тасодифий елка «е» орқали қўйилган сиқувчи кучдан хосил бўлган критик кучланиш. Унинг қиймати назарий ёки тажриба йўли билан аникланади.

Натижада бўйлама эгилиш коэффициенти қўйидаги қўринишни олади:

$$\varphi = \varphi_1 \cdot \varphi_2 = \frac{\sigma_{kp}}{\sigma_T} \cdot \frac{\sigma_{kp}^e}{\sigma_{kp}} = \frac{\sigma_{kp}^e}{\sigma_T}.$$

Шундай қилиб, сикилган стерженларнинг устуворлик шарти қўйидаги формула билан ифодаланади:

$$\sigma = \frac{P}{F} \leq R\varphi;$$

бу ерда  $P$  — хисобий сиқувчи куч;

$F$  — стерженнинг кўндаланг юзаси;

$R$  — материалнинг сикилишга бўлган хисобий каршилиги.

Металл конструкцияларида қўлланиладиган пўлатнинг турли маркалари учун бўйлама эгилиш коэффициенти  $\varphi$  нинг қиймати эгилувчанлик  $\lambda$  га боғлик ҳолда 13.1- жадвалда берилган.

Темир-бетон, ёғоч, гишт каби бошқа материаллар учун ҳам  $\varphi$  коэффициенти хисоблаб чиқилган.

Стерженли системаларни устуворликка хисоблашда уч масала ҳал этилади:

1) агар  $R, \varphi, F$  маълум бўлса, сикилган стерженнинг юк кўтариш қобилияти аникланади;

2) агар  $P, F, R, \varphi$  маълум бўлса, стерженнинг устуворлиги текширилади;  $\sigma = P/F \leq R\varphi$ ;

3) агар  $P, R, \varphi$  маълум бўлса, стерженнинг кўндаланг кесим юзаси аникланади  $F \geq P/R\varphi$ .

Юқорида айтиб ўтилгандек,  $\varphi$  коэффициенти жадвалдан эгилувчанлик  $\lambda$  орқали топилади.  $\lambda$  нинг ўзи эса кесим юзаси  $F$  ва инерция моменти  $J$  га боғлик микдордир:

$$\lambda = \frac{l}{r} = \frac{l}{\sqrt{\frac{J}{F}}}.$$

**Марказий сиқилган стерженлар учун  
бүйлама әгилиш коэффициентлари**

Эгилувчан- ник $\lambda$	Турли маркалы пұлат элементлар учун ф нинг күйматлари			
	Ст. 3 ва Ст. 4	Ст. 5	14Г2, 15ТС 10Г2С, 10Г2СД 15ХСНД	10 ХСНД
0	1,00	1,00	1,00	1,00
10	0,99	0,98	0,98	0,98
20	0,97	0,96	0,95	0,95
30	0,95	0,93	0,92	0,92
40	0,92	0,89	0,89	0,88
50	0,89	0,85	0,84	0,82
60	0,86	0,80	0,78	0,77
70	0,81	0,74	0,71	0,68
80	0,75	0,67	0,63	0,59
90	0,69	0,69	0,54	0,50
100	0,60	0,50	0,46	0,43
110	0,52	0,43	0,39	0,36
120	0,45	0,37	0,33	0,31
130	0,40	0,32	0,29	0,27
140	0,36	0,28	0,25	0,23
150	0,32	0,25	0,23	0,20
160	0,29	0,23	0,21	0,18
170	0,26	0,21	0,19	0,16
180	0,23	0,19	0,17	0,14
190	0,21	0,17	0,15	0,12
200	0,19	0,15	0,13	0,11
210	0,17	0,14	0,12	0,10
220	0,16	0,13	0,11	0,09

Шу боисдан изланаётган юзани аниклашдан илгари бирор юзани тусмоллаб кабул қилинади ҳамда шу юза бўйича  $\lambda$  ва  $\varphi$  топилади, сўнгра кабул қилинган юза шарт бўйича текширилади. Агар шарт қаноатлантирилса, ўша юза қолдирилади, қаноатлантирилмаса, шу жараён яна такрорланади.

Металл конструкцияларини хисоблашда кўпинча  $\varphi$  коэффициенти аввал тусмоллаб танланади, кейин юза аникланади ва шарт бўйича текширилади.

Элементнинг кўндаланг кесимини танлашда мустаҳкамлик шарти билан бир қаторда бикирлик шартини ҳам қаноатлантириш талаб этилади. Шу муносабат билан курилиш конструкцияларининг турли элементлари учун чегаравий эгилувчанликлар белгиланган. Масалан, ферманнинг ҳовонлари, устунчалари ва асосий устунлар учун рухсат этилган энг юкори эгилувчанлик  $\lambda = -120$ . Ферманнинг бошқа элементлари ва иккинчи даражали устунлар учун чегаравий эгилувчанлик  $\lambda = 150$ . Металл конструкцияларининг колган элементлари учун  $\lambda = 200$ .

### 13.5. СИҚИЛГАН СТЕРЖЕНЛАРДА БИРЛИК КЎЧИШДАН ҲОСИЛ БЎЛГАН РЕАКЦИЯЛАРНИ АНИКЛАШ

Бундан кейинги параграфда рамалар устуворлигини хисоблашда кўчишлар усулининг татбиқини кўриб ўтамиш. Тўққизинчи бобда танишиб ўтганимиздек, статик ноаниқ системаларни бу усулда ҳисоблагандан, қўшимча равишда киритилган боғланишларда бирлик кўчишлар натижасида вужудга келадиган реакцияларни аниклай билиш талаб этилади. Куйида ана шундай реакциялар аникланади.

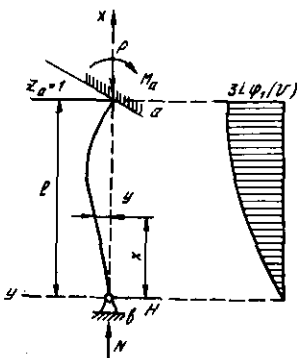
Бу масалани ҳал этишда ҳам солқиликнинг тақрибий дифференциал тенгламасидан фойдаланамиз:

$$EIy'' = -M_x.$$

Бир учи мустаҳкам, иккинчи учи шарнирли бириткирилган стерженин кўриб ўтамиш. 13.8-расмда тасвиrlangan xол учун таянч реакцияларини аниклаб, эгувчи момент  $M$  эпюрасини қурамиз.

Агар горизонтал реакция кучи  $H$  маълум бўлса, а таянчини бир бирликка буришдан ҳосил бўлган реактив момент

$$M_a = Hl \quad (13.6)$$



13.8-расм

бўлар эди. Бирок, Н нинг ўзи номаълум. Эндиғи вазифа унинг қийматини топишдан иборат.

Элементнинг исталган кесимидаги эгувчи момент

$$M_x = Hx + Ny.$$

Ишорага изоҳ:  $y$  ўки чапга йўналган, стерженнинг қабариғи ўкнинг мусбат томонига қараган. Шунинг учун  $Hx$  мусбат олинди. Иккинчи ҳаднинг мусбат олинишига сабаб, бўй-мансий олинади. Сикса мусбат, чўзса,

лама куч  $N$  стерженни сиқади.

Шу кесим учун солқиликнинг дифференциал тенгламаси қуйидагича бўлади:

$$EIy'' = - (Hx + Ny),$$

$$\text{ёки } y'' + \frac{N}{EI}y = -\frac{H}{EI}x.$$

$\alpha^2 = \frac{N}{EI}$  эканлигини эътиборга олсак,

$$y'' + \alpha^2 y = -\frac{H}{EI}x \quad (13.7)$$

келиб чиқади. Бу тенгламанинг ечими қуйидаги кўринишга эга:

$$y = A \sin \alpha x + B \cos \alpha x - \frac{H}{\alpha^2 EI} x. \quad (13.8)$$

$A$  ва  $B$  ўзгармаслари чегаравий шартлардан топилади:  $x=0$ ;  $y=0$  бўлса,  $B=0$  бўлади.  $x=l$  бўлса,  $y=0$  ва

$$A = \frac{H \cdot l}{\alpha^2 EI} - \frac{1}{\sin \alpha l}$$

бўлади.

Натижада стержень эгилган ўқининг тенгламаси қуйидаги кўринишга келади:

$$y = \frac{Hl}{\alpha^2 EI} \cdot \frac{\sin \alpha x}{\sin \alpha l} - \frac{Hx}{\alpha^2 EI} = \frac{Hl}{\alpha^2 EI} \left( \frac{\sin \alpha x}{\sin \alpha l} - \frac{x}{l} \right). \quad (13.9)$$

## 13.3- жадвал

V	$\varphi_1(V)$	$\varphi_2(V)$	$\varphi_3(V)$	$\varphi_4(V)$	$\eta_1(V)$	$\eta_2(V)$
0,0	1,0000	1,0000	1,0000	1,0000	1,0000	1,0000
0,2	0,9973	0,9980	1,0009	0,9992	0,9840	0,9959
0,4	0,9895	0,9945	1,0026	0,9973	0,9326	0,9840
0,6	0,9856	0,9881	1,0061	0,9941	0,8557	0,9641
0,8	0,9566	0,9787	1,0111	0,9895	0,7432	0,9362
1,00	0,9313	0,9662	1,0172	0,9832	0,5980	0,8999
1,10	0,9164	0,9590	1,0209	0,9798	0,5131	0,8789
1,2	0,8998	0,9511	1,0251	0,9751	0,4198	0,8557
1,3	0,8814	0,9424	1,0298	0,9715	0,3181	0,8307
1,4	0,8613	0,9329	1,0348	0,9669	0,2080	0,8035
1,5	0,8393	0,9226	1,0403	0,9619	0,0893	0,7743
1,6	0,8153	0,9116	1,0463	0,9566	-0,0380	0,7432
1,7	0,7891	0,8998	1,0529	0,9509	-0,1742	0,7100
1,8	0,7609	0,8871	1,0600	0,9448	-0,3191	0,6747
1,9	0,7297	0,8735	1,0676	0,9382	-0,4736	0,6374
2,0	0,6961	0,8590	1,0760	0,9313	-0,6372	0,5980
2,1	0,6597	0,8437	1,0805	0,9240	-0,8103	0,5565
2,2	0,6202	0,8273	1,0946	0,9164	-0,9931	0,5131
2,3	0,5772	0,8099	1,1050	0,9083	-1,1861	0,4675
2,4	0,5304	0,7915	1,1164	0,8998	-1,3895	0,4198
2,5	0,4793	0,7720	1,1286	0,8909	-1,6040	0,3701
2,6	0,4234	0,7531	1,1417	0,8814	-1,8299	0,3181
2,7	0,3621	0,7294	1,1559	0,8716	-2,0679	0,2641
2,8	0,2944	0,7064	1,1712	0,8613	-2,3189	0,2080
2,9	0,2195	0,6819	1,1878	0,8506	-2,5838	0,1498
3,0	0,1361	0,6560	1,2057	0,8393	-2,8639	0,0893
3,1	0,0424	0,6287	1,2252	0,8275	-3,1609	0,0207
3,2	-0,0635	0,5997	1,2463	0,8153	-3,4768	-0,0380
3,3	-0,1847	0,5991	1,2691	0,8024	-3,8147	-0,1051
3,4	-0,3248	0,5366	1,2940	0,7891	-4,1781	-0,1742
3,5	-0,4894	0,5021	1,3212	0,7751	-4,5727	-0,2457

**13.3- жадеалын нег давоми**

V	$\varphi_1(V)$	$\varphi_2(V)$	$\varphi_3(V)$	$\varphi_4(V)$	$\eta_1(V)$	$\eta_2(V)$
3,6	-0,6862	0,4656	1,3508	0,7609	-5,0062	-0,3191
3,7	-0,9270	0,4256	1,3834	0,7457	-5,4903	-0,3951
3,8	-1,2303	0,3850	1,4191	0,7297	-6,0436	-0,4736
3,9	-1,6268	0,3407	1,4584	0,7133	-6,6968	-0,5542
4,0	-2,1726	0,2933	1,5018	0,6961	-7,5058	-0,6372
4,1	-2,9806	0,2424	1,5501	0,6783	-8,5836	-0,7225
4,2	-4,3155	0,1877	1,6036	0,6597	-10,196	-0,8103
4,3	-6,9949	0,1288	1,6637	0,6404	-13,158	-0,9004
4,4	-15,330	0,0648	1,7310	0,6202	-27,781	-0,9931
4,5	227,80	-0,0048	1,8070	0,5991	221,05	-1,0884
4,6	14,669	-0,0808	1,8933	0,5772	7,6160	-1,1861
4,7	7,8185	-0,1646	1,9919	0,5543	0,4553	-1,2865
4,8	5,4020	-0,2572	2,1056	0,5304	-2,2777	-1,3895
4,9	4,1463	-0,3612	2,2377	0,5054	-3,8570	-1,4954
5,0	3,3615	-0,4772	2,3924	0,4793	-4,9718	-1,6040
5,1	2,8130	-0,6100	2,5757	0,4520	-5,8570	-1,7155
5,2	2,3986	-0,7630	2,7961	0,4234	-6,6147	-1,8299
5,3	2,0668	-0,9423	3,0648	0,3935	-7,2965	-1,9473
5,4	1,7884	-1,1563	3,3989	0,3621	-7,9316	-2,0679
5,5	1,5455	-0,4181	3,8234	0,3291	-8,5379	-2,1917
5,6	1,3265	-0,7481	4,3794	0,2944	-9,1268	-2,3189
5,7	1,1235	-2,1804	5,1346	0,2580	-9,7056	-2,4495
5,8	0,9302	-2,7777	0,2140	0,2195	-10,283	-2,5838
5,9	0,7421	-3,6678	7,8726	0,1790	-10,863	-2,7218
6,0	0,5551	-5,1589	10,727	0,1361	-11,445	-2,8639
6,1	0,3659	-8,2355	16,739	0,0906	-12,038	-3,0102
6,2	0,1700	-18,591	37,308	0,0424	-12,643	-3,1609
2,0	0,0000	—	—	0,0000	-13,033	-3,2898

### 13.6. РАМАЛАР УСТУВОРЛИГИ

Рамаларни устуворликка хисоблашда күчлар ёки күчишлар усулидан фойдаланилади. Булардан кейингиси ўзининг қулайлиги ва соддалиги билан бошқа усуллардан ажралиб туради. Қуйида рамалар устуворлигини хисоблашда күчишлар усулидан фойдаланишини кўриб чиқамиз.

Аввало бинокорликда кенг тарқалган тўғри чизикли стерженлардан ташкил топган раманинг тугунларига бўйлама күчлар кўйилган ҳолни кўриб ўтамиз. Күчларнинг критик кийматида рамада критик (танг) ҳолат вужудга келади. Бунда раманинг тўғри чизикли мувозанати ноустувор ва эгри чизикли мувозанати устувор бўлиб колади. Ҳисобни соддалаштириш максадида стерженлардаги бўйлама деформацияларни эътиборга олмаймиз.

Раманинг асосий системаси аввалгисидан, яъни мустахкамлика хисоблашдаги схемадан фарқ қилмайди.

Қаноник тенгламалар тизими раманинг деформацияланган ҳолати учун тузилади. Тугунларга қўйилган ташки күчлар асосий системага киритилган қўшимча боғланишларда ҳеч қандай реакция ўйғотмайди, шунинг учун ҳам тенгламалар бир жинсли бўлади:

$$\left. \begin{array}{l} Z_1 r_{11} + Z_2 r_{12} + \dots + Z_n r_{1n} = 0; \\ Z_1 r_{21} + Z_2 r_{22} + \dots + Z_n r_{2n} = 0; \\ \dots \dots \dots \\ Z_1 r_{n1} + Z_2 r_{n2} + \dots + Z_n r_{nn} = 0. \end{array} \right\} \quad (13.11)$$

Бу ерда  $Z_1, Z_2, \dots, Z_n$  — номаълум эгилиш бурчаклари ва чизикли күчишлардир.

Тенгламаларнинг физик маъноси ҳам ўша-ўша, яъни исталган қўшимча боғланишдаги реакциялар йиғиндиси нолга тенг.

Бирок (13.11) тенгламанинг коэффициентлари  $r_{ik}$  — реактив момент ва реактив күчлар күчиш усулининг аввалги оддий коэффициентларидан бироз фарқ қиласди. Аввалги коэффициентлар ташки күчларга боғлик бўлмас эди. Устуворлик масаласидаги коэффициентлар эса бўйлама күчларга боғлик: олдинги параграфда кўриб ўтганимиздек, коэффициентларнинг кийматини аниқлашда тугунларга қўйилган бўйлама күчларнинг таъсири ҳам хисобга олинади.

Яна шуни ҳам эслатиб ўтиш лозимки, устуворлик тенгламаларида ҳам Релей теоремаси ўз кучига эга, яъни  $r_{ik} = r_{ki}$ .

Қаноник тенгламалар системаси нолдан фарқли ечимга эга бўлишлиги учун, яъни рама тўғри чизикли мувоза-натдан ташқари эгри чизикли мувозанатга ҳам эга бўлишлиги учун (13.11) системанинг аникловчисини нолга тенглаймиз:

$$D = \begin{bmatrix} r_{11}, r_{12}, \dots, r_{1n} \\ r_{21}, r_{22}, \dots, r_{2n} \\ \vdots \\ r_{n1}, r_{n2}, \dots, r_{nn} \end{bmatrix} = 0. \quad (13.12)$$

Аникловчини очиб, устуворлик тенгламасини ҳосил қиласиз. Сўнгра ундан критик куч топилади. Бирлик эластик реакциялар бўйлама кучнинг функцияси бўлиб,  $v$  параметрига боғлиқдир. Шунинг учун ҳам аникловчини очганда,  $v$  га нисбатан трансцендент тенглама ҳосил бўлади. Тенглама қатор илдизларга эга бўлиб, уларнинг ичидан энг кичиги танлаб олинади. Тенгламанинг ўзи эса танлаш ёки кетма-кет яқинлашув усулида ечилади.

Умуман рамада қанча сиқилган стержень бўлса, ўшанча  $v = l \sqrt{N/EJ}$  бўлади. Бирок,  $v_1, v_2, \dots$ ларни бирорта  $v_n$  орқали ифодалаб олса бўлади. Бунда барча  $r_{ik}$  битта параметрнинг функциясига айланаб колади:

$$r_{ik} = f_{ik}(v_n),$$

kritik ҳолат тенгламаси эса куйидаги кўринишни олади:

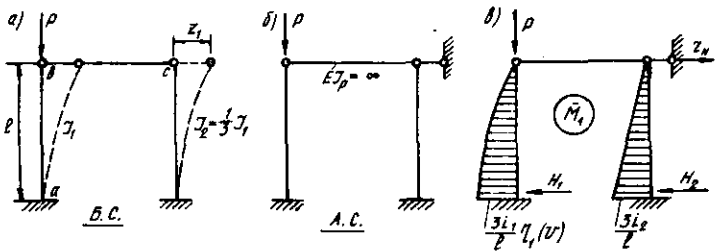
$$D = (v_n) = |f_{ik}(v_n)| = 0.$$

Мазкур аникловчи тенгламанинг энг кичик илдизи  $v_{n,kp}$  ни аниклаш имконини беради. Параметр  $v_{n,kp}$  асосида  $n$ -, стержендаги бўйлама кучнинг критик қиймати аникланади:

$$N_{n,kp} = v_{n,kp}^2 \frac{EJ_n}{l_n^2}. \quad (13.13)$$

Шу стерженнинг ҳисобий узунлиги куйидаги формула-дан топилади:

$$l_{0,n} = \pi \sqrt{\frac{EJ_n}{N_{n,kp}}} = \frac{\pi}{v_{n,kp}} l_n. \quad (13.14)$$



13.9- расм

Кейин  $v$  лар орасидаги боғланишлардан фойдаланыб, раманинг қолган стерженләри учун  $v_{kp}$  ва  $N_{kp}$  аникланади.

Баён этилган умумий мұлоҳазаларни аник мисоллар асосида түшүнтирамиз.

**1- мисол.** Раманинг  $ab$  устунчаси учун критик күч ва хисобий узунлик аниклансанын (13.9-расм, а). Ригель чексиз катта бикирликка эга.  $J_2 = J_1/3$ .

Номағымлар сони бирга тең. Асосий система ва бирлік эпюра  $\bar{M}_1$  13.9-расм, б, в да тасвирланған.  $P$  күчидан  $P \cdot y$  моменті келиб құшилғанлиғи сабабли сиқилған стерженнинг эпюраси өгри чизикли күринишга эга. Реакцияларни аниклаша бу өгрилик тузатувчи коэффициент  $\eta_1(v)$  орқали хисобға олинади.  $\bar{M}_1$  эпюрасини куришда 13.2- жадвалдан фойдаланилади.

Тугулардаги күчлар учун  $v$  параметрлари:

$$v_1 = l \sqrt{\frac{P}{EJ_1}} = v,$$

$v_2 = 0$ , чунки иккінчи тугунда күч йўк.

Берилған рама учун устуворлик каноник тенгламаси  $Z r_{11} = 0$  бўлади.  $Z_1 \neq 0$  бўлгани учун критик ҳолат тенгламаси қўйидагича ифодаланади:  $r_{11} = 0$ .

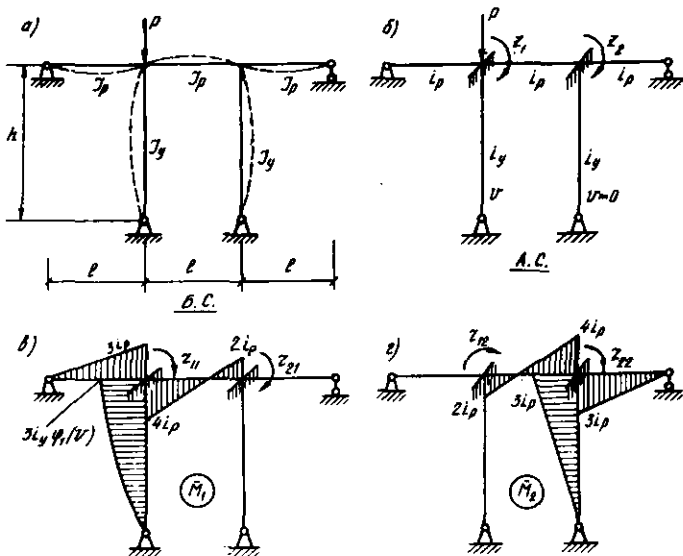
$\bar{M}_1$  эпюрасидан реакциянинг қийматини топамиз:

$$r_{11} = H_1 + H_2 = \frac{3i_1}{l} \eta(v) + \frac{3i_2}{l} = 0; i_2 = \frac{1}{2}i_1.$$

Бу ердан  $\eta_1(v) = -0,333$ ; 13.3- жадвалдан  $v_{kp} = 1,81$ .

Критик күч

$$P_{kp} = v_{kp}^2 \frac{EJ_1}{l^2} = 3,28 \frac{EJ_1}{l^2}.$$



13.10- расм

### Хисобий узунлик

$$l_0 = \frac{\pi}{v_{kp}} l = \frac{3,14}{1,81} l = 1,73l.$$

**2- мисол.** Шаклда күрсатилған оздомас рама учун критик күч ва хисобий узунлик аникланиши керак (13.10-расм, а).

Раманинг устунчаси, ригели ҳамда инерция моментлари орасидаги боғланиш қуидагича:  $l = 2/3 h$ ;  $J_p = 2J_y$ ;  $i_p = 3i_y$ . Асосий система ва бирлік эпюралар 13.10-расм, б, в, г да тасвирланған. Раманинг критик холат тенгламасы

$$D = \begin{vmatrix} r_{11} & r_{12} \\ r_{21} & r_{22} \end{vmatrix} = r_{11}r_{22} - r_{12}^2 = 0.$$

Бирлік эпюралардан фойдаланиб, эластик реакцияларни аниклаймиз:

$$r_{11} = 3i_y\varphi_1(v) + 3i_p + 4i_p = 3i_y[\varphi_1(v) + 7];$$

$$r_{12} = r_{21} = 3i_y + 3i_p + 4i_p = 24i_y;$$

$$r_{12} = r_{21} = 2i_p = 6i_y; v = h \sqrt{p/EJ_y}.$$

Топилган қийматларни тенгламага қўямиз:

$$D = 3i_y [\varphi_1(v) + 7] \cdot 24i_y - 6 \cdot 6i_y^2 = 0,$$

бу ердан  $\varphi_1(v) = -6,5$ .

13.3- жадвалдан  $v_{kp} = 4,29$ . Бунга мос бўлган критик куч  $P_{kp} = v_{kp}^2 \frac{EI_y}{h^2} = 18,4 \frac{EI_y}{h^2}$ ,

хисобий узунлик

$$h_0 = \frac{\pi}{v_{kp}} h = \frac{3,14}{4,29} h = 0,732h$$

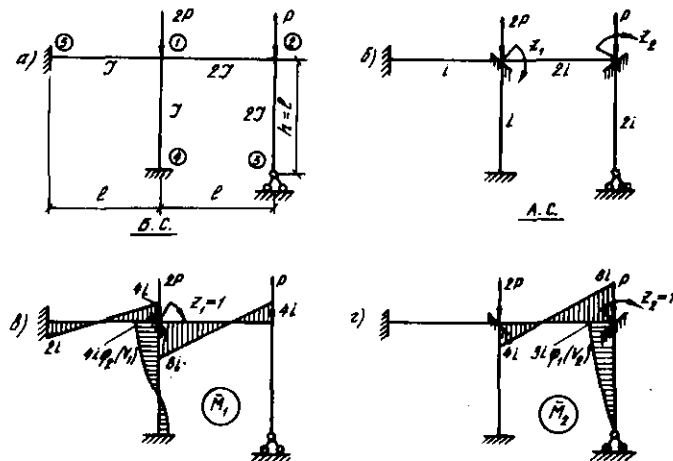
бўлади.

3- мисол. 13.11- расм, а да тасвирланган раманинг устунларига қўйилган кучнинг критик қиймати аниқлансин.

Мазкур раманинг асосий системаси ва бирлик эпуралари ( $\bar{M}_1, \bar{M}_2$ ) 13.11- расм, б, в, г да кўрсатилган. Тугунларга қўйилган куч рамада эгувчи момент ҳосил килмайди, шунинг учун  $M_p = 0$  бўлади. У ҳолда кўчиш усулининг каноник тенгламаси қўйидаги кўринишга келади:

$$z_1 r_{11} + z_2 r_{12} = 0;$$

$$z_1 r_{12} + z_2 r_{22} = 0.$$



13.11- расм

Ушбу тенгламалар системаси икки ечимга эга:

а)  $z_1=0; z_2=0$  — бу ечим бүйича система устуvorлигини йўқотмайди.

б)  $z_1 \neq 0; z_2 \neq 0$  — бу ечим бүйича система устуvorлигини йўқотади.

Ана шу шартдан келиб чикиб критик кучнинг қийматини аниқлаймиз. Бу шарт қаноатлантирилиши учун юкоридаги тенглама коэффициентларидан тузилган аниқловчи нолга тенг бўлиши керак:

$$D = \begin{vmatrix} r_{11} & r_{12} \\ r_{21} & r_{22} \end{vmatrix} = r_{11}r_{22} - r_{12}^2 = 0.$$

Охирги тенглама устуvorлик тенгламаси деб аталади.

$\bar{M}_1$  ва  $\bar{M}_2$  эпюраларидан каноник тенглама коэффициентларини аниқлаймиз:

$$r_{11} = 4i + 8i + 4i\varphi_2(v_1) = 12i + 4i\varphi_2(v_1);$$

$$r_{12} = r_{21} = 4i;$$

$$r_{22} = 8i + 3i\varphi_1(v_2).$$

$\varphi_2(v_1)$  ва  $\varphi_1(v_2)$  сингари мураккаб функциялар махсус китобларда бериладиган жадваллардан топилади (бизда 13.3- жадвал),  $v_2$  параметрини  $v_1$  орқали ифодалаймиз:

$$v_1 = l \sqrt{\frac{2P}{EJ}}; v_2 = l \sqrt{\frac{P}{2EJ}},$$

$$\frac{v_1}{v_2} = 2; v_1 = 2v_2; v_2 = 0,5v_1.$$

Топилган коэффициентларни устуvorлик тенгламасига кўямиз:

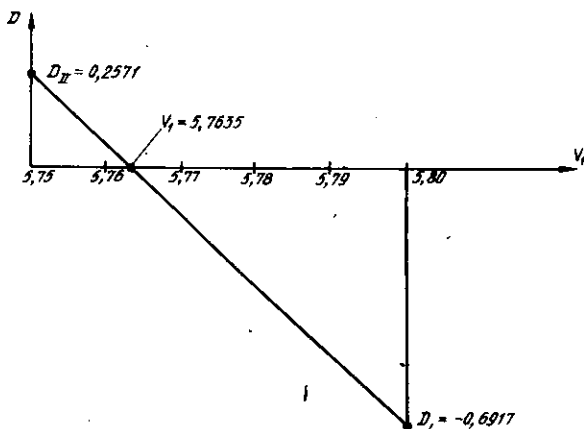
$$D = [12i + 4i\varphi_2(v_1)] [8i + 3i\varphi_1(v_2)] - (4i)^2 = 0 \text{ ёки}$$

$$D = [3 + \varphi_2(v_1)] [2,6667 + \varphi_1(0,5 - v_1)] - 1,3333 = 0.$$

Тенгламани кетма-кет яқинлашув усулида ечамиз.

1 яқинлашув.  $v_2 = 2,9; v_1 = 2 \cdot 2,9 = 5,8$  деб кабул киламиз-ва 13.3- жадвалдан шуларга мос бўлган  $\varphi_1$  ва  $\varphi_2$  ни аниқлаймиз:

$$\varphi_1(2,9) = 0,2195; \varphi_2(5,8) = -2,7777.$$



13.12- расм

Буларни устуровлик тенгламасига күймиз:

$$D_1 = (3 - 2,7777) \cdot (2,6667 + 0,2195) - 1,3333 = -0,6917.$$

Чиқкан қиймат нолдан анча фарқ қилади, Шунинг учун иккинчи яқинлашувни бажарамиз.

П яқинлашув.  $v_2 = 2,875$ ;  $v_1 = 2,875 \cdot 2 = 5,75$  деб қабул киламиз.

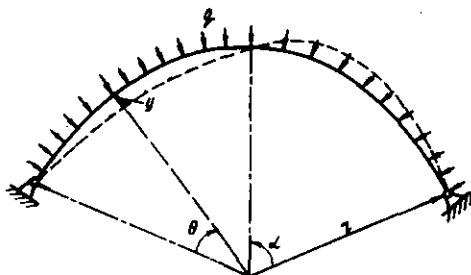
13.3- жадвалдан  $\varphi_1(2,875) = 0,2388$ ;  $\varphi_2(5,75) = -2,4526$ . Устуровлик тенгламаси.

$$D_{II} = (3 - 2,4526) \cdot (2,6667 + 0,2388) - 1,3333 = 0,2571.$$

Иккита яқинлашувдан күрениб турибдики, устуровлик тенгламасининг ечими (илдизи)  $v_1 = 5,75$  билан  $v_1 = 5,8$  оралигига ётади. Масофа кичик бўлгани учун бу оралиқда  $D(v_1)$  функциясини чизиқли деб қабул қилса бўлади. Бундай вазият тенглама ечимини график усулда аниклаш имконини беради (13.12-расм). Матъум масштабда горизонтал ўқка  $v_1$  нинг қийматлари, вертикал ўқка  $D_1$  ва  $D_{II}$  нинг қийматлари ўлчаб қўйилади ва ўзаро туташтирилади. Туташтирувчи чизик горизонтал ўқни кесиб ўтган нуқта тенгламанинг илдизи бўлади, яъни  $v_1$  нинг биз излаётган қиймати бўлади:  $v_1 = 5,7635$ .

Критик куч

$$P_{kp} = \frac{5,7635^2 EJ}{l^2} = 33,218 \frac{EJ}{l^2}$$



13.13-расм

### 13.7. АРҚАЛАР УСТУВОРЛИГИ

Аркаларнинг энг содда вакили — айлана бўйлаб чизилган икки шарнирли аркани кўриб ўтамиз. Аркага текис ёйилган, радиус бўйлаб ўйналган юк кўйилган (13.13-расм). Бикирлиги  $EJ$  — ўзгармас. Агар  $q < q_{kp}$  бўлса, арканинг барча кесимларида бир хил кийматга эга бўлган бўйлама куч  $N$  ҳосил бўлади. Арка ўқига тик ўйналган кўчишни  $y$  деб белгиласак, устуворлик бузилганда бўйлама кучдан ҳосил бўладиган момент  $M = Ny$  бўлади. Бўйлама куч билан радиал юк орасидаги боғланиш  $N = qr$  кўринишида ифодаланади.

Арка эгилган ўқининг дифференциал тенгламаси қўйидаги кўринишга эга:

$$\frac{d^2y}{d\Theta^2} + k^2y = 0,$$

бу ерда

$$k^2 = 1 + \frac{qr^3}{EI}.$$

Дифференциал тенгламанинг ечими

$$y = A \cos k\Theta + B \sin k\Theta$$

бўлади. Бу ерда  $\Theta$  — радиал бурчак.

Устуворлик тенгламасига эга бўлиш учун қўйидаги чегарашибий шартларни қабул қиласиз:

$$\Theta = 0; y = 0;$$

$$\Theta = \alpha; y = 0.$$

Биринчи шартдан  $A=0$ , кинчидан  $B\sin k\alpha = 0$  келиб чиқади. Бу ерда  $B \neq 0$  бўлганидан,  $\sin k\alpha = 0$  бўлади. Охирги тенглама устуворлик бузилишининг характеристик тенгламаси деб аталади.

Устуворлик бузилишининг биринчи шакли учун  $k\alpha = \pi$  бўлади. Бундан фойдаланиб минимал критик юни аниклаймиз:

$$1 + \frac{qr^3}{EI} = \frac{\pi^2}{\alpha^2},$$

бу ердан

$$q_{kp} = \frac{EI}{r^3} \left( \frac{\pi^2}{\alpha^2} - 1 \right).$$

Агар  $\alpha = \frac{\pi}{2}$  бўлса, яъни арка ярим айлана шаклида бўлса,  $q_{kp} = \frac{3EI}{r^3}$  бўлади.

Арқаларнинг бошқача турларини текширганда ҳам мувозанатнинг тегишли дифференциал тенгламасига эга бўлиш мумкин. Аммо уларнинг ечими бирмунча мурракаброқ бўлади. Шунинг учун ҳам уларни ечишда тақрибий усулларни кўллаш максадга мувофиқдир.

## 14- боб ИНШООТЛАР ДИНАМИКАСИ АСОСЛАРИ

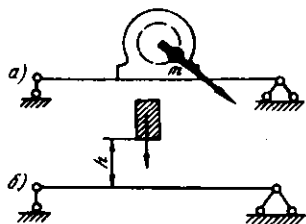
### 14.1. ИНШООТЛАР ДИНАМИКАСИННИГ ВАЗИФАЛАРИ ВА АСОСИЙ ТУШУНЧАЛАР

Иншоотлар динамикаси курилиш механикасининг маҳсус бўлими бўлиб, унда иншоотларга динамик кучларнинг таъсири кўриб ўтилади.

Иншоот массаларида тезланиш уйғотадиган кучлар динамик кучлар деб аталади. Иншоот қисмларига аста-секин қўйиладиган кучлар статик кучларни ташкил этади. Динамик кучлар таъсирида иншоотда хосил бўладиган кучланиш, деформация ва кўчишлар вакт ўтишиб билан ўзгариб туради. Статик кучлар таъсирида эса бундай ўзгаришлар содир бўлмайди.

Динамик кучларнинг куйидаги хиллари мавжуд:

1. Кўзғалмас даврий кучлар. Бундай кучлар иншоотнинг бирор ерига ўрнатилган, айланувчи қисмida



14.1-расм

мұвозанатлашмаган массаси бўлган механизмлар таъсирида вужудга келади (14.1-расм, а).

Агар даврий кучлар синус ёки косинус қонуни бўйича беттўхтов таъсир этса, у холда бундай кучлар вибрацион ёки гармоник кучлар деб аталади.

2. Зарбий куч. Иншоотга (14.1-расм, б) зарб билан урилувчи механизмлар бундай кучга мисол бўла олади.

3. Киска муддат таъсир этувчи кучлар (импульслар). Бундай кучлар бирдан пайдо бўлиб, бирдан сўнади. Портлаш натижасида хосил бўладиган куч киска муддат таъсир этувчи куч ҳисобланади.

4. Қўзгалувчи кучлар. Иншоот устида харакатланувчи транспорт воситалари қўзгалувчи кучларни ҳосил қиласди.

5. Сейсмик кучлар. Зилзила жараёнида бино ва иншоотларга таъсир этувчи кучлардир.

Сейсмик кучлар катталигини тўғри аниқлай билиш иншоотларнинг сейсмик мустахкамлигини таъминлашда катта аҳамиятга эга.

Динамик кучлар ўз табиатига кўра статик кучларга нисбатан бирмунча мураккаб бўлади, чунки бундай кучлар катталиги, йўналиши ва қўйилни нуктаси билангина эмас, вакт бўйича ўзгариши билан ҳам характеристидир. Шунинг учун ҳам иншоотларни динамик кучлар таъсирига ҳисобланаш мураккаб жараён саналади.

Иншоотлар динамикаси кўйидаги икки асосий масала:

- 1) динамик кучлар таъсирида иншоотда ҳосил бўладиган максимал деформация ва кучланишларни аниқлаш;
- 2) иншоотда етарли даражада кичик деформация ва кучланиш ҳосил бўлишини таъминлайдиган геометрик ўлчамлар танлаш масаласи билан шуғулланади.

**Тебраниш турлари.** Тебраниш турлари бенихоя кўп бўлиб, инсон юрагининг уриши, ўпканинг нафас олиши, совукдан қалтираш, ёруғлик ва товуш тўлқинлари, қадам ташлаб юришимиз, электр қўнгиригининг жиринглаши, автомобиль ҳаракати, ер қимирлаш каби ҳодисаларнинг барчаси тебранишга жонли мисол бўла олади.

Бирок мазкур курсимизнинг мақсади тебраниш ҳодисаларини тўлиқ, ҳар тарафлама ўрганиш эмас, балки мухандиснинг меҳнат фаолиятида кўп учрайдиган механик тебранишларни таҳлил этишдан иборатdir.

Тинч турган механик системага (масалан, балка ёки математик тебрангичга) ташкаридан куч таъсир эттирилиб, шу захоти олинса, система тебранма ҳаракатланади. Системанинг бундай тебраниши эркин ёки хусусий тебраниш деб аталади.

Агар тебранаётган система доим кўзғатувчи куч таъсири остида бўлса (14.1-расм, а), системанинг бундай тебраниши мажбурий тебраниш деб аталади.

Системанинг эркин тебранишига тикловчи (эластик) кучлар билан бирга қаршилик кўрсатувчи (диссипатив<sup>1</sup>) кучлар ҳам таъсир этади. Диссипатив кучлар тебранишнинг сўнишига сабаб бўлади. Системаларнинг бу хил тебранишлари сўнумчи тебранишлар деб аталади. Мухитнинг қаршилиги, ички ишқаланиш кучлари, таянчлардаги курук ишқаланиш диссипатив кучлардир.

Айрим масалаларни такрибан ечишда диссипатив кучлар эътиборга олинмайди. Тебранишнинг бундай тури сўнумайдигани эркин тебраниш деб ном олган.

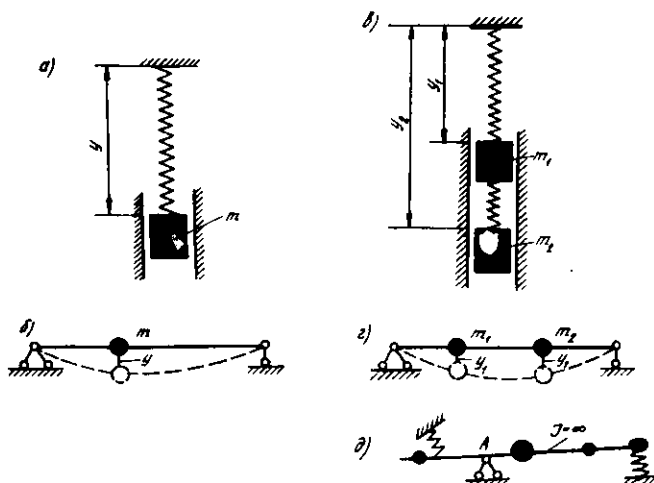
Маълум вакт ичида узлуксиз такрорланиб турадиган тебранишлар даврий тебранишлар деб аталади. Тўла тебраниш учун кетган вакт тебраниш даври (T) дейилади.

**Системанинг эркинлик даражаси.** Иншоотлар статикасидаги каби динамикасида ҳам «система» деганда стерженили системалар, яъни иншоотлар тушунилади. Динамик хисоблаш жараёнида иншоотнинг динамик хисоблаш тарҳидан фойдаланилади. Динамик хисоблаш тарҳларида иншоот массаси айрим нуқталарга тўпланган ёки система бўйлаб тарқалган деб қаралади. Массаларнинг қандай олинишига қараб системанинг эркинлик даражаси турлича бўлади.

Система деформацияланганда барча массаларнинг ҳолатини (ўрнини) белгиловчи геометрик параметрлар соғни системанинг эркинлик даражаси деб аталади.

Вазнисиз пружинага осилган  $m$  массанинг (14.2-расм, а) эркинлик даражаси бирга teng, чунки унинг ҳолатини биргина параметр ( $y$  — координатаси) билан аниқлаш муъмин. Худди шундай бир массали балканинг (14.2-расм, б) эркинлик даражаси ҳам бирга teng. 12-расм, в ва г, ларда эркинлик даражаси иккига teng бўлган системалар

<sup>1</sup> Диссипатив — лотинча сочилиш деган маънони англатади.

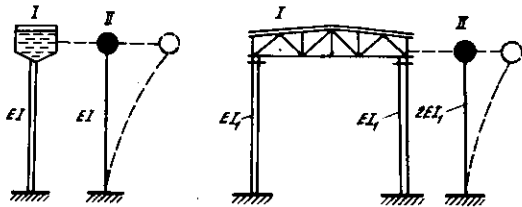


14.2-расм

тасвирланган. Тўпланма (йифиқ) массалар бикорлиги чексиз катта стержень устида жойлашган бўлса, система нинг ҳолати стерженнинг ҳолати билан белгиланади. Масалан, 14.2-расм, даги системанинг эркинлик даражаси, масса ва пружиналарнинг сонидан катъи назар, бирга тенг бўлади. Чунки массаларнинг ҳолатини стерженнинг А таянчи атрофида оғиш бурчаги билан белгилаш мумкин.

Аслида реал конструкцияларда масса бутун элемент ҳажми бўйлаб ёйилган бўлади. Бу эса массаларнинг сони чексиз кўп демакдир. Шундай экан, массаларнинг ҳолатини белгиловчи параметрлар ҳам чексиз кўп бўлади. Шунга кўра гап реал конструкциялар устида борганда, уларнинг эркинлик даражаси чексиз кўп деб юритилади. Бироқ, системанинг эркинлик даражаси қанча кўп бўлса, хисоб ишлари шунча мураккаблашади. Шу сабабли кўпинча техник хисобларда, унча жузъий бўлмаган хатоликка йўл қўйилган ҳолда, системанинг эркинлик даражаси чекли равишда олинади. Бунда массалар системанинг айrim нукталарига, масалан, иншоотдаги оғир юклар жойлашган ерларга тўпланади.

14.3-расмда эркинлик даражаси бирга тенг бўлган системанинг конструкцияси ва хисоблаш тархи тасвирланган. Шаклдаги сув босими минораси ва бир қаватли рамада масса асосий юк жойлашган ёрга тўпланган.



14.3- р а с м

## 14.2. ИНШООТЛАР ДИНАМИКАСИ УСУЛЛАРИ

Иншоотлар динамикасида статик ва энергетик усул деб аталувчи икки асосий усул көнгүлланилади.

Статик усулнинг маҳияти шундан иборатки, бунда динамика масалалари Даламбер коидаси асосида шаклан статика масалаларига келтирилади, яъни динамика тенгламалари статика тенгламаларига келтирилади.

Даламбер коидасига кўра динамиканинг мувозанат тенгламалари кўйидагича ифодаланади:

$$\left. \begin{aligned} \Sigma X + \left( -m \frac{d^2 x}{dt^2} \right) &= 0 \\ \Sigma Y + \left( -m \frac{d^2 y}{dt^2} \right) &= 0 \\ \Sigma Z + \left( -m \frac{d^2 z}{dt^2} \right) &= 0 \end{aligned} \right\}, \quad (14.1)$$

бу ерда  $m$  — мувозанати текширилаётган жисмнинг массаси;  $x, y, z$  — жисмнинг координата ўклари бўйлаб чизикли кўчишлари;  $\Sigma X$ ,  $\Sigma Y$ ,  $\Sigma Z$  — жисмга таъсир эттаётган кучлар проекцияларининг йиғиндиси, қавсдаги ҳадлар массанинг инерция кучини ифодалайди.

Вакт бўйича олинган ҳосилани нукта билан белгиласак, тенглама кўйидаги содда кўринишни олади:

$$\Sigma X - m\ddot{x} = 0; \Sigma Y - m\ddot{y} = 0; \Sigma Z - m\ddot{z} = 0. \quad (14.2)$$

Динамика масалаларини ҳал этишда энергетик усулдан көнг фойдаланилади. Бу усул системанинг тебранма характеристида энергиянинг сакланиш конунига асосланади.

Мазқур қонунға биноан потенциал  $\Pi$  ва кинетик  $K$  энергиялар йиғиндиси ўзгармас миқдордир.

$$\Pi = K = \text{const}.$$

Системанинг потенциал энергияси қурилиш механикасининг қуидаги формуласидан топилади:

$$\Pi = \frac{1}{2} \left[ \sum \int_0^I \frac{M^2 dx}{EJ} + \sum \int_0^I \frac{N^2 dx}{EF} + \right. \\ \left. + \sum \int_0^I \mu \frac{Q^2 dx}{GF} \right], \quad (14.4)$$

бу ерда  $M, N, Q$  — әгувчи момент, бўйлама ва кўндаланг кучлар;  $J, F$  — инерция моменти ва кўндаланг кесим юзи;  $E, G$  — сикилиш (чўзилиш) ва силжишдаги эластицлик модули;  $\mu$  — кўндаланг кесимнинг шаклига боғлиқ бўлган коэффициент (бу коэффициент уринма кучланишларни кесим бўйлаб нотекис тарқалишини ҳисобга олади).

Системанинг кинетик энергияси қуидаги формуладан топилади:

$$K = \sum \frac{m_i \cdot v_i^2}{2} + \sum \int m(x) dx \frac{v^2}{2}, \quad (14.5)$$

бу ерда  $v$  — тезлик;  $m_i$  — йиғиқ массалар;  $m(x)$  — ёйиқ массалар.

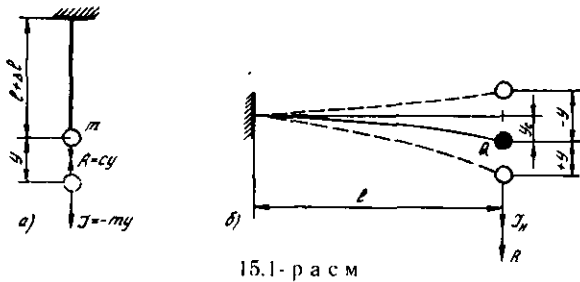
Формуланинг биринчи ҳади йиғиқ массаларга, иккинчи ҳади эса ёйиқ массаларга тегишилдири.

## 15- боб

### ЭРКИНЛИК ДАРАЖАСИ БИРГА ТЕНГ БЎЛГАН СИСТЕМАЛАР

#### 15.1. СИСТЕМАНИНГ ЭРКИН ТЕБРАНИШИ

Системанинг эркин тебранишини абстракт ва реал ҳоллар учун кўриб ўтамиз. Абстракт ҳолда система тебранишига қаршилик кўрсатувчи кучлар эътиборга олинмайди, реал ҳолда эса тебранма ҳаракатни сўнишга олиб келувчи қаршилик кучлари ҳисобга олинади.



15.1-расм

**Қаршилик күчләри ҳисобга олинмаган ҳол.** Бир массасынан төзгелген эластик системаларнинг (15.1-расм, а ва б) вертикаль йүналишдаги эркин тебранишини күриб ўтамиз. Эластик системаларнинг мувозанати бир зумга күйиб олинган ташки күч таъсири остида бузилди деб фараз этайлик. Бунинг оқибатида стерженни системалар эркин тебранма ҳаракатта келади.

Стерженлар учига вазни  $Q = mg$  бўлган юк кўйилган.  $m$  — юк массаси,  $g$  — эркин тушиш тезланиши. Юк  $Q$  таъсирида балка  $y_{ct}$  масофага солқиланди (15.1-расм, б). Вертикаль стержень эса  $\Delta l$  масофага оғади, натижада улар **тикловчи** (қайтарувчи) күч  $R$  ва **инерция кучи**  $J_n$  таъсирида бўлади. Мувозанат тенгламасини тузишда пастга йўналган күч, кўчиш, тезлик ва тезланишнинг ишорасини мусбат деб қабул қиласиз.

**Тикловчи күч  $R$**  системанинг эластик реакция кучи бўлиб, масса  $m$  статик мувозанат ҳолатдан четга чиққанда, уни дастлабки вазиятига қайтаришга интилади. Бу күч кўчишга нисбатан тескари йўналганилиги учун унинг ишораси манфий бўлади. Тикловчи күч масса тўпланган нуктанинг солқилиги  $y$  га пропорционал бўлади, яъни.

$$R = -cy. \quad (15.1)$$

Пропорционаллик коэффициенти  $c$  масса тўпланган нукта бирлик кўчиш олганда балкада ҳосил бўладиган реакция кучидир. Бу кучнинг миқдори системанинг эластик ва геометрик характеристикаларига боғлиқ бўлиб, кўчиш тенгламасидан фойдаланиб аниқланади:

$$c\delta_{11} = 1, c = \frac{1}{\delta_{11}}, \quad (15.2)$$

бу ерда  $\delta_{11}$  — масса тўпланган нуктанинг бирлик күч таъсирида кўчиши.

Масалан, вертикальный стержень для балки единичной длины  $\delta_{11} = \frac{1 \cdot l}{EF}$ ; консольная балка для балки единичной длины  $\delta_{11} = \frac{1 \cdot l^3}{3EI}$  бывает. (15.2) га асосан стержень для балки единичной длины  $c = EI:l$  ва балка для балки единичной длины  $c = 3EI:l^3$  бывает. Баъзан  $c$  система бикирлиги деб хам юритилади.

**Инерция кучи  $J$**  Даламбер коидасига кўра масса  $m$  билан тезланишнинг кўпайтмасига тенг. Тезланишни аниклаш учун эса кўчиш  $y$  дан вакт  $t$  бўйича икки марта ҳосила олинади. Инерция кучи тезланишга нисбатан тескари йўналганлиги учун ишораси манфий олинади:

$$J_n = -m \frac{d^2y}{dt^2} = -m\ddot{y}. \quad (15.3)$$

Бир массали системанинг динамик мувозанат шартини ёзамиш

$$\Sigma Y = J_n + R = 0.$$

Кўчишлар нолдан эмас, статик мувозанат ҳолатидан бошлаб ҳисобланганлиги (15.1-расм, б га қаранг) сабабли  $Q$  куч тенгламага киритилмаган.  $R$  ва  $J_n$  нинг (15.1) ва (15.3) да келтирилган ифодасини тенгламага қўянимиз, тенглама ҳадларини  $m$  га бўлиб, ишорасини ўзгартирамиз:

$$\ddot{y} + \frac{c}{m}y = 0. \quad (15.4)$$

Ҳосил бўлган иккинчи тартибли чизикли бир жинсли дифференциал тенглама қаршилик ҳисобга олинмагандан бир массали системанинг сўнмайдиган эркин тебранишини ифодалайди.

$$\omega^2 = \frac{c}{m}$$

деб олсак, тенглама қўйидаги кўринишни олади:

$$y + \omega^2 y = 0. \quad (15.5)$$

Бу ерда  $\omega = \sqrt{\frac{c}{m}}$  система тебранишининг доиравий такрорлиги (частотаси).

(15.5) тенгламанинг ечими қўйидаги кўринишга эга:

$$y = C_1 \cos \omega t + C_2 \sin \omega t, \quad (15.6)$$

унинг хосиласи тебраниш тезлигини ифодалайди:

$$\dot{y} = v = -C_1 \omega \sin \omega t + C_2 \omega \cos \omega t. \quad (15.7)$$

$C_1$  ва  $C_2$  доимий сонлар бошланғич шартлардан топилади. Тебранишнинг  $t=0$  лаҳзасида бошланғич солқилик  $y_0$  ва бошланғич тезлик  $v_0$  маълум деб фараз этайлик. Ў ҳолда (15.6) ва (15.7) тенглама асосида

$$C_1 = y_0 \text{ ва } C_2 = \frac{v_0}{\omega}$$

топилади.

Буларни (15.6) га қўйсак, тебранишнинг исталган лаҳзаси учун, яъни  $t$  нинг ихтиёрий киймати учун дифференциал тенгламанинг ечимига эга бўламиз:

$$y = y_0 \cos \omega t + \frac{v_0}{\omega} \sin \omega t. \quad (15.8)$$

Қуйидаги белгилашни киритиб

$$y_0 = A \sin \lambda; \frac{v_0}{\omega} = A \cos \lambda$$

тенгламани янада ихчамлаширамиз:

$$y_0 = A \sin \lambda \cos \omega t + A \cos \lambda \sin \omega t \quad (15.9)$$

ёки

$$y_0 = A \sin (\omega t + \lambda), \quad (15.10)$$

бу ерда  $A$  — амплитуда,  $\lambda$  — бошланғич фаза.

(15.10) тенглама эркинлик даражаси бирга тенг бўлган системанинг даврий хусусий (эркин) тебранишини ифодалайди. Унинг графиги 15.3-расм, а да тасвирланган.

Давр ва такрорлик орасидаги боғланишни кўриб чиқамиз. Агар вактнинг  $t$  лаҳзасида солқилик  $y$  бўлса,

$$t_1 = t + \frac{2\pi}{\omega}$$

ёки

$$\omega t_1 = \omega t + 2\pi$$

дақиқада ҳам (15.10) га биноан ўшанча солқилик хосил бўлади. Бундан кўринадики, тебраниш даври, яъни тебранишнинг бир цикли учун кетадиган вакт

$$T = \frac{2\pi}{\omega} \quad (15.11)$$

бўлади.

Агар  $T$  вакт ичида система битта тебранса,  $2\pi$  с ичида  $\omega$  марта тебранади;  $\omega$  нинг доиравий такрорлик деб

аталишининг сабаби ҳам шунда. Бир секунддаги тебра- нишлар сони  $t$  техник тақорорлик деб аталади:

$$t = \frac{1}{T} = \frac{\omega}{2\pi} \left( \frac{1}{c} \right) \quad (15.12)$$

Кўриб ўтилган тенгламалар асосида тақорорлик ва давр учун қуийдаги формулаларни берамиз: доиравий тақорорлик

$$\omega = \sqrt{\frac{c}{m}} = \sqrt{\frac{1}{m\delta_n}} = \sqrt{\frac{a}{my_{ct}}} = \sqrt{\frac{g}{y_{ct}}} \left( \frac{1}{c} \right); \quad (15.13)$$

давр

$$T = \frac{2\pi}{\omega} = 2\pi \sqrt{m\delta_n} = 2\pi \sqrt{\frac{m}{c}} = 2\pi \sqrt{\frac{y_{ct}}{g}} (c). \quad (15.14)$$

Бир минутдаги тебранишлар сони қуийдаги формула-дан аниқланади:

$$n = \frac{60}{2\pi} \sqrt{\frac{g}{y_{ct}}}.$$

Агар  $g = 981 \approx (10\pi)^2$  деб олсак, амалда кенг қўллани-ладиган

$$n = \frac{300}{\sqrt{y_{ct}}} \quad (15.15)$$

формула келиб чиқади. Бунда  $y_{ct}$  см да ўлчанади.

### Қаршилик қучлари ҳисобга олинган ҳол

Абстракт ҳолда системанинг эркин тебраниши ўзгар- мас амплитудада бетўхтов давом этишини кўриб ўтдик. Бирок амалда эркин тебранишлар сўнумчан бўлади, яъни тебраниш амплитудаси тўхтовсиз камая бориб, нолга интилади. Реал конструкцияларнинг тебранишига тиклов-чи  $R$  ва инерция қучлари  $J$ , дан ташқари қаршилик қучлари  $F$  ҳам таъсир этади (15.2- расм).

**Қаршилик кучи** турли ташқи ва ички сабаблар: ташки муҳит қаршилиги, элементларнинг тулашиш жойлари ва таянчлардаги ишқаланишлар, материалнинг ички ноэлас-тик қаршилиги каби сабаблар таъсирида вужудга келади.

Қаршилик кучи тебраниш тезлиги  $u$  га пропорционал (бу фаразни 1890 йилда Фойт киритган) ва ҳаракатга

карама-қаршии йўналган деб олинади:  $F = -\beta y$ . Бу ерда  $\beta$  — пропорционаллик коэффициенти.

Қаршилик кучи ҳисобга олинганда системанинг динамик мувозанати тенгламаси куйидагича ифодаланади:

$$\Sigma y = C_n + F + R = 0.$$

15.2-расм

$J_n$ ,  $F$  ва  $R$  нинг кийматларини ўрнига қўйсак,

$$\ddot{y} + \frac{\beta}{m}y + \frac{c}{m}y = 0 \quad (15.16)$$

келиб чиқади. Бу дифференциал тенглама қаршилик ҳисобга олинган ҳол учун системанинг эркин тебранишини ифодалайди.

$$2\alpha = \frac{\beta}{m}; \omega^2 = \frac{c}{m} \quad (15.16')$$

деб белгилаб,

$$\ddot{y} + 2\alpha\dot{y} + \omega^2y = 0 \quad (15.17)$$

га эга бўламиз. Бу тенгламага мос характеристик тенглама

$$z^2 + 2\alpha z + \omega^2 = 0$$

кўринишида бўлиб, унинг илдизлари

$$z_1 = -\alpha + \sqrt{\alpha^2 - \omega^2}; z_2 = -\alpha - \sqrt{\alpha^2 - \omega^2}$$

бўлади. Бу ерда  $\alpha \geq \omega$  бўлиши мумкин.

**1-ҳол:**  $\omega > \alpha$ . Бу ҳолда илдизлар комплекс сонлар бўлиб:

$$z_1 = -\alpha + i\omega; z_2 = -\alpha - i\omega; \omega_1 = \sqrt{\omega^2 - \alpha^2}$$

бўлади.

(15.17) тенгламанинг ечими куйидаги кўринишга эга бўлади:

$$y = e^{-\alpha t} (A \sin \omega_1 t + B \cos \omega_1 t). \quad (15.18)$$

Бу ерда

$$\alpha = \frac{\beta}{2m} = \frac{\beta \delta_{11} \omega^2}{2}$$



(15.18) да келтирилган қавсдаги ифода даврий функциядир, чунки  $t$  га  $T_1 = \frac{2\pi}{\omega_1}$  микдорнинг кўшилиши билан функцияning қиймати ўзгармайди.

Демак, сўнувчи эркин тебранишларни

$$T_1 = \frac{2\pi}{\omega_1} = \frac{2\pi}{\sqrt{\omega^2 - \alpha^2}}$$

даврли даврий тебранишлар деб аташ мумкин экан.

Агар  $\alpha \rightarrow O$  бўлса, яъни қаршилик кучи камая бориб нолга айланса, қаршилик ҳисобга олинмаган ҳолдаги давр келиб чиқади:

$$T = \frac{2\pi}{\omega} < T_1.$$

Аввалгига ўхшаб,  $A = C \cdot \cos \alpha$  ва  $B = C \cdot \sin \alpha$  деб белгилаб олсак, (15.18) tenglama қуйидаги ихчам кўринишга келади:

$$y = e^{-\alpha t} C \sin(\omega_1 t + \lambda), \quad (15.19)$$

бу ерда  $\lambda$  — бошланғич фаза бўлиб, массанинг ҳаракат бошидаги оғишини ҳисобга олади;  $C = \sqrt{A^2 - B^2}$  — бошланғич амплитуда;

$$\operatorname{tg} \lambda = \frac{B}{A}; \omega_1 = \sqrt{\omega^2 - \alpha^2} = \omega \sqrt{1 - \left(\frac{\alpha}{\omega}\right)^2}. \quad (15.20)$$

Курилиш конструкцияларидаги  $\alpha$  доиравий тақрорлик  $\omega$  дан анча кичик бўлади. Шу сабабли (15.20) ни қуйидагича олиш мумкин:

$$\omega_1 \approx \omega.$$

Сўнувчи эркин тебранишлар графиги 15.3- расм, б да тасвирланган.

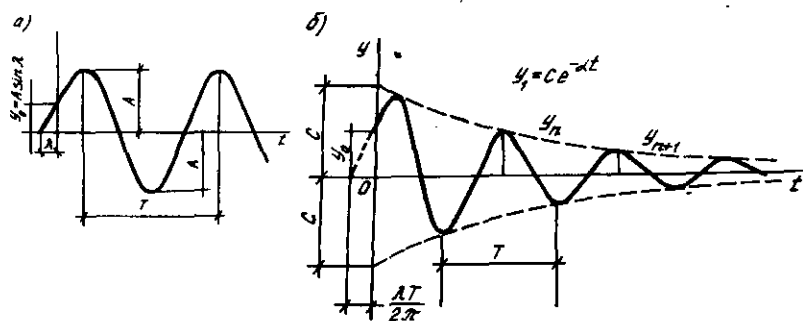
Сўниш жараёни амалда гебранишнинг логарифмик декременти ёки энергияning ютилиш коэффициенти  $\psi$  орқали ҳисобга олинади.

**2- ҳол.  $\alpha > \omega$**  Характеристик tenglamанинг илдизлари ҳакиқий ва ҳар хил:

$$z_1 = -\alpha + CO_2 < O; z_2 = -\alpha - \omega_2 < O; \omega_2 = \sqrt{\alpha^2 - \omega^2}.$$

Бу ҳол учун 15.17 tenglamанинг ечими

$$y = l^{-\alpha t} (A \sinh \omega_2 t + B \cosh \omega_2 t)$$



15.3- р а с м

бўлади. Бундай ҳолда харакат тебранма характерга эга бўлмайди. Оғдирилган масса аста-секин ўзининг дастлабки вазиятига қайтади.

**3- ҳол:**  $\alpha = \omega$ .

Характеристик тенгламанинг илдизлари ҳакикий ва тенг:

$$z_1 = -\alpha; z_2 = -\alpha.$$

(15.17) тенгламанинг интеграли

$$y = e^{-\alpha t} (A + Bt)$$

бўлади. Бу ҳолда ҳам харакат нодаврий характерга эга.

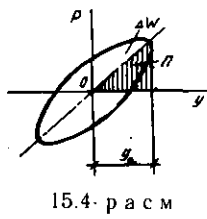
Умуман, тебраниш чекланиши зарур бўлган системаларда  $\alpha \geq \omega$  олинади.

Кетма-кет қўшни амплитудалар нисбатининг логарифми тебранишларнинг логарифмик декременти деб аталади ва куйидагича ифодаланади:

$$\delta = \ln \frac{y_n}{y_{n+1}} = \alpha T_1. \quad (15.21)$$

$\alpha = \frac{\delta}{T_1}$ -нисбат сўниш коэффициенти деб аталиб, тебранишнинг сўниш тезлигини характерлайди.

Тебранишнинг сўнишини характерлайдиган микдорлардан яна бири энергиянинг ютилиш коэффициенти ёки сочилиш (дисипация) коэффициенти деб аталади ва  $\phi$  ҳарфи билан белгиланади. Бу коэффициент гистерезис сиртмоғи номи билан юритилади-



15.4. расм

ган графикдан аникланади (15.4-расм). Гистерезис сиртмоги ташки күч  $P$  ва деформация  $y$  орасидаги муносабатни ифодаловчи график бўлиб, системани юклаш ва юқдан бўшатиш жараёнида хосил бўлади. Идеал эластик материалларда юкланиш чизиги билан юқдан бўшатиш чизиги устма-уст тушади, гистерезис сиртмогининг юзаси нолга тенг бўлади, яъни юкланиш чоғида материалда тўпландган энергия юқ олингандан кейин системани дастлабки ҳолатига қайтаришга тўла-тўкис сарф бўлади. Ҳақиқатда эса юклаш чоғида реал материалларда тўпландган энергия юқ олингандан сўнг тўла қайтмасдан, яъни материални дастлабки ҳолатига қайтаришга тўла сарф бўлмасдан, энергиянинг бир кисми эластик бўлмаган (колдик) деформацияга сарф бўлади. Натижада юкланиш ва юқни олиш чизиклари орасида юза хосил бўлади. Колдик деформацияга сарф бўлган энергиянинг микдори гистерезис сиртмогининг юзи ( $\Delta\Pi$ ) га тенг бўлади.  $OAB$  учбурчагининг юзи эса тебраниш чоғидаги системанинг потенциал энергияси  $\Pi$  га тенгdir. Куйидаги нисбат:

$$\psi = \frac{\Delta\Pi}{\Pi} \quad (15.22)$$

энергиянинг ютилиш коэффициенти деб аталади.

Чексиз киска вакт  $dt$  мобайнида энергиянинг ютилиши  $d\Pi$ ,  $T$  вакт ичida эса

$$\Psi = - \int_{t_1}^{t_1+T} \frac{d\Pi}{\Pi}$$

бўлади. Бундан

$$\Psi = \ln\Pi(t_1) - \ln\Pi(t_1+T) = \ln \frac{\Pi_n}{\Pi_{n+1}}$$

келиб чиқади.

$$\Pi_n = \frac{cy_n^2}{2} \text{ ва } \Pi_{n+1} = \frac{cy_{n+1}^2}{2}$$

экванилини хисобга олсак,

$$\Psi = 2\ln \frac{y_n}{y_{n+1}} \text{ ёки}$$

$$\Psi = 2\delta \quad (15.23)$$

бўлади.

б ва  $\phi$  тажриба йўли билан аниқланади.

**Мисол.** 15.1-расм, а да кўрсатилган балканинг ўртаси-  
га ўрнатилган двигателнинг вазни  $Q=4$  кН. Узунлиги  
3 м бўлган пўлат балка ( $E=2,1 \cdot 10^8$  кН/м<sup>2</sup>) 12-номерли  
қўштаврдан ( $J_x=350 \cdot 10^{-8}$  м<sup>4</sup>) ясалган. Балканинг хусу-  
сий оғирлигини хисобга олмай, тебраниш такрорлиги ва  
даври аниқлансан.

**Ечиш.** Двигатель оғирлигидан балка ўртасида хосил  
бўладигац солқинлик:

$$y_{ct} = \frac{Qt^3}{48EJ}.$$

Тебраниш такрорлиги

$$\omega = \sqrt{\frac{g}{y_{ct}}} = \sqrt{\frac{9,81 \cdot 48 \cdot 2,1 \cdot 10^8 \cdot 350 \cdot 10^{-8}}{4 \cdot 3^3}} 56,6 \text{ c}^{-1}.$$

Тебраниш даври

$$T = \frac{2\pi}{\omega} = \frac{2 \cdot 3,14}{56,6} = 0,11 \text{ c}.$$

Бир минутдаги тебранишлар сони

$$n = \frac{60}{T} = 545,5.$$

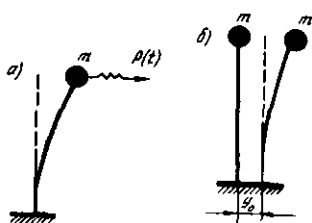
## 15.2. МАЖБУРИЙ ТЕБРАНИШЛАР

### (Каршилик кучлари хисобга олинмаган ҳол)

Олдинги бобда системанинг эркин тебранишларини  
кўриб ўтган эдик, унда бутун тебраниш жараёнида система-  
мага ташки (уйготувчи) кучлар таъсир этмаслиги қайд  
этилганди (тебраниш бошидаги таъсир бундан мустасно).  
Мазкур бобда эркинлик дарражаси бирга тенг бўлган система-  
маларга вактнинг ўтиши билан ўзгариб борувчи кучлар  
таъсирини кўриб чиқамиз.

Бундай кучлар уйготувчи кучлар, улар таъсири-  
даги тебранишлар эса мажбурий тебранишлар деб  
аталади.

15.5-расмда мажбурий тебранишларнинг икки хили  
тасвирланган. Уларнинг бирида (15.5-расм, а)  $m$  массаси-  
нинг тебраниши уйготувчи ташки куч  $P(t)$  таъсирида,



15.5-расм

иккинчисида эса (15.5-расм, б) таянчнинг кўзғалиши натижасида хосил бўлади. Мажбурий тебраниш масалаларида тебранишнинг амплитудасини аниқлаш асосий вазифа ҳисобланади, чунки тебранаётган иншоотда хосил бўладиган кучланишлар ана шу амплитудаларга боғликдир.

**Мажбурий тебранишларнинг умумий тенгламаси ва унинг ечими.** Эркинлик даражаси бирга тенг бўлган системага

$$P = P(t)$$

уйғотувчи куч таъсир этаяпти деб фараз қиласлик (15.6-расм).

Вактнинг  $t$  лаҳзасида массага таъсир этувчи кучлар шаклда кўрсатилган. Бу ҳол учун ҳаракат тенгламаси куйидагича бўлади:

$$-c(y + y_{ct}) + mg + P(t) = m\ddot{y},$$

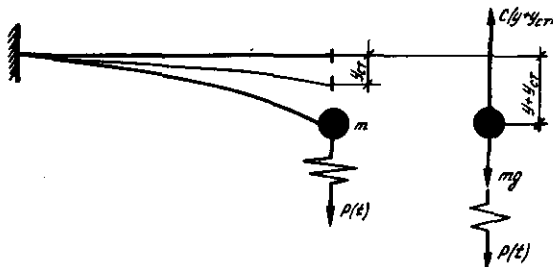
агар  $mg = cy_{ct}$  ва  $\omega^2 = \frac{c}{m}$  эканлигини ҳисобга олсак, мажбурий тебранишнинг асосий тенгламаси

$$\ddot{y} + \omega^2 y = \frac{P(t)}{m} \quad (15.24)$$

куринишни олади.

Оғирлик  $mg$  ва статик реакция  $cy_{ct}$  эътиборга олинмаган такдирда ҳам, яъни куч ва кўчишлар система-нинг статик мувозанат ҳолатидан бошлаб ҳисобланганида ҳам худди ана шу (15.24) натижага келган бўлур эдик.

Бир жинсли бўлмаган (15.24) тенгламанинг ечимини икки: 1) эркин тебраниш тенгламасининг (бир жинсли



15.6-расм

тенглама) интеграли ва 2) берилган тенглама (15.24) нинг бирор хусусий интеграли йигиндиси· кўринишида излаш зарур. Ҳар бир конкрет ҳол учун тенгламанинг ўнг томонига мос хусусий ечим танлаш ўрнига, ихтиёрий доимийларни вариациялаш усулидан фойдаланиш максадга мувофиқдир. Бу усулнинг афзаллиги шундан иборатки, шу йўл билан уйғотувчи куч исталган конун бўйича ўзгарганда, тегишли ечимга эга бўламиз.

Бу усулга кўра (15.24) тенгламанинг хусусий ечими

$$y = C_1 \sin \omega t + C_2 \cos \omega t \quad (15.25)$$

кўринишида изланади. Бирок бу ҳолда  $C_1$  ва  $C_2$  нинг қийматлари ўзгарувчи деб каралиши керак. Шундай килиб,  $y(t)$  функциясини аниқлаш масаласи  $C_1(t)$  ва  $C_2(t)$  функцияларини аниқлаш масаласи билан алмаштирилади. Ихтиёrimизда фақат биргина (15.24) тенглама бўлганлиги сабабли  $C_1(t)$  ва  $C_2(t)$  функцияларини яна бир ихтиёрий тенглама билан боғлаймиз. Бунинг учун (15.25) дан вакт бўйича ҳосила оламиз:

$$\dot{y} = C_1 \omega \cos \omega t - C_2 \omega \sin \omega t + \dot{C}_1 \sin \omega t + \dot{C}_2 \cos \omega t$$

ҳамда  $C_1(t)$  ва  $C_2(t)$  ни қуйидаги ифода билан боғлаймиз:

$$\dot{C}_1 \sin \omega t + \dot{C}_2 \cos \omega t = 0. \quad (15.26.)$$

У ҳолда юкоридаги тезликни аниқлаш тенгламаси бирмунча соддалашади:

$$\dot{y} = C_1 \omega \cos \omega t - C_2 \omega \sin \omega t.$$

Тезланишни топамиз:

$$\ddot{y} = -C_1 \omega^2 \sin \omega t - C_2 \omega^2 \cos \omega t + C_1 \omega \cos \omega t - C_2 \omega \sin \omega t = C_2 \omega \sin \omega t - C_1 \omega \cos \omega t \quad (15.27)$$

(15.25) ва (15.27) ифодаларни (15.24) тенгламага қўйиб,

$$\dot{C}_1 \cos \omega t - \dot{C}_2 \sin \omega t = \frac{1}{m\omega} P(t) \quad (15.28)$$

ни ҳосил қиласмиз.

(15.26) ва (15.28) тенгламалардан қуйидаги ҳосилаларни аниқлаймиз:

$$\dot{C}_1 = \frac{1}{m\omega} P(t) \cos \omega t; \dot{C}_2 = -\frac{1}{m\omega} P(t) \sin \omega t.$$

Уни интеграллаб:

$$\left. \begin{aligned} C_1 &= \frac{1}{m\omega} \int_0^t P(\tau) \cos \omega \tau d\tau + B_1 \\ C_2 &= \frac{1}{m\omega} \int_0^t P(\tau) \sin \omega \tau d\tau + B_2 \end{aligned} \right\} \quad (15.29)$$

ни топамиз. Бу ерда  $B_1$  ва  $B_2$  бошланғич шартларга бөзлик бўлган доимий сонлардир.

Интеграллаш жараёнида ўзгариб борувчи вақтни о дан  $t$  гача, интегралнинг ўзгармас деб қаралувчи, юкори чегараси  $t$  дан фарқ қилиш учун т деб белгилаш қабул килинган.

(15.29) ифодани (15.25) тенгламага қўйиб, берилган (15.24) тенгламанинг умумий интегралига эга бўламиз:

$$y = -\frac{1}{m\omega} \left[ \sin \omega t \int_0^t P(\tau) \cos \omega \tau d\tau + \cos \omega t \int_0^t P(\tau) \sin \omega \tau d\tau \right] + B_1 \sin \omega t + B_2 \cos \omega t.$$

$\sin \omega t$  ва  $\cos \omega t$  ни интеграл остига киритиб ихчамлаштирасак, масаланинг умумий ечими келиб чиқади:

$$y = B_1 \sin \omega t + B_2 \cos \omega t + \frac{1}{m\omega} \int_0^t P(\tau) \sin \omega(t-\tau) d\tau. \quad (15.30)$$

Бундан ҳосила олиб, тезлик тенгламасига эга бўламиз:

$$\dot{y} = B_1 \omega \cos \omega t - B_2 \omega \sin \omega t + \frac{1}{m} \int_0^t P(\tau) \cos \omega(t-\tau) d\tau. \quad (15.31)$$

$B_1$  ва  $B_2$  доимийларнинг киймати ҳаракат бошидаги шартларга бөзлик. Агар ҳаракат бошида, яъни  $t=0$  бўлганда  $y=y_0$ ,  $\dot{y}=v_0$  бўлса, (15.30) ва (15.31) тенгламалардан

$$B_1 = \frac{v_0}{\omega} \text{ ва } B_2 = y_0$$

келиб чиқади.

У ҳолда юкоридаги ечим қўйидаги кўринишни олади:

$$y = y_0 \cos \omega t + \frac{v_0}{\omega} \sin \omega t + \frac{1}{m\omega_0} \int_0^t P(\tau) \sin \omega(t-\tau) d\tau.$$

Бу ердаги дастлабки икки ҳад бошланғич күчиш  $y_0$  ва бошланғич тезлик  $v_0$  таъсирида вужудга келган мажбурий тебранишларни ифодалайди.

Бошланғич шартлар  $y_0$  ва  $v_0$  ноль бўлса, қуйидаги асосий формула келиб чиқади:

$$y = \frac{1}{m\omega} \int_0^t P(\tau) \sin\omega(t-\tau) d\tau \quad (15.32)$$

**Зарбий куч таъсиридаги мажбурий тебранишлар.** Тинч ҳолатдаги системага вактнинг  $t$  лаҳзасида зарбий куч берилди дейлик. Бу лаҳзада системада күчиш бўлмайди:

$$y(t) = 0,$$

бирор системада, ҳаракат микдори қонунига биноан, зарбий куч таъсирида

$$v(t) = \frac{S}{m}$$

тезлик ҳосил бўлади. Вужудга келган тебранишни эркин тебраниш деб қараш мумкин. У ҳолда кўчиш ва тезлик учун қуйидаги ифодаларга эга бўламиш:

$$y = A \sin(\omega t + \lambda);$$

$$v = y = A\omega \cos(\omega t + \alpha).$$

Ифодаларнинг чап томонига бошланғич шартларни, ўнг томонидаги  $t$  ҳарфи ўрнига  $\tau$  ни қўйсак,

$$0 = A \sin(\omega\tau + \lambda),$$

$$\frac{S}{m} = A\omega \cos(\omega\tau + \lambda)$$

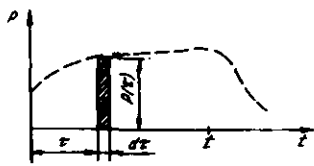
келиб чиқади. Бу тенгламалардан

$$A = \frac{S}{m\omega} \text{ ва } \lambda = -\omega\tau$$

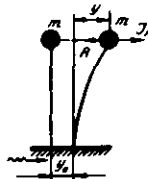
топилади. Буларни ўз ўрнига қўйсак, зарбий куч таъсири этган ҳол учун ҳаракат қонуни келиб чиқади:

$$y = \frac{S}{m\omega} \sin\omega(t-\tau) \quad (15.33)$$

Бу ҳолни уйғотувчи куч  $P(\tau)$  таъсири этган ҳол билан боғлаймиз. Бунинг учун уйғотувчи кучни чексиз кичик



15.7- расм



15.8- расм

зарблар  $P(\tau)d\tau$  дәтнинг кетма-кетлиги деб фараз этамиз. (15.7- расм). Битта зарбий күч таъсирида вактнинг  $t \geq \tau$  лаҳзасида (15.33) формулага асосан

$$\frac{P(\tau)d\tau}{m\omega} \sin\omega(t-\tau)$$

күчиш ҳосил бўлади.

Вактнинг  $0 \div t$  оралиғида зарбий күчларнинг кетма-кет таъсири остида ҳосил бўладиган күчишни аниқлаш учун юқоридаги ифодани интеграллаш зарур. Бу эса (15.32) формулага олиб келади.

**Замин тебранишидан ҳосил бўлган мажбурий тебранышлар.** Мажбурий тебранишлар системанинг асоси (таянчи) қўзғалиши натижасида ҳам вужудга келиши мумкин (15.8- расм). Ер (бино замини) қимирлаганда бино ва иншоотларнинг тебраниши бунга мисол бўла олади.

Эркинлик даражаси битта бўлган системанинг таянчи қўзғалганида унга инерция кучи  $J_p = -m\ddot{z}$  ва тикловчи куч  $R = -c\dot{y}$  таъсир этади.

Системанинг динамик мувозанат тенгламасини қўйида-гича ёзиш мумкин:

$$m\ddot{z} + cy = 0. \quad (15.34)$$

Система массасининг тўлик күчиши таянчнинг күчиши  $y_0(t)$  ва массанинг таянчга нисбатан күчиши  $y(t)$  дан ташкил топади:

$$z = y_0 + y; \quad \ddot{z} = \ddot{y}_0 + \ddot{y}. \quad (15.35)$$

$z$  нинг қийматини (15.34) тенгламага қўйиб, унинг барча ҳадларини  $m$  га бўлсак,

$$\ddot{y} + \omega^2 y = -\ddot{y}_0 \quad (15.36)$$

Бу ердаги дастлабки икки ҳад бошланғич күчиш  $y_0$  ва бошланғич тезлик  $v_0$  таъсирида вужудга келган мажбурий тебранишларни ифодалайди.

Бошланғич шартлар  $y_0$  ва  $v_0$  ноль бўлса, қуйидаги асосий формула келиб чиқади:

$$y = \frac{1}{m\omega} \int_0^t P(\tau) \sin\omega(t-\tau) d\tau \quad (15.32)$$

**Зарбий куч таъсиридаги мажбурий тебранишлар.** Тинч ҳолатдаги системага вактнинг т лаҳзасида зарбий куч берилди дейлик. Бу лаҳзада системада күчиш бўлмайди:

$$y(\tau) = 0,$$

бирор системада, ҳаракат миқдори конунинг биноан, зарбий куч таъсирида

$$v(\tau) = \frac{S}{m}$$

тезлик ҳосил бўлади. Вужудга келган тебранишни эркин тебраниш деб қараш мумкин. У ҳолда күчиш ва тезлик учун қуйидаги ифодаларга эга бўламиз:

$$y = A \sin(\omega t + \lambda);$$

$$v = y = A \omega \cos(\omega t + \alpha).$$

Ифодаларнинг чап томонига бошланғич шартларни, ўнг томонидаги  $t$  ҳарфи ўрнига т ни қўйсак,

$$0 = A \sin(\omega t + \lambda),$$

$$\frac{S}{m} = A \omega \cos(\omega t + \lambda)$$

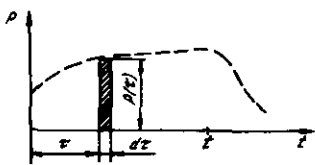
келиб чиқади. Бу тенгламалардан

$$A = \frac{S}{m\omega} \text{ ва } \lambda = -\omega t$$

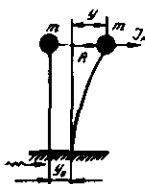
топилади. Буларни ўз ўрнига қўйсак, зарбий куч таъсир этган ҳол учун ҳаракат конуни келиб чиқади:

$$y = \frac{S}{m\omega} \sin\omega(t - \tau) \quad (15.33)$$

Бу ҳолни уйғотувчи куч  $P(\tau)$  таъсир этган ҳол билан боғлаймиз. Бунинг учун уйғотувчи кучни чексиз кичик



15.7- расм



15.8- расм

зарблар  $P(\tau)d\tau$  даттинг кетма-кетлиги деб фараз этамиз. (15.7- расм). Битта зарбий күч таъсирида вактнинг  $t \geq \tau$  лаҳзасида (15.33) формулага асосан

$$\frac{P(\tau)d\tau}{m\omega} \sin\omega(t-\tau)$$

кўчиш ҳосил бўлади.

Вактнинг  $0 \div t$  оралигига зарбий кучларнинг кетма-кет таъсири остида ҳосил бўладиган кўчишни аниқлаш учун юқоридаги ифодани интеграллаш зарур. Бу эса (15.32) формулага олиб келади.

**Замин тебранишидан ҳосил бўлган мажбурий тебранишлар.** Мажбурий тебранишлар системанинг асоси (таянчи) қўзғалиши натижасида ҳам вужудга келиши мумкин (15.8- расм). Ер (бино замини) кимирлаганда бино ва иншоотларнинг тебраниши бунга мисол бўла олади.

Эркинлик даражаси битта бўлган системанинг таянчи қўзғалганида унга инерция кучи  $J_n = -m\ddot{z}$  ва тикловчи куч  $R = -c\dot{y}$  таъсир этади.

Системанинг динамик мувозанат тенгламасини қўйида-гича ёзиш мумкин:

$$m\ddot{z} + cy = 0. \quad (15.34)$$

Система массасининг тўлиқ кўчиши таянчнинг кўчиши  $y_0(t)$  ва массанинг таянчга нисбатан кўчиши  $y(t)$  дан ташкил топади:

$$z = y_0 + y; \quad \ddot{z} = \ddot{y}_0 + \ddot{y}. \quad (15.35)$$

$z$  нинг қийматини (15.34) тенгламага қўйиб, унинг барча хадларини  $m$  га бўлсак,

$$\ddot{y} + \omega^2 y = -\ddot{y}_0 \quad (15.36)$$

келиб чиқади. Бу тенглама замин құзғалишидан вужудга келган мажбурий тебранишларни ифодалайды. Бу тенглама ихтиёрий үйғотувчи күч  $P(t)$  таъсирида вужудга келган мажбурий тебранишлар тенгламасы (15.24) га үхашады.

(15.36) тенгламаның ечими йиғинди күринишида ( $y = y_1 + y_2$ ) ифодаланиши мүмкін. Бунда  $y_1$  бир жинсли тенгламаның ечимидан топилади, бу эса әркин, тебранишлар учун чиқарылған қыйдаги ечимдан фойдаланыш имконини беради (15.10):

$$y_1 = A \sin(\omega t + \lambda). \quad (15.37)$$

(15.36) нинг хусусий интегралы қыйдаги күринишга әга:

$$y_2 = -\frac{1}{\omega} \int_0^t \ddot{y}_0(\tau) \sin \omega(t-\tau) d\tau. \quad (15.38)$$

Шундай килиб, (15.36) тенгламаның ечими

$$y = A \sin(\omega t + \lambda) - \frac{1}{\omega} \int_0^t \ddot{y}_0(\tau) \sin \omega(t-\tau) d\tau \quad (15.39)$$

бўлади.

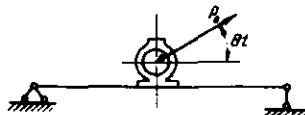
**Гармоник күч таъсири. Резонанс.** Саноат биноларида баъзан мувозанатлашмаган айланувчи қисми бўлган машиналар ўрнатилади (15.9-расм). Мувозанатлашмаган массасининг ўқ атрофида айланнишидан ҳосил бўлган марказдан қочма күч  $P$  таъсирида балка тебранади. Бу кучнинг вертикал ташкил этувчиси

$$P = P_0 \sin \Theta t \quad (15.40)$$

бўлади. Бу ерда  $\Theta$  ротор айланнишининг бурчак тезлиги. Формуладан кўриниб турибдики, үйғотувчи кучнинг балкага таъсири гармоник қонун асосида ўзгаради.

Бундай күч таъсирида вужудга келадиган тебраниш жараёнини математик кўринишда ифодалаш учун (15.32) формуладан фойдаланамиз:

$$y = \frac{P_0}{m\omega} \int_0^t \sin \Theta t \sin \omega(t-\tau) d\tau, \quad (15.41)$$



15.9-расм

$\omega \neq 0$  ҳол учун интегралнинг ечими

$$y = \frac{P_0}{m(\omega^2 - \Theta^2)} \left( \sin \Theta t - \frac{\Theta}{\omega} \sin \omega t \right)$$

бўлади.

Бу формулага  $\omega^2 = \frac{c}{m}$  ва  $y_{ct} = \frac{P_0}{c}$  белгилаш киритсак,

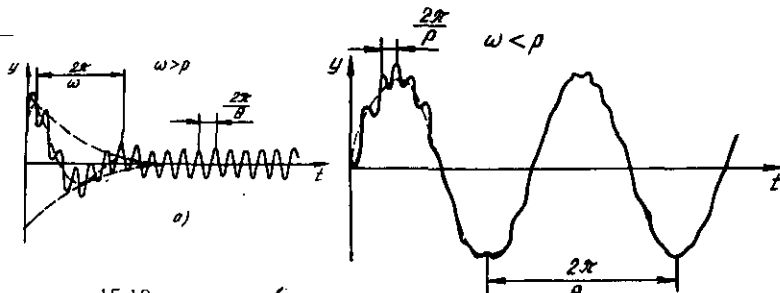
$$y = \frac{y_{ct}}{1 - \frac{\Theta^2}{\omega^2}} \left( \sin \Theta t - \frac{\Theta}{\omega} \sin \omega t \right) \quad (15.42)$$

келиб чикади. Бу ерда  $y_{ct}$  — статик куч  $P_0$  таъсирида ҳосил бўлган солқилик.

(15.42) формуланинг таҳлили, бошланғич шартлар ноль бўлганда, системада икки қисмдан иборат мураккаб тебраниш вужудга келишини кўрсатади: қавс ичидағи биринчи ҳад уйғотувчи куч такрорлиги бўйича бўладиган тебранишни; иккинчи ҳад эса хусусий тебраниш такрорлиги  $\omega$  билан бўладиган тебранишни ифодалайди. Шунга кўра биринчиси — мажбурий, иккинчиси — эркин тебраниш деб аталади.

Реал конструкцияларда нозластик каршилик кучлари таъсирида эркин тебранишлар (иккинчи ҳад) вакт ўтиши билан сўниб боради: мажбурий тебранишлар эса аввалги амплитуда билан давом этаверади.

Вакт ўтиши билан эркин тебранишларнинг сўниб бориши (б) ҳамда икки хил тебранишнинг қўшилиш жараёни (а) 15.10-расмда тасвирланган. Шаклдан кўриниб турибдики,  $0 > \omega > \rho$  бўлишидан катъи назар, эркин тебранишлар жараённинг бошидаёқ сўниб қолади. Шунинг учун ечимнинг доимий — сўнмайдиган қисмини таҳлил қилиш билан чегараланамиз:



15.10-расм

$$y = \frac{y_{ct}}{1 - \frac{\theta^2}{\omega^2}} \sin \theta t. \quad (15.43)$$

Бинобарин, мажбурий тебранишлар уйғотувчи күч частотаси билан тебранади ва бу күч гүё система ҳаракатини «ўз амрига бўйсундиргандек» кўринади. Мажбурий тебраниш амплитудаси (динамик солқилик)

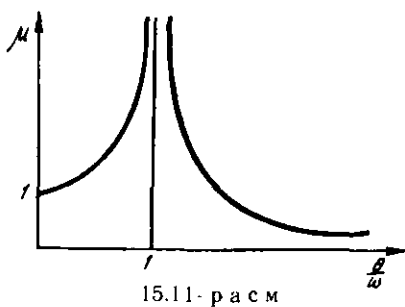
$$A = \frac{y_{ct}}{\left| 1 - \frac{\theta^2}{\omega^2} \right|} \quad (15.43')$$

уйғотувчи күч  $P_0$  нинг статик таъсирида ҳосил бўлган солқилик  $y_{ct}$ дан фарқ қиласди. Уйғотувчи күч таъсирининг динамик эффициенти динамик коэффициент деб аталувчи қуидаги нисбат билан аниқланади:

$$\mu = \frac{A}{y_{ct}} = \frac{1}{\left| 1 - \frac{\theta^2}{\omega^2} \right|}. \quad (15.44)$$

Динамик коэффициент такрорликлар нисбати  $\frac{\theta}{\omega}$  га боғлиқ микдордир. 15.11-расмда  $\mu$  билан  $\frac{\theta}{\omega}$  орасидаги боғланиш график кўринишда тасвирланган.

Уйғотувчи күч такрорлиги  $\theta$  хусусий тебраниш такрорлиги  $\omega$  дан анча кичик бўлса,  $\mu \rightarrow 1$ , динамик солқилик  $A$  статик солқилик  $y_{ct}$  га яқинлашади.  $\theta < \omega$  чегарада  $\theta$  нинг ўсиши билан динамик коэффициент  $\mu$  нинг қиймати тез ўсиб боради; бу хол тебраниш амплитудаси  $A$  нинг ўсишини билдиради. Агар  $\theta > \omega$  бўлса, (15.44) формулага



биноан  $A < 0$  бўлади; бу эса тебраниш амплитудаси уйғотувчи кучга қарама-карши йўналганлигини билдиради.

Уйғотувчи куч тақрорлиги билан хусусий тебраниш тақрорлиги тенг бўлган ҳол ( $\theta = \omega$ ) резонанс деаталади. Бунда  $\frac{\theta}{\omega} = 1$  бўлиб, мажбурий тебраниш амплитудаси чексизликка интилади. Қаршилик (диссипатив) кўрсатувчи кучлар ҳисобга олинмаганлиги туфайли шундай хуносага келинди. Бироқ реал конструкцияларда қаршилик кўрсатувчи кучларнинг мавжудлиги амплитуда нинг чекли бўлишига олиб келади; амплитуда чекли, айни бир вақтда катта кийматга эга бўлади. Шунинг учун резонанс ҳолати иншоот учун ҳавфли саналади.

Осма кўприк сингари баъзи реал иншоотларда энергия нинг сочилиши (каршилик кўрсатувчи кучлар) жуда кичи бўлади. Бундай холларда унча катта бўлмаган уйғотувчи куч иншоотда ҳавфли резонанс тебранишларини уйғотиш мумкин. Масалан, шахдам қадам ташлаб келаётган пиёда аскарлар кўприкка етганда қадамларини ўзгартириб тартибсиз юра бошлайдилар. Чунки қадам зарби кўприк нинг хусусий тебраниш тақрорлиги билан бир ҳил бўлиб колса, кўприк резонанс тебранишларига учраб, бузилиш мумкин. Тарихда бундай холлар учраб туради. 1831 йил Манчестрда (Англия) Ирвель дарёсига қурилган осма кўприк 60 кишининг қадами зарбидан бузилиб тушган 1868 йилда Чатамада Британия денизиз пиёда аскарлари ўтаётгандага кўприк босиб қолган. 1850 йилда Анжердаги осма кўприкда катта фожиа рўй берган; 500 кишидан иборат француз пиёда аскарлари батальони ўтаётгандага кўприк бузилиб, 226 киши ҳалок бўлган.

Резонанс тебранишларини сўндиришнинг иккиги хиёули бор: бири иншоотнинг хусусий тебраниш тақрорлиги ни уйғотувчи куч тақрорлигидан фарқли қилиб танлаш иккинчиси, иншоотда демпфер (сўндиригич)ларни кўпайтириш.

### 15.3. МАЖБУРИЙ ТЕБРАНИШЛАРГА ҚАРШИЛИК КУЧЛАРИНИНГ ТАЪСИРИ

Қаршилик кучларининг эркин тебранишларга сези ларли даражада таъсир этишини олдинги саҳифалард кўриб ўтган эдик. Мазкур сарлавҳада қаршилик кучлар мажбурий тебранишларга қай даражада таъсири этишин кўриб ўтамиз.

Аввал харакат дифференциал тенгламасининг умумий ечими билан танишиб чикамиз, сўнгра системага кўрсатиладиган гармоник куч таъсирини батафсил кўриб ўтамиз.

Қаршилик кучлари эътиборга олинса, мажбурий тебранишларнинг асосий тенгламаси куйидаги кўринишда ёзилади:

$$\ddot{y} + 2\alpha \dot{y} + \omega^2 y = \frac{P(t)}{m}. \quad (15.45)$$

Бу тенглама сўнувчи эркин тебранишлар тенгламаси (15.17) дан баробарнинг ўнг томони билан, қаршилик хисобга олинмаган мажбурий тебранишлар тенгламаси (15.24) дан чап томондаги иккинчи ҳад билан фарқ қиласди. Система тебранишига қаршилик кучларининг таъсири ана шу иккинчи ҳад орқали хисобга олинади.

Олдинги параграфдаги сингари уйғотувчи куч  $P(t)$  ни чексиз кичик зарблар  $P(\tau)d\tau$  кетма-кетлиги деб қабул қиласак, у ҳолда юкоридаги дифференциал тенгламанинг умумий ечими қуйидаги кўринишни олади:

$$y(t) = \frac{1}{m(\omega^2 - \alpha^2)} \int_0^t P(\tau) e^{-\alpha(t-\tau)} \sin [\sqrt{\omega^2 - \alpha^2} (t - \tau)] d\tau \quad (15.46)$$

Бу формула  $P(t)$  ҳар қандай конун бўйича ўзгарганда ўз кучини саклайди;  $\alpha = 0$  бўлганда (15.32) формула келиб чиқади.

(15.46) формулани уйғотувчи ташки кучнинг гармоник конуни бўйича:

$$P(t) = P_0 \sin \theta t$$

ўзгарувчи ҳолга татбиқ этамиз.

Бундай ҳол учун дифференциал тенглама

$$\ddot{y} + 2\alpha \dot{y} + \omega^2 y = \frac{P_0 \sin \theta t}{m} \quad (15.47)$$

кўринишга эга бўлади. Маълумки, бундай тенгламанинг интеграли икки қисмдан иборат бўлади: 1) бир жинсли тенгламанинг интеграли (яъни, тенгликининг ўнг томони ноль бўлган ҳол); 2) умумий тенгламанинг (15.47) хусусий интеграли.

Бир жинсли тенгламанинг ечимини (15.18) илгари кўриб ўтган эдик. Бу тенглама сўнувчи эркин тебранишларни ифодалашини ва эркин тебранишлар жараёни-

нинг бошидаёқ сўниб қолишини биламиз. Шунга кўра, мажбурий тебранишларнинг стационар қисмини ифода этувчи (15.47) тенгламанинг хусусий ечими билан чекланамиз:

$$y = a \sin \theta t + b \cos \theta t. \quad (15.48)$$

Шуни назарда тутиш керакки,  $a$  ва  $b$  нинг кийматлари тегишлича танланган тақдирдагина (15.48) ифода (15.47) тенгламанинг ечими бўла олади. Бунинг учун (15.48) дан икки марта ҳосила олиб:

$$\begin{aligned} \dot{y} &= a \theta \cos \theta t - b \theta \sin \theta t; \\ \ddot{y} &= -a \theta^2 \sin \theta t - b \theta^2 \cos \theta t; \end{aligned}$$

(15.47) га қўямиз:

$$\begin{aligned} -a \theta^2 \sin \theta t - b \theta^2 \cos \theta t + 2a \theta \alpha \cos \theta t - 2b \theta \alpha \sin \theta t + a \omega^2 \sin \theta t, \\ + b \omega^2 \cos \theta t = \frac{P_0}{m} \sin \theta t \\ \text{еки } \left( -a \theta^2 - 2b \theta \alpha + \theta \omega^2 - \frac{P_0}{m} \right) \sin \theta t + \\ + (-b \theta^2 + 2a \theta \alpha + b \omega^2) \cdot \cos \theta t = 0. \end{aligned}$$

Қавс ичидаги ҳадлар алоҳида олингандан нолга тенг бўйсагина ҳосил бўлган тенглама  $t$  нинг ҳар қандай кийматида қаноатлантирилади. Бу эса ўз навбатида куйидаги икки тенгламага олиб келади:

$$\begin{aligned} a(\omega^2 - \theta^2) - 2b\theta\alpha &= \frac{P_0}{m}; \\ b(\omega^2 - \theta^2) + 2a\omega\alpha &= 0; \end{aligned}$$

бу ердан

$$\left. \begin{aligned} a &= \frac{P_0(\omega^2 - \theta^2)}{m((\omega^2 - \theta^2)^2 + \theta^2\alpha^2)}, \\ b &= \frac{2P_0\theta\alpha}{m(\omega^2 - \theta^2)^2 + 4\theta^2\alpha^2}. \end{aligned} \right\} \quad (15.49)$$

$a$  ва  $b$  доимий сонларнинг мана шу кийматларида (15.48) ифода (15.47) нинг ечими ҳисобланади.

$a$  ва  $b$  ни бошқа ўзгармовчилар  $A$  ва  $\gamma$  билан алмаштирасак, (15.48) ечим янада ихчамлашади:

$$\left. \begin{aligned} a &= A \cos \gamma \\ b &= -A \sin \gamma \end{aligned} \right\} \quad (15.50)$$

Буни (15.48) га күйамиз:

$$y = A \sin \theta t \cos \gamma - A \sin \gamma \cos \theta t = A \sin(\theta t - \gamma) \quad (15.51)$$

(15.49) ва (15.50) ифодалардан фойдаланиб  $A$  ва  $\gamma$  нинг кийматини аниқлаймиз:

$$\left. \begin{aligned} A &= \frac{y_{ct}}{\sqrt{\left(1 - \frac{\theta^2}{\omega^2}\right)^2 + \frac{4\theta^2\alpha^2}{\omega^4}}} \\ \operatorname{tg} \gamma &= \frac{20\alpha}{\omega^2 - \theta^2} \end{aligned} \right\} \quad (15.52)$$

Бу ерда  $\gamma$  — бошланғич фаза.

Биринчи формулада  $\frac{P_0}{m\omega^2} = \frac{P_0}{C} = y_{ct}$  эканлиги ҳисобга олинган.

Мажбурий тебраниш амплитудаси  $A$  нинг статик солқилик  $y_{ct}$  га нисбати, аввал (15.44) кўриб ўтганимиздек, динамик коэффициент деб аталади:

$$\mu = \frac{A}{y_{ct}} = \frac{1}{\sqrt{\left(1 - \frac{\theta^2}{\omega^2}\right)^2 + \frac{4\theta^2\alpha^2}{\omega^4}}} \quad (15.53)$$

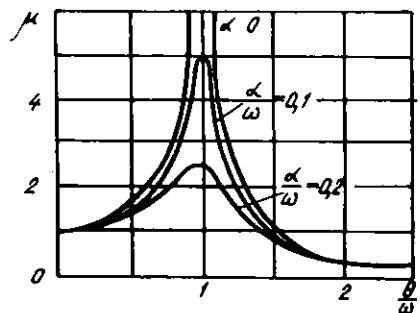
Динамик коэффициент  $\mu$  нинг бу киймати билан аввалги (15.44) кийматининг фарқи шундаки, бу кийматда система тебранишига каршилик килувчи кучларнинг таъсири ҳисобга олинган. Ўйготувчи куч тақрорлиги  $\theta$  га ҳар қандай киймат берганда ҳам  $\mu$  ҳеч қачон чексиз бўлмайди.  $\mu$  нинг киймати энди  $\theta/\omega$  дан ташқари  $\alpha/\omega$  га ҳам боғлиқ. Буларнинг ўзаро муносабати 15.12-расмда график кўринишда тасвирланган.

$\alpha = 0$  бўлғанда 15.11-расмдаги ҳол келиб чиқади, яъни  $\mu = \infty$  бўлади. Аммо  $\alpha \neq 0$  бўлғанда  $\mu$  нинг энг катта киймати ҳам чекли бўлади. Каршилик кучлари резонанс зонасида ўзининг таъсирини кучлироқ намоён қилади.

$\omega = 0$  деб олсак, 15.53 формуладан динамик коэффициентнинг юкори киймати келиб чиқади:

$$\mu_{\max} = \frac{\omega}{2\alpha}. \quad (15.54)$$

Бундан маълум бўлишича, динамик коэффициент сўниш коэффициенти  $\alpha$  га тескари пропорционал экан.



15.12- расм

Мавзуимиз охирида замин күзғалишидан хосил бўлган мажбурий тебранишларга қисқача тўхталиб ўтамиз. Маълумки, қаршилик кучлари эътиборга олинмаган холда тебранма харакатнинг дифференциал тенгламаси (15.36) кўринишда ва унинг ечими (15.39) кўринишда берилган эди. Юқорида (15.45) ва (15.39) га каршилик кучларини ифода этувчи ҳадлар ( $2\alpha\dot{y}$ ) ҳамда ( $e^{-\alpha t}$ ) ни киритсак, тебраниш тенгламаси

$$\ddot{y} + 2\alpha\dot{y} + \omega^2 y = -\ddot{y}_0 \quad (15.55)$$

кўринишини, унинг ечими эса

$$y = A e^{-\alpha t} \sin(\omega t + \gamma) - \frac{1}{\omega} \int_0^t y_0(\tau) e^{-\alpha(t-\tau)} \cdot \sin \omega(t-\tau) d\tau \quad (15.56)$$

кўринишини олади.

**Мисол.** Узунлиги  $l=3$  м бўлган балканинг ўртасига ўрнатилган мувозанатлашмаган двигателнинг вазни  $Q=4$  кН, айланишлар сони  $n=450$  айл/мин. Двигателдан хосил бўладиган марказдан қочма кучнинг вертикал ташкил этувчиси  $P \sin \theta t$  бўлиб,  $P=1$  кН. Балка 12-номерли пўлат кўштаврдан ясалган. Двигатель тўхтовсиз ишлаганда хосил бўладиган мажбурий тебранишлар амплитудаси ва кучланишлар аниклансин (15.1- расм,  $a$  га қаранг).

**Ечиш.** Шу балканинг хусусий тебранишлари такрорлиги аввалги мисолда топилган эди:

$$\omega = 56,6 \text{ c}^{-1}.$$

**Мажбурий куч такрорлиги**

$$\theta = \frac{\pi n}{30} = \frac{3,14 \cdot 450}{30} = 47,1.$$

**Динамик коэффициент**

$$\mu = \frac{1}{1 - \frac{\theta^2}{\omega^2}} = \frac{1}{1 - \left(\frac{47,1}{56,6}\right)^2} = 3,25$$

Демак, динамик кучдан ҳосил бўладиган кучланиш ва деформация статик кучланиш ва деформациядан 3,25 марта катта бўлар экан.

Балка ўртасининг максимал солқилиги

$$y_{\max} = y_{ct(Q)} + \mu y_{ct(P)} = \frac{Ql^3}{48EI} + \mu \frac{pl^3}{48EI} = \\ = 0,306 + 3,25 \cdot 0,077 = 0,556 \text{ см.}$$

Балка ўртасидаги максимал кучланиш

$$\sigma_{\max} = \sigma_{ct(a)} + \mu \sigma_{ct(p)} = \frac{Ql}{4W} + \mu \frac{pl}{4w} = 93049,1 \text{ кН/м}^2.$$

СГС бирликлар системасида  $\sigma_{\max} = 930,5 \text{ кГ/см}^2$ .

## 16- боб

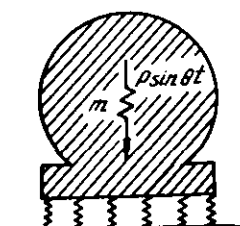
### ТЕБРАНИШЛАР НАЗАРИЯСИНИНГ ТЕХНИКАГА ТАДБИКИ

Тебранишларнинг техникадаги ўрни ҳақида гап боргандан уларнинг фойдали ва зарарли турлари мавжуд эканлигини таъкидлаб ўтмок зарур. Мутахассислар тебранишнинг зарарли кўринишига қарши кураш воситаларини яратиш билан бирга, унинг фойдали томонини инсон манфаатига бўйсундиришга интилиб келадилар. Кўйида ана шулар ҳақида баъзи маълумотларни баён этамиз.

#### 16.1. ТЕБРАНИШНИ ЮТУВЧИ АМОРТИЗATORЛАР

Бирор  $m$  массага қўйилган вертикал титратувчи кучнинг таъсирини юмшатиш мақсадида масса билан таянч орасига юмшок қайишқоқ катлам (амортизаторлар) жойланади (16.1- расм).

(15.43) формуласи кўра массанинг тебраниш амплитудаси кичик бўлиши учун пружина-нинг хусусий такрорлиги таъсир



16.1- расм

этаетган күч тақрорлигидан анча кичик бўлиши керак.

Масалан,  $\frac{\theta}{\omega} = 10$  деб олсак, энг катта амплитуда

$$A = \frac{y_{ct}}{\left| 1 - \frac{\theta^2}{\omega^2} \right|} = \frac{y_{ct}}{|1 - 10^2|} = \frac{y_{ct}}{99}.$$

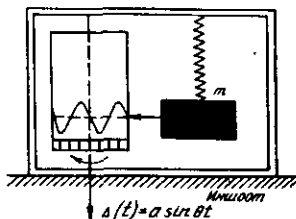
бўлади. Бу эса статик солқиликнинг атиги бир фоизини ташкил этади. Қаршилик, кучлари ҳисобга олинса, амплитуда янада кичрайди.

## 16.2. ВИБРОГРАФ

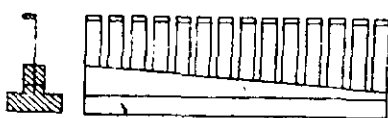
Виброграф иншоотлар тебранишини ёзib оладиган асбобдир. Назарий жиҳатдан у эркинлик даражаси битта бўлган система бўлиб, унинг тархи 16.2- шаклда тасвирланган. Кути кўринишидаги корпуснинг юқори қисмига юмшоқ пружина ёрдамида осиб қўйилган оғир масса  $m$  вибрографнинг асосий элементи ҳисобланади. Массага маҳкамланган калам айланувчи барабангага тегиб туради. Виброграф тебранувчи иншоотга шундай ўрнатиладики, барабаннынг ўки тебраниш йўналиши билан бир хил бўлсин. Асбоб корпуси иншоот билан бирга тебранади, масса эса пружина бўлганлиги туфайли деярли қўзғалмас, бўлиб тураверади. Шунда калам барабангага ўралган лентага тебранишнинг эгри чизигини чизади.

Массанинг қўзғалмаслигини таъминлаш учун (15.43) формуладаги  $\theta/\omega$  нисбатни мумкин қадар катта олиш лозим. Агар, аввалгидаги сингари,  $\theta/\omega = 10$  деб олинса, у холда асбоб орқали олинган тебраниш ёзувида йўл қўйилган хатолик бир фоизни ташкил этади:

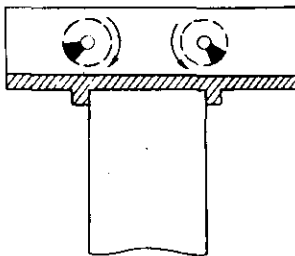
$$A = \frac{1}{99} a \sin \theta t.$$



16.2- р а с м



16.3- расм



16.4- расм

### 16.3. ТАҚРОРЛИК ЎЛЧАГИЧИ (ЧАСТОТОМЕТР)

16.3- расмда резонанс қоидасига асосланган частотометр (такрорлик ўлчагич) нинг тархи тасвирланган. Частотометр асосий корпусга маҳкамланган ҳар хил узунликдаги юпқа пластинкачалардан ташкил топган. Пластинкачаларнинг учига қўшимча массалар маҳкамланган. Пластинкачаларнинг узунликлари ҳар хил бўлганлиги сабабли хусусий такрорликлари ҳам ҳар хил бўлади, улар олдиндан хисоблаб қўйилади. Частотометрнинг корпуси тебранаётган обьектга ўрнатилади. Натижада кинематик таъсир остида пластинкачалар тебранади. Хусусий такрорлиги обьект такрорлигига яқин бўлган пластинкача катта амплитуда билан тебрана бошлайди, яъни резонансга тушади. Ўлчанаётган тебраниш такрорлиги шу йўсинда аникланади.

### 16.4. ПОЙДЕВОР КОЗИҚЛАРИНИ ВИБРАЦИОН УСУЛДА ҚОҚИШ

Узунлиги бир неча метр бўлган металл ёки темир-бетон козикларни ерга зарб билан қоқиш кўп вақт талаб киладиган мураккаб жараёндир. Тебранма харакатга асосланган вибрацион усул эса козикни киска вақт ичida керакли чукурликкача осонгина қоқиш имконини беради.

Козикнинг юкори учига тебраниш уйғотувчи оғир вибратор ўрнатилади (16.4- расм). Вибраторнинг параллел жойлашган иккита вали қарама-карши йўналишда айланади. Валининг ҳар бирига дебаланс ўрнатилган. Валлар айлангандан марказдан кочма кучлар хосил бўлади. Дебаланслар бир-бирига нисбатан шундай жой-

лаштириладики, бунда марказдан кочма кучларнинг горизонтал тузувчилари ўзаро мувозанатлашади, вертикаль тузувчилари эса бир томонга йўналганлиги туфайли кўшилади.

Шундай килиб, вибратор вакт ўтиши билан синус конуни бўйича ўзгарадиган қўшимча вертикаль кучлар уйғотади. Тадқиқотларнинг кўрсатишича, козиқни ерга киритувчи асосий сабаб — оғирлик кучи бўлиб, тебра-нишлар каршилик кучини камайтириб беради холос.

### 16.5. ВИБРАЦИОН СУВ ҚЎТАРГИЧЛАР

Баъзан чукур қудуклардан сув тортиб чиқаришда оддий насослар ўрнига вибрацион сув қўтаргич (водоподъемник) лардан фойдаланилади (16.5- расм).

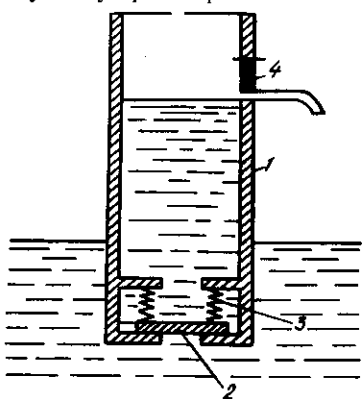
Тик ўрнатилган труба 1 нинг туви қудукдаги сувга ботиб туради. Труба тубидаги тешик пружинали 3 копкоқ 2 билан беркитилади. Трубанинг юқори кисмига сув оқиб тушадиган жўмрак 4 ўрнатилади. Шу жўмраккача сув қўйилади. Агар трубани катта тезлик билан паства силжитсан, у ҳолда ташки босим остида копкоқ очилади, трубага сув киради, кўтарилган сув жўмрак орқали ташқарига оқиб тушади.

Сув қўтаргич ўз иши жараёнида узлуксиз равишда юкорига ва паства кўтарилиб тушиб туради. Кўтарилиш ва тушиб масофаси мумкин кадар киска олинади. Ҳар бир циклда остики тешикдан маълум микдор сув кириб, шунча сув жўмрак орқали ташқарига чиқади. Цикллар даврий равишда такрорлангани сабабли сув жўмракдан тўхтосиз тушади.

Трубани харакатга келтириш учун дебалансли ёки электромагнитли вибраторлардан фойдаланилади.

Техникада вибрацион сув қўтаргичларнинг бошқа хиллари ҳам ишлатилади.

Биз вибротехник жараёнларнинг айрим хиллари билан танишиб чиқдик. Аммо тебранишларнинг техникада қўлланилиш кўлами анча кенг ва ранг-барангдир. Маса-



16.5-расм

лан, улар оғма новдан тушаётган жисмнинг ҳаракатини, шунингдек бетоннинг бункердан тушишини тезлатиш, сочилувчан жисмларни пастдан юқорига ташиш, қаттик жисмларни майдалаш, ҳар хил материалларни навларга ажратиш, турли жисмларни аралаштириш каби ишларда самарали фойдаланилади.

## 17- боб

### ЭРКИНЛИК ДАРАЖАСИ БИР НЕЧТА БҮЛГАН СИСТЕМАЛАР

#### 17.1. ҚАРШИЛИҚСИЗ МУҲИТДА СИСТЕМАНИНГ ЭРКИН ТЕБРАНИШИ

Бир неча йиғиқ массаларга эга бўлган эластик консолнинг эркин тебраниши билан танишиб чиқамиз (17.1- расм). Бу масалани ҳал этишда ҳам бир массали системадаги сингари Даламбер коидасидан фойдалана-миз: консол балка тебранганда  $m_1, m_2, \dots, m_n$  массалар йўналишида

$$-m_1\ddot{y}_1; -m_2\ddot{y}_2; \dots, -m_n\ddot{y}_n$$

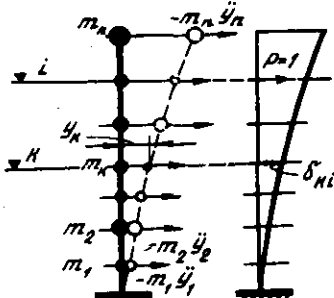
инерция кучлари ҳосил бўлади.

Хисоб ишларини осонлаштириш мақсадида, қурилиш механикасида кенг қўлланадиган, бирлик кўчиш  $\delta_{ki}$  тушунчасидан фойдаланамиз.  $\delta_{ki}$  — балка  $k$  нуктасининг кўчиши бўлиб, бу кўчиш балканинг  $i$  нуктасига кўйилган бирлик куч  $P=1$  таъсирида ҳосил бўлади. Агар ташки куч  $P_i \neq 1$  бўлса, у ҳолда  $P_i$  таъсиридаги тўлик кўчишни аниклаш учун бирлик кўчиш ташки кучга кўпайтирилади.

$$y_k = P_i \delta_{ki} \quad (17.1)$$

Бир вақтнинг ўзида балкага бир канча кучлар  $P_1, P_2, \dots, P_n$  кўйилган бўлса, балка  $k$  нуктасининг тўлик кўчиши алоҳида кўчишлар йигинидиси сифатида аникланади.

$$y_k = P_1 \delta_{k1} + P_2 \delta_{k2} + \dots + P_n \delta_{kn}. \quad (17.2)$$



17.1- расм

Тебранишлар тенгламасини тузишда мана шу формулага ассоланамиз.

Биз текшираётган системада (17.1-расм) ташкы күчлар  $P_i$  ўрнида инерция күчлари ( $-m_i \ddot{y}_i$ ) турибди. Шунга кўра, бу система учун (17.2) формула қўйидагича ёзилади:

$$y_k = -m_1 \ddot{y}_1 \delta_{k1} - m_2 \ddot{y}_2 \delta_{k2} - \dots - m_n \ddot{y}_n \delta_{kn}; \quad (17.2)$$

ҳар бир массанинг кўчиши қўйидагича топилади:

$$\left. \begin{aligned} y_1 &= -m_1 \ddot{y}_1 \delta_{11} - m_2 \ddot{y}_2 \delta_{12} - \dots - m_n \ddot{y}_n \delta_{1n}; \\ y_2 &= -m_1 \ddot{y}_1 \delta_{21} - m_2 \ddot{y}_2 \delta_{22} - \dots - m_n \ddot{y}_n \delta_{2n}; \\ &\dots \dots \dots \\ y_n &= -m_1 \ddot{y}_1 \delta_{n1} - m_2 \ddot{y}_2 \delta_{n2} - \dots - m_n \ddot{y}_n \delta_{nn}. \end{aligned} \right\} \quad (17.3)$$

Бу тенгламалар системасининг хусусий интегрални

$$y_k = A_k \sin(\omega t + \lambda) \quad (17.4)$$

кўринишда қабул қилиниши мумкин.

(17.4) ифодани тенгламалар системаси (17.3) га кўйиб, номаълум амплитуда  $A_k$  ва такрорлик ( $\omega$ ) га нисбатан бир жинсли алгебрик тенгламалар системасини ҳосил қиласиз:

$$\left. \begin{aligned} A_1(m_1 \delta_{11} \omega^2 - 1) + A_2 m_2 \delta_{12} \omega^2 + \dots + A_n m_n \delta_{1n} \omega^2 &= 0; \\ A_1 m_1 \delta_{21} \omega^2 + A_2(m_2 \delta_{22} \omega^2 - 1) + \dots + A_n m_n \delta_{2n} \omega^2 &= 0; \\ &\dots \dots \dots \\ A_1 m_1 \delta_{n1} \omega^2 + A_2 m_2 \delta_{n2} \omega^2 + \dots + A_n(m_n \delta_{nn} \omega^2 - 1) &= 0. \end{aligned} \right\} \quad (17.5)$$

$A_1 = A_2 = \dots = A_n = 0$  бўлганда (17.5) тенгламалар системаси қаноатланса-да, қўйилган масалага ечим бўла олмайди, чунки бунда балка тинч ҳолатда бўлади.

(17.5) тенгламалар системаси коэффициентларидан ташкил топган аниқловчи (дитерминант) нолга те ниг бўлса,  $A_k$  нинг кийматлари нолдан фарқ қиласи, яъни консол тебранаётган бўлади.

$$D = \begin{vmatrix} (m_1 \delta_{11} \omega^2 - 1) & m_2 \delta_{12} \omega^2 & \dots & m_n \delta_{1n} \omega^2 \\ m_1 \delta_{21} \omega^2 & (m_2 \delta_{22} \omega^2 - 1) & \dots & m_n \delta_{2n} \omega^2 \\ m_1 \delta_{n1} \omega^2 & m_2 \delta_{n2} \omega^2 & \dots & (m_n \delta_{nn} \omega^2 - 1) \end{vmatrix} = 0 \quad (17.6)$$

Аниқловчини очиб чиқсан,  $\omega^2$  га нисбатан  $n$  — тартибли тенглама ҳосил бўлади:

$$1 - a_1\omega^2 + a_2\omega^4 - a_3\omega^6 + \dots + (-1)^n a_n\omega^{2n} = 0. \quad (17.7)$$

Бу тенглама тақрорликлар тенгламаси ёки асрий тенглама деб аталиб,  $n$  та ҳақиқий ва мусбат илдизга эга бўлади. Илдизларни  $\omega_1^2, \omega_2^2, \dots, \omega_n^2$  деб белгилаймиз ва тақрорликлар учун  $n$  та жавобга эга бўламиш:

$$\left. \begin{array}{l} \omega_1 = \sqrt{\omega_1^2}; \\ \omega_2 = \sqrt{\omega_2^2}; \\ \dots \dots \dots \\ \omega_n = \sqrt{\omega_n^2}. \end{array} \right\} \quad (17.8)$$

Система эркин тебранишларининг барча тақрорликлари мажмуаси тақрорликлар спектори деб аталади. Буларнинг ичида энг кичиги биринчи ёки асосий тақрорлик дейилади. Амалий ишларда дастлабки уч тақрорлик муҳим аҳамиятга эга бўлади.

(17.3) тенгламалар системасининг умумий ечими (17.4) кўринишдаги ҳусусий ечимларининг йиғиндисидан иборат:

$$\begin{aligned} y_k = & A_{k1}\sin(\omega_1 t + \lambda_1) + A_{k2}\sin(\omega_2 t + \lambda_2) + \dots \\ & \dots + A_{kn}\sin(\omega_n t + \lambda_n). \end{aligned} \quad (17.9)$$

Буни ҳар бир масса қўчиши учун алоҳида ёзамиш:

$$y_1 = A_{11}\sin(\omega_1 t + \lambda_1) + A_{12}\sin(\omega_2 t + \lambda_2) + \dots + A_{1n}\sin(\omega_n t + \lambda_n);$$

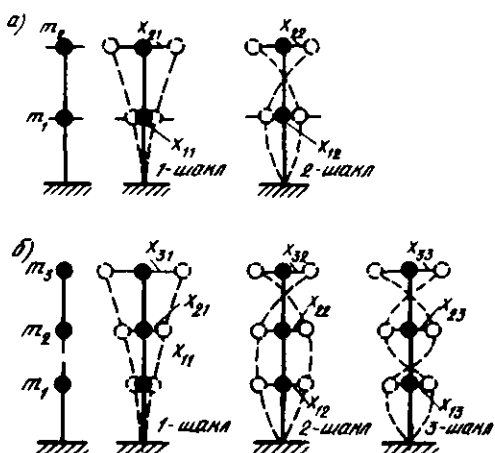
$$y_2 = A_{21}\sin(\omega_1 t + \lambda_1) + A_{22}\sin(\omega_2 t + \lambda_2) + \dots + A_{2n}\sin(\omega_n t + \lambda_n);$$

$$y_n = A_{n1}\sin(\omega_1 t + \lambda_1) + A_{n2}\sin(\omega_2 t + \lambda_2) + \dots + A_{nn}\sin(\omega_n t + \lambda_n). \quad (17.10)$$

$A_{ki}$  нинг биринчи индекси координатани, иккинчиси -- тақрорлик номерини билдиради.

(17.10) тенгламалардан кўриниб турибдики, ҳар бир масса мураккаб ҳаракатда бўлиб, бу ҳаракат тақрорлиги турлича бўлган тебранишларининг (синусоидаларнинг) йиғиндисидан ташкил топади. Кўшилувчиларнинг сони ҳусусий тақрорликлар сонига, яъни системанинг эркинлик даражасига тенг.

Умуман олганда система тебранишининг формаси (солқилик шакли) ўзгарувчан бўлиб, амплитудалар



17.2-расм

нисбати узлуксиз равишда ўзгариб боради. Бирок ҳамма вакт система ҳаракатининг бошлангич шартларини, барча массаларни маълум бир тақрорлик  $\omega$  бўйича тебранадиган қилиб олиш мумкин. Бундай тебраниш асосий ёки нормал тебраниш деб, тебраниш шакли эса асосий шакл деб аталади. Айрим муаллифлар буни хусусий шакл деб атайдилар.

Тебранишнинг асосий шаклларида исталган массанинг амплитудалари нисбати ҳар доим ўзгармас бўлиб, вактга боғлик бўлмайди. Бинобарин, асосий шакллар амплитудалар ёки уларнинг нисбатлари орқали аникланади.

Аксарият ҳолда эркин тебранишлар асосий шаклдаги тебранишларнинг комбинациясидан иборат бўлади. Ўз навбатида ҳар бир хусусий тақрорлик ўзига мос асосий тебраниш шаклига эга, яъни биринчи тақрорликка — биринчи, иккинчи тақрорликка — иккинчи шакл ва ҳоказо мос келади (17.2-расм). Системанинг эркинлик даражаси ортган сари тебраниш шаклидаги тўлқинлар сони ҳам ортиб бораверади. Қисқаси, асосий шакллар сони система-нинг эркинлик даражаси  $n$  га тенг бўлади.

Системанинг мураккаб тебранма ҳаракатига ҳар бир тебраниш шаклининг улуши, эркин тебранишларни вужудга келтирган бошлангич шартларга боғлик.

Тебраниш асосий шаклларининг муҳим хоссларидан бири уларнинг ортогоналигидир. Бу хоссага кўра бир

асосий шакл инерция күчларининг бошқа асосий шакл кўчишларида бажарган иши нолга тенгдир, яъни

$$\sum_{k=1}^n m_k X_{ik} X_{ki} = 0.$$

(17.5) тенглама  $A_k$  га нисбатан бир жинсли бўлганлиги сабабли амплитудаларнинг қийматини бевосита шу тенгламанинг ўзидан аниқлаб бўлмайди. Бироқ бу тенгламалар системасидан фойдаланиб, ҳар бир такрорлик  $\omega$  учун, асосий шакл деб ном олган

$$\frac{A_2}{A_1}, \frac{A_3}{A_1}, \dots \frac{A_n}{A_1}$$

нисбатларни аниқлашимиз мумкин.

Агар (17.5) тенгламалар системасига такрорликнинг бошқа қиймати қўйилса, бошқа асосий шаклни белгиловчи бошқа қийматли амплитудалар нисбати келиб чиқади.

Амплитудалар индексини (17.10) тенгламалар система-сидаги каби олсак, тебранишларнинг биринчи асосий шакли учун

$$X_{21} = \frac{A_{21}}{A_{11}}, \quad X_{31} = \frac{A_{31}}{A_{11}}, \dots \quad X_{n1} = \frac{A_{n1}}{A_{11}}$$

нисбатларга, иккинчи асосий шакли учун эса

$$X_{22} = \frac{A_{22}}{A_{12}}, \quad X_{32} = \frac{A_{32}}{A_{12}}, \dots \quad X_{n2} = \frac{A_{n2}}{A_{12}}$$

нисбатларга эга бўламиз.

$X_{ki}$  нисбатлар факатгина система параметрларига боғлиқ микдорлар бўлиб, бошлилангич шартларга ҳеч бир алоқаси йўқ.  $X_{ki}$  нинг қийматлари шакл ординатаси ёки амплитуда коэффициенти деб ҳам юритилади.

$X_{ki}$  нисбатлардан фойдаланиб, умумий ечим (17.10) ни кўйидаги кўринишда ёза оламиз:

$$\left. \begin{aligned} y_1 &= A_{11} \sin(\omega_1 t + \lambda_1) + A_{12} \sin(\omega_2 t + \lambda_2) + \dots + \\ &+ A_{1n} \sin(\omega_n t + \lambda_n); \\ y_2 &= x_{21} A_{11} \sin(\omega_1 t + \lambda_1) + x_{22} A_{12} \sin(\omega_2 t + \lambda_2) + \dots + \\ &+ x_{2n} A_{1n} \sin(\omega_n t + \lambda_n); \\ \dots &\dots \dots \dots \\ y_n &= x_{n1} A_{11} \sin(\omega_1 t + \lambda_1) + x_{n2} A_{12} \sin(\omega_2 t + \lambda_2) + \dots + \\ &+ x_{nn} A_{1n} \sin(\omega_n t + \lambda_n). \end{aligned} \right\} \quad (17.11)$$

Номаълум  $n$  та амплитуда  $A_{11}, A_{12}, \dots, A_{1n}$  ни ва  $n$  та бошлангич фаза  $\lambda_1, \lambda_2, \dots, \lambda_n$  ни аниқлаш учун бошлангич шартлардан фойдаланамиз. Ҳаракат бошидаги ( $t=0$ )  $n$  та қўчишлар  $y_1(0), y_2(0), \dots, y_n(0)$  ҳамда ўшанча тезликлар  $\dot{y}_1(0), \dot{y}_2(0), \dots, \dot{y}_n(0)$  бошлангич шартлар хисобланади. Булар ёрдамида биринчи координата амплитудалари  $A_{11}, A_{12}, \dots, A_{1n}$  аниқланади, қолган координаталарнинг амплитудалари асосий шакллардан топилади.

Ҳаракат бошида барча тезликлар нолга teng дейлик. У ҳолда (17.11) тенгламалар бир жинсли системага айланади:

$$\left. \begin{aligned} \dot{y}_1(0) &= A_{11}\omega_1\cos\lambda_1 + A_{12}\omega_2\cos\lambda_2 + \dots + A_{1n}\omega_n\cos\lambda_n = 0; \\ \dot{y}_2(0) &= x_{21}A_{11}\omega_1\cos\lambda_1 + x_{22}A_{12}\omega_2\cos\lambda_2 + \dots + \\ &+ x_{2n}A_{1n}\omega_n\cos\lambda_n = 0; \\ &\dots \\ &\dots \\ y_n(0) &= x_{n1}A_{11}\omega_1\cos\lambda_1 + x_{n2}A_{12}\omega_2\cos\lambda_2 + \dots + \\ &+ x_{nn}A_{1n}\omega_n\cos\lambda_n = 0. \end{aligned} \right\} \quad (17.12)$$

Бунинг ечими:

$$\cos\lambda_1 = \cos\lambda_2 = \dots = \cos\lambda_n = 0,$$

демак,

$$\lambda_1 = \lambda_2 = \dots = \lambda_n = \frac{\pi}{2}.$$

Бошлангич фазанинг бу қийматида (17.11) тенгламалар қўйидаги кўринишни олади:

$$\left. \begin{aligned} y_1 &= A_{11}\cos\omega_1 t + A_{12}\cos\omega_2 t + \dots + A_{1n}\cos\omega_n t; \\ y_2 &= x_{21}A_{11}\cos\omega_1 t + x_{22}A_{12}\cos\omega_2 t + \dots + x_{2n}A_{1n}\cos\omega_n t; \\ y_n &= x_{n1}A_{11}\cos\omega_1 t + x_{n2}A_{12}\cos\omega_2 t + \dots + x_{nn}A_{1n}\cos\omega_n t. \end{aligned} \right\} \quad (17.14)$$

Бошлангич қўчишлар  $y_1(0), y_2(0), \dots, y_n(0)$  маълум бўлса, номаълум  $n$  та амплитудалар  $A_{11}, A_{12}, \dots$  қўйидаги тенгламалардан топилади:

$$\left. \begin{aligned} y_1(0) &= A_{11} + A_{12} + \dots + A_{1n}; \\ y_2(0) &= x_{21}A_{11} + x_{22}A_{12} + \dots + x_{2n}A_{1n}; \\ &\dots \\ y_n(0) &= x_{n1}A_{11} + x_{n2}A_{12} + \dots + x_{nn}A_{1n}. \end{aligned} \right\} \quad (17.15)$$

## 17.2. ҚАРШИЛИКЛІ МУХИТДА СИСТЕМАНИНГ ЭРКИН ТЕБРАНИШИ

Эркинлик даражаси бир неча бўлган системанинг сўнувчи тебранишларини кўриб чиқамиз. Масса  $m_k$  ҳаракатига қаршилик қилувчи кучларни ҳаракат тезлигига пропорционал деб оламиз. Тебраниш тенгламаси сифатида (17.2)<sup>1</sup> дан фойдаланамиз; бирок бу тенгламага қаршилик кучларини хисобга олувчи  $2\alpha_i m_i \delta_{ki} y_i$  ҳад киритамиз:

$$y_k = -m_1 \delta_{k1} (\ddot{y}_1 + 2\alpha_1 \dot{y}_1) - m_2 \delta_{k2} (\ddot{y}_2 + 2\alpha_2 \dot{y}_2) - \dots - m_n \delta_{kn} (\ddot{y}_n + 2\alpha_n \dot{y}_n). \quad (17.16)$$

Бу ерда (15.16)<sup>1</sup> га биноан

$$\alpha_1 = \frac{\beta}{2m_1}; \alpha_2 = \frac{\beta}{2m_2}; \dots; \alpha_n = \frac{\beta}{2m_n}.$$

Одатда, сўниш коэффициенти  $\alpha_i$  барча шакллар учун бир хил олинади, шунга кўра  $\alpha_1 = \alpha_2 = \dots = \alpha_n = \alpha$  бўлади. Буни эътиборга олсак, ҳаракатнинг дифференциал тенгламалар системаси киска кўринишда қўйидагича ёзилади:

$$y_k + m_1 \delta_{k1} (\ddot{y}_1 + 2\alpha \dot{y}_1) + m_2 \delta_{k2} (\ddot{y}_2 + 2\alpha \dot{y}_2) + \dots + m_n \delta_{kn} (\ddot{y}_n + 2\alpha \dot{y}_n) = 0, \quad (k = 1, 2, \dots, n). \quad (17.17)$$

Бу тенгламаларнинг ечими

$$y_k = A_k e^{-\alpha t} \sin(\omega_i t + \lambda_i) \quad (17.18)$$

кўринишда аниқланади.

Бундан кейинги амаллар қаршиликсиз, мухитдаги системадаги каби бўлади. Натижада кўп массали системанинг сўнувчи тебранишлари учун қўйидаги ифодага эга бўламиз:

$$y_k = A_{k1} e^{-\alpha t} \sin(\bar{\omega}_1 t + \lambda_1) + A_{k2} e^{-\alpha t} \sin(\bar{\omega}_2 t + \lambda_2) + \dots + A_{kn} e^{-\alpha t} \sin(\bar{\omega}_n t + \lambda_n). \quad (17.19)$$

Бу ерда

$$\bar{\omega}_i = \sqrt{\omega_i^2 - \alpha^2}. \quad (17.20)$$

### 17.3. ЭРКИНЛИК ДАРАЖАСИ ИККИТА ВА УЧТА БҮЛГАН СИСТЕМАЛАР

Эркинлик даражаси иккита ва учта бүлган системалар эркинлик даражаси бир нечта бүлган системаларнинг хусусий ҳолидир. Аммо бундай системалар учун тузиладиган тенгламалар оддий бүлгандылыги туфайли ечимларни тугал кўринишгача етказса бўлади. Щу сабабли бундай системалар устида тўхталиб ўтамиз.

#### Эркинлик даражаси иккита бўлган системаларнинг эркин тебранишлари

Тебранишлар каноник тенгламаси (17.5) икки массали система учун куйидаги кўринишни олади:

$$\begin{aligned} A_1(m_1\delta_{11}\omega^2 - 1) + A_2m_2\delta_{12}\omega^2 &= 0; \\ A_1m_1\delta_{21}\omega^2 + A_2(m_2\delta_{22}\omega^2 - 1) &= 0. \end{aligned} \quad (17.21)$$

Аникловчи (17.6) эса куйидагича ифодаланади:

$$D = \begin{vmatrix} (m_1\delta_{11}\omega^2 - 1) & m_2\delta_{12}\omega^2 \\ m_1\delta_{21}\omega^2 & (m_2\delta_{22}\omega^2 - 1) \end{vmatrix} = 0. \quad (17.22)$$

Аникловчини ёйганда келиб чиқадиган тақрорлик тенгламаси биквадрат кўринишда бўлади.

$$\begin{aligned} \omega^4(\delta_{11}\delta_{22} - \delta_{12}^2)m_1m_2 - \omega^2(\delta_{11}m_1 + \delta_{22}m_2) + 1 &= 0. \\ \omega^2 = Z \text{ деб белгиласак,} & \end{aligned} \quad (17.23)$$

$$z^2(\delta_{11}\delta_{22} - \delta_{12}^2)m_1m_2 - z(\delta_{11}m_1 + \delta_{22}m_2) + 1 = 0$$

келиб чиқади. Бунинг ечими

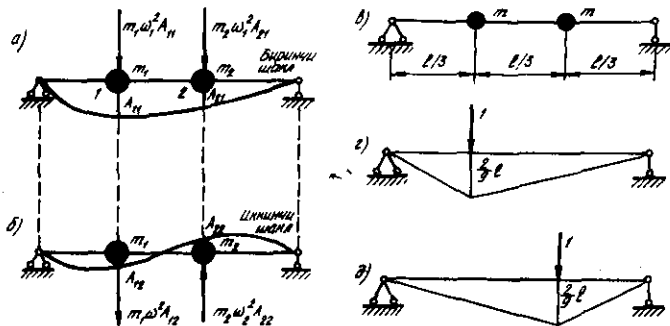
$$z_{1,2} = \frac{(m_1\delta_{11} + m_2\delta_{22}) \mp \sqrt{(m_1\delta_{11} + m_2\delta_{22})^2 - 4m_1m_2(\delta_{11}\delta_{22} - \delta_{12}^2)}}{2m_1m_2(\delta_{11}\delta_{22} - \delta_{12}^2)}$$

бўлади. Илдиз остини ўзгартирамиз:

$$z_{1,2} = \frac{(m_1\delta_{11} + m_2\delta_{22}) \mp \sqrt{(m_1\delta_{11} + m_2\delta_{22})^2 + 4m_1m_2\delta_{12}^2}}{2m_1m_2(\delta_{11}\delta_{22} - \delta_{12}^2)}. \quad (17.24)$$

Бундан биринчи ва иккинчи тақрорлик келиб чиқади:

$$\omega_1 = \sqrt{z_1}; \quad \omega_2 = \sqrt{z_2}.$$



17.3- расм

$z_1$  ни аниклашда (17.24) ифода «минус»,  $z_2$  ни аниклашда эса «плюс» ишора билан олинади.

Эркин тебранишлар дифференциал тенгламаларининг умумий ечими (17.10) га кўра

$$\begin{aligned} y_1 &= A_{11}\sin(\omega_1 t + \lambda_1) + A_{12}\sin(\omega_2 t + \lambda_2); \\ y_2 &= A_{21}\sin(\omega_1 t + \lambda_1) + A_{22}\sin(\omega_2 t + \lambda_2). \end{aligned} \quad (17.25)$$

кўринишга эга.

Хар бир тебраниш шакли ўз такрорлигига эга:  $A_{11}$ ,  $A_{21}$  — такрорлиги  $\omega_1$  бўлган биринчи шакл тебранишларининг амплитудаси (17.3-расм, а), бу ерда биринчи индекс — координата номерини, иккинчи индекс — такрорлик номерини билдиради.  $A_{12}$ ,  $A_{22}$  — такрорлиги  $\omega_2$  бўлган иккинчи шакл тебранишларининг амплитудаси (17.3-расм, б).

Тебранишнинг асосий шакли деганда,  $\sin(\omega_i t + \lambda_i) = -1$  бўлганда, бирор хусусий такрорлик билан тебранаётган система деформациясининг шакли тушунилади.

Бинобарин, хар бир асосий шакли юкори инерция кучлари таъсирида хосил бўладиган солқилик сифатида аниклаш мумкин: биринчи шакл 17.3-расм, а да, иккинчи шакл эса 17.3-расм, б да тасвирланган кучлар таъсирида хосил бўлади. Хар иккала асосий шакл ўзаро ортогональдир, яъни биринчи шакл кучларининг иккинчи шакл кўчишларида бажариши мумкин бўлган иш нолга teng.

Биринчи гармоника амплитудалари нисбатини  $x_{21} = \frac{A_{21}}{A_{11}}$ ,  $x_{22} = \frac{A_{22}}{A_{12}}$  деб белгиласак, (17.25) тенглама куйидаги кўринишни олади:

$$\begin{aligned}y_1 &= A_{11}\sin(\omega_1 t + \lambda_1) + A_{12}\sin(\omega_2 t + \lambda_2); \\y_2 &= x_{21}A_{11}\sin(\omega_1 t + \lambda_1) + x_{22}A_{12}\sin(\omega_2 t + \lambda_2).\end{aligned}\quad (17.26)$$

Бу ерда хусусий тақоррликлар  $\omega_1$  ва  $\omega_2$  ҳамда тебраниш шаклиниң характеристикаси деб аталувчи амплитудалар нисбати  $x_{21}$  ва  $x_{22}$  фактгина тебранаётган системаниң параметрлариға боғлиқ бўлган микдорлардир.  $A_{11}$ ,  $A_{12}$ ,  $\lambda_1$  ва  $\lambda_2$  нинг қийматлари ҳаракат бошидаги кўчиш ва тезликни ифодаловчи бошланғич шартлардан топилади.

Масалан,  $t=0$  бўлганда

$$\begin{aligned}y_1(0) &= 0, & y_2(0) &= 0; \\y_1'(0) &= 0, & y_2'(0) &= v_0;\end{aligned}$$

яъни ҳаракат иккинчи массага зарб берилишдан бошланди, дейлик. У ҳолда (17.26) тенгламадан

$$\begin{aligned}y_1(0) &= A_{11}\sin\lambda_1 + A_{12}\sin\lambda_2 = 0; \\y_2(0) &= x_{21}A_{11}\sin\lambda_1 + x_{22}A_{12}\sin\lambda_2 = 0; \\y_1'(0) &= A_{11}\omega_1\cos\lambda_1 + A_{12}\omega_2\cos\lambda_2 = 0; \\y_2'(0) &= x_{21}A_{11}\omega_1\cos\lambda_1 + x_{22}A_{12}\omega_2\cos\lambda_2 = v_0.\end{aligned}$$

Келиб чиқади. Юқоридаги икки тенгламадан  $\lambda_1=\lambda_2=0$ ; пастдаги икки тенгламадан эса

$$A_{11} = \frac{v_0}{\omega_1} \cdot \frac{1}{x_{21}-x_{22}}; \quad A_{12} = \frac{v_0}{\omega_2} \cdot \frac{1}{x_{22}-x_{21}}$$

эканлиги маълум бўлади.

Бошланғич шартларни махсус танлаш йўли билан ҳар иккала массани бир хил тақоррликда тебранишига эришиш мумкин. Масалан,  $A_{12}=0$  бўлганда тебраниш битта гармоника бўйича содир бўлади:

$$\left. \begin{aligned}y_{11} &= A_{11}\sin(\omega_1 t + \lambda_1); \\y_{21} &= x_{21}A_{11}\sin(\omega_1 t + \lambda_1)\end{aligned} \right\} \quad (17.27)$$

ҳамда биринчи асосий тебраниш деб аталади.  $x_{21}$  тебранишларниң биринчи асосий шаклини ифодалайди.

Агар  $A_{11}=0$  бўлишига эришилса, иккинчи асосий тебраниш содир бўлади

$$\left. \begin{aligned}y_{12} &= A_{12}\sin(\omega_2 t + \lambda_2); \\y_{22} &= x_{22}A_{12}\sin(\omega_2 t + \lambda_2).\end{aligned} \right\} \quad (17.28)$$

Бу ерда  $X_{22}$  тебранишларнинг иккинчи асосий шаклини ифодалайди.

Тебранишларнинг биринчи асосий шаклида ҳар иккала масса  $\omega_1$  тақорорлик билан бир йўналишда тебранади. Иккинчи асосий шаклда эса массалар  $\omega_2$  тақорорлик билан қарама-қарши йўналишда тебранади.

**Мисол.** Иккита бир хил массали вазнсиз балканинг эркин тебранишлари тақорорлиги аниклансан (17.3- расм, в).

**Ечиш.** Моментларнинг бирлик эпюраларидан Верешчагин қоидаси бўйича кўпайтириш йўли билан бирлик кўчишларни топамиз (17.3- расм, г, д).

$$\delta_{11} = \delta_{22} = \frac{4l^3}{243EI};$$

$$\delta_{12} = \delta_{21} = \frac{7l^3}{486EI}.$$

(17.24) формула берилган масала учун куйидаги кўринишни олади:

$$\omega_{1,2}^2 = \frac{1}{2(\delta_{11}^2 - \delta_{12}^2)_m} [2\delta_{11} \pm \sqrt{4\delta_{11}^2 - 4(\delta_{11}^2 + \delta_{12}^2)}],$$

бундан

$$\omega_1 = 5,69 \sqrt{\frac{EI}{ml^3}} \text{ ва } \omega_2 = 22 \sqrt{\frac{EI}{ml^3}}$$

аниқланади.

### Эркинлик даражаси учта бўлган системаларнинг эркин тебранишлари

Уч массали системанинг хусусий тебранишлари тенгламаси (17.5) га асосан куйидагича бўлади:

$$\left. \begin{aligned} A_1(m_1\delta_{11}\omega^2 - 1) + A_2m_2\delta_{12}\omega^2 + A_3m_3\delta_{13}\omega^2 &= 0; \\ A_1m_1\delta_{21}\omega^2 + A_2(m_2\delta_{22}\omega^2 - 1) + A_3m_3\delta_{33}\omega^2 &= \omega^2 = 0; \\ A_1m_1\delta_{31}\omega^2 + A_2m_2\delta_{32}\omega^2 + A_3(m_3\delta_{33}\omega^2 - 1) &= 0. \end{aligned} \right\} \quad (17.29)$$

Бу тенгламаларнинг аникловчиси (17.6) га кўра куйидагича ифодаланади:

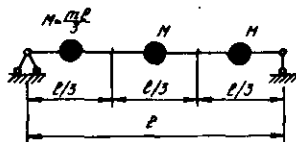
$$D = \begin{vmatrix} (m_1\delta_{11}\omega^2 - 1) & m_2\delta_{12}\omega^2 & m_3\delta_{13}\omega^2 \\ m_1\delta_{21}\omega^2 & (m_2\delta_{22}\omega^2 - 1) & m_3\delta_{23}\omega^2 \\ m_1\delta_{31}\omega^2 & m_2\delta_{32}\omega^2 & (m_3\delta_{33}\omega^2 - 1) \end{vmatrix} = 0. \quad (17.30)$$

Амплитуда коэффициентлари  $X_{kn} = \frac{A_{kn}}{A_{1n}}$  куйидаги тенгламалардан топилади:

$$\left. \begin{array}{l} (m_1\delta_{11}\omega^2 - 1) + x_{2n}m_2\delta_{12}\omega^2 + x_{3n}m_3\delta_{13}\omega^2 = 0; \\ m_1\delta_{21}\omega^2 + x_{2n}(m_2\delta_{22}\omega^2 - 1) + x_{3n}m_3\delta_{23}\omega^2 = 0; \\ m_1\delta_{31}\omega^2 + x_{2n}m_2\delta_{32}\omega^2 + x_{3n}(m_3\delta_{33}\omega^2 - 1) = 0. \end{array} \right\} \quad (17.31)$$

Бу тенгламалардан бирортаси ташлаб юборилиб, колган иккитасидан  $x_{2n}$  ва  $x_{3n}$  номаълум коэффициентлар аниқланади.

Уч массали балка тебранишининг такрорликлари ва асосий шаклларини аниқлашга доир мисолни кўриб ўтамиз (17.4- расм).



17.4- расм

Балканинг бирлик кучлар таъсиридаги кўчишлари берилган дейлик:

$$\delta_{11} = \frac{25t^3}{3888EI}; \quad \delta_{22} = \frac{81t^3}{3888EI};$$

$$\delta_{12} = \frac{39t^3}{3888EI}; \quad \delta_{23} = \delta_{12};$$

$$\delta_{13} = \frac{17t^3}{3888EI}; \quad \delta_{33} = \frac{25t^3}{3888EI}.$$

Балка тебранишларининг каноник тенгламаси (17.29) га кўра

$$\begin{aligned} \left( \frac{25l^3\omega^2}{3888EJ}M - 1 \right) A_1 + \frac{39l^3\omega^2}{3888EJ}MA_2 + \frac{17l^3\omega^2}{3888EJ}MA_3 &= 0; \\ \frac{39l^3\omega^2}{3888EJ}MA_1 + \frac{39l^2\omega^2}{3888EJ}MA_2 + \left( \frac{25l^3\omega^2}{3888EJ}M - 1 \right) A_3 &= 0; \\ \frac{17l^3\omega^2}{3888EJ}MA_1 + \left( \frac{81l^3\omega^2}{3888EJ}M - 1 \right) A_2 + \frac{39l^3\omega^2}{3888EJ}MA_3 &= 0. \end{aligned}$$

$K_n = \frac{3888EJ}{l^3\omega^2 M}$  деб олсақ, тенглама ихчамлашади:

$$\left. \begin{aligned} (25 - K_n)A_1 + 39A_2 + 17A_3 &= 0; \\ 39A_1 + (81 + K_n)A_2 + 39A_3 &= 0; \\ 17A_1 + 39A_2 + (25 - K_n)A_3 &= 0. \end{aligned} \right\} \quad (a)$$

Тенгламалар аникловчисини нолга тенглаймиз:

$$D = \begin{vmatrix} (25 - K_n) & 39 & 17 \\ 30 & (81 - K_n) & 39 \\ 17 & 39 & (25 - K_n) \end{vmatrix} = 0.$$

Бунинг ёйилмаси

$$K_n^3 - 132K_n^2 + 1344K_n - 2880 = 0.$$

Тенгламанинг илдизлари:  $K_1 = 120$ ,  $K_2 = 8$ ,  $K_3 = 3$ .  
Эркин тебраниш тақорорликлари

$$\omega_n^2 = \frac{3888EJ}{l^3MK_n} = \frac{3888EJ}{l^3 \frac{ml}{3} K_n}$$

дан аникланади:

1) биринчи асосий шакл тақорорлиги ( $K_1 = 120$ )

$$\omega_1 = \sqrt{3888EJ \cdot \frac{1}{3} ml^4 \cdot 120} = \frac{9,859}{l^2} \sqrt{\frac{EJ}{m}};$$

2) иккинчи асосий шакл тақорорлиги ( $K_2 = 8$ )

$$\omega_2 = \sqrt{3888EJ \cdot \frac{1}{3} ml^4 \cdot 8} = \frac{38,184}{l^2} \sqrt{\frac{EJ}{m}};$$

3) учинчи асосий шакл тақорорлиги ( $K_3 = 3$ )

$$\omega_3 = \sqrt{3888EJ \cdot \frac{1}{3} ml^4 \cdot 3} = \frac{62,354}{l^2} \sqrt{\frac{EJ}{m}}.$$

Топилган тақорорликлар бўйича (17.31) дан фойдаланиб, асосий шаклларни аниклаймиз. Бунинг учун (а) тенгламанинг барча ҳадларини  $A_1$  га бўлиб, тенгламани кайта ёзамиш:

$$\left. \begin{array}{l} (25 - K_n) + 39x_{2n} + 17x_{3n} = 0; \\ 39 + (81 - K_n)x_{2n} + 39x_{3n} = 0; \\ 17 + 39x_{2n} + (25 - K_n)x_{3n} = 0. \end{array} \right\} \quad (6)$$

Биринчи асосий шаклни аниклаш учун (б) тенгламада  $K_1 = 120$  деб олинади:

$$\left. \begin{array}{l} (25 - 120) + 39x_{21} + 17x_{31} = 0; \\ 39 + (81 - 120)x_{21} + 39x_{31} = 0; \\ 17 + 39x_{21} + (25 - 120)x_{31} = 0. \end{array} \right.$$

Тенгламаларнинг биттаси ортиқча. Учинчисини ташлаб юбориб, қолган иккитасидан

$$x_{21} = \frac{95 \cdot 39 + 39 \cdot 17}{39 \cdot 39 + 39 \cdot 17} = 2 \text{ ва } x_{31} = \frac{-39 \cdot 39 + 39 \cdot 95}{39 \cdot 39 + 39 \cdot 17} = 1$$

аникланди. Шундай килиб, биринчи асосий шаклни кўйидаги микдорлар белгилайди:  $A_{21} = 2A_{11}$ ;  $A_{31} = A_{11}$  (17.5- расм, а).

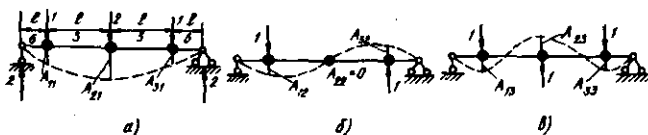
Иккинчи асосий шаклни аниклашда (б) тенгламадаги  $K$  нинг кийматини 8 га тенг деб оламиш:

$$\left. \begin{array}{l} (25 - 8) + 39x_{22} + 17x_{32} = 0; \\ 39 + (81 - 8)x_{22} + 39x_{32} = 0; \\ 17 + 39x_{22} + (25 - 8)x_{32} = 0. \end{array} \right.$$

Дастлабки икки тенгламадан

$$X_{22} = \frac{-17 \cdot 39 + 17 \cdot 39}{39 \cdot 39 - 73 \cdot 17} = 0 \text{ ва } X_{32} = \frac{-39 \cdot 39 + 73 \cdot 17}{39 \cdot 39 - 73 \cdot 17} = -1$$

топилади. Асосий шаклни белгиловчи кучлар тархи 17.5- расм, б да берилган.



Учинчи асосий шаклни аниқлашда  $K_3=3$  деб олинади. Бунда  $X_{23}=1$  ва  $X_{33}=1$  хамда  $A_{23}=-A_{13}$ ;  $A_{33}=A_{13}$  келиб чиқади.

Кучлар тархи ва учинчи асосий шакл 17.5- расм, в да берилган.

Хуносай: хусусий тебранишларнинг биринчи асосий шаклида иккита четки масса бир хил масофага, ўртадаги масса эса икки баравар кўпроқ масофага кўчади. Хусусий тебранишларнинг иккинчи шаклида ўртадаги масса ўз ўрнида колиб, четки массалар тенг ва қарама-карши масофаларга кўчади. Нихоят, хусусий тебранишларнинг учинчи асосий шаклида иккита четки масса яна тенг масофага кўчади; ўртадаги масса эса микдор жиҳатдан тенг, йўналиш жиҳатдан қарама-карши томонга кўчади.

#### 17.4. ЭРКИНЛИК ДАРАЖАСИ БИР НЕЧТА БЎЛГАН СИСТЕМАЛАРНИНГ МАЖБУРИЙ ДАВРИЙ ТЕБРANIШЛАРИ

Мисол тариқасида  $n$  та йиғик массага эга бўлган балканинг (17.6- расм) мажбурий тебранишларини кўриб ўтамиш. Балканинг  $k$  массасига

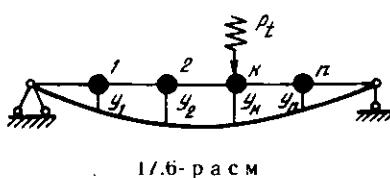
$$P_t = P_k \sin \theta t \quad (17.32)$$

уйғотувчи куч таъсир этяпти дейлик. Бу ерда  $P_k$  — куч амплитудаси,  $\theta$  — унинг такрорлиги.

Бунда (17.3) тенглама таркибида уйғотувчи куч таъсирини хисобга олувчи қўшимча ҳад найдо бўлади:

$$\left. \begin{aligned} y_1 &= -m_1 \ddot{y}_1 \delta_{11} - m_2 \ddot{y}_2 \delta_{12} - \dots - m_n \ddot{y}_n \delta_{1n} + P_k \delta_{1k} \sin \theta t; \\ y_2 &= -m_1 \ddot{y}_1 \delta_{21} - m_2 \ddot{y}_2 \delta_{22} - \dots - m_n \ddot{y}_n \delta_{2n} + P_k \delta_{2k} \sin \theta t; \\ &\dots \\ y_n &= -m_1 \ddot{y}_1 \delta_{n1} - m_2 \ddot{y}_2 \delta_{n2} - \dots - m_n \ddot{y}_n \delta_{nn} + P_k \delta_{nk} \sin \theta t; \end{aligned} \right\} \quad (17.33)$$

Ҳар бир массанинг кўчишини қуидагича ифодалаш мумкин:



$$\begin{aligned} y_1 &= A_1 \sin \theta t \\ y_2 &= A_2 \sin \theta t \\ &\dots \\ y_n &= A_n \sin \theta t \end{aligned} \quad (17.34)$$

(17.34) ифодаларни (17.33) тенгламага қўйсак, тебра- ниш амплитудалари  $A_1, A_2, \dots, A_n$  ни аниқлайдиган тенгламалар системаси келиб чиқади:

$$\left. \begin{aligned} A_1 &= A_1 m_1 \delta_{11} \Theta^2 + A_2 m_2 \delta_{12} \Theta^2 + \dots + A_n m_n \delta_{1n} \Theta^2 + P_k \delta_{1k}; \\ A_2 &= A_1 m_1 \delta_{21} \Theta^2 + A_2 m_2 \delta_{22} \Theta^2 + \dots + A_n m_n \delta_{2n} \Theta^2 + P_k \delta_{2k}; \\ &\dots \\ A_n &= A_1 m_1 \delta_{nn} \Theta^2 + A_2 m_2 \delta_{n2} \Theta^2 + \dots + A_n m_n \delta_{nn} \Theta^2 + P_k \delta_{nk}; \end{aligned} \right\} \quad (17.35)$$

Тенглама коэффициентлари (масса  $m_i$ , қўчиш  $\delta_{ik}$ , тақрорлик  $\Theta$ ) маълум қийматлар бўлганлиги сабабли, тенгламалар системасини биргаликда ечиб, номаълум  $n$  та амплитудани аниқласа бўлади. Амплитудаларни нг аниқланиши ҳар бир массада вужудга келадиган инерция кучларини аниқлаш имконини беради:

$$\left. \begin{aligned} J_1 &= m_1 A_1 \Theta^2; \\ J_2 &= m_2 A_2 \Theta^2; \\ &\dots \\ J_n &= m_n A_n \Theta^2. \end{aligned} \right\} \quad (17.36)$$

Инерция кучлари  $J_n$  аниқлангач, динамиқ эгувчи моментлар эпюрасини қуриш кийин эмас.

## 18- боб

### ЭРКИНЛИК ДАРАЖАСИ ЧЕКСИЗ БЎЛГАН СИСТЕМАЛАР

Юкорида қўриб ўтилган тарҳларда массали элементлар сони чекли деб қаралди. Иншоотларни бу тарзда тарҳлашибиреш ҳақиқий ҳолатни тўлик акс эттирамайди; реал объектларнинг барча элементлари деформацияланади ва айни пайтда маълум массага ҳам эга. Шунга кўра конструкция тебранишини тадқик этишда, унинг массасини узлуксиз тарқалган деб олинса, ҳақиқатга анча яқин бўлади. Бундай ҳолда системанинг эркинлик даражаси чексиз деб қаралади.

Олдинги бобда баён этилганидек, хусусий тақрорликлар сони ва уларга мос бўлган тебранишнинг асосий шакллари системанинг эркинлик даражаси сонига тенг бўлади, бинобарин, массаси узлуксиз тарқалган система-ларнинг, яъни эркинлик даражаси чексиз бўлган система-ларнинг хусусий тақрорликлари ҳамда тебраниш шаклла-ри сони чексиз бўлади.

Эркин тебранишга оид масалаларда система-ларнинг хусусий тақрорликлари ва уларга мос бўлган тебраниш шаклларини аниқлаш амаллари асосий ўрин тутади.

### 18.1. БАЛКАЛАРНИНГ КЎНДАЛАНГ ТЕБРАНМА ҲАРАКАТИ ДИФФЕРЕНЦИАЛ ТЕНГЛАМАСИ

Бинокорликда ишлатиладиган тўсиннни кўз олдингизга келтиринг. Унинг массаси тўсин узунлиги бўйлаб ёйилган бўлади. Бундай конструкциялар эркинлик даражаси чексиз бўлган система-ларга якъол мисол бўла олади.

Балкалар тебранганда уларнинг солқилиги икки ўзга-рувчи: кесим координати  $z$  ҳамда вакт  $t$  нинг функцияси бўлади, яъни

$$y = F(z, t).$$

Материаллар қаршилиги курсидан маълумки, солки-лик  $y$  билан эгувчи момент  $M$  қўйидаги дифференциал боғланишга эга:

$$EJ \frac{d^2y}{dz^2} = -M.$$

Бу ифодани икки марта дифференциаллаймиз:

$$\frac{\partial^2}{\partial z^2} \left( EJ \frac{d^2y}{dz^2} \right) = - \frac{d^2M}{dz^2} = -P(z, t). \quad (18.1)$$

Бу ерда  $P(z, t)$  — балкага таъсир этувчи кўндаланг куч бўлиб, у қўйидаги омиллардан ташкил топади:

- 1) интенсивлиги  $q(z, t)$  бўлган актив ёйик куч;
- 2) интенсивлиги  $m\ddot{y}$  бўлган инерция кучлари;
- 3) интенсивлиги  $r(z, t)$  бўлган ҳаракатга қаршилик кўрсатувчи кучлар:

$$P(z, t) = q(z, t) + m\ddot{y} + r(z, t). \quad (18.2)$$

(18.2) ни (18.1) га қўйсак, балка тебранма ҳаракатининг дифференциал тенгламаси

$$\frac{\partial^2}{\partial z^2} \left( EI \frac{\partial y^2}{\partial z^2} \right) + m \frac{\partial^2 y}{\partial t^2} + r(z, t) = -q(z, t) \quad (18.3)$$

келиб чиқади.

(18.3) тенгламада  $q(z, t) = 0$  деб олинса, эркин тебра-нишлар дифференциал тенгламаси ҳосил бўлади:

$$\frac{\partial^2}{\partial z^2} \left( EI \frac{\partial y^2}{\partial z^2} \right) = m \frac{\partial^2 y}{\partial t^2} + r(z, t) = 0. \quad (18.4)$$

Агар балканинг бикирлиги ўзгармас бўлиб, мухит қаршилиги хисобга олинмаса (18.4), тенглама қўйнадиги ихчам кўринишга келади:

$$\frac{\partial^2 y}{\partial t^2} + \frac{EI}{m} \frac{\partial^4 y}{\partial z^4} = 0. \quad (18.5)$$

## 18.2. БАЛКАНИНГ ЭРКИН ТЕБРАНИШЛАРИ

**1. Эгилиш тебранишлари.** Балка эркин тебранишлари дифференциал тенгламаси (18.5) нинг умумий ечимини бири  $z$  га, иккинчиси  $t$  га боғлиқ бўлган, икки хил функцияянинг кўпайтмаси кўринишида излаймиз:

$$y(z, t) = Z(z) \cdot T(t). \quad (18.6)$$

(18.6) функциядан ҳосила олиб, (18.5) га қўямиз

$$Z(z) \frac{d^2 T(t)}{dt^2} + \frac{EI}{m} T(t) \frac{d^4 Z(z)}{dz^4} = 0. \quad (18.7)$$

(18.7) тенгламанинг барча ҳадларини  $T(t) \cdot Z(z)$  га бўламиш ва ҳадлардан бирини ўнг томонга ўтказамиз:

$$\frac{\frac{EI d^4 Z(z)}{m dz^4}}{Z(z)} = - = - \frac{\frac{d^2 T(t)}{dt^2}}{T(t)}. \quad (18.8)$$

Шу йўл билан ўзгарувчиларни икки кисмга ажратдик -- чап томондаги функция фактат  $Z$  га, ўнгдагиси эса фактат  $t$  га боғлиқ. Ҳар иккала функция маълум бир ўзгармас сонга тенг бўлгандагина улар орасидаги тенглик мавжуд бўлади, ана шу ўзгармас сонни  $\omega^2$  деб кабул қиласиз. Бунда иккита оддий дифференциал тенглама ҳосил бўлади:

$$\frac{d^2 T(t)}{dt^2} + \omega^2 T(t) = 0; \quad \frac{d^4 Z(z)}{dz^4} - \omega^2 \frac{m}{EI} Z(z) = 0. \quad (18.9)$$

Биринчи тенгламанинг ечими:

$$T(t) = A \sin \omega t + B \cos \omega t = C \sin(\omega t + \lambda) \quad (18.10)$$

бўлиб, балканинг тебранма ҳаракатда эканлигини билдиради. Бу ечимдан  $\omega$  нинг физик маъноси — тебраниш тақоролиги эканлиги ҳам кўриниб турибди. Иккинчи тенгламадан тебраниш шакли аниқланади. Унинг умумий ечими кўйидаги кўринишга эга:

$$Z(z) = D_1 \sin u z + D_2 \cos u z + D_3 s h u z + D_4 c h u z, \quad (18.11)$$

бу ерда

$$u = \sqrt{\frac{\omega^2 m}{EJ}}.$$

$D_1, D_2, D_3, D_4$  доимийлари балканинг икки учига боғлик бўлган чегаравий шартлардан топилади. Чегаравий шартлар эса  $D_1, D_2, D_3, D_4$  ни ўз ичига олган тўртта чизиқли бир жиссли алгебраик тенгламалардан иборат. Бизни системанинг нолдан фарқли бўлганда балка тебранмайди. Тенгламалар системасининг аниқловчиси нолга тенг бўлганда тенгламаларнинг ечими нолдан фарқли бўлади.

$D_1, \dots, D_4$  ни ўз ичига олган тенгламалар системасининг аниқловчисини нолга тенглаш йўли билан ҳосил қилинган тенглама  $u$  га нисбатан трансцендент бўлади, яъни тригонометрик ва гиперболик функциялардан ташкил топади. Бу тенгламани ечиб, ҳар бирининг ўзига мос тақоролиги ва шакли бўлган, чексиз кўп илдизлар топилади.

Шундай қилиб, эркинлик даражаси чексиз бўлган системанинг эркин тебраниши дифференциал тенгламаси (18.5) нинг умумий интеграли кўйидаги кўринишга эга бўлади:

$$\begin{aligned} y(z,t) = \sum_{n=1}^{\infty} Z_n(z) T_n(t) = & \sum_{n=1}^{\infty} (D_{1n} \sin u_n z + D_{2n} \cos u_n z + \\ & + D_{3n} s h u_n z + D_{4n} c h u_n z) \sin(\omega_n t + \lambda). \end{aligned} \quad (18.12)$$

**Мисол.** Икки учи шарнирли биритирилган балканинг эркин тебранишлари тақороликлари ва шакллари топилсин.

**Ечиш.**  $y(z, t)$  функцияси учун чегаравий шартларни белгилаймиз:

$$y(z, t) \Big|_{z=0} = 0; \quad \frac{d^2 y(z, t)}{dz^2} \Big|_{z=0} = 0; \quad y(z, t) \Big|_{z=l} = 0; \quad \frac{d^2 y(z, t)}{dt^2} \Big|_{z=l} = 0;$$

$Z_n(z)$  функция учун балка уchlари шарти қўйидагича бўлади:

$$Z_n(z) \Big|_{z=0} = 0; \quad \frac{d^2 Z_n(z)}{dz^2} \Big|_{z=0} = 0; \quad Z_n(z) \Big|_{z=l} = 0; \quad \frac{d^2 Z_n(z)}{dt^2} \Big|_{z=l} = 0;$$

Бу шартлар ёйик кўринишда  $z=0$  бўлган ҳол учун

$$D_{2n} + D_{4n} = 0; \quad -D_{2n}U^2 + D_{4n}U^2 = 0$$

бўлади. Бундан

$$D_{2n} = D_{4n} = 0 \quad (a)$$

келиб чиқади.

Чегаравий шартлар, (а) ни эътиборга олганда  $z=1$  бўлган ҳол учун, қўйидаги кўринишга эга бўлади:

$$\left. \begin{aligned} D_{1n} \sin u_n l + D_{3n} \operatorname{sh} u_n l &= 0; \\ -D_{4n} u_n^2 \sin u_n l + D_{3n} u_n^2 \operatorname{sh} u_n l &= 0 \end{aligned} \right\} \quad (b)$$

Системанинг нолдан фарқли ечимиға эга бўлиши учун унинг аникловчисини нолга тенглаймиз:

$$\left. \begin{aligned} \sin u_n l \operatorname{sh} u_n l \\ -\sin u_n l \operatorname{sh} u_n l \end{aligned} \right\} = 0; \quad 2 \sin u_n l \cdot \operatorname{sh} u_n l = 0.$$

Бу ўринда  $\operatorname{sh} U_n = 0$  шартидан фойдаланиб бўлмайди, чунки мазкур шарт  $U = 0$  бўлгандагина бажарилиши мумкин. Бу эса такрорлик  $\omega$  нинг нолга тенг бўлишига, яъни тебранишнинг бўлмаслигига олиб келади. Шу сабабли  $\sin U_n l = 0$  деб оламиз, ўз навбатида

$U_n = \frac{n\pi}{l}$ . Айни вактда  $\sin U_n l = 0$  ва  $\operatorname{sh} U_n l \neq 0$  бўлганлиги сабабли, (б) тенглама шартлари қаноатлантирилиши учун  $D_{3n} = 0$  бўлиши зарур. Шундай килиб нолдан фарқли интеграл доимийси биргина  $D_{1n}$  қолди.

Демак,

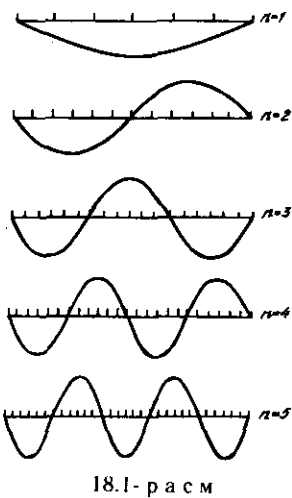
$$Z_n(z) = D_{1n} \sin U_n z = D_{1n} \sin \frac{n\pi}{l} z.$$

Хусусий тебраниш тақорилклари күйидаги формуладан топилади:

$$\omega_n = U_n^2 \sqrt{\frac{EI}{m^2}} = \\ = \frac{n^2 \pi^2}{l^2} \sqrt{\frac{EI}{m}}.$$

18.1-расмда  $\sin \pi z/l$  функцияси бүйіча қурилған тебраниш шакллари тасвирланған.

Күйидаги ифода (18.5) тенгламанинг ечими хисоблады:



18.1-расм

$$y(z,t) = \sum_{n=1}^{\infty} D_{1n} \sin U_n z \sin (\omega_n t + \lambda).$$

**2. Силжиш тебранишлари.** Күпинча реал биноларнинг тебранишида күндаланғ күчлар таъсири әгувчи моментта нисбатан салмоқли бўлади. Шу сабабли биноларда силжиш деформацияси вужудга келади. Бундай ҳол учун тебранишнинг дифференциал тенгламаси

$$\frac{d^2y}{dz^2} = -\frac{1}{\alpha GF} \cdot \frac{dQ(z)}{dz} = -\frac{q(z)}{\alpha GF} \quad (a)$$

кўринишга эга бўлади.

Бу ерда  $Q(z)$  — кўндаланг күч;  $q(z) = \frac{dQ(z)}{dz}$  — ёйик күч;  $\alpha$  — системанинг кўндаланг кесимига боғлик бўлган коэффициент;  $F$  — кўндаланг кесим юзаси;  $G$  — силжиш модули.

Агар  $q(z) = -m(z) \frac{d^2y}{dt^2}$  эканлигини хисобга олсак, у ҳолда (a)-тенглама

$$\frac{\partial^2 y}{\partial z^2} = \frac{m}{\alpha GF} \frac{\partial^2 y}{\partial t^2} \quad (b)$$

кўринишга келади.

Сўнгги тенглама ечимини  $y(z,t) = Z(z) \cdot T(t)$  кўринишида излаймиз. Бу ечимнинг иккинчи тартибли ҳосиласини (б) тенгламага қўйсак, ечимлари куйидагича бўлган, иккита дифференциал тенглама ҳосил бўлади:

$$\begin{aligned} T(t) &= A \sin(\omega t + \lambda); \\ Z(z) &= C_1 \sin \lambda z + C_2 \cos \lambda z. \end{aligned} \quad (\text{в})$$

Бу ерда  $\lambda = \frac{m\omega^2}{\alpha GF}$ .

**Мисол.** Консол балканинг — силжиш тебраниши тақорликлари аниклансин.

Консол балканинг чегаравий шартлари:  $Z(0) = 0$ ;  $Z'(0) = 0$ ;  $Z''(l) = 0$ ;  $Z'''(l) = 0$ . Бундан  $C_2 = 0$  ва  $Z(z) = C_1 \sin \lambda z$  келиб чиқади.

Агар  $Z = l$ ,  $Z'''(l) = 0$  бўлса, куйидаги ифодага эга бўламиз:

$$C_1 \lambda^3 \cos \lambda l = 0.$$

$C_1$  ва  $\lambda$  нолдан фарқли миқдорлар бўлганлиги сабабли,  $\cos \lambda l = 0$ ;  $\lambda l = \frac{\pi}{2}, \frac{3\pi}{2}, \frac{5\pi}{2}$  ва ҳоказо бўлади.

Буларга мос тақоррликлар

$$\omega_1 = \frac{\pi}{2l} \sqrt{\frac{\alpha GF}{m}}; \quad \omega_2 = \frac{3}{2}\pi e \sqrt{\frac{\alpha GF}{m}},$$

$$\omega_3 = \frac{5\pi}{2l} \sqrt{\frac{\alpha GF}{m}}$$

ва ҳоказо.

**3. Эгилиш-силжиш тебранишлари.** Баъзан бино ва иншоотлар тебранишини ўрганишда эгилиш ва силжиш деформацияларини бир йўла хисобга олиш зарурати туғилади. Бундай ҳолда система тебранишининг дифференциал тенгламаси

$$\frac{d^2y}{dz^2} = -\frac{M(z)}{EI} - \frac{q(z)}{\alpha GF} \quad (\text{г})$$

бўлади.

Аввал кўриб ўтганимиздек,  $q(z)$  ни инерция кучи орқали ифодалаб, (г) тенгламани  $z$  бўйича икки марта дифференциалласак,

$$\frac{\partial^4 y}{\partial z^4} + \frac{m}{EI} \cdot \frac{\partial^2 y}{\partial z^2} - \frac{m}{\alpha GF} - \frac{\partial^4 y}{\partial t^2 \cdot \partial z^2} = 0$$

келиб чиқади.

Мазкур тенгламанинг ечими тебраниш формулалари ва хусусий такрорликларини аникладиган куйидаги ифодаларни беради:

$$Z(z) = C_1 \left[ \sin \lambda_i z - \frac{C_2}{C_1} (\cos \lambda_i z - ch \bar{\lambda}_i z) - \frac{C_3}{C_1} Sh \bar{\lambda}_i z \right];$$

$$\omega = \sqrt{\frac{EJ\lambda_i^4}{m(1+K\lambda_i^2)}} \text{ ёки } \omega = \sqrt{\frac{EJ\bar{\lambda}_i^4}{m(1-K\lambda_i^2)}}$$

$$\text{Бу ерда } K = \frac{EJ}{\alpha GF}; \quad (I\bar{\lambda}_i)^2 = \frac{(I\lambda_i)^2}{1+K\lambda_i^2}.$$

Бир учи мустахкам бириктирилган, иккинчи учи озод стержень учун

$$\lambda_i = \frac{\pi}{2l}, \quad \frac{3}{2} \cdot \frac{\pi}{l}, \quad \frac{5}{2} \cdot \frac{\pi}{l}, \dots$$

бўлади.

### 18.3. МАЖБУРИЙ ТЕБРАНИШЛАР

Вазнга эга бўлган призма шаклидаги балканинг мажбурий тебранишлари масаласи куйидаги тенгламани ечиши билан чамбарчас боғлиқdir:

$$\frac{\partial^2 y}{\partial t^2} + \frac{EJ}{m} \cdot \frac{\partial^4 y}{\partial z^4} = q(z,t) \quad (18.13)$$

Бу ерда  $q(z,t)$  — тебраниш уйғотувчи ёйик куч интенсивлиги. (18.13) тенглама чизикли бўлганлиги сабабли, унинг умумий ечими ўзига мос бир жинсли тенглама (18.5) нинг умумий ечими ва мазкур бир жиннесиз тенгламанинг хусусий ечимидан ташкил топади. Бир жинсли тенглама (18.5) нинг умумий ечими аввалги параграфда кўриб ўтилган эди. (18.13) тенгламанинг хусусий ечимига тўхталиб ўтамиз. Шу мақсадда хусусий ечим ва  $q(z,t)$  функциясини куйидаги кўринишда ифодаймиз:

$$y(z,t) = \sum_{n=1}^{\infty} S_n(t) Z_n(z); \quad q(z,t) = \sum_{n=1}^{\infty} H_n(t) \cdot Z_n(z) \quad (18.14)$$

Бу ерда  $Z_n$  — балканинг тебраниш шаклини ифодада-ловчи функция. (18.14) ни (18.13) га қўйиб,

$$\sum_{n=1}^{\infty} \left[ S_n(t) + \frac{EI}{m} \frac{n^4 \pi^4}{l^4} S_n(t) \right] \sin \frac{n\pi z}{l} = \sum_{n=1}^{\infty} H_n \cdot \sin \frac{n\pi z}{l}$$

ни ҳосил қиласиз. Бу ердан

$$S_n = \frac{EI}{m} \cdot \frac{n^4 \pi^4}{l^4} \cdot S_n = H_n \quad (18.15)$$

келиб чиқади.

Бир жинсли тенгламанинг бошланғич шартлари жусу-сий ечимини ҳам қаноатлантиради; шу сабабли унинг, шунингдек,  $S_n$  функциясининг бошланғич шартлари бир жинсли бўлади.

$$S(0) = 0; \dot{S}(0) = 0.$$

Шундай қилиб,

$$S_n = \frac{l^2}{n^2 \pi^2} \sqrt{\frac{m}{EI}} \int_0^t H_n(\tau) \sin \sqrt{\frac{EI}{m}} (t - \tau) d\tau. \quad (18.16)$$

$H_n t$  функцияси Фурье қатори коэффициентларини аниқ-лайдиган оддий формуладан топилади.

$$H_n(\tau) = \frac{2}{l} \int_0^l f(x, t) \sin \frac{n\pi x}{l} dx. \quad (18.17)$$

Қуйидаги ифодани (18.17) ни (18.16) га қўйиб топилади:

$$S_n = \frac{2l}{n^2 \pi^2} \sqrt{\frac{m}{EI}} \int_0^l d\tau \int_0^l f(x, \tau) \sin \frac{n\pi x}{l} \sin \frac{n^2 \pi^2}{l^2} \times \\ \times \sqrt{\frac{EI}{m}} (t - \tau) dx. \quad (18.18)$$

(18.18) ни (18.14) га қўйсак,  $y(z, t)$  келиб чиқади.

## ИНШООТЛАР ТЕБРАНИШИНИ ТАДҚИҚ ЭТИШНИНГ ТАҚРИБИЙ УСУЛЛАРИ

Аввалги бобларда иншоотлар тебранишини тадқиқ этишнинг айрим аниқ усуллари билан танишиб чиқкан әдик. Бирок улар күпинча ҳисоб ишларида математик жиҳатдан анча мураккаб қийинчиликлар туғдиради. Иншоотларни лойихалаш жараёнида баъзан уларнинг динамик хоссаларини, тақрибан бўлса ҳам, тезда аниқлаш зарурати учраб туради. Бундай ҳолларда системаларни таҳлил қилишнинг тақрибий усуллари жуда қўл келади. Бунда гап система тебранишининг хусусий тақрорликлари ва шаклларини аниқлаш ҳамда иншоотларнинг динамик мустаҳкамлигини текшириш ҳакида боради, албатта. Мазкур бобда ана шундай усуллар билан танишиб чиқамиз.

### 19.1. ЭНЕРГЕТИК УСУЛ

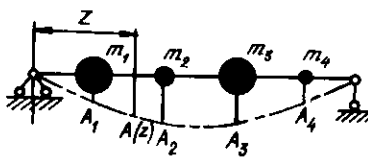
Энергетик усул қаршиликсиз мухитда эркин тебраниш жараёнида системаларнинг потенциал ва кинетик энергиялари йигиндиси ўзгармас микдор эканлигига асосланади. Эркин тебраниш жараёнида системанинг кинетик энергияси эластик потенциал энергияга, потенциал энергия эса кинетик энергияга ўтиб туради. Мухит қаршилиги хисобга олинмаса, энергиянинг сақланиш конунига биноан

$$K + \Pi = C = \text{const} \quad (19.1)$$

бўлади, бу ерда  $K$  — кинетик энергия,  $\Pi$  — потенциал энергия.

Тебранаётган системанинг оғиши юкори бўлганда кинетик энергия нолга teng бўлади, чунки бу вазиятда тебранаётган массаларнинг тезлиги ноль бўлади, система дастлабки мувозанат вазиятидан ўтаётган лаҳзада потенциал энергия нолга teng, чунки бунда система деформацияланмаган ҳолатда бўлади. Потенциал энергия ноль бўлганида, кинетик энергия ўзининг энг катта қийматига ( $K_{\max}$ ) эришади. Кинетик энергия ноль бўлганда эса потенциал энергия ( $\Pi_{\max}$ ) максимум бўлади. Бу мулоҳазалардан  $K_{\max} = \Pi_{\max}$  (19.2) келиб чиқади.

Кўп массали балка (19.1-расм) куйидаги қонуният бўйича эркин тебраняпти дейлик:



19.1-расм

$$y(z,t) = A \sin(\omega t + \lambda). \quad (19.3)$$

бу ерда  $y(z, t)$  — абциссаси  $z$  бўлган нуқтанинг  $t$  лаҳзадаги кўчиши;  $A = A(z)$  — тебраниш шакли, яъни энг катта солқилик.

(19.3) тенглама барча нуқталар битта фазада бир хил такрорлик билан тебранишини, яъни барча нуқталар статик мувозанат ҳолатини бир вактда босиб ўтиб, бир вактнинг ўзида максимал солқиликка эришишини англалади.

Балка тебранаётган пайтда нуқталарнинг тезлиги

$$\dot{y}(z,t) = A(z) \omega \cos(\omega t + \lambda)$$

тенгламадан топилади. Юкори кўчиш ва юкори тезлик

$$y_{\max} = A(z) \quad \dot{y}_{\max} = \omega A(z)$$

бўлади.

Балканинг солқилиги (кўчиши) юкори бўлгандаги потенциал энергия:

$$\Pi_{\max} = \frac{1}{2} \int_0^l EI(A'')^2 dz. \quad (19.4)$$

Тезлик юкори бўлгандаги кинетик энергия:

$$K_{\max} = \frac{1}{2} \sum m_i (A_i \omega)^2, \quad (19.5)$$

бу ерда  $A_i$  —  $i$ -масса кўчишининг амплитудаси.

(19.2) га асосан (19.4) ни (19.5) га тенглаштирамиз ва бундан такрорликни аниклаш формуласини (Рэлей формуласини) келтириб чиқарамиз:

$$\omega^2 = \frac{\int_0^l EI(A'')^2 dz}{\sum m_i A_i^2}. \quad (19.6)$$

Агар балкага узлуксиз ёйик масса қўйилган бўлса, маҳраждаги йиғинди интеграл билан алмаштирилади.

Агар тебранишларнинг ҳакиқий шакли  $A = A(z)$  маълум бўлса, у ҳолда Релей формуласи аниқ натижада беради. Бироқ  $A(z)$  олдиндан маълум бўлмаганини сабабли, уни ўзимиз ихтиёрий равишда қабул қиласиз. Бунинг оқибатида ҳисоб такрибий тус олади. (19.6) дан топилган такрорликнинг қиймати ҳамма вакт ҳакиқий қийматдан ортиқрок юради.

$A(z)$  функциясини шундай танлаш керакки, таҳмин килинган тебраниш шакли ҳакиқий тебраниш шаклига мумкин қадар яқин келсин. Чегаравий шартларга қатъий амал килиш зарур. Таҳминий шакл ҳакиқий шаклга қанча яқин бўлса, ҳисоб шунча аниқ бўлади.

**Мисол.** Ўзаро тенг учта массага эга бўлган балканинг (19.2-расм) хусусий такрорлиги энергетик усулда аниқлансан.

#### Ечиш. Тебраниш шаклини

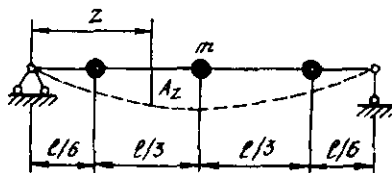
$$A = a \sin \frac{\pi z}{l}$$

кўринишида қабул қиласиз. Бу ифода барча чегаравий шартларни қаноатлантиради. Чунончи,  $z=0$ ; ва  $z=l$  бўлгандан,  $A=0$  ва  $A''=0$ ; айни пайтда  $A' \neq 0$ ;  $A''' \neq 0$ . Ифодадаги а мидор аниқеизлтигича қолаверади, чунки у касрнинг сурагида ҳам маҳражида ҳам катнашмаганини учун кискариб кетади, ҳисоб натижасига таъсири этмайди.

Берилган ифодадан иккى марға доисла оламиз ва уни квадратга оширамиз:

$$A'' = -a \frac{\pi^2}{l^2} \sin \frac{\pi z}{l};$$

$$(A'')^2 = a^2 \frac{\pi^4}{l^4} \sin^2 \frac{\pi z}{l}.$$



19.2-расм

(19.6) формуланинг сурати

$$\int_0^l EJ(A'')^2 dz = \frac{a^2 \pi^4 EI}{2l^3} \text{ га тенг.}$$

Формула маҳражига киругчи кўчишларни ҳисоблаймиз:

$$A_1 = a \sin \frac{\pi}{l} \cdot \frac{l}{6} = \frac{a}{2};$$

$$A_2 = a \sin \frac{\pi}{l} \cdot \frac{l}{2} = a;$$

$$A_3 = a \sin \frac{\pi}{l} \cdot \frac{5l}{6} = \frac{a}{2}.$$

(19.6) формуланинг маҳражи

$$\Sigma m A_i^2 = m \left( \frac{a}{2} \right)^2 + m a^2 + m \left( \frac{a}{2} \right)^2 = \frac{3}{2} m a^2.$$

Такрорлик квадрати

$$\omega^2 = \frac{\pi^4 EI}{3ml^3}.$$

Такрорлик

$$\omega = \frac{5,696}{l} \sqrt{\frac{EI}{ml}}.$$

Такрорликнинг бу қиймати аниқ усулда топилган

$$\omega = \frac{5,692}{l} \sqrt{\frac{EI}{ml}}$$

қийматидан жуда оз фарқ қиласди.

(19.6) формуладан фойдаланишининг бошқача йўллари ҳам бор. Масалан, тебраниш шакли  $A(z)$  ни тахминий олмасдан, балкага ихтиёрий статик кучлар қўямиз ва бу кучлардан ҳосил бўлган солқиликни тебраниш шакли деб қабул қиласми. Бу усулнинг қулайлиги шундаки, чегаравий шартлар ўз-ўзидан қаноатлантирилади.

Такрорлиги изланадиган балкага ихтиёрий  $P_1, P_2 \dots$  кучлар системаси қўйилган дейлик. Бунда системанинг потенциал энергияси ташки кучлар иши орқали осонгина топилади:

$$\Pi_{\max} = \frac{1}{2} \sum P A_a. \quad (19.7)$$

бу ерда  $A_i$  — қабул килинган кучлар системаси таъсирида ҳосил бўлган кўчишлар.

Потенциал энергиянинг янги ифодасини (19.6) формулага қўйсак:

$$\omega^2 = \frac{\sum P_i A_i}{\sum m_i A_i} \quad (19.8)$$

келиб чиқади. Агар  $P_i = m_i g$  эканлиги эътиборга олинса, такорлик формуласи янада соддалашади:

$$\omega^2 = g \frac{\sum m_i A_i}{\sum m_i A_i^2} \quad (19.9)$$

Масаланинг шартида берилган ташки кучларни ихтиёрий кучлар сифатида қабул килса ҳам бўлади.

(19.6) формуладан фойдаланишининг яна бир йўли билан танишиб ўтамиз. Бунда тебраниш шаклини аниқлаш учун балканинг ихтиёрий бир нуктасига биргина ташки куч қўямиз.  $A_0$  — куч қўйилган нуктанинг («келтирилган нукта») шу куч таъсирида ҳосил бўлган кўчиши дейлик. У ҳолда балкада тўпланган юкори потенциал энергия

$$\Pi_{\max} = \frac{1}{2} c A_0^2 \quad (19.10)$$

бўлади. Бу ерда  $c$  — балканинг бикирлик коэффициенти. (19.10) ифодани (19.5) ифодага теглаштириб,

$$\omega^2 = \frac{c A_0^2}{\sum m_i A_i} \quad (19.11)$$

формулага эга бўламиз.

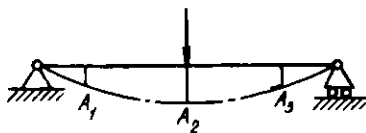
Куйидаги ифода

$$m_0 = \frac{\sum m_i A_i^2}{A_0^2} \quad (19.12)$$

системанинг келтирилган массаси деб атала-  
лади.

Буни эътиборга олсак, (19.11) формула янада ихчамла-  
шади:

$$\omega^2 = \frac{c}{m_0} \quad (19.13)$$



19.3- расм

**Мисол.** Юкорида кўриб ўтилган балканинг тақрорлиги-ни (19.13) формула ёрдамида аниқлаймиз. Бўнинг учун аввал йигик куч таъсирида балканинг кўчишларини топамиз. Келтирилган нукта балканинг ўртасида деб олсак, у холда қуидаги кўчишларга эга бўламиз (19.3- расм);

$$A_1 = A_3 = \frac{39}{81} A_0, A_2 = A_0;$$

(кучнинг қиймати ва  $A_0$  нинг масштаби аҳамиятга эга эмас).

(19.12) формуладан келтирилган массани топамиз:

$$m_0 = m \left( \frac{39}{81} \right)^2 + m + m \left( \frac{39}{81} \right)^2 = 1,4636m.$$

Берилган балканинг бикирлик коэффициенти

$$c = \frac{48EJ}{l^3}.$$

(19.13) формулага биноан тақрорликнинг квадрати

$$\omega^2 = \frac{48EJ}{1,4636ml^3} = 32,79 \frac{NJ}{ml^3};$$

тақрорлик

$$\omega = \frac{5,726}{l} \sqrt{\frac{EJ}{ml}}.$$

Тақрорликнинг бу қиймати аник ечимдан 0,6 % фарқ килади.

## 19.2. БУБНОВ — ГАЛЁРКИН УСУЛИ

Агар қуидаги дифференциал тенглама:

$$(Et\ddot{y}_i^{(1)})'' = m\omega_i^2 y_i(z) = 0 \quad (19.14)$$

системанинг эркин тебранишини ифодаласа, унинг ечимиши

$$y_i(z) = \sum_{i=1}^n a_i \varphi_i(z) \quad (19.15)$$

кўринишда олиш мумкин. Бу ерда  $\varphi_i(z)$  — барча чегаравий шартларни қаноатлантирувчи, танланувчи функция:  $a_i$  — номаълум коэффициентлар. (19.15) ни (19.1) га қўйиб, қуйидаги тенгламани ҳосил қиласиз:

$$\left[ EJ \sum_{i=1}^n a_i \varphi_i''(z) \right]'' - \omega_i^2 m \sum_{i=1}^n a_i \varphi_i(z) = 0.$$

Бу айният ҳар қандай ихтиёрий функция  $\varphi_k(z)$  га кўпайтирилганда ҳам ўз кучини саклаб қолади:

$$\left\{ \left[ EJ \sum_{i=1}^n a_i \varphi_i''(z) \right]'' - \omega_i^2 m_i \sum_{i=1}^n a_i \varphi_i(z) \right\} \varphi_k(z) = 0.$$

Тенгламанинг интегралини тузамиз:

$$\int_0^l \left\{ \left[ EJ \sum_{i=1}^n a_i \varphi_i''(z) \right]'' - \omega_i^2 m_i \sum_{i=1}^n a_i \varphi_i(z) \right\} \varphi_k(z) dz = 0. \quad (19.16)$$

(19.16) тенглама Бубнов—Галёркин усули тенгламаси деб аталади. Мазкур тенглама  $a_i$  коэффициентларига нисбатан бир жинслидир. Тенгламанинг нолдан фарқли ечимига эга бўлиши учун унинг аникловчиси нолга тенглаштирилади. Ҳосил бўлган тенгламанинг энг кичик илдизи системанинг хусусий тақорорлиги бўлади.

Биринчи яқинлашувда, яъни  $n=1$  бўлганда, каноник тенглама  $C_{11}$   $a_1=0$  бўлади.  $a_1 \neq 0$  бўлгани учун

$$C_{11} = \int_0^l \{ [EJ \varphi_1''(z)]' \varphi_1(z) - \omega_1^2 m \varphi_1^2(z) \} dz = 0. \quad (19.17)$$

Бу ердан тақорорлик квадратини аниклайдиган

$$\omega_1^2 = \frac{\int_0^l [EJ \varphi_1''(z)]' \varphi_1(z) dz}{\int_0^l m \varphi_1^2(z) dz} \quad (19.18)$$

формула келиб чиқади.  $\varphi_i(z)$  функция тебранишнинг асосий шаклига қанча яқин танланса, ҳисоб аниқлости шунчага ортади.

**Мисол.** Бир учи шарнирли қўзғалмас, иккинчи учи шарнирли қўзғалувчан таянчга эга бўлган, текис ёйик массали балканинг биринчи такрорлиги такрибий усулда аниқлансин ва аниқ ечим билан таққослансан.

1. Танланувчи функцияни  $\varphi_1(z) = \sin \frac{\pi z}{l}$  кўри нишда, яъни тебраниш биринчи шаклининг аниқ ифодаси бўйича оламиз. (19.18) га кўра

$$\omega_1^2 = \frac{\int_0^l \left[ EJ \left( -\frac{\pi^2}{l^2} \sin \frac{\pi z}{l} \right) \right]'' \sin \frac{\pi z}{l} dz}{\int_0^l m \sin^2 \frac{\pi z}{l} dz} = \frac{\frac{\pi^4}{l^4} \cdot \frac{EJ}{m}}{}$$

Биринчи такрорликнинг аниқ қийматига эга бўлдик.

2. Танланувчи функцияни балканинг ёйик кучдан хосил бўлган солқилиги кўринишида қабул қиласиз:

$$\varphi_1(z) = A \left( \frac{z}{l} - \frac{2z^3}{l^3} + \frac{z^4}{l^4} \right), \text{ бу ерда } A = \frac{ql^4}{24EJ}.$$

(19.18) формулаға кўра

$$\begin{aligned} \omega_1^2 &= \frac{\int_0^l \left[ EJ \frac{A}{l^2} \left( -\frac{12z}{l} + \frac{12z^2}{l^2} \right) \right]'' A \left( \frac{z}{l} - \frac{2z^3}{l^3} + \frac{z^4}{l^4} \right) dz}{\int_0^l m A^2 \left( \frac{z}{l} - \frac{2z^3}{l^3} + \frac{z^4}{l^4} \right) dz} = \\ &= \frac{97,55}{l^4} \cdot \frac{EJ}{m}; \end{aligned}$$

$$\omega_1 = \frac{9,877}{l^2} \sqrt{\frac{EJ}{m}}; \text{ аниқ қиймати } \omega_1 = \frac{9,8696}{l^2} \sqrt{\frac{EJ}{m}}.$$

### 19.3. КЕТМА-КЕТ ЯҚИНЛАШУВ УСУЛИ

Бир неча массага эга бўлган система тебрангандан ҳар бир массада (система энг катта солқиликка эришганда)

$$J_{ii} = m_i A_i \omega^2$$

инерция кучи ҳосил бўлади. Агар бу кучларнинг миқдори маълум бўлганида тебраниш шакли ва тақорорлигини осонгина аниқласа бўларди. Бироқ кучларнинг миқдори тақорорликка боғлиқ бўлгани учун номаълумдир. Бундай ҳолларда масалани ҳал этишда кетма-кет яқинлашув усули жуда қўл келади.

Кетма-кет яқинлашув усулиниң Стодола тақлиф этган вариантини кўриб ўтамиш. Биринчи яқинлашувда балканнинг солқилиги  $A_1$  ни ихтиёрий қабул киласиз. Бунга мос инерция кучи

$$J_{ii}^{(1)} = m_i A_i \omega_1^2$$

бўлади;  $\omega_1^2$  — ҳозирча номаълум миқдор.

$\omega_1^2$  марта кичрайтирилган  $J_{ii}^{(1)}$  кучидан (яъни  $m_i A_i$ ) кучидан ҳосил бўладиган солқилик  $A_{12}$  ни аниқлаймиз;  $J_{ii}^{(1)}$  дан ҳосил бўладиган ҳақиқий солқилик  $\omega_1^2$  марта катта бўлади:

$$A_{12} \omega_1^2.$$

Агар  $A_1$  солқилик аник танланса, у ҳолда  $A_2$  солқилик  $A_{12}$  га айнан ўхшаш бўлади ва

$$A_{ii} = A_{12} \omega_1^2$$

тенглик бажарилади. Бу ердан

$$\omega_1^2 = \frac{A_{ii}}{A_{12}}.$$

Тебраниш шакли  $A_1$  тақрибан қабул қилинганлигидан ҳисоб натижаси ҳам тақрибий бўлади. Шу сабабли,  $A_{ii}$   $A_{12}$  нисбат ҳам турли нукталар  $i$  учун турлича қийматга эга бўлади, тақорорлик квадратининг тақрибий қиймати учун эса солқилик энг юкори бўлган нуктанинг амплитудалари олинади:

$$\omega_1^2 = \frac{A_{1\max}}{A_{2\max}}$$

Шундай қилиб, тақрорликнинг тақрибий қиймати икки солқиликнинг характерли ординаталари нисбатига тенг экан: солқиликларнинг бири  $A_1$  қабул қилинадиган микдор бўлиб, иккинчси  $m_i A_{ii}$  кучи таъсирида хисоблаб топиладиган  $A_2$  солқиликдир. Агар  $\frac{A_1}{A_2}$  нисбат барча нуктадар  $i$  учун бир хил қийматга эга бўлса, натижага каноатланарли бўлади, борди-ю нисбат турли қийматга эга бўлса, у ҳолда иккинчи яқинлашувни бажариш зарур. Бунда  $A_2$  ни бошланғич шакл сифатида қабул қилиб,  $m_i A_{ii}$  кучи топилади ва унинг таъсирида ҳосил бўладиган солқилик  $A_3$  аникланади. Иккинчи яқинлашувда тақрорлик квадрати

$$\omega_2^2 = \frac{A_{2\max}}{A_{3\max}}$$

нисбатдан топилади.

Яқинлашувлар барча нуктадар учун бир хил нисбатлар ҳосил бўлгунга қадар шу йўсинда давом эттирилаверади.

#### 19.4. ДУНКЕРЛАЙ ФОРМУЛАСИ

Дункерлай формуласи әркинлик даражаси бир неча бўлган системаларнинг биринчи тақрорлигини тақрибан эникланада қўлланилади.

Бир балкага бирин-китин массалар юқласак, ҳар бир як анган хот учун табраничи тақрорлиги

$$\omega_i = \frac{1}{\sqrt{m_i \delta_{ii}}}$$

бўлади; бунда

$$\frac{1}{\omega_i^2} = m_i \delta_{ii}, \quad (19.19)$$

бу ерда  $\delta_{ii}$  — йиғик масса  $m_i$  жойлашган нуктага қўйилган бирлик кучдан ҳосил бўлган кўчиш.

Дункерлай формуласига кўра, қолган массаларнинг система табранишига бўлган таъсири, уларнинг (19.19) формуладан топилган қийматларини кўшиш орқали хисобга олинади, яъни

$$\frac{1}{\omega^2} = \frac{1}{\omega_1^2} + \frac{1}{\omega_2^2} + \dots + \frac{1}{\omega_n^2}$$

ёки

$$\omega = \frac{1}{\sqrt{\sum_{j=1}^n m_j \delta_{jj}}} \quad (19.20)$$

Энергетик усулда тақорорлик орттирилган қийматда топилған бўлса, Дункерлай формуласи тақорорликнинг кичрайган қийматини беради. Тақорорликнинг аниқ қиймати шу икки қиймат орасида ётади. Бироқ тақрибий ҳисобларнинг аниқлик даражаси амалий талабларни тўла қаноатлантиради.

**Мисол.** Энергетик усулда ҳисобланган уч массали балканинг (19.2-расмга каранг) тақорорлиги Дункерлай формуласи ёрдамида аниқлансин.

Бир массали системанинг тақорорлиги аввалдан маълум формула  $\omega^2 = \frac{c}{m}$  дан топилади. Бизнинг ҳолда бикирлик коэффициенти  $C = \frac{3EI(a+b)}{A^2b^2}$  ифодадан аниқланади. Бу ерда:  $a$  — массадан чап таянчгача бўлган масофа,  $b$  — массадан ўнг таянчгача бўлган масофа.

Чапдаги ва ўнгдаги массалар учун тебраниш тақорорлиги бир хил бўлади:

$$\omega_1^2 = \omega_3^2 = \frac{3 \cdot 1296 EI}{25ml^3} = 155,5 \frac{EI}{ml^3}$$

Иккита четки массани йўқ деб фараз килиб, факат ўртадаги массанинг ўзини олсак, тебраниш тақорорлиги

$$\omega_2^2 = \frac{48EI}{ml^3}$$

бўлади. Дункерлай формуласига кўра:

$$\frac{1}{\omega^2} = \frac{ml^3}{155,5EI} + \frac{ml^3}{48EI} + \frac{ml^3}{155,5EI} = 0,03368 \frac{ml^3}{EI}.$$

Бундан

$$\omega = \sqrt{\frac{EI}{0,03368ml^3}} = \frac{5,449}{l} \sqrt{\frac{EI}{ml^3}}$$

Бу натижада тақорорликнинг аниқ қийматидан 5,5 % камроқдир.

Шундай килиб, тақрорликнинг аниқ қиймати энергетик усул ва Дункерлай формуласи билан топилған қийматларнинг оралиғида ётишига ишонч ҳосил қилдик, яъни

$$\frac{5,449}{l} \sqrt{\frac{EJ}{ml}} < \omega_0 < \frac{5,696}{l} \sqrt{\frac{EJ}{ml}}.$$

### 19.5. СПЕКТРАЛ ФУНКЦИЯ УСУЛИ

С. А. Бернштейн ўзининг бу усулида изланатган хусусий тақрорлик квадратининг юкори ва куйи чегараларини белгилаб беради:

$$\frac{1}{\sqrt{B_{12}}} < \omega_i^2 < \frac{2}{1 - B_{11} + \sqrt{\frac{2B_{12}}{B_i^2} - 1}} \quad (19.21)$$

Эркин тебранишларнинг биринчи тақрорлигини аниклашда  $B_{11}$  ва  $B_{12}$  куйидаги формулалар орқали топилади:

$$B_{11} = \sum_{j=1}^n m_j \delta_{jj} = m_1 \delta_{11} + m_2 \delta_{22} + \dots + m_n \delta_{nn};$$

$$B_{12} = \sum_{i=1}^n m_i^2 \delta_{ij}^2 + 2 \sum_{i=1}^n m_i m_k \delta_{jk}^2 (j \neq k).$$

Хусусий тебранишларнинг иккинчи тақрорлиги ( $\omega_2$ )ни аниклашда куйидаги формулалардан фойдаланилади:

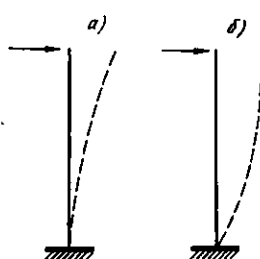
$$B_{21} = B_{11} - \frac{1}{\omega_1^2}; \quad B_{22} = B_{12} - \frac{1}{\omega_1^4}.$$

Тақрорликнинг ҳисобий қиймати сифатида тенгсизликнинг чап ва ўнг томонидаги натижаларнинг ўртача арифметик қиймати олинади.

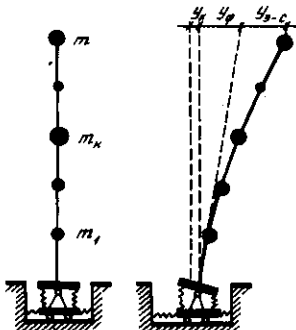
### 19.6. «ИНШООТ — ЗАМИН» СИСТЕМАСИННИГ ЭРКИН ТЕБРАНИШЛАРИ<sup>1</sup>

Реал бино ва иншоотларнинг тебранишида ҳар бир нүктанинг умумий кўчиши икки хил кўчишнинг йиғиндисидан — бинонинг эластик деформацияси оқибатидаги

<sup>1</sup> Мазкур параграфда баён этилган усул Б. А. Ҳобилов ва В. П. Цой томонидан ишлаб чиқилган.



19.4- расм



19.5- расм

кўчиш ҳамда заминнинг деформацияланиши натижасида юзага келадиган кўчишлардан ташкил топади. Ўз навбатида, иншоотлар тузилиши, массаси ва ўлчамларига караб эгилиш (19.4-расм, а) ёки силжиш (19.4-расм, б) деформацияси бўйича тебранади. Кўпинча иншоотлар тебра нишида деформациянинг ҳар иккала хили баравар иштирок этади. Бундай тебранишлар эгилишил жишишебранишлари деб аталади.

Иншоот кўчишларида замин (ер)нинг қайишқоқлиги (эластиклиги) ҳам сезиларли роль ўйнайди. Ҳар қандай бино тебраниш жараёнида замин устида чайкалиши (оғишма ҳаракатда бўлиши) ҳамда замин бўйлаб силжishi (сирпанма ҳаракатда бўлиши) мумкин. Демак, заминнинг қайишқоқлиги ҳам иншоотлар тебранишида икки хил — чайкалма ва сирпанма кўчишларни юзага келтириш экан.

Тебраниш жараёнида ана шу тўрттала омил эътиборга олинадиган ҳисоблаш моделини илмий адабиётда «иншоот-замин» системаси деб юритилади.

Хозир кўриб ўтиладиган усулда ҳар қандай система-нинг эркин тебраниши такорлиги ва шаклини аниклашда юкорида санаб ўтилган тўрттала кўчиш ҳисобга олинади. Бу усулга кўра бинонинг замин устидаги оғишма ва сирпанма тебранишлари аникланадиганда бино абсолют каттиқ жисм деб фараз этилади. Бинонинг эластик эгилиш-силжиш тебранишлари эса каттиқ жисмга боғланган координата системаси орқали аникланади. Бундай холатни акс эттирувчи динамик ҳисоблаш тарҳи 19.5-расмда тасвирланган. Усулнинг замирида тебраниш

шаклларини кетма-кет яқинлаштириш усули билан солқиликни аниклашнинг графоаналитик усули ётади.

Усулларнинг биринчисига кўра, массалар тўпланган нукталарнинг кабул килинган солқиликлари мос равишда, массаларга ва тақрорликнинг квадратига кўпайтирилади. Хосил бўлган кўпайтма инерция кучини беради. Бу куч таъсирида вужудга келган солқилик графо-аналитик усул бўйича аникланади. Шу йўл билан топилган солқиликларни биринчи яқинлашувдаги тебраниш шакллари деб қаралади. Изланаётган тақрорликларнинг тақрибий қийматлари иккита кетма-кет яқинлашувдаги солқиликларнинг тенглиги шартидан фойдаланиб топилади. Агар кабул килинган тебраниш шакллари (солқилик) ҳисоблаш натижасида топилган шаклларга етарли даражада яқин бўлса, тақрорликларнинг тақрибий қийматлари ҳам бир хил бўлади. Изланаётган тақрорлик тақрибий қийматларнинг ўртача арифметик миқдори сифатида аникланади.

Усулнинг тағсилотини тўрт массали системанинг мисолида баён этамиз. Иншоотнинг ҳисоблаш тархи 19.5-расмдаги сингари бўлади. Системанинг асосий (биринчи) тебраниш шакли ва шунга мос тақрорлигини аниклаш талаб этилади, дейлик.

Ҳисоб ишлари жадвал кўрининишида бажарилади. 1-жадвалда эгилиш, 2- жадвалда эса силжиш тебранишлари ҳисобланади. Иккала ҳолда ҳам таянч қайишқоклиги ҳисобга олинмаган.

1- жадвалнинг дастлабки устунида механик миқдорлар, охиргисида ҳисоблаш алгоритми (тартиби) келтирилган. Охиридан битта олдинги устундаги «кўпайтувчилар» ҳисоб ишларини соддалаштириш мақсадида киритилган. Бу миқдорлар арифметик амалларда қавсдан ташқарига чиқарилган сон вазифасини ўтайди. Ўртадаги устунларда ҳисоблаш тархи тасвирланган. Агар берилган система кўп қаватли бино бўлса, у ҳолда массалар қаватлараро ёпмалар сатҳида тўпланади. Массаларни тўплашда бинонинг ҳам вертикал, ҳам горизонтал элементлари вазни йигиб чиқилади. Қаватлар вазни йигиқ куч сифатида жадвалнинг биринчи қаторида келтирилган.

Жадвалнинг иккинчи қаторида иншоот веरтикал элементларининг эгилишдаги бикирлиги берилган. Қулайлик учун *EJ* «кўпайтувчи» устунига чиқарилган. Тебраниш шакллари  $z_i^{(0)}$  нолинчи яқинлашувда ихтиёрий

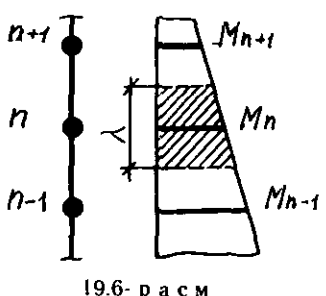
## ЭГИЛИН ТЕБРАНИШЛАРИ

№	Механик микдорлар	m <sub>4</sub> m <sub>3</sub> m <sub>2</sub> m <sub>1</sub>				Күпайтуучи	Хисобланыш алгоритми
		300	300	300	300		
1	Ингик күч	300	300	300	300	18 · 10 <sup>6</sup>	
2	Бикирлик ЕJ	1	1	1	1	Z <sub>4</sub>	
3	Тебраниш шакли Z <sub>i</sub> <sup>(0)</sup>	1,0	0,8	0,5	0,1	ω <sup>2</sup> Z <sub>4</sub> ;g	(1)-(3)
4	Инерция күчи	300	240	150	30	0,0	
5	Күндалаңг күч Q	300	540	690	720	— « —	Σ(4)→
6	Этүвчи момент M	0	300	840	1530	2250	Σ(5)→
7	Фиктив күч интенсивлигі	0	300	840	1530	2250	λ ω <sup>2</sup> Z <sub>4</sub> ;g
8	Ингик фиктив күч	0	337,5	840	1530	2250	λ <sup>3</sup> ω <sup>3</sup> Z <sub>4</sub> ;EJg
9	Солқынк бурцаги φ	4957,5	4620	3780	2250	— » —	(6)-(2)
10	Солқынк y <sub>i</sub>	15607,5	10650	6030	2250	0,0	M эпюрасы юзасы
11	Тебраниш шакли Z <sub>i</sub> <sup>(1)</sup>	1,0	0,68	0,39	0,14	0,0	→Σ(8)
12	Тебраниш тақрорлығи φ <sub>i</sub>	20,5	20,4	20,7	20,2	0,0	→Σ(9) (y <sub>i</sub> );(y <sub>4</sub> )
							ω <sub>3</sub> <sup>3P</sup> =20,45

равиша кабул қилинади (3- катор). Бунда, ҳисобнинг талаб этилган аниқлик даражасига қараб, камдан-кам ҳолларда кейинги яқинлашув амаллари бажарилади. Кўпинча такрорлик биринчи яқинлашувнинг ўзида етарли даражада аниқликка эга бўлади.

Инерция кучи (4- катор) кабул қилинган солқиликлар  $z_i^{(0)}$  ни тегишли масса ва изланаетган такрорликининг квадратига кўлайтириш орқали топилади. Бу ўринда ҳисоблаш алгоритмида (1) · (3) амали ёзилган. Бунинг маъноси: тўртинчи катор микдорларини аниқлаш учун 1- катор сонларини 3- катор сонларига кўлайтириш зарур, демакдир. Кўндаланг кучлар  $\Sigma \rightarrow (4)$  алгоритми бўйича топилади, яъни 4- катордаги сонларнинг чапдан ўнгга томон йиғиндиси олинади. 5- катор сонларининг йиғиндиси эса эгувчи моментларни беради.  $M:EJ$  ни фиктив куч интенсивлиги деб кабул қилинади. Фиктив ёйик кучларни йиғик кучга келтириш учун, яъни фиктив кўндаланг кучларни аниқлаш учун, эгувчи моментларнинг трапеция шаклидаги юзлари кўшиб чиқилади; бунда эпюранинг учбуручакли юзаси охиридан битта олдинги массанинг эпюрасига кўшилади (19.6- расм). 8- катор сонларини ўнгдан чапга караб кўшиб чиқсак, солқилик бурчаги ф топилади. Худди шундай, 9- катор сонларининг йиғиндиси солқилик  $u$  ни беради. Барча солқиликларни охириги массанинг солқилигига (бизда  $y_4$ ) бўлсак, биринчи яқинлашувдаги тебраниш шакли  $z_i^{(1)}$  келиб чиқади (19.7- расм, 1- пунктир чизик). Биринчи шакл бўйича эглиш тебранишлари такрорликлари қўйидаги формуладан топилади:

$$\omega_{i_0} = \sqrt{\frac{z_i E J g}{y_i \lambda^3}}, \quad (19.22)$$



бу ерда  $y_i$  — масса тўпланган нүқталарнинг солқиликлари;  $\lambda$  — йиғик массалар орасидаги масофа;  $z_i$  — тебранишларнинг биринчи шакли ординаталари;  $i$  — массанинг тартиб номери.

$z_i^{(0)}$  кийматлари билан  $z_i^{(1)}$  кийматлари орасидаги тафовутнинг катта ёки кичиклигини, шунингдек, массаларнинг

тегишли такрорликлари ўзаро яқин ёки йироклиги навбатдаги яқинлашувни бажариш ёки бажармаслик масаласини ҳал этади. Агар такрорликлар орасидаги фарқ катта бўлса, у ҳолда навбатдаги яқинлашувни амалга ошириш лозим. Бунда дастлабки шакл сифатида  $z^{(1)}$

қабул қилиниб, 4 дан 12- гача бўлган амаллар (1- жадвал) кўриб ўтилган тартибда такроран бажарилади.

Такрорликларнинг ўзаро яқин қийматлари топилгач, уларнинг ўртacha арифметик қиймати  $\omega_c^{\text{ср}}$  аникланади. Эгилиш тебранишлари асосий шаклининг даври қуидаги формуладан топилади:

$$T_s = \frac{2\pi}{\omega_c^{\text{ср}}}. \quad (19.23)$$

Силжиш тебранишларининг шакли ва такрорлиги ҳам жадвал кўринишида аникланади (2- жадвал). Ҳисоблаш тартиби жадвалнинг охирги устунида келтирилган. Силжишдаги бикирлик  $\alpha GF$  ни ҳисоблашда, пландаги шакли тўғри тўртбурчак бўлган бинолар учун  $\alpha = 0,67$  деб олинади.

Силжиш тебранишларининг асосий такрорлиги такрибий қийматлари қуидаги формуладан аникланади:

$$\omega_{ic} = \sqrt{\frac{z_i \alpha GF g}{y_i \lambda}}. \quad (19.24)$$

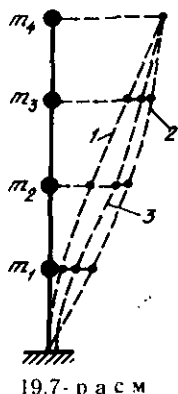
(19.24) асосида такрорликларнинг ўртacha арифметик қиймати  $\omega_c^{\text{ср}}$  ва бу асосда давр  $T_c$  аникланади.

Силжиш тебранишларининг шакли 2- жадвалнинг 9- қатори миқдорлари асосида курилади (19.7- расм, 2- пунктир чизик).

Хусусий системанинг эгилиш ва силжиш деформациялари ҳисобга олинган ҳолда эркин тебраниш даври Дункерлай формуласи ёрдамида аникланади:

$$T_{sc} = \sqrt{T_s^2 + T_c^2} \quad (19.25)$$

Иншоот заминининг қайишқоқлигидан келиб чиқадиган тебраниш такрорлигини аниклашда, эластик заминда



19.7- р а с м

## СИЛЖИШ ТЕБРАНИШЛАРИ

№	Механик мәндерлар	$m_1$	$m_2$	$m_3$	$m_4$	Күпайтуучи	Хисоблаш алгоритми
1	Йифик күч	300	300	300	300	$0,24 \cdot 10^6$	
2	Бикрілік $\alpha GF$	1	1	1	1	$Z_4$	
3	Тебраниш шакыя $Z_{1i}^{(0)}$	1,0	0,9	0,8	0,5	$\omega^2 Z_4 g$	қабул килинади
4	Инерция күчі	300	270	240	150	$(1)-(3)$	
5	Күндаланг күч $Q$	300	570	810	960	$\Sigma(4) \leftarrow$	
6	Фиктив күч интенсивлігі	300	570	810	960	$\omega^2 Z_4 \alpha GFg$	
7	Йифик фиктив күч	0	300	570	810	$\lambda \omega^2 Z_4 \alpha GFg$	$(5)-(2)$
8	Солжилік $U_{ij}$	2640	2340	1770	960	$\rightarrow \rightarrow \rightarrow$	$Q$ епгераси юзасы
9	Тебраниш шакыя $Z_{1i}^{(1)}$	1,0	0,89	0,67	0,36	$\rightarrow \rightarrow \rightarrow$	$\rightarrow \Sigma(7)$
10	Тебраниш тақрорлігі $\Phi_{1i}$	17,2	17,3	17,2	17,1	$(y_i)(y_4)$	$\Phi_c^{gp} = 17,2$

жойлашган бикир жисм туридаги хусусий система тебранышлари текширилади.

Иншоотнинг оғишма ( $\omega_\phi$ ) ва сирпанма ( $\omega_x$ ) тебраниши тақоролилари қуйидаги формулалардан аникланади:

$$\begin{aligned}\omega_\phi^2 &= \frac{1}{J_0} (c_\phi J_\phi - P_c J_c); \\ \omega_x^2 &= \frac{1}{M_c} C_x F_\phi\end{aligned}\quad (19.26)$$

бу ерда:  $J_\phi$  — пойдевор ости юзасининг инерция моменти;  $F_\phi$  — пойдевор ости юзаси;  $P_c$  — иншоотнинг умумий вазни (пойдевор вазни ҳам қўшилади);  $M_c$  — иншоот массаси;  $C_x$  — грунтнинг текис эластик сирпаниш коеффициенти;  $C_\phi$  — грунтнинг нотекис эластик сикилиш коеффициенти;  $J_0$  — системанинг қутби 0 дан ўтувчи, тебраниш текислиги-га перпендикуляр бўлган ўкка нисбатан олинган инерция моменти:  $J_0 = \sum r_i^2 m_i l_c$  — пойдевор ости юзасининг оғирлик марказида ётувчи қутб 0 дан системанинг инерция марказигача бўлган масофа:  $l_c = \frac{\sum m_i r_i}{\sum m_i}$ ;  $r$  — қутбдан

массаларгача бўлган масофа.

Ҳисоб натижаларининг аниқлик даражаси кўп жиҳатдан  $C_\phi$  ва  $C_x$  коеффициентларини тўғри танлашга боғлиқ. Ҳар иккала коеффициент замин тупроғининг физик-механик хоссаларига боғлиқ миклорлар бўлиб, уларни аниқлашда турли усувлар мавжуд. Илмий тадкикотларининг кўрсатилишча, синчли биноларни ҳисоблашда О. А. Савинов<sup>1</sup> усули, синчиз биноларда эса СН 18—58<sup>2</sup> курилши нормаларида берилган усула жуда кўл келади.

Хусусий системалар тақоролиги ва уларга мос даври аниқлангач, бикир системанинг қайишқоқ заминдаги эркин тебранишлари даври Дункерлай формуласи билан аниқланади:

$$T_{\phi,x} = \sqrt{T_\phi^2 + T_x^2} \quad (19.27)$$

<sup>1</sup>. О. А. Савинов, Современные конструкции фундаментов под машины и их расчет. Стройиздат, 1964.

<sup>2</sup> Технические условия проектирования фундаментов под машины с динамическими нагрузками (СН 18—58).

Иншоотнинг эгилиш ва силжиш деформацияларини, шунингдек замин бўйлаб сирпаниши ва оғишини ҳисобга олувчи эркин тебранишлари даври

$$T_{s,c,\varphi,x} = \sqrt{T_{s,c}^2 + T_{\varphi,x}^2} \quad (19.28)$$

кўринишда аниқланади.

Кўриб ўтилган учул «иншоот-замин» системасининг эркин тебранишлари даврини аниқлашда, шунингдек иншоотнинг умумий ишида алоҳида омиллар (бино вертикал ўқининг эгилиши ва силжиши, қайишкоқ заминда бинонинг оғиши ва сирпаниши) улушкига баҳо беришда катта кулаги түғдиради. Бирок бу усул «иншоот-замин» системасининг тебранишлари шаклини белгилашда маҳсус ҳисоб ишлари бажаришни талаб этади. Усулнинг кейинги параграфда кўриб ўтиладиган бошқа варианти системанинг эркин тебранишлари даври ва шаклини, барча омилларни ҳисобга олган холда, бир вактнинг ўзида аниқлаш имконини беради.

### 19.7. ИНШООТЛАР ЭРКИН ТЕБРАНИШЛАРИ ДАВРИ ВА ШАКЛИНИ АНИҚЛАШ<sup>1</sup>

Бундан олдинги параграфда «иншоот-замин» система-сининг тебранишида алоҳида параметрларни аниқлаш масаласи билан танишиб чиқсан эдик. Мазкур параграфда иншоотларнинг эркин тебранишлари даври (такрорлиги) ҳамда шаклини бир йўла аниқлаш усулини кўриб ўтамиш. Бу ерда ҳам усулнинг замирида кетма-кет яқинлашув усули ётади, ҳисоблаш тарҳи ҳам аввалгича колади (19.5-расмга қаранг).

Усулда кўлланиладиган асосий механик миқдорлар: солқилик бурчаги, эгувчи момент ва қўндаланг кучлар қуидидаги формулалардан аниқланади:

$$\frac{\partial y}{\partial x} = \varphi_s + \varphi_c \quad (19.29)$$

$$M = -EJ \frac{\partial y}{\partial x}, \quad Q = \alpha GF\varphi_c \quad (19.30)$$

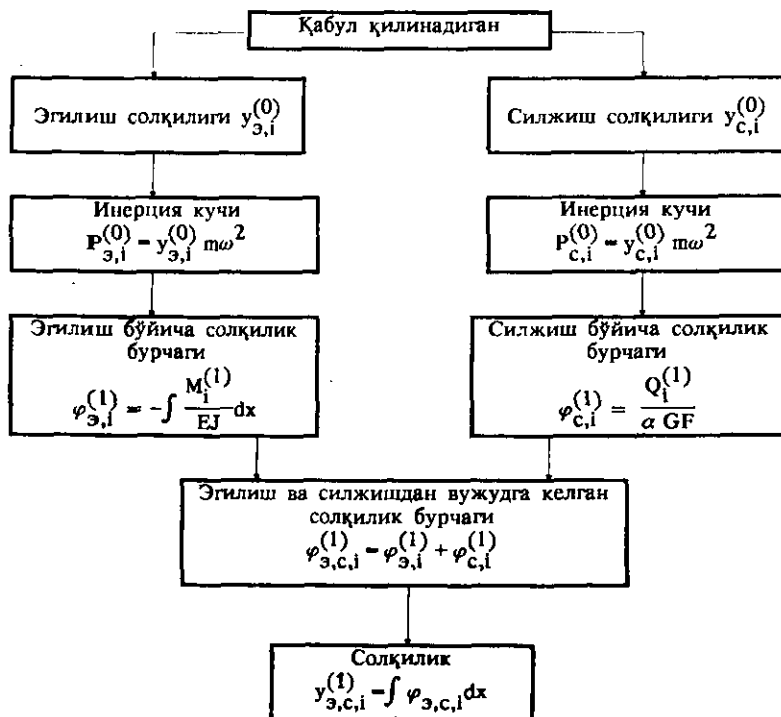
<sup>1</sup>. Бу усул К. С. Абдурашидов, Б. А. Хобилов ва В. П. Цой томонидан ишлаб чиқилган.

бу ерда  $y$  — ишшоот вертикал ўқи нүкталарининг эластик оғиши (солқилик);  $\varphi$  — фактат эгувчи моментдан ҳосил бўлган оғиши (солқилик) бурчаги;  $\varphi_c$  — кўндаланг кучдан ҳосил бўлган оғиши бурчаги;  $EI$  ва  $GF$  эгилиш ва силжишдаги бикирликлар;  $\alpha$  — кўндаланг кесим шаклига боғлиқ бўлган коэффициент.

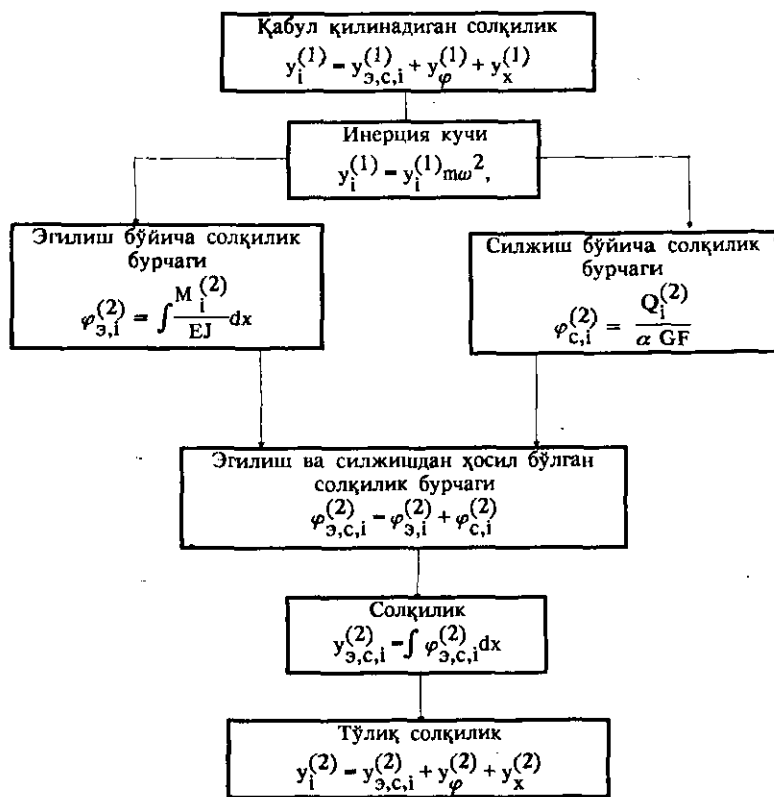
Ишшоот вертикал ўқининг солқилиги (19.29) ифодани интеграллаш йўли билан топилади. Интеграллаш алгоритми биринчи ва иккинчи андозаларда берилган.

Хисобнинг биринчи босқичи биринчи андозада тасвирланган бўлиб, бунда инерция кучи, эгувчи момент ва кирқувчи кучларни аниқлашда замин қайишқоклиги ҳисобга олинмай, фактат ишшоотнинг вертикал ўқи солқилиги оркали топилади. Босқич охирида заминга бикир маҳкамланган бинонинг, эгилиш ва силжиш деформацияларидан ташкил топган, солқилиги аниқланади.

#### Биринчи андоза



## Иккинчи андоза



Хисобнинг иккинчи босқичида (2- андоза) биринчи яқинлашув учун иншоотнинг тебраниш шакли сифатида қуидаги ифода қабул килинади:

$$y_i^{(1)} = y_{s,c,i}^{(1)} + y_{\Phi}^{(1)} + y_x^{(1)}, \quad (a)$$

бу ерда  $y_{s,c,i}^{(1)}$  — иншоот вертикал ўқининг эгилиш ва силжаш деформацияларидан ташкил топган солқилиги;  $y_{\Phi}^{(1)}$  — бинонинг қайишкоқ заминда оғишидан ҳосил бўлган солқилик;  $y_x^{(1)}$  — бинонинг замин бўйлаб сирпаниши.

Ўз навбатида кейинги икки микдор қуидаги формула рдан топилади:

$$y_{\Phi}^{(1)} = (h_{\Phi} + h_i) \frac{M_{\max}^{(1)}}{c_{\Phi} J_{\Phi}}; \quad y_x^{(1)} = \frac{Q_{\max}^{(1)}}{C_x F_{\Phi}}$$

бу ерда  $M_{\max}$  ва  $Q_{\max}$  бино асосидаги эгувчи момент ва кўндаланг куч;  $h_{\Phi}$  — пойдевор баландлиги;  $h_i$  — пойдевор устки сиртидан йигик массаларгача бўлган масофалар.

Иккинчи андозада (а) ифодаси асосида инерция кучлари хисобланади. Бу инерция кучлари таъсирида вужудга келадиган эгувчи момент ва кўндаланг кучлар (19.30) формула ёрдамида аниқланади.

Иккинчи андоза бўйича ҳисоб амаллари бажарилиб, бино вертикал ўқининг солқилиги  $y_{s,c,i}^{(2)}$  кейин бинонинг тўли к горизонтал кўчиши

$$y_i^{(2)} = y_{s,c,i}^{(2)} + y_{\Phi}^{(2)} + y_x^{(2)} \quad (b)$$

аниқланади.

Тебраниш шаклларини кетма-кет яқинлаштириш усулiga биноан

$$y_i^{(2)} = y_i^{(1)} \quad (v)$$

шартни асосида изланаётган тақрорликнинг тақрибий қиймәти, сўнгра тебраниш даври топилади. Тебраниш шакли эса (б) ифодаси асосида аниқланади.

Ус улнинг моҳиятини тушунтириш учун мисол келтирамиз. Аввалги параграфда берилган тўрут массали системанинг тебраниш даври (тақрорлиги) ва асосий шаклини аниқлаш талаб этилади, дейлик. Бу сафар ҳам ҳисоб ишларини жадвал кўринишида бажарамиз (3- ва 4- жадваллар). Кулай бўлсин учун ҳисоб ишлари андозаларга

мос равиша икки босқичга ажратилган: биринчи босқичда (3- жадвал) замин абсолют бикир деб олиниб, иншоотнинг эгилиш ва силжиш деформациялари натижасида хосил бўлган кўчишлар аниқланади, иккинчи босқичда эса (4- жавдал) замин қайишқоқлиги эътиборга олинган ҳолда иншоот тебранишининг тақорорлиги ва шакли излаб топилади.

Жадвалларнинг «Хисоблаш алгоритми» деб номланган охирги устунида навбатдаги катор ракамларини аввалини каторлар ракамлари асосида аниқлаш усули берилган. Масалан, (1) · (3) — биринчи катор ракамларининг учинчи катор ракамларига мос равиша кўпайтириш лозимлигини англатади;  $\Sigma$  (4) — тўртинчи катор ракамларини чапдан ўнгга томон йиғиндиси олиниши зарурлигини билдиради. 4- жавдалда кичик қавс билан шу жадвал каторлари, ўрта қавс билан эса 3- жадвал каторлари белгиланган. Масалан, [1] · (15) — учинчи жадвалнинг 1- катори ракамларини 4- жадвалнинг 15- катори ракамларига кўпайтириш зарур демакдир. Хар иккала жадвалда  $\beta^2$  коэффициенти кўйидаги ифодадан топилади:

$$\beta^2 = \frac{EI}{\alpha G F \lambda^2},$$

бу ерда  $\lambda$  — йигиқ массалар орасидаги масофа.

Масала шартида кўйилган саволларга 4- жа давланинг 20 ва 21- каторларидан жавоб топамиз. Чунончи, 20- катор ракамлари тебраниш шаклини англатади. 21- катор ракамларининг ўртача арифметик қиймати тебраниш тақорорлигининг тақрибий қиймати  $\omega_{sp} = 9,37$  ны беради. Тақорорликнинг бу қиймати асосида тебраниш даври аниқланади:

$$T = 0,67 \text{ с.}$$

№	Механик мүндерлар	m <sub>1</sub> m <sub>2</sub> m <sub>3</sub>				Күпайтучы	Хисоблаш алгоритми
		300	300	300	300		
1	Йигих күч	300	300	300	300		
2	Бикерлик ЕJ	1	1	1	1	18·10 <sup>6</sup>	
3	$y_{\text{1,1}}^{(0)} = Z_1^{(0)} \cdot y_4^{(0)}$	1,0	0,7	0,4	0,1	0,0	$y_4^{(0)}$ кабул килинади
4	Инерция күчи	300	210	120	30	0,0	$\omega^2 y_4 \cdot g$ (1)·(3)
5	Күндаланг күч Q	300	510	630	660	—→—	$\Sigma(4) \rightarrow$
6	Этүвчин момент M	0,0	300	810	1440	2100	$\lambda \omega^2 y_4 \cdot g$ $\Sigma(5) \rightarrow$
7	Ёлык фиктив күч	0,0	300	810	1440	2100	$\lambda \omega^2 y_4 \cdot EJg$ (6)·(2)
8	Йигих фиктив күч	0,0	337,5	810	1440	2100	$\lambda^2 \omega^2 y_4 \cdot EJg$ M эп. юзасы
9	Солжилук бүрчаги $\Phi_{9,1}^{(1)}$	4687,5	4350	3540	2100	—→—	$\rightarrow \Sigma(8)$
10	Бикерлик α (GF)	1	1	1	1	0,24·10 <sup>6</sup>	
11	$y_{\text{1,1}}^{(0)} = Z_1^{(0)} \cdot y_4^{(0)}$	1,0	0,9	0,7	0,3	0,0	$y_4^{(0)}$ кабул килинади
12	Инерция күчи	300	270	210	90	0,0	$\omega^2 y_4 \cdot g$ (1)·(1)
13	Күндаланг күч Q	300	570	780	870	—→—	$\Sigma(12) \rightarrow$
14	Солжилук бүрчаги $\Phi_{9,1}^{(1)}$	300	570	780	870	$\omega^2 y_4 \cdot a_{\text{GF}} \cdot g$	(13)·(10)

3- жаддалишкег давомы

Nº	Механик микдорлар	$m_4$	$m_3$	$m_2$	$m_1$	Күпайтуучи	Хисоблаш алгоритми
15	$\Phi_{3,i}^{(1)} \cdot \beta^2$	2490	4731	6474	7271	$\lambda^2 \omega^2 y_4; EJg$	(14). $\beta^2$
16	Солкынк бурчаги $\Phi_{3,c_i}^{(1)}$	7177,5	9081	10014	9371	—	(9)+(15)
17	Солкынк $y_{3,c_i}^{(1)}$	35643,5	28466	19385	9371	$\lambda^3 \omega^2 y_4; EJg$	$\rightarrow \Sigma(16)$
18	Тебраниш шакати $Z_i^{(1)}$	1,00	0,80	0,54	0,26	0,0	$(y_{3,c_i})_i(y_4)$

4. жадвал

№	Механик мүндорлар	Күпайтуучи						Хисоблаш алгоритми
		$m_4$	$m_3$	$m_2$	$m_1$			
1	Инерция күчләри	300	240	162	78	0,0	$\omega^2 y_4 g$	(1)(18)
2	Күндалынг күчләр $Q$	300	540	702	780	—	—	$\Sigma(1) \rightarrow$
3	Этүүчи момент $M$	0,0	300	840	1542	2322	$\lambda \omega^2 y_4 g$	$\Sigma(2) \rightarrow$
4	$y_4^{(1)} = Z_4^{(1)} y_4^{(1)}$	1,0	0,84	0,58	0,30	0,04	$y_4^{(1)}$	[1](4)
5	Инерция күчнүү	300	252	174	90	12	$\omega^2 y_4 g$	$\Sigma(5) \rightarrow$
6	Күндалынг күч $Q$	300	552	726	816	828	$\lambda \omega^2 y_4 g$	$\Sigma(6) \rightarrow$
7	Этүүчи момент $M$	0,0	300	852	1578	2394	3222	$\lambda \omega^2 y_4 g$
8	Ёйик фиктив күч	0,0	300	852	1578	2394	3222	$\lambda \omega^2 y_4 EJg$
9	Йигих фиктив күч	0,0	337,2	852	1578	2399	3222	$\lambda^2 \omega^2 y_4 EJg$
10	Солжылук бурчаги $\Phi_{3,c_1}^{(2)}$	9393,5	8046	7194	5616	3222	—	$\Sigma(9)$
11	Солжылук бурчаги $\Phi_{3,c_1}^{(2)}$	300	552	726	816	828	$\omega^2 y_4 \alpha G F g$	(6)[10]
12	$\Phi_{3,c_1}^{(2)} \cdot \beta^2$	2490	4581,6	6025,8	6772,8	6872,4	$\lambda^2 \omega^2 y_4 EJg$	$(11) \cdot \beta^2$
13	Солжылук бурчаги $\Phi_{3,c_1}^{(2)}$	10879,5	12627,6	13219,8	12388,8	10094,4	—	$(10)+(12)$
14	Солжылук $Z_{3,c_1}^{(2)}$	59210,1	48330,6	35703	22483,2	10094,4	—	$\Sigma(13)$
15	Тебраниш шакли $Z_{3,c_1}^{(2)}$	1,0	0,82	0,60	0,38	0,17	$(y_{1,c_1}) \cdot (y_4)$	

4- жадвалникінде дәлелдік

N <sub>б</sub>	Механик мүндөрлар	$m_4$	$m_3$	$m_2$	$m_1$	Күпайтуачи	Хисоблаш алгоритми
16	Инерция күчи	300	246	180	114	$\lambda^3 \omega^2 y_4 E J g$	[1]+(15)
17	Күнда郎аң күч Q	300	546	726	840	$\lambda^2 y_4 E J g$	$\rightarrow$ 2(16)
18	Эгувчи момент M	300	846	1572	2412	$\lambda \omega^2 y_4 E J g$	$\rightarrow$ 2(17)
19	Солқылғы $y_1^{(2)}$	74210	59630	43703	26983	$\lambda^3 \omega^2 y_4 E J g$	(14)+ $y_q+y_s$
20	Тебраниш шаклы Z <sub>э, i, q, x</sub> <sup>2</sup>	1,6	0,80	0,59	0,36	$(y_1)^2/(y_4)^2$	$(y_1)^2/(y_4)^2$
21	Такрорликлар $\phi_i^{(2)}$	9,38	9,36	9,39	9,34	9,36	$\phi_{yp} = 9,37$

## МУНДАРИЖА

Кириш	3
1- б о б. Умумий маълумотлар	5
2- б о б. Таъсир чизиклари назарияси	23
3- б о б. Кўп ораликли статик аник балкалар	40
4- б о б. Статик аник фермалар	47
5- б о б. Уч шарнирли аркалар ва рамалар	70
6- б о б. Кўчишлар назарияси	92
7- б о б. Статик ноаник рамаларни кучлар усулида ҳисоблаш	123
8- б о б. Кучлар усулини статик ноаник балка, ферма ва аркалар ҳисобига тадбики	148
9- б о б. Статик ноаник рамаларни кўчишлар усулида ҳисоблаш	172
10- б о б. Статик ноаник рамаларни ҳисоблашнинг такрибий усул- лари	201
11- б о б. Курилиш механикаси масалаларига матрицалар назария- сининг тадбики	210
12- б о б. Чекли элементлар усули	249
13- б о б. Стерженили системаларнинг устуворлиги	272
14- б о б. Иншоотлар динамикаси асослари	299
15- б о б. Эркинлик даражаси бирга teng бўлган системалар	304
16- б о б. Тебранишлар назариясининг техникага тадбики	327
17- б о б. Эркинлик даражаси бир нечта бўлган системалар	331
18- б о б. Эркинлик даражаси чексиз бўлган системалар	346
19- б о б. Иншоотлар тебранишини тадқиқ этишнинг такрибий усул- лари	355

**Абдурашидов Кабул Садыкович,  
Хабилов Батыр Абдумаликович,  
Тўйчиев Надир Джамалович,  
Рахимбаев Анвар Гафурович**

**СТРОИТЕЛЬНАЯ МЕХАНИКА**

*На узбекском языке*

Издательство «Ўзбекистон» 700129,  
Ташкент, Навои, 30.

Бадиий мухаррир *T. Каюатов*  
Техник мухаррир *У. Ким*  
*Мусаҳҳих У. Абдуқодирова*

Теришга берилди 20.03.96. Босишга рухсат этилди 11.02.99. Бичим  
84x108<sup>1/2</sup>, «Таймс» гарнитурда оффсет босма усулида босилди.  
Шартли бос. т. 20,16. Нашр т. 18,36. Нусхаси 1000. Буюртма № 733.  
Баҳоси шартнома асосида.

«Ўзбекистон» нашриёти, 700129, Тошкент, Навоий кўчаси, 30.  
Нашр № 247—94.

Ўзбекистон Республикаси Давлат матбуот қўмитасининг  
ижарадаги Тошкент матбаа комбинатида босилди.  
700129. Тошкент, Навоий кўчаси, 30.